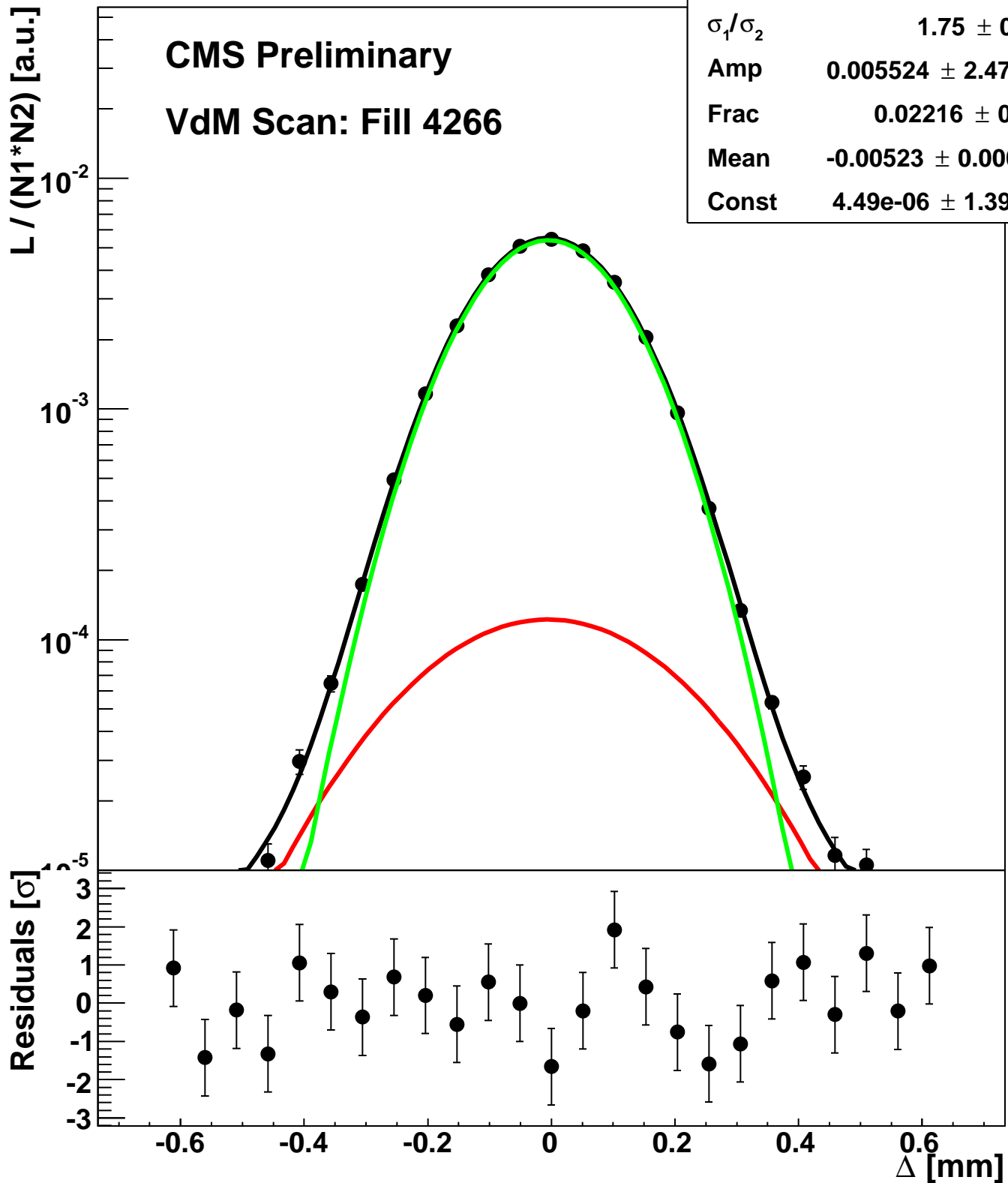
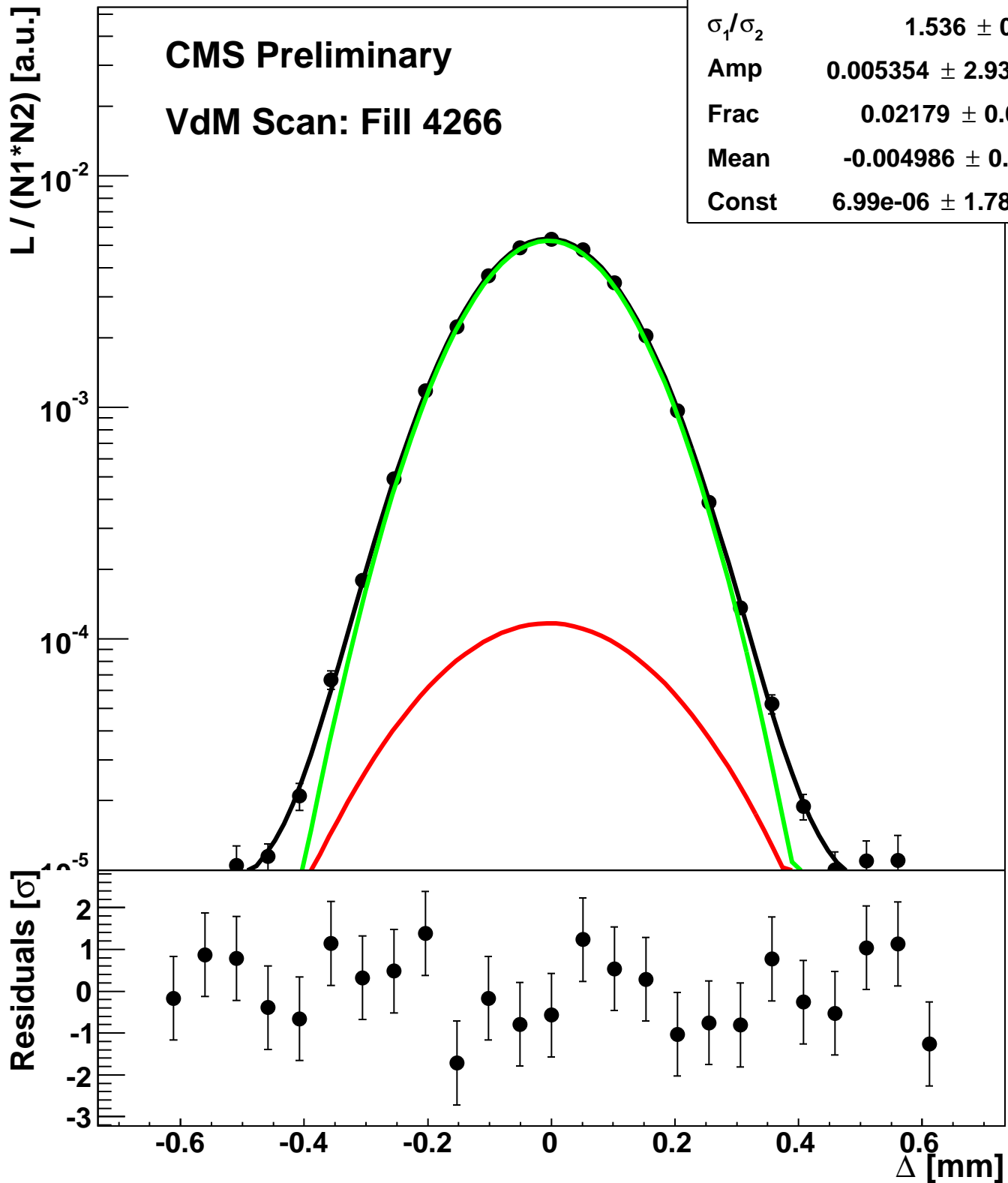


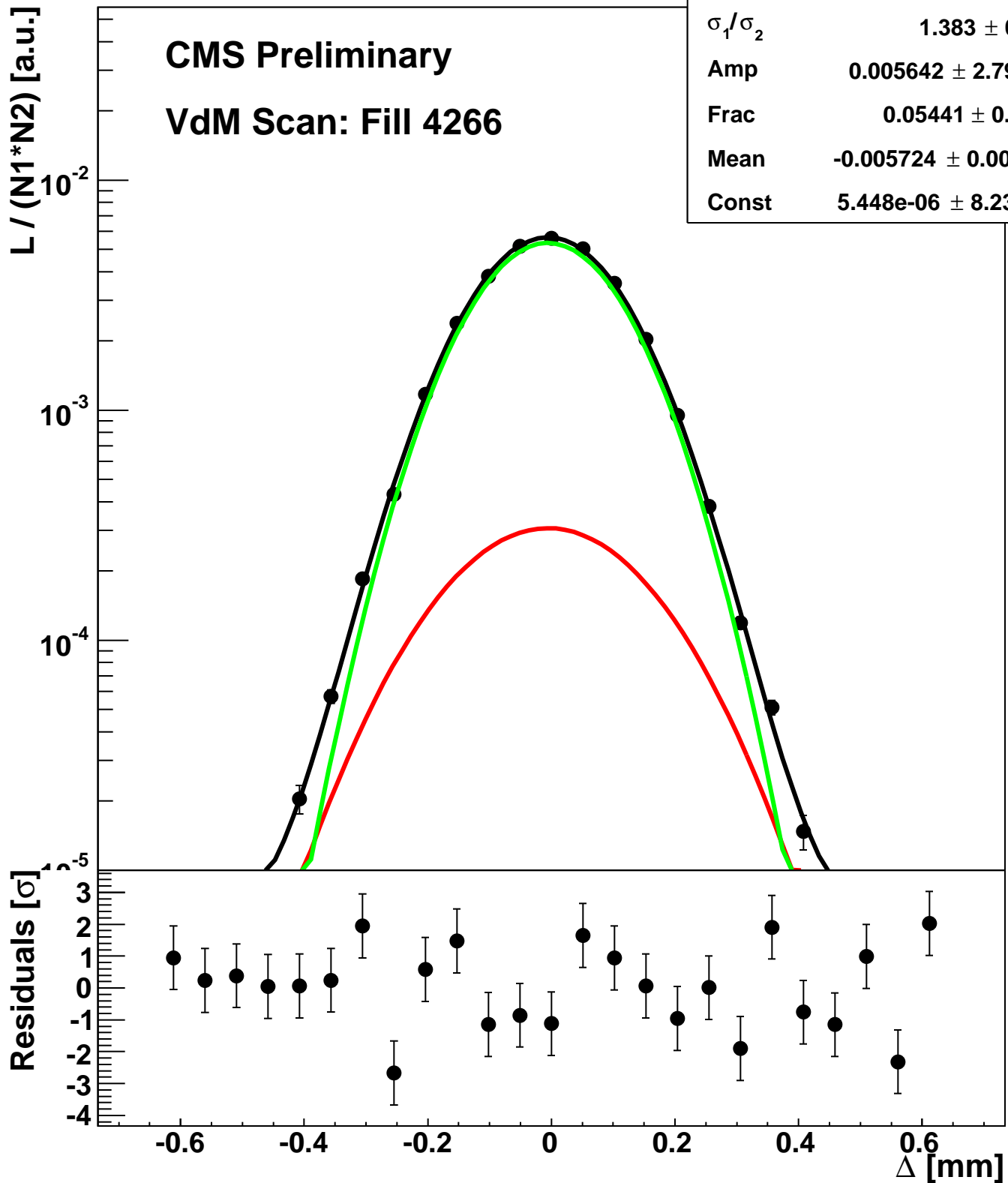
Scan 10: Y-plane BCID 1011



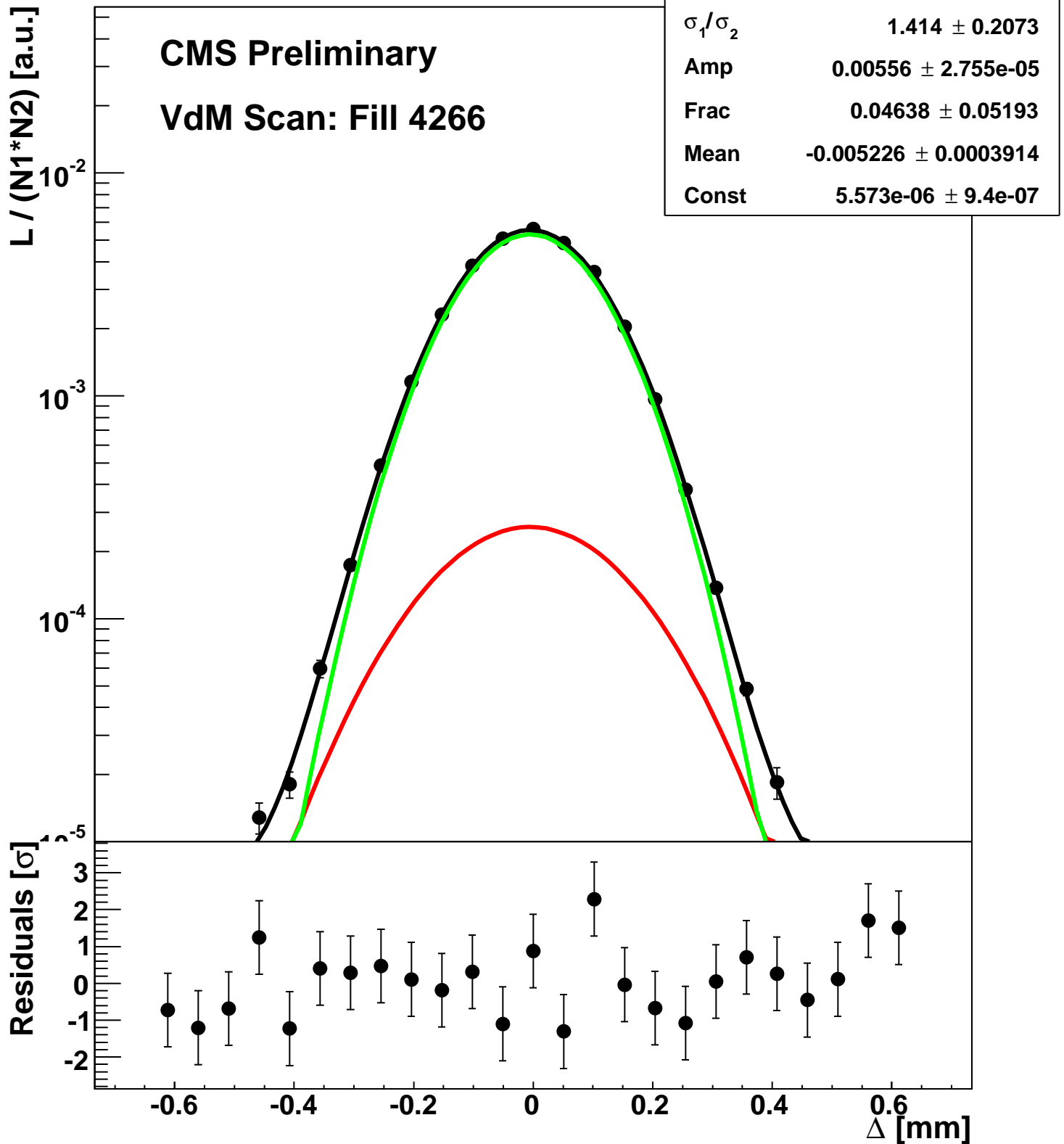
Scan 10: Y-plane BCID 131



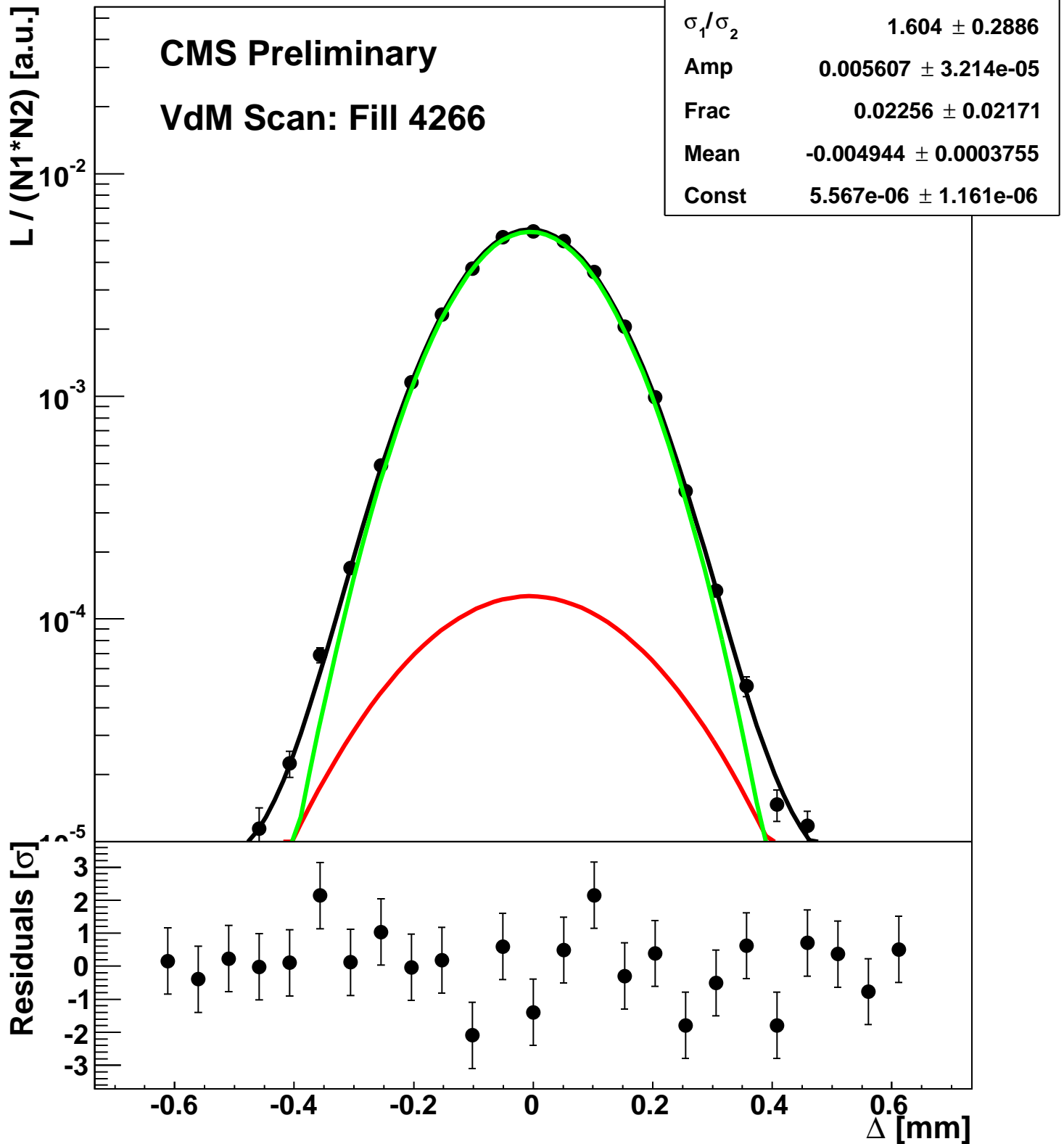
Scan 10: Y-plane BCID 1631



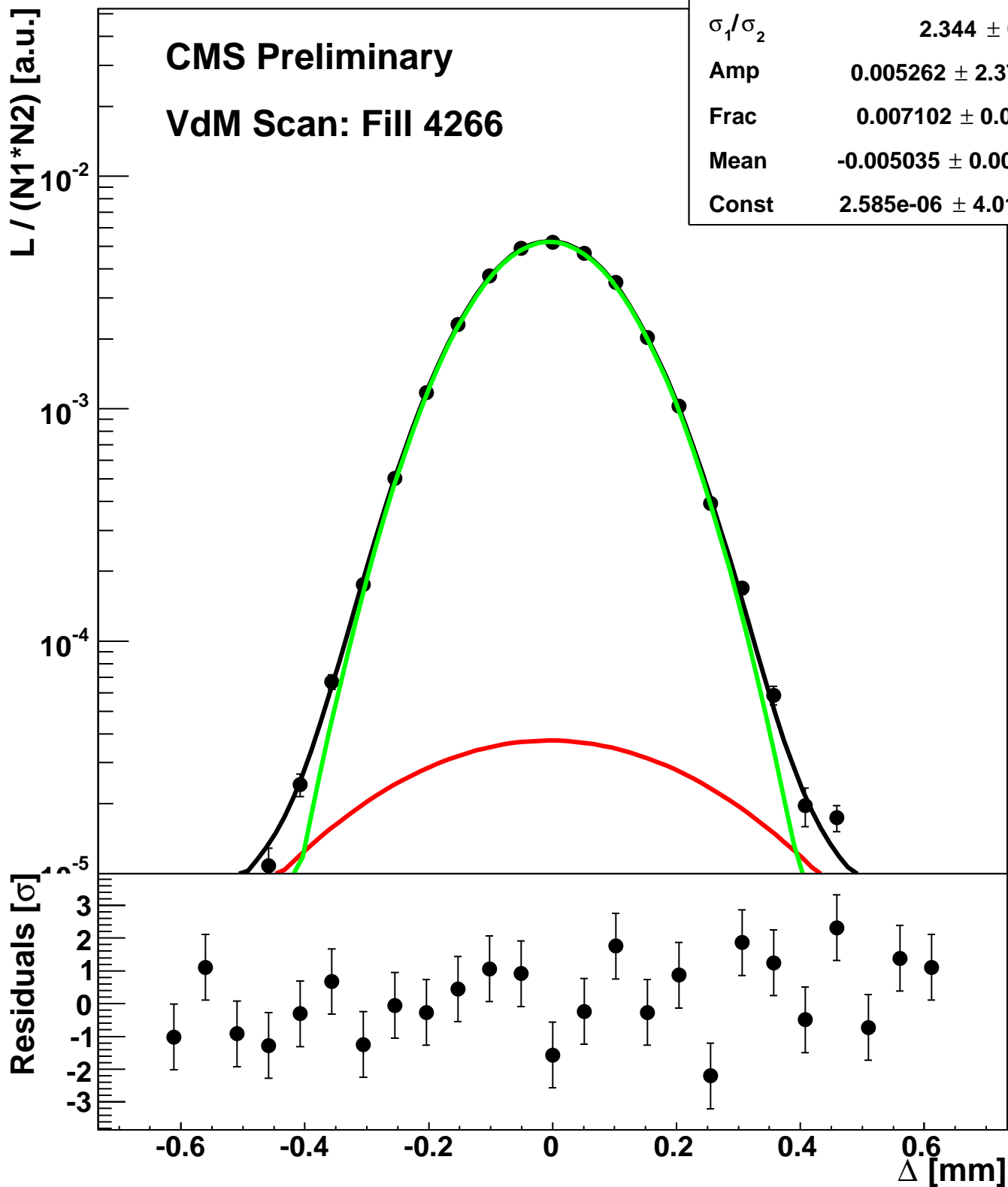
Scan 10: Y-plane BCID 1671



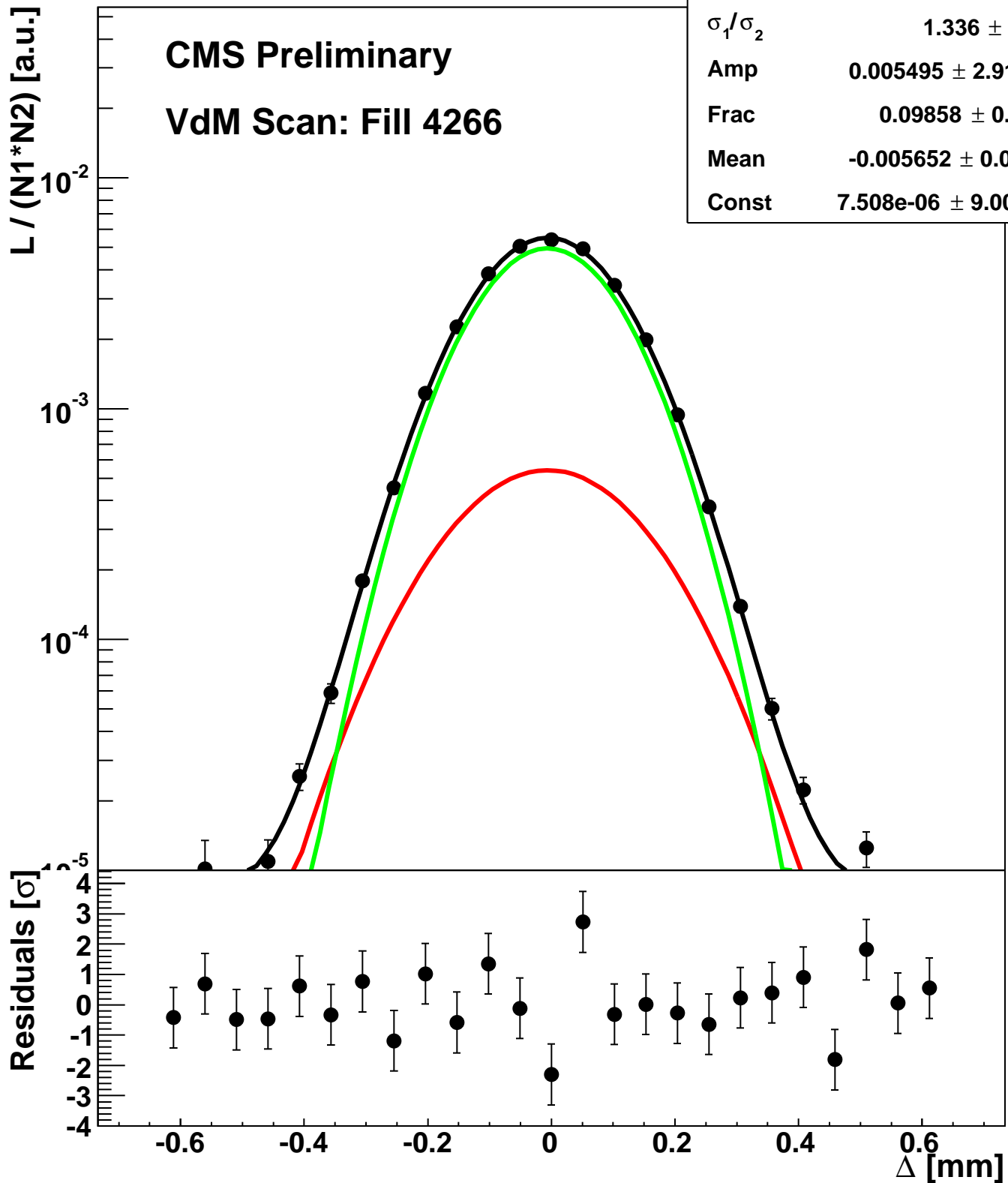
Scan 10: Y-plane BCID 1711



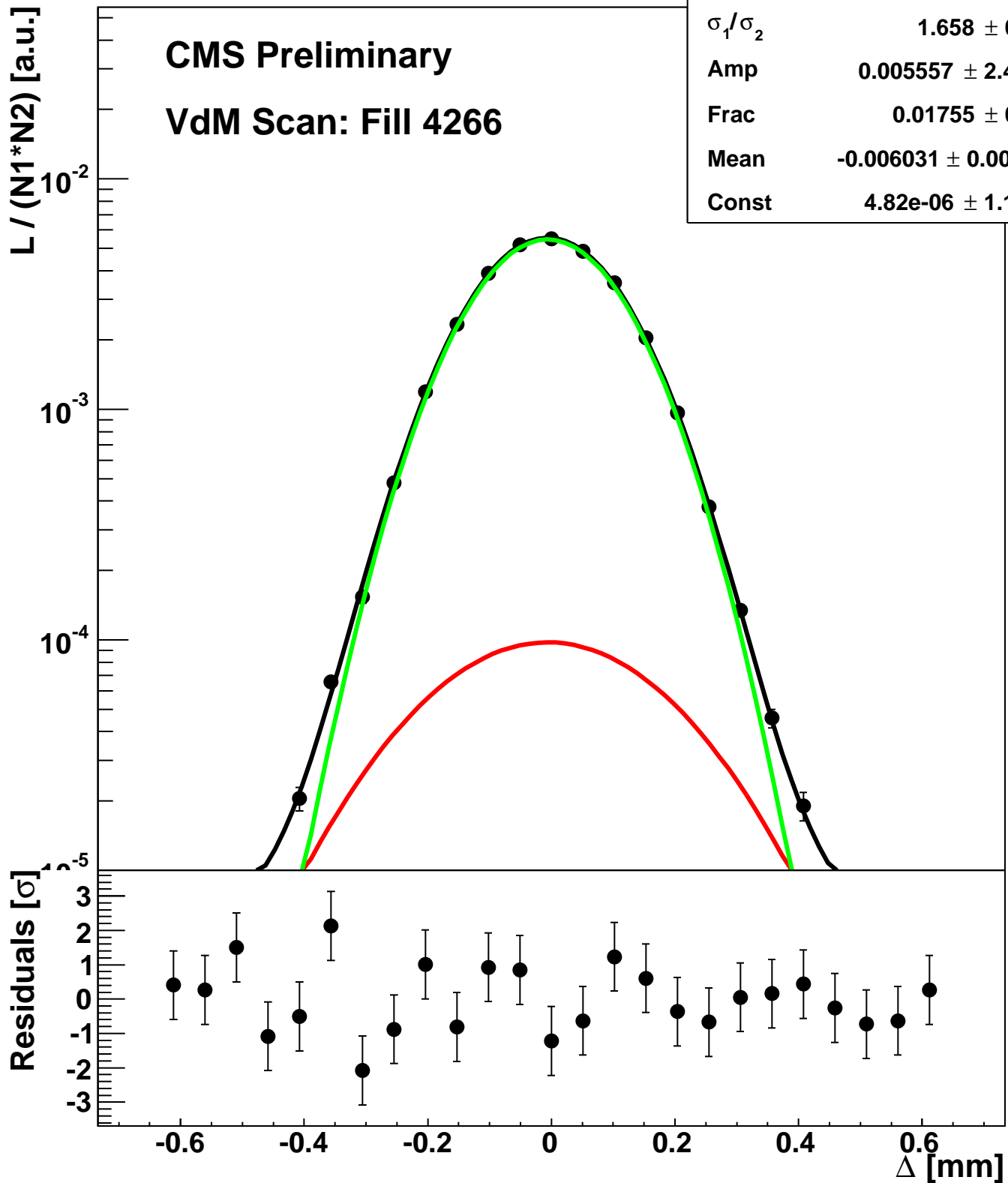
Scan 10: Y-plane BCID 171



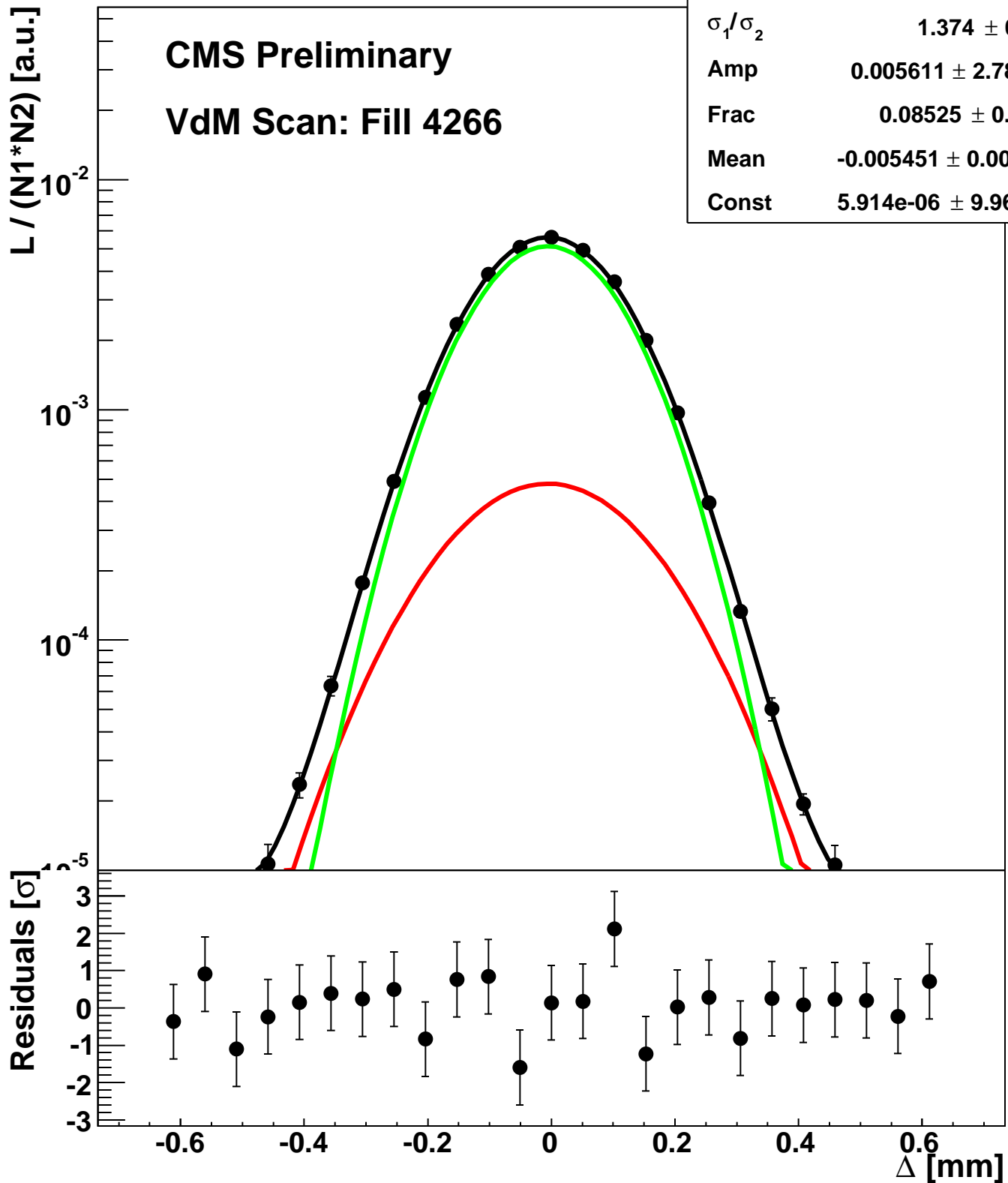
Scan 10: Y-plane BCID 1751



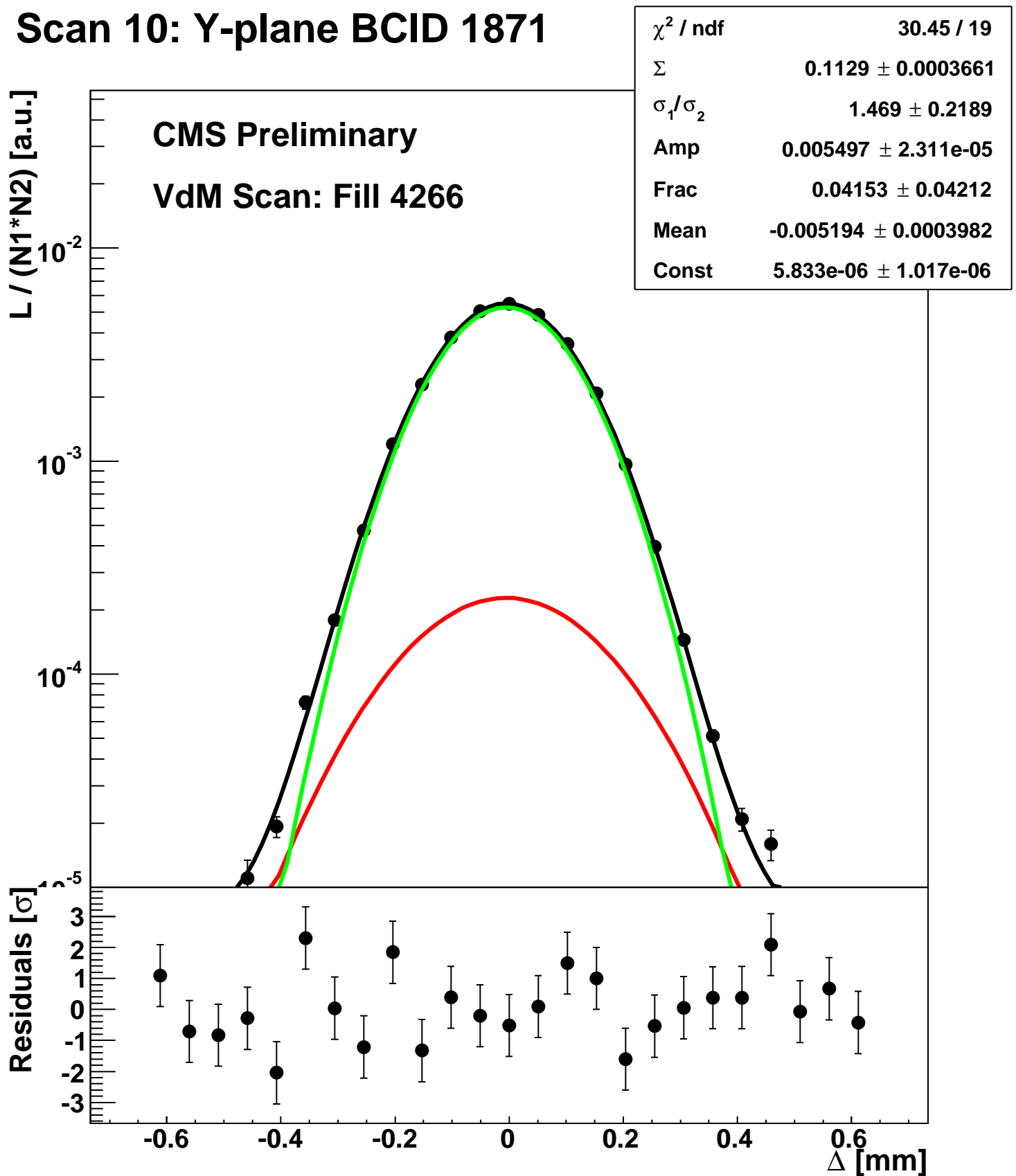
Scan 10: Y-plane BCID 1791



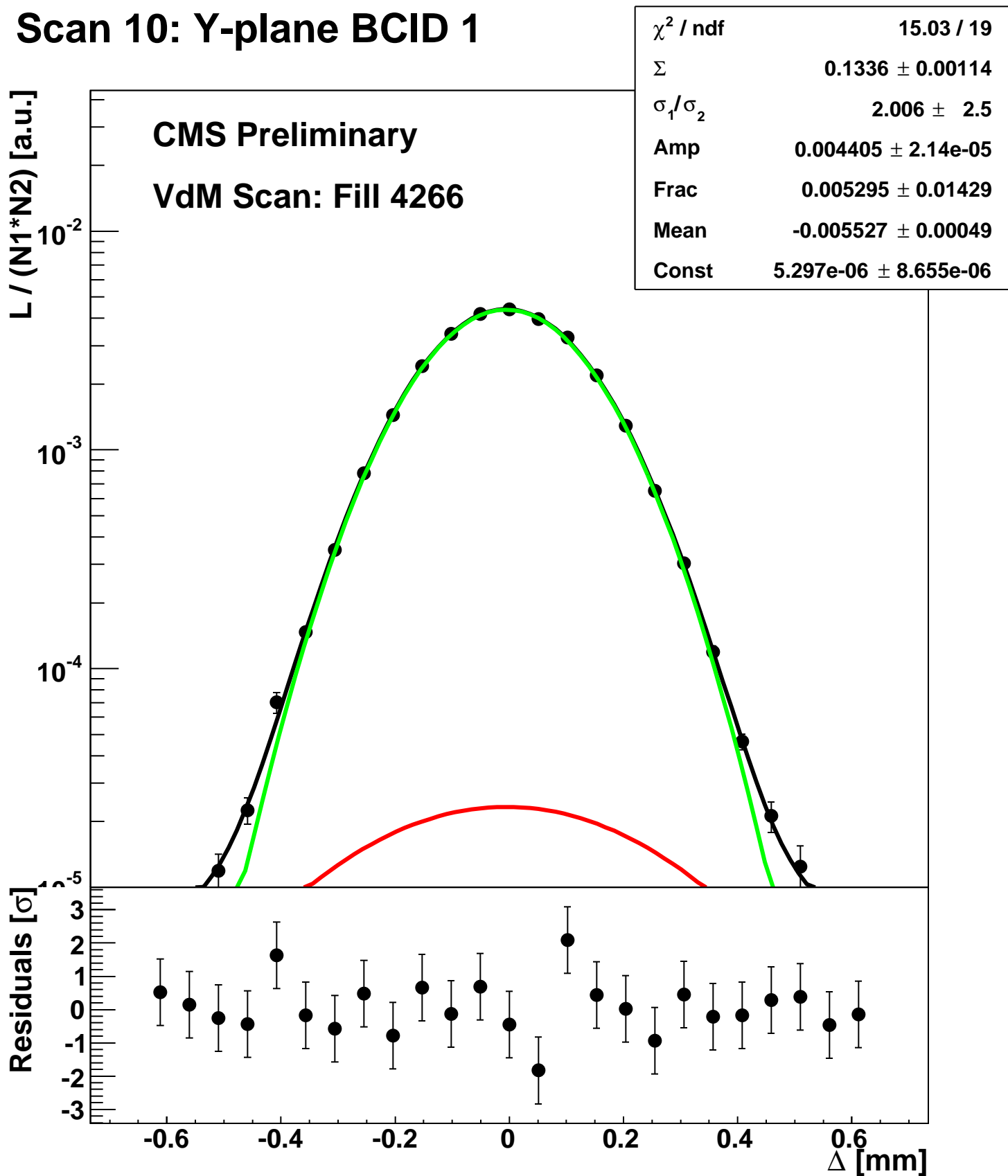
Scan 10: Y-plane BCID 1831



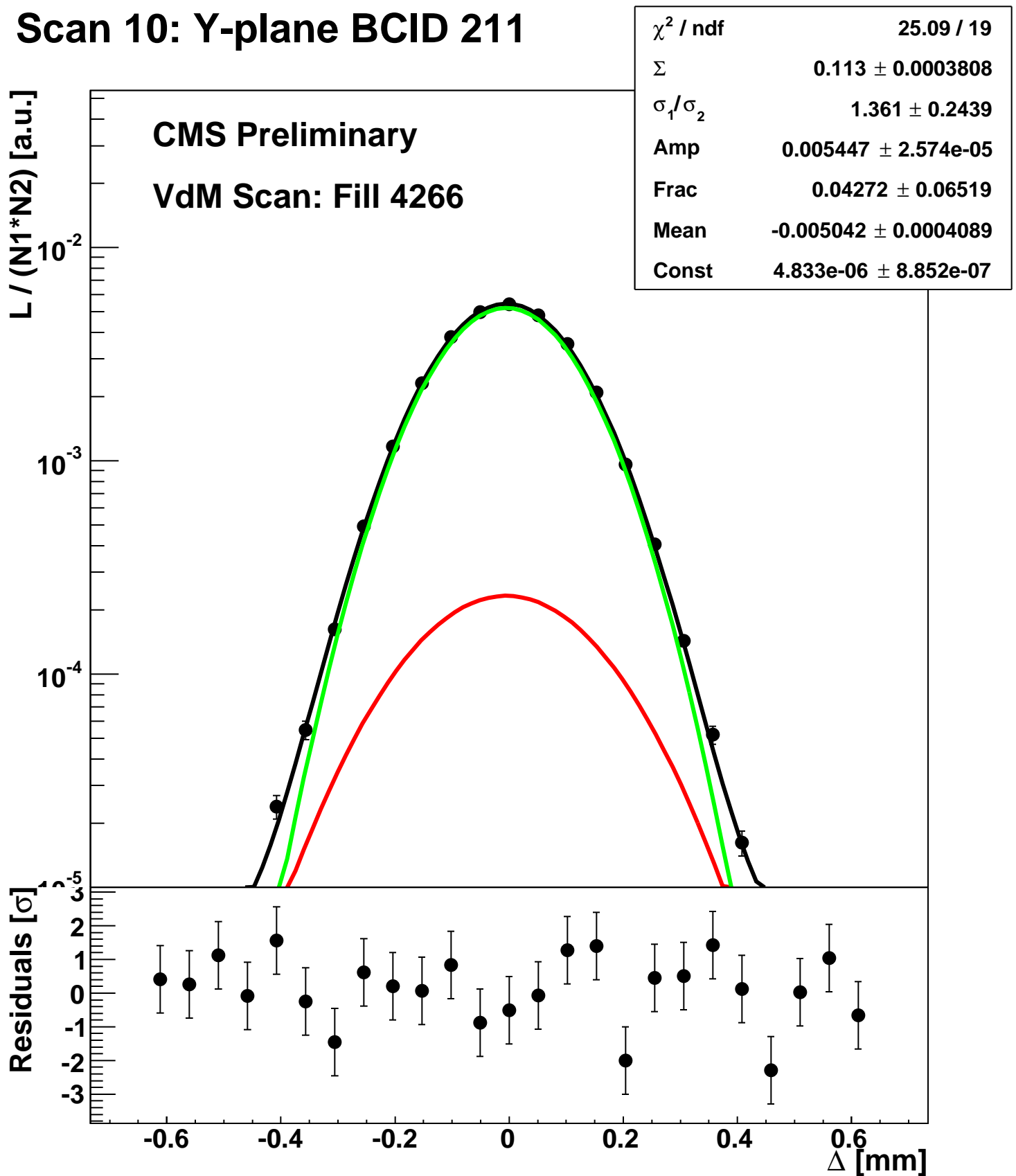
Scan 10: Y-plane BCID 1871



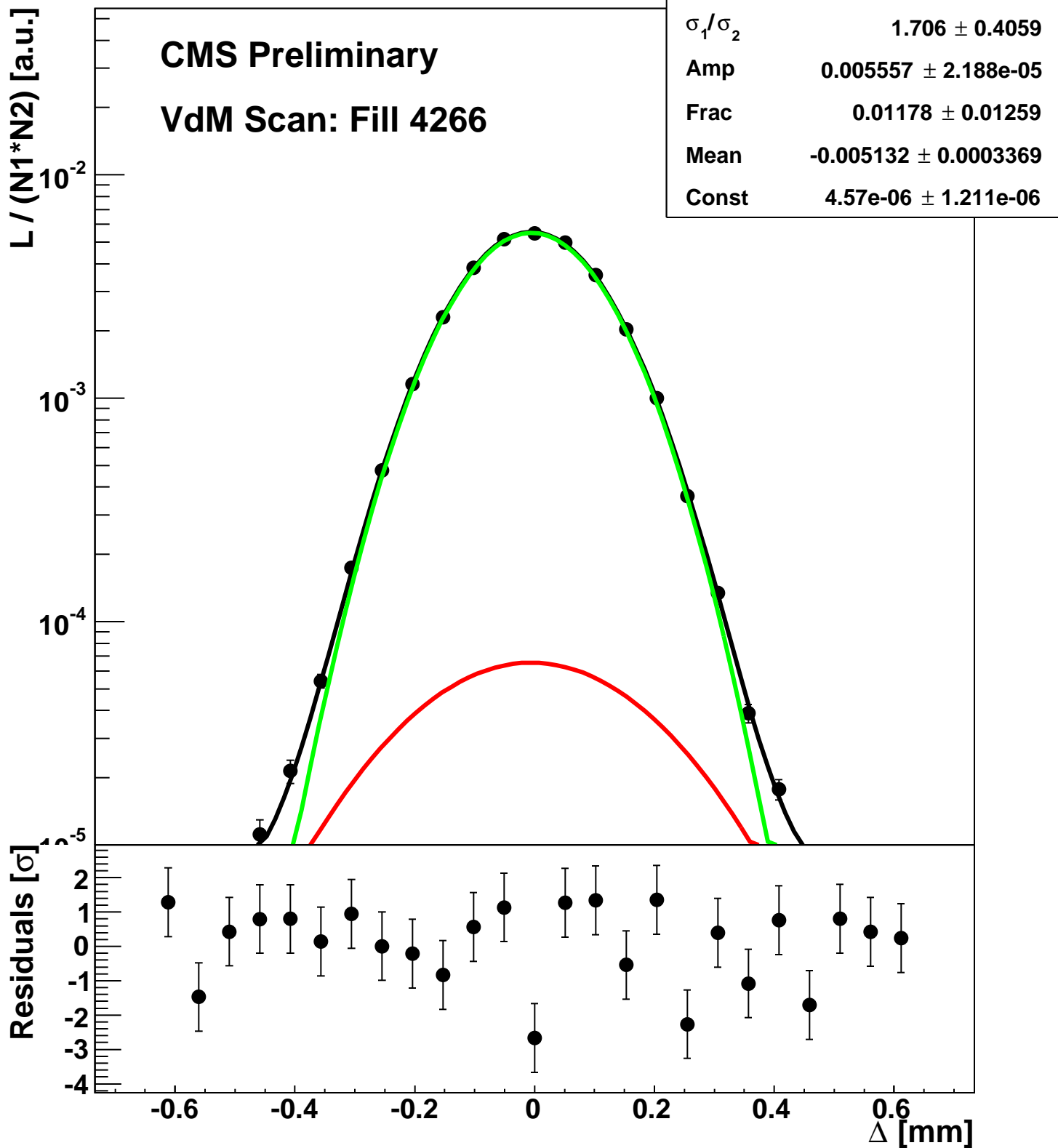
Scan 10: Y-plane BCID 1



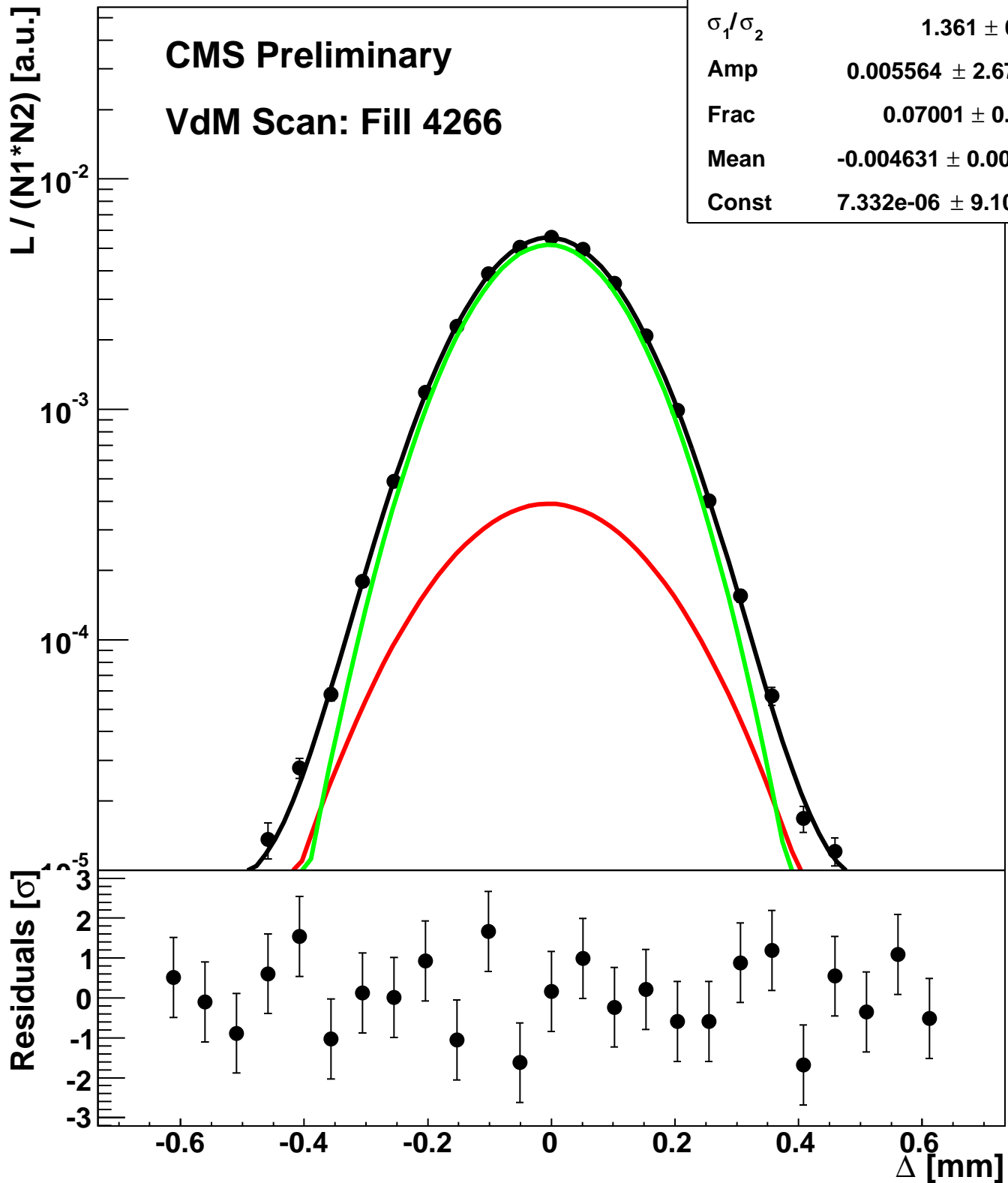
Scan 10: Y-plane BCID 211



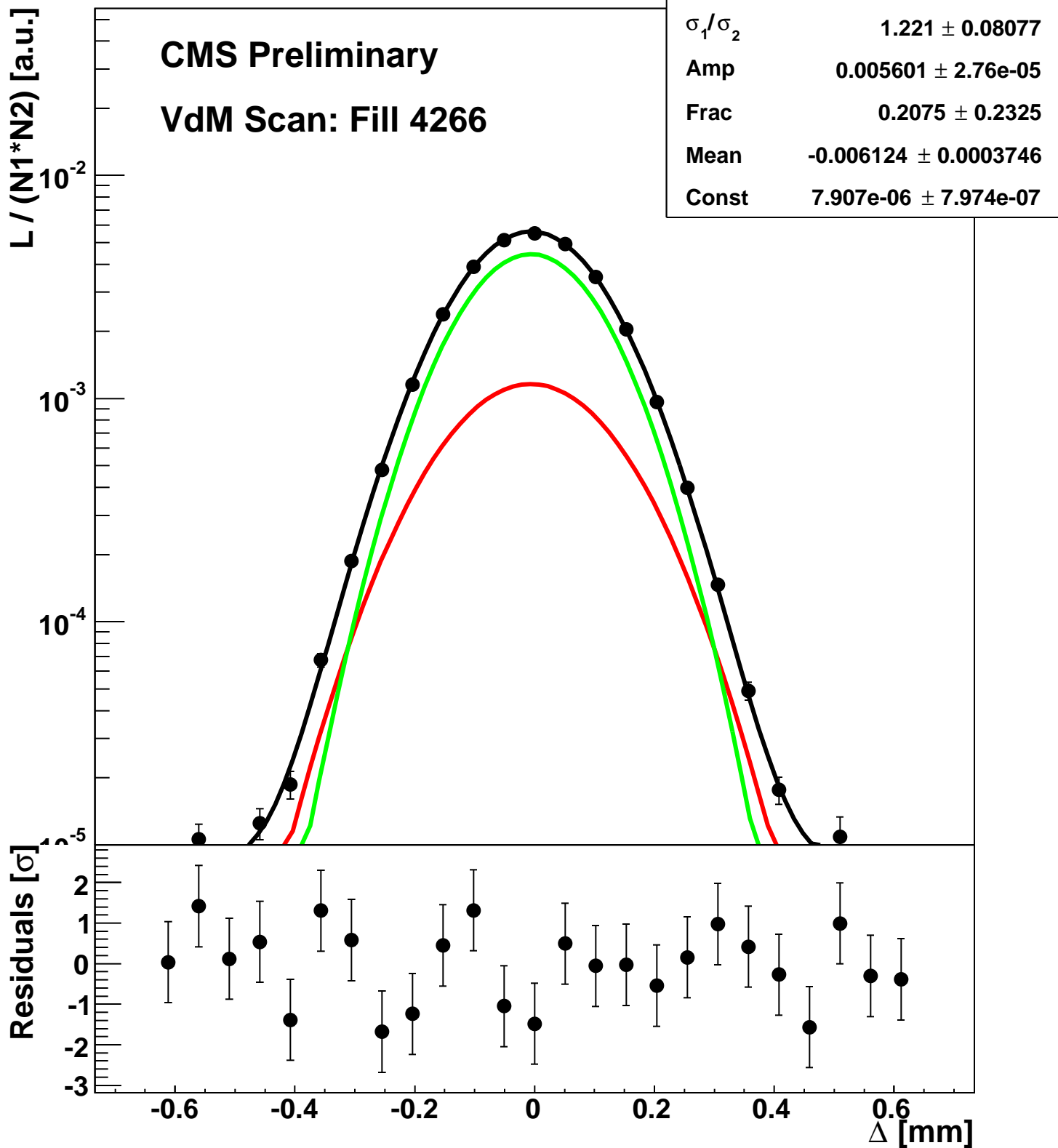
Scan 10: Y-plane BCID 2211



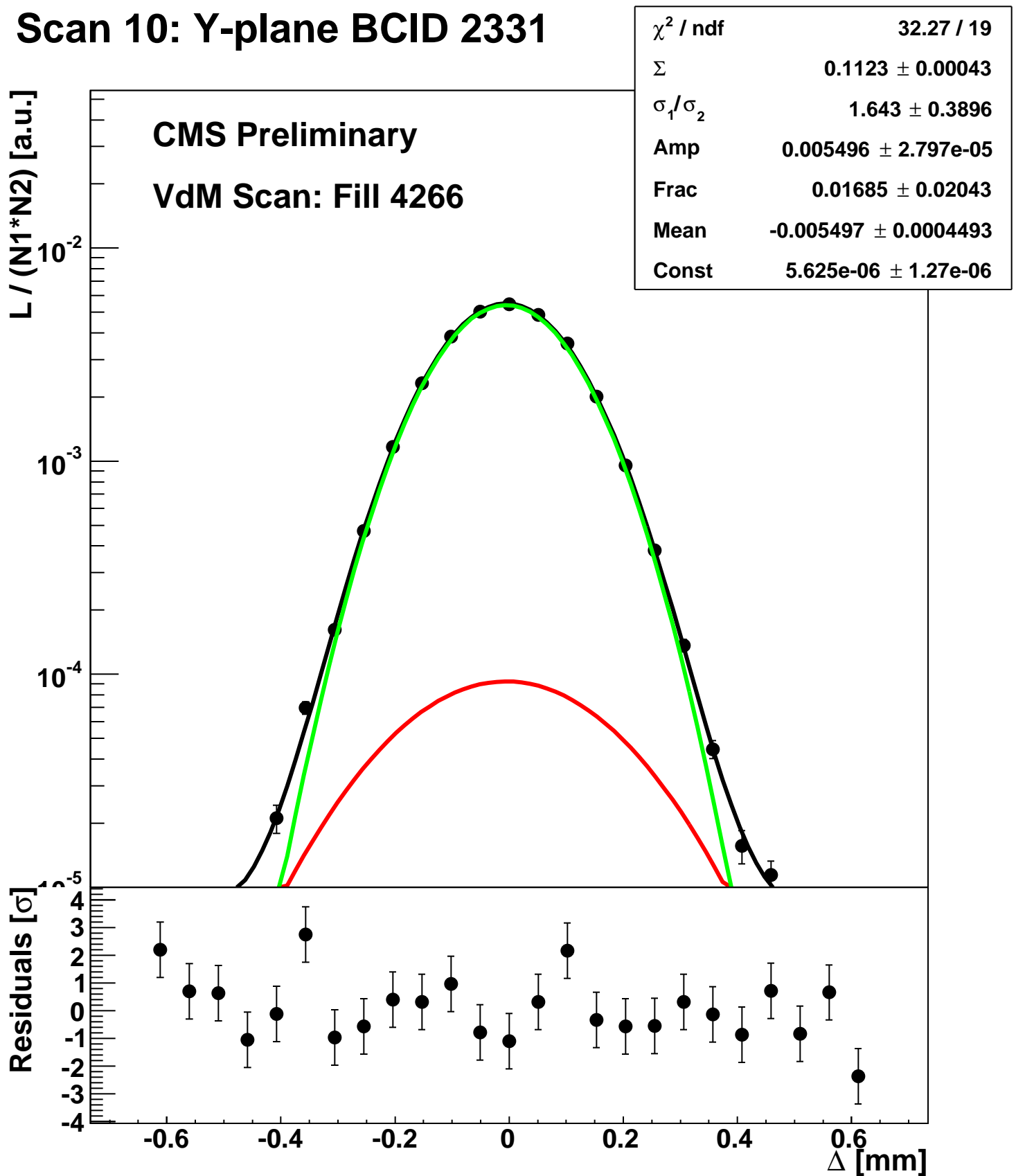
Scan 10: Y-plane BCID 2251



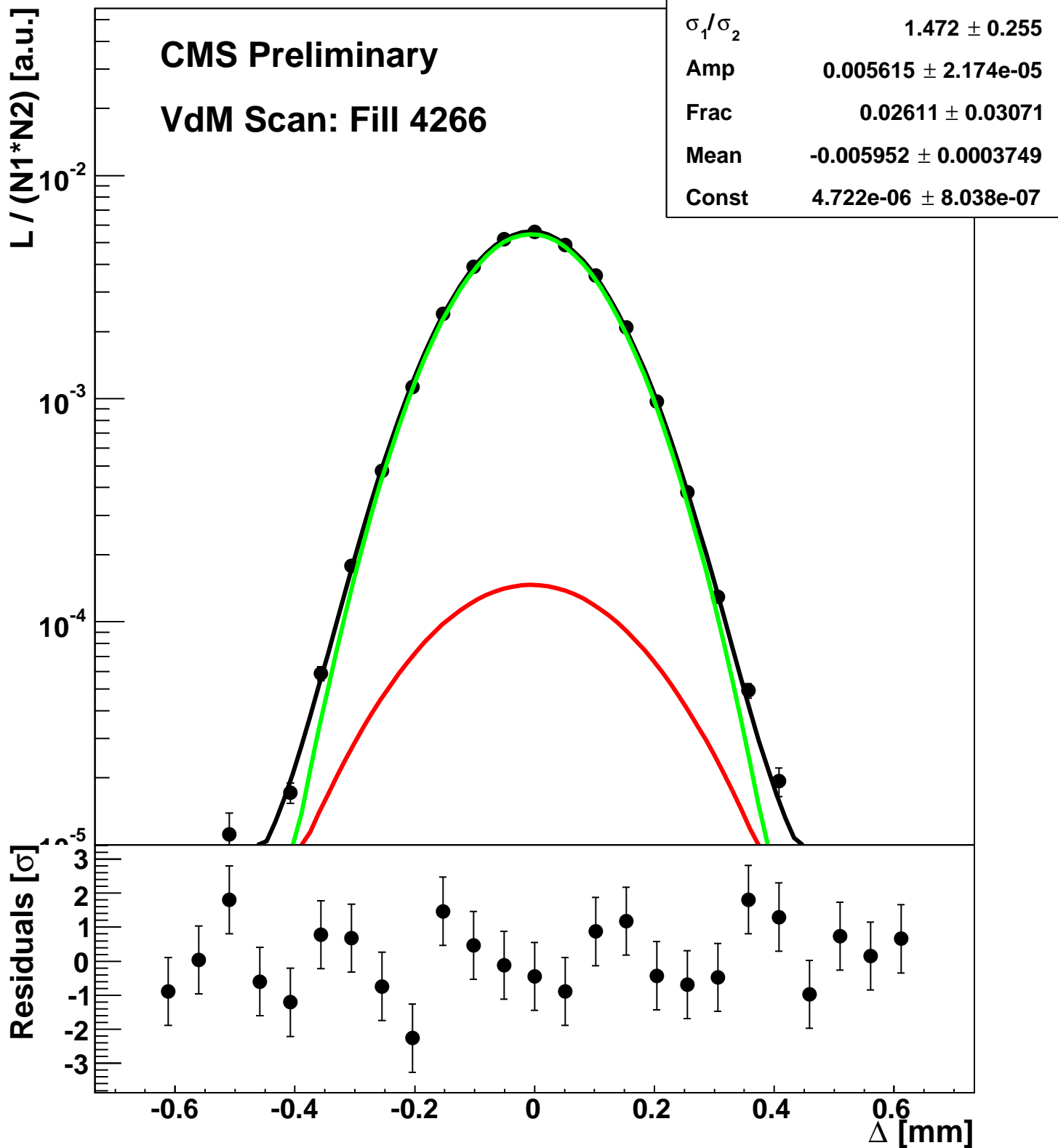
Scan 10: Y-plane BCID 2291



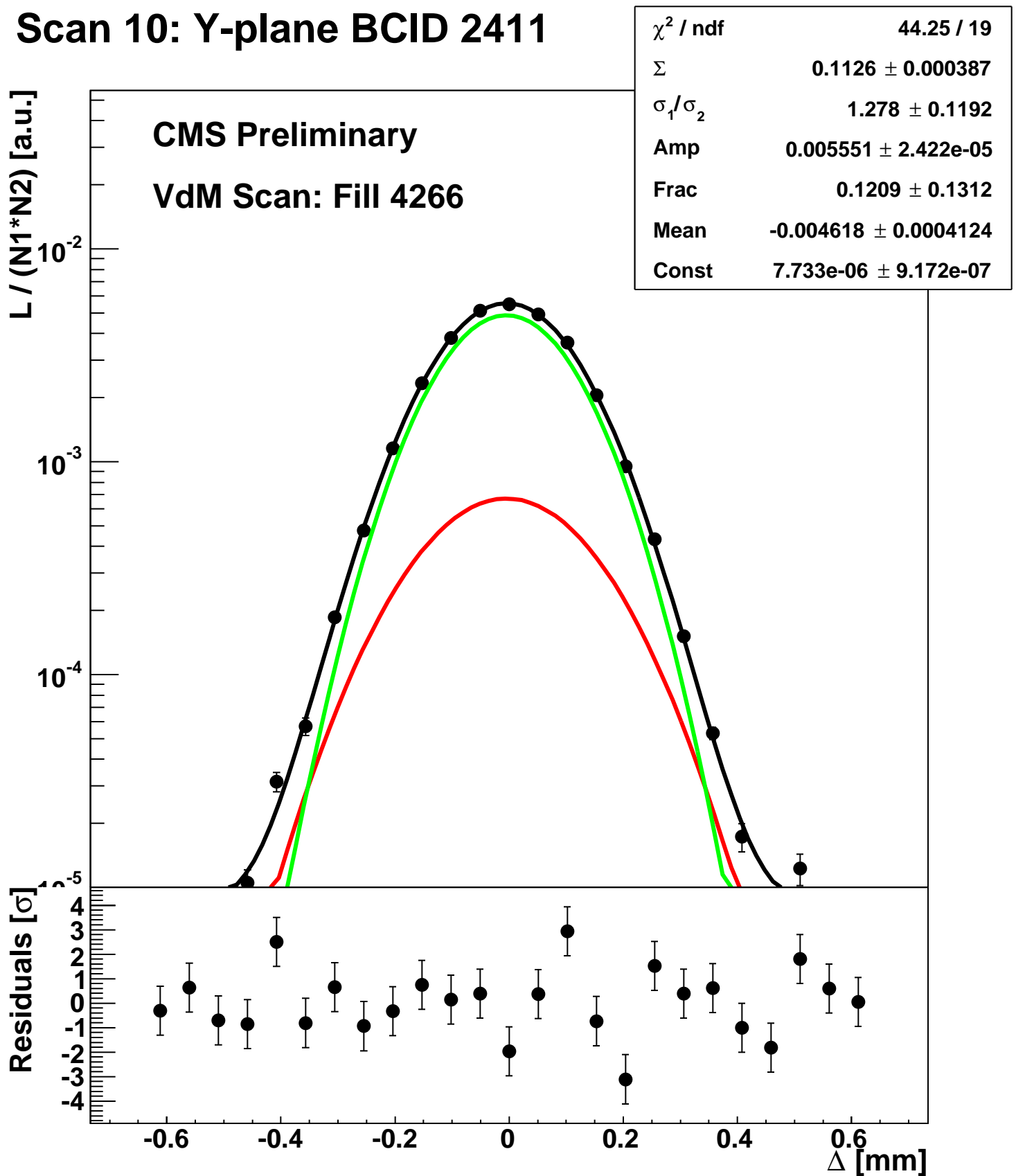
Scan 10: Y-plane BCID 2331



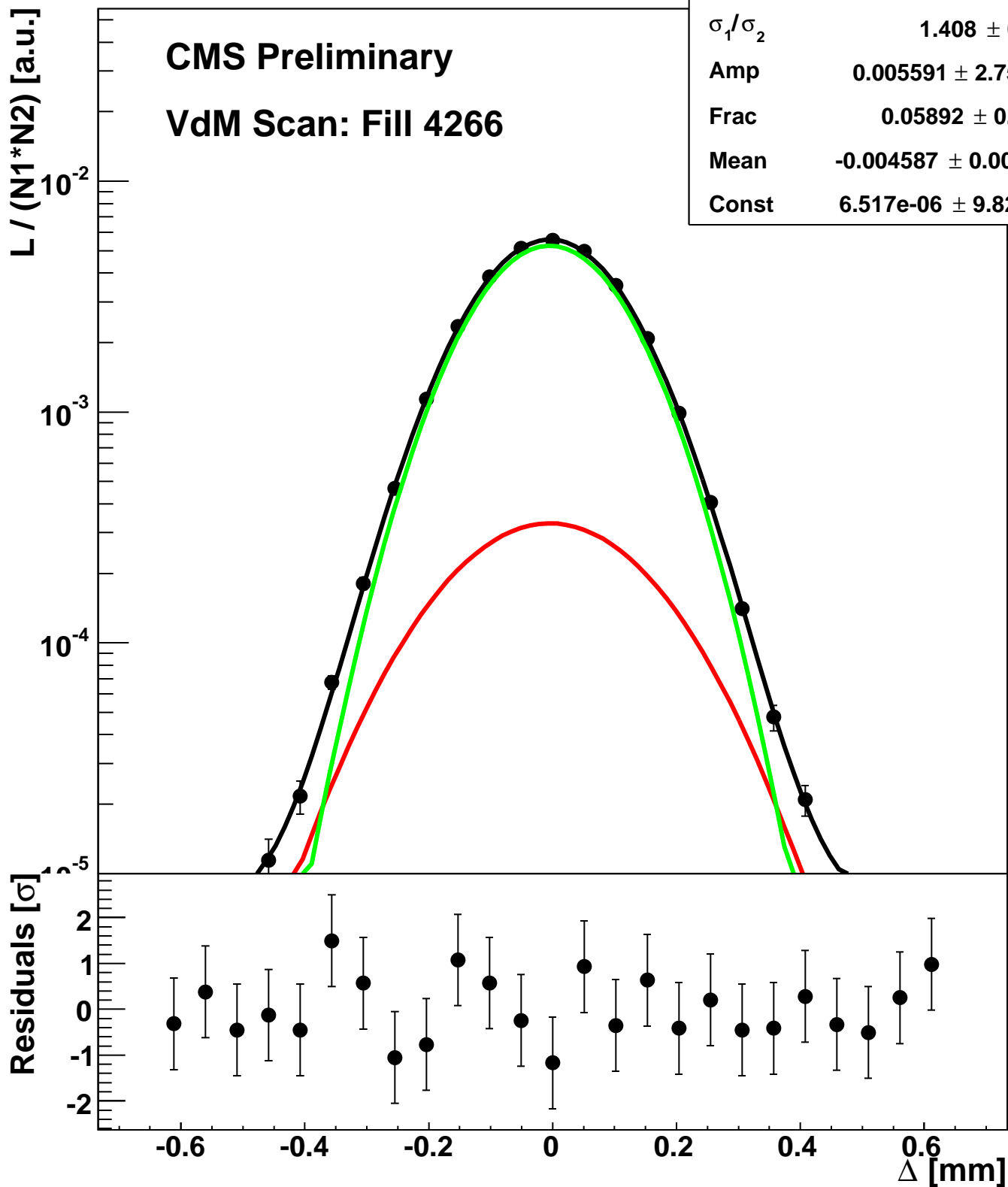
Scan 10: Y-plane BCID 2371



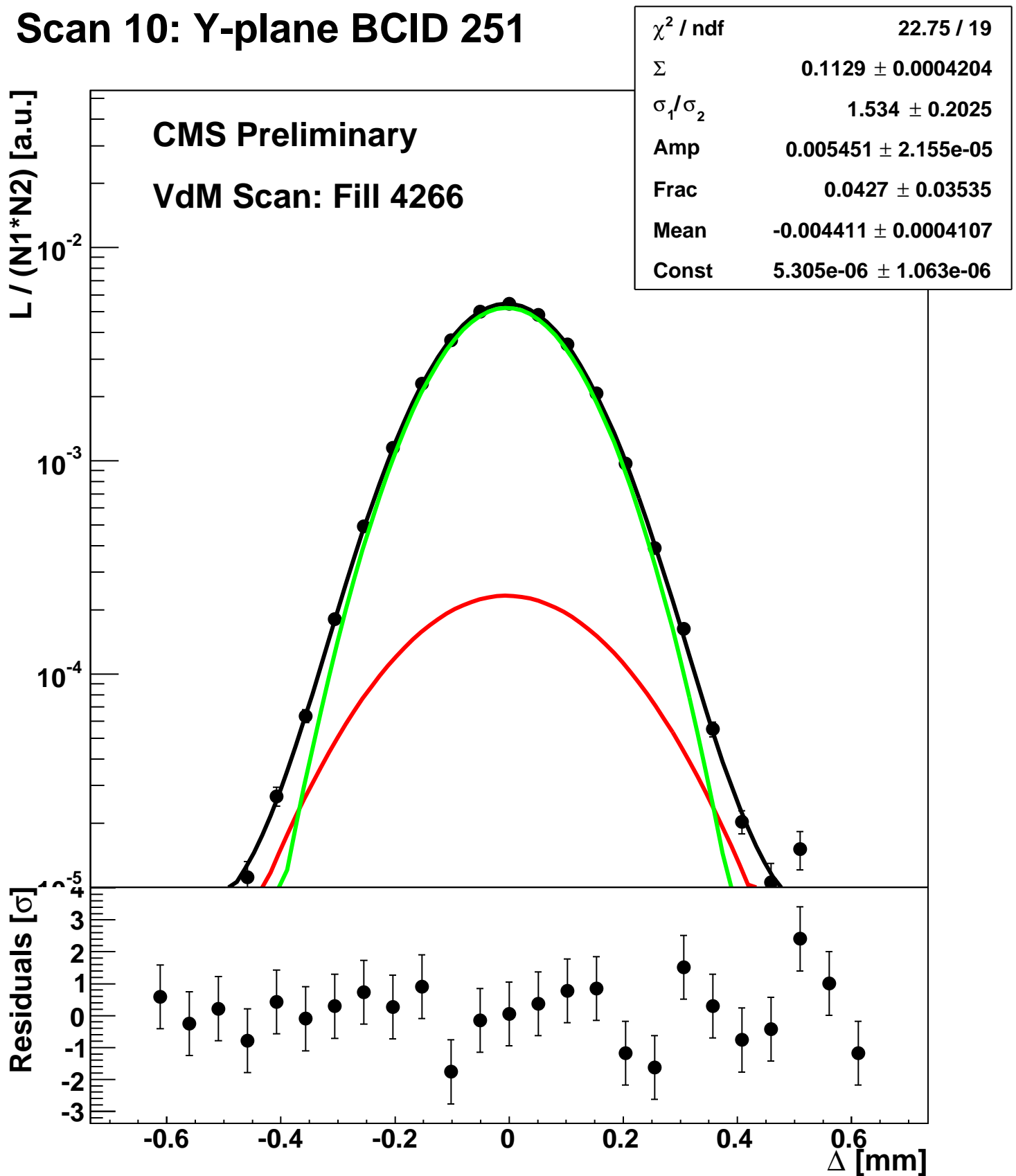
Scan 10: Y-plane BCID 2411



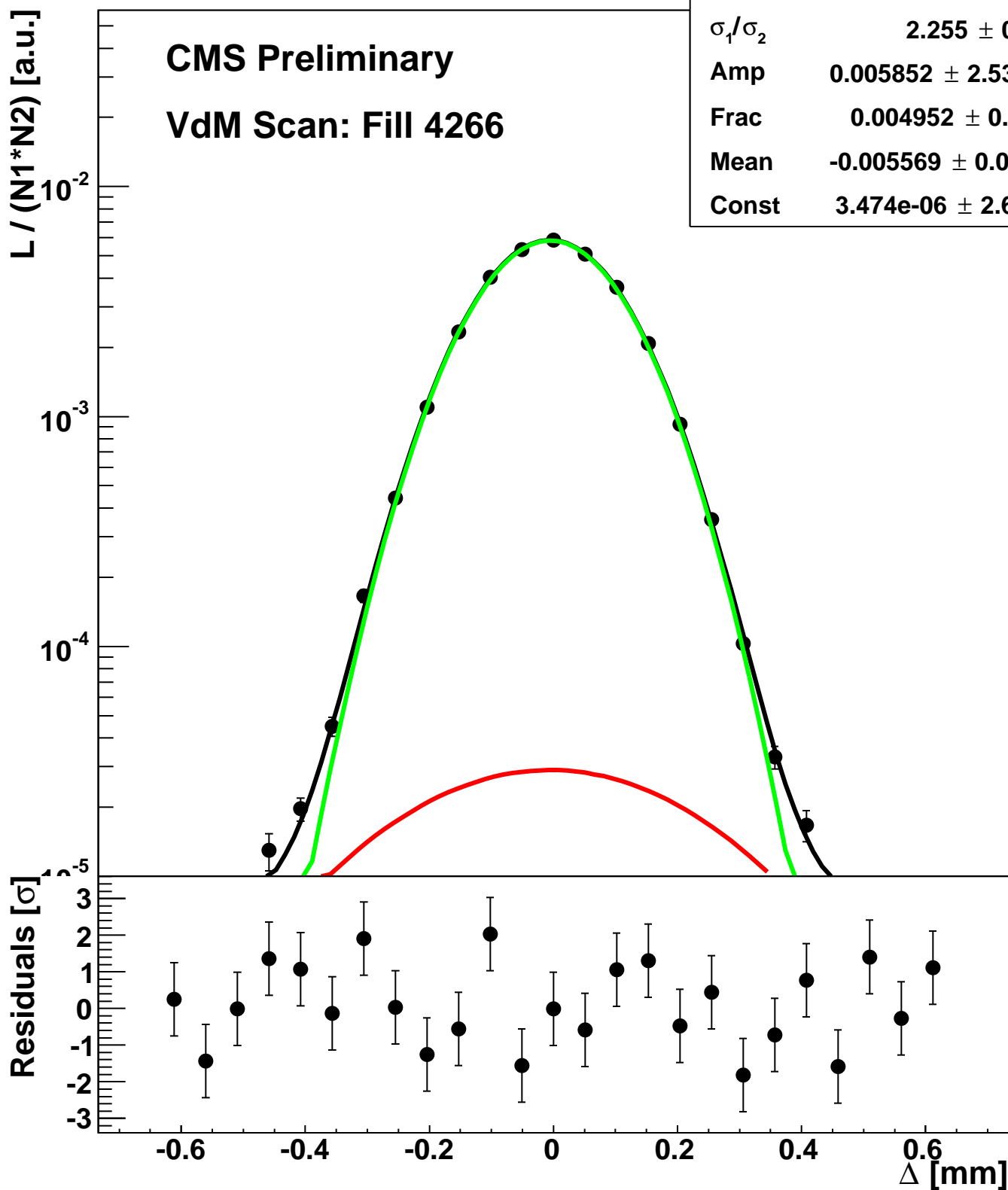
Scan 10: Y-plane BCID 2451



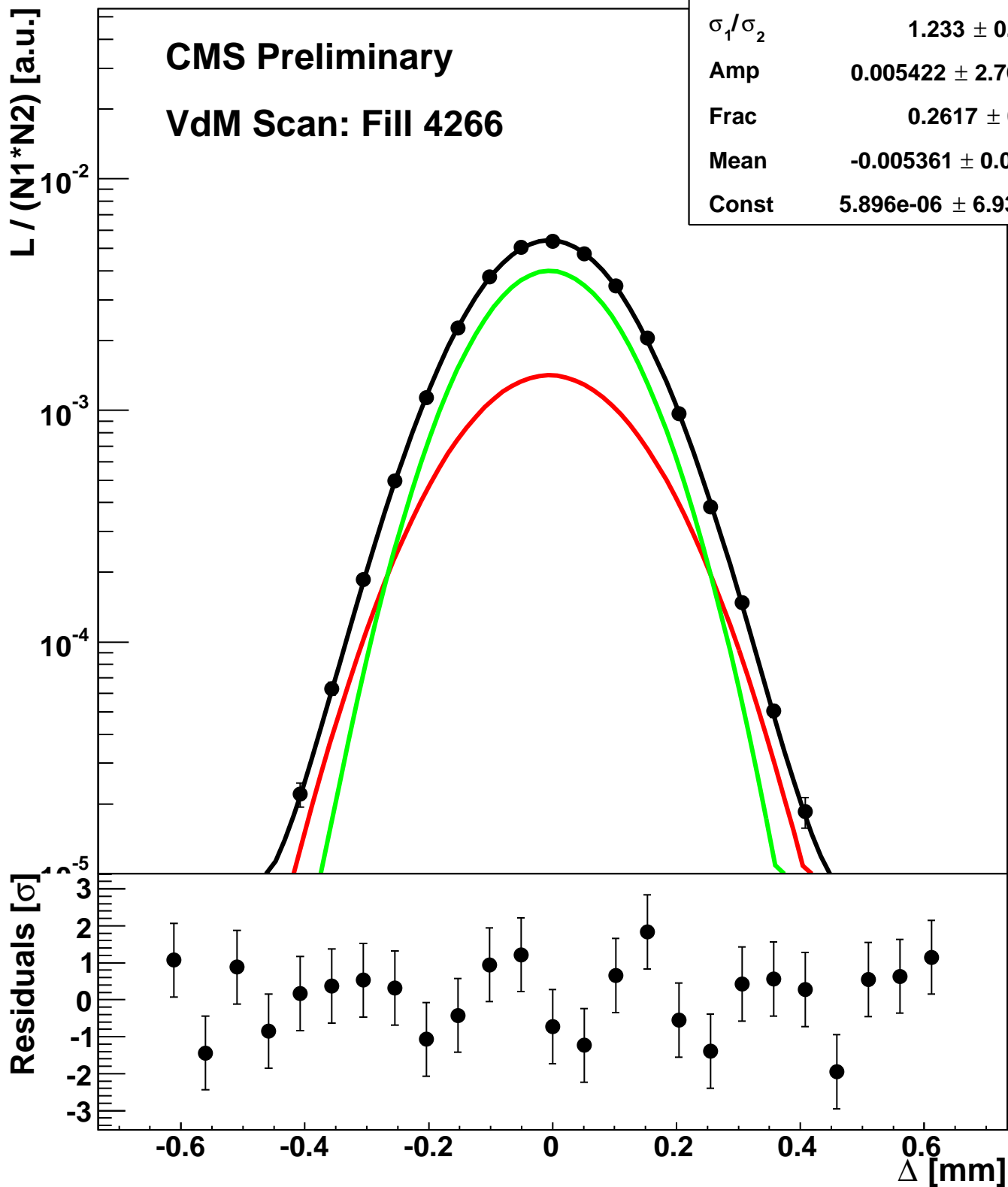
Scan 10: Y-plane BCID 251



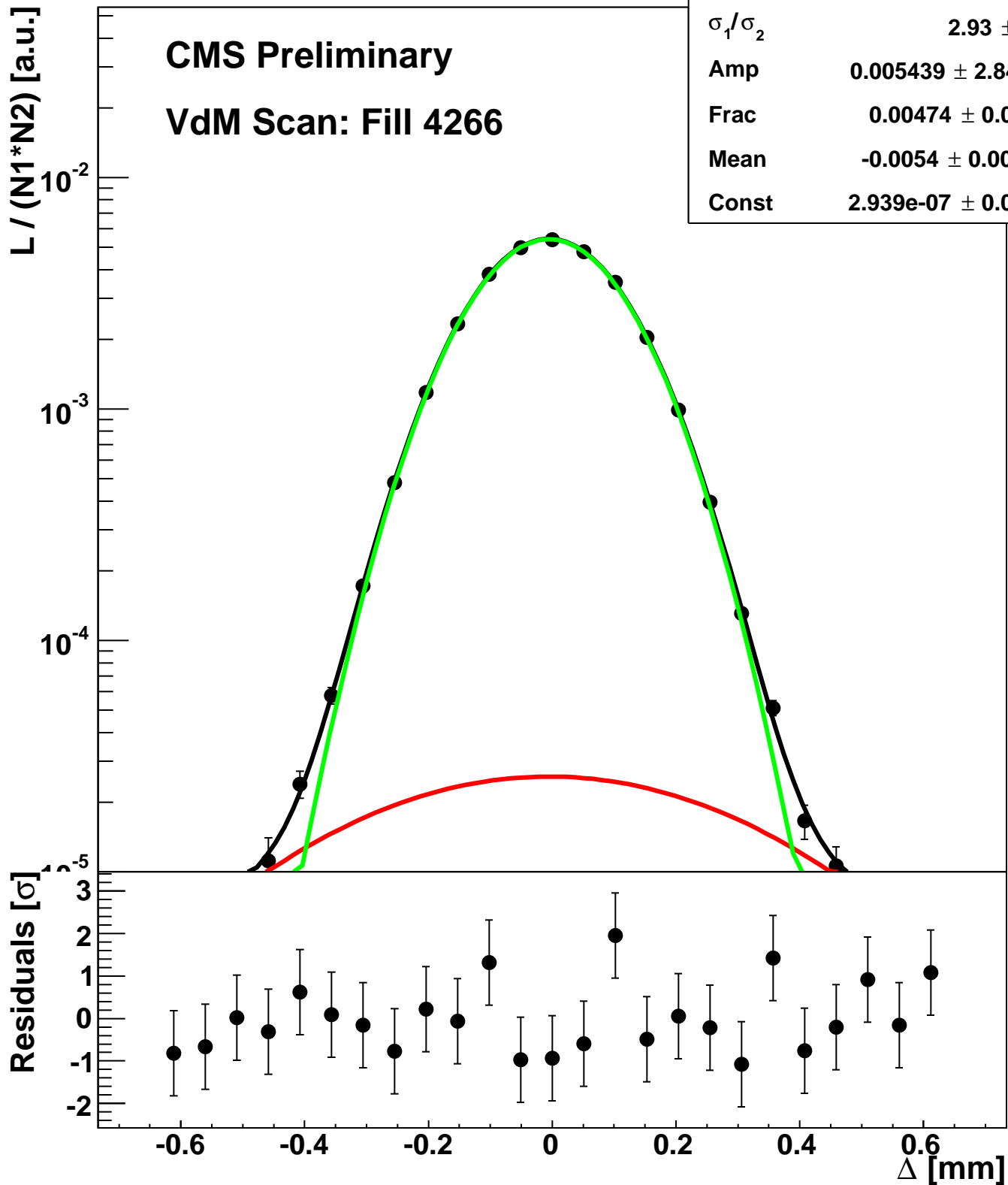
Scan 10: Y-plane BCID 2674



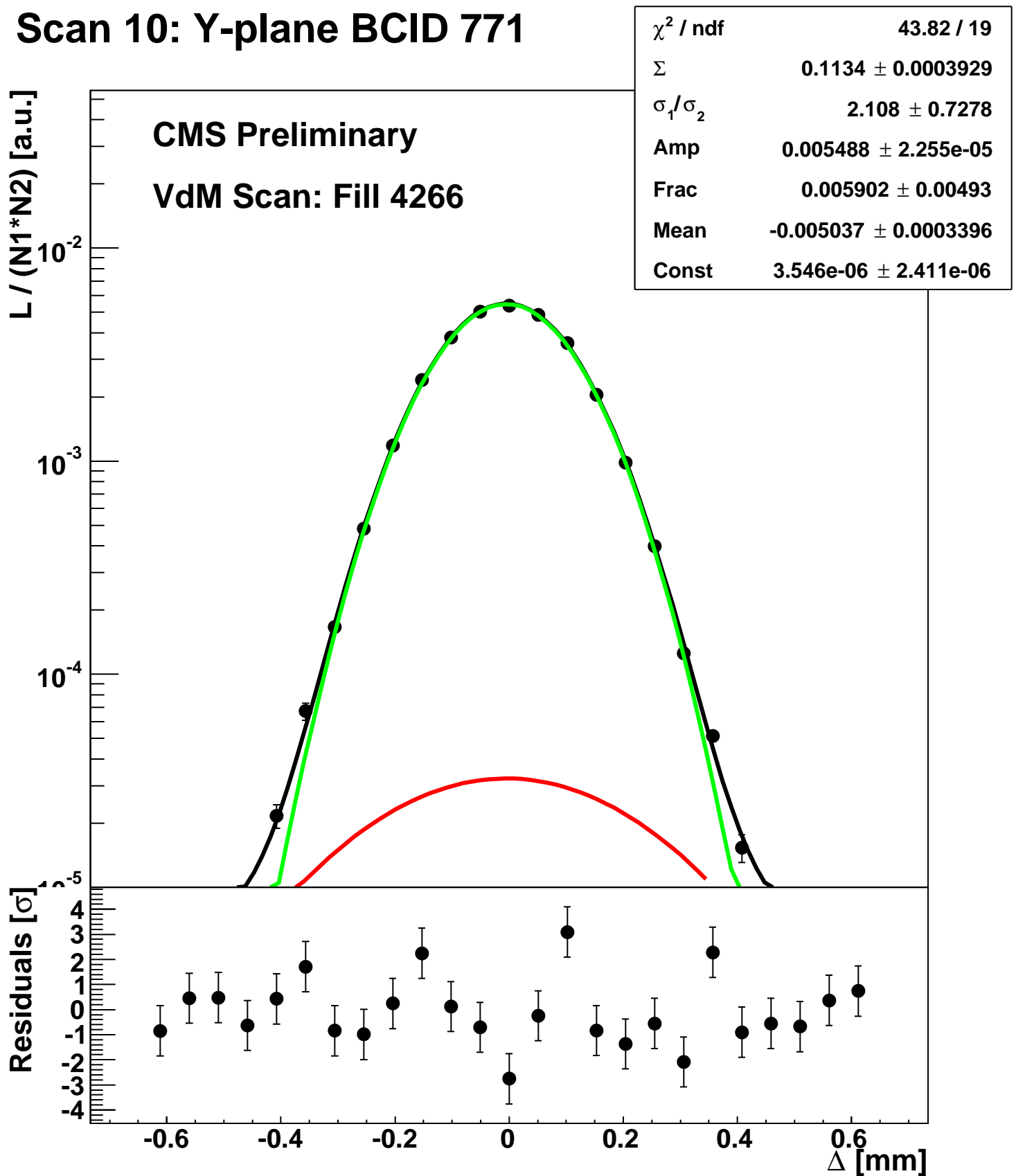
Scan 10: Y-plane BCID 291



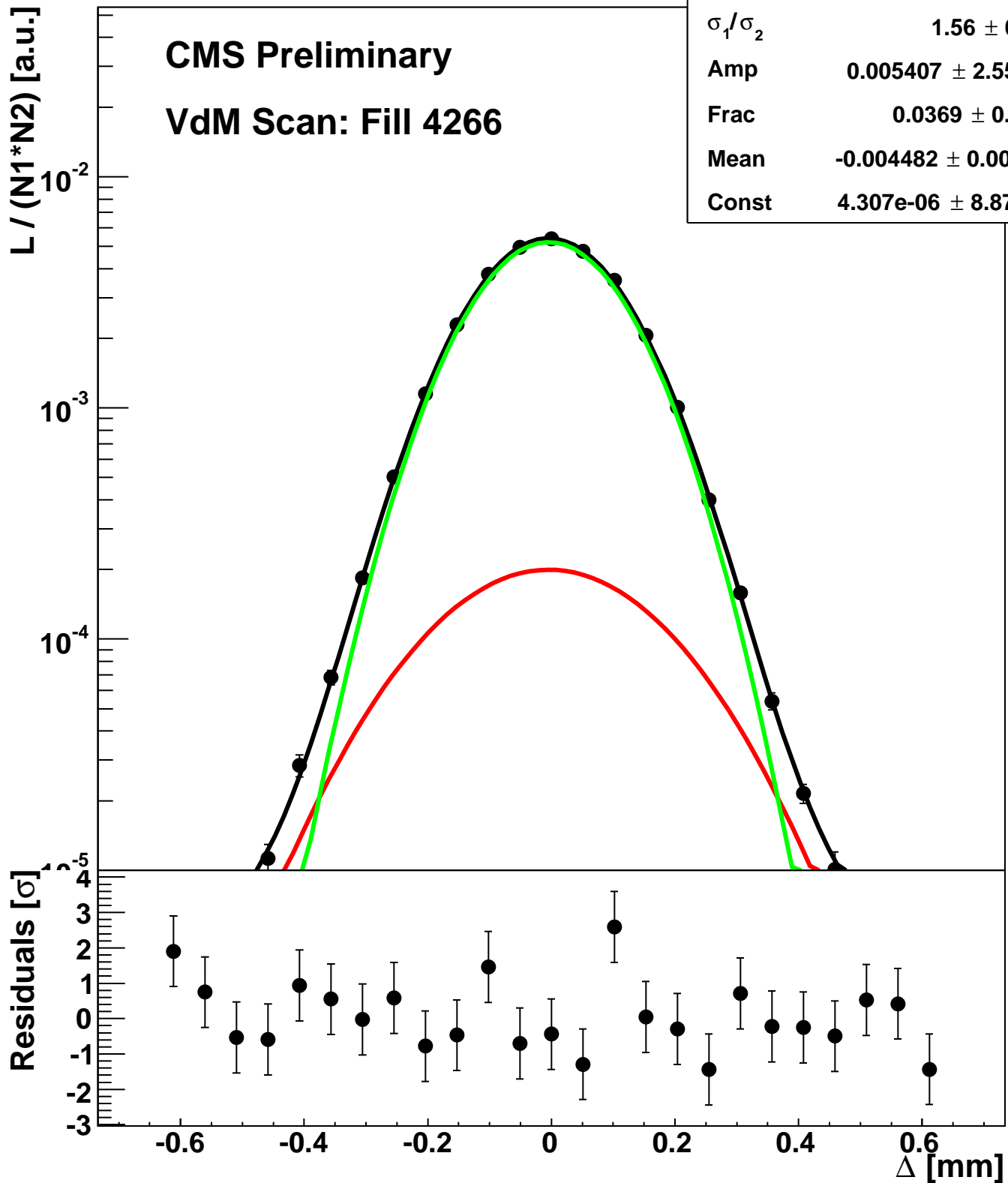
Scan 10: Y-plane BCID 51



Scan 10: Y-plane BCID 771

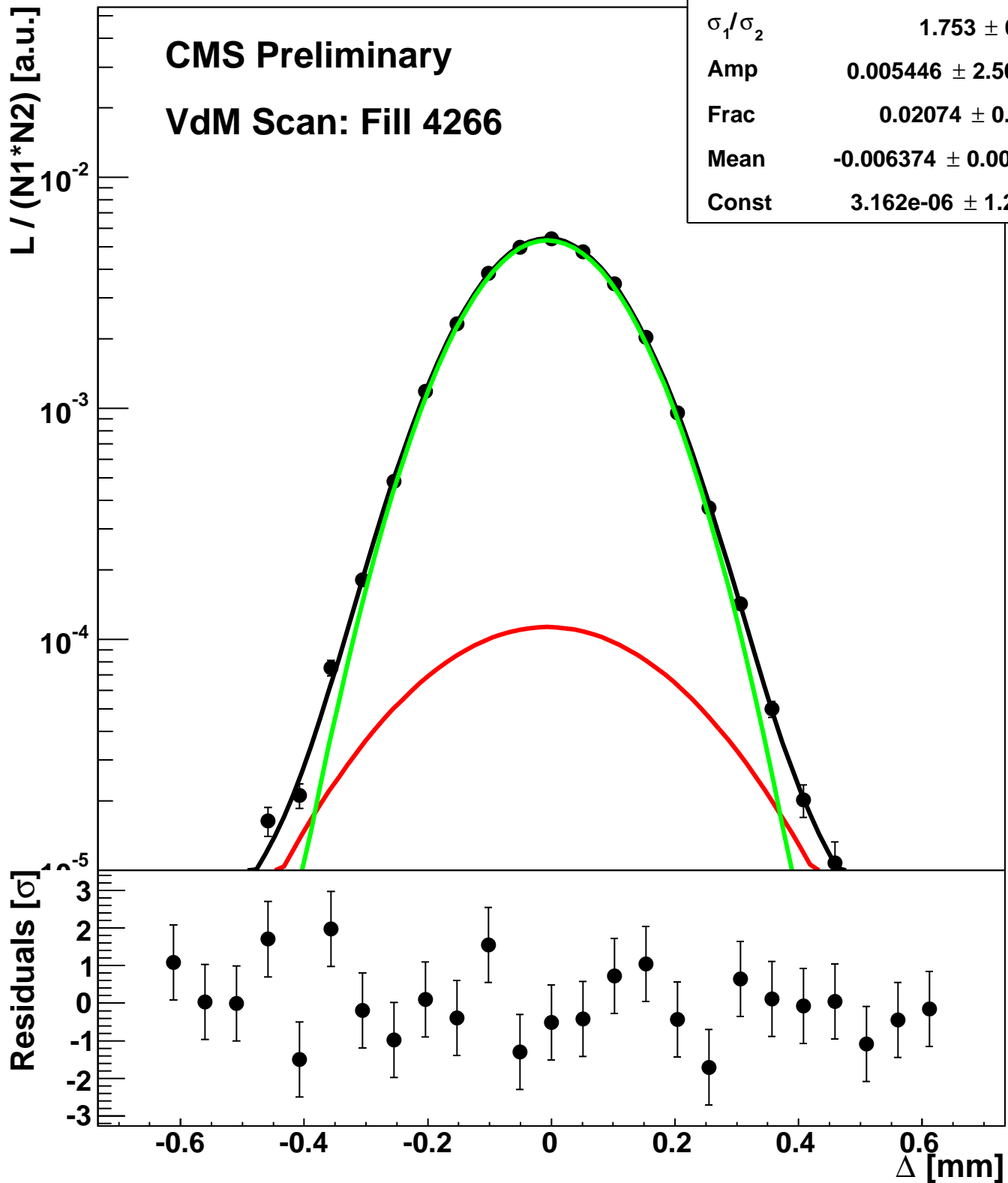


Scan 10: Y-plane BCID 811

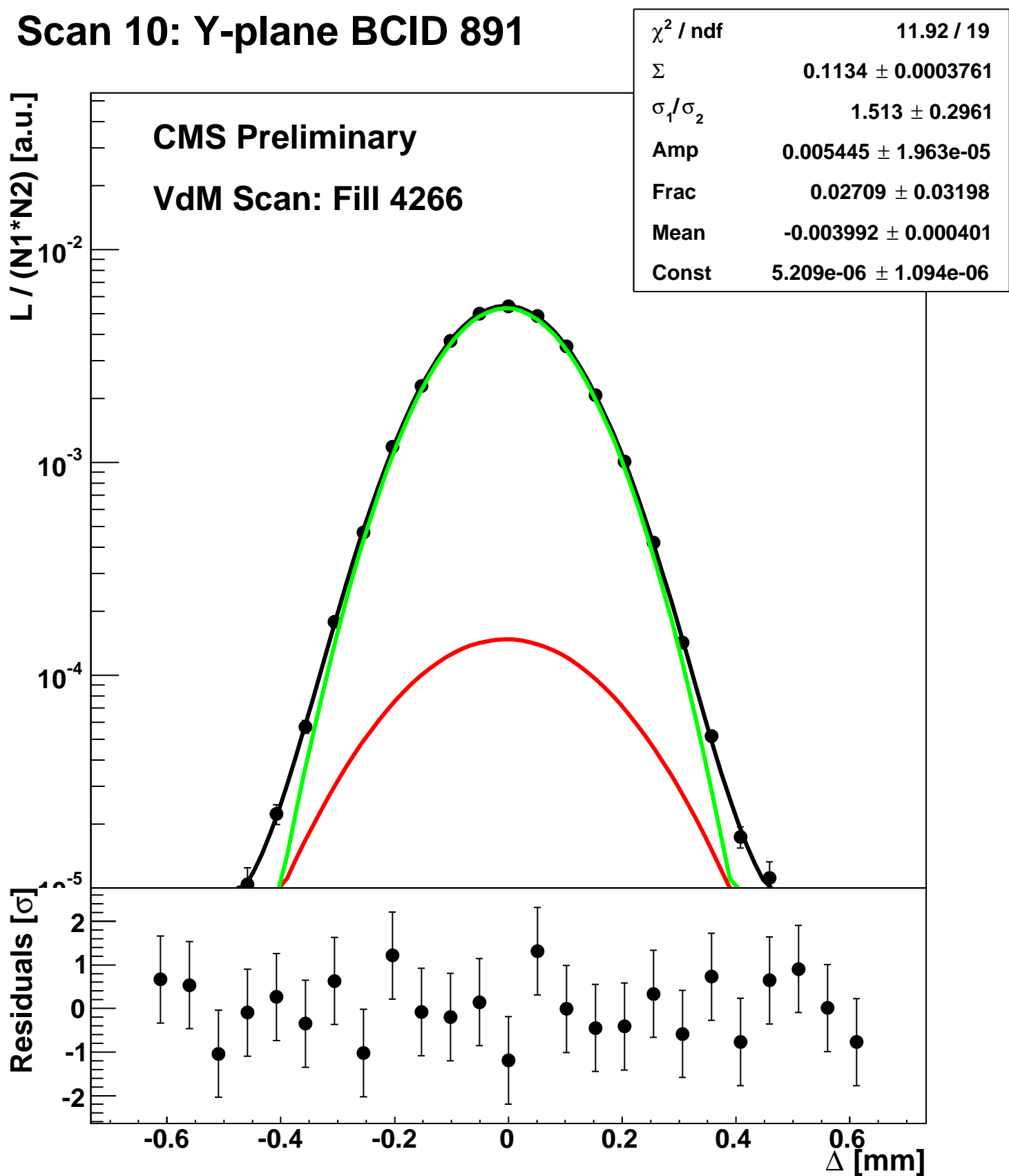


| | |
|-----------------------|---|
| χ^2 / ndf | 23.9 / 19 |
| Σ | 0.1138 ± 0.0003669 |
| σ_1 / σ_2 | 1.56 ± 0.1982 |
| Amp | $0.005407 \pm 2.552\text{e-}05$ |
| Frac | 0.0369 ± 0.02812 |
| Mean | -0.004482 ± 0.0003288 |
| Const | $4.307\text{e-}06 \pm 8.874\text{e-}07$ |

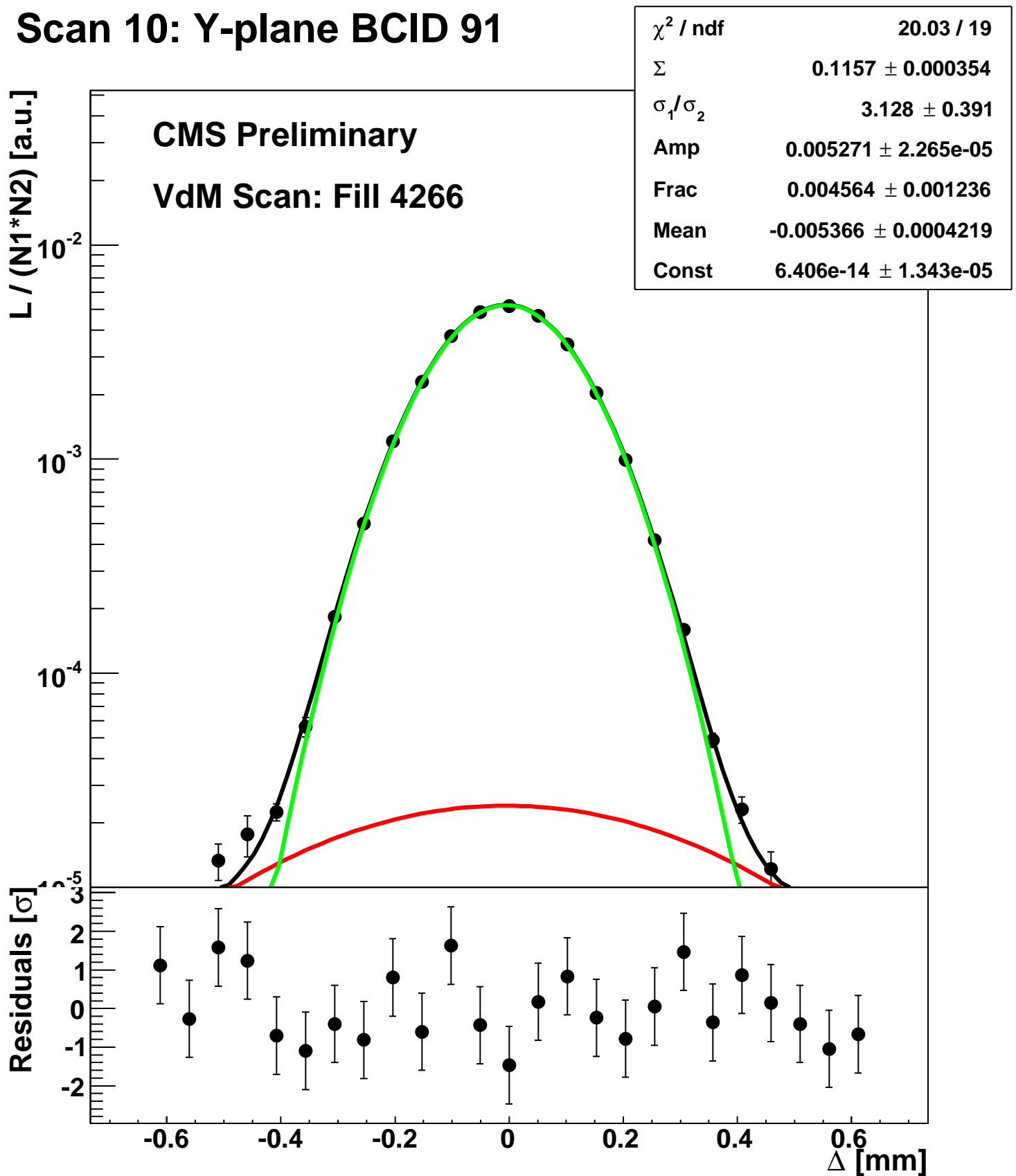
Scan 10: Y-plane BCID 851



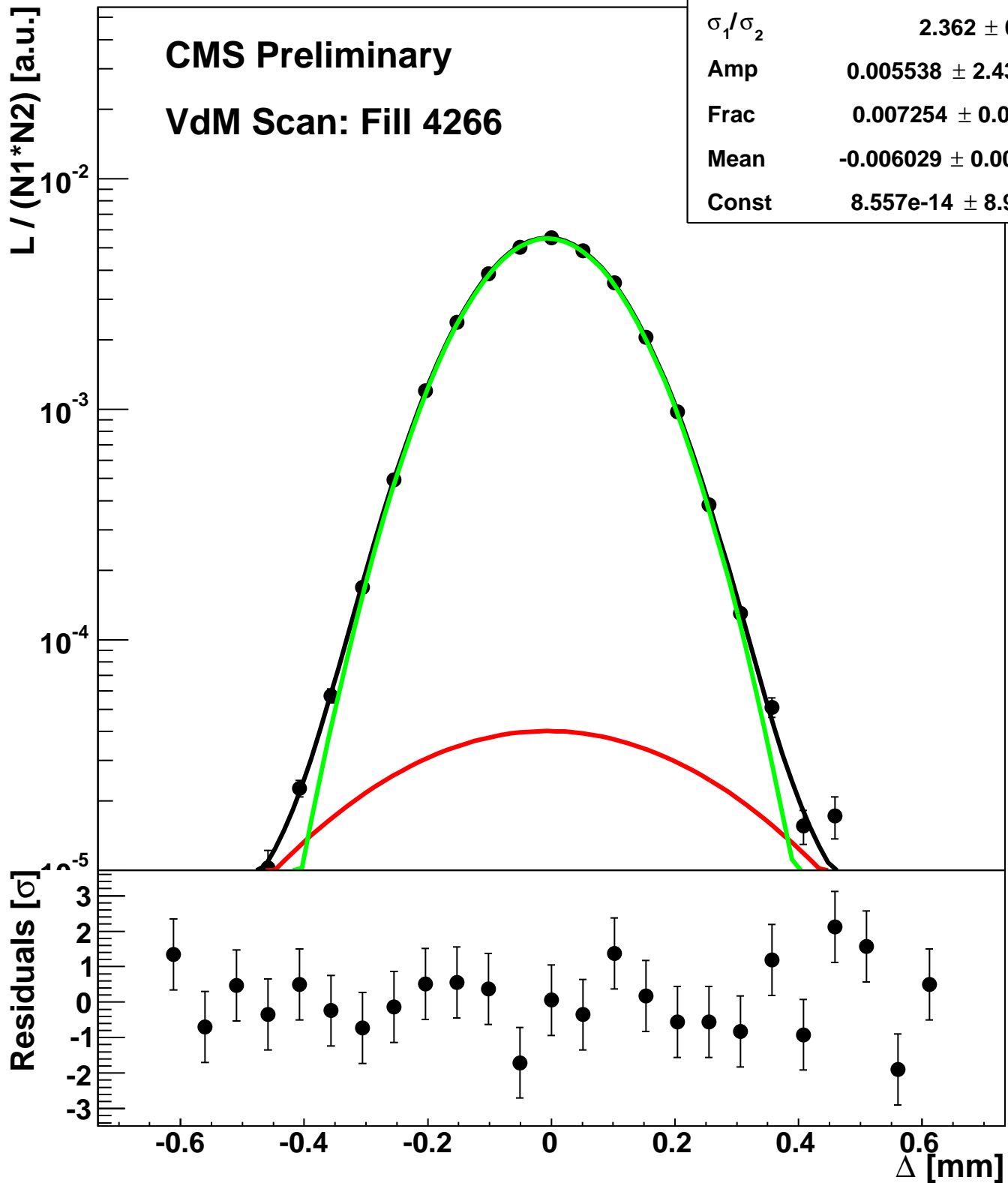
Scan 10: Y-plane BCID 891



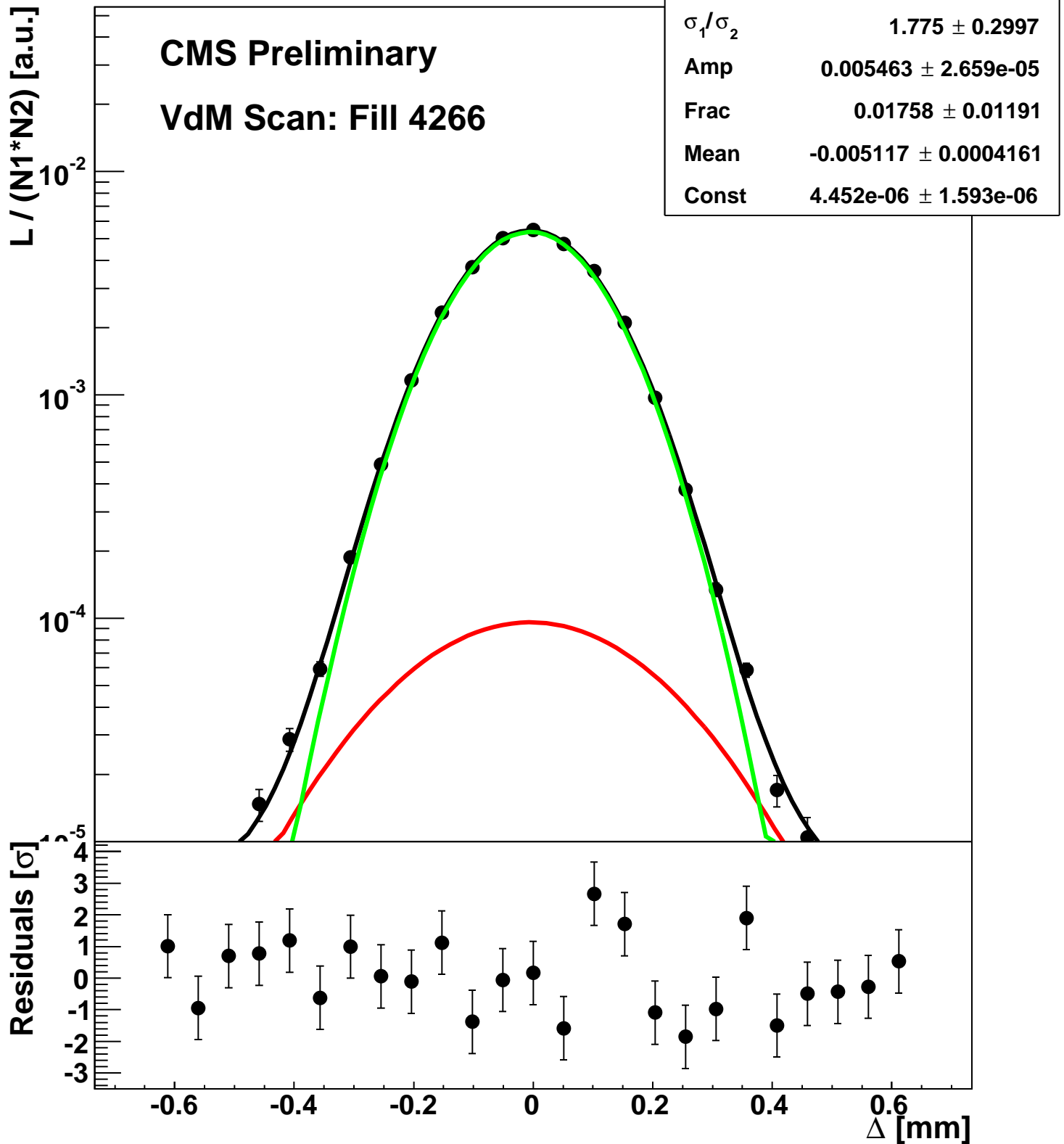
Scan 10: Y-plane BCID 91



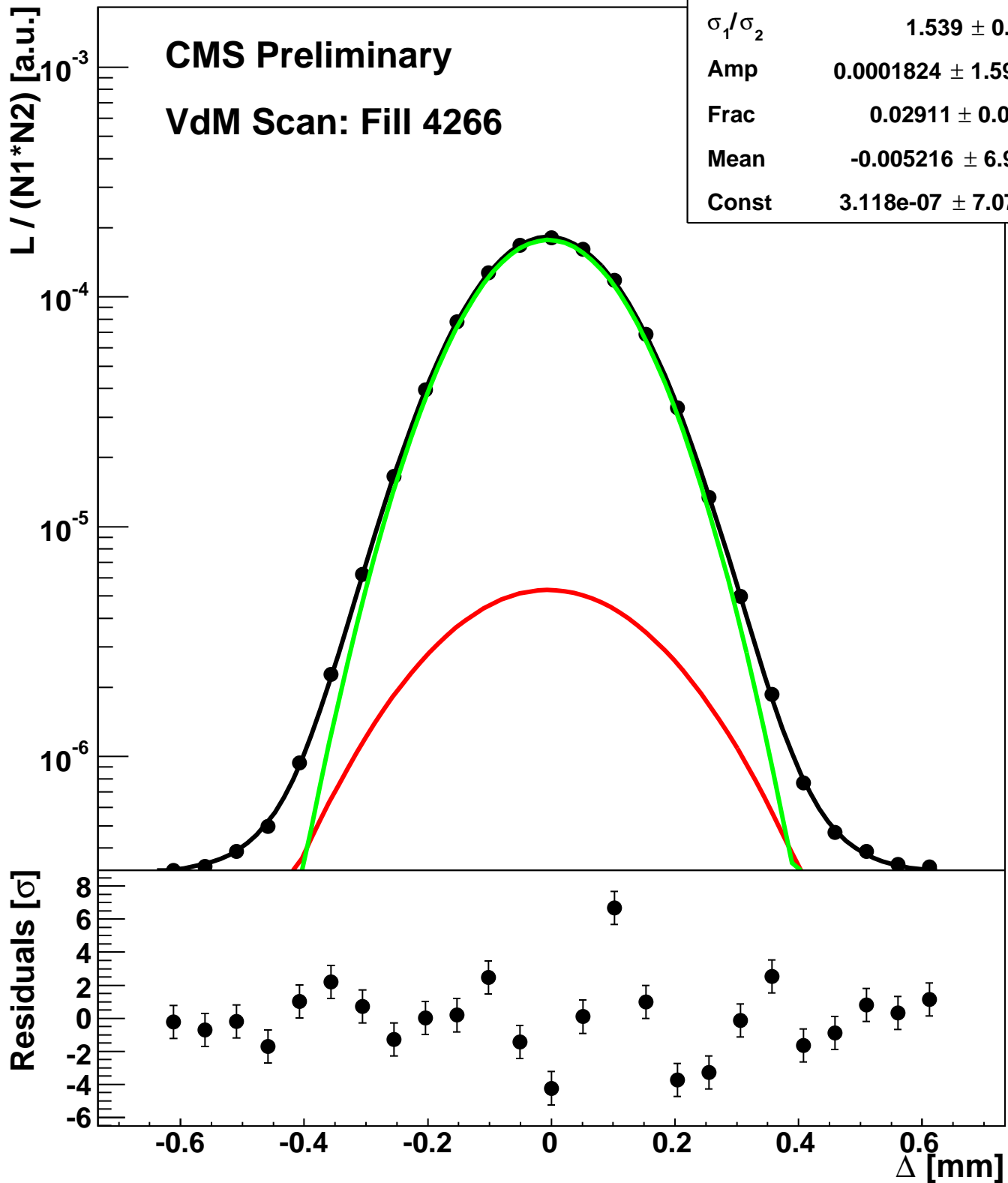
Scan 10: Y-plane BCID 931



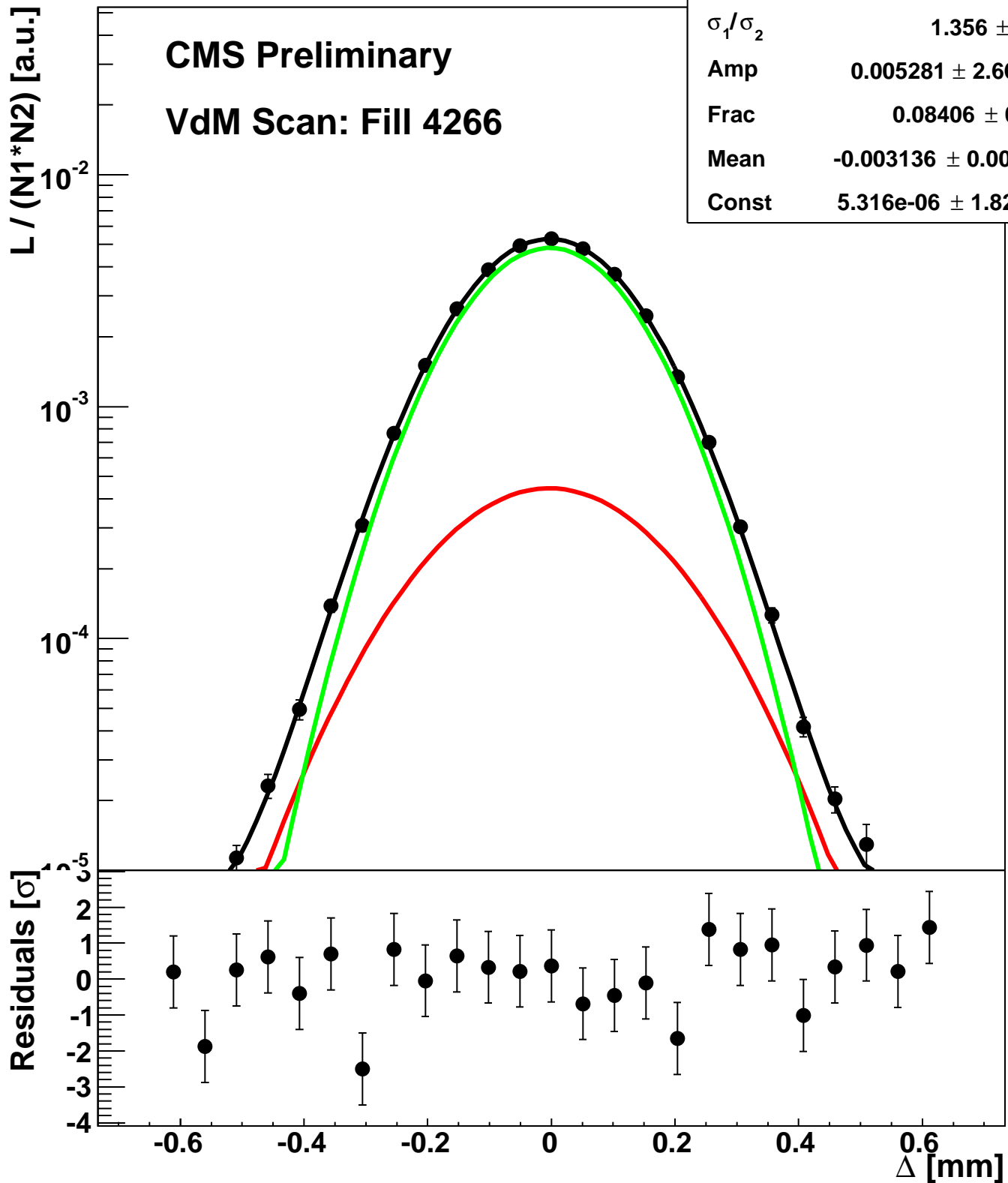
Scan 10: Y-plane BCID 971



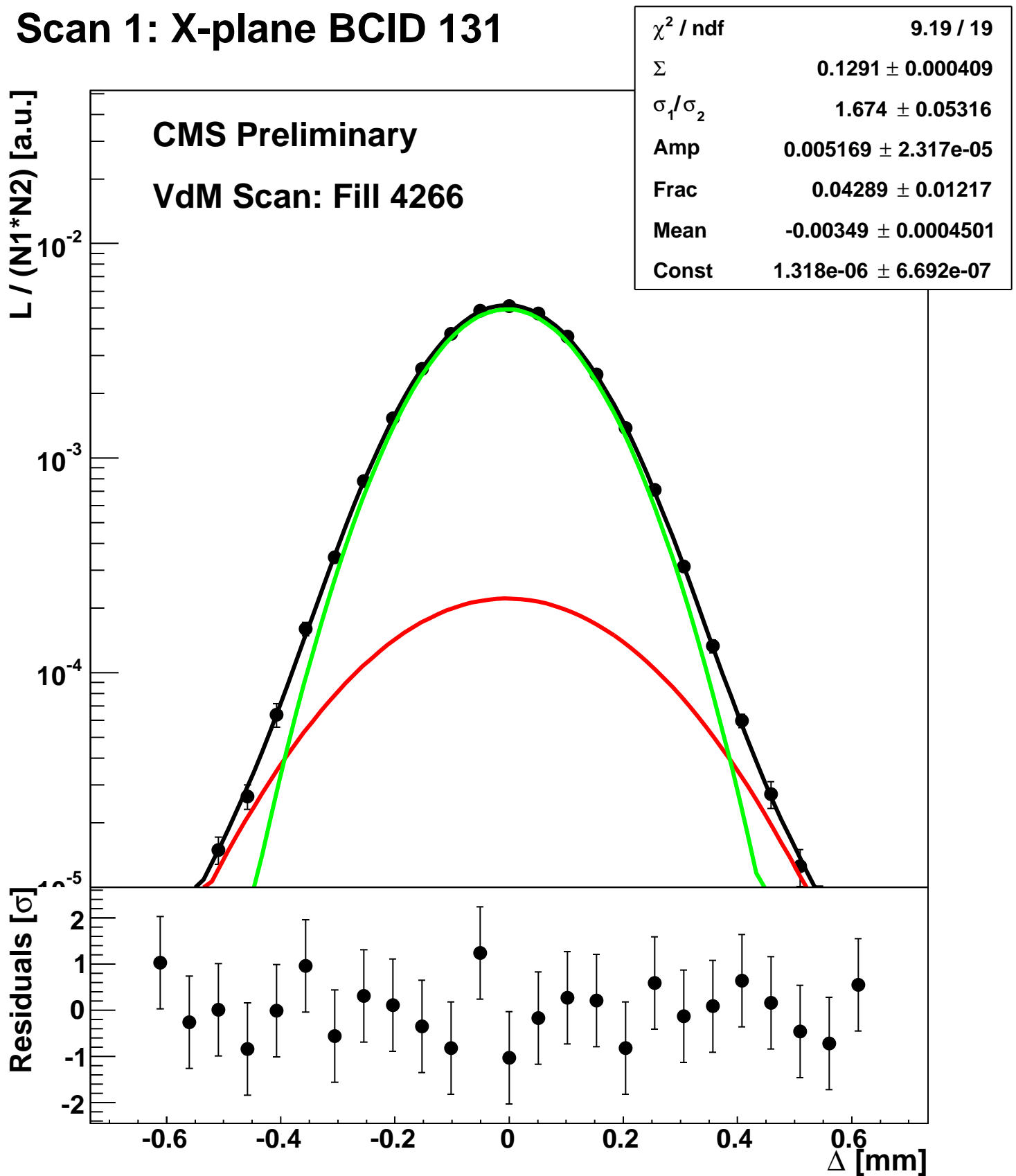
Scan 10: Y-plane BCID sum



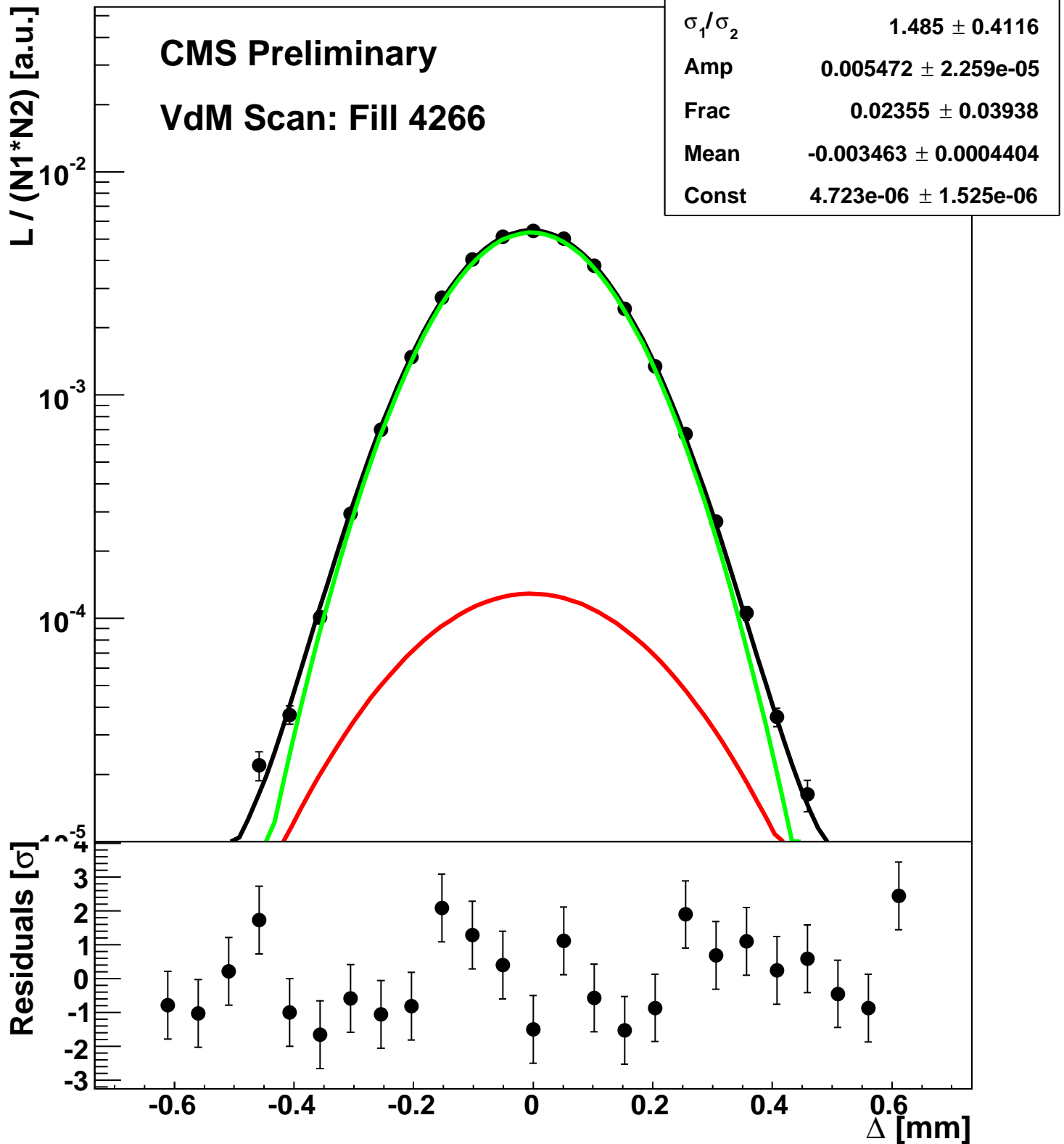
Scan 1: X-plane BCID 1011



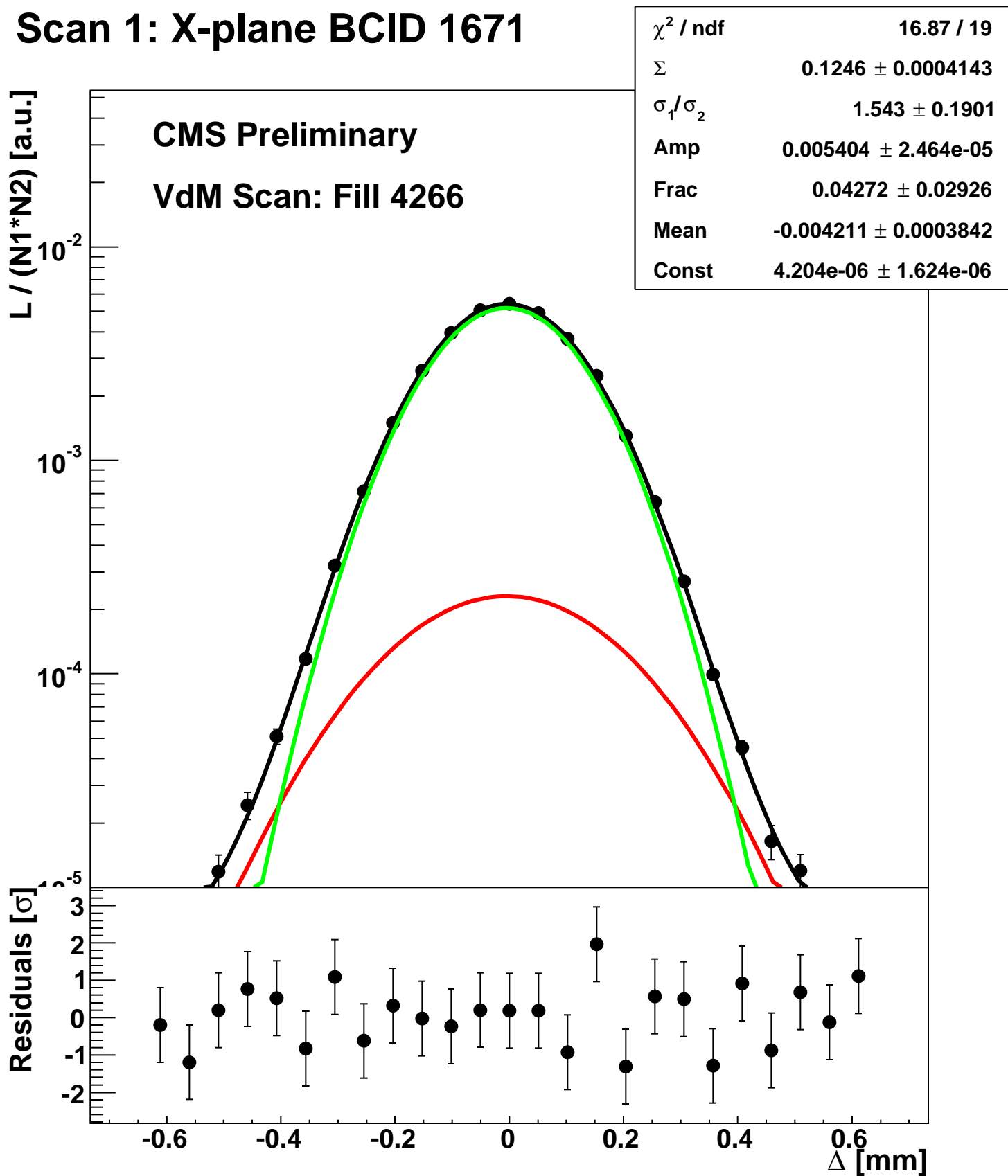
Scan 1: X-plane BCID 131



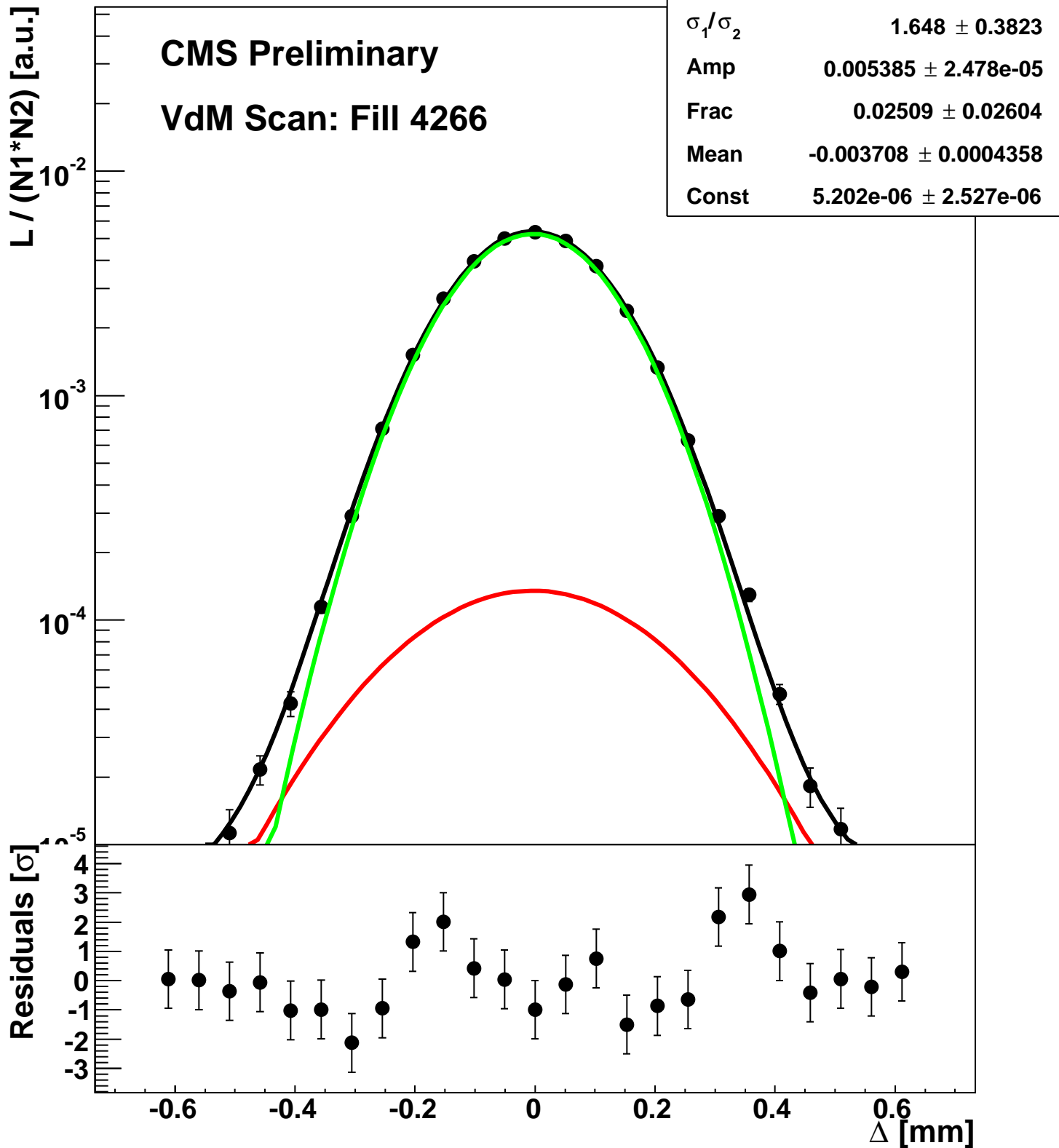
Scan 1: X-plane BCID 1631



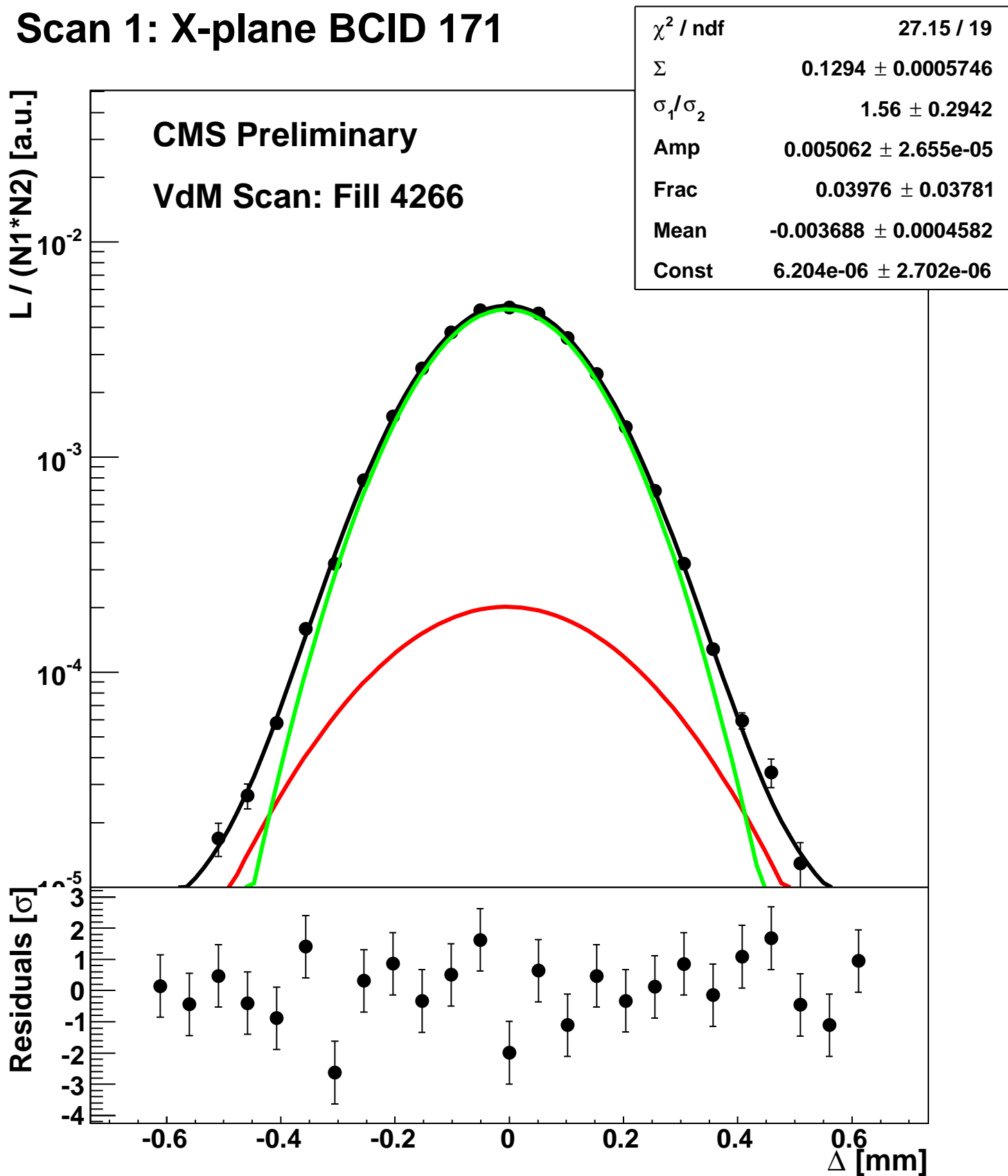
Scan 1: X-plane BCID 1671



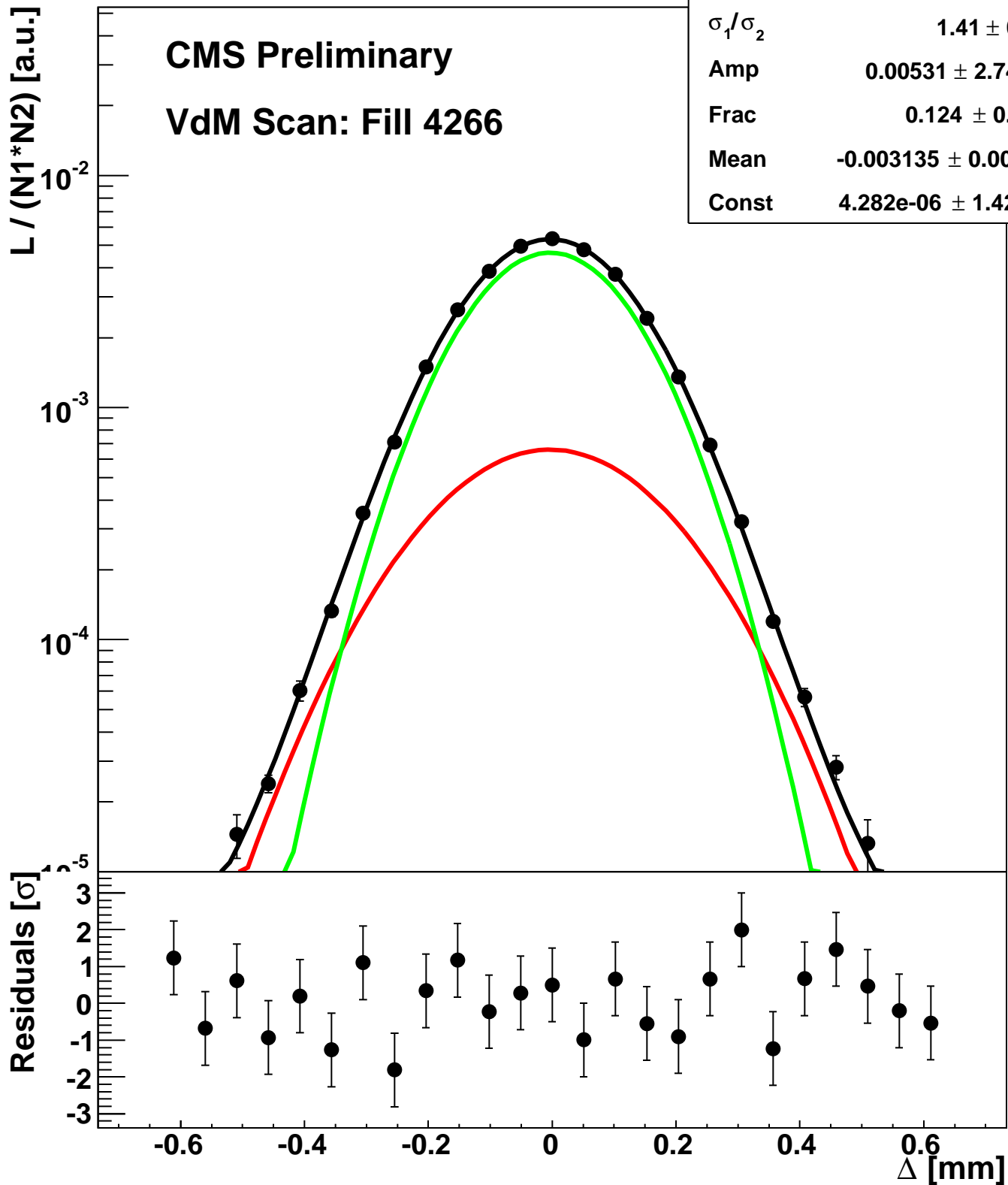
Scan 1: X-plane BCID 1711



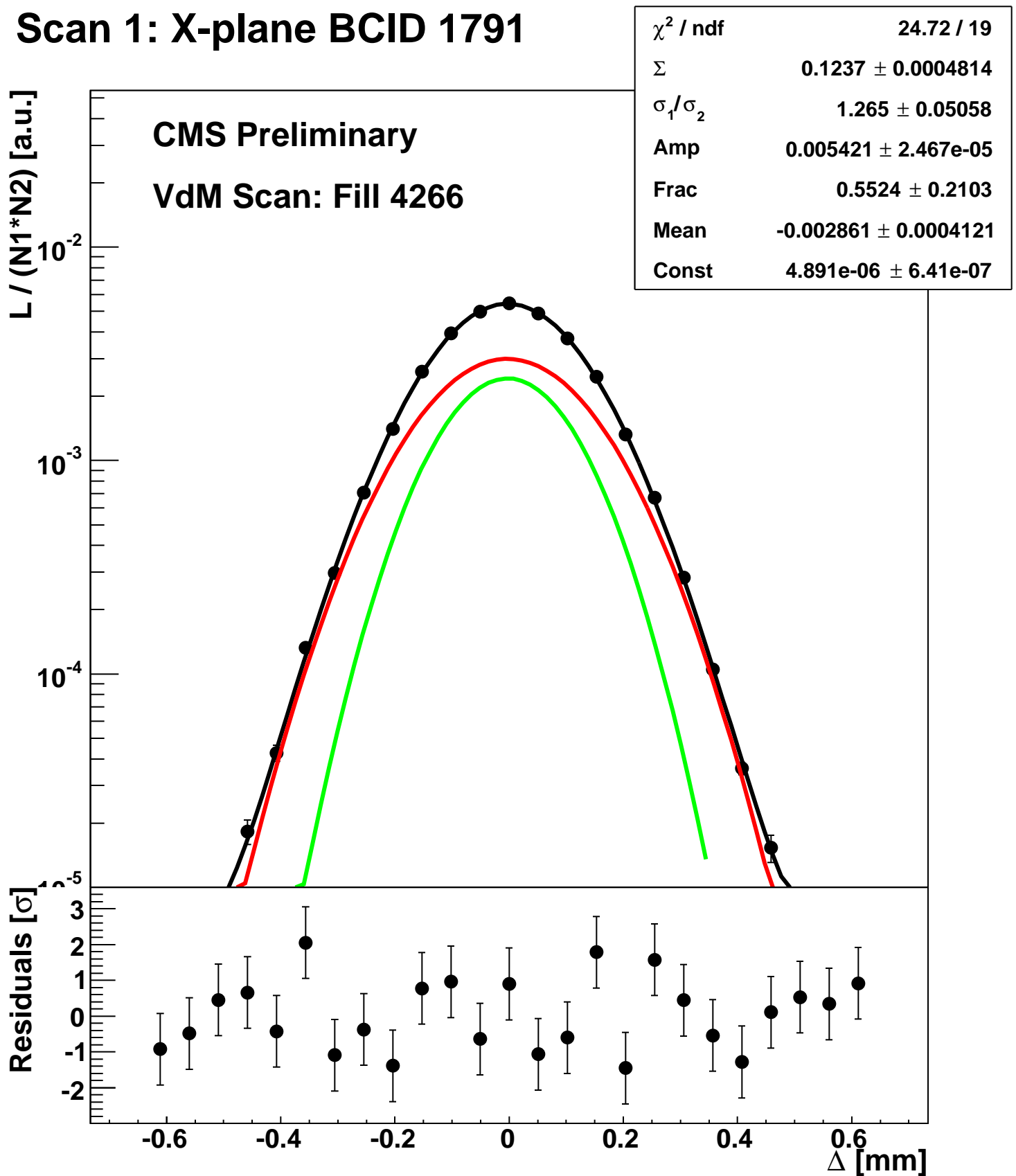
Scan 1: X-plane BCID 171



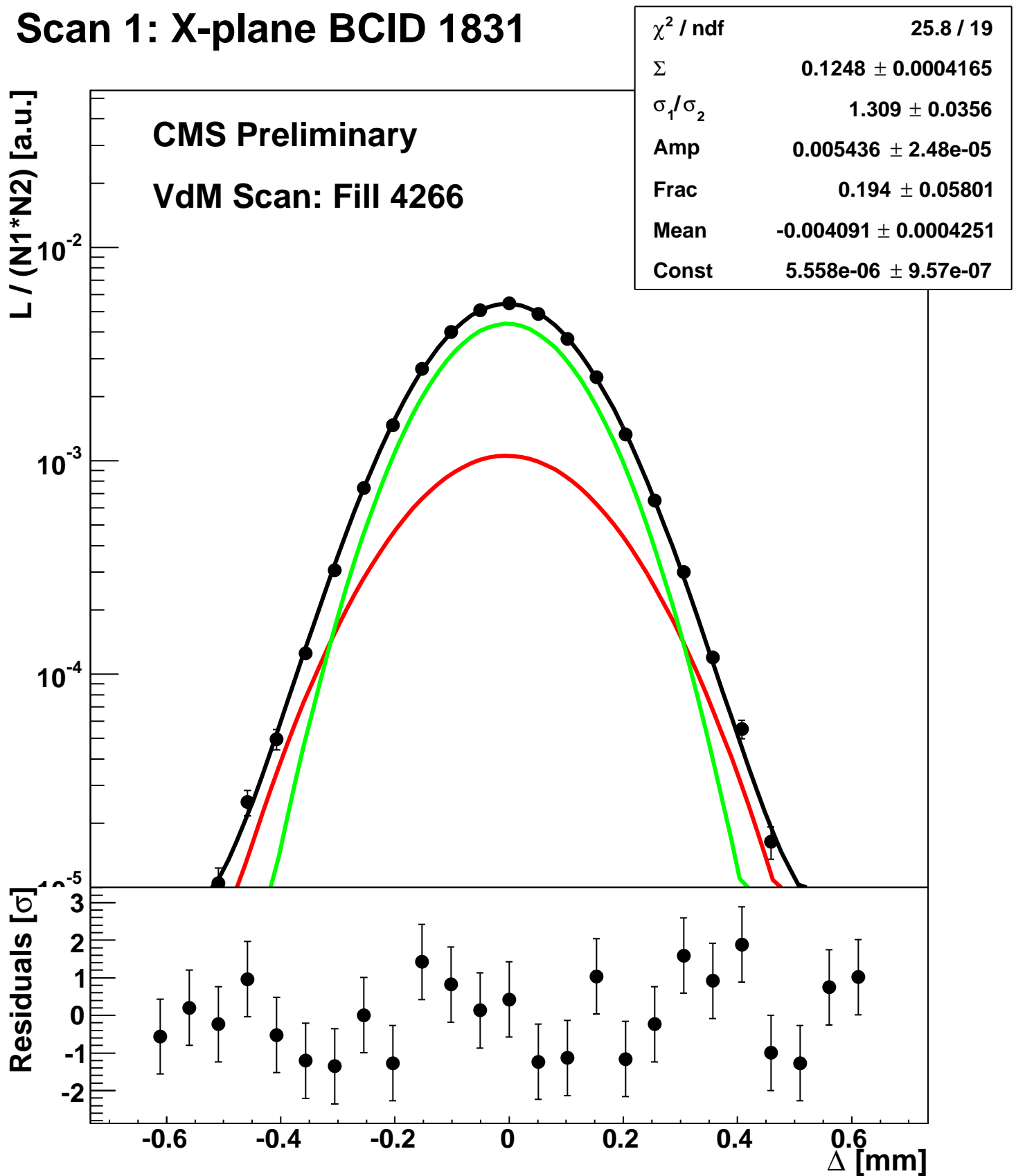
Scan 1: X-plane BCID 1751



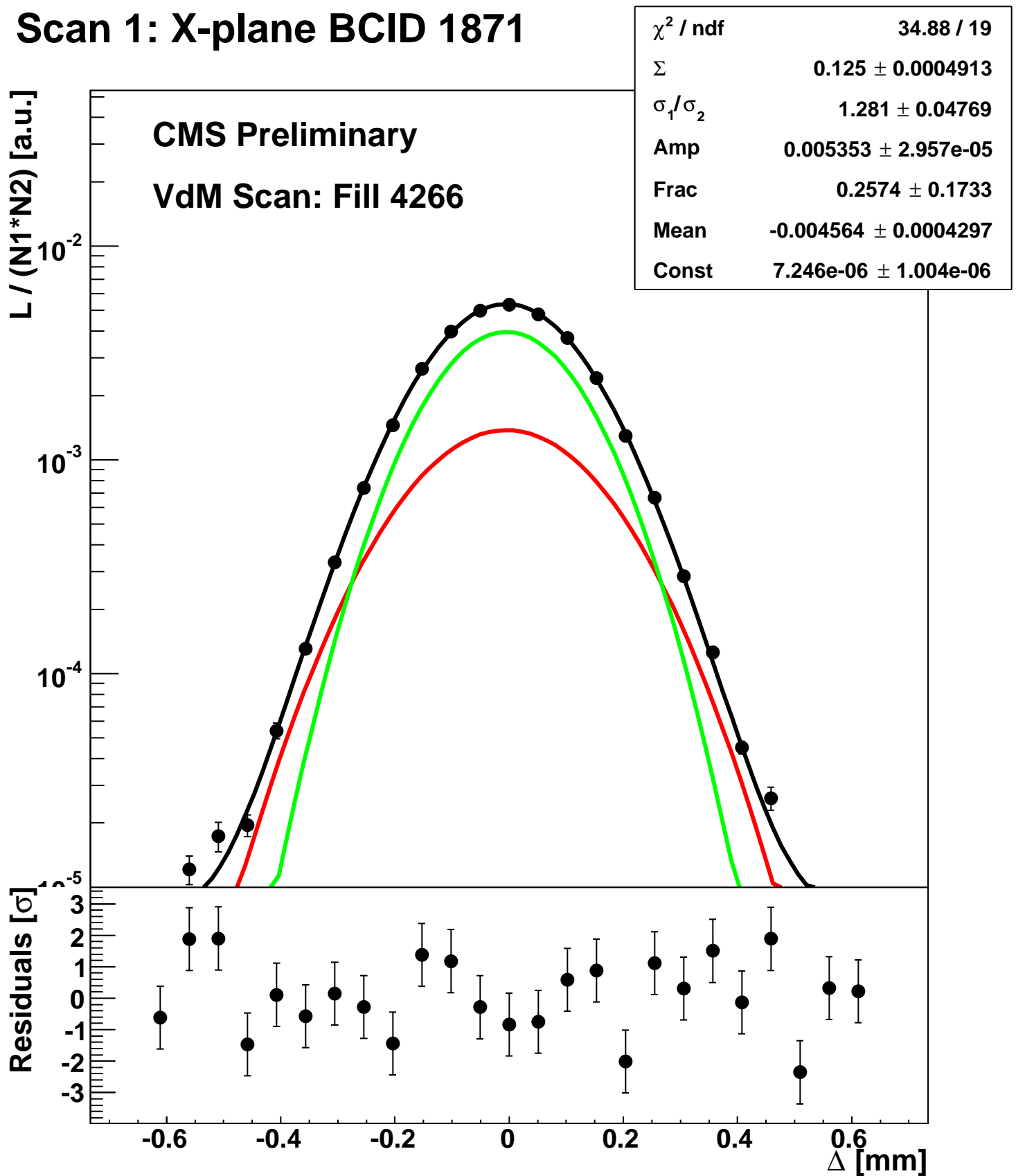
Scan 1: X-plane BCID 1791



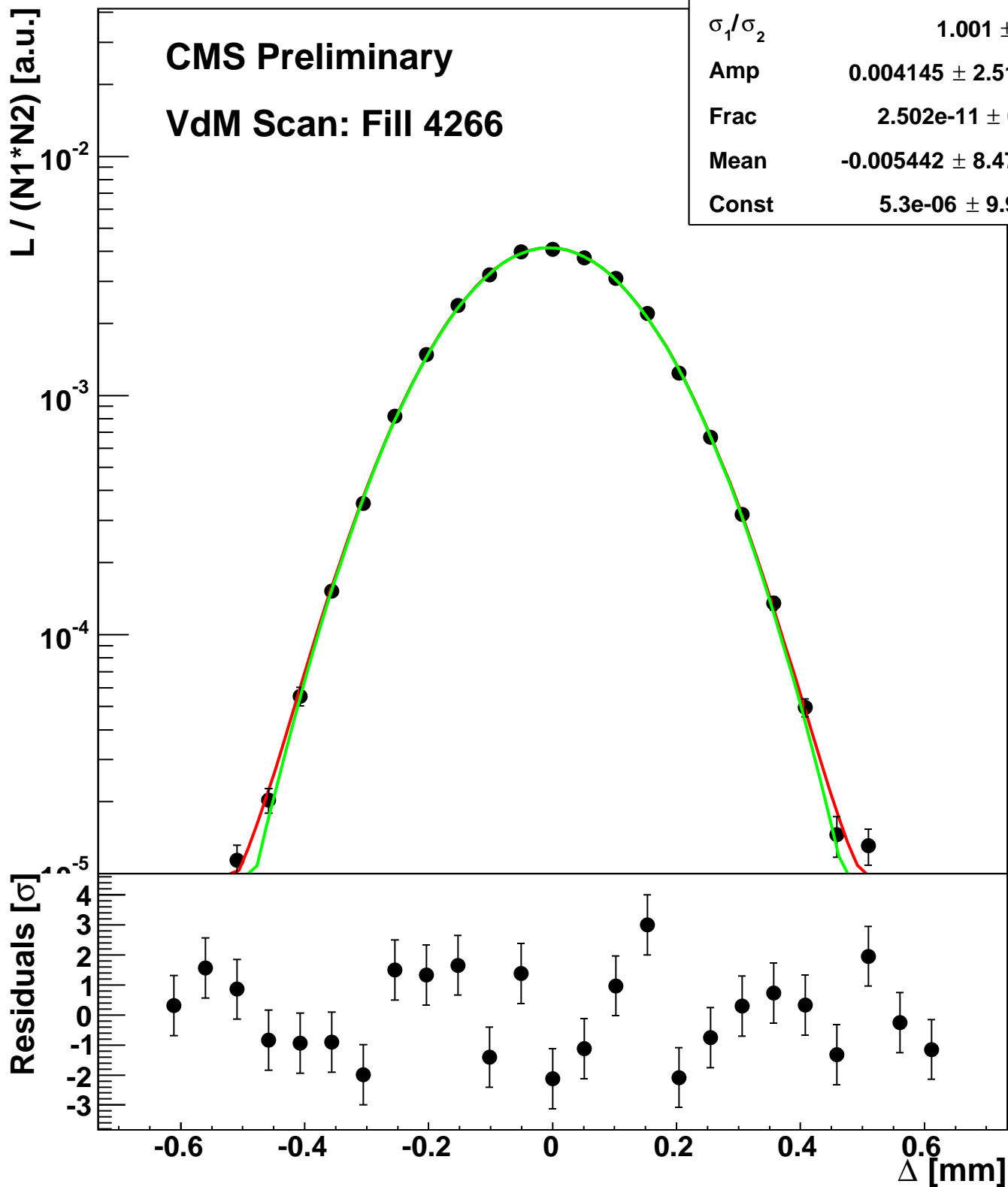
Scan 1: X-plane BCID 1831



Scan 1: X-plane BCID 1871

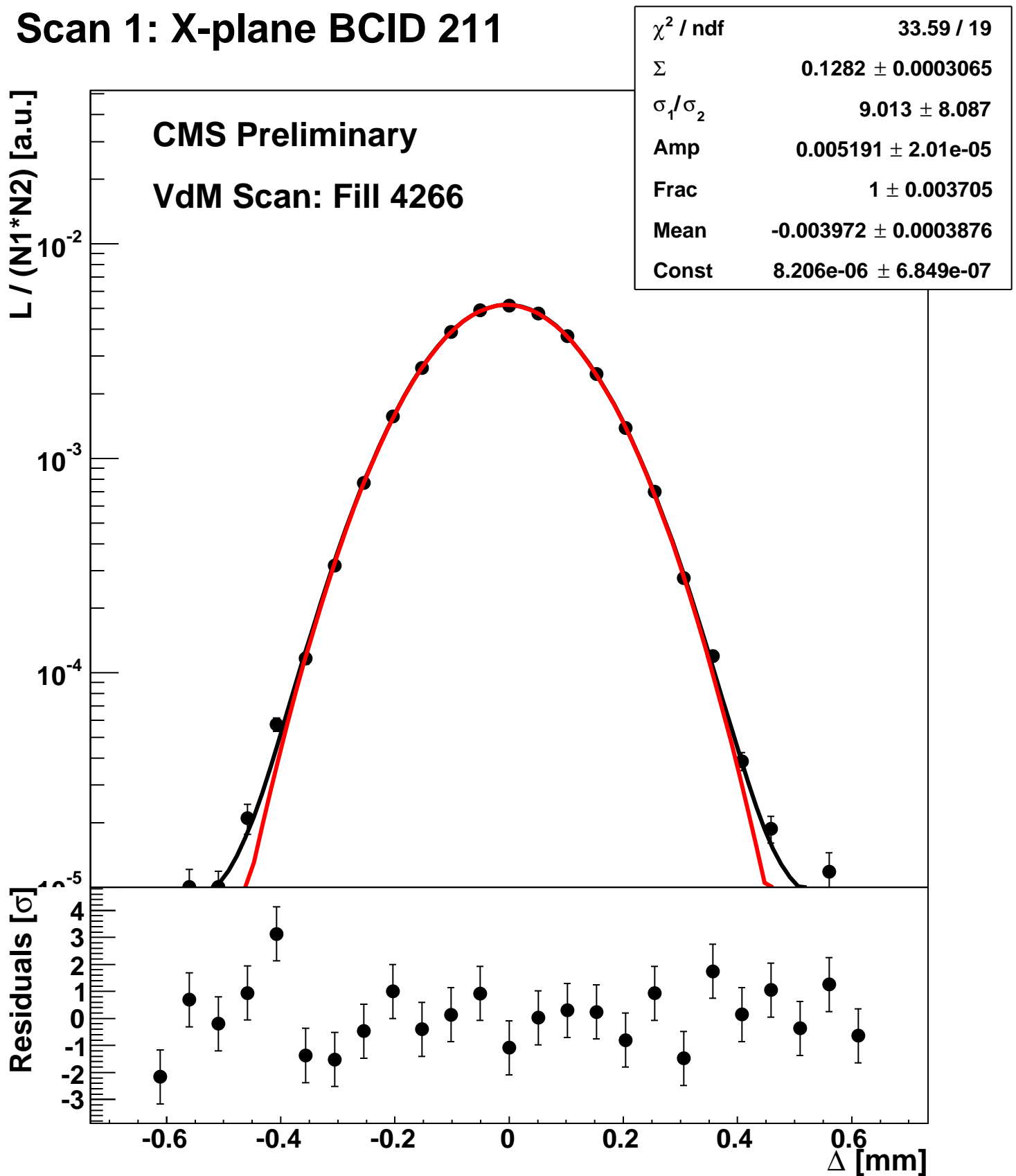


Scan 1: X-plane BCID 1

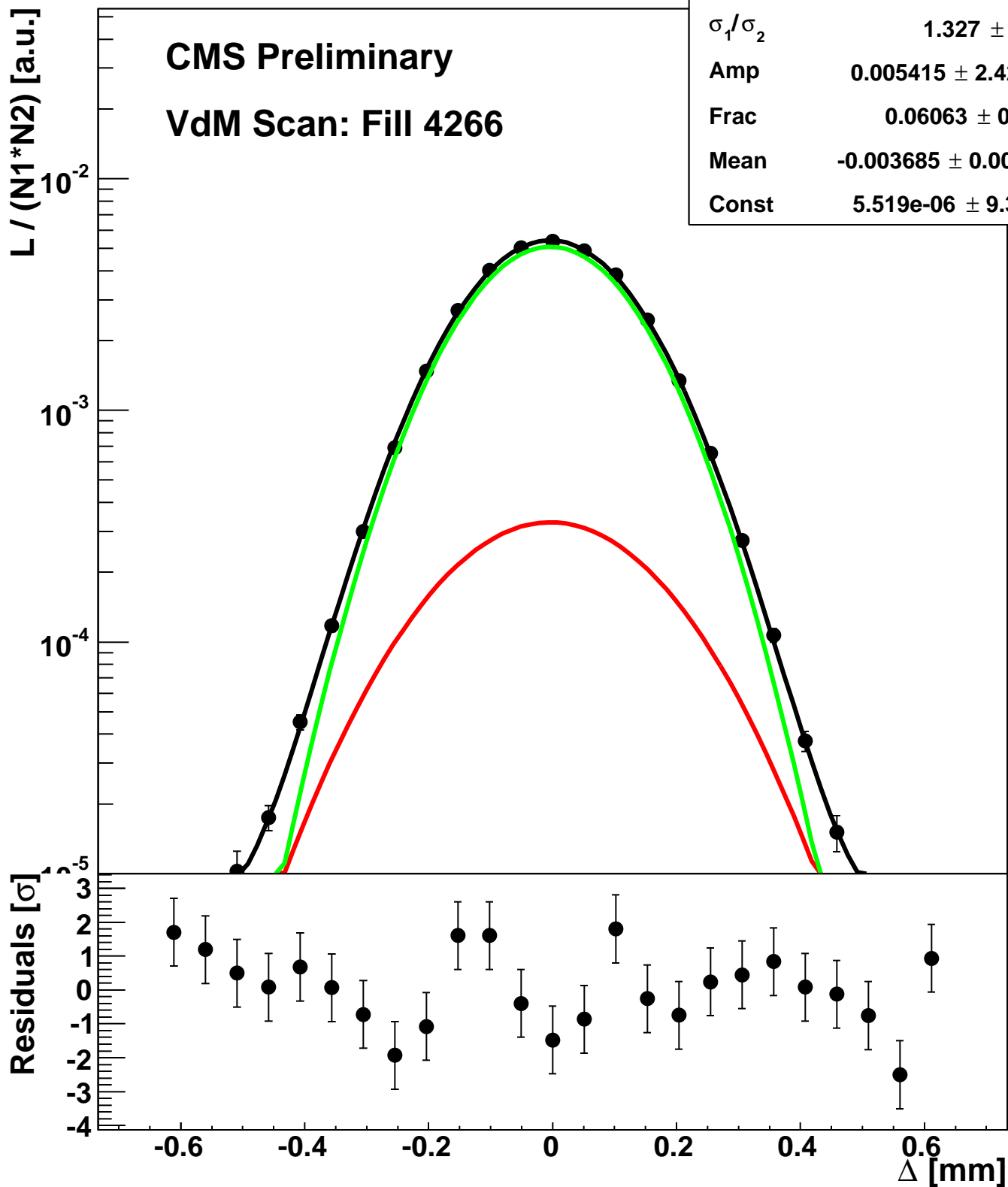


| | |
|-----------------------|--------------------------------------|
| χ^2 / ndf | 48.58 / 19 |
| Σ | $0.1366 \pm 4.868\text{e-}07$ |
| σ_1 / σ_2 | 1.001 ± 8.645 |
| Amp | $0.004145 \pm 2.519\text{e-}08$ |
| Frac | $2.502\text{e-}11 \pm 0.8048$ |
| Mean | $-0.005442 \pm 8.474\text{e-}07$ |
| Const | $5.3\text{e-}06 \pm 9.93\text{e-}10$ |

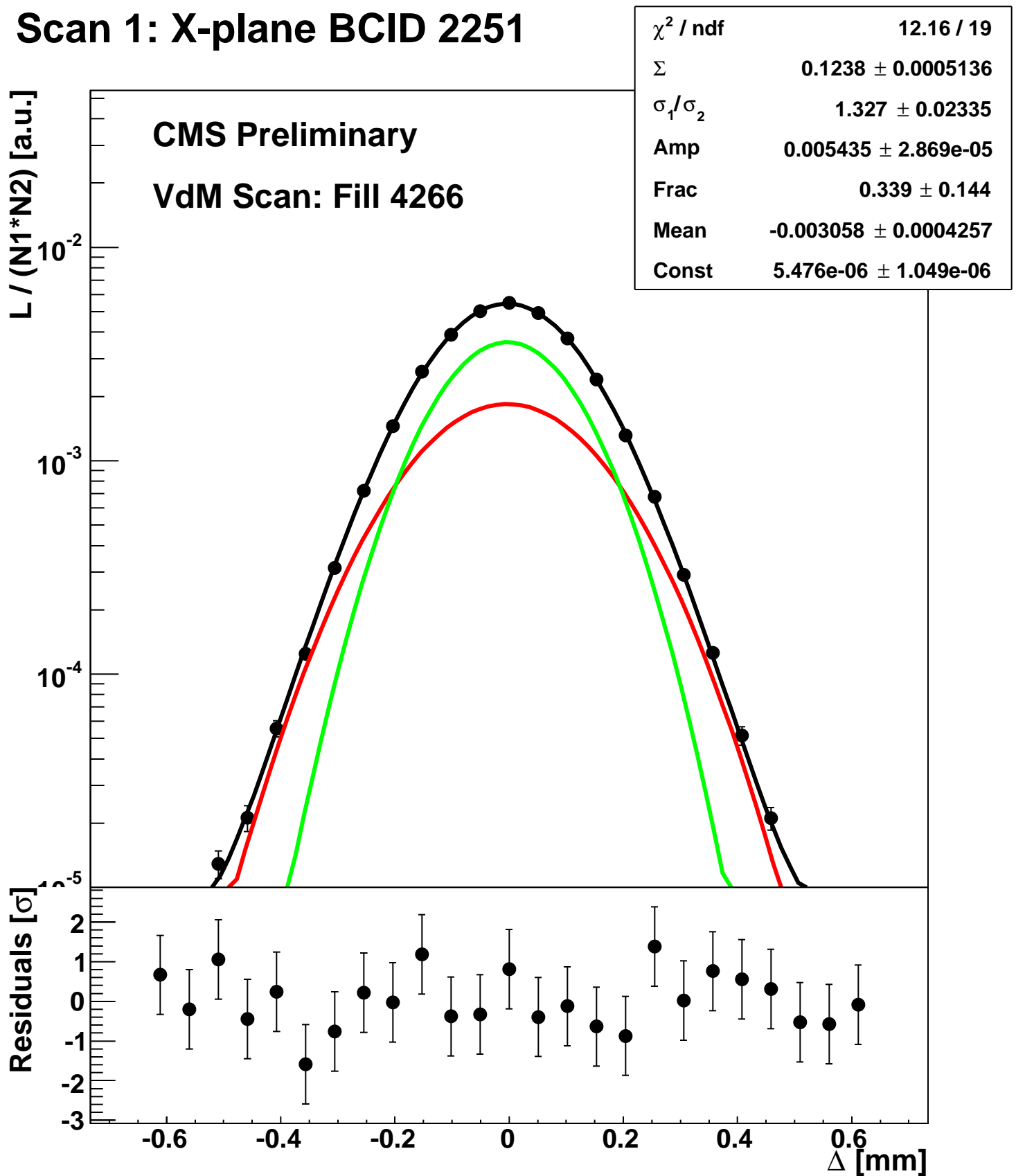
Scan 1: X-plane BCID 211



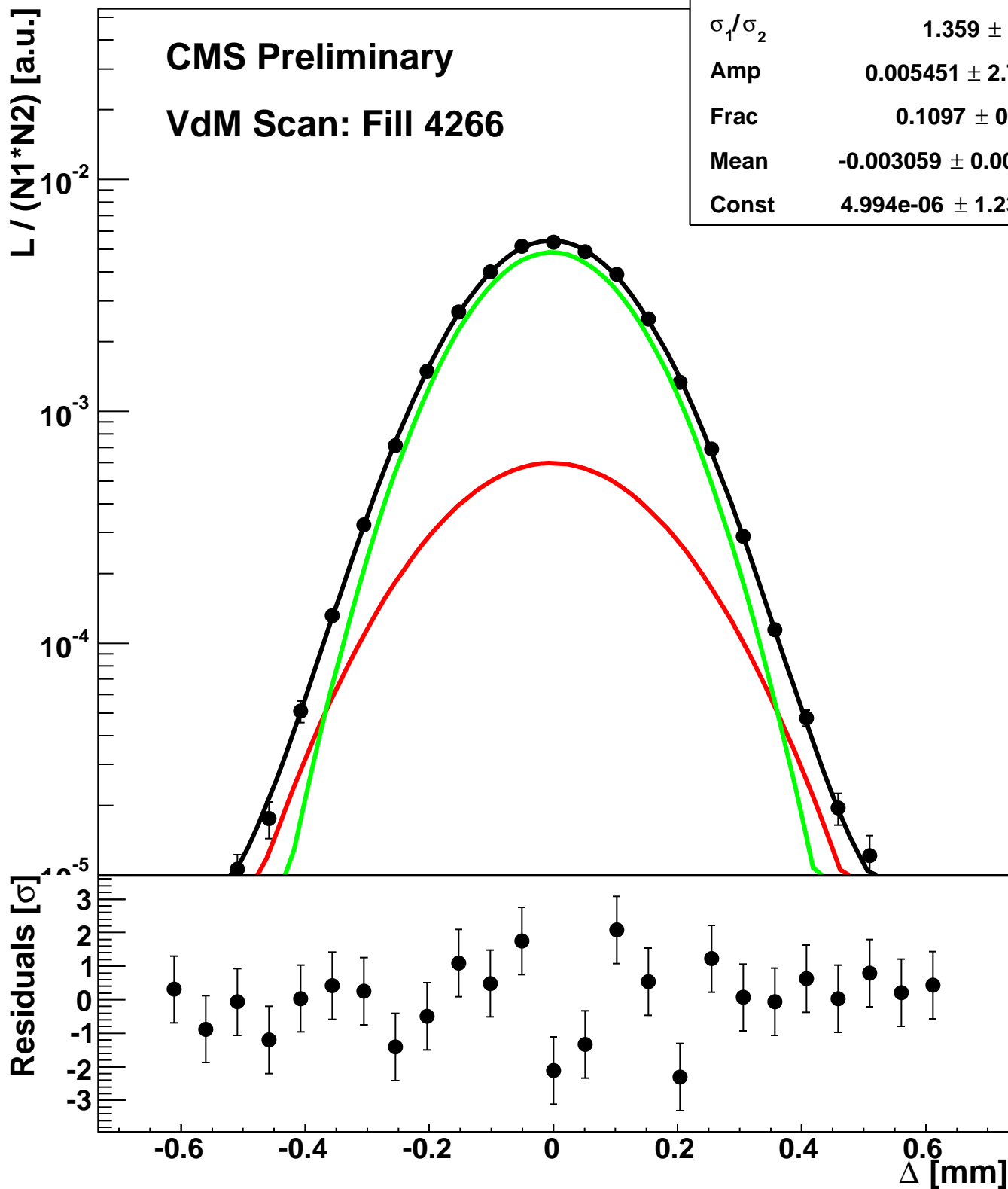
Scan 1: X-plane BCID 2211



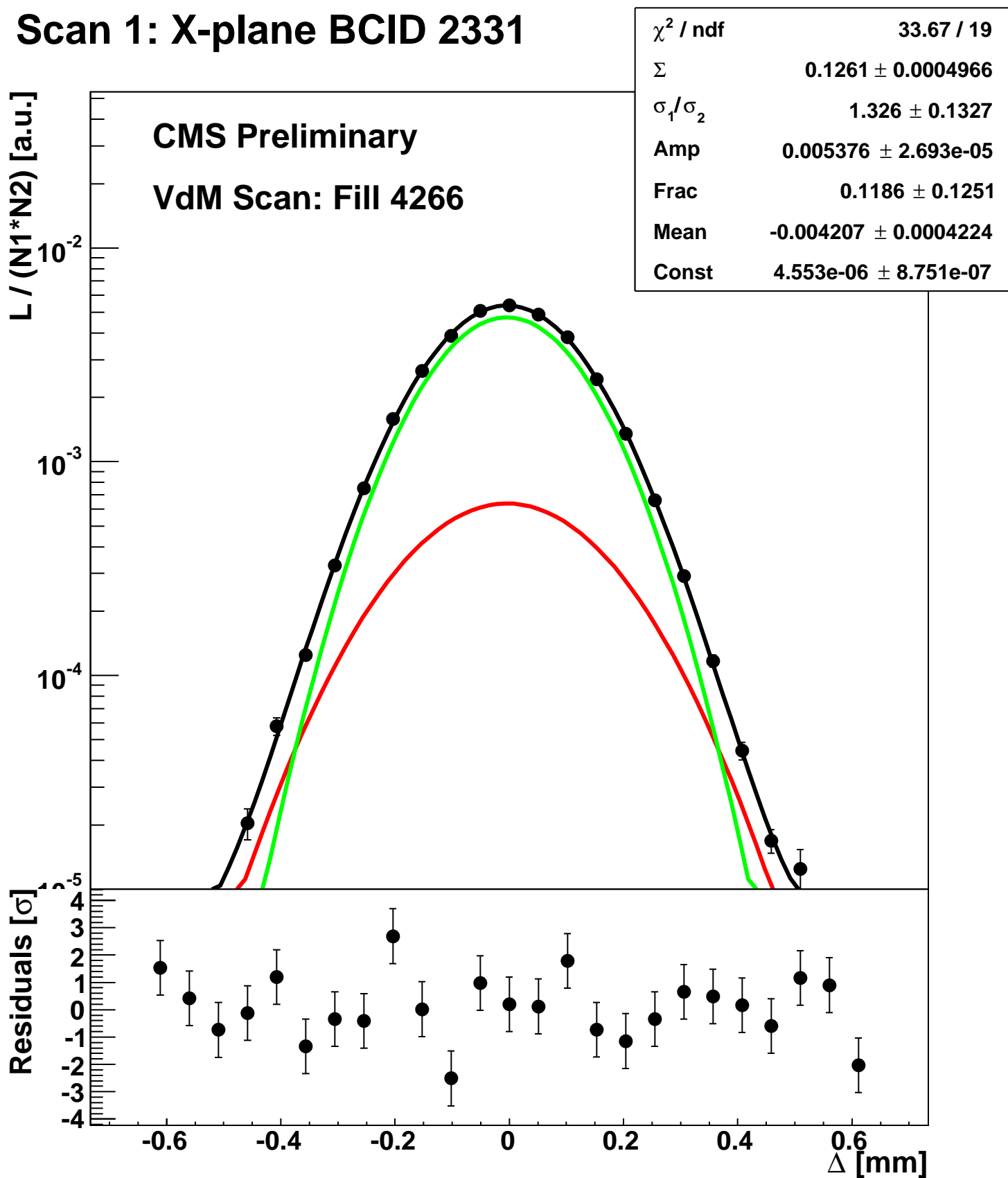
Scan 1: X-plane BCID 2251



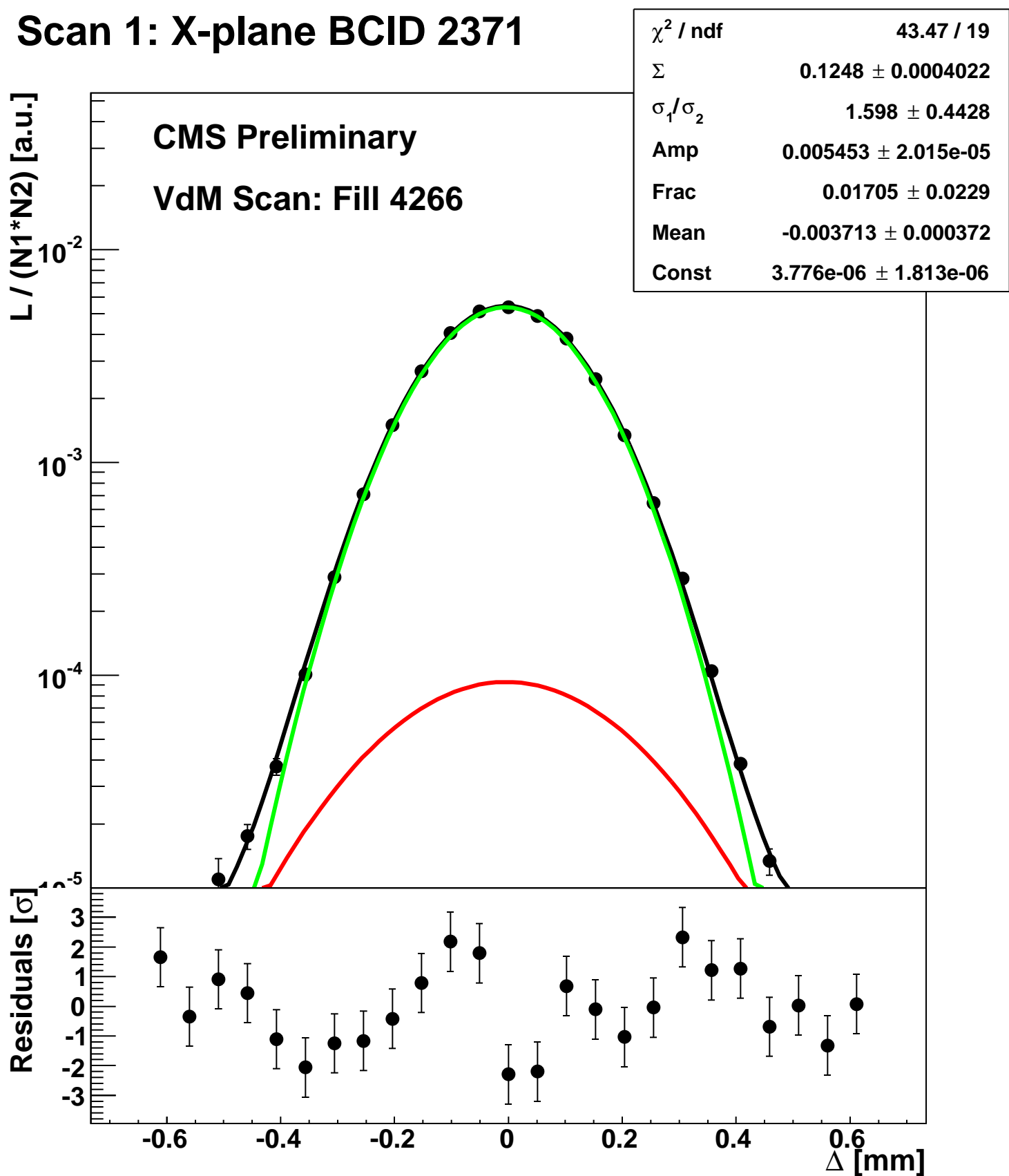
Scan 1: X-plane BCID 2291



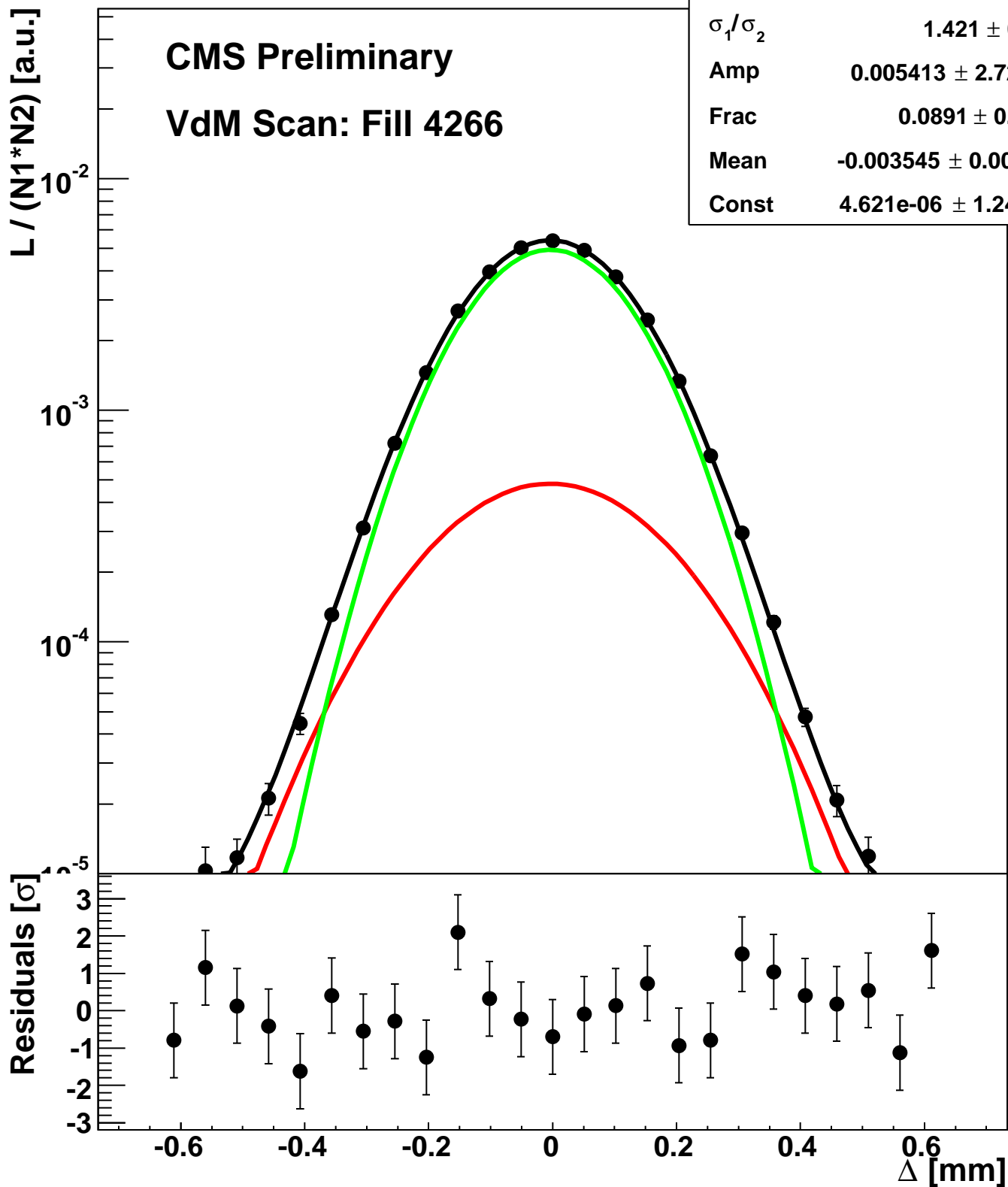
Scan 1: X-plane BCID 2331



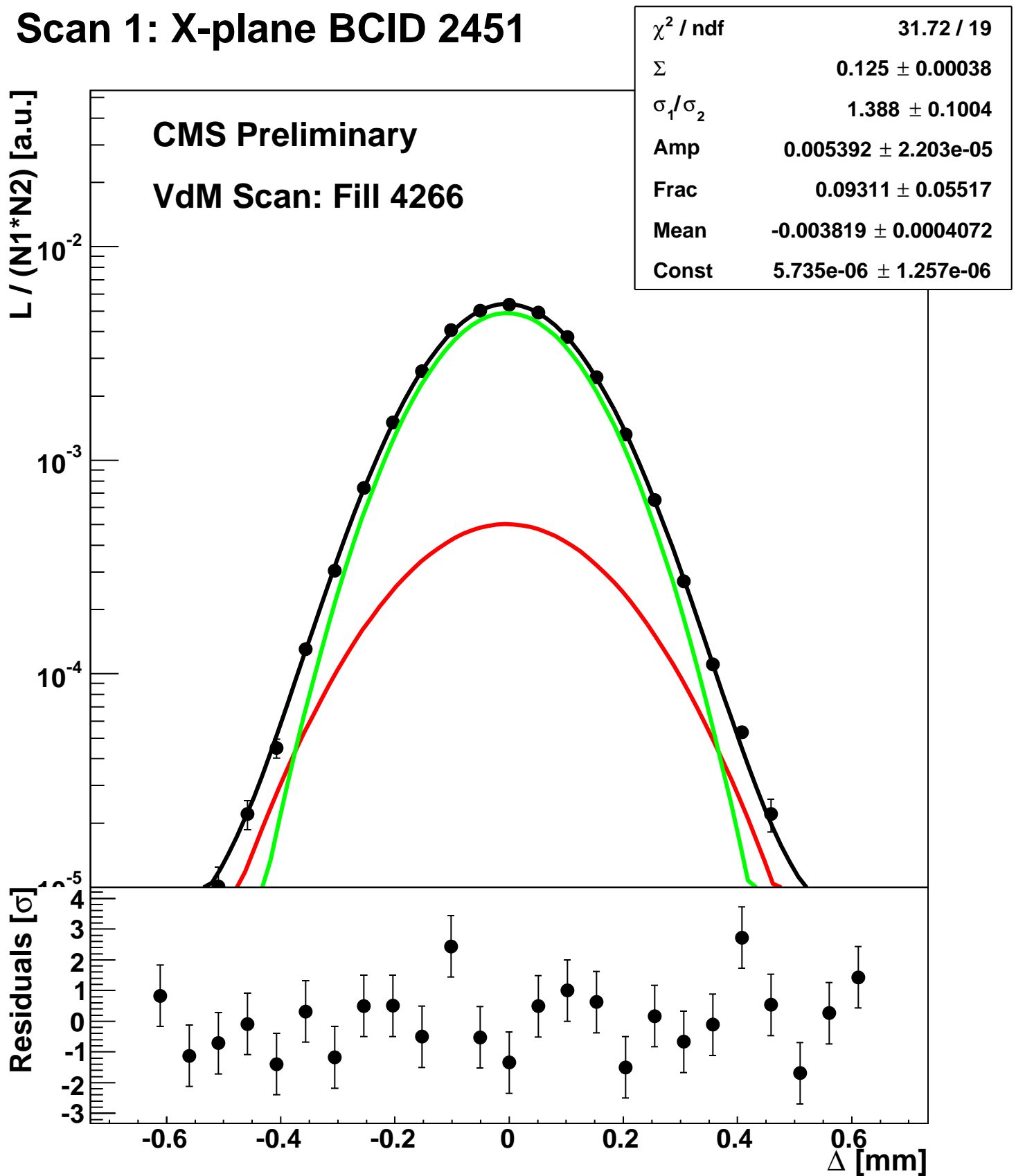
Scan 1: X-plane BCID 2371



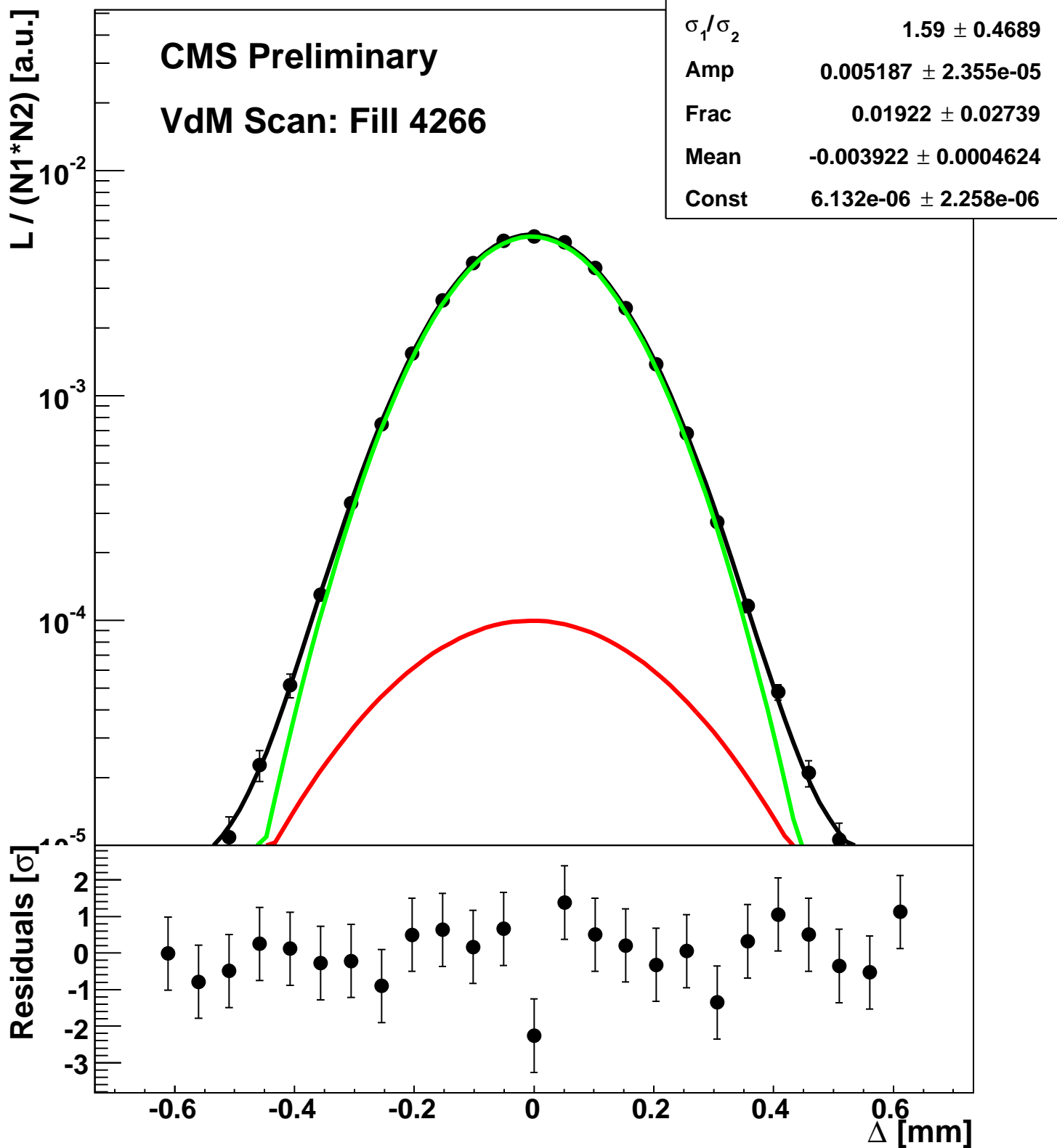
Scan 1: X-plane BCID 2411



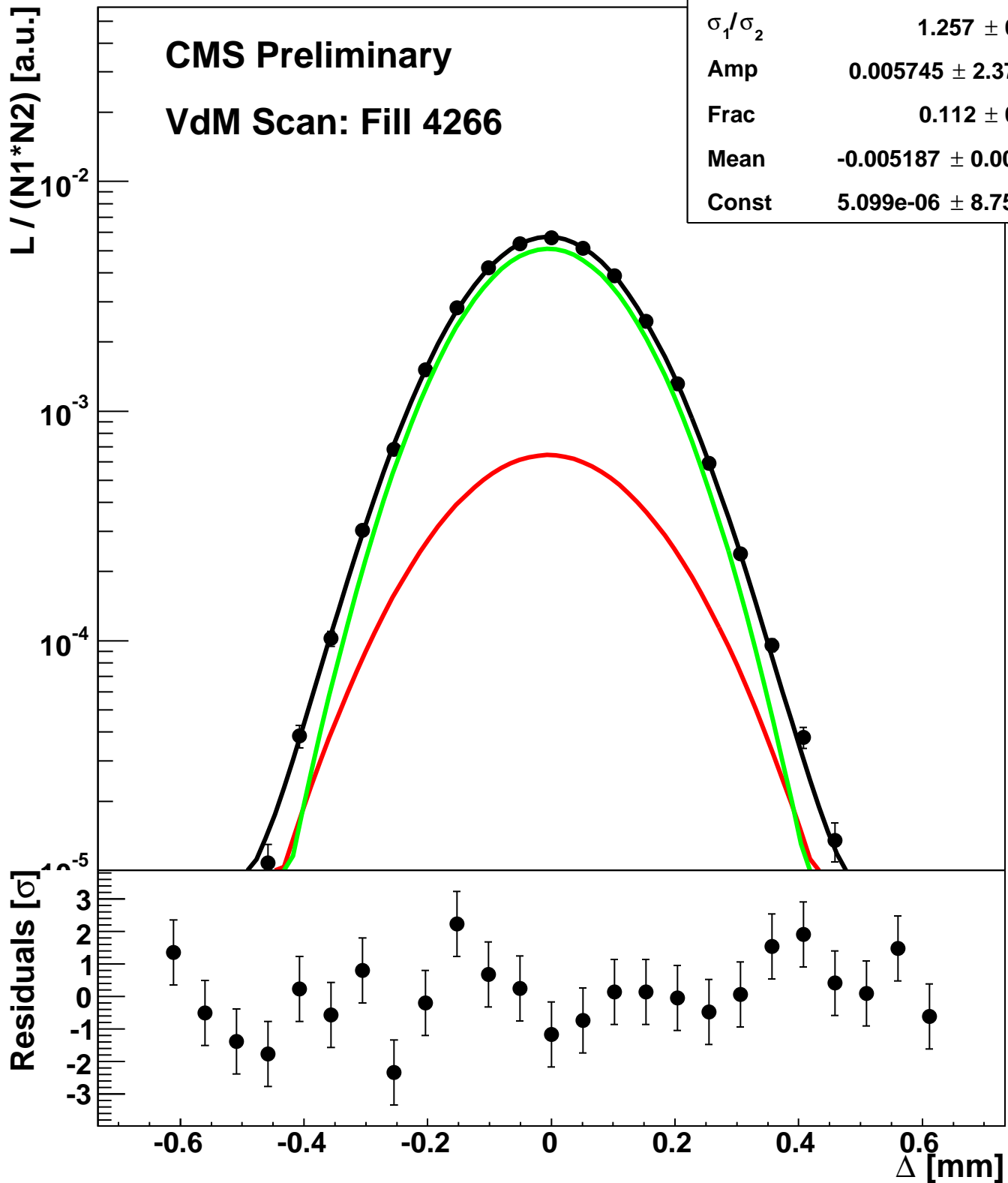
Scan 1: X-plane BCID 2451



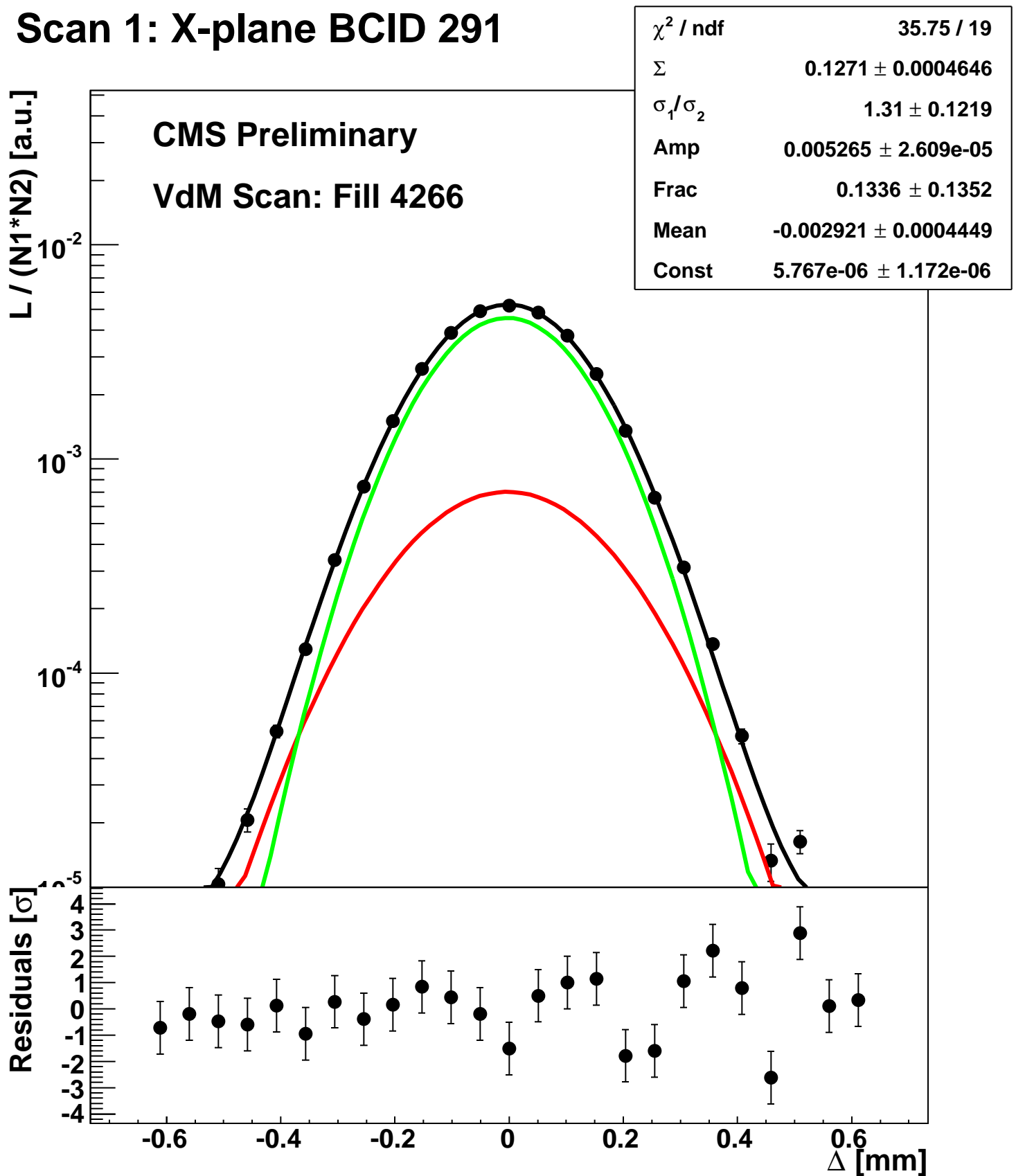
Scan 1: X-plane BCID 251



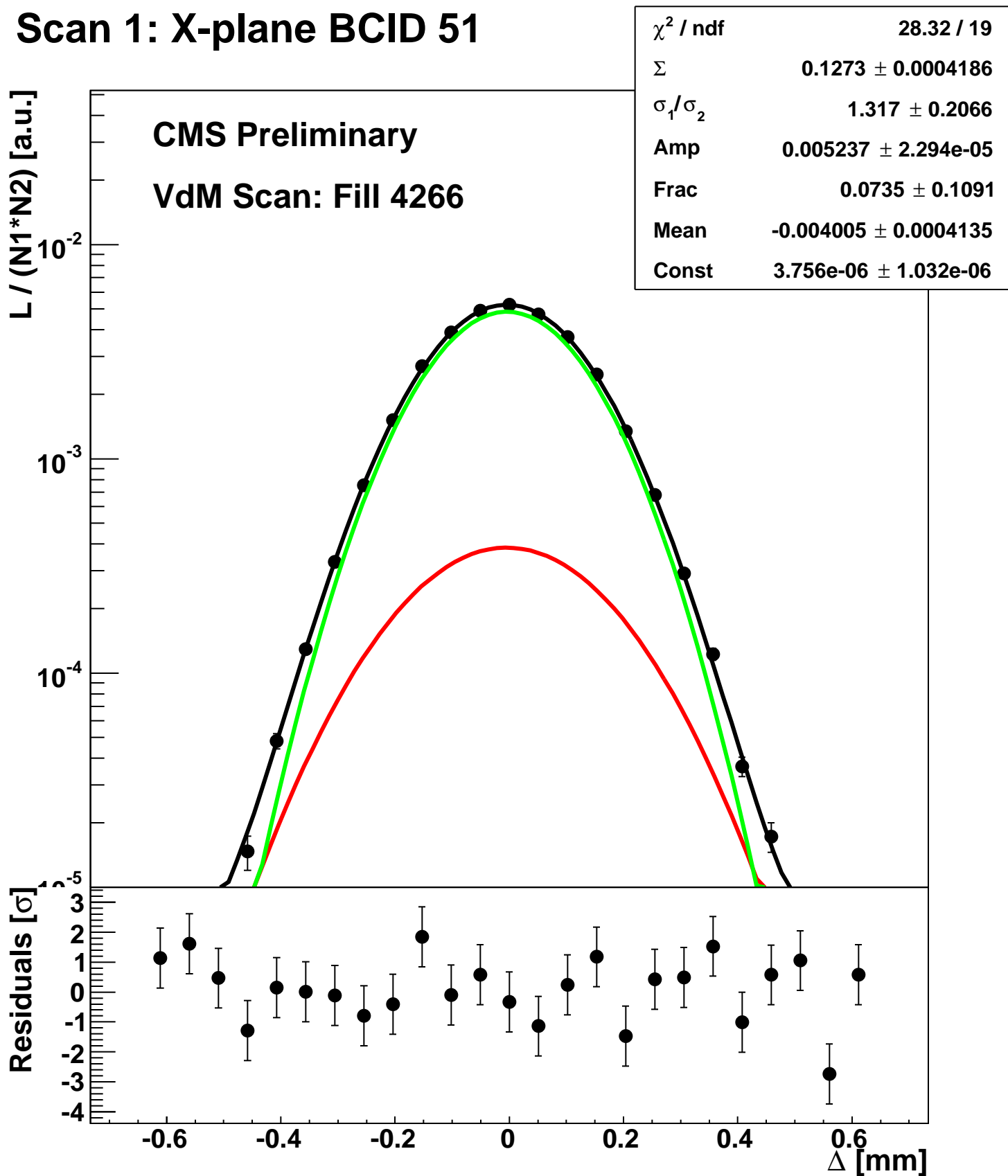
Scan 1: X-plane BCID 2674



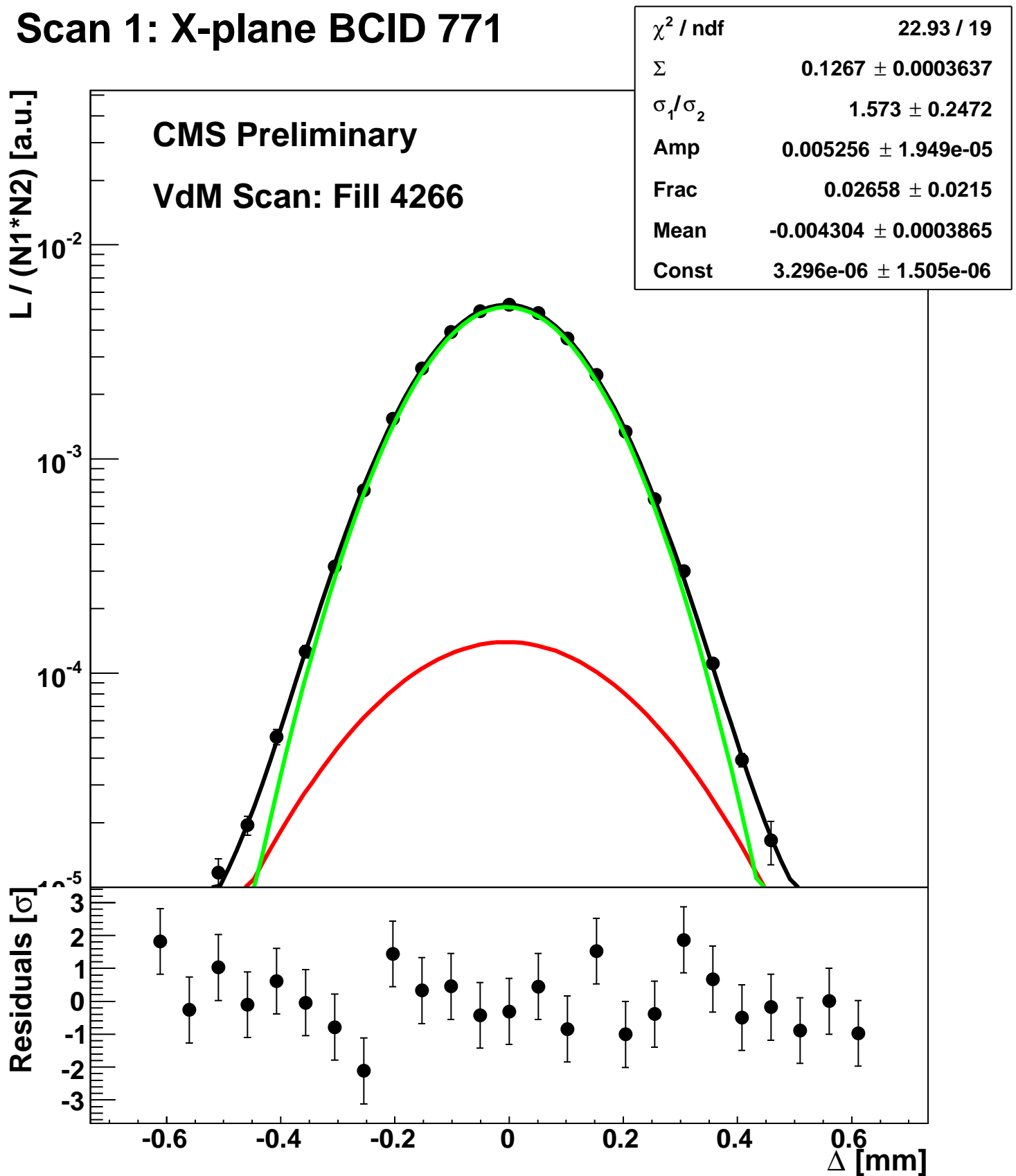
Scan 1: X-plane BCID 291



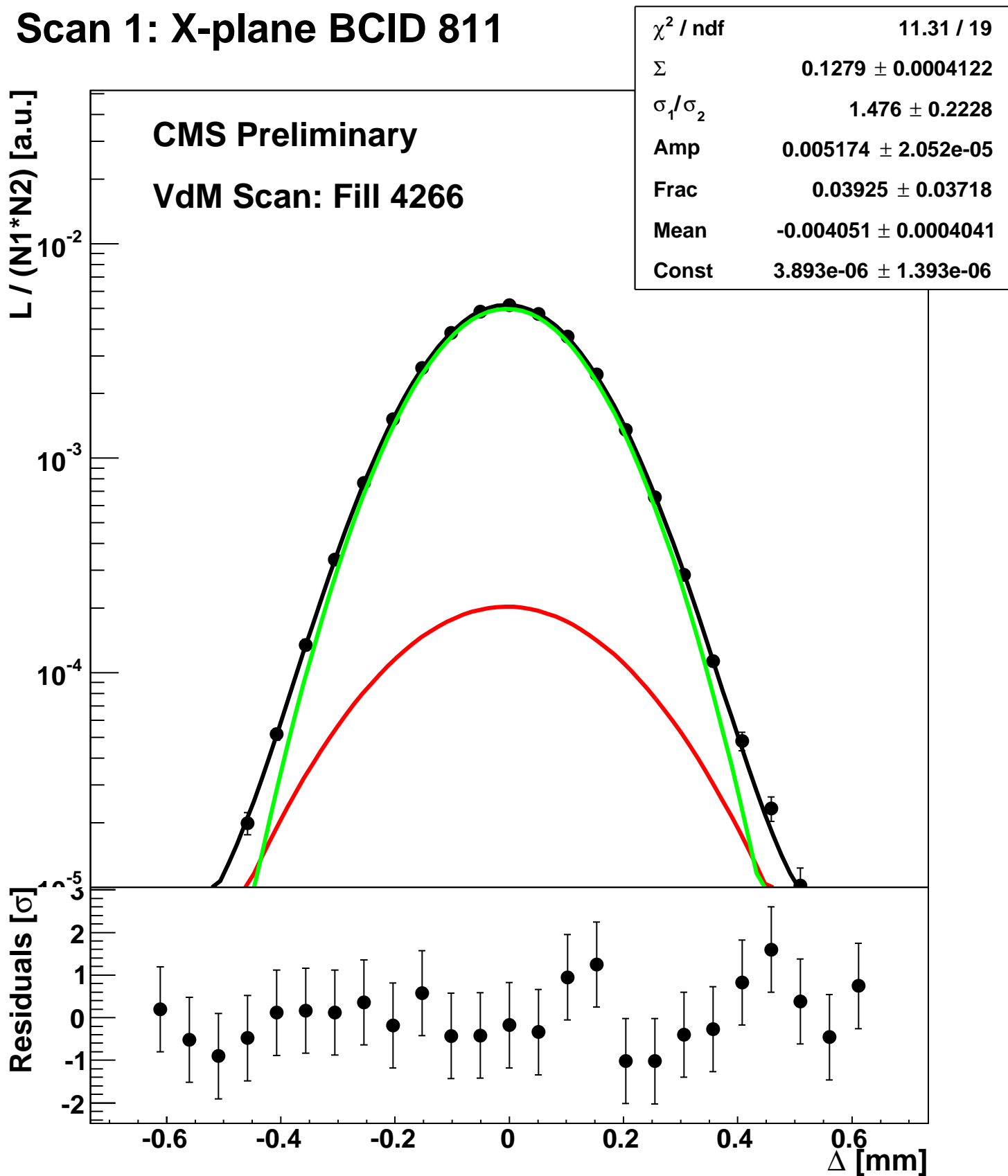
Scan 1: X-plane BCID 51



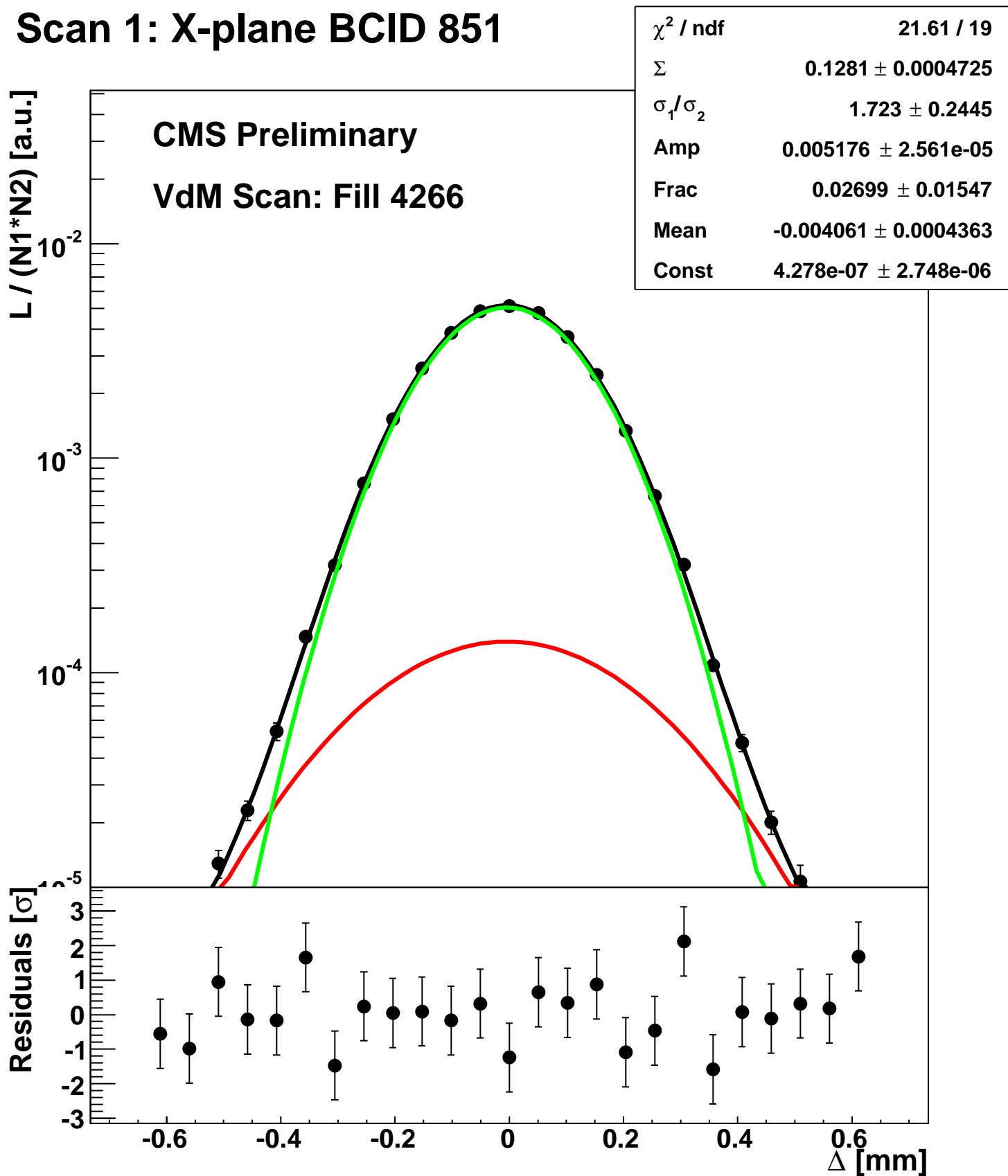
Scan 1: X-plane BCID 771



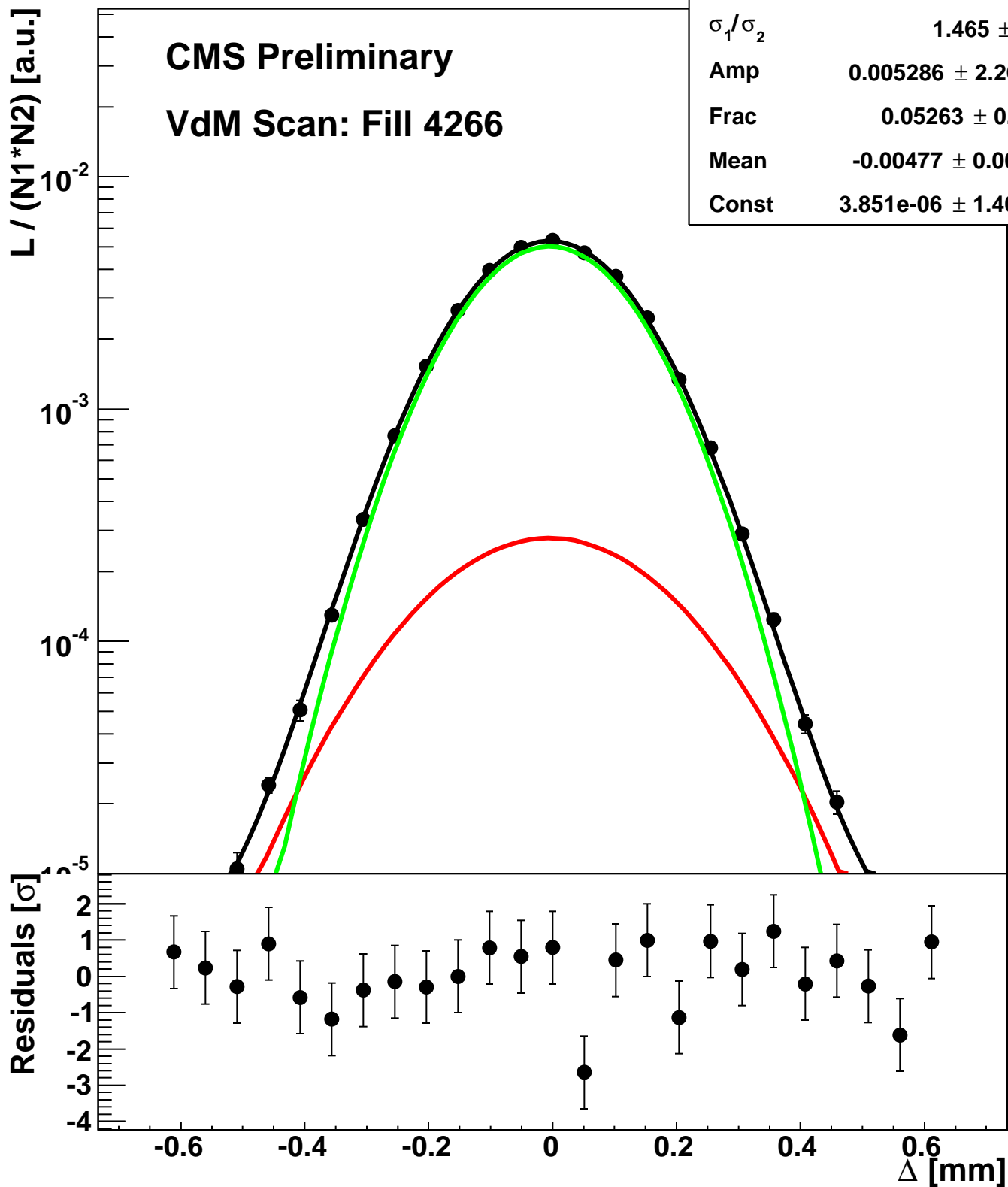
Scan 1: X-plane BCID 811



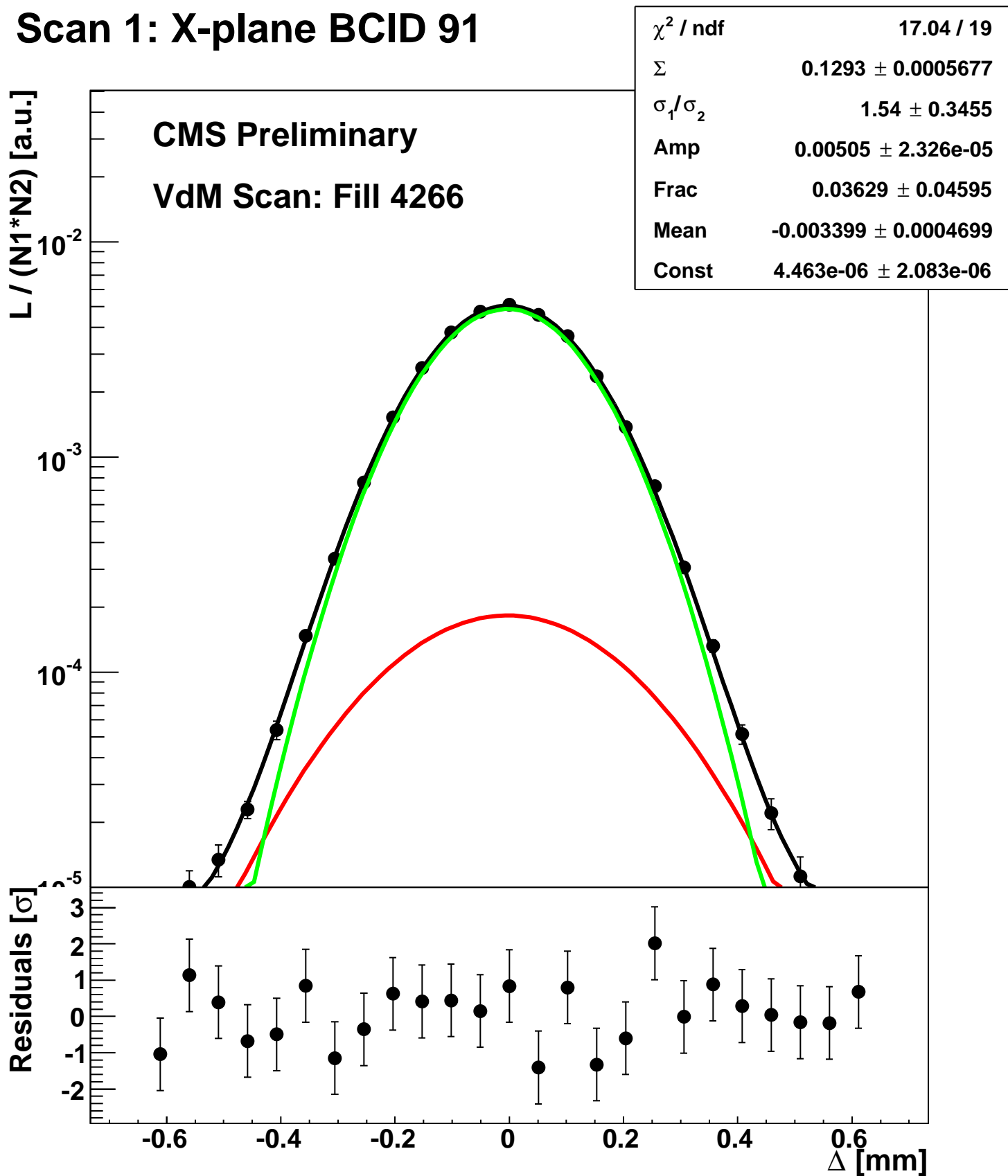
Scan 1: X-plane BCID 851



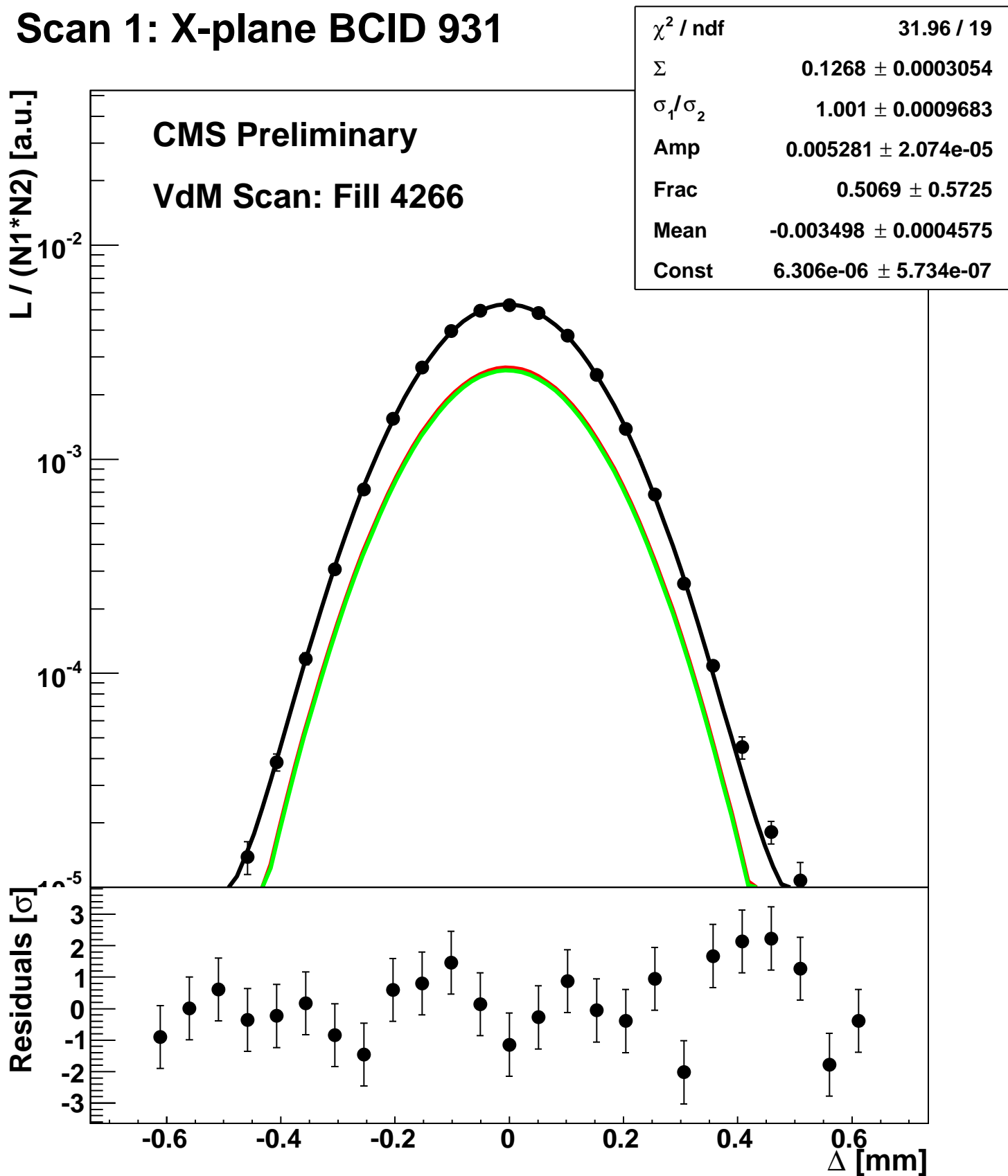
Scan 1: X-plane BCID 891



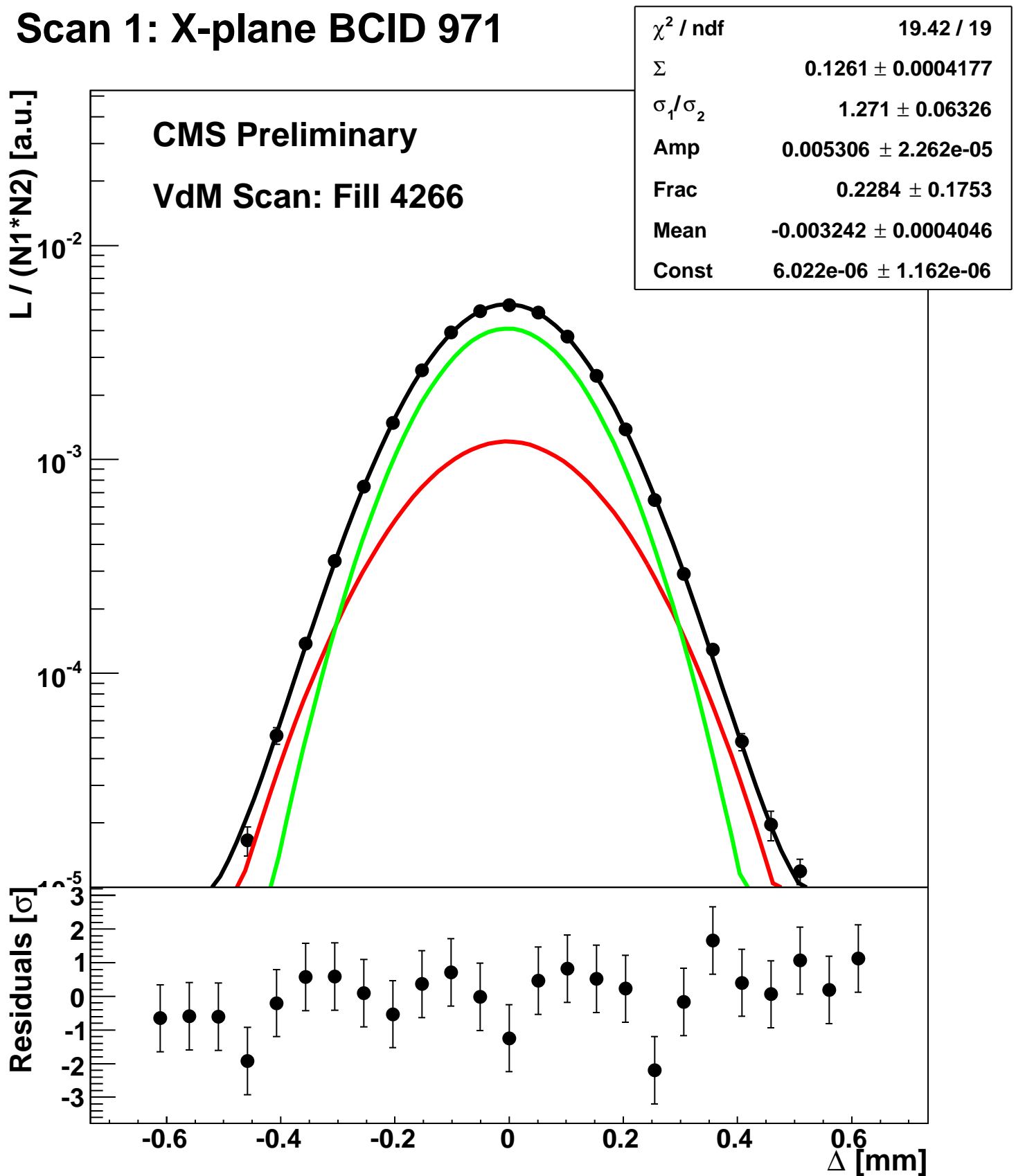
Scan 1: X-plane BCID 91



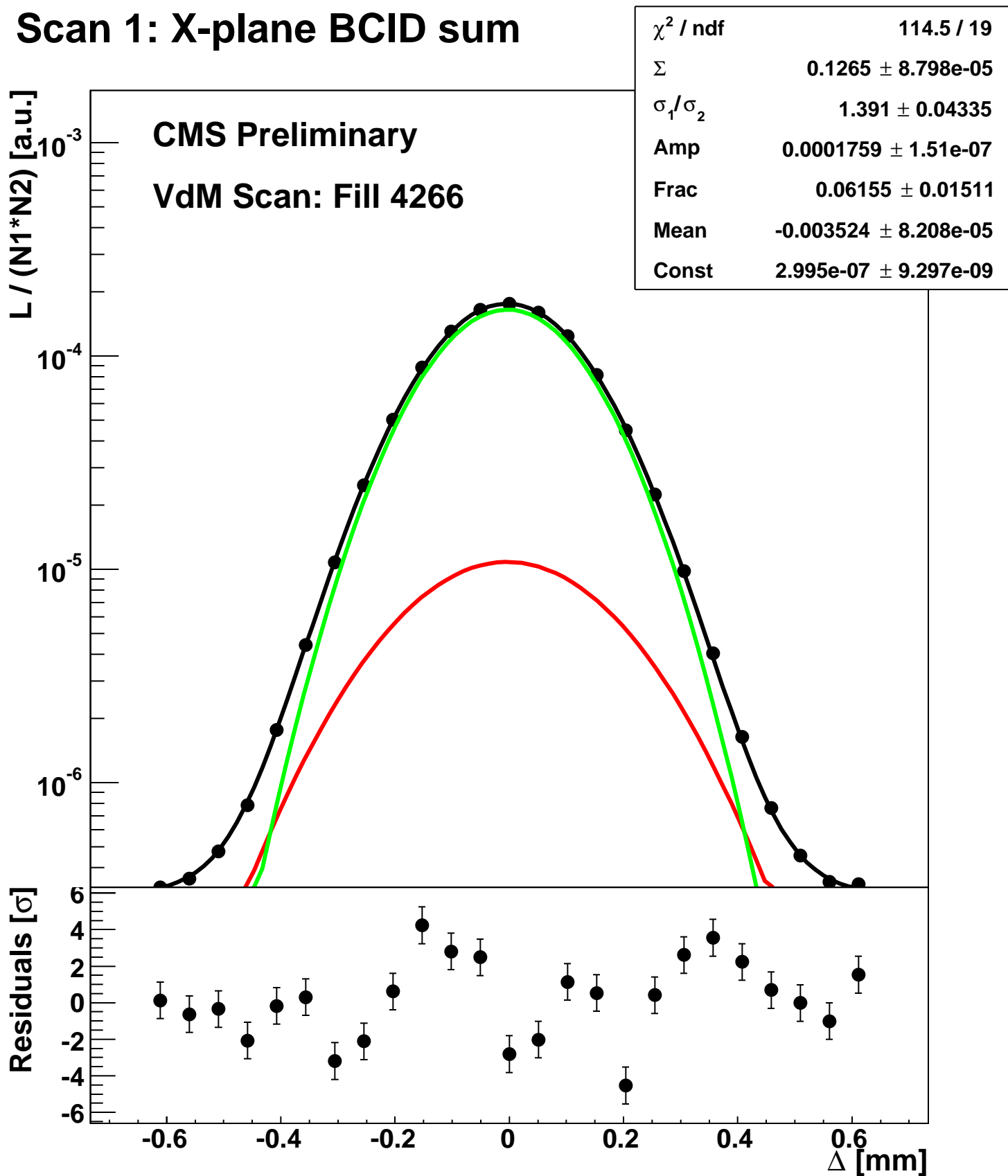
Scan 1: X-plane BCID 931



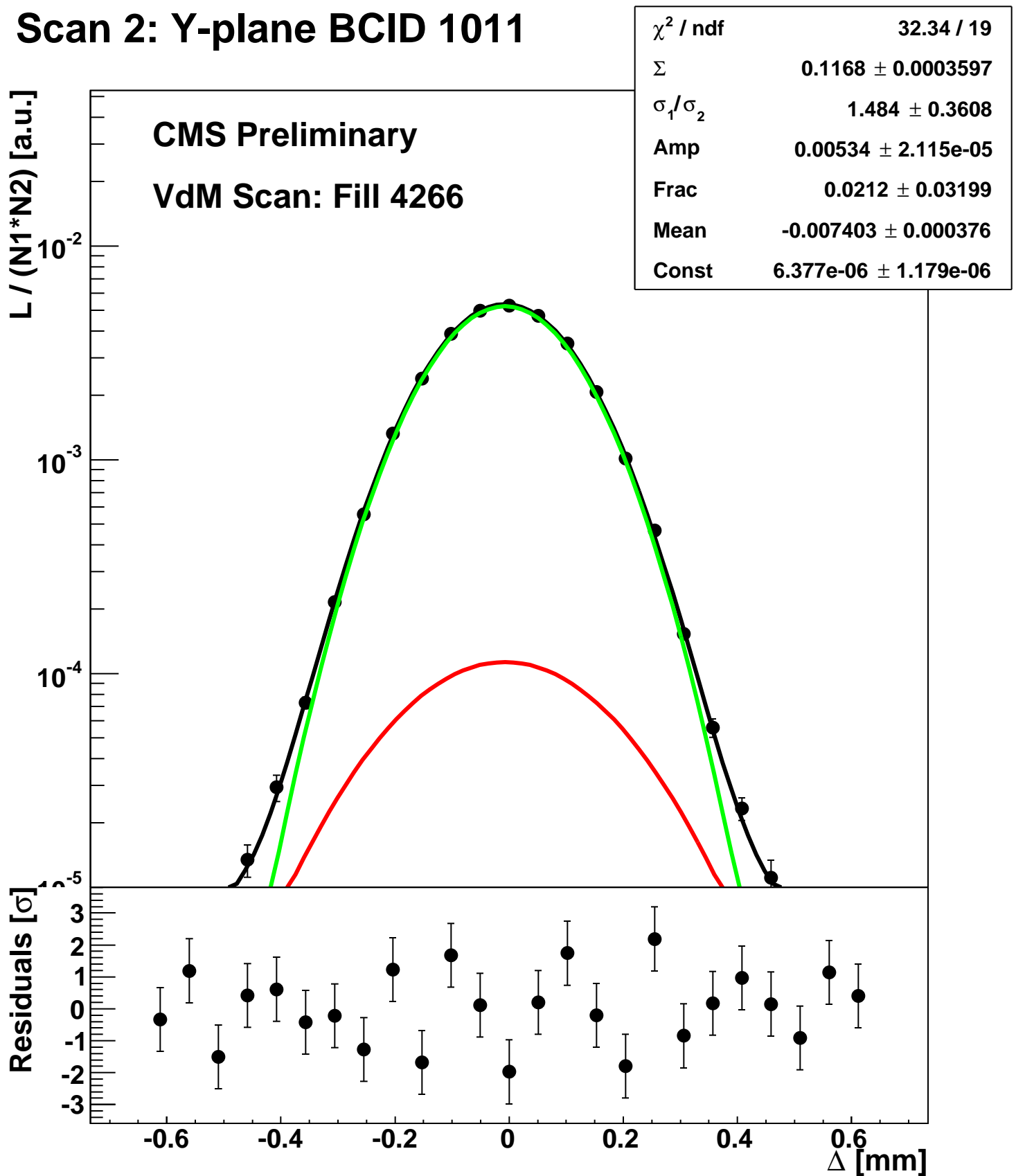
Scan 1: X-plane BCID 971



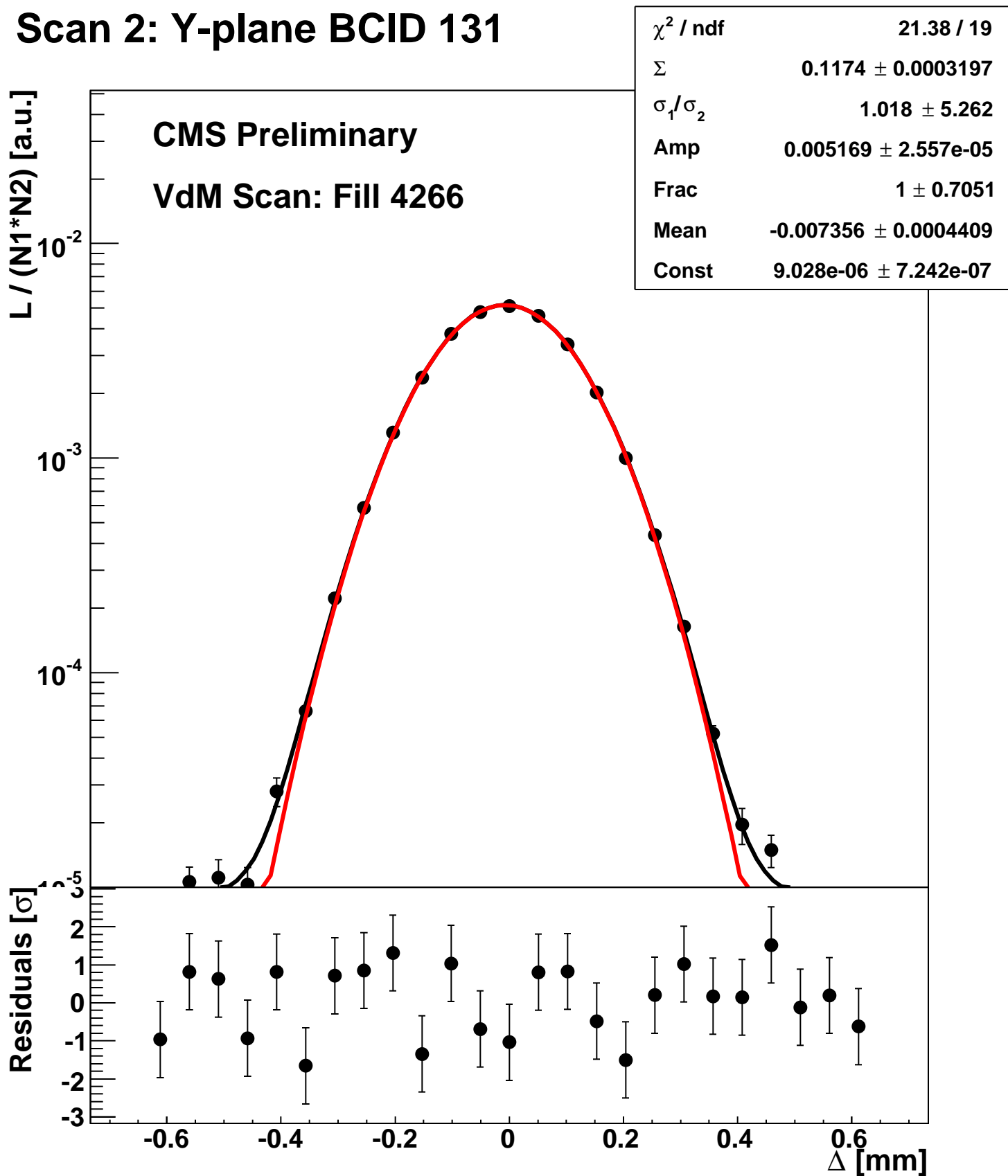
Scan 1: X-plane BCID sum



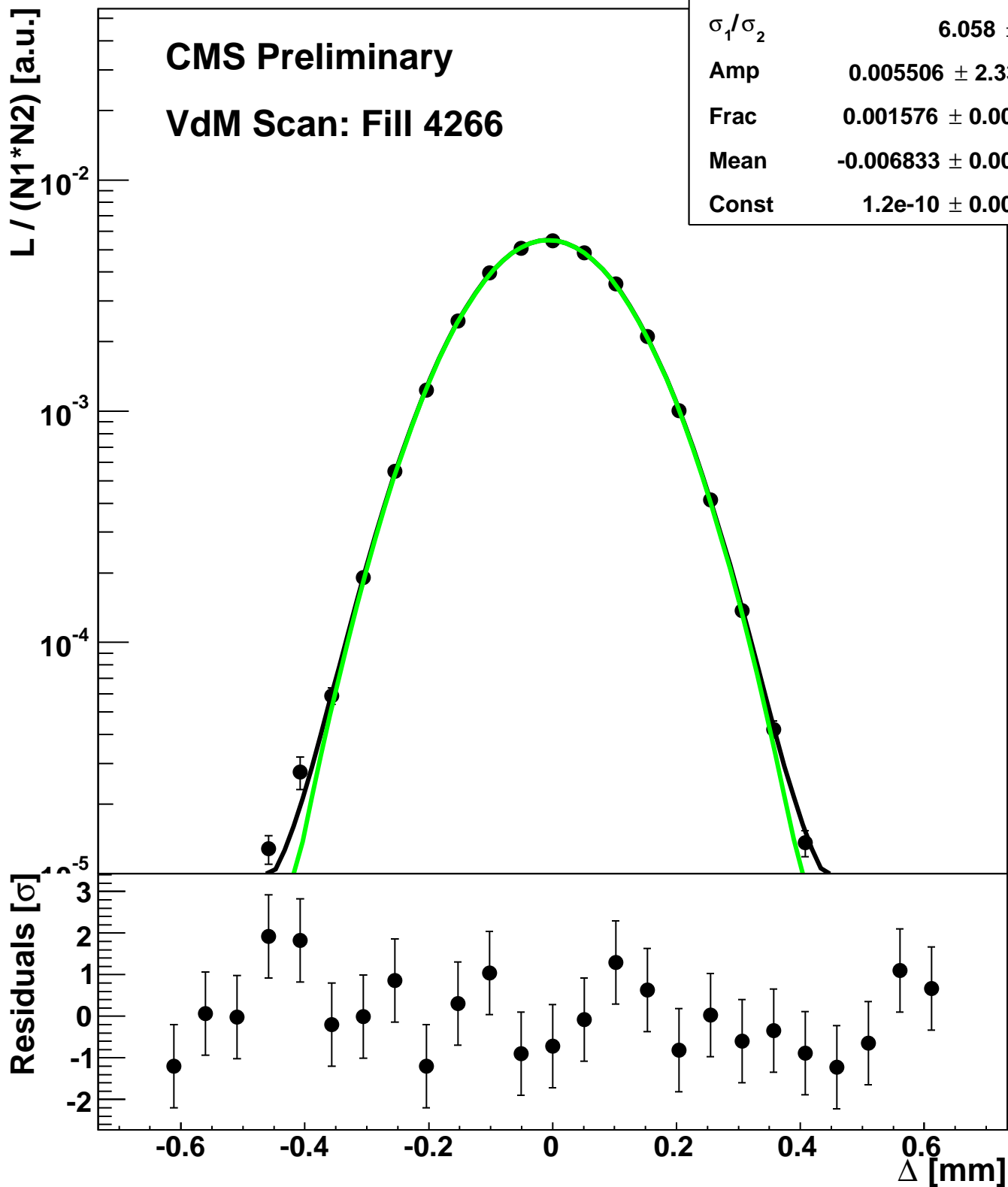
Scan 2: Y-plane BCID 1011



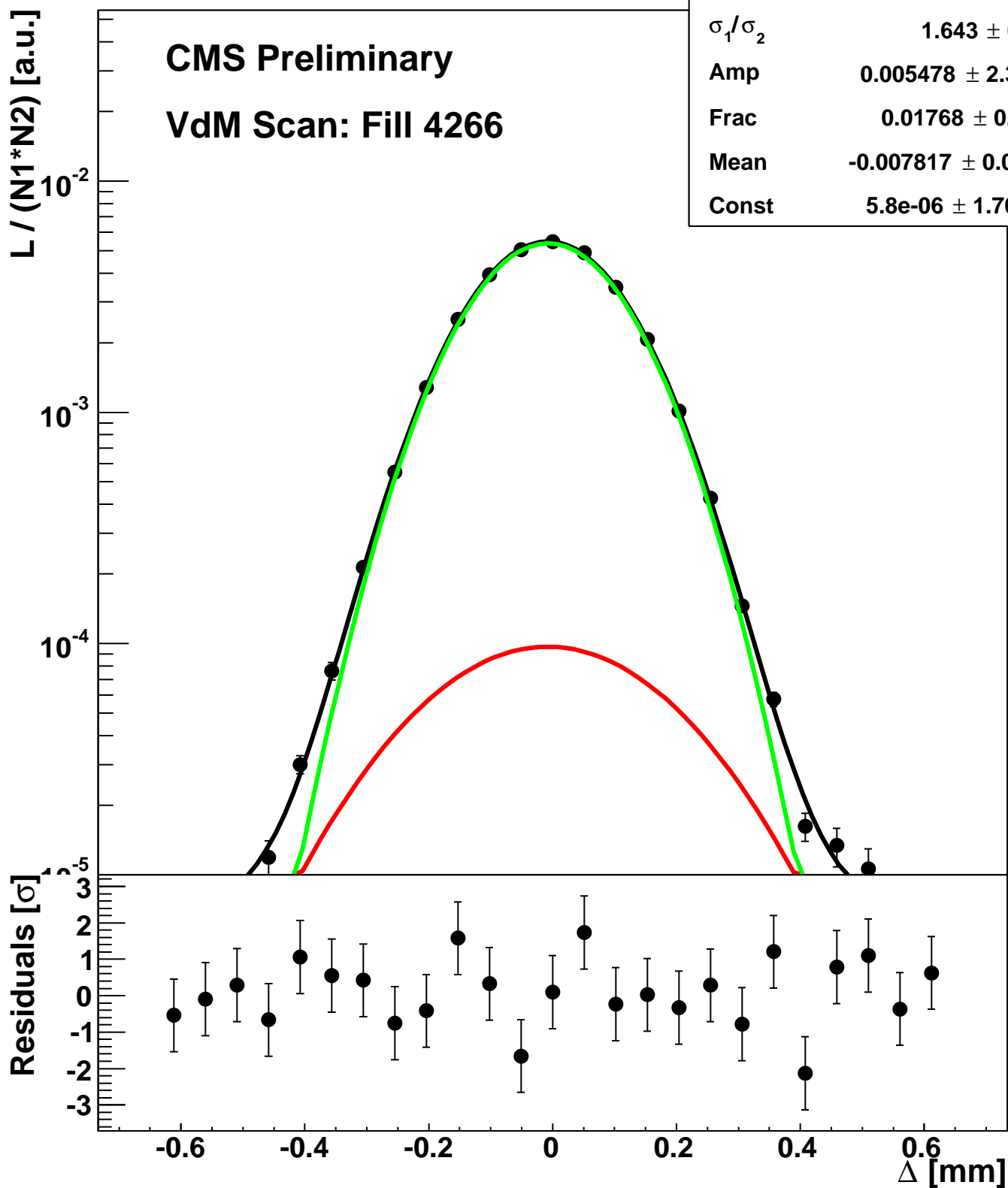
Scan 2: Y-plane BCID 131



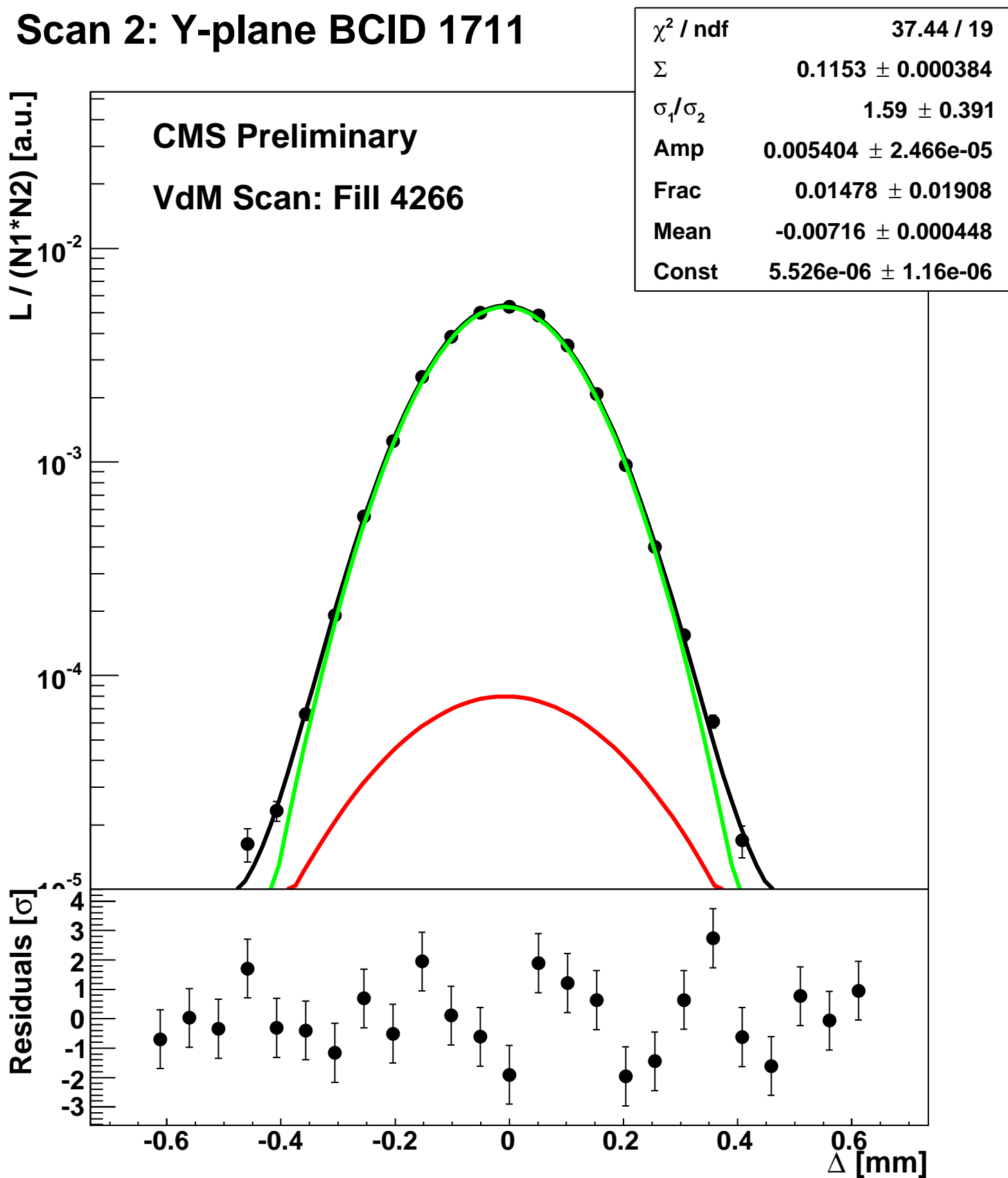
Scan 2: Y-plane BCID 1631



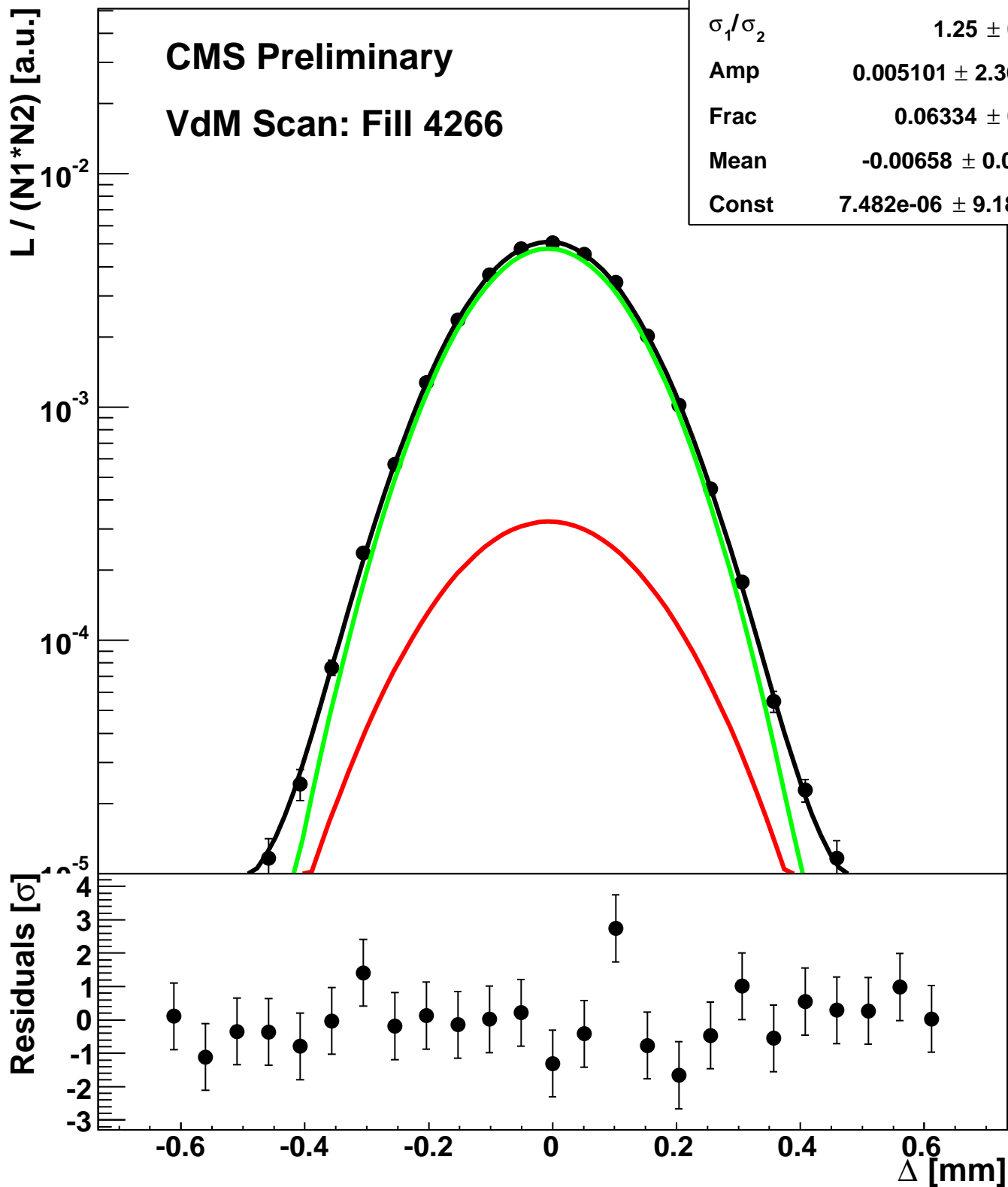
Scan 2: Y-plane BCID 1671



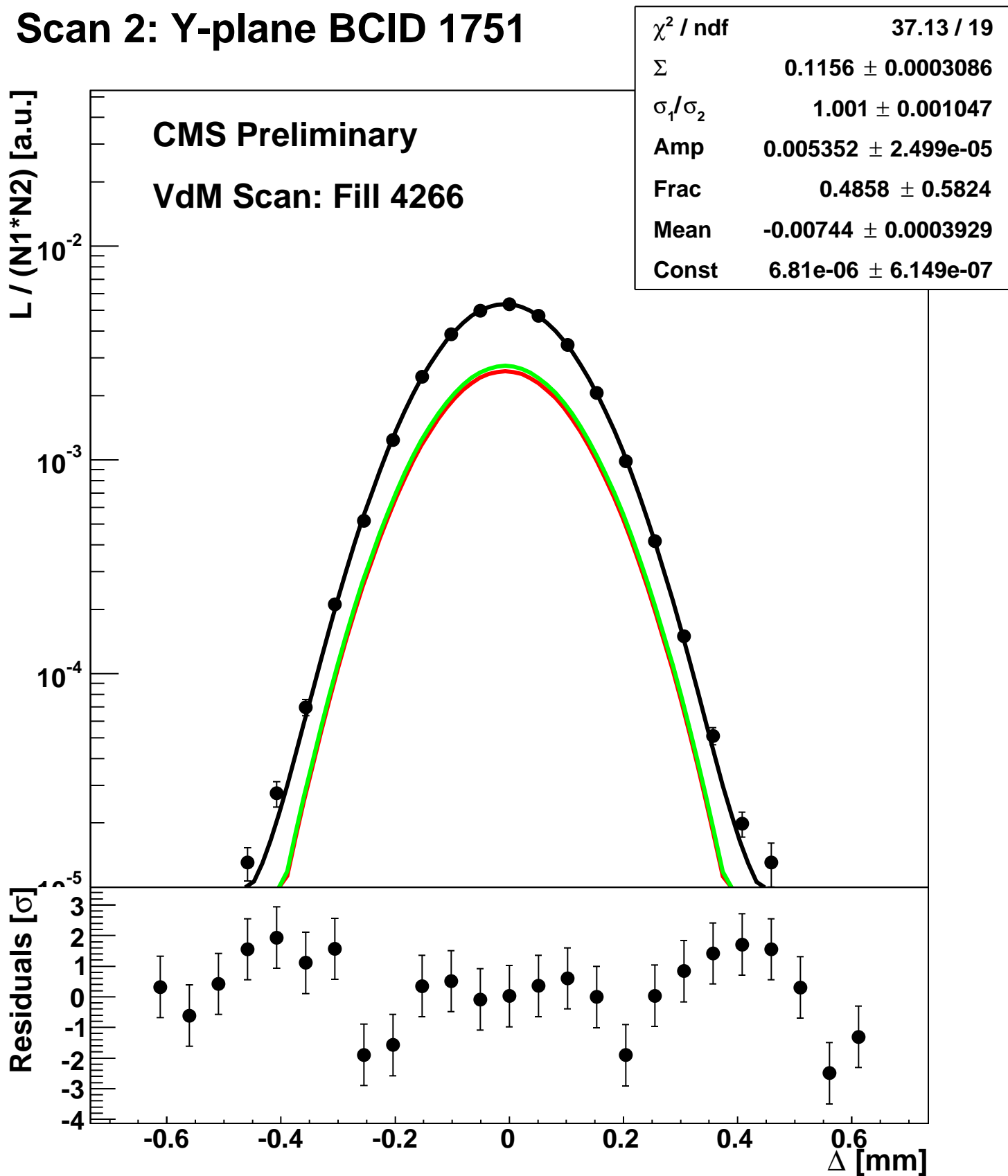
Scan 2: Y-plane BCID 1711



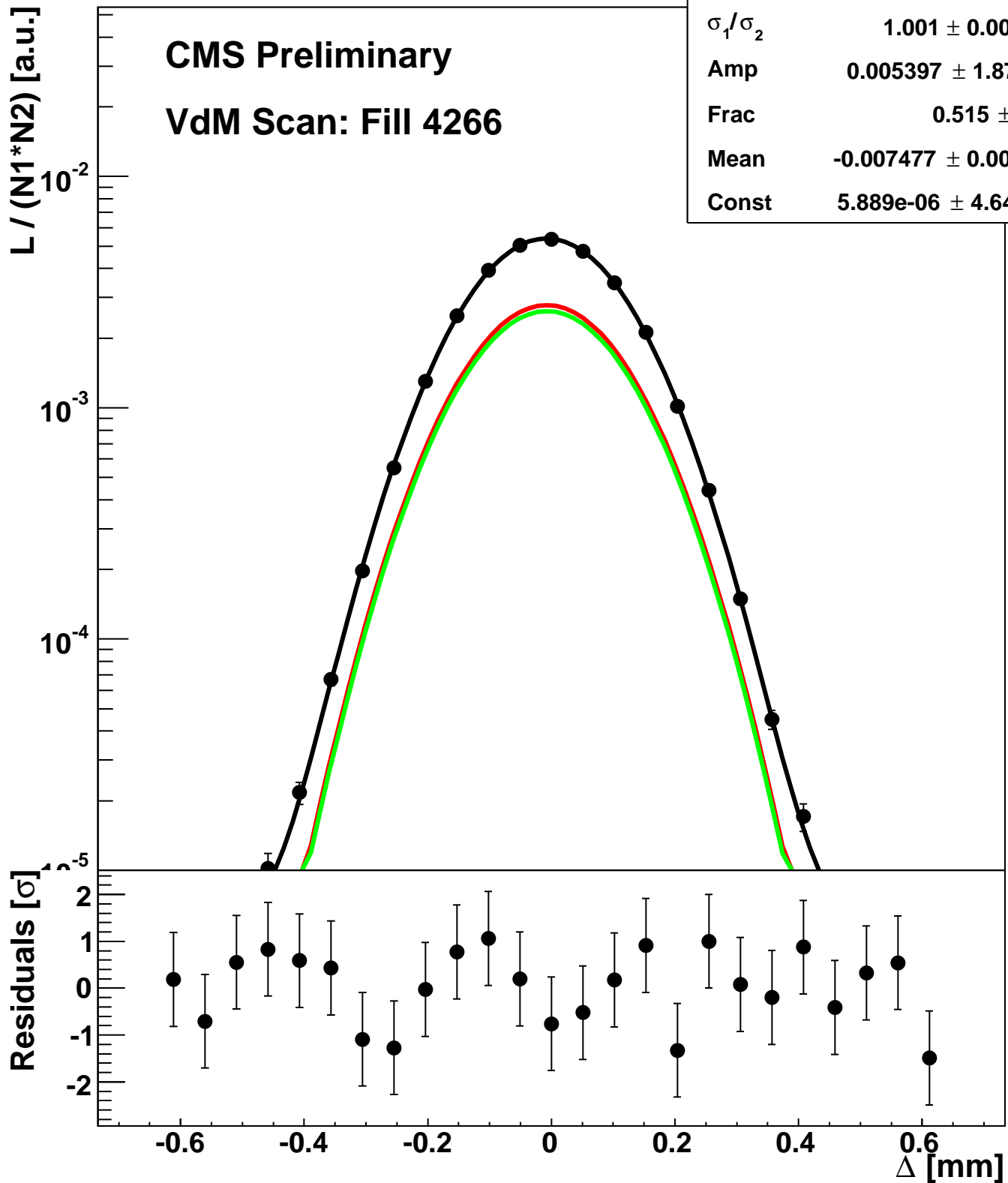
Scan 2: Y-plane BCID 171



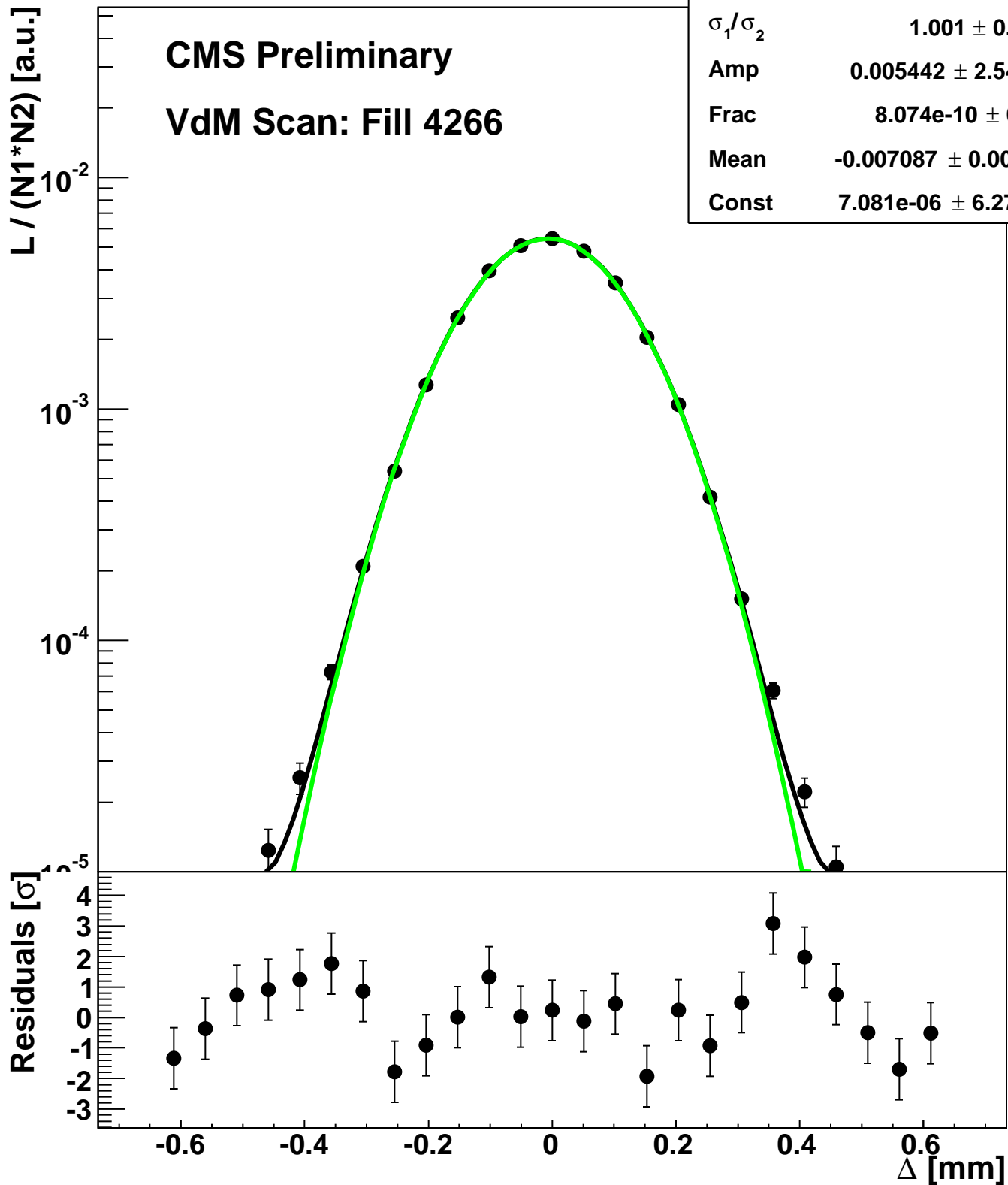
Scan 2: Y-plane BCID 1751



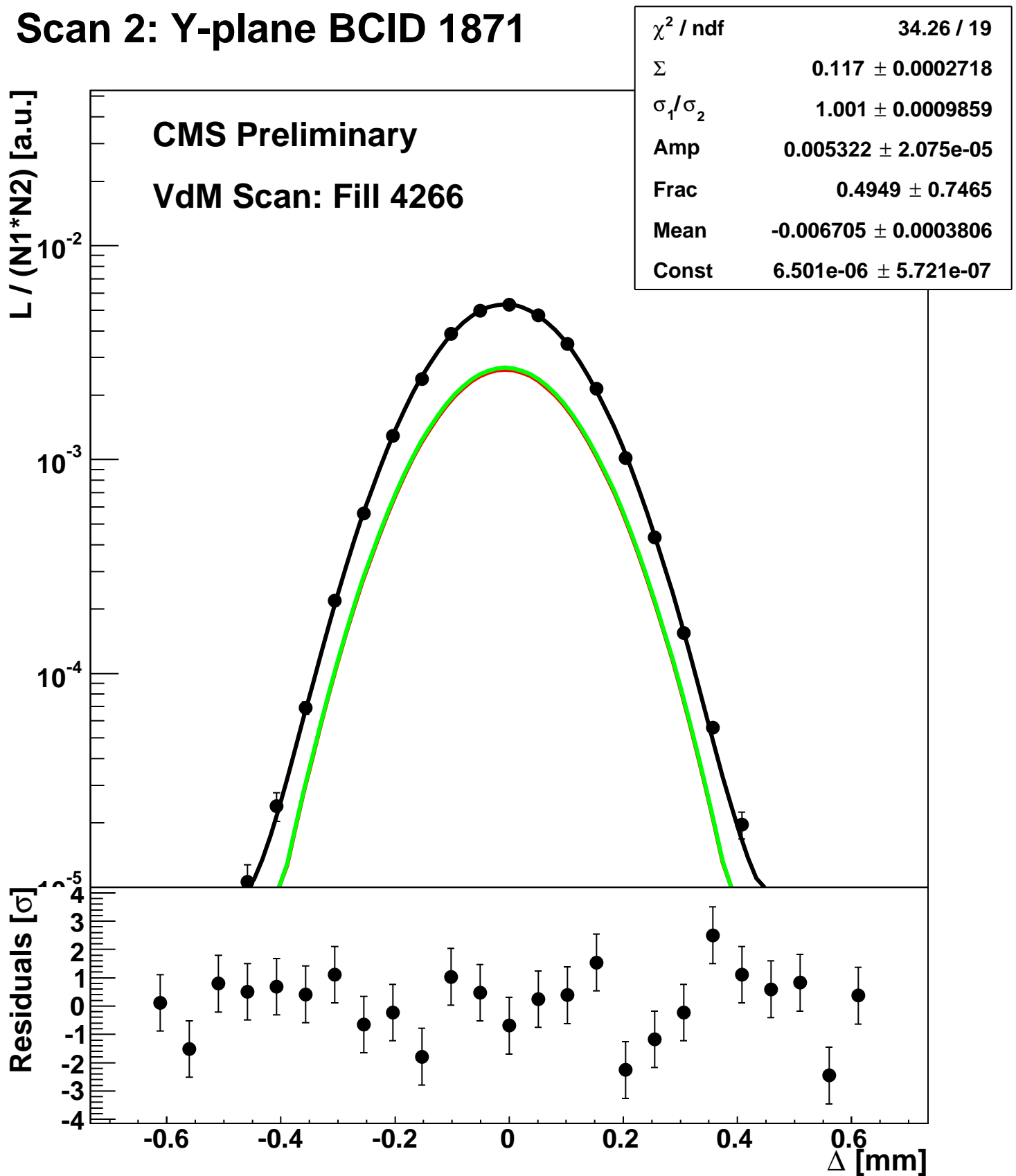
Scan 2: Y-plane BCID 1791



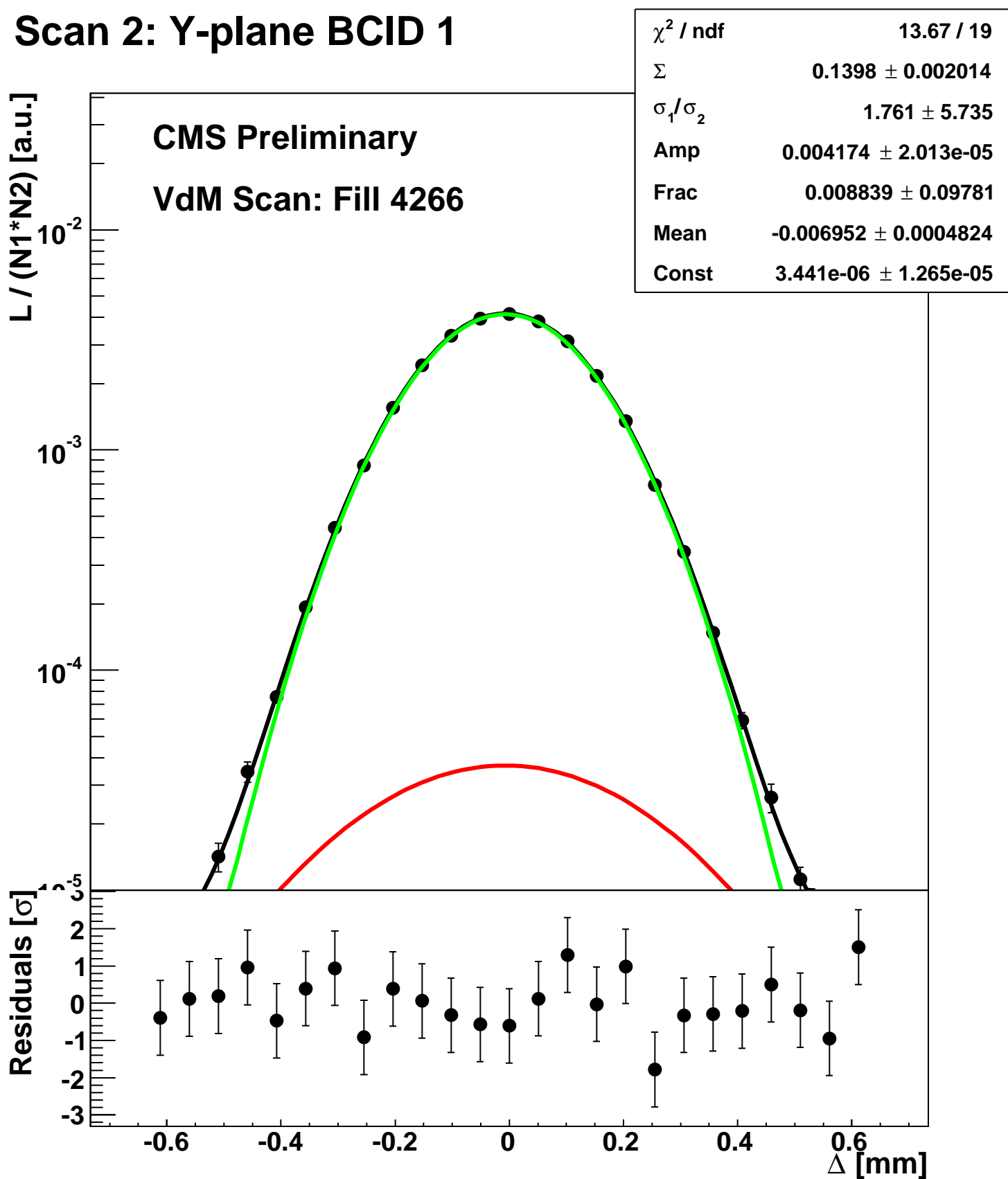
Scan 2: Y-plane BCID 1831



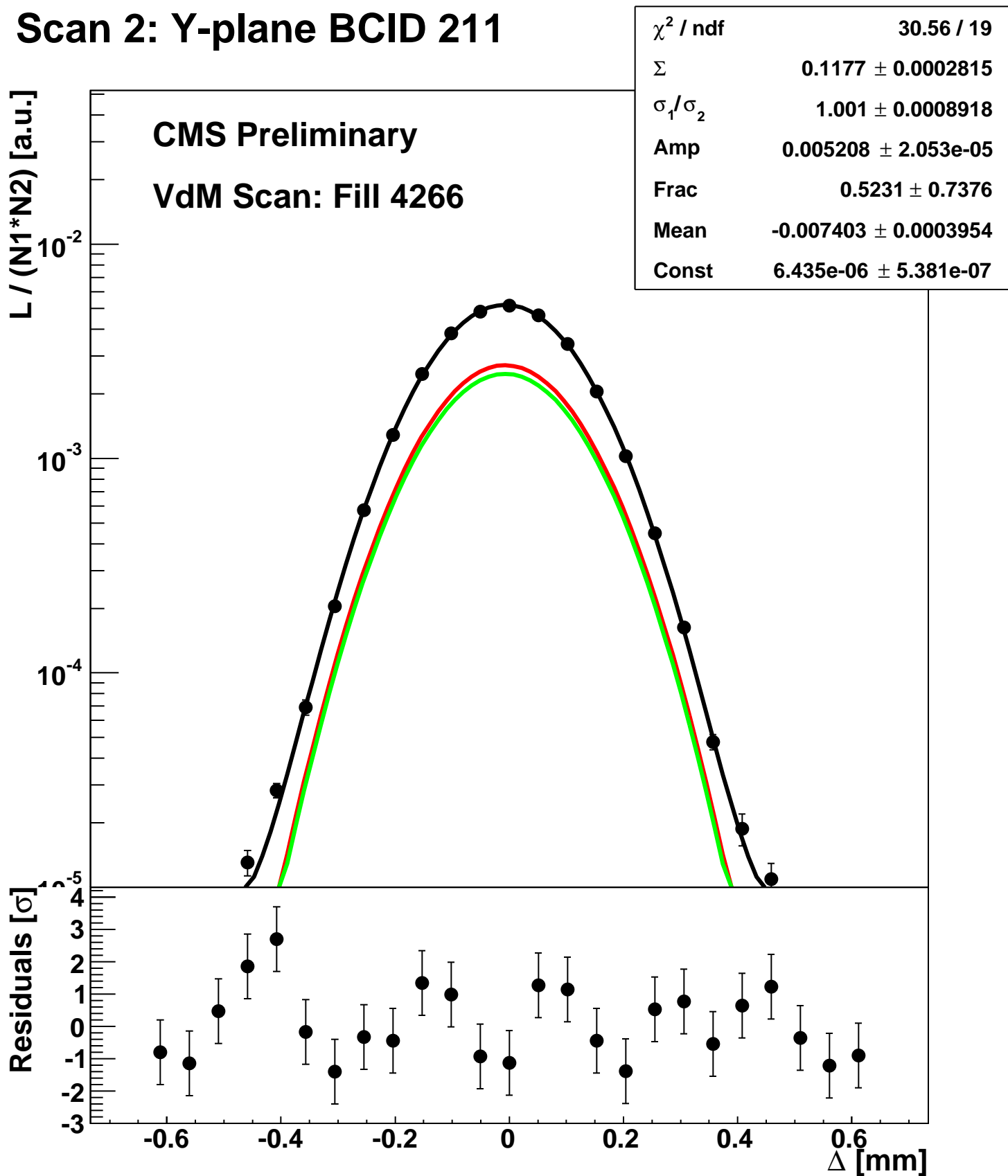
Scan 2: Y-plane BCID 1871



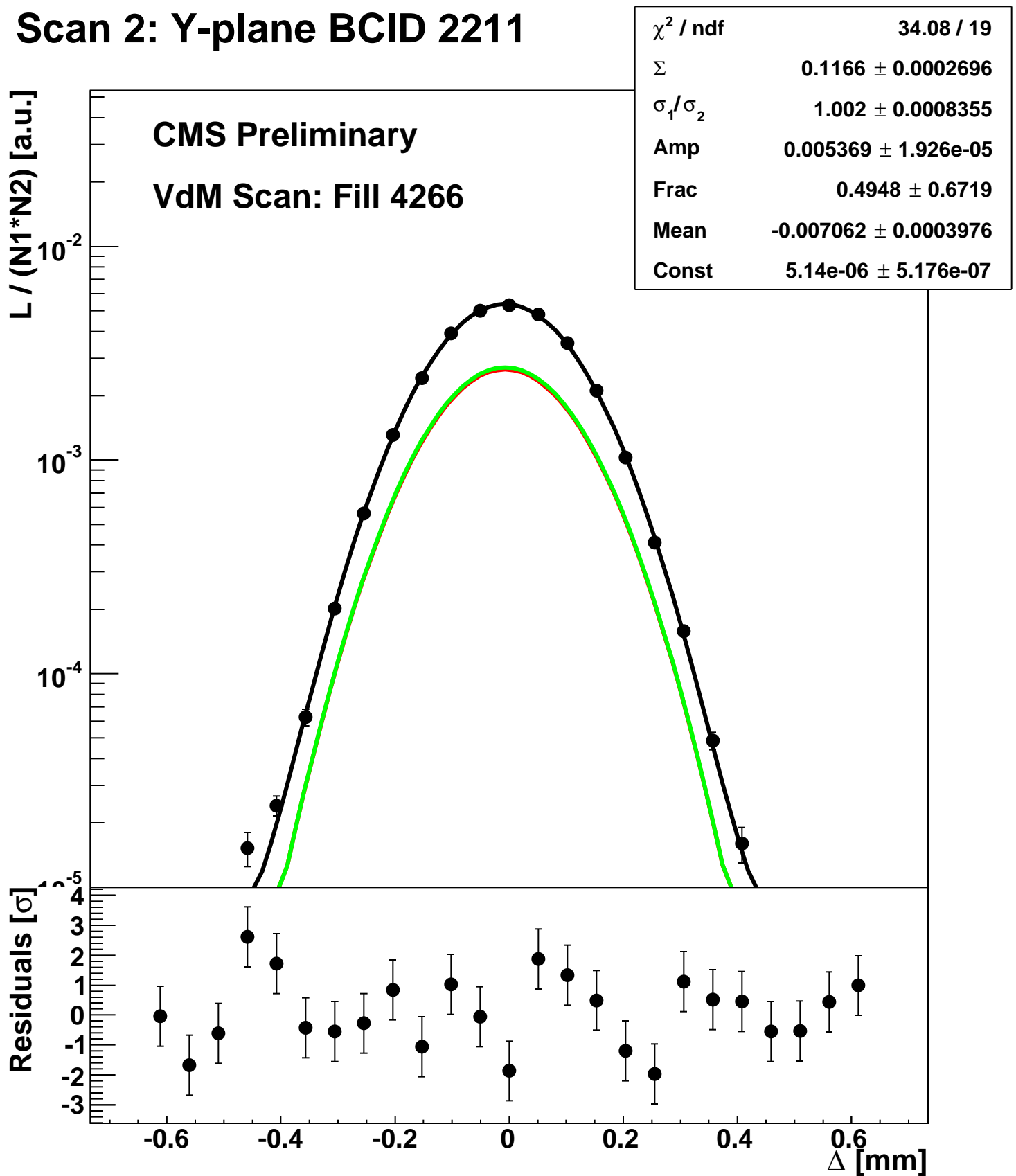
Scan 2: Y-plane BCID 1



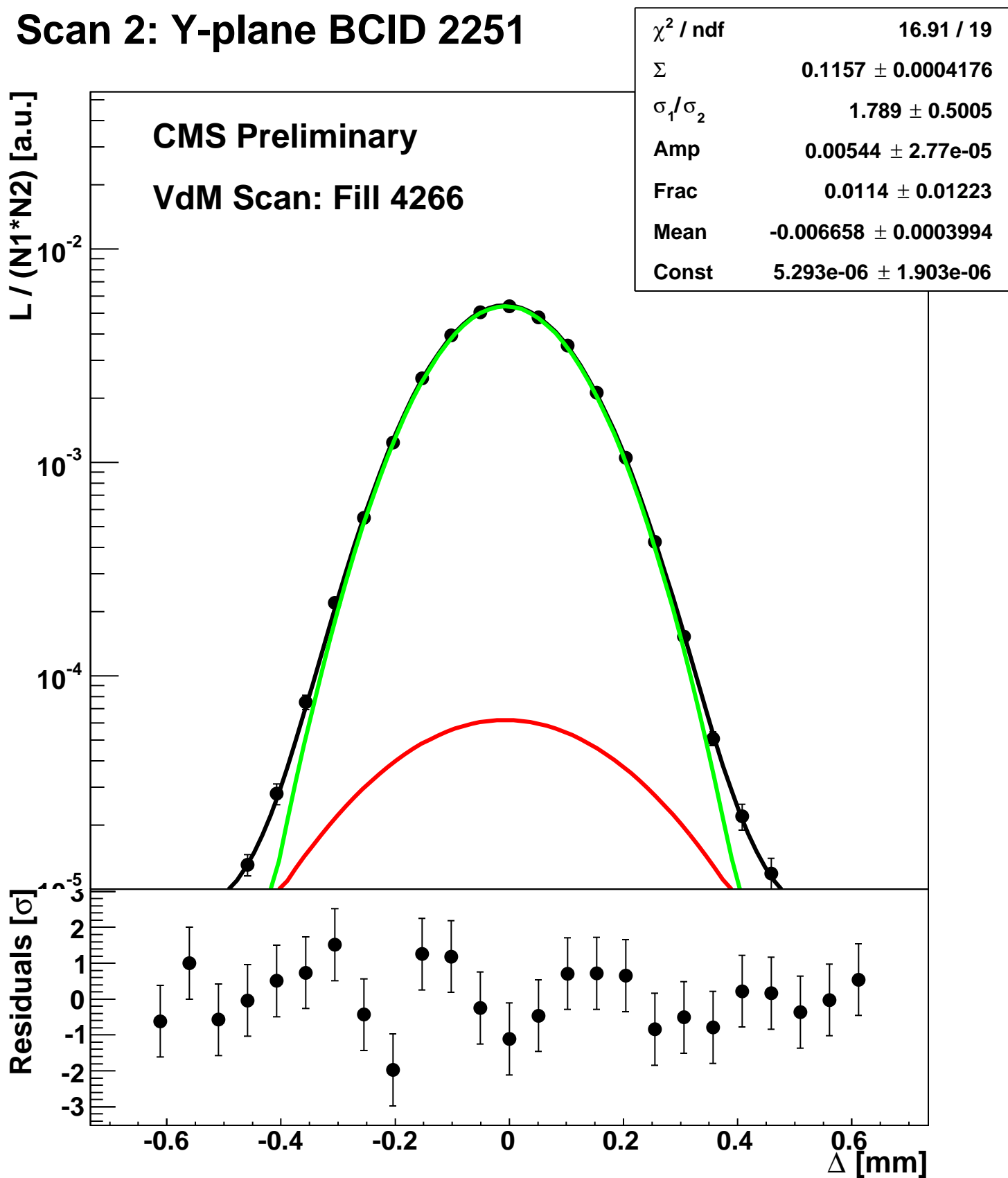
Scan 2: Y-plane BCID 211



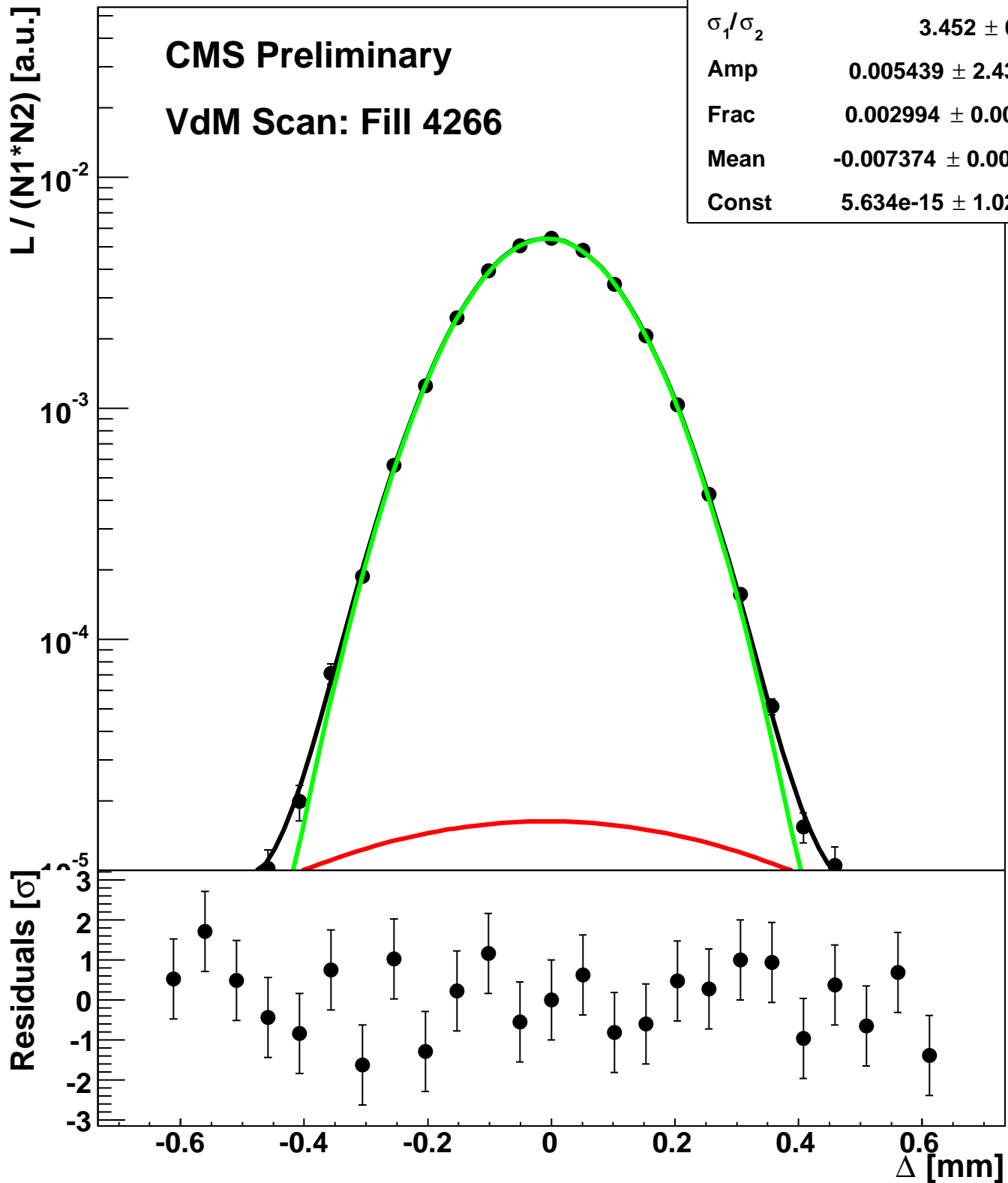
Scan 2: Y-plane BCID 2211



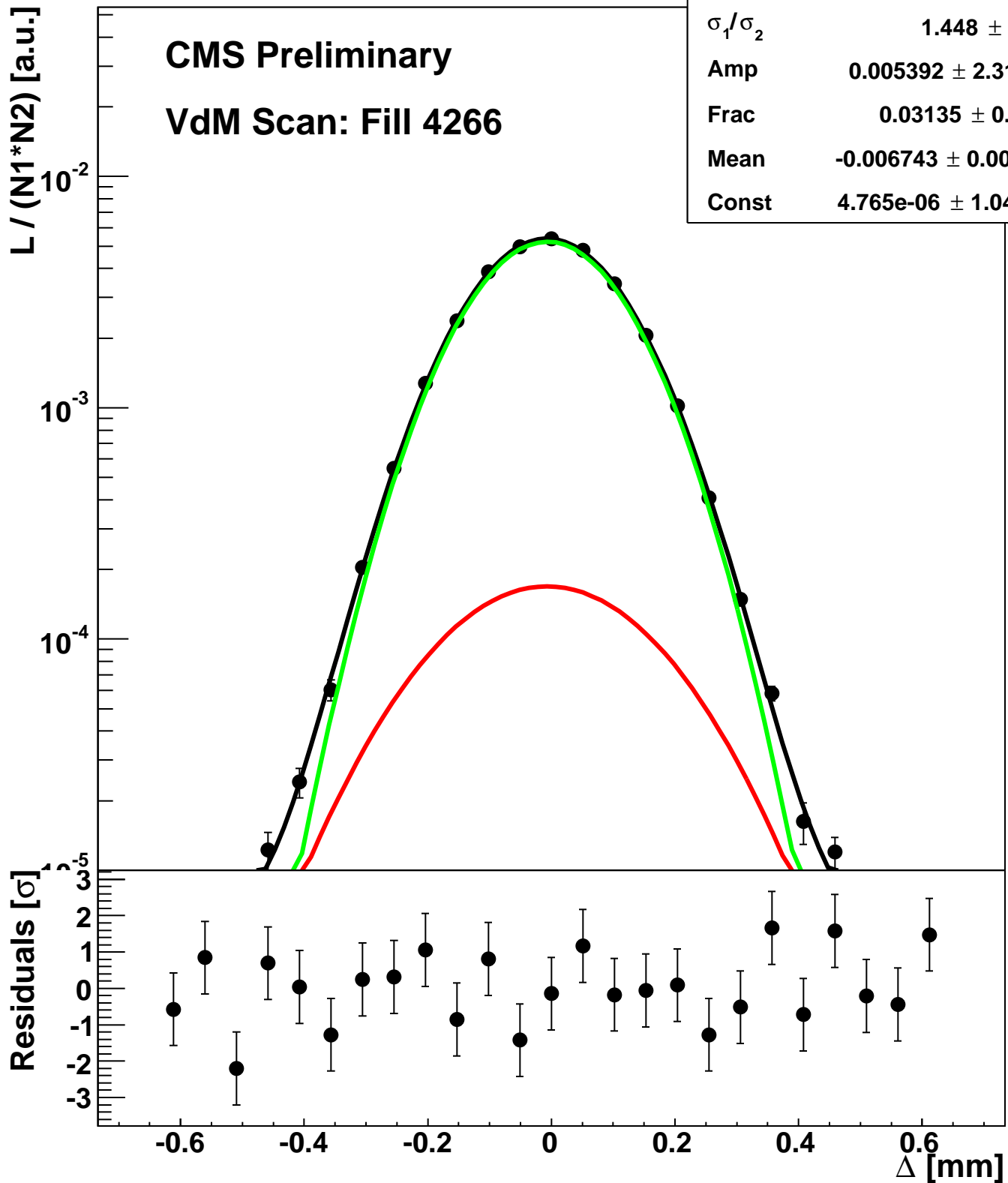
Scan 2: Y-plane BCID 2251



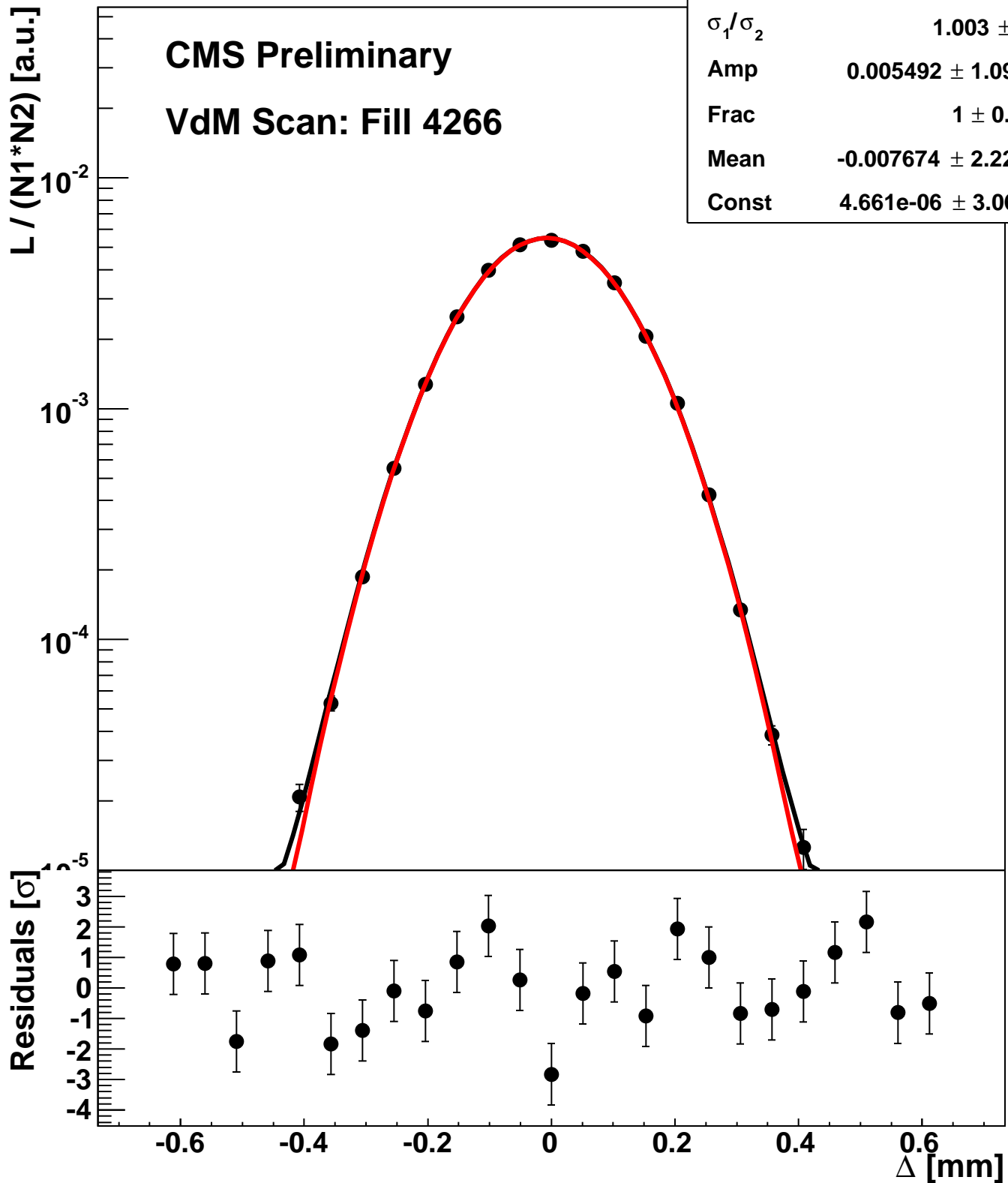
Scan 2: Y-plane BCID 2291



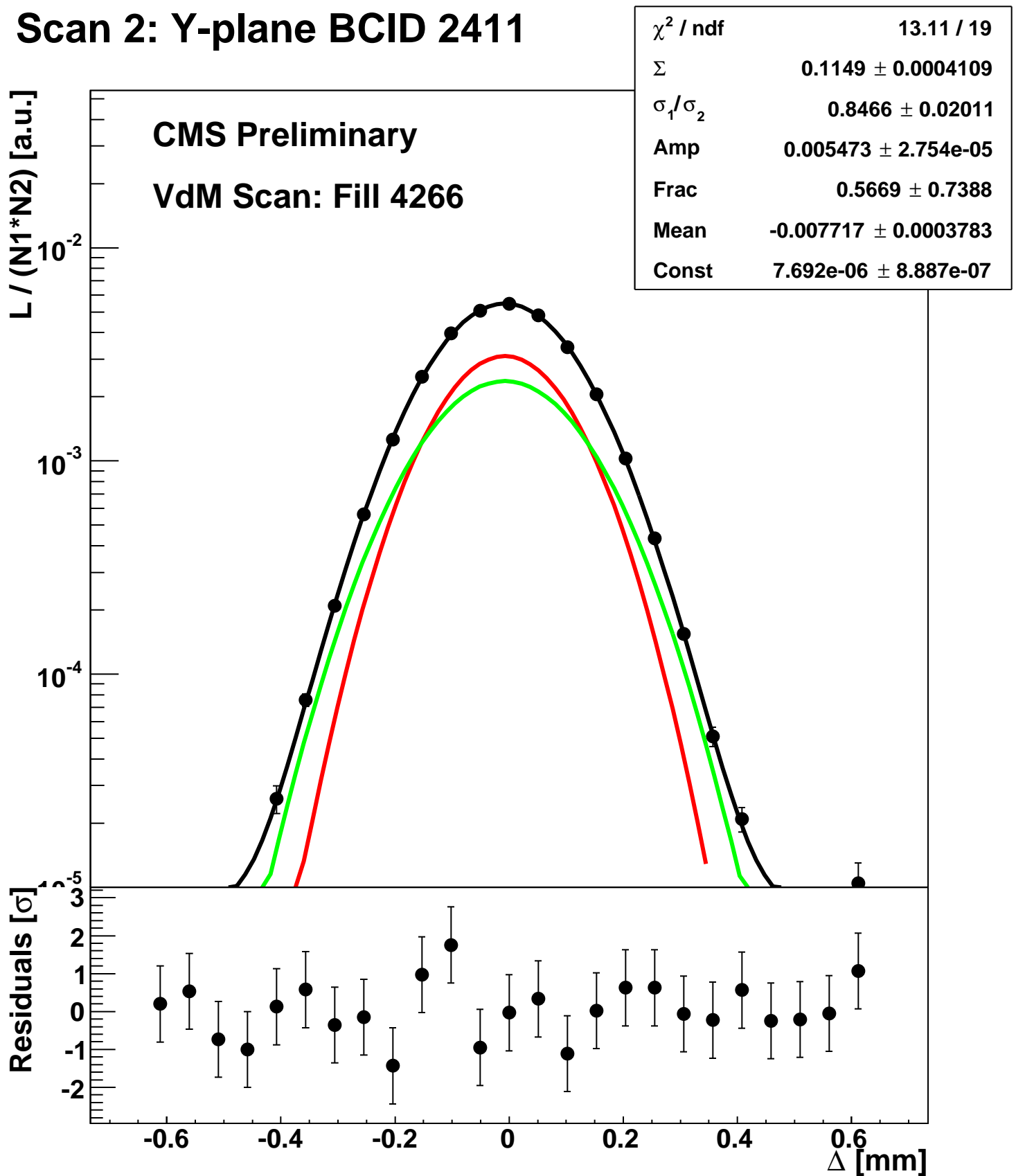
Scan 2: Y-plane BCID 2331



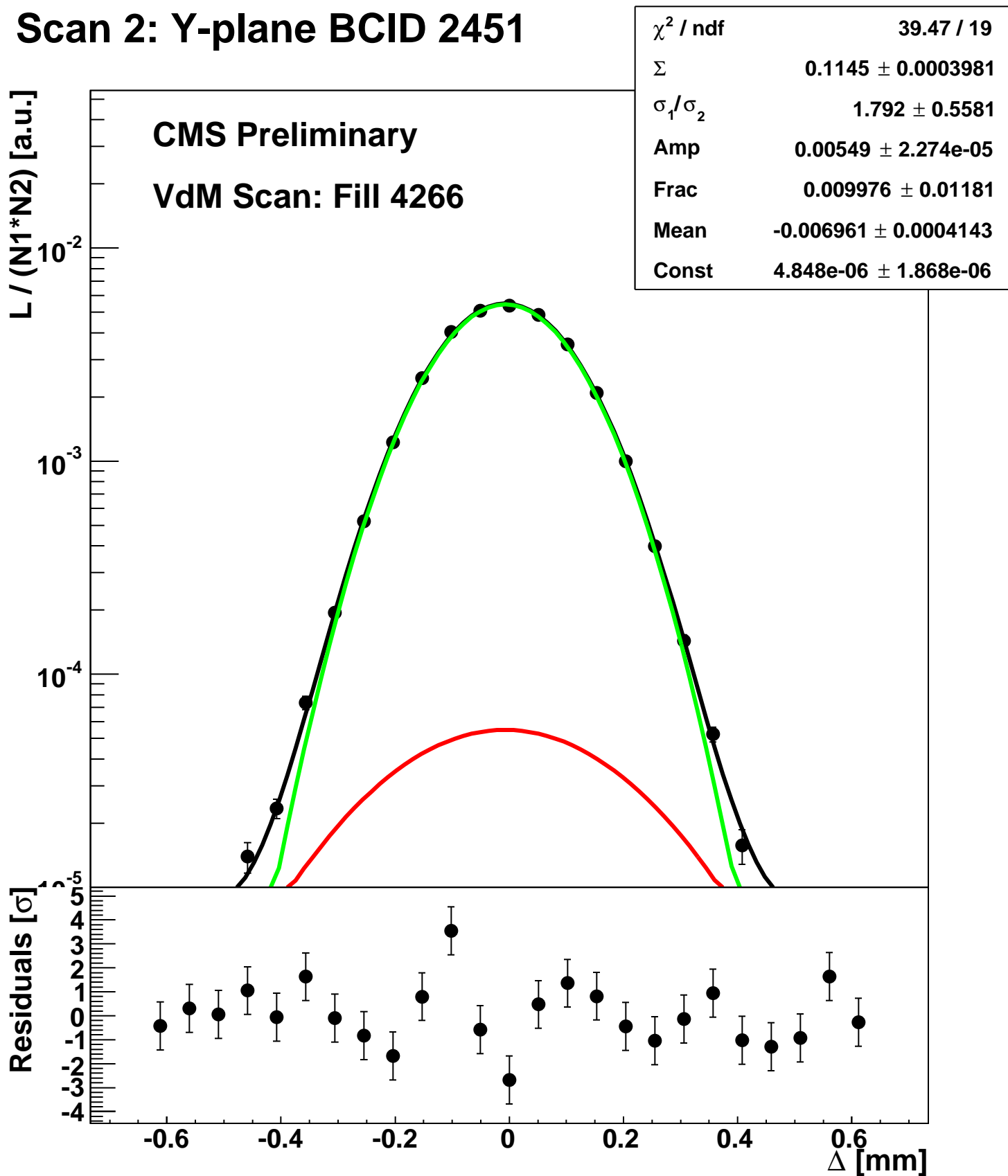
Scan 2: Y-plane BCID 2371



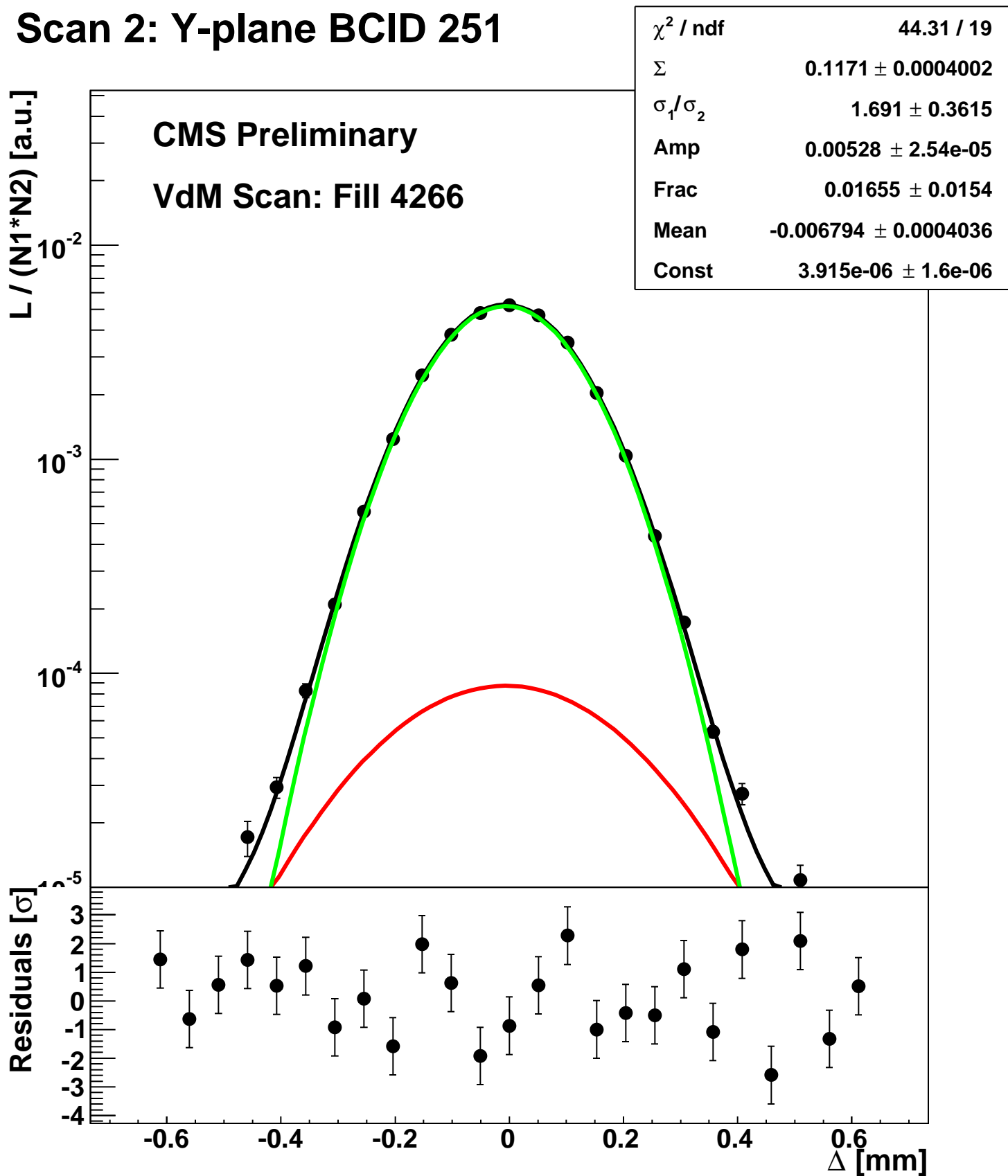
Scan 2: Y-plane BCID 2411



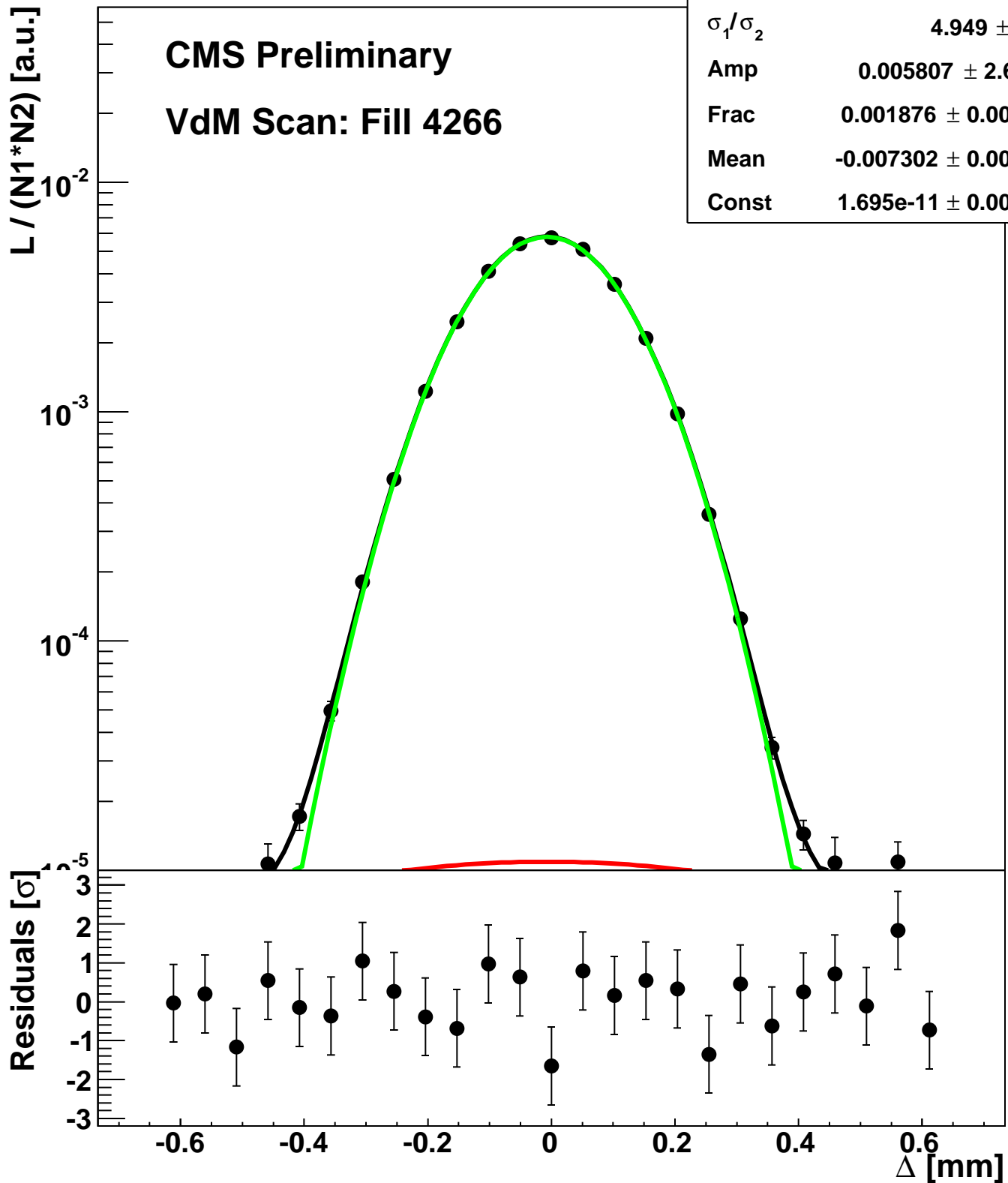
Scan 2: Y-plane BCID 2451



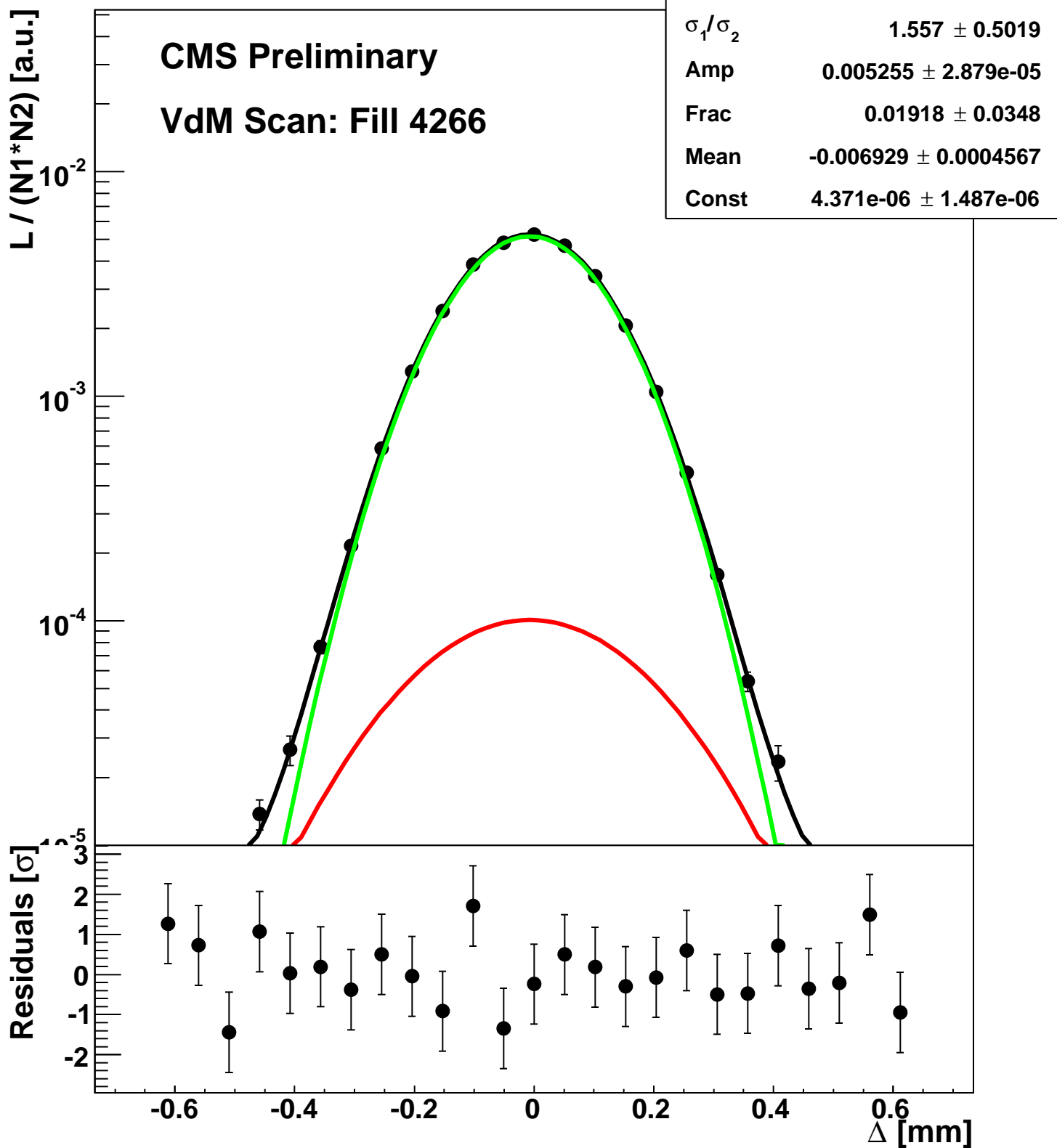
Scan 2: Y-plane BCID 251



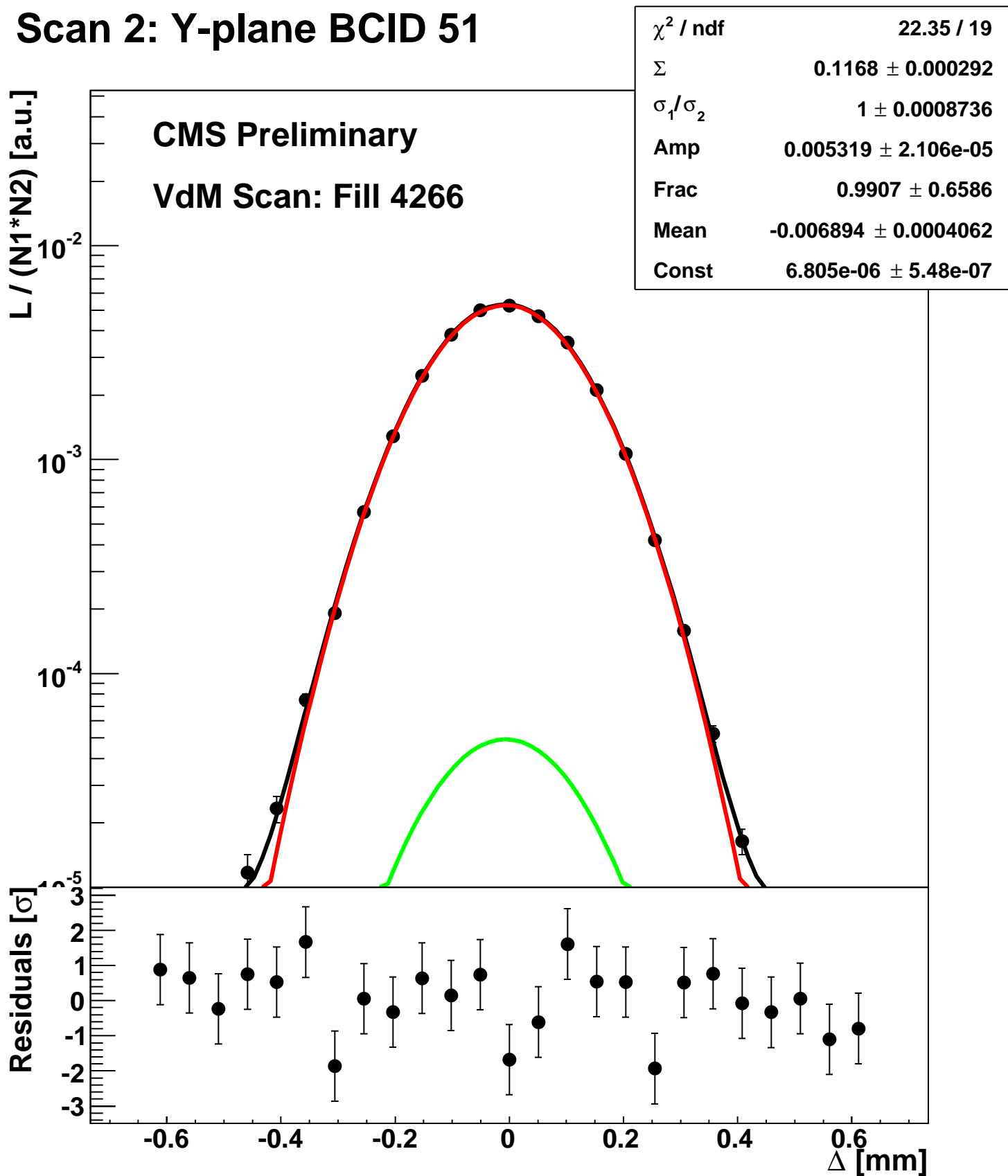
Scan 2: Y-plane BCID 2674



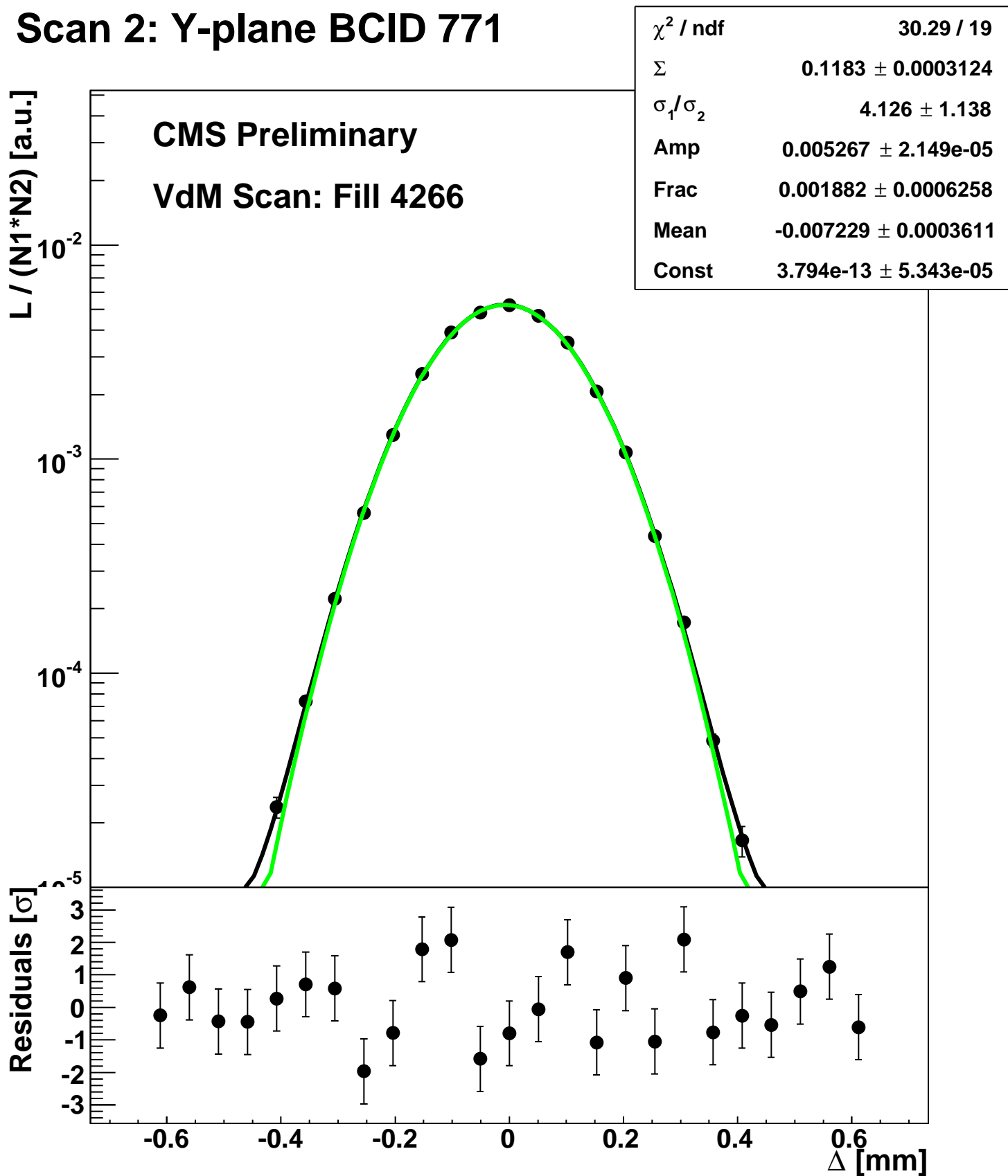
Scan 2: Y-plane BCID 291



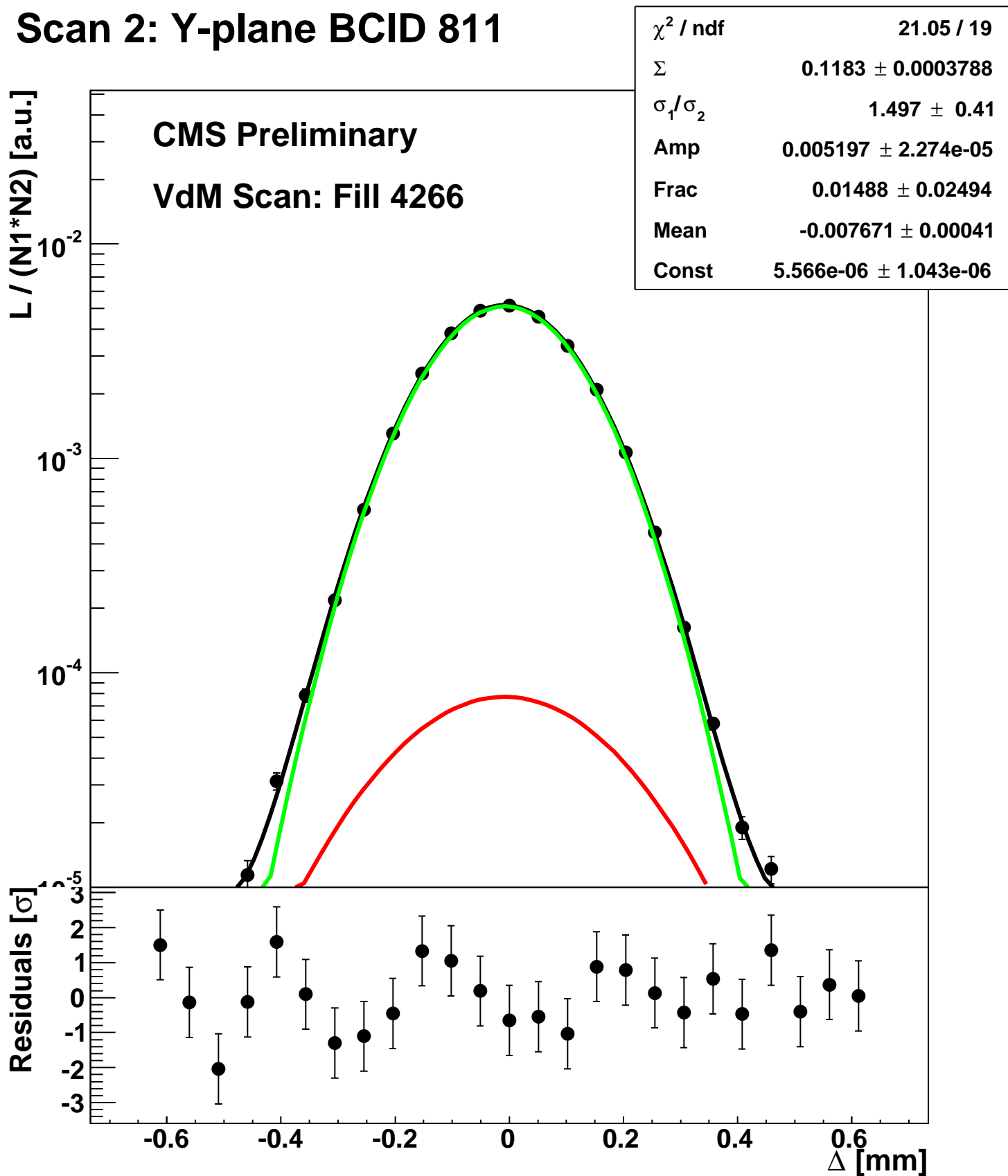
Scan 2: Y-plane BCID 51



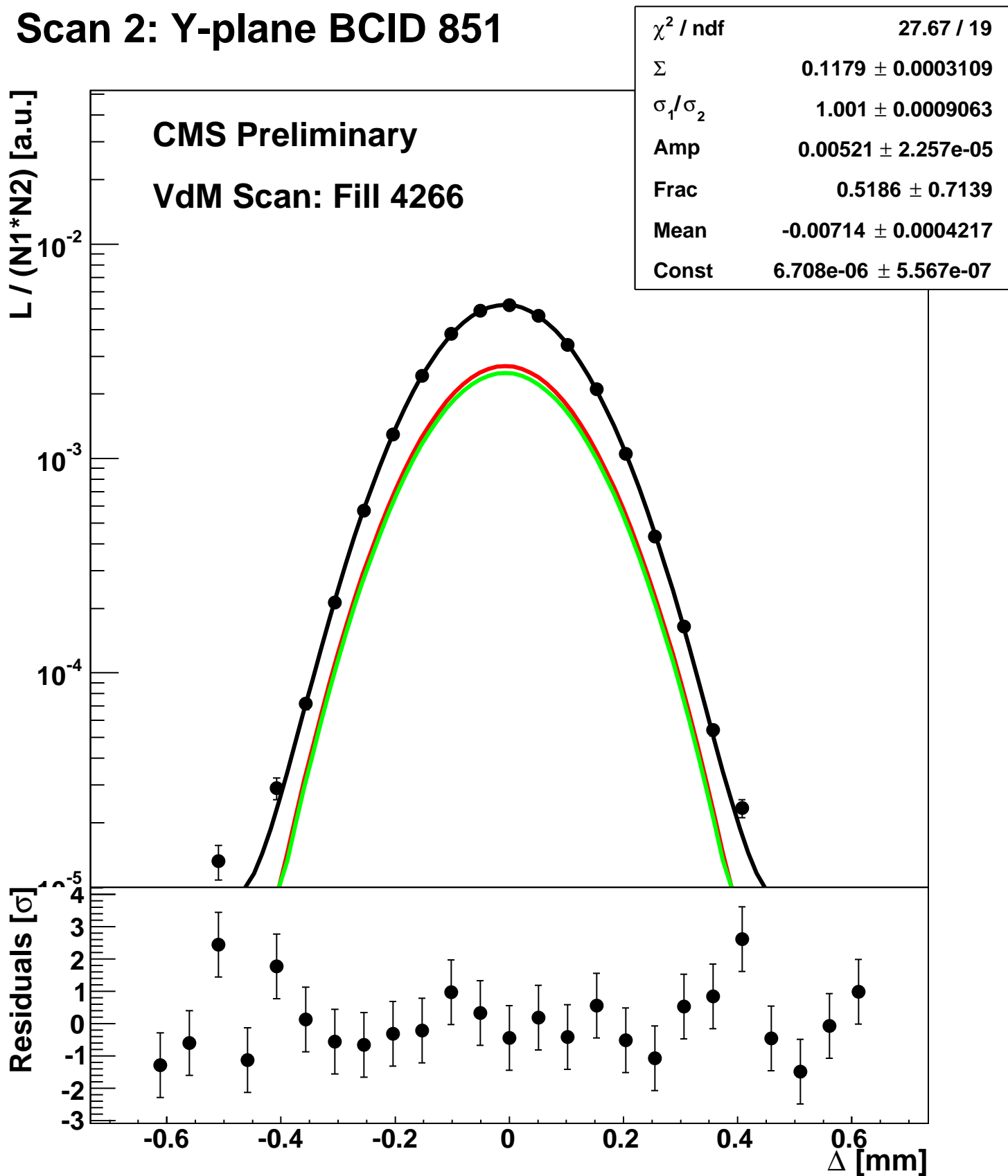
Scan 2: Y-plane BCID 771



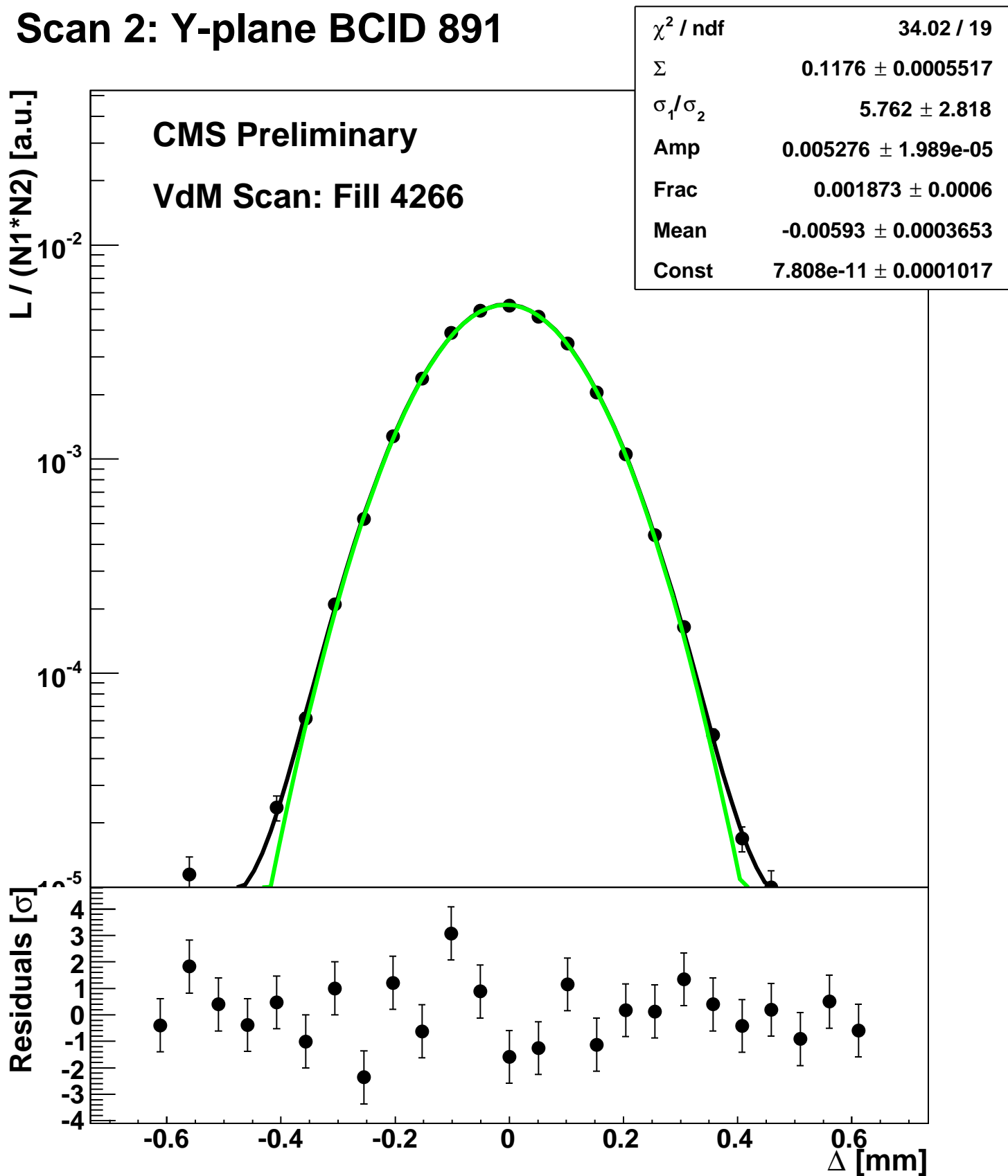
Scan 2: Y-plane BCID 811



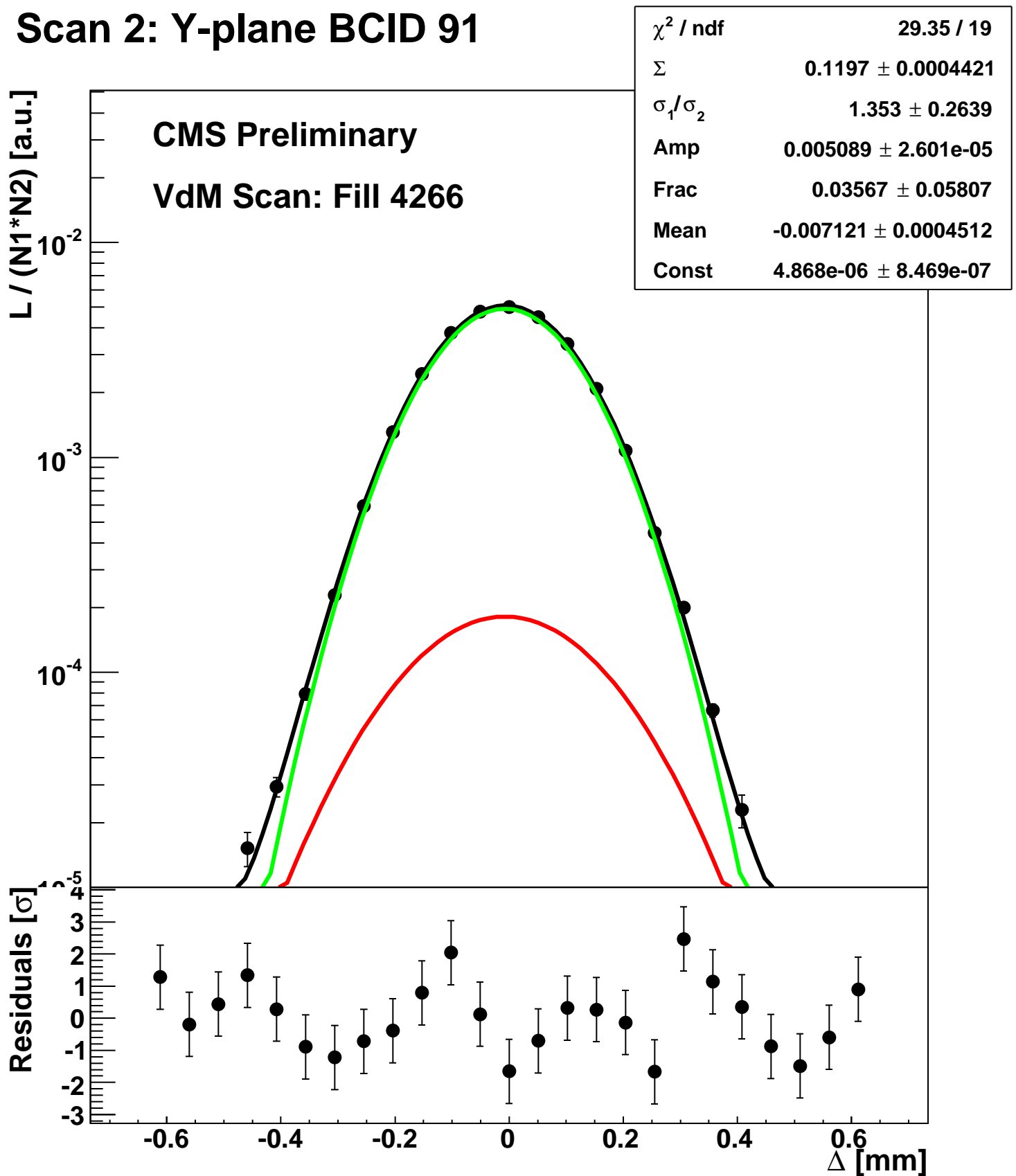
Scan 2: Y-plane BCID 851



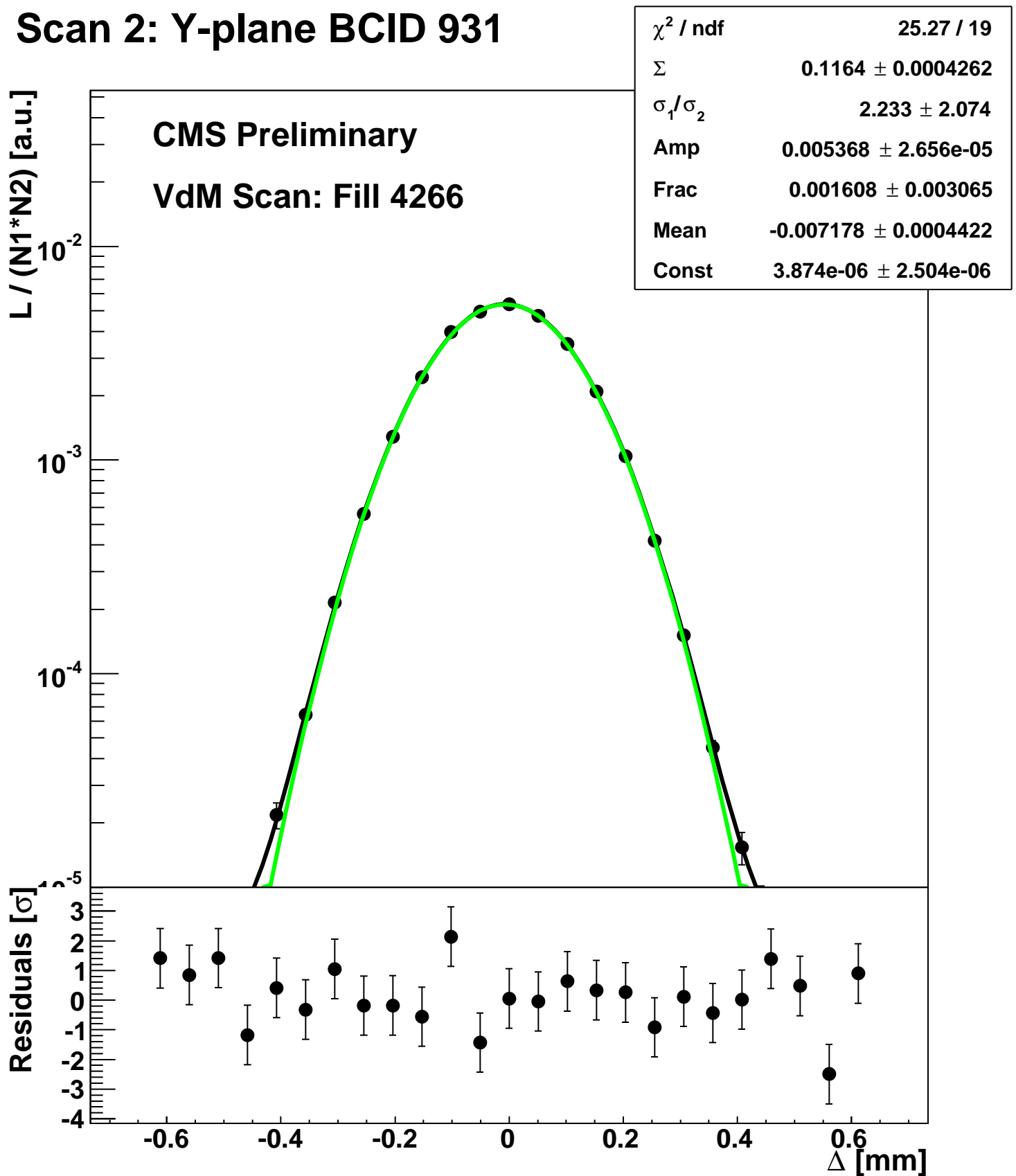
Scan 2: Y-plane BCID 891



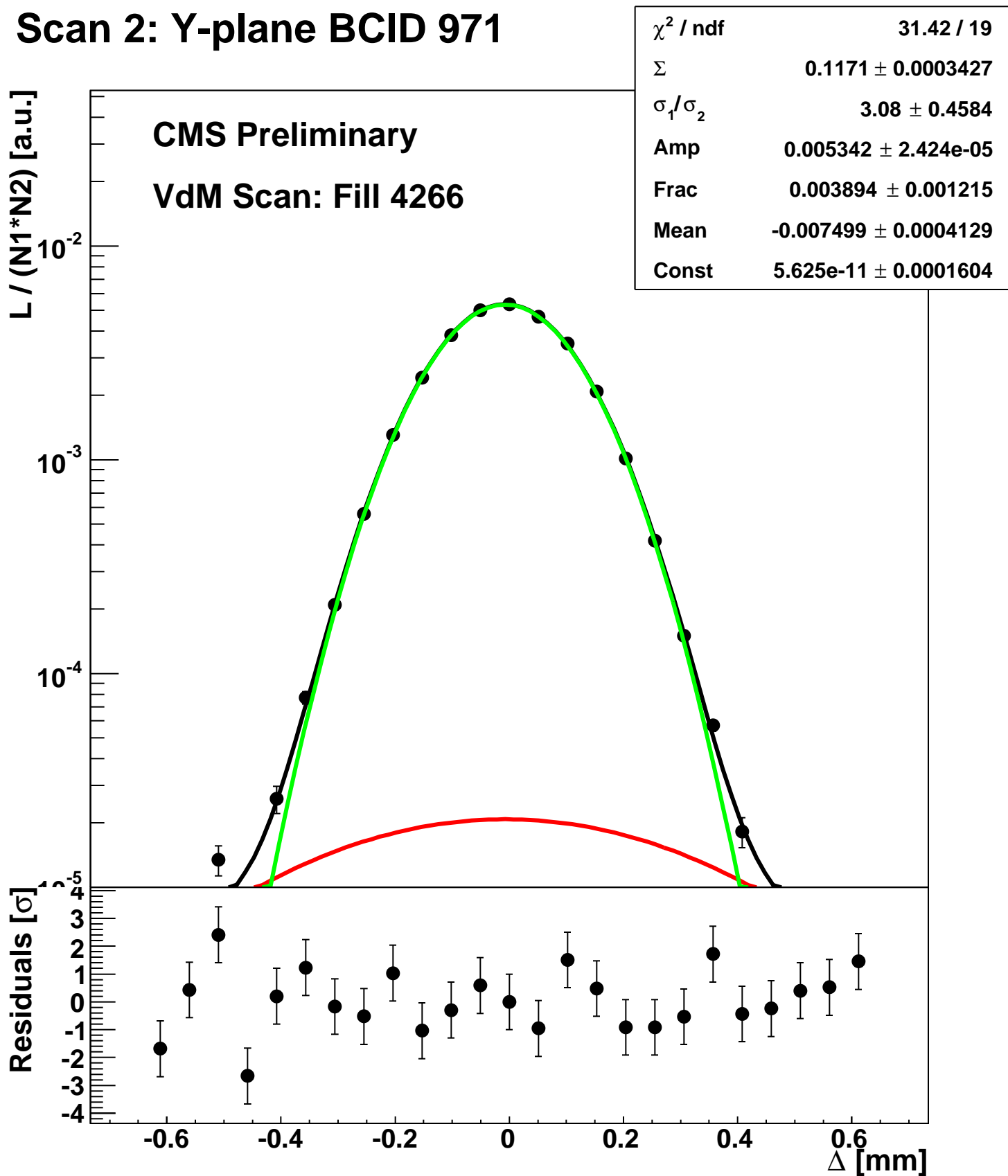
Scan 2: Y-plane BCID 91



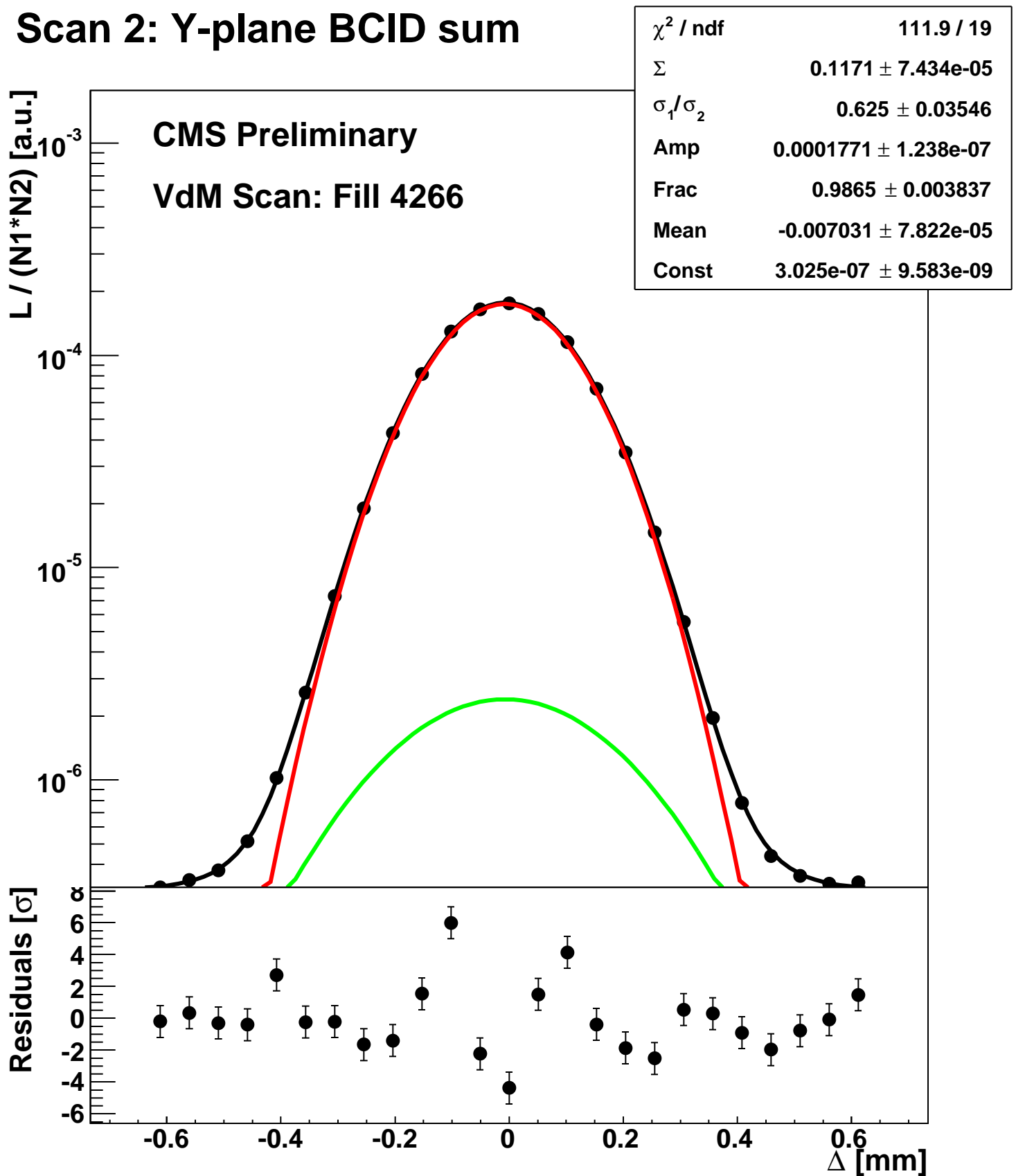
Scan 2: Y-plane BCID 931



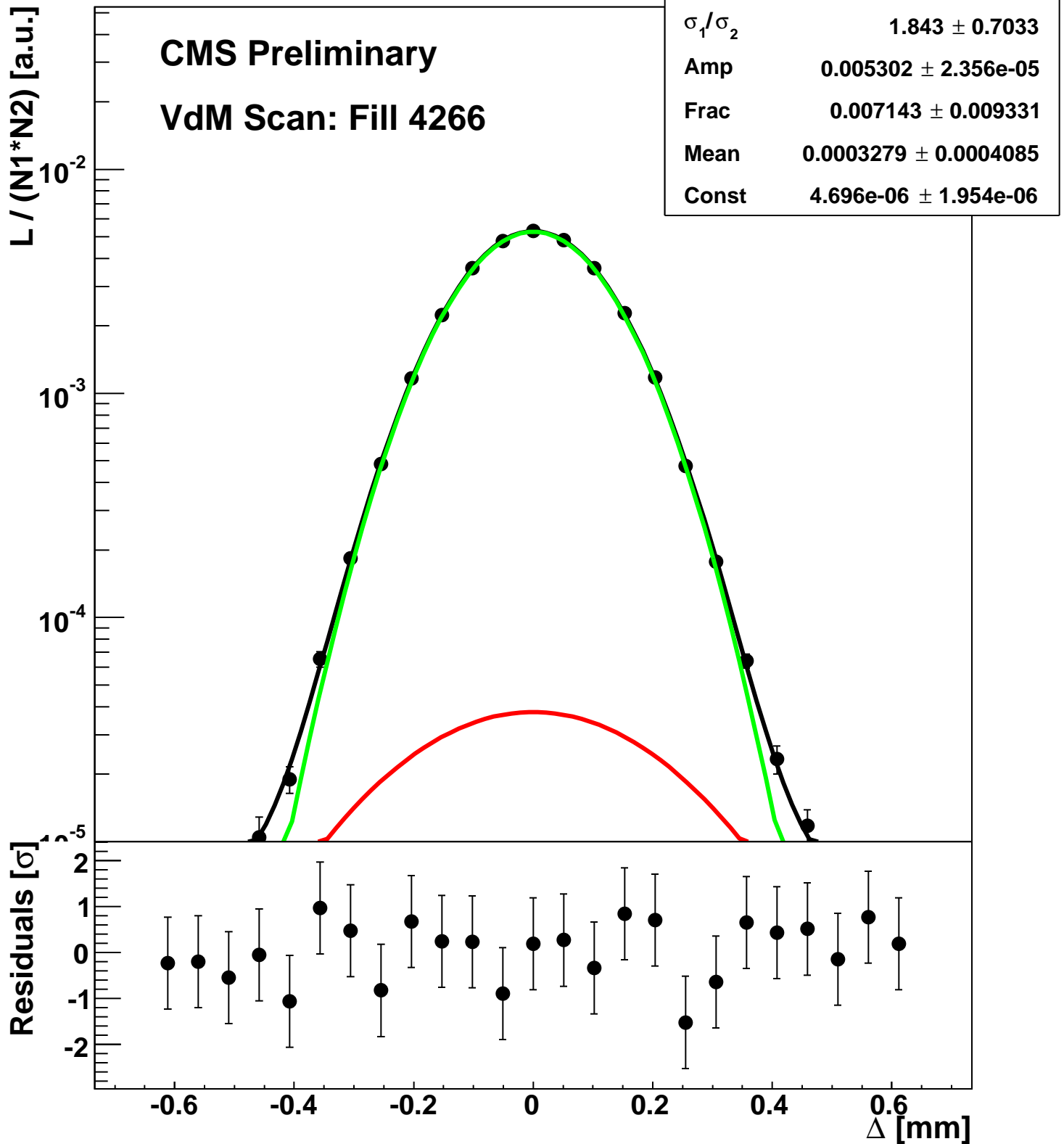
Scan 2: Y-plane BCID 971



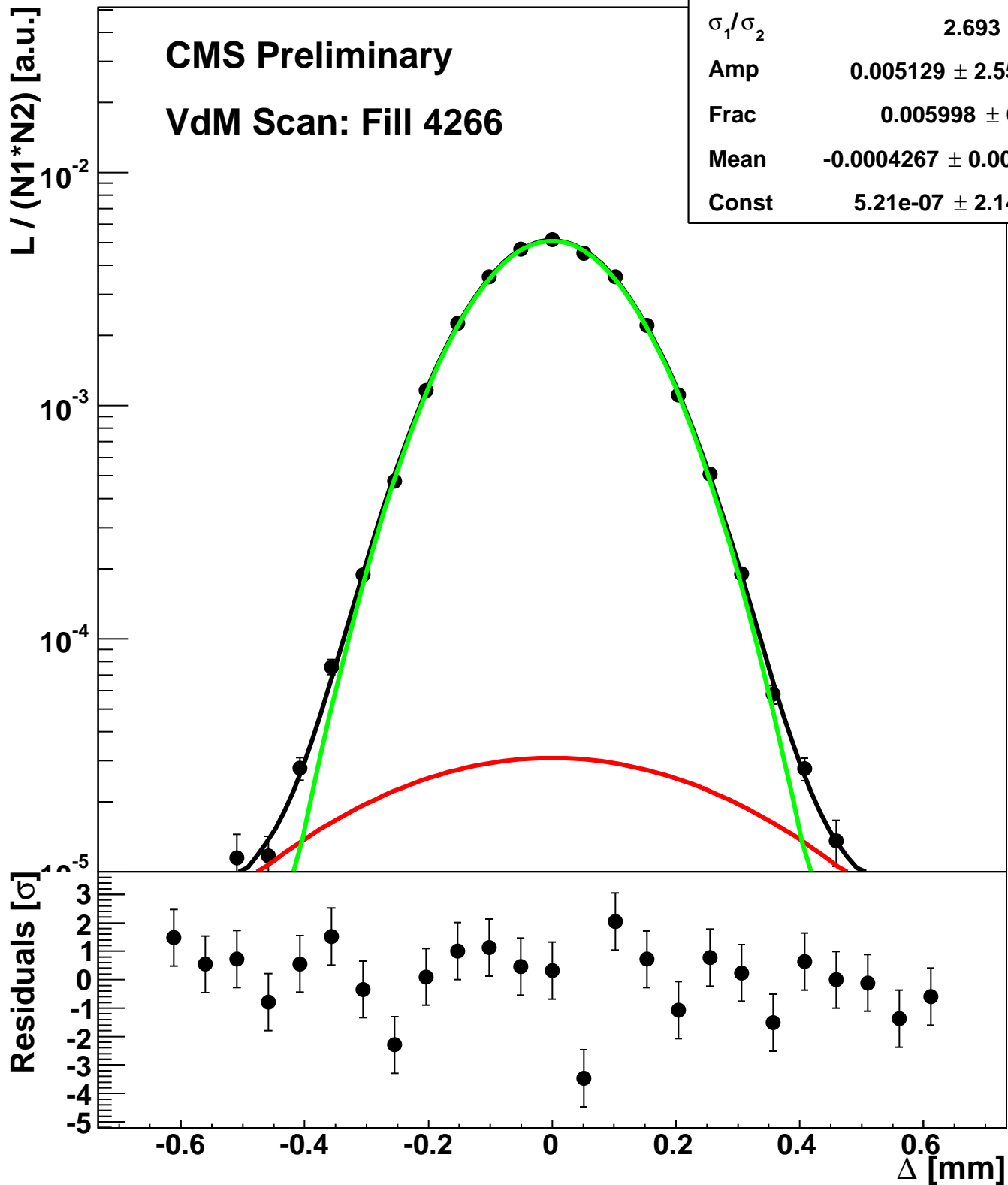
Scan 2: Y-plane BCID sum



Scan 3: Y-plane BCID 1011

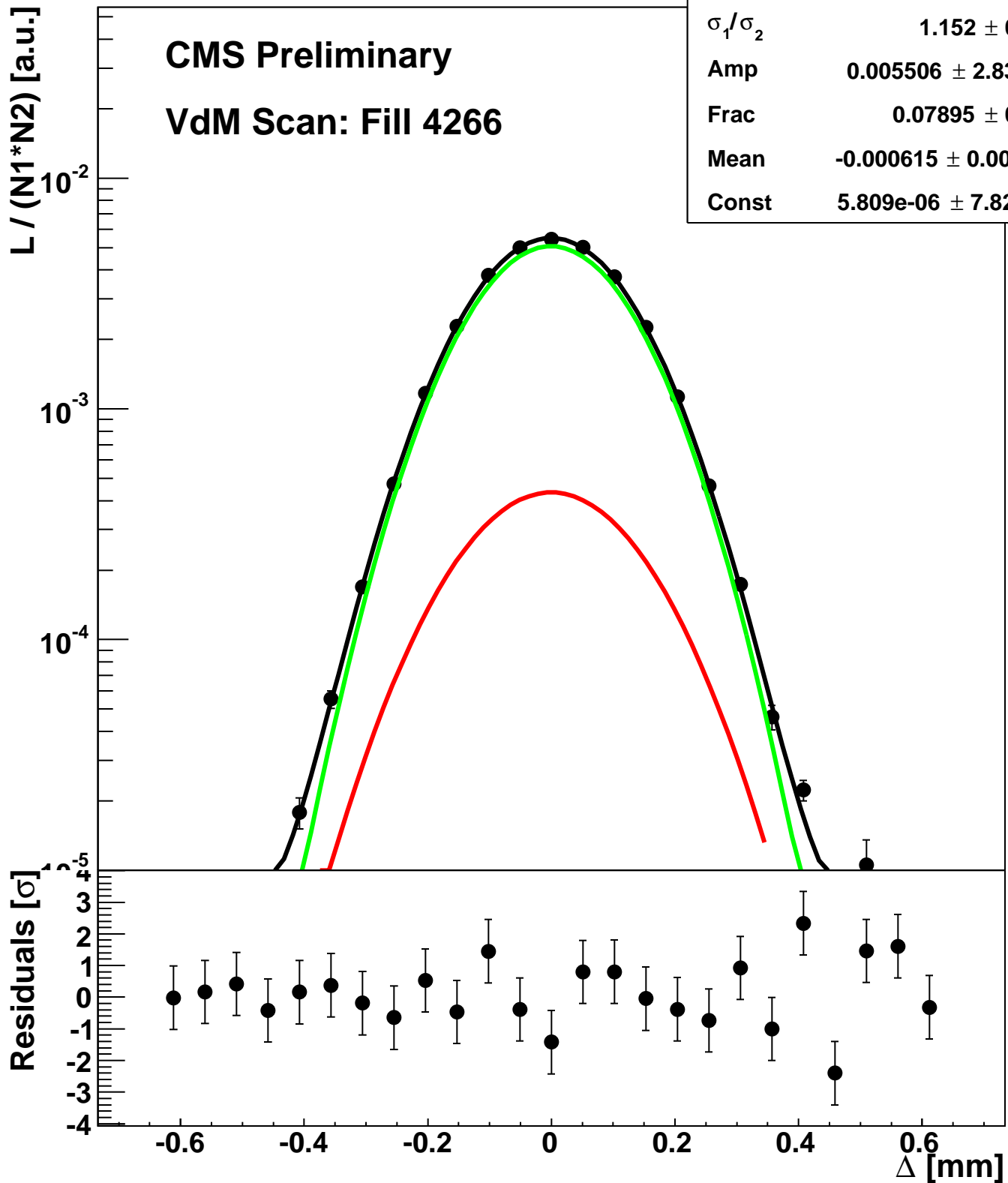


Scan 3: Y-plane BCID 131

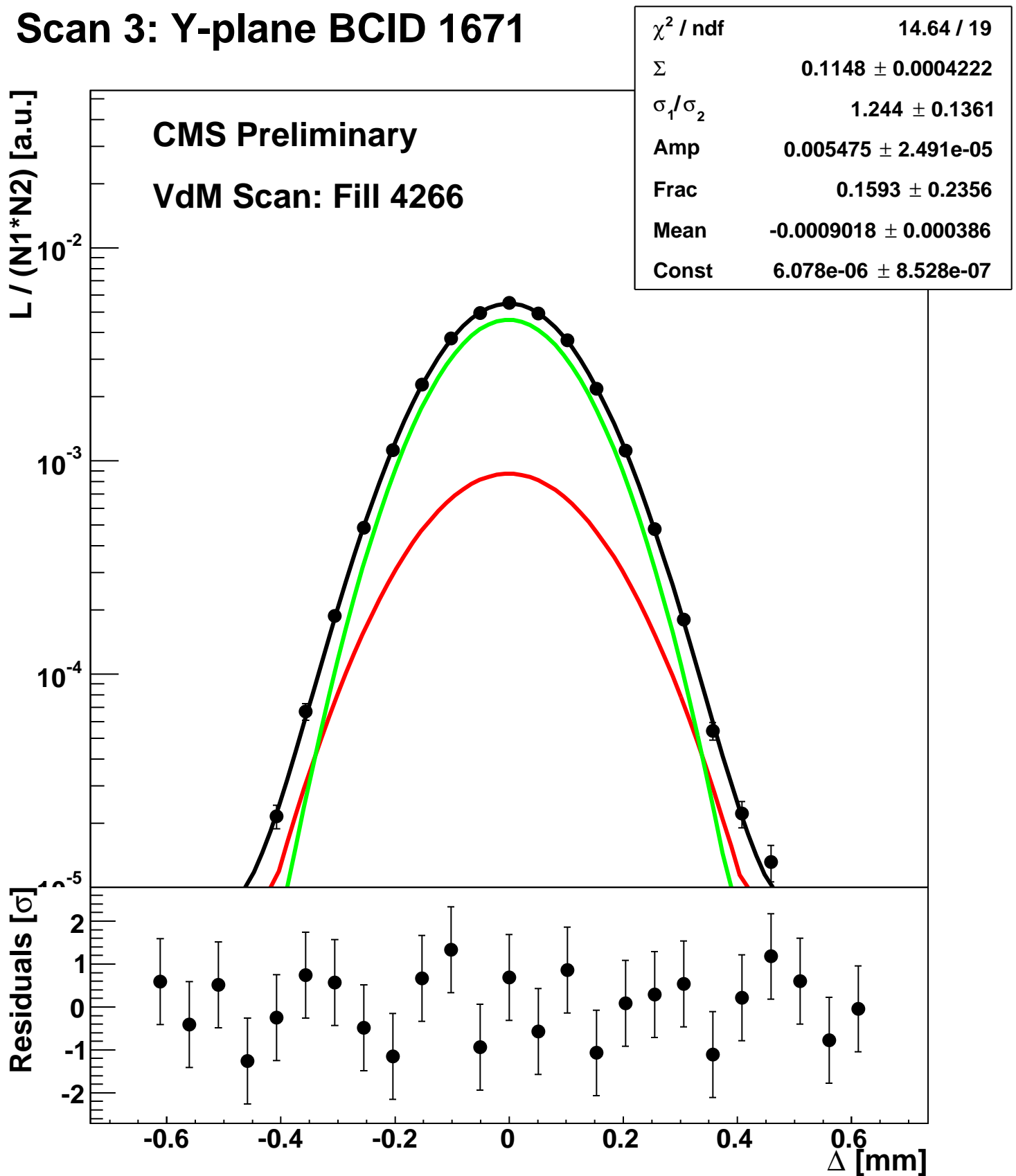


| | |
|-----------------------|--|
| χ^2 / ndf | 37.69 / 19 |
| Σ | 0.1184 ± 0.0007948 |
| σ_1 / σ_2 | 2.693 ± 1.01 |
| Amp | $0.005129 \pm 2.556\text{e-}05$ |
| Frac | 0.005998 ± 0.0018 |
| Mean | -0.0004267 ± 0.0004863 |
| Const | $5.21\text{e-}07 \pm 2.148\text{e-}05$ |

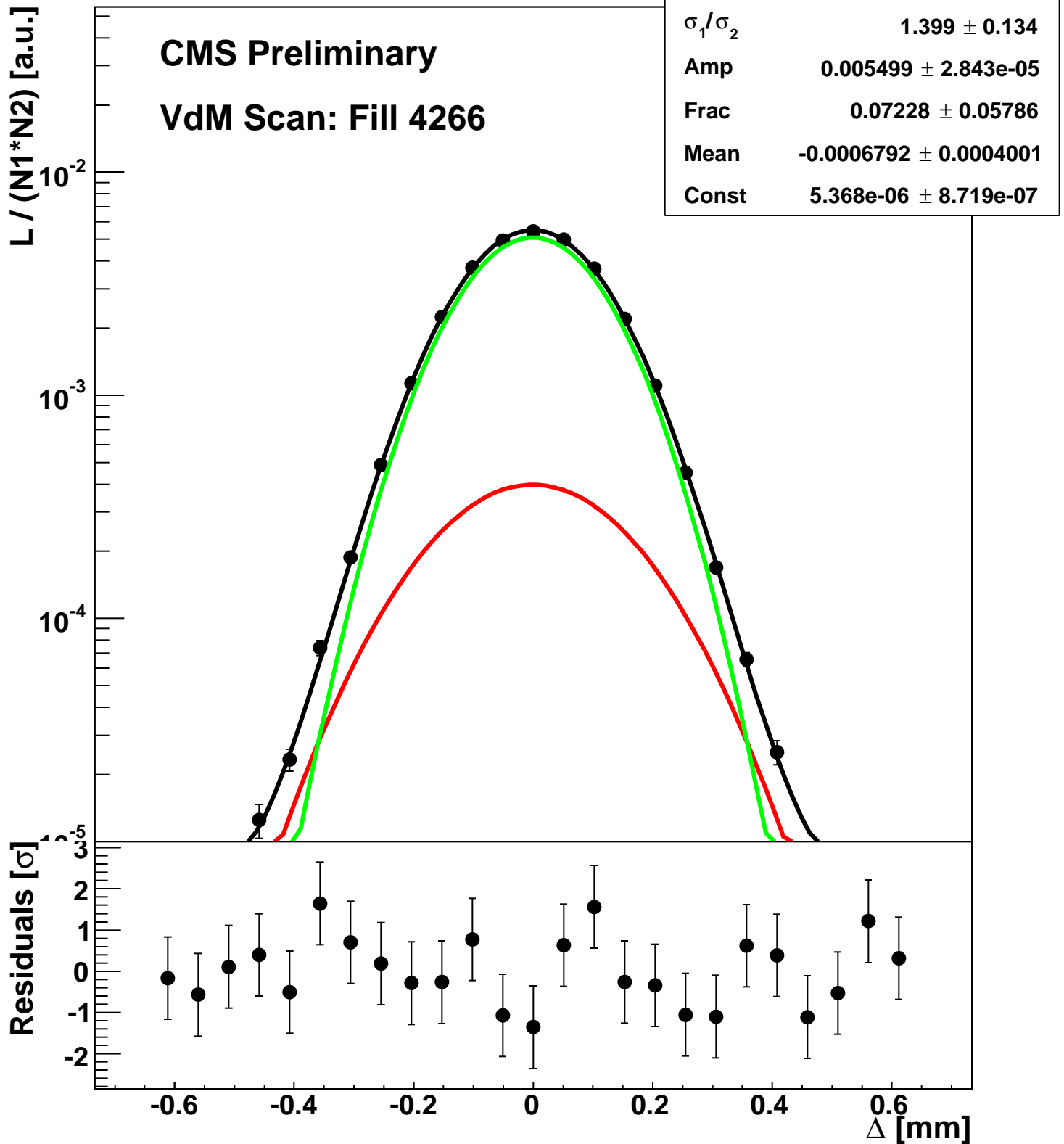
Scan 3: Y-plane BCID 1631



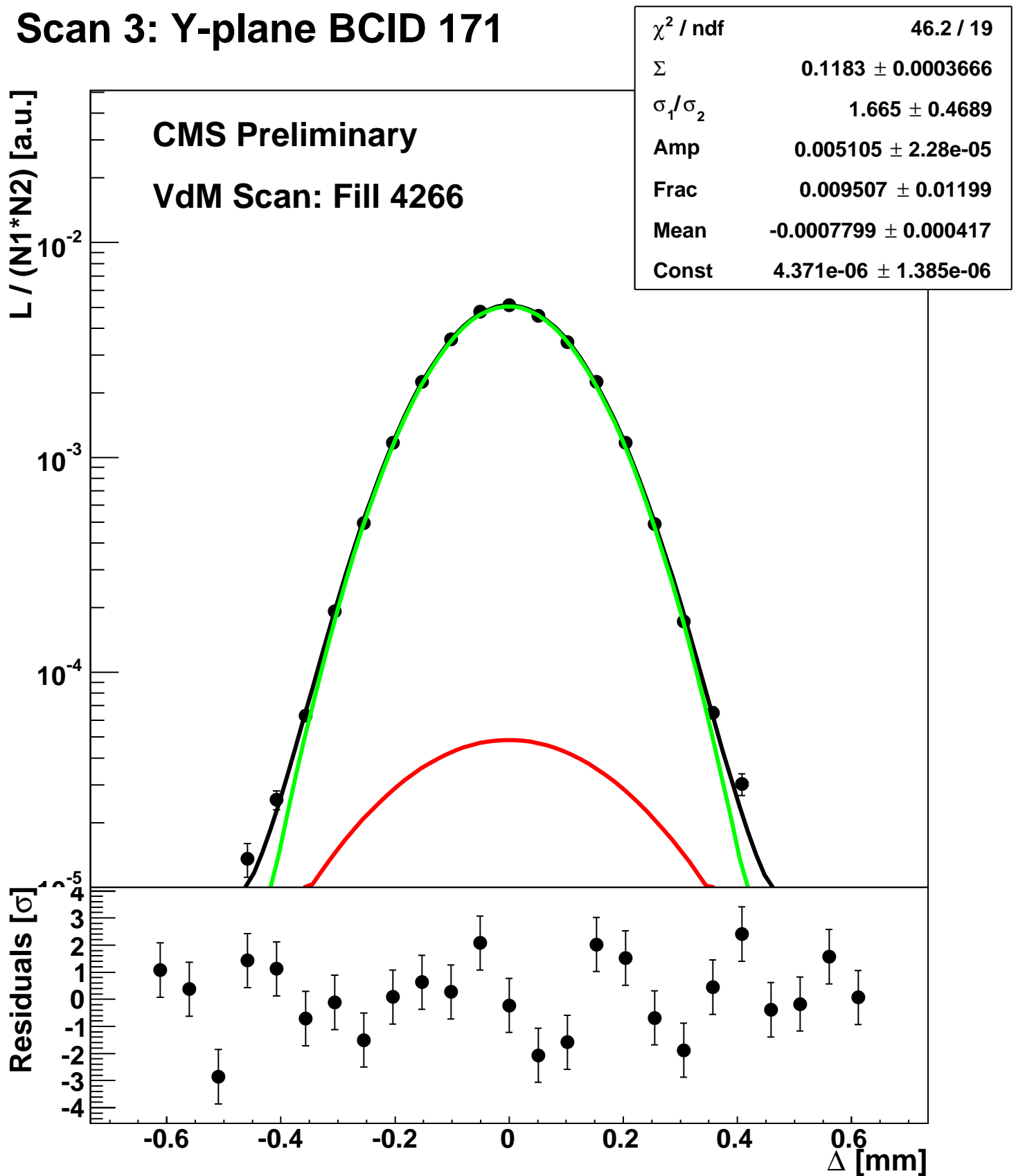
Scan 3: Y-plane BCID 1671



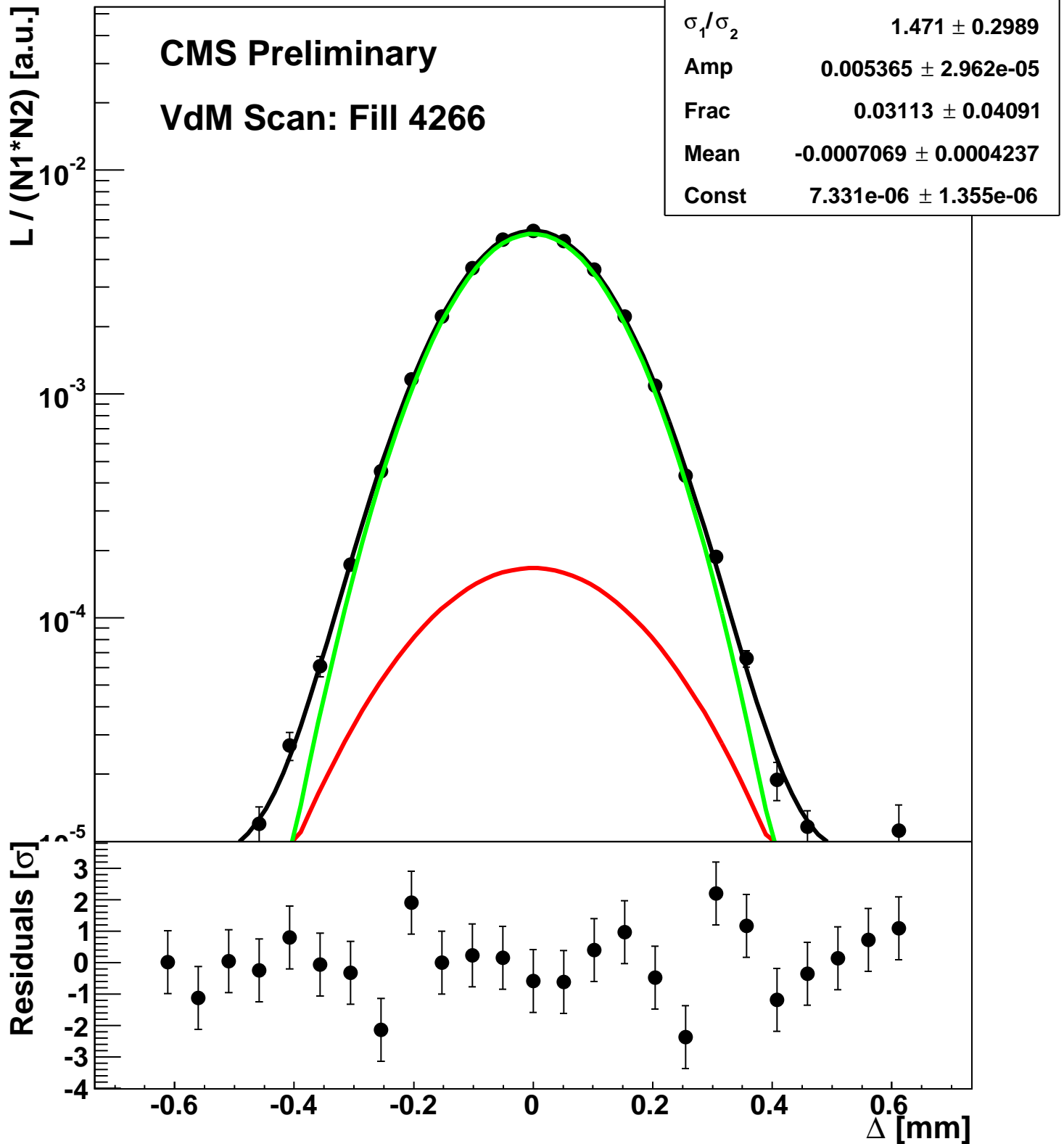
Scan 3: Y-plane BCID 1711



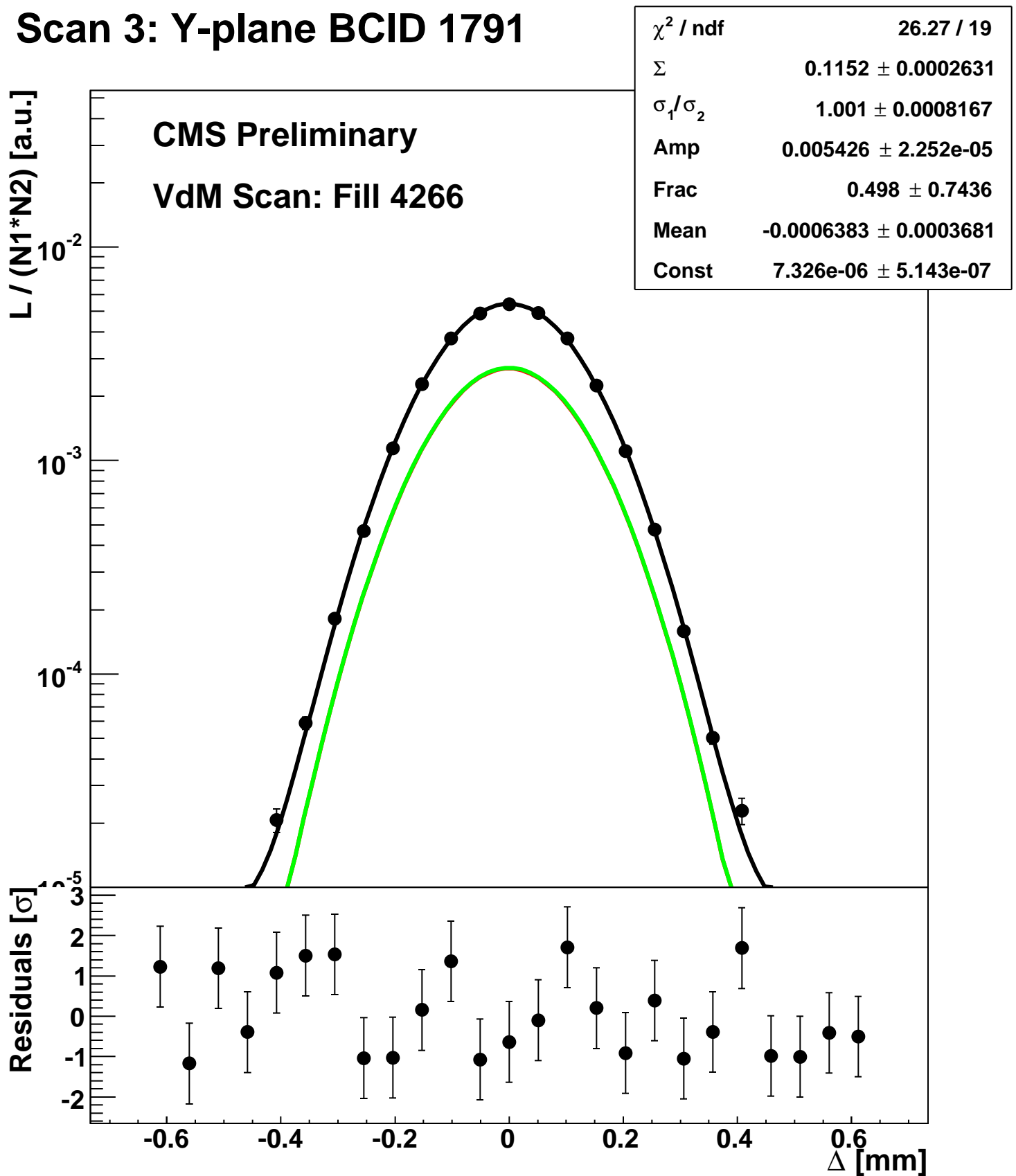
Scan 3: Y-plane BCID 171



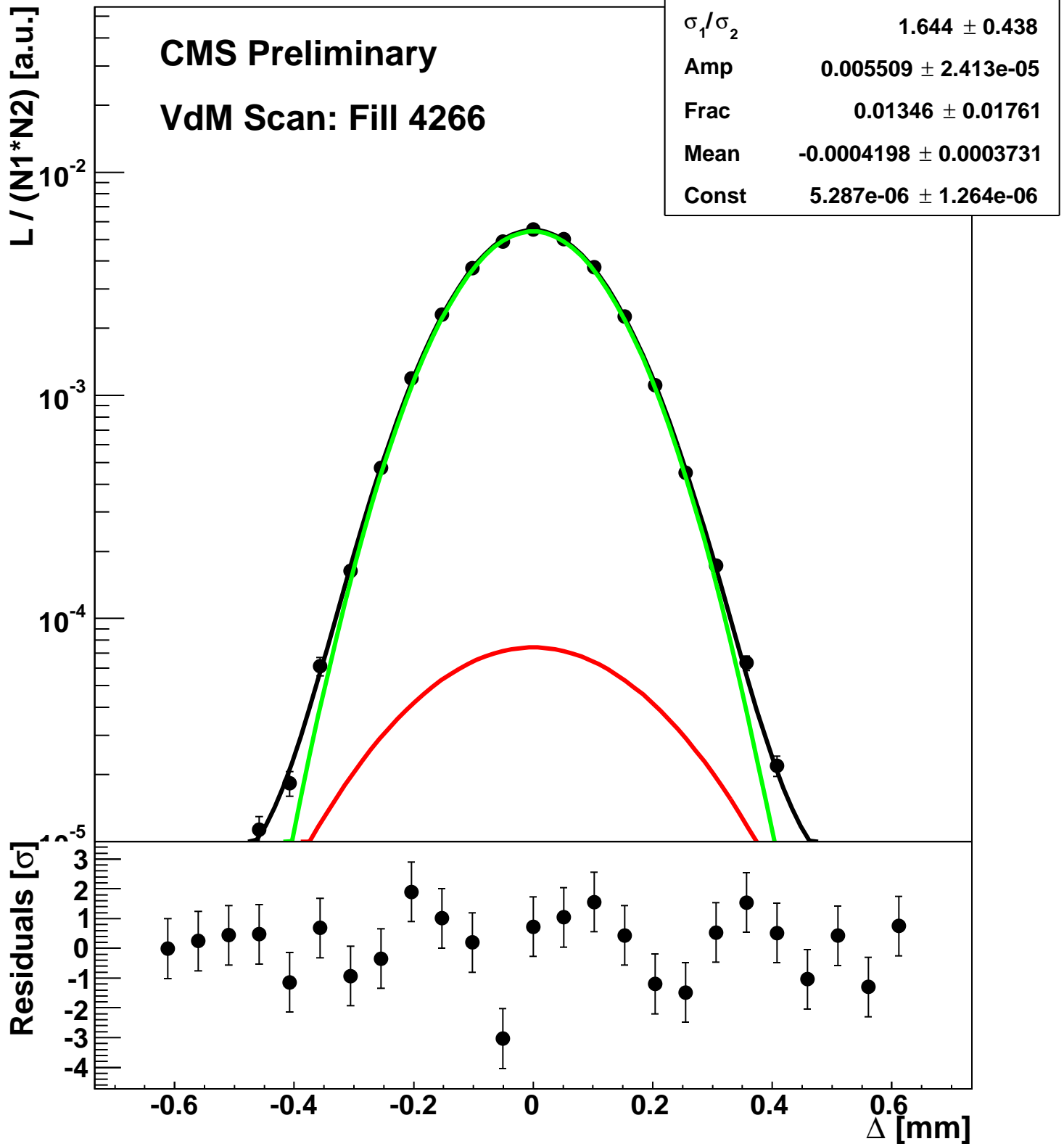
Scan 3: Y-plane BCID 1751



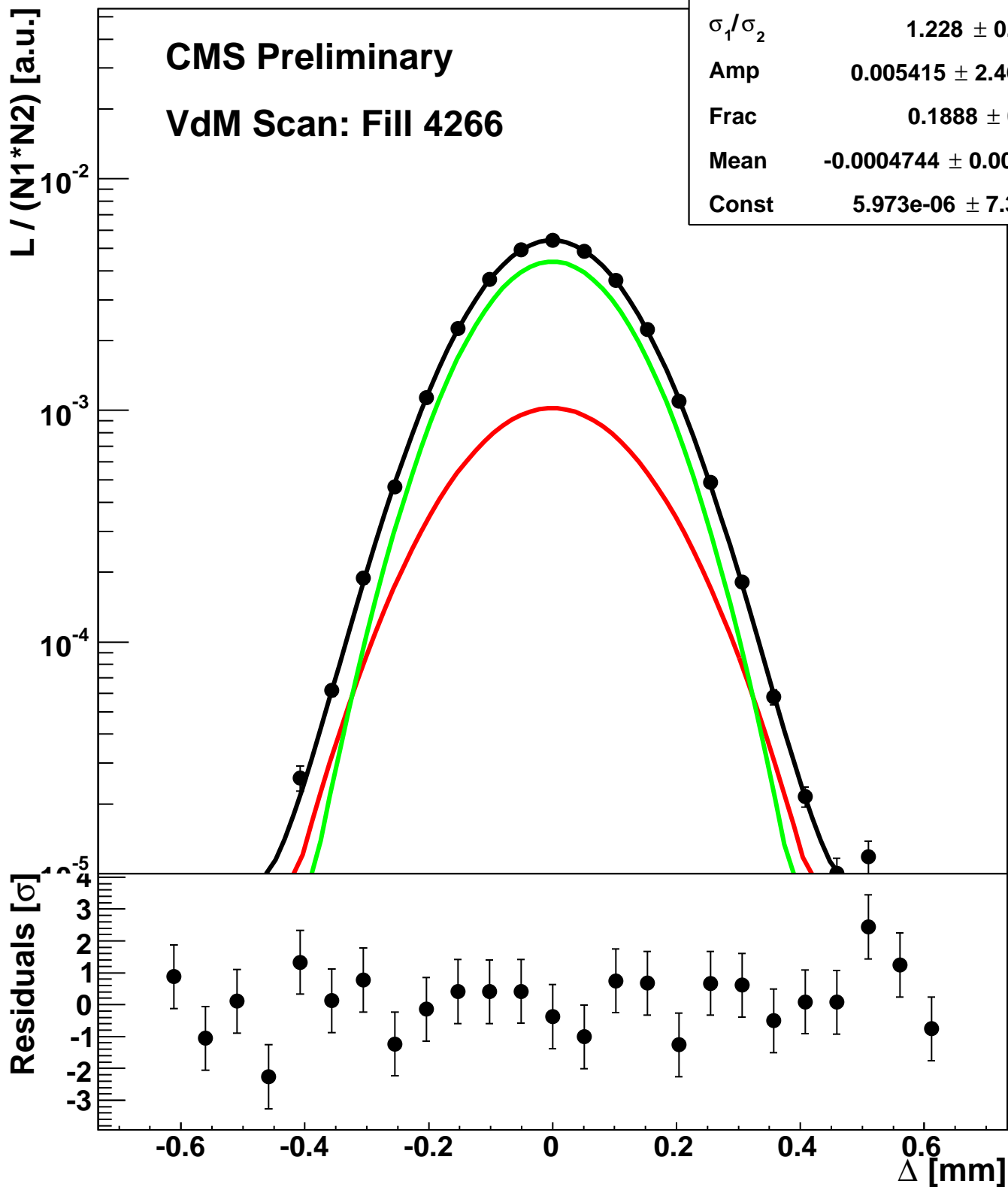
Scan 3: Y-plane BCID 1791



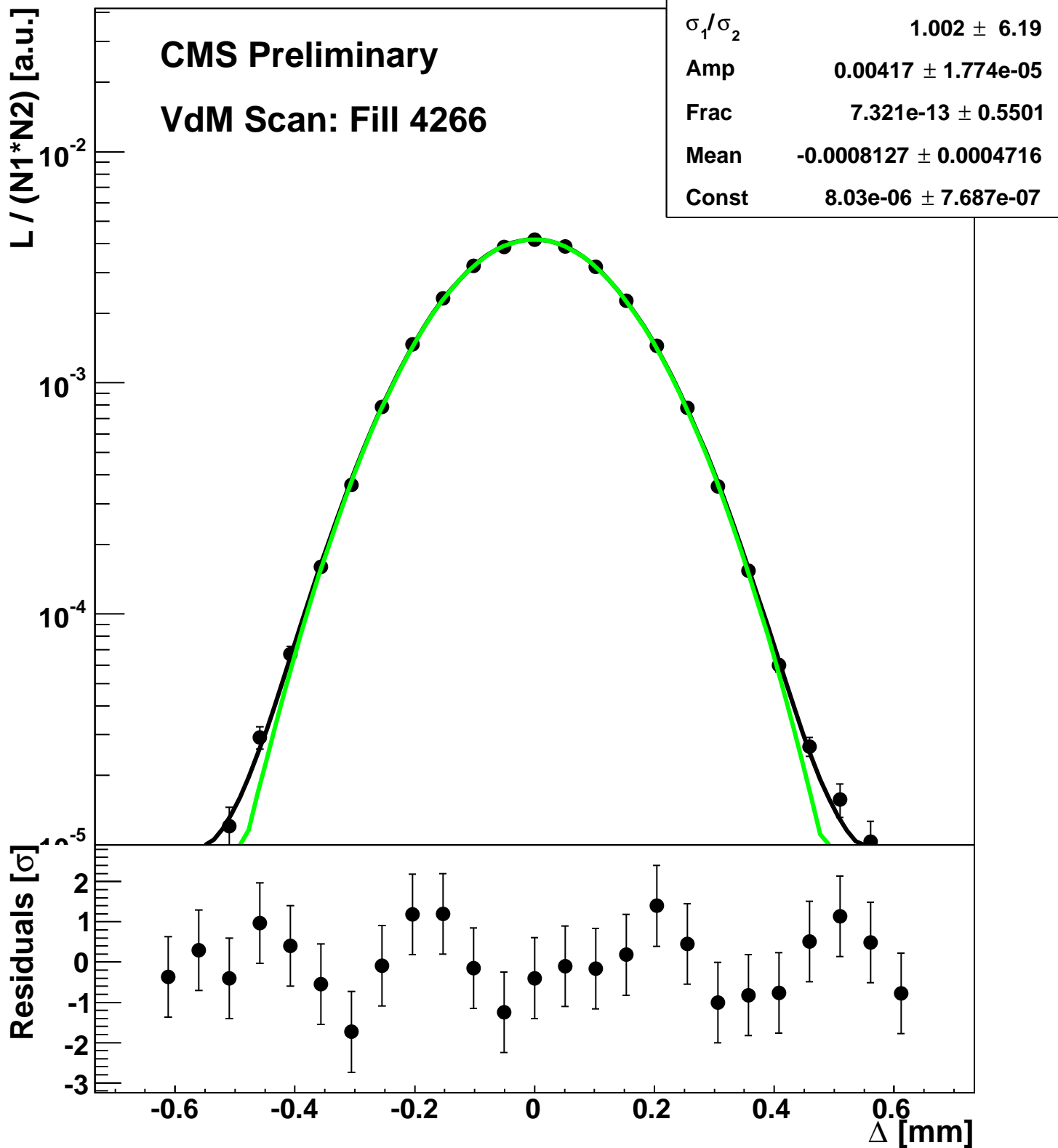
Scan 3: Y-plane BCID 1831



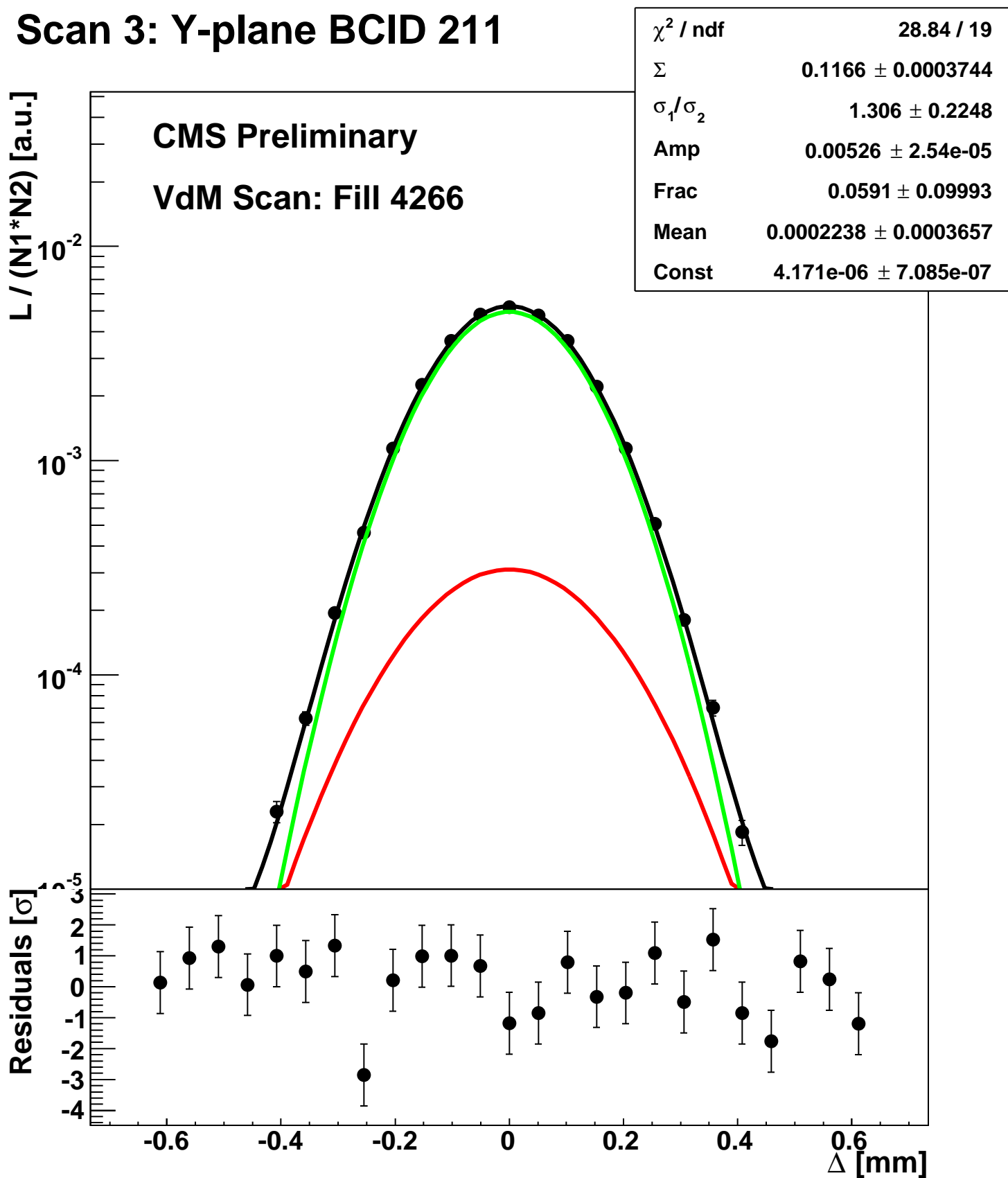
Scan 3: Y-plane BCID 1871



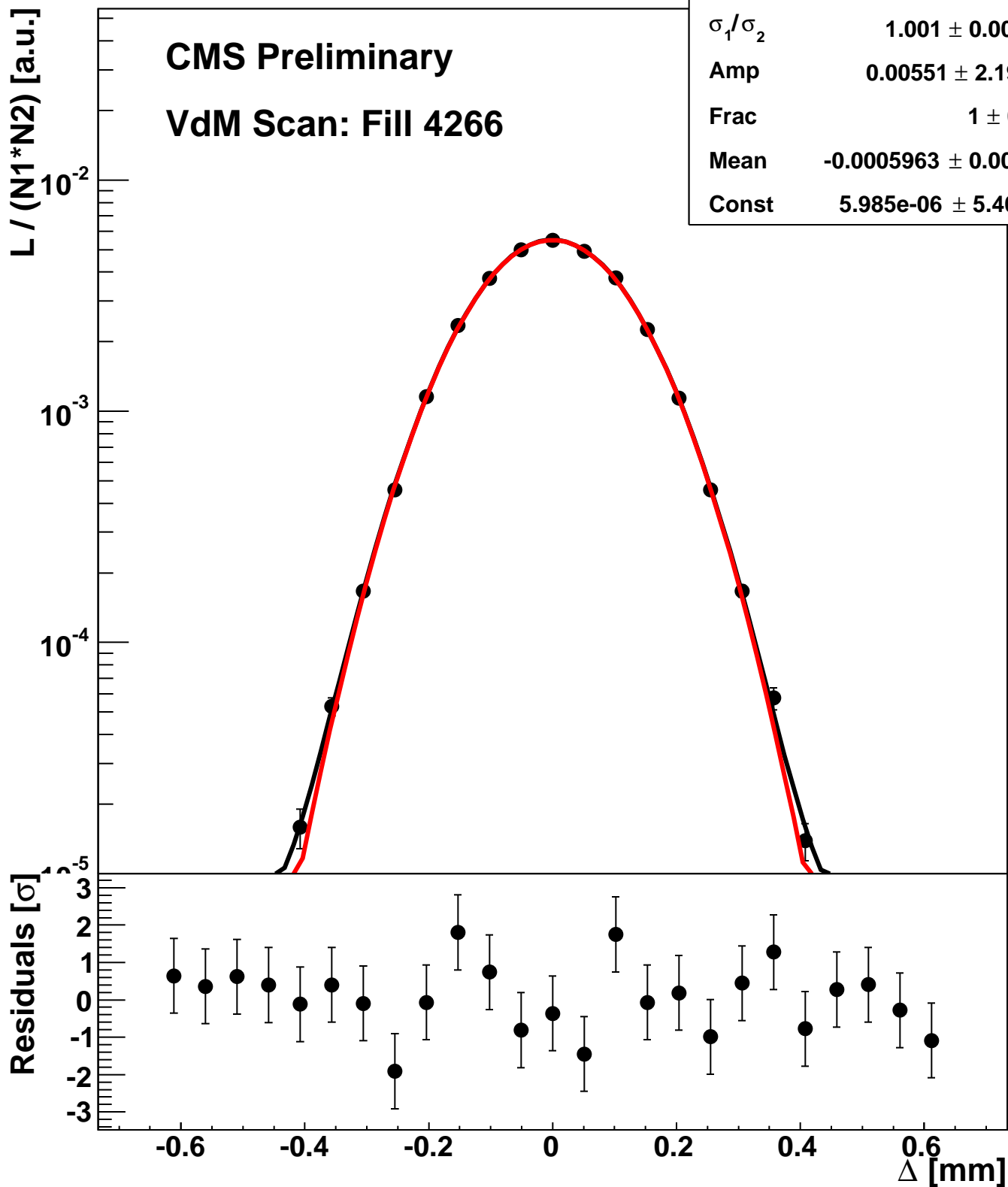
Scan 3: Y-plane BCID 1



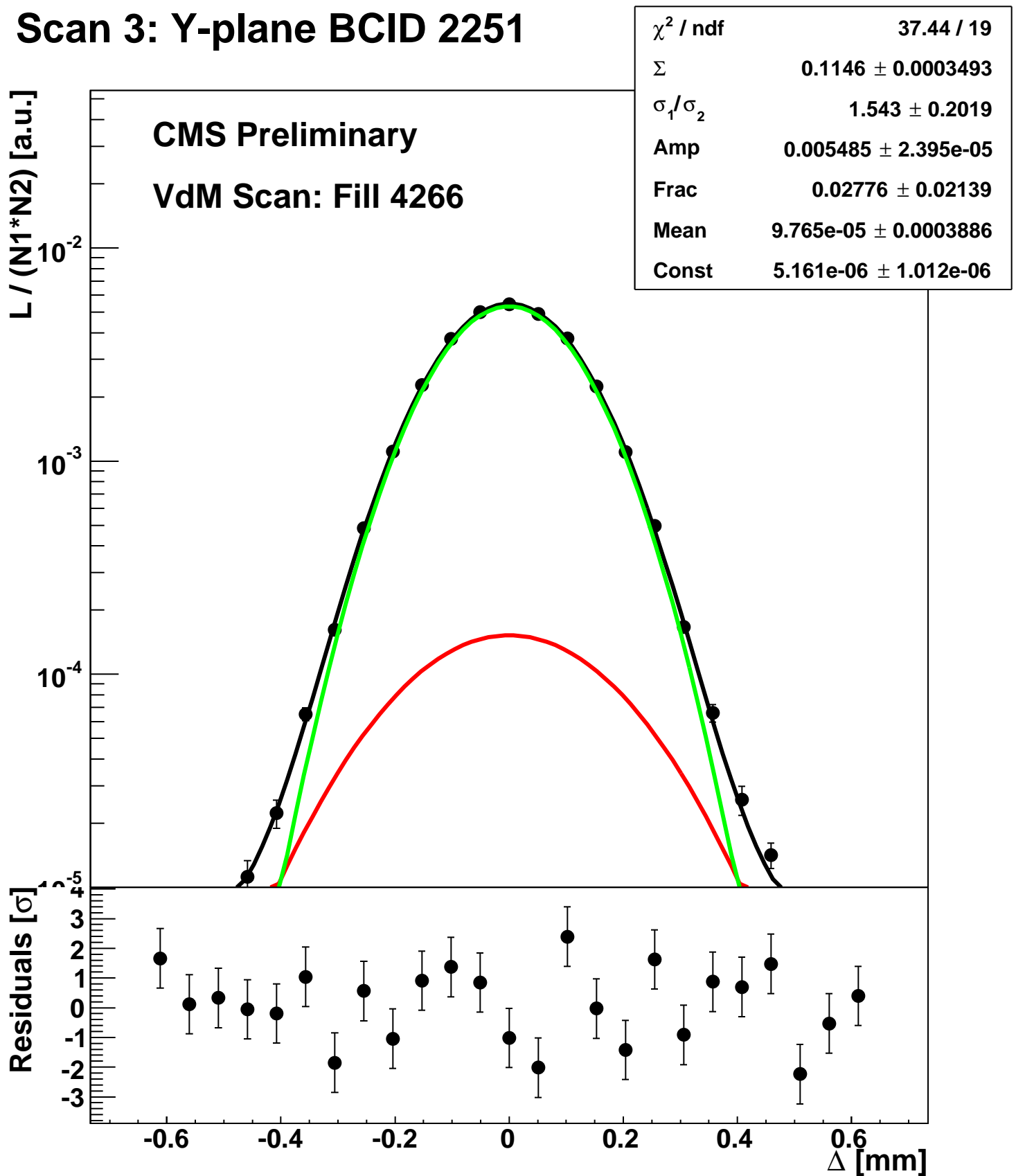
Scan 3: Y-plane BCID 211



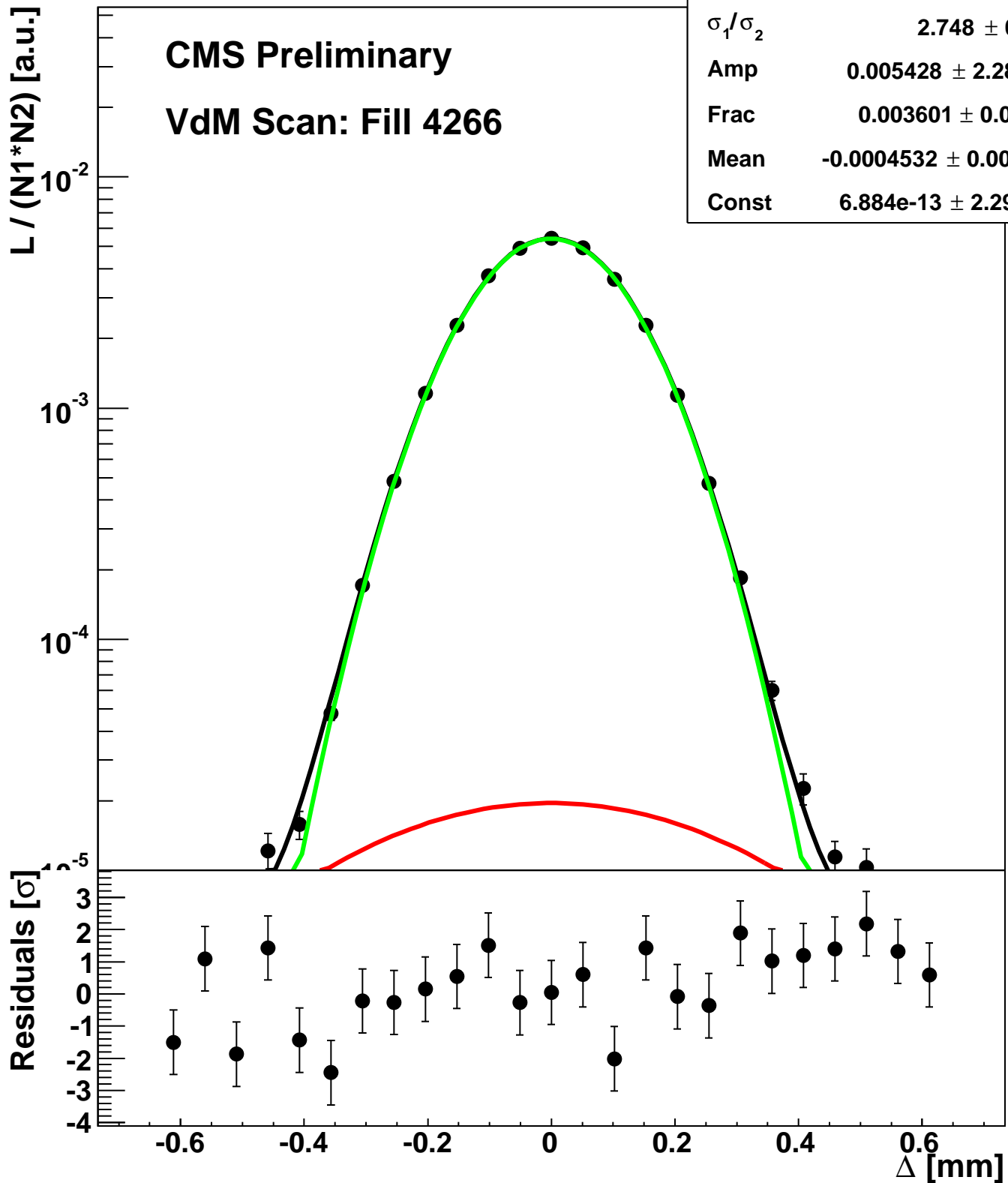
Scan 3: Y-plane BCID 2211



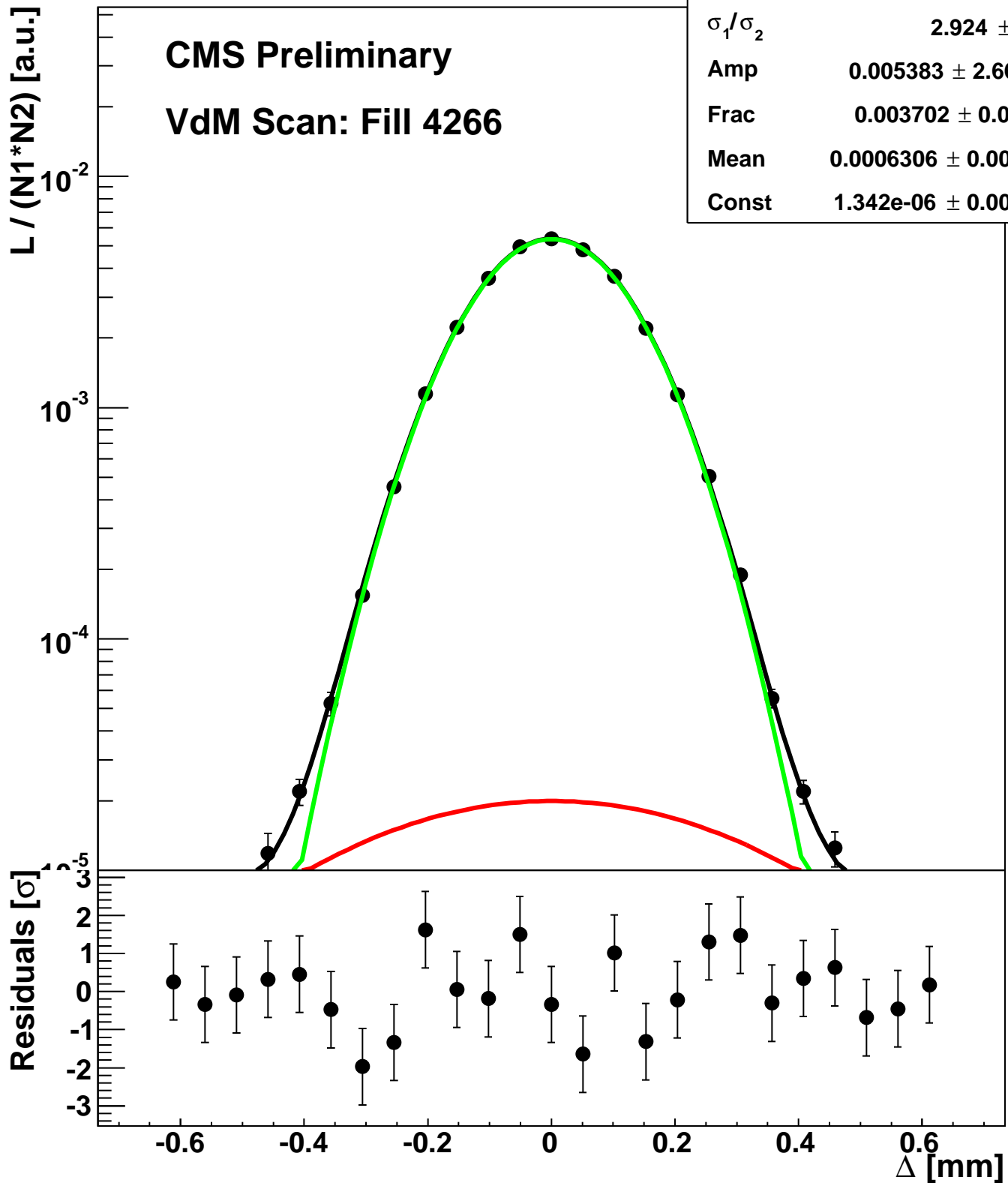
Scan 3: Y-plane BCID 2251



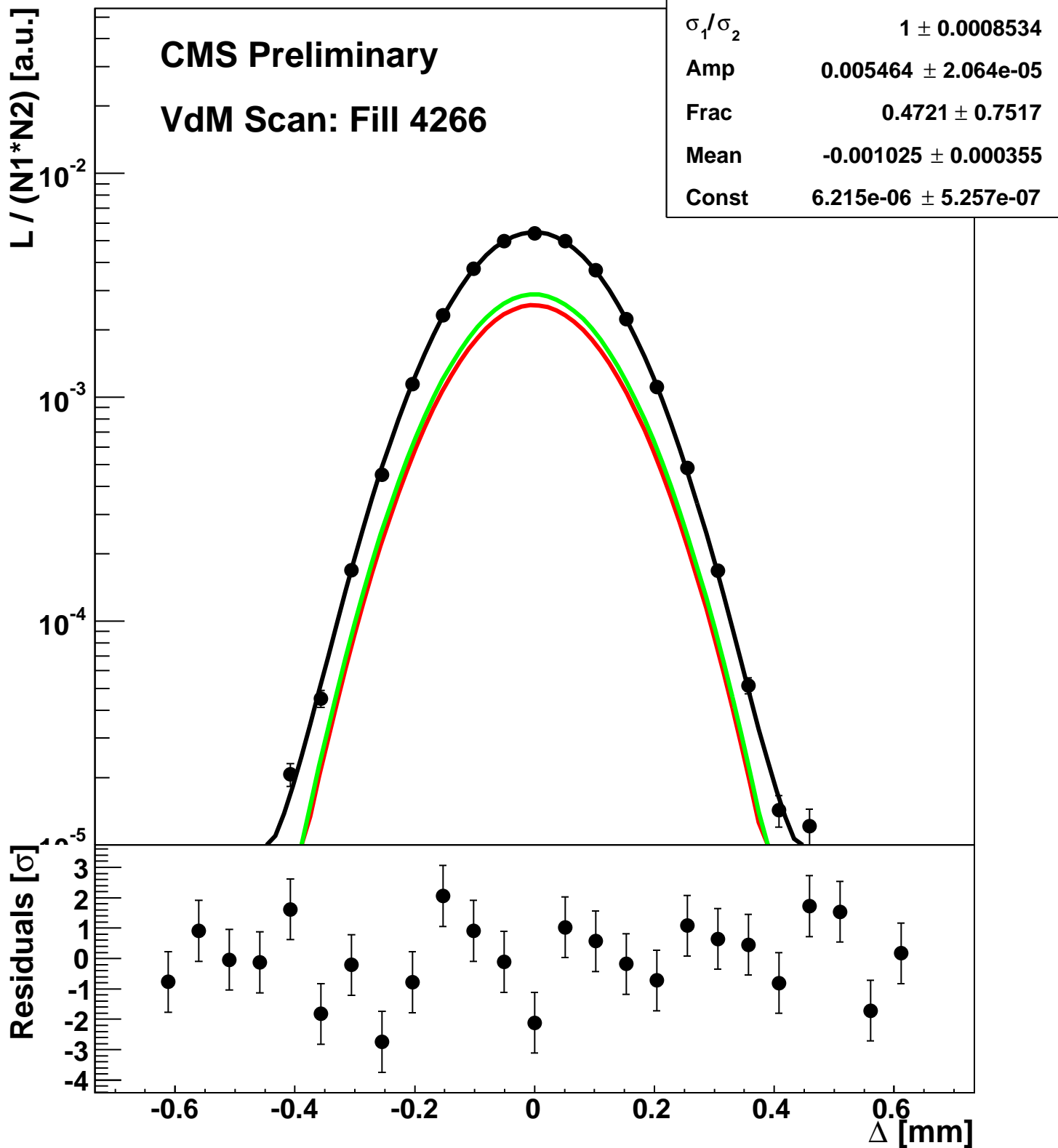
Scan 3: Y-plane BCID 2291



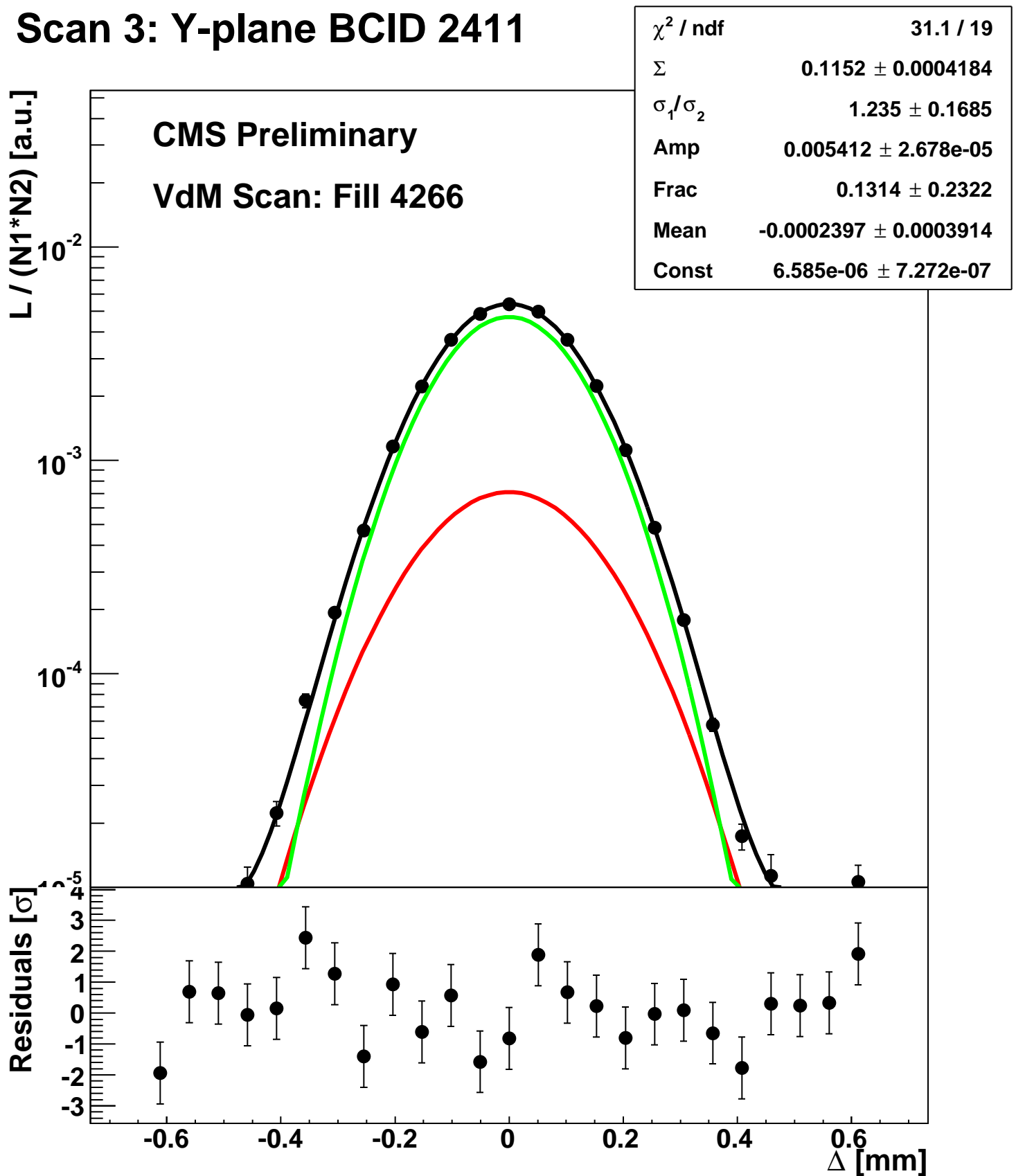
Scan 3: Y-plane BCID 2331



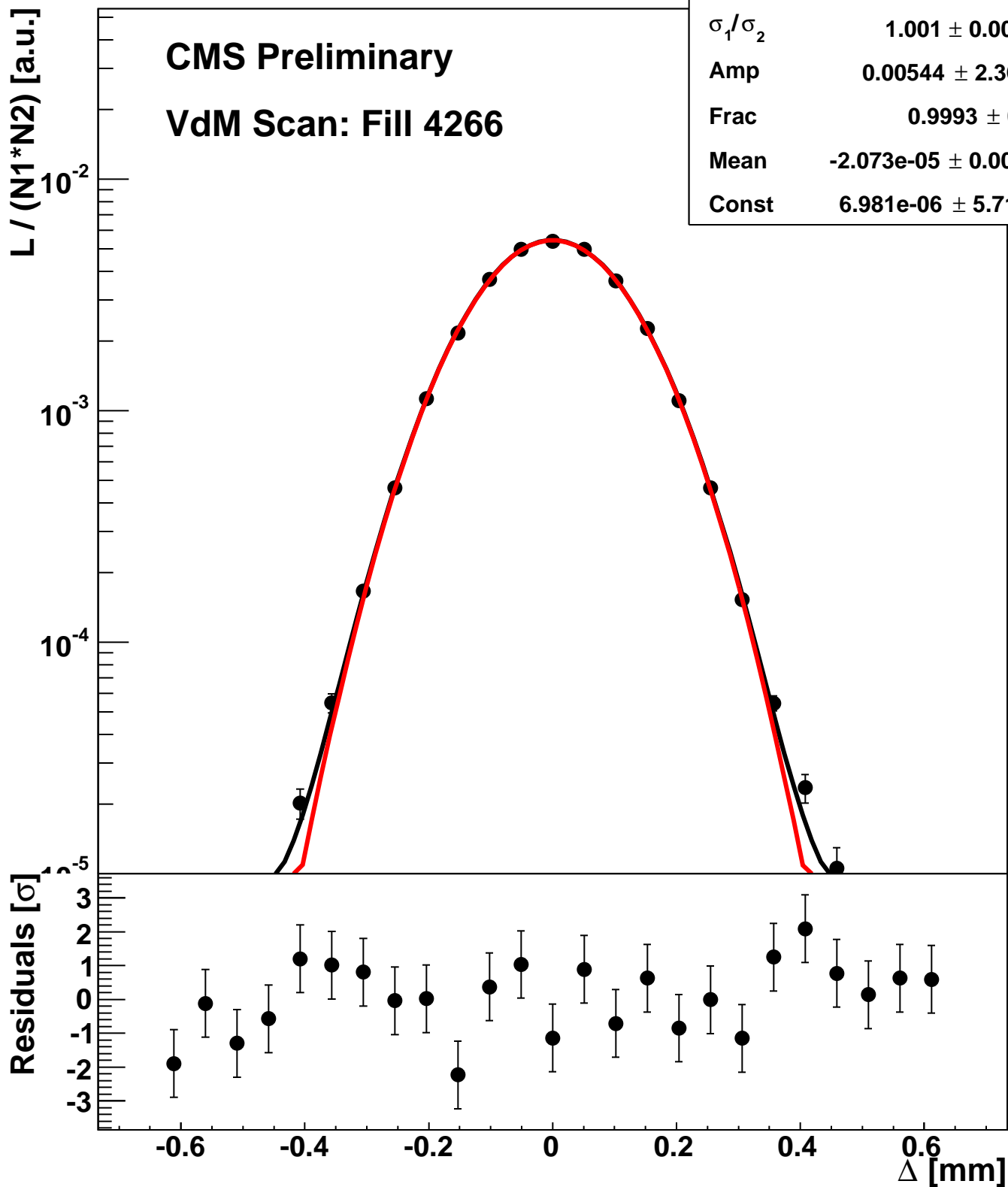
Scan 3: Y-plane BCID 2371



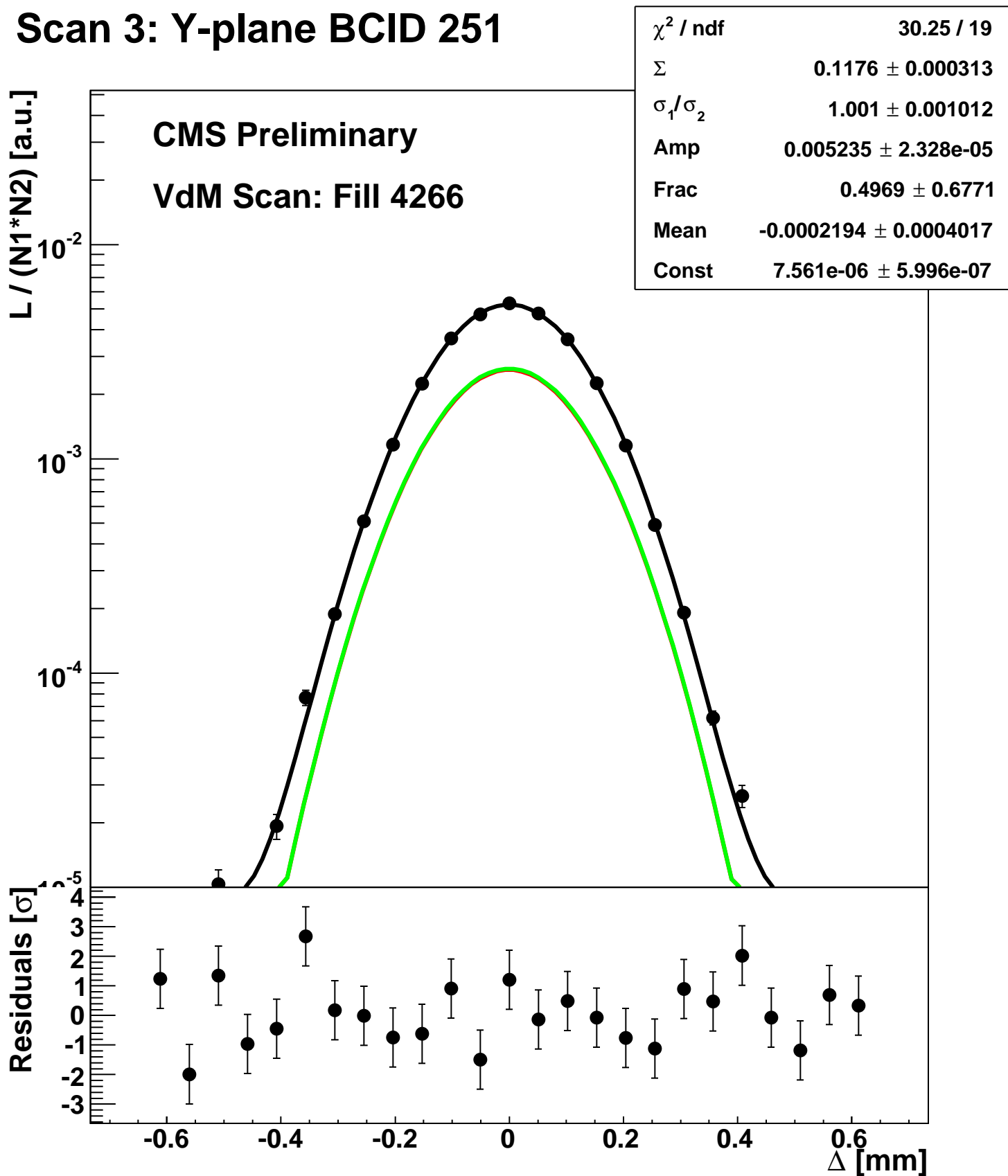
Scan 3: Y-plane BCID 2411



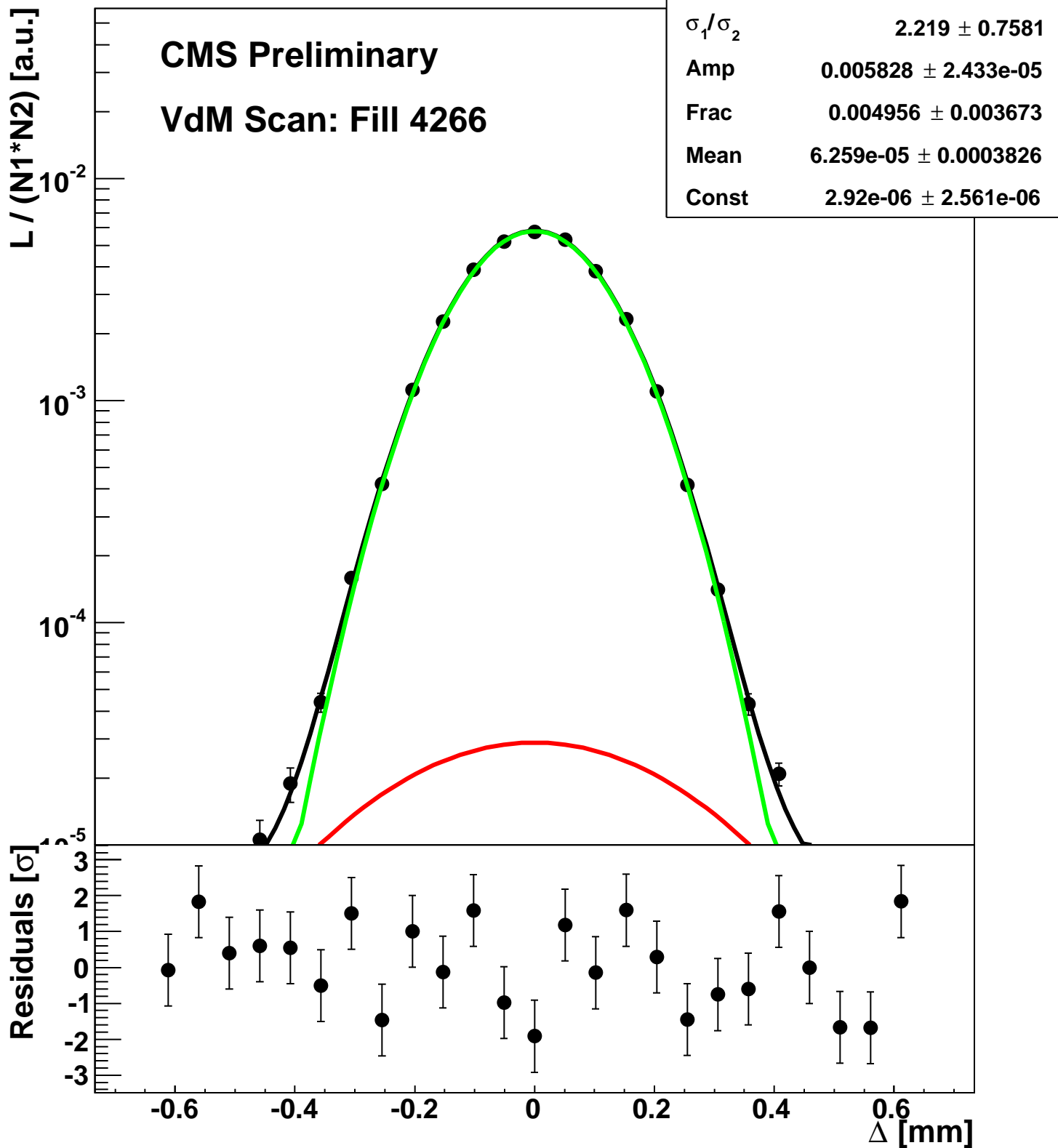
Scan 3: Y-plane BCID 2451



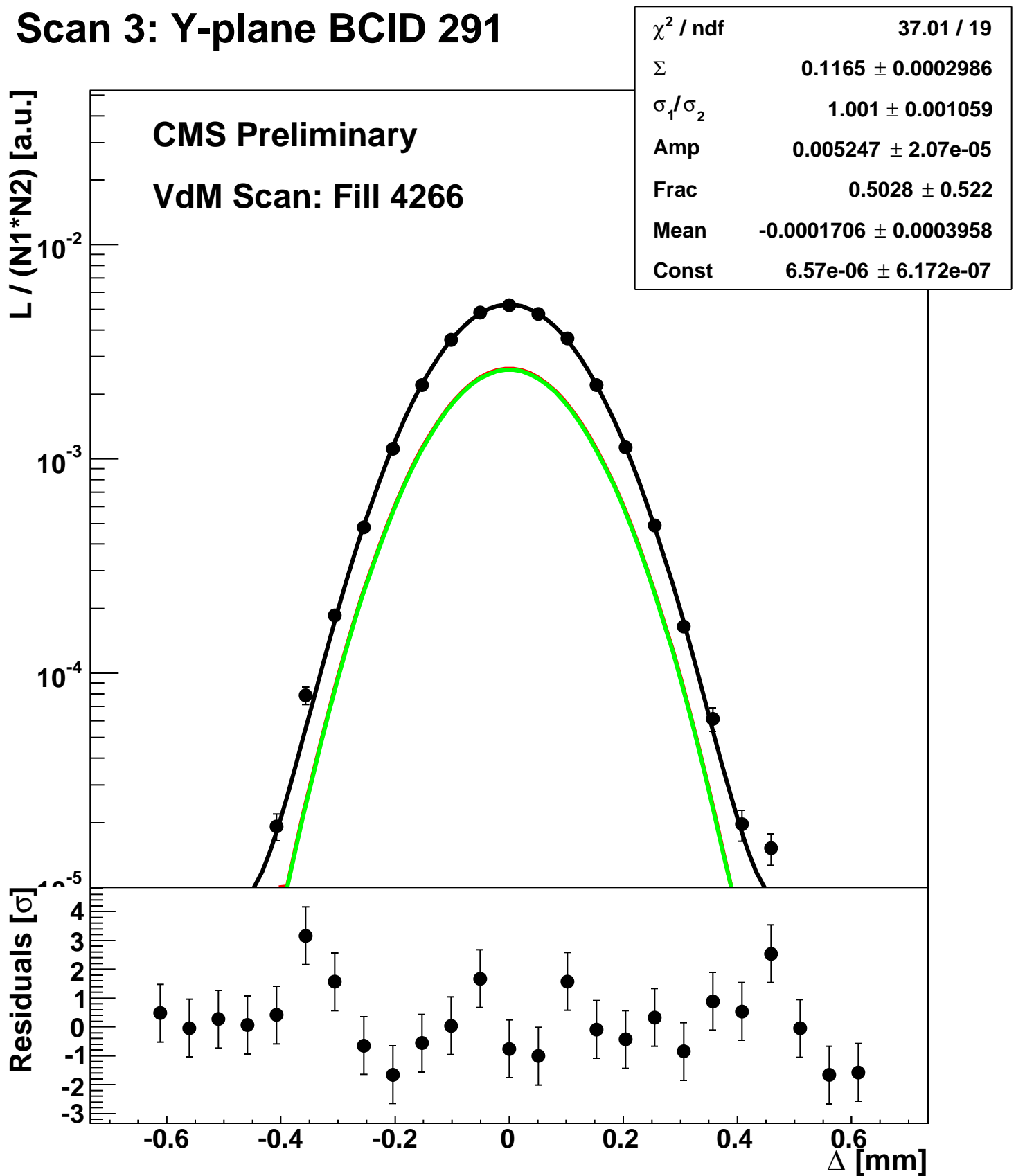
Scan 3: Y-plane BCID 251



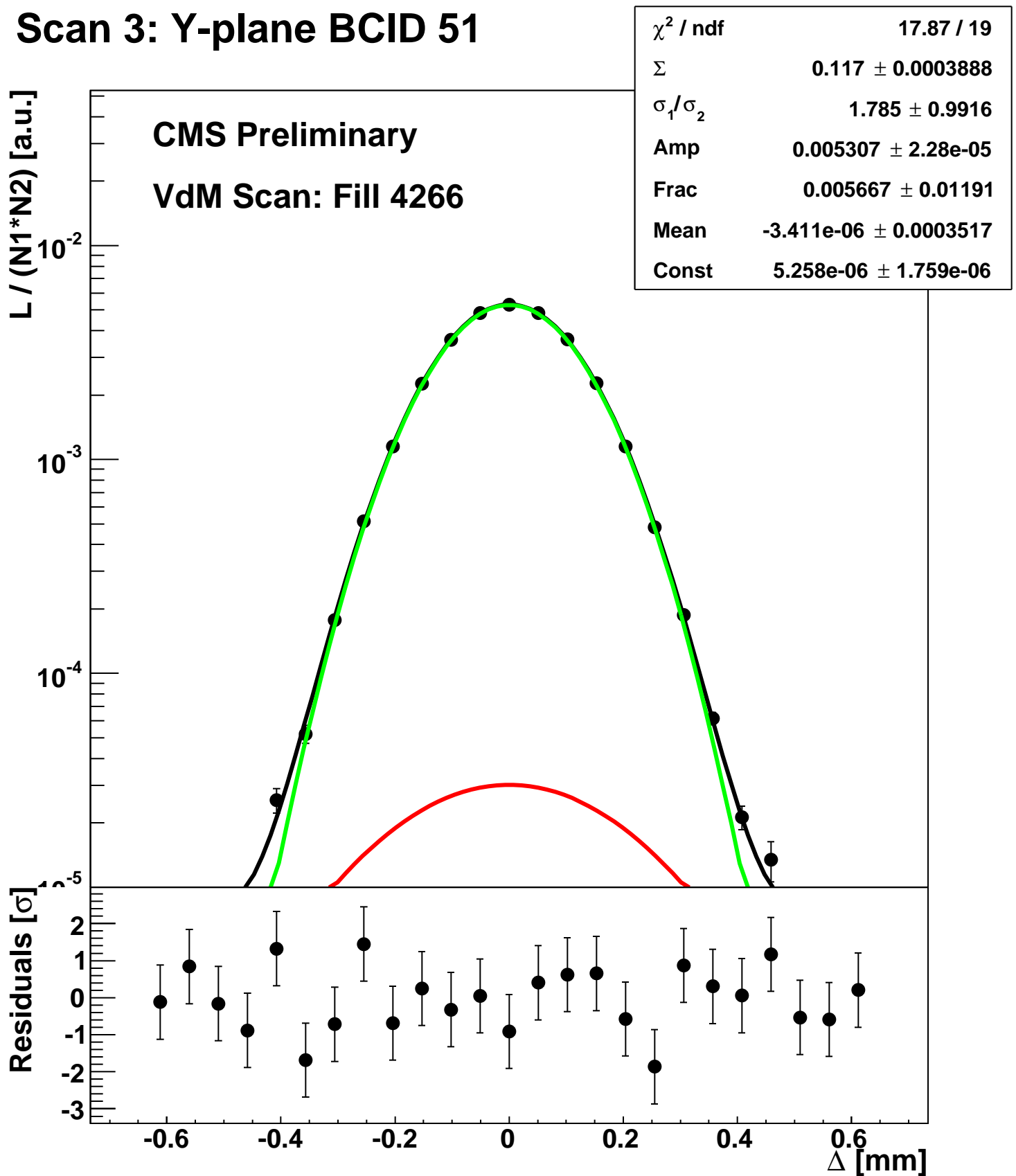
Scan 3: Y-plane BCID 2674



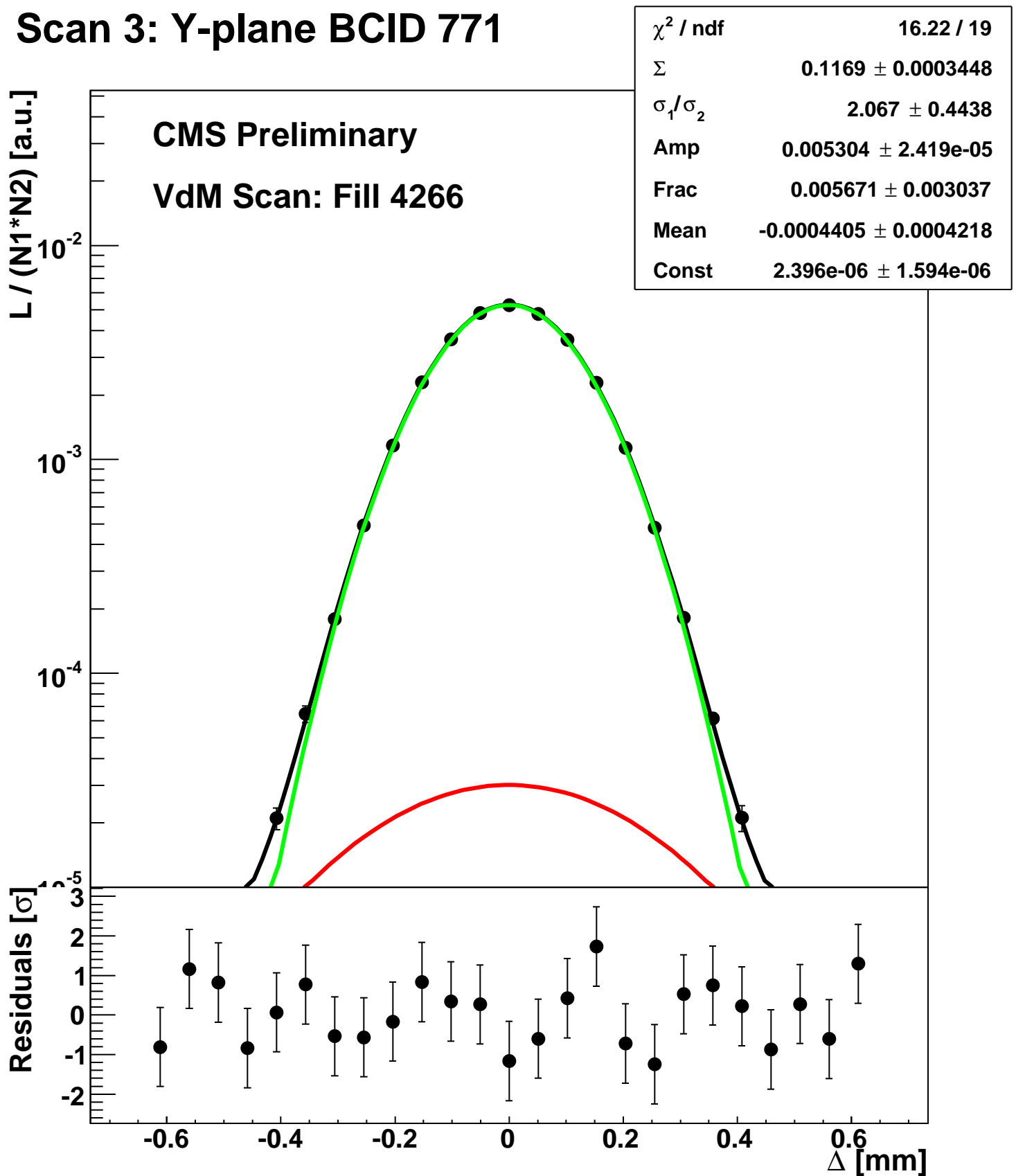
Scan 3: Y-plane BCID 291



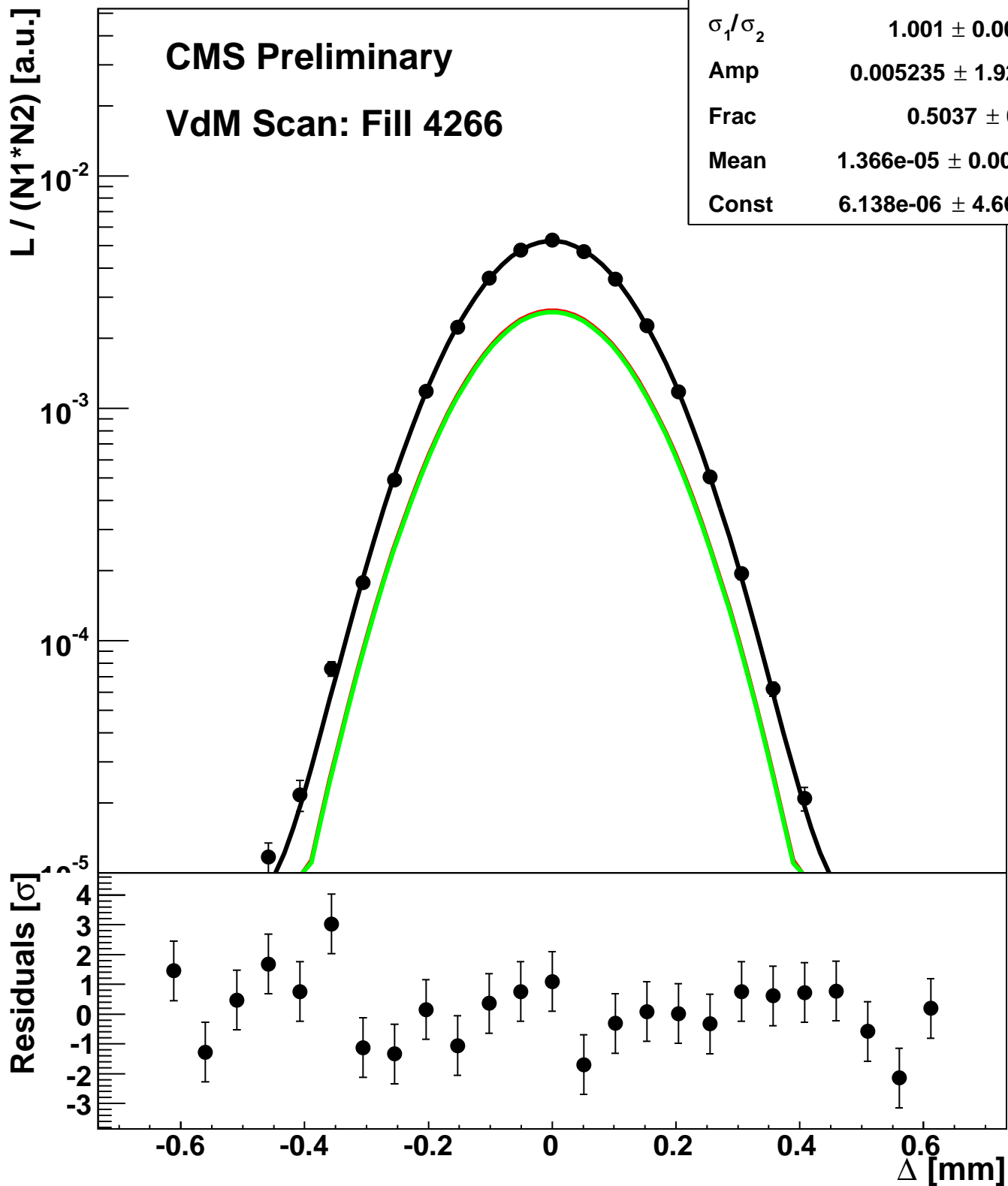
Scan 3: Y-plane BCID 51



Scan 3: Y-plane BCID 771

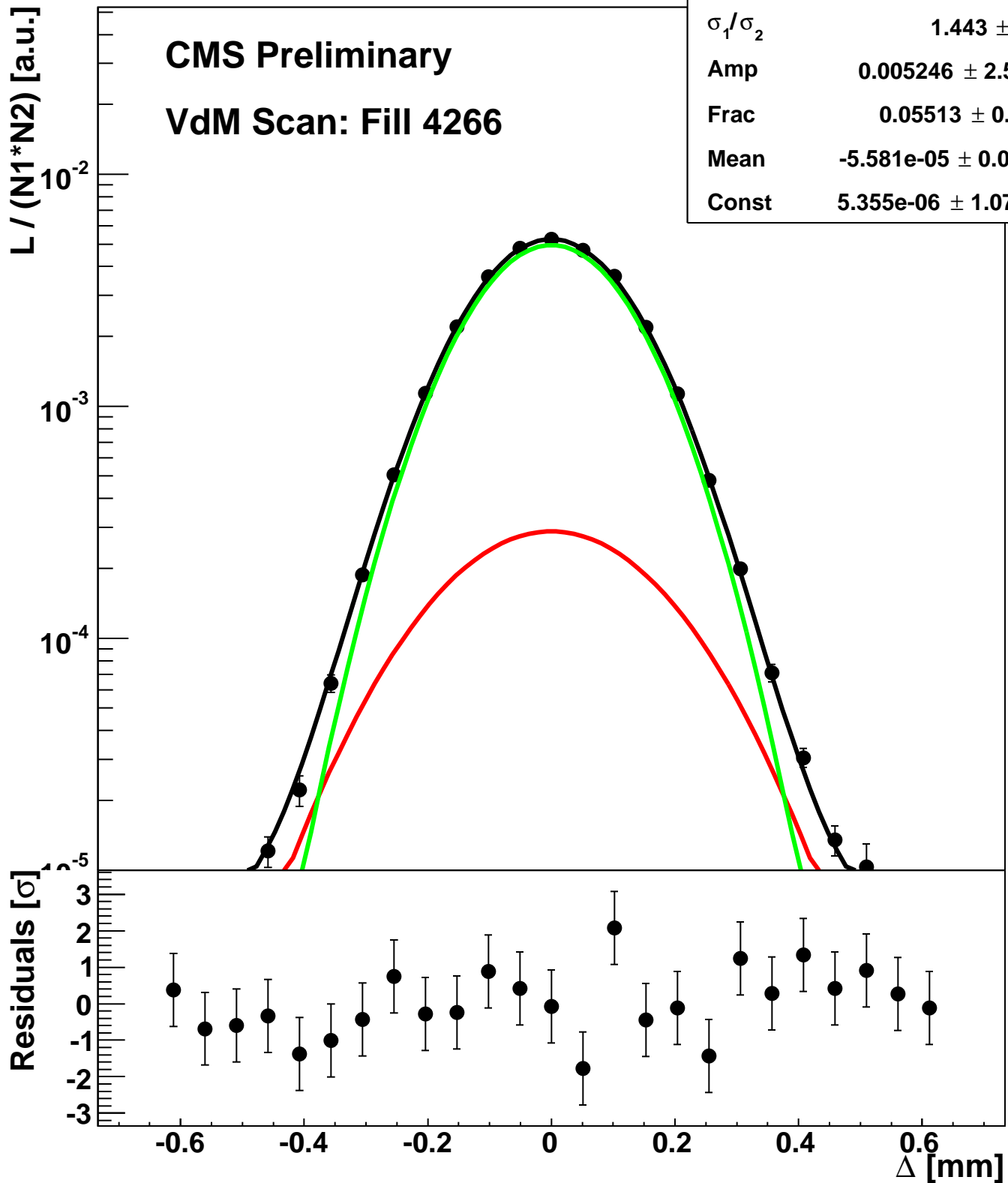


Scan 3: Y-plane BCID 811

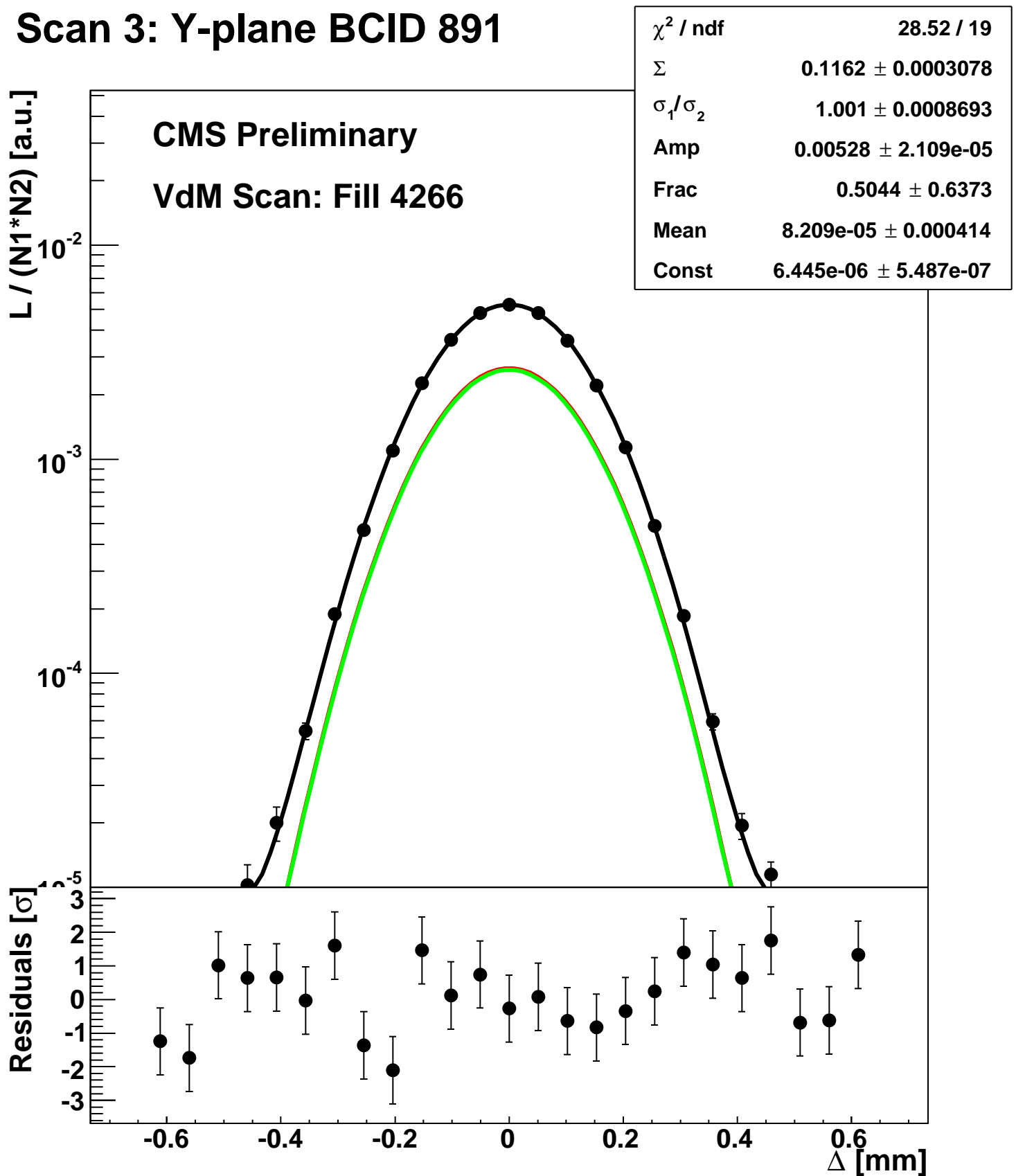


| | |
|-----------------------|---|
| χ^2 / ndf | 32.77 / 19 |
| Σ | 0.1177 ± 0.0002761 |
| σ_1 / σ_2 | 1.001 ± 0.0008301 |
| Amp | $0.005235 \pm 1.923\text{e-}05$ |
| Frac | 0.5037 ± 0.5984 |
| Mean | $1.366\text{e-}05 \pm 0.0003855$ |
| Const | $6.138\text{e-}06 \pm 4.663\text{e-}07$ |

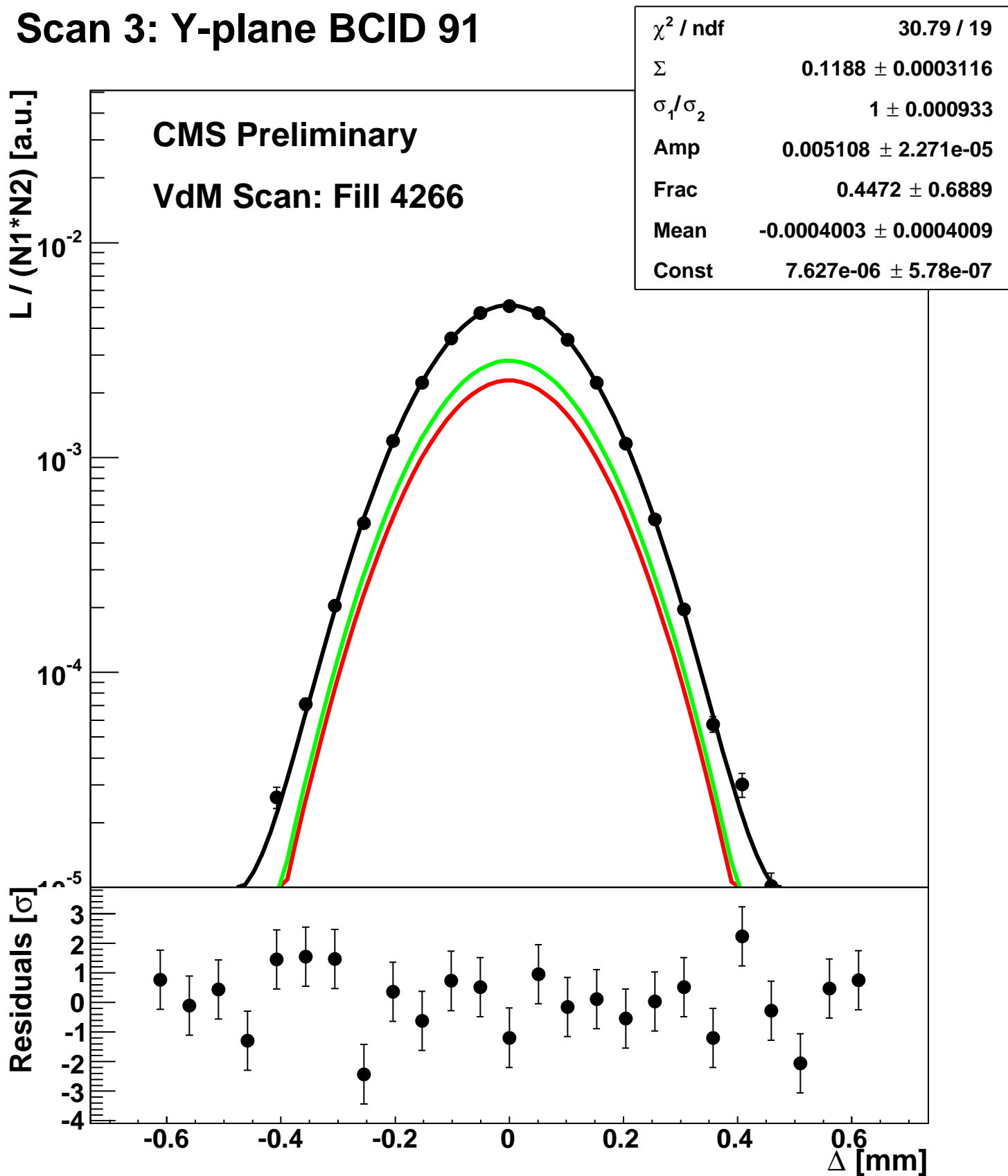
Scan 3: Y-plane BCID 851



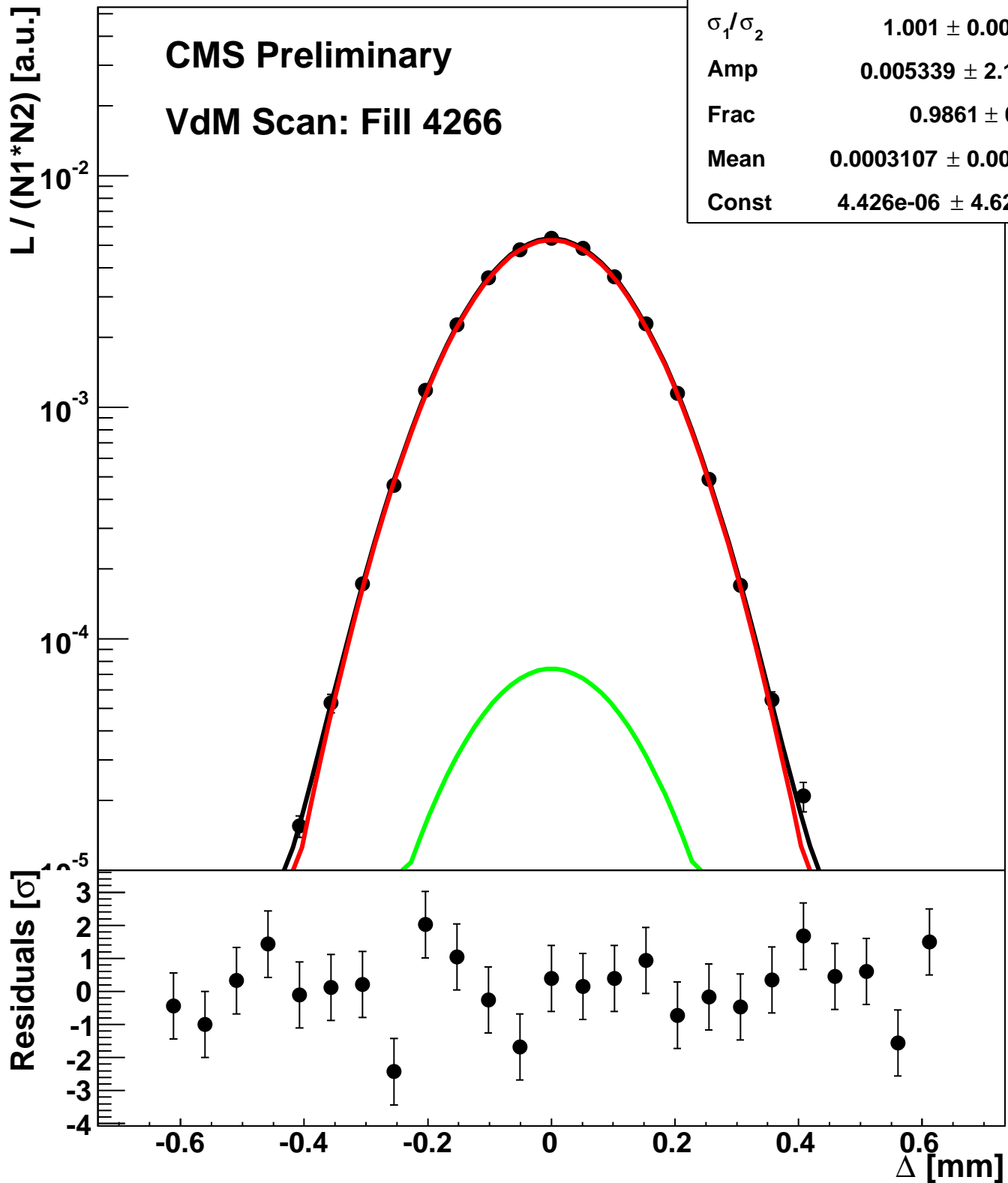
Scan 3: Y-plane BCID 891



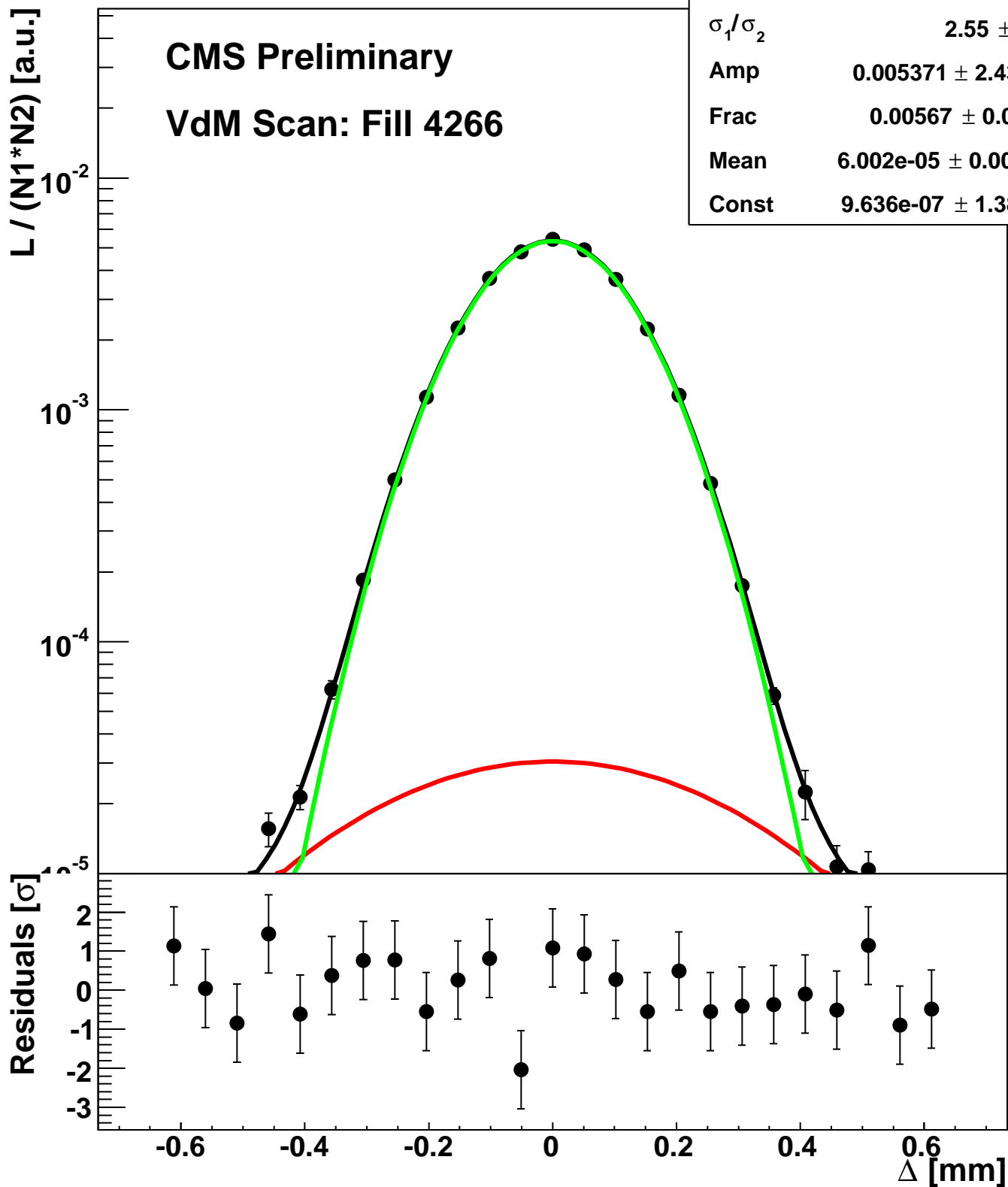
Scan 3: Y-plane BCID 91



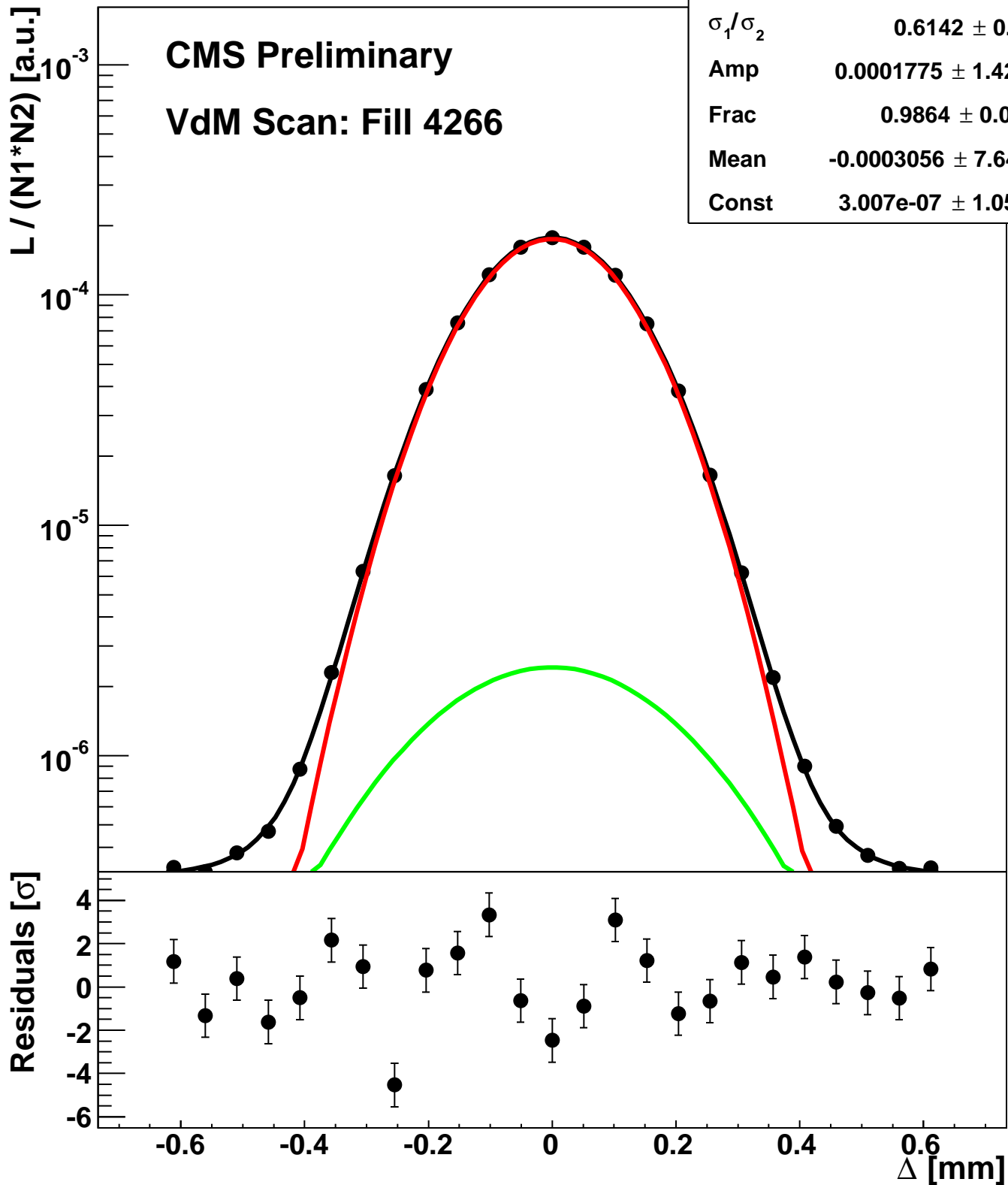
Scan 3: Y-plane BCID 931



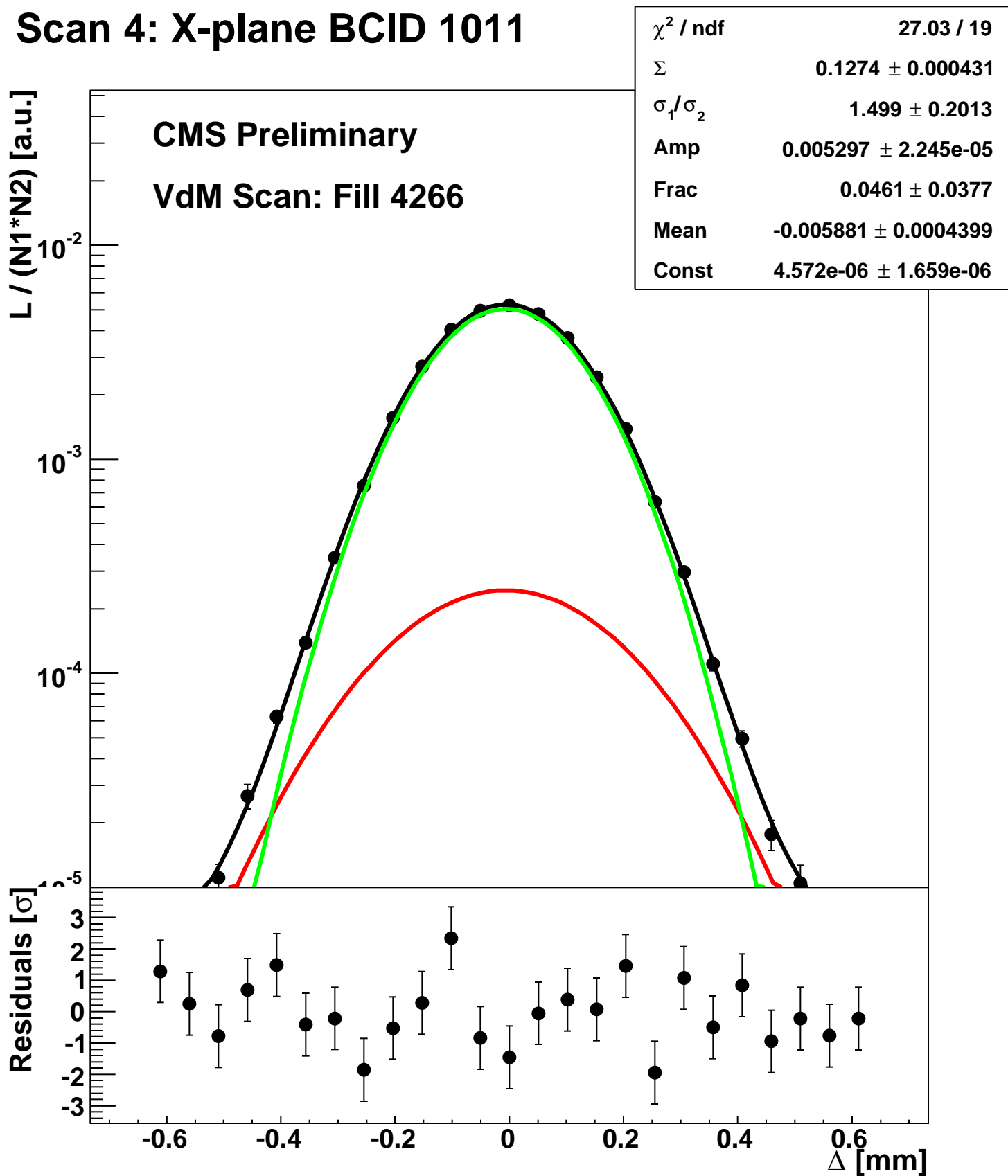
Scan 3: Y-plane BCID 971



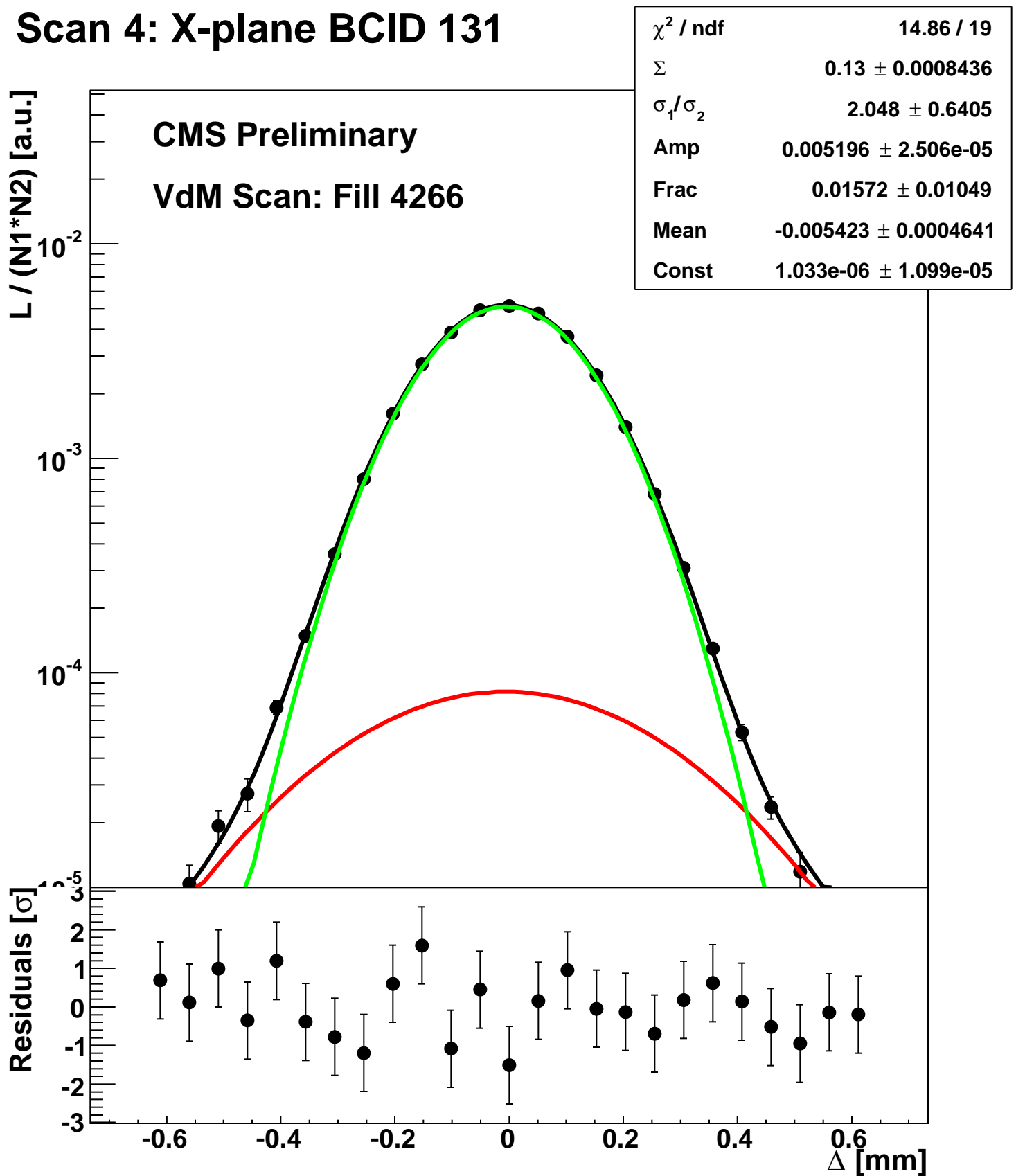
Scan 3: Y-plane BCID sum



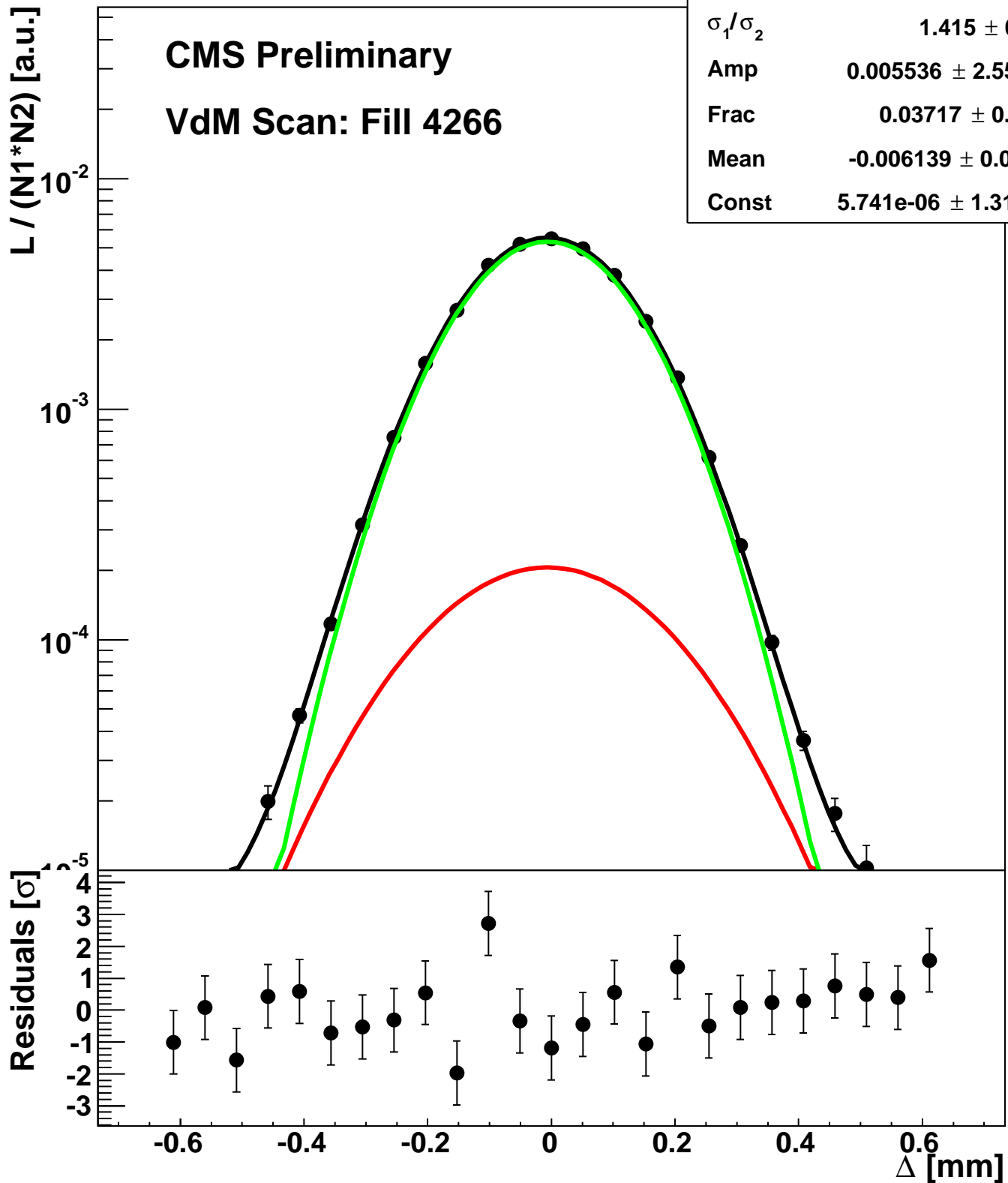
Scan 4: X-plane BCID 1011



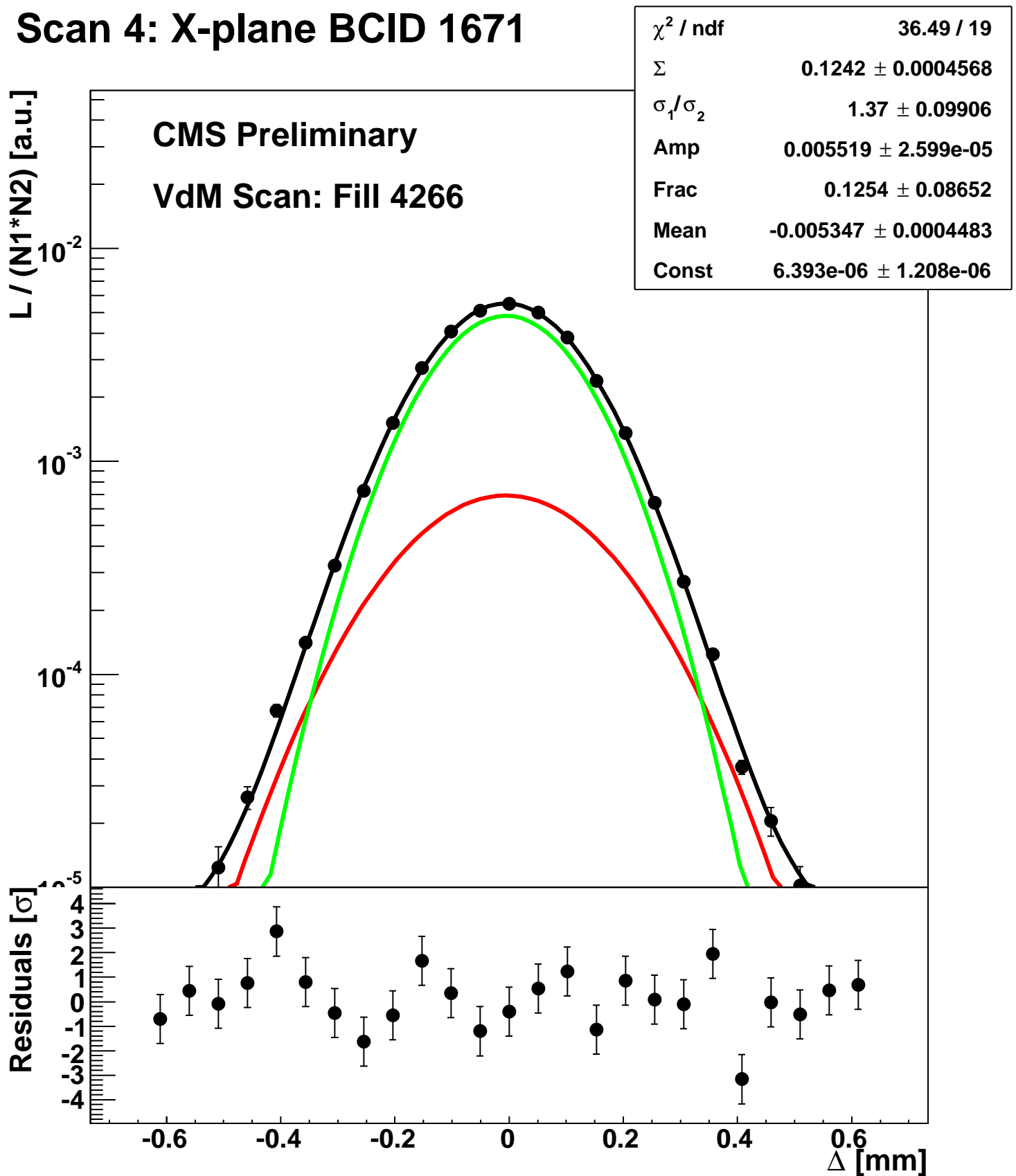
Scan 4: X-plane BCID 131



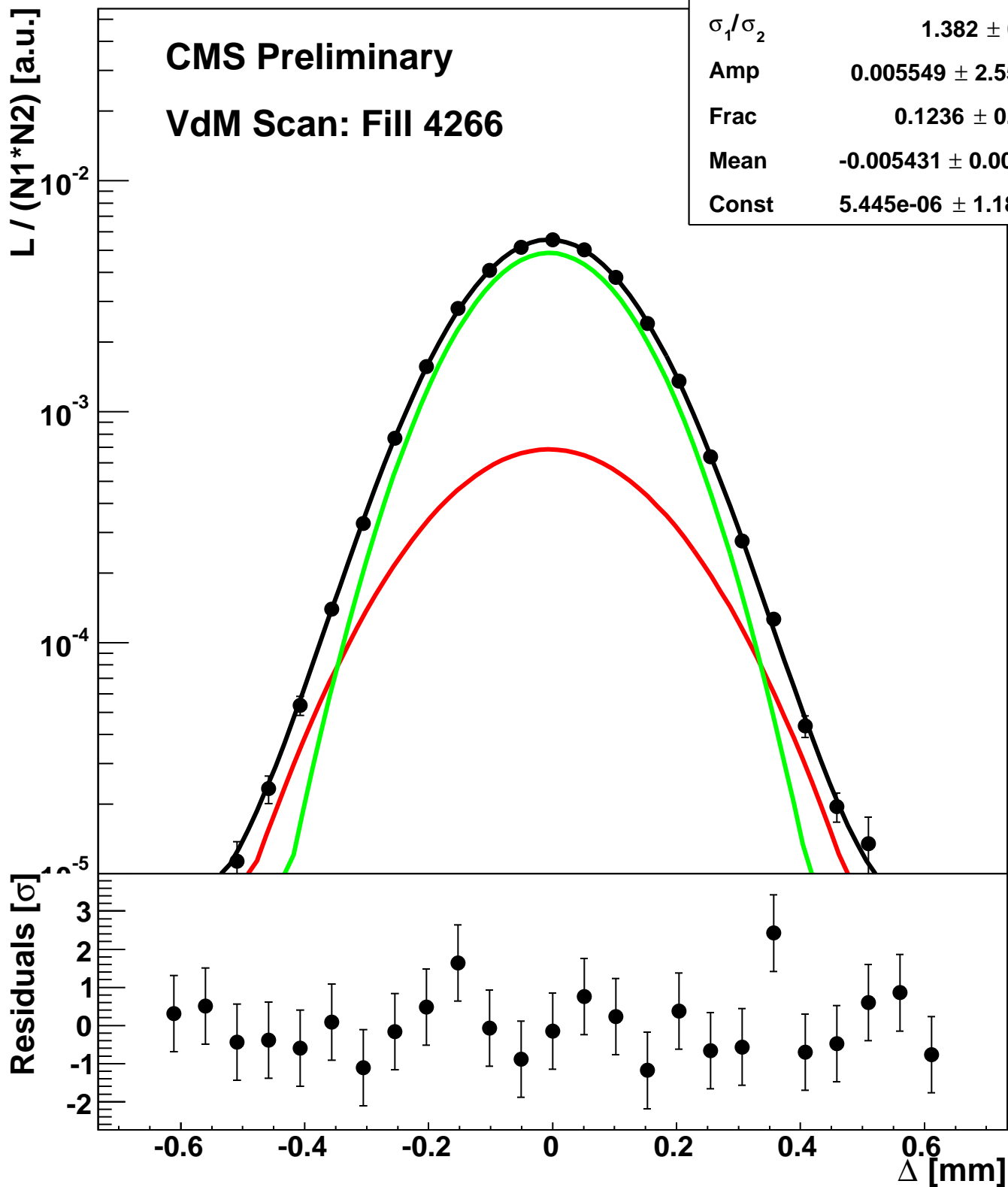
Scan 4: X-plane BCID 1631



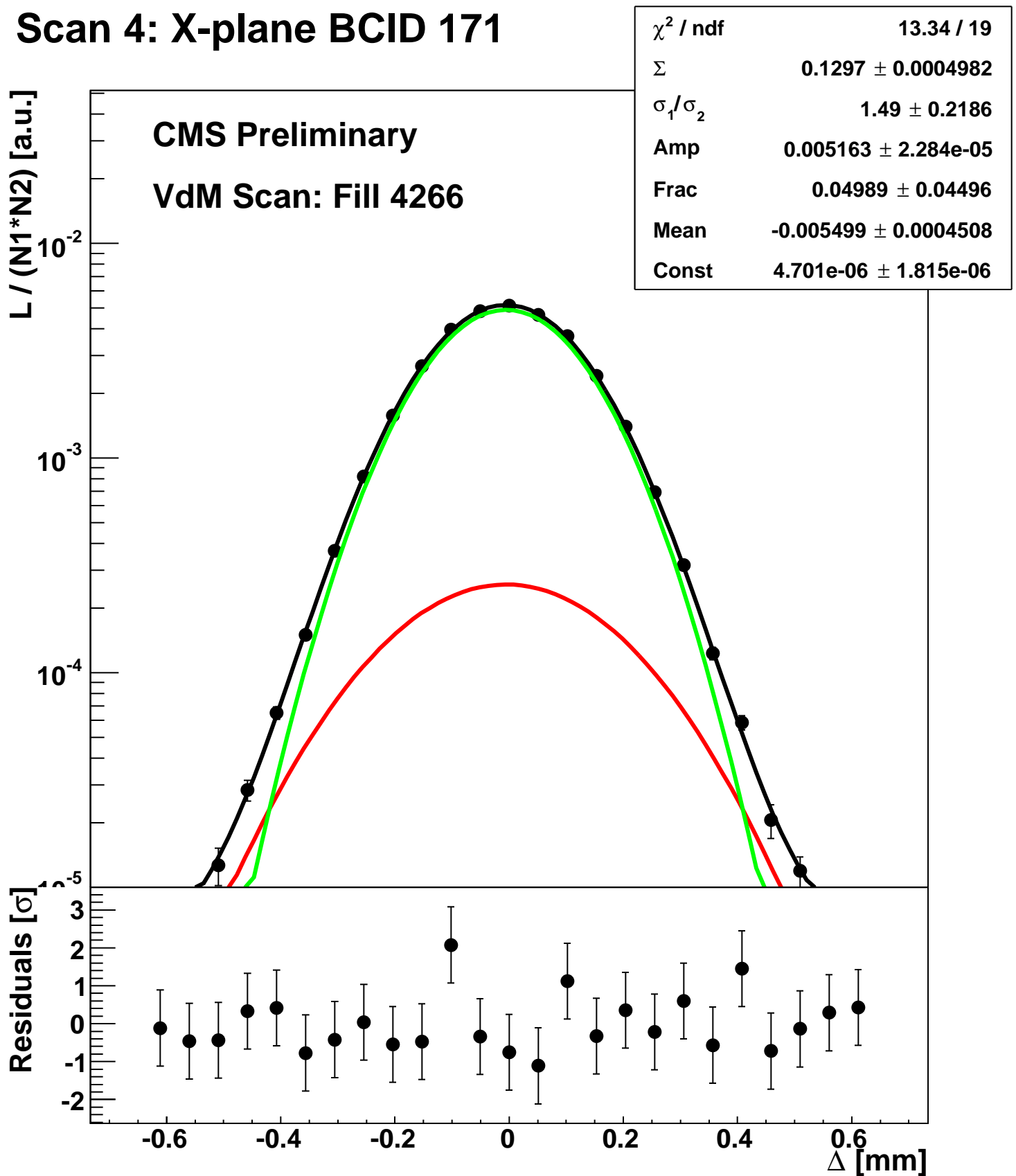
Scan 4: X-plane BCID 1671



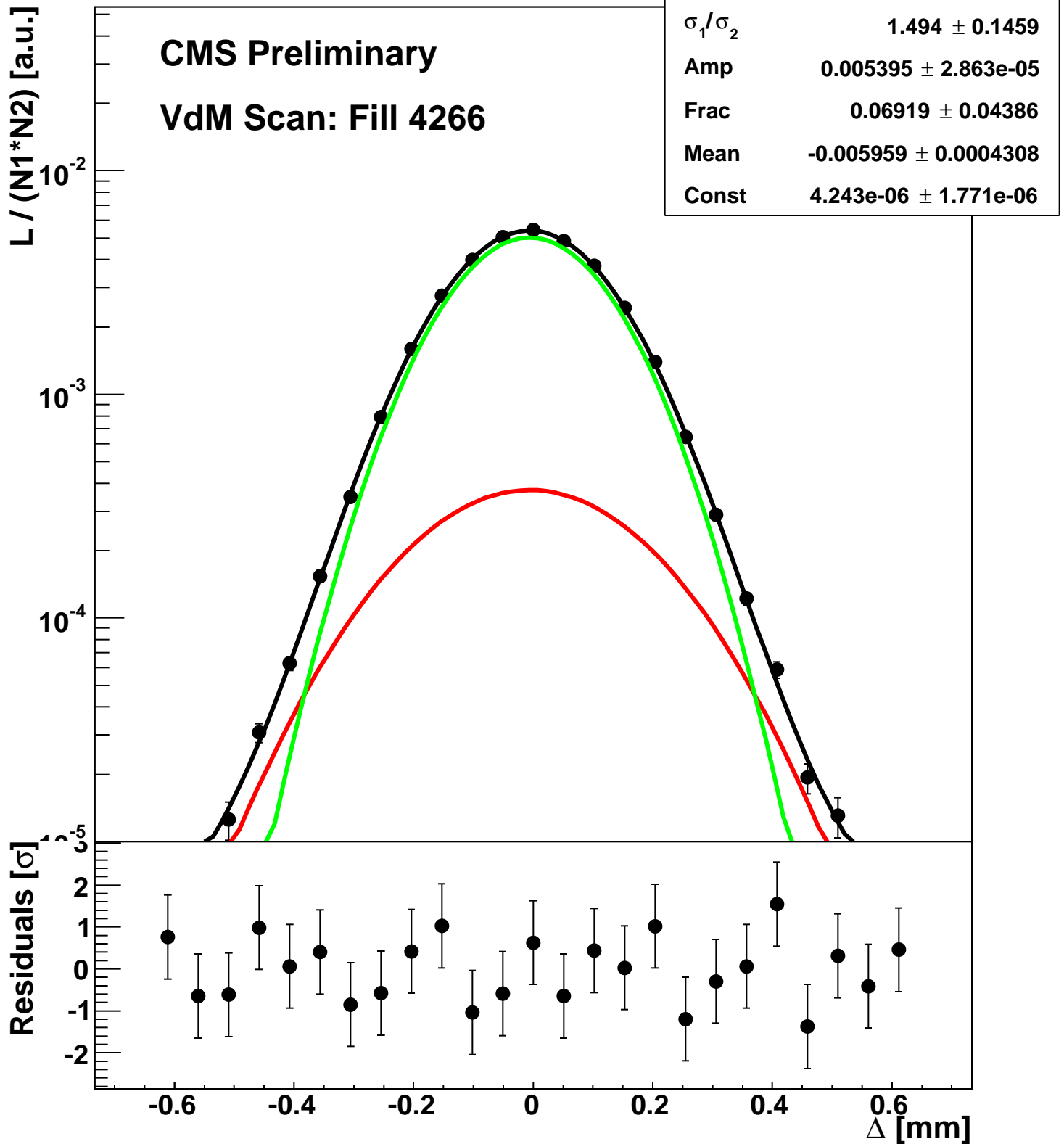
Scan 4: X-plane BCID 1711



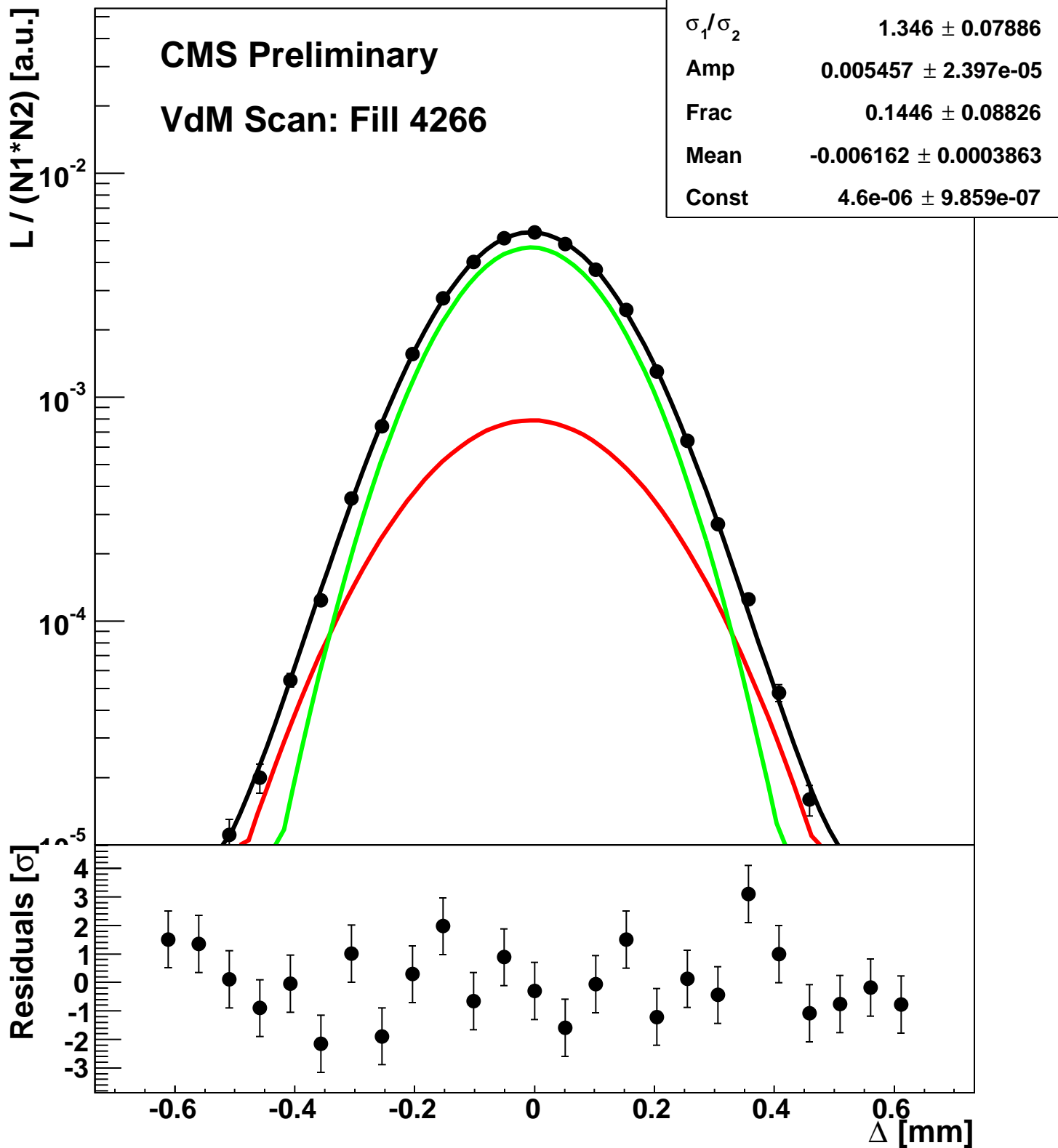
Scan 4: X-plane BCID 171



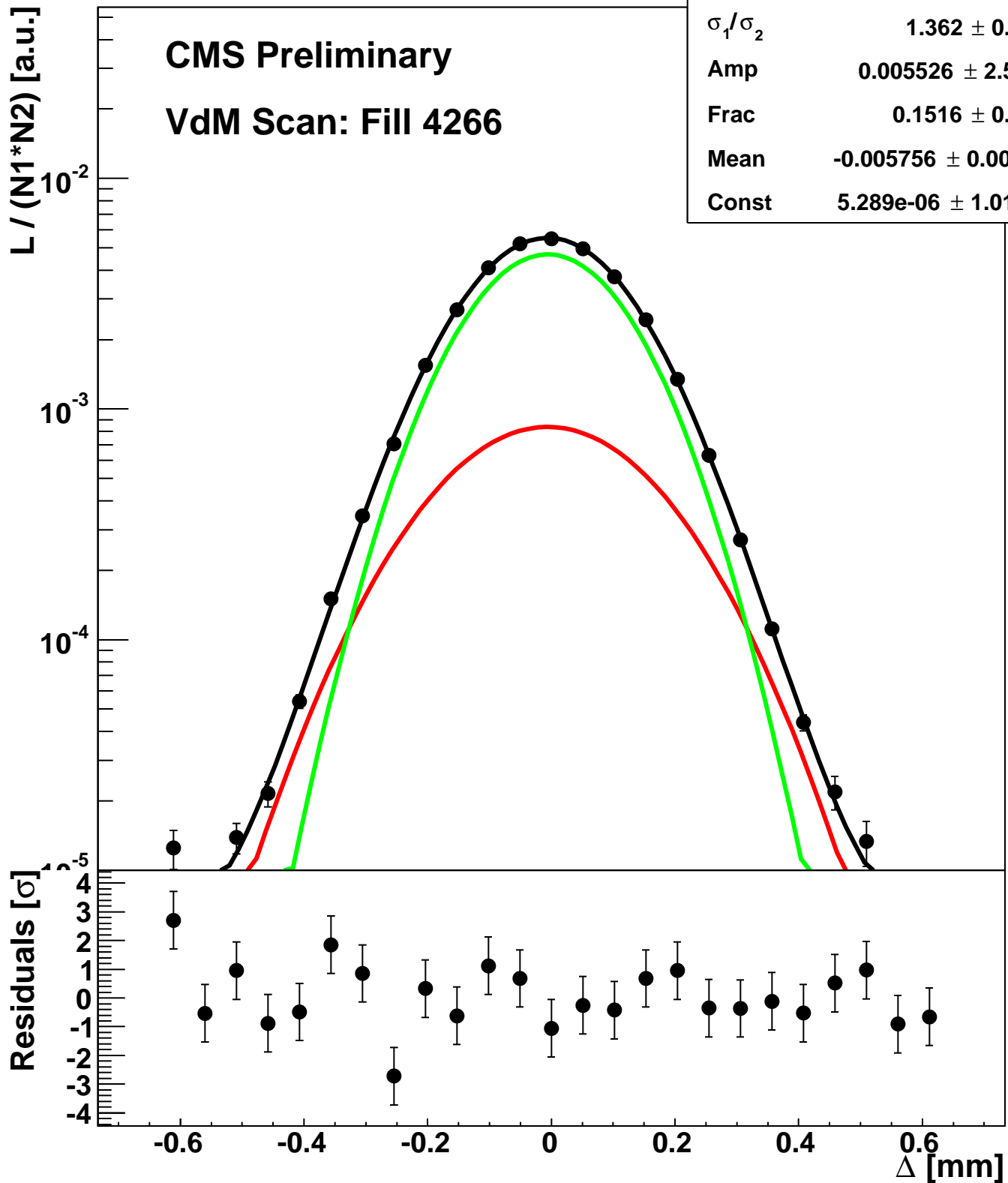
Scan 4: X-plane BCID 1751



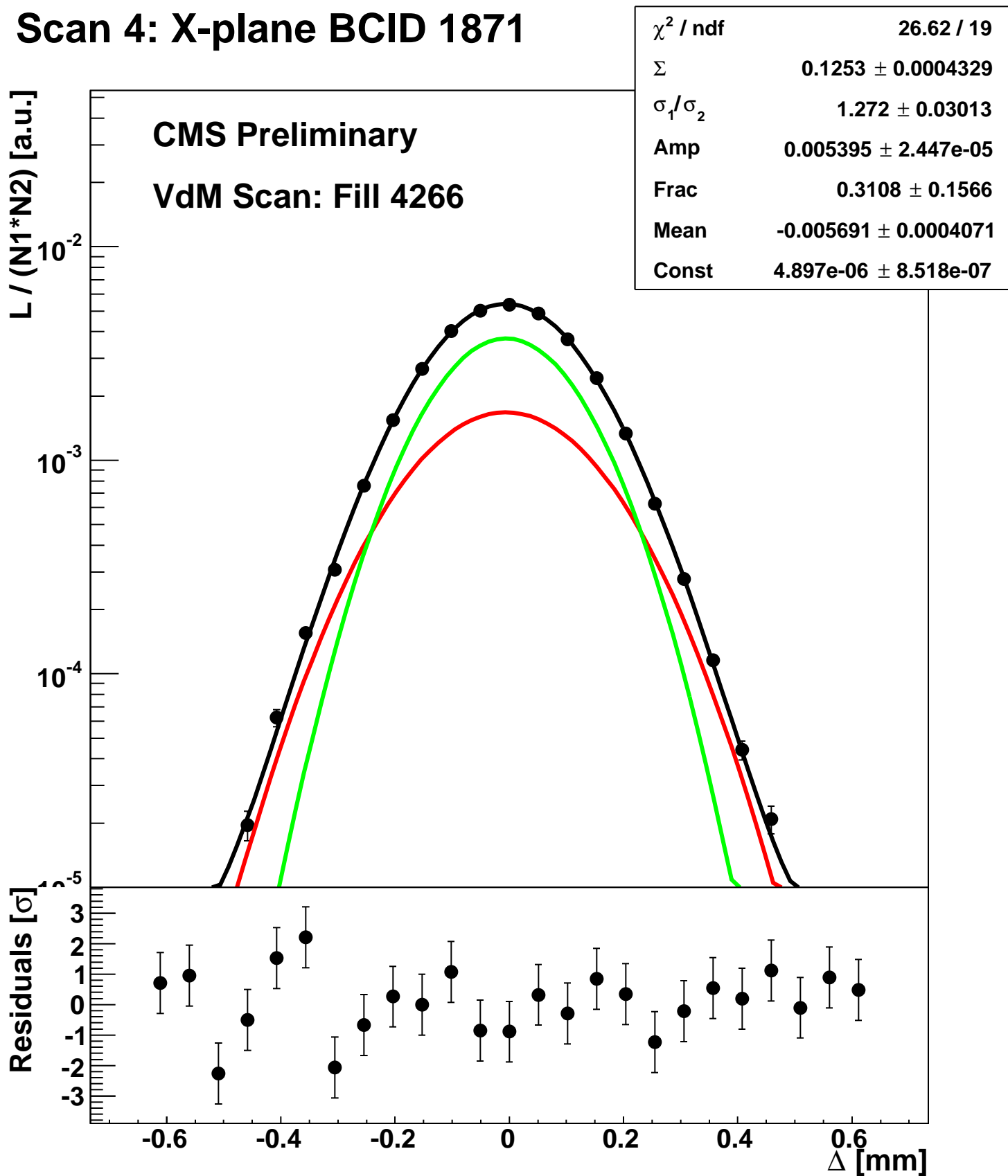
Scan 4: X-plane BCID 1791



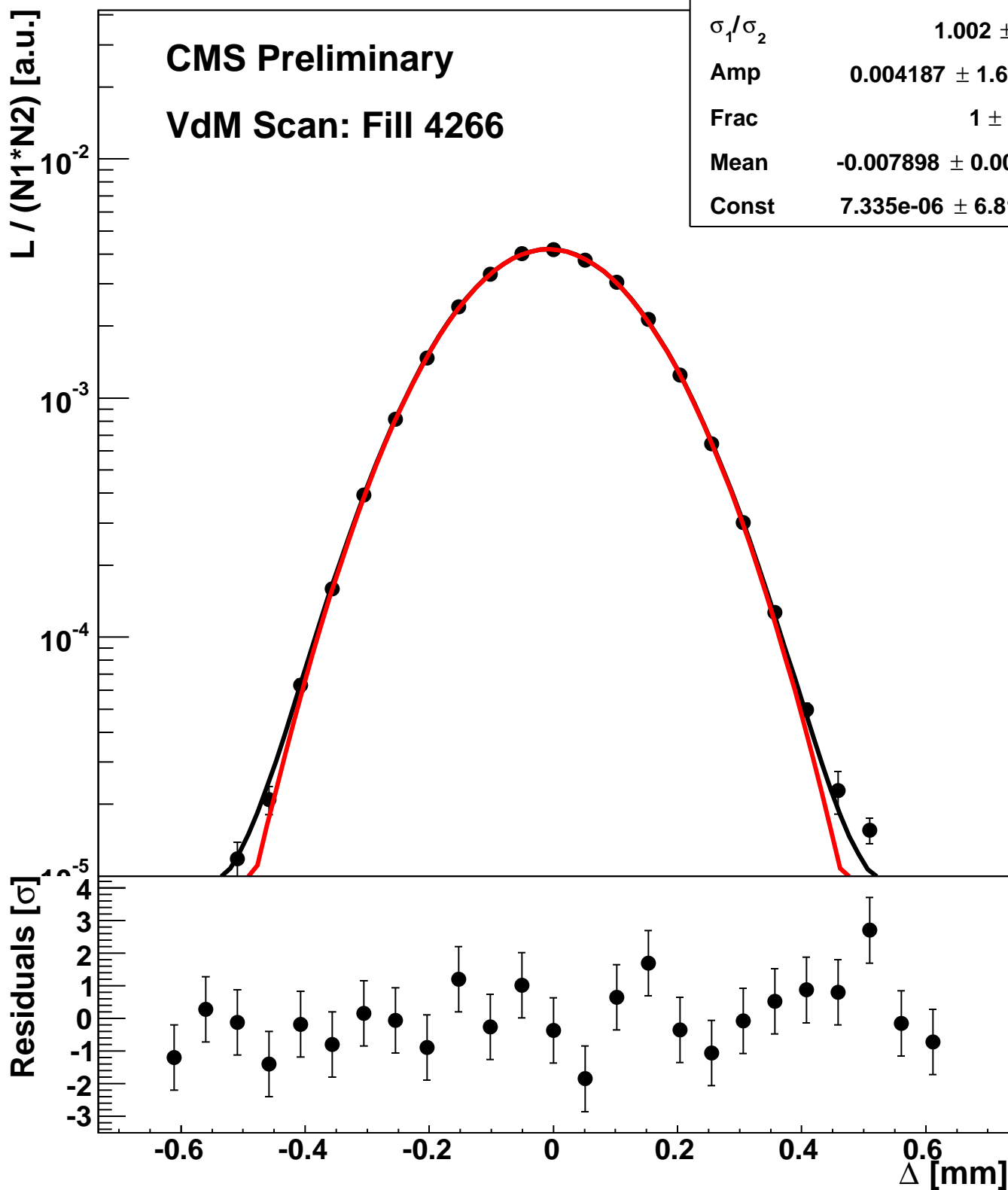
Scan 4: X-plane BCID 1831



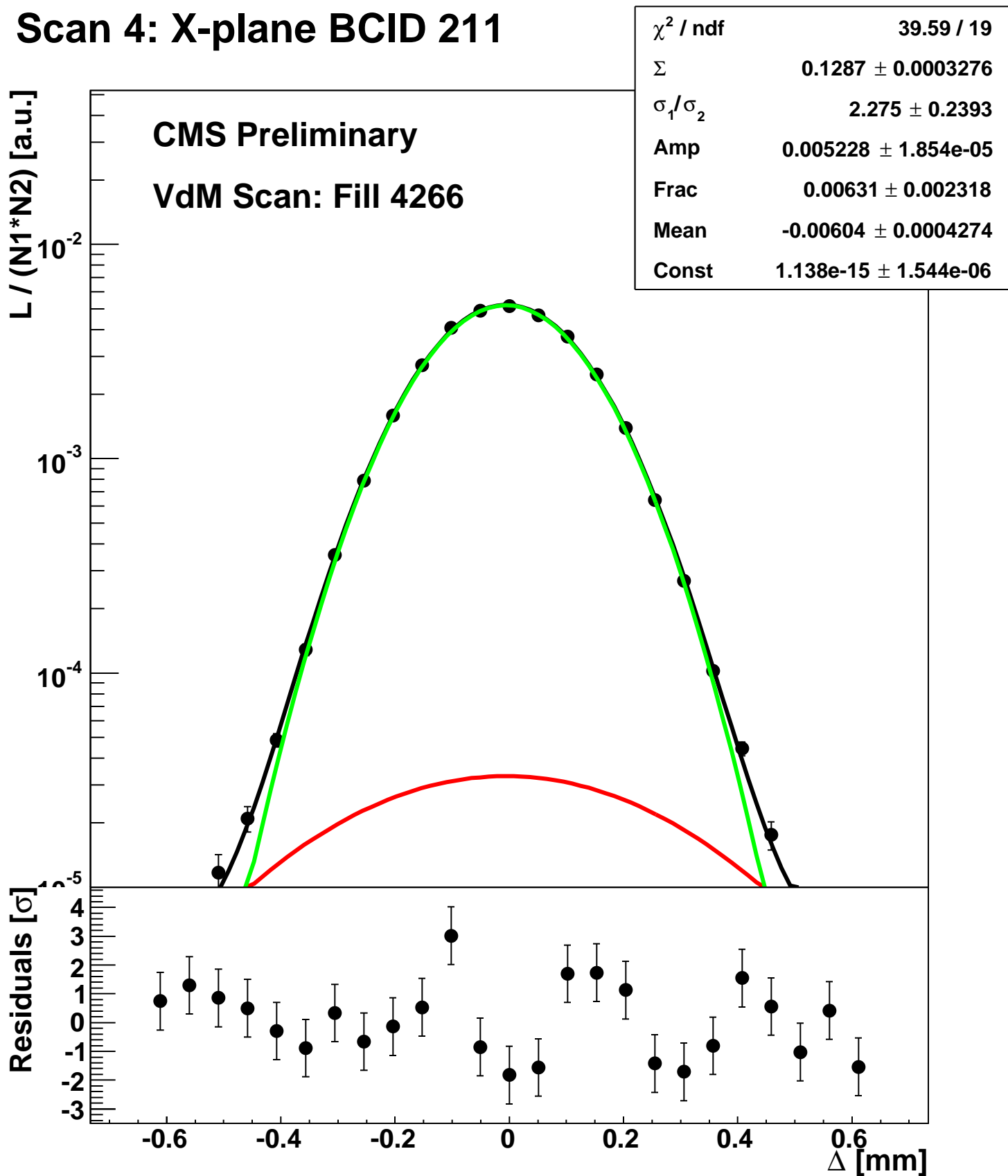
Scan 4: X-plane BCID 1871



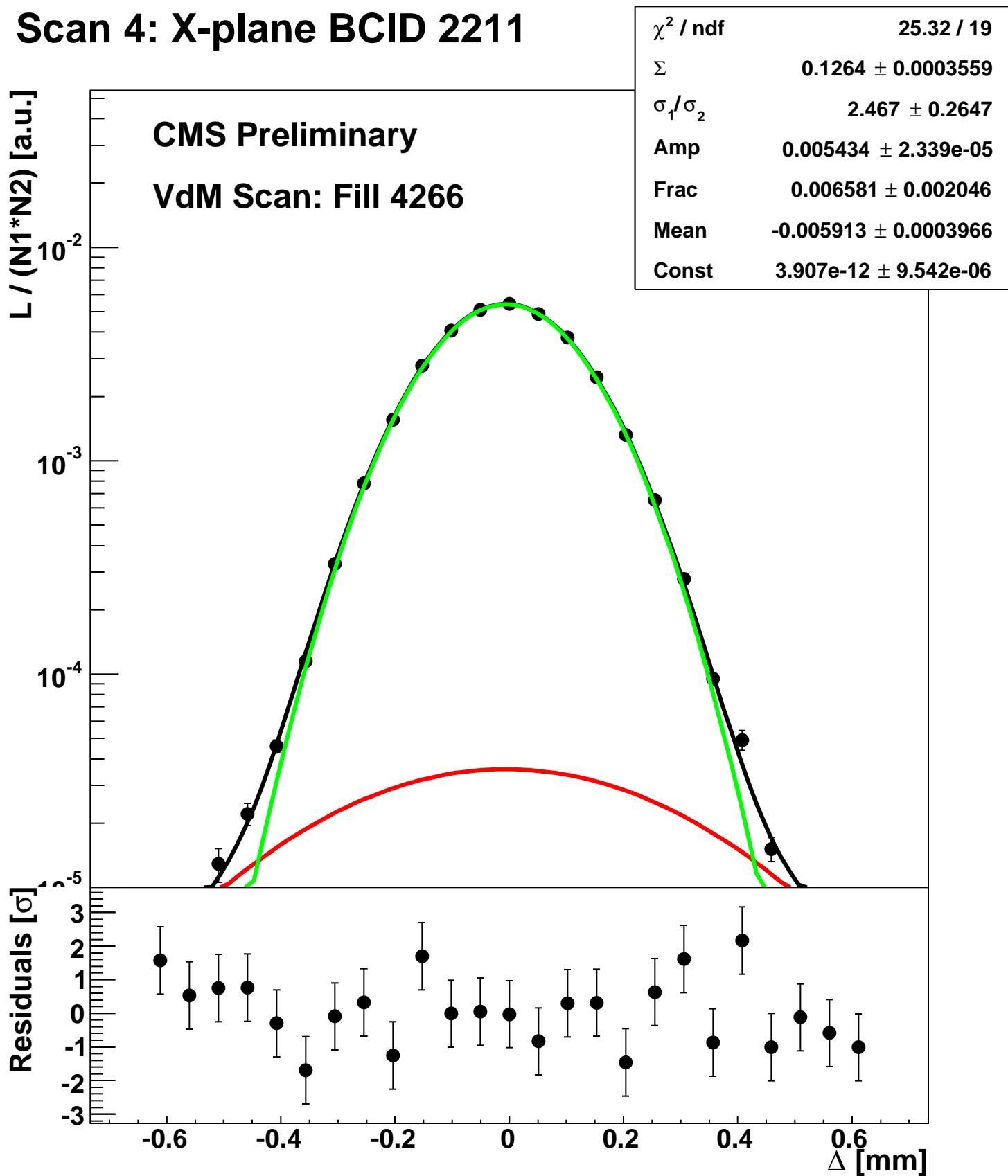
Scan 4: X-plane BCID 1



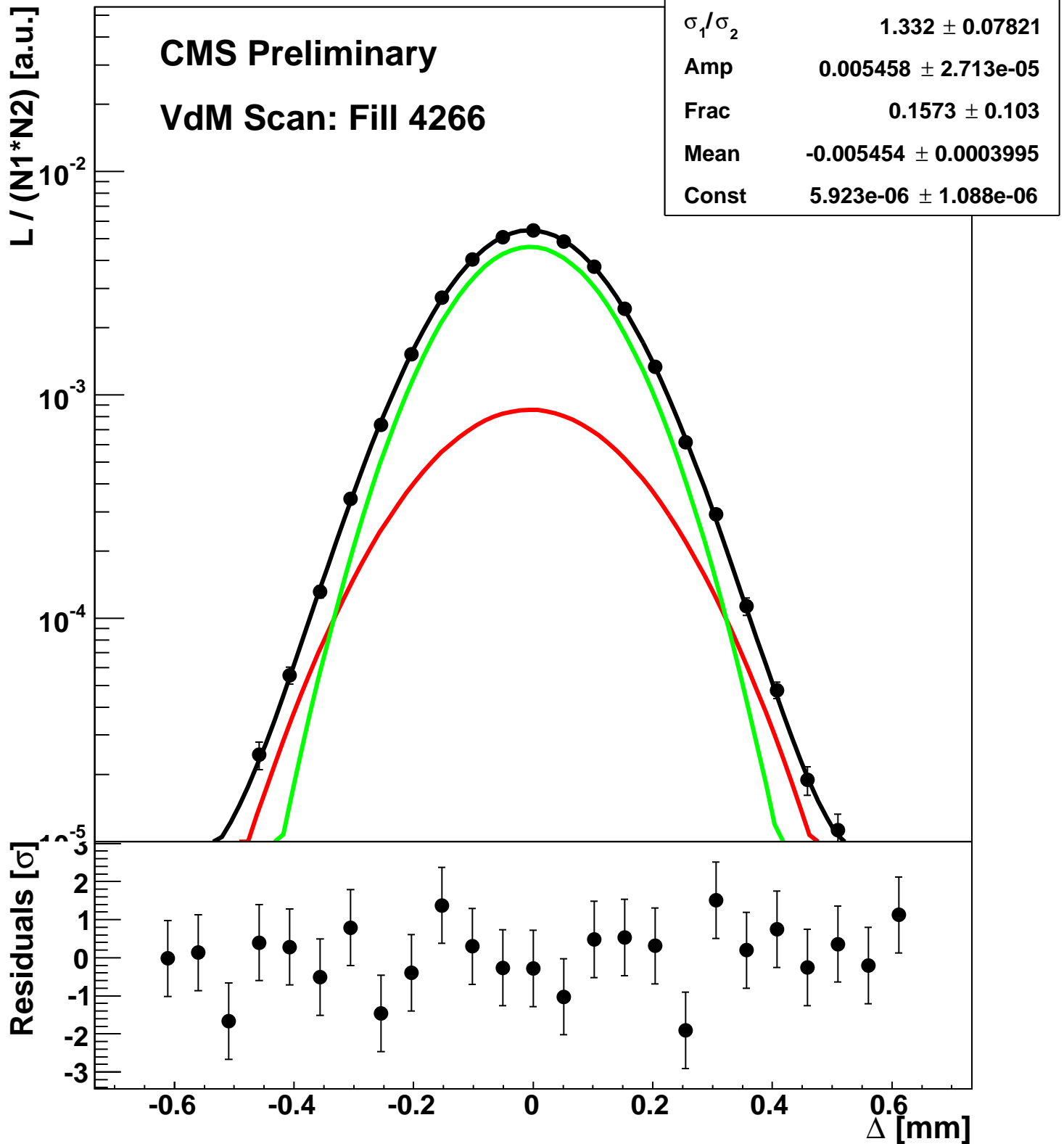
Scan 4: X-plane BCID 211



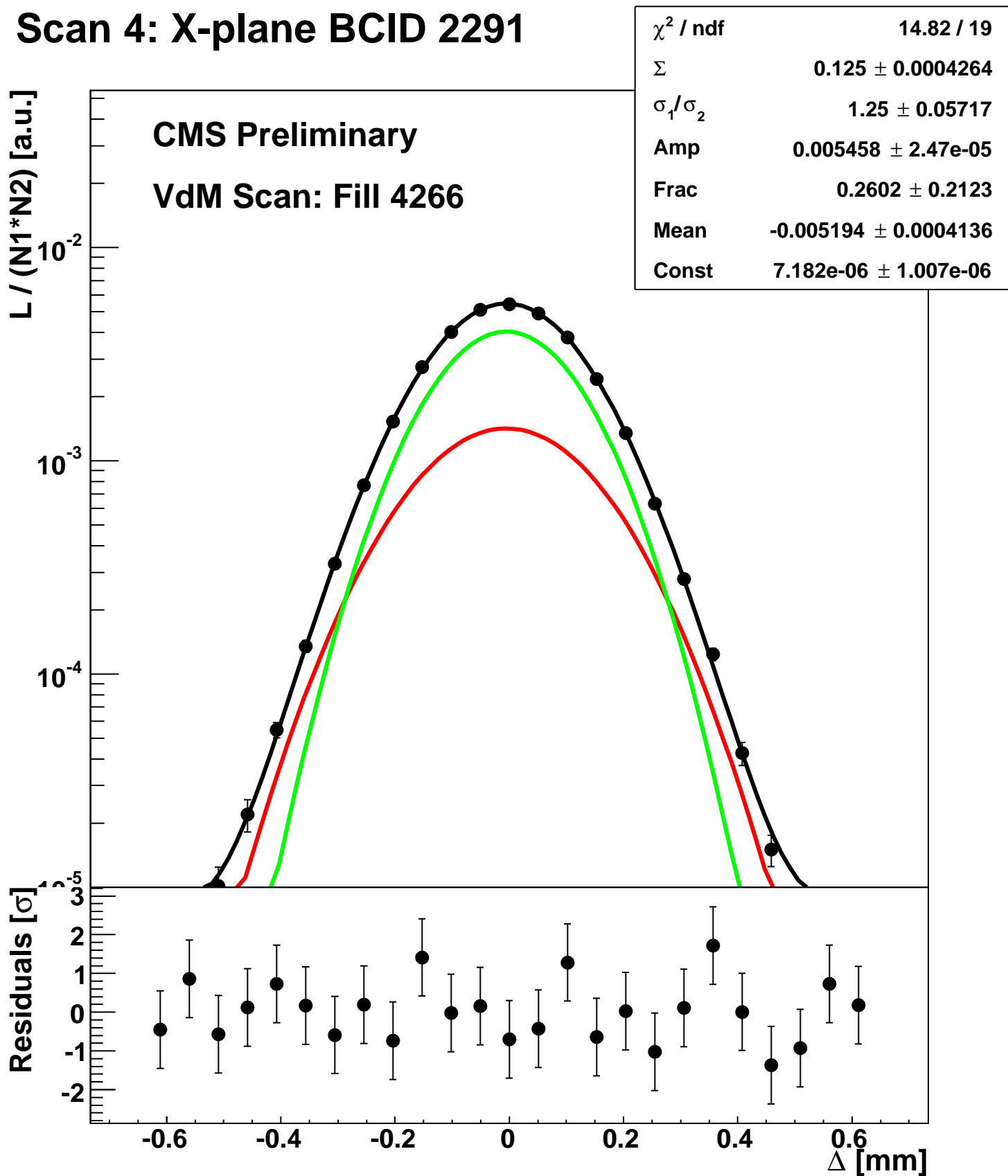
Scan 4: X-plane BCID 2211



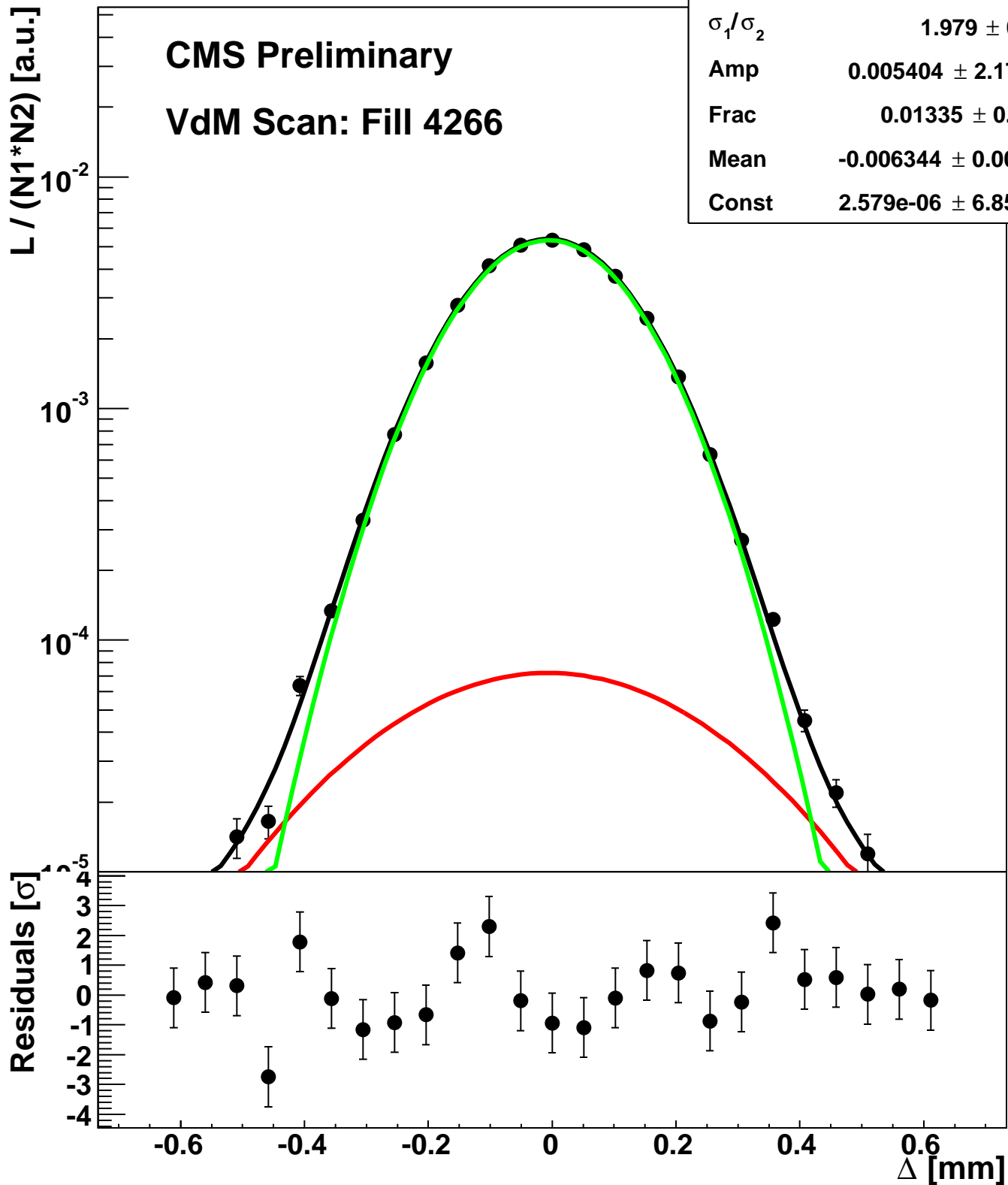
Scan 4: X-plane BCID 2251



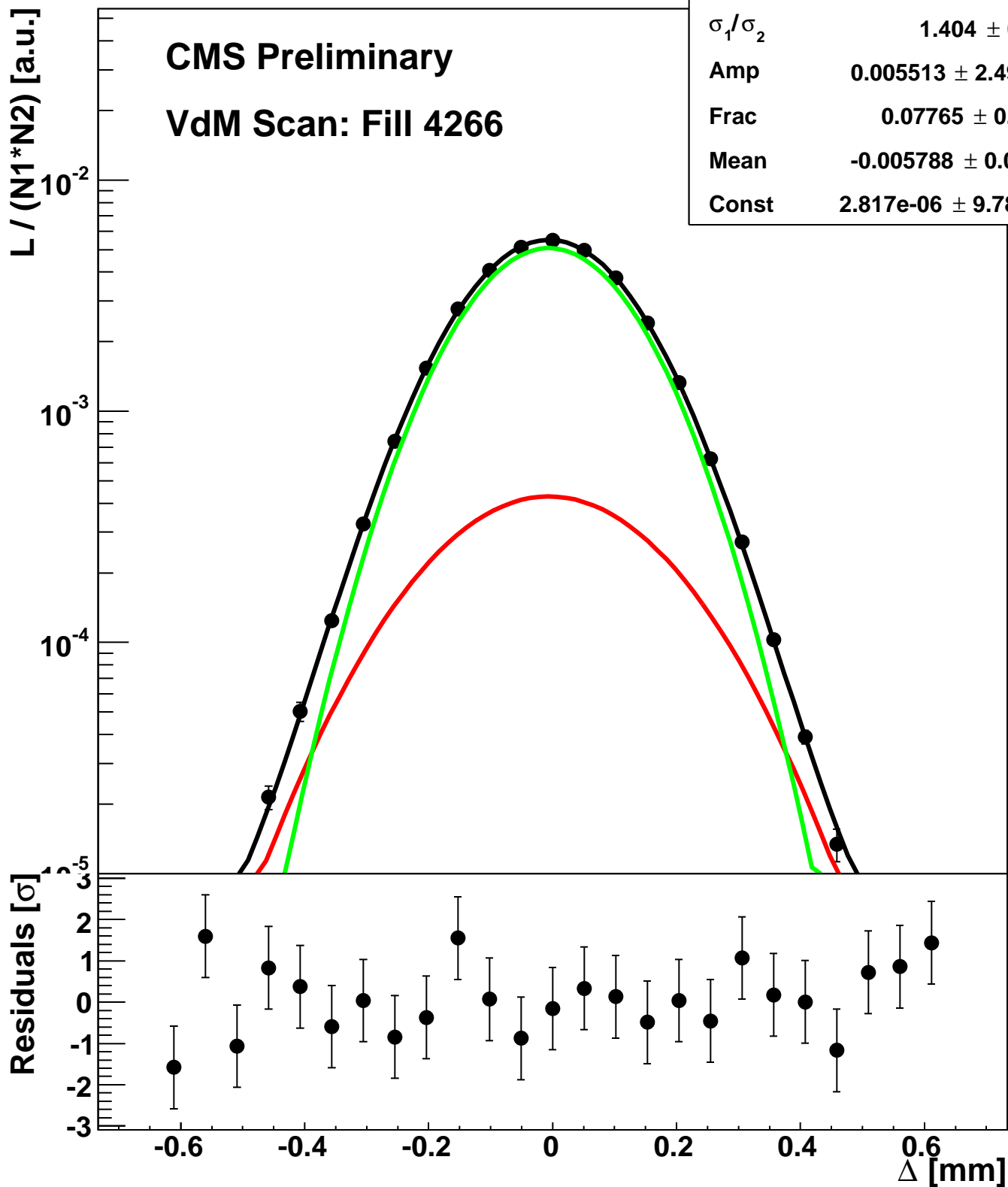
Scan 4: X-plane BCID 2291



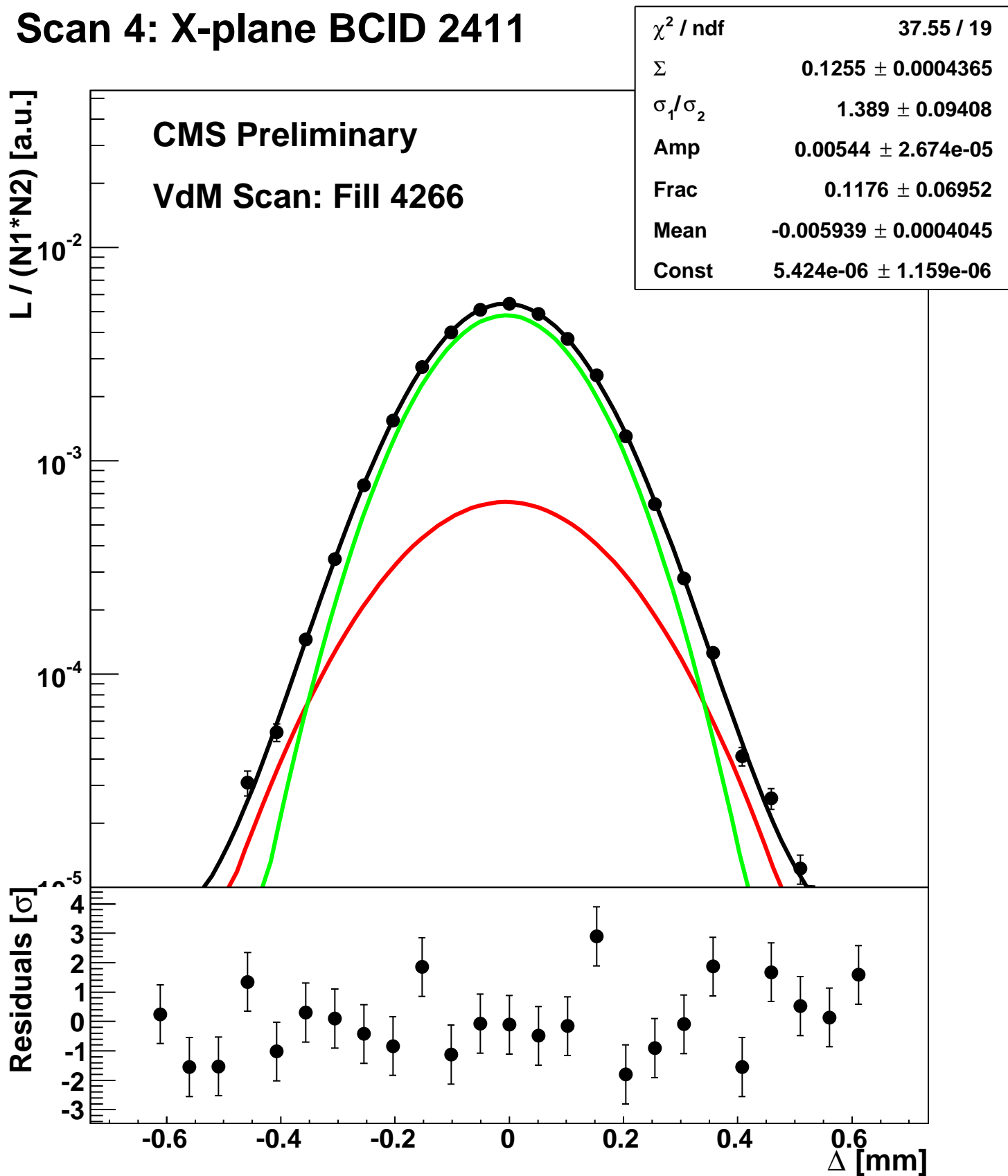
Scan 4: X-plane BCID 2331



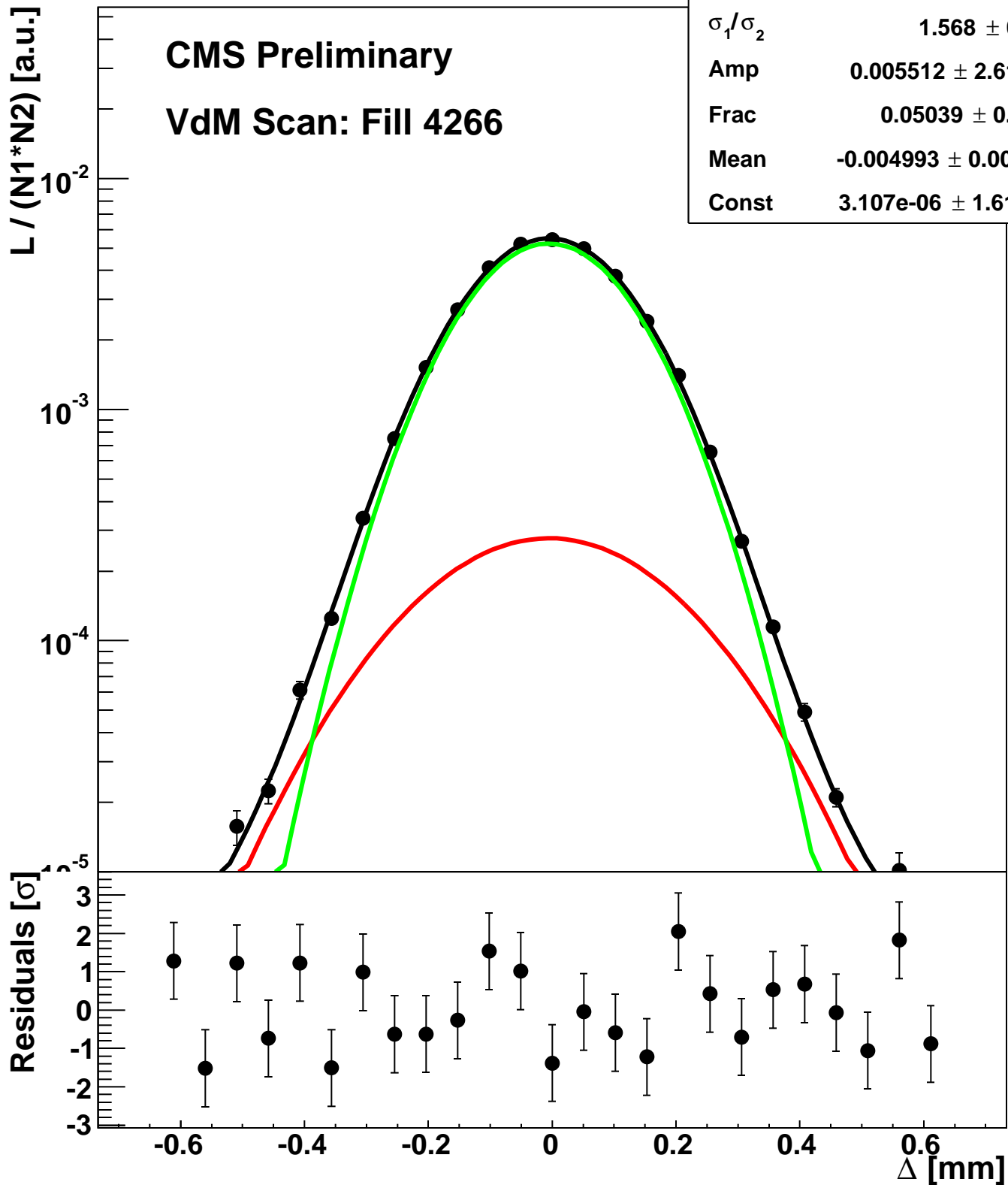
Scan 4: X-plane BCID 2371



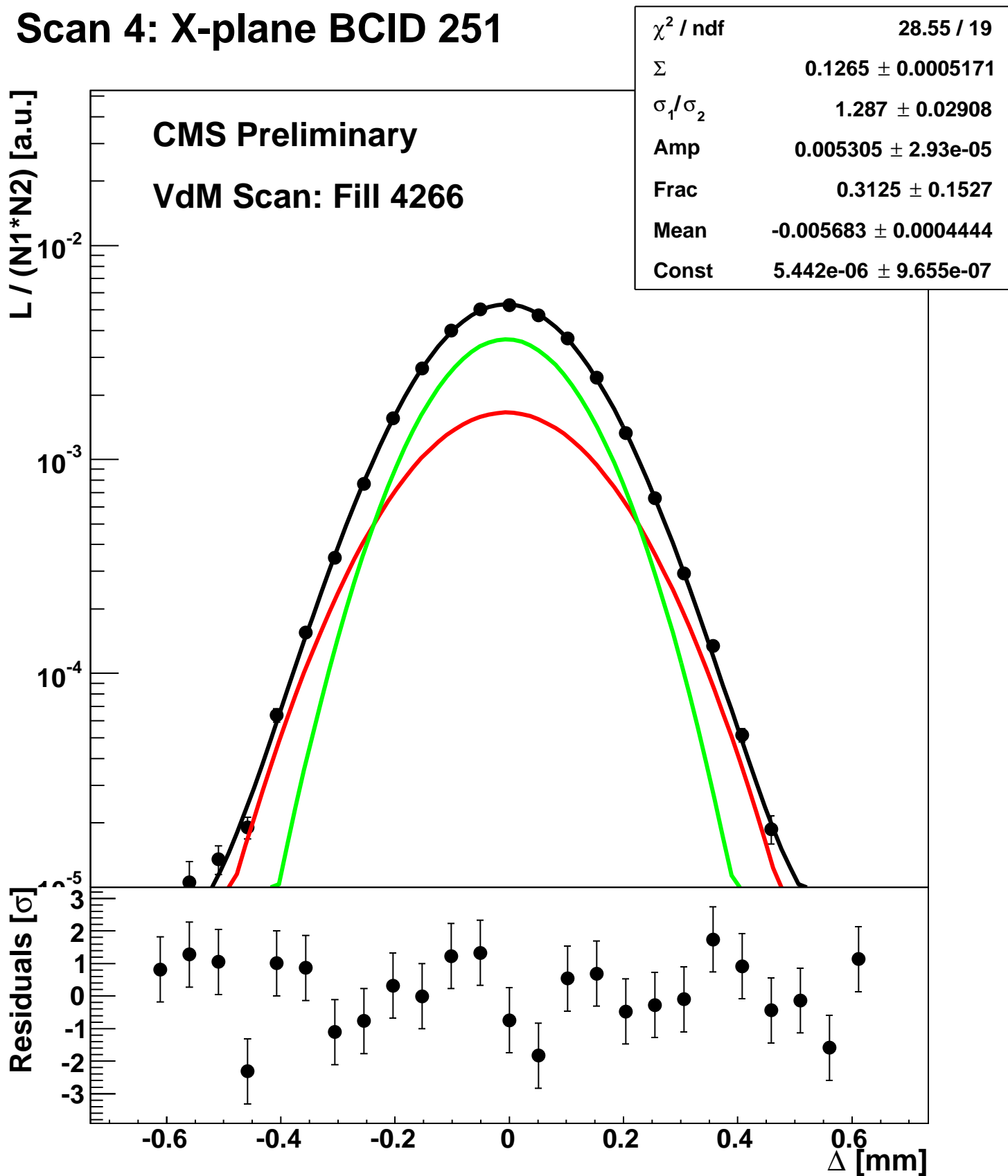
Scan 4: X-plane BCID 2411



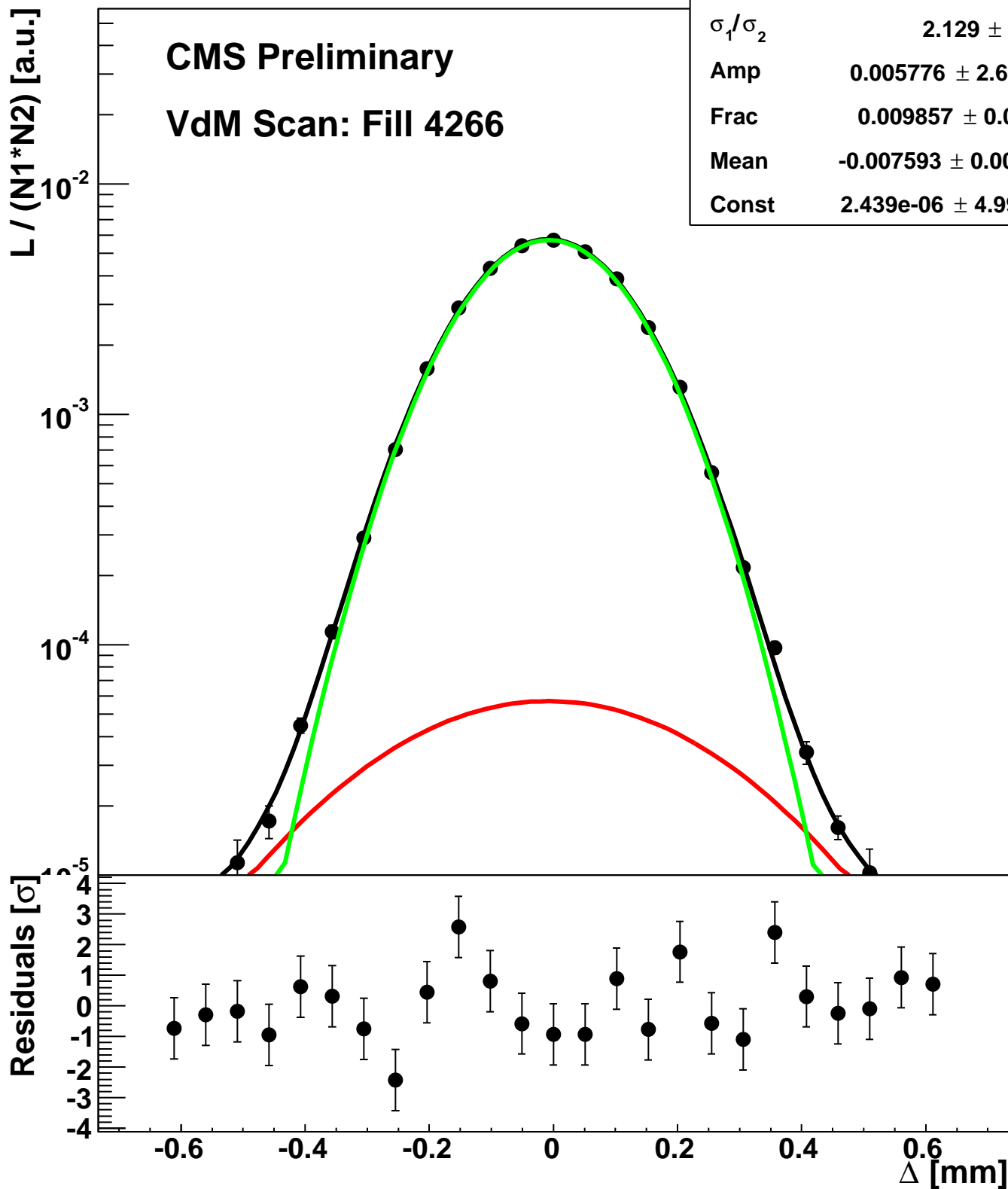
Scan 4: X-plane BCID 2451



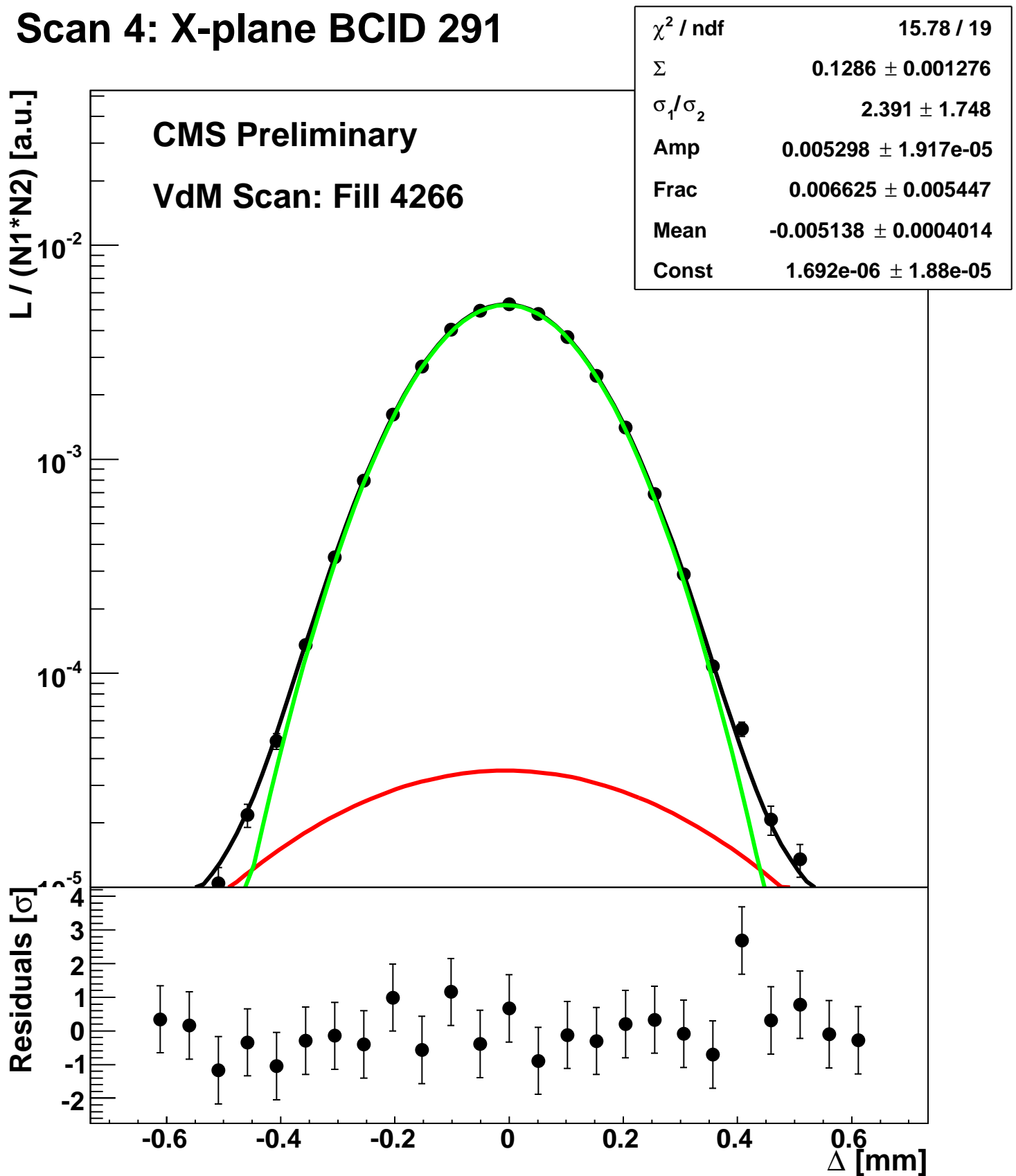
Scan 4: X-plane BCID 251



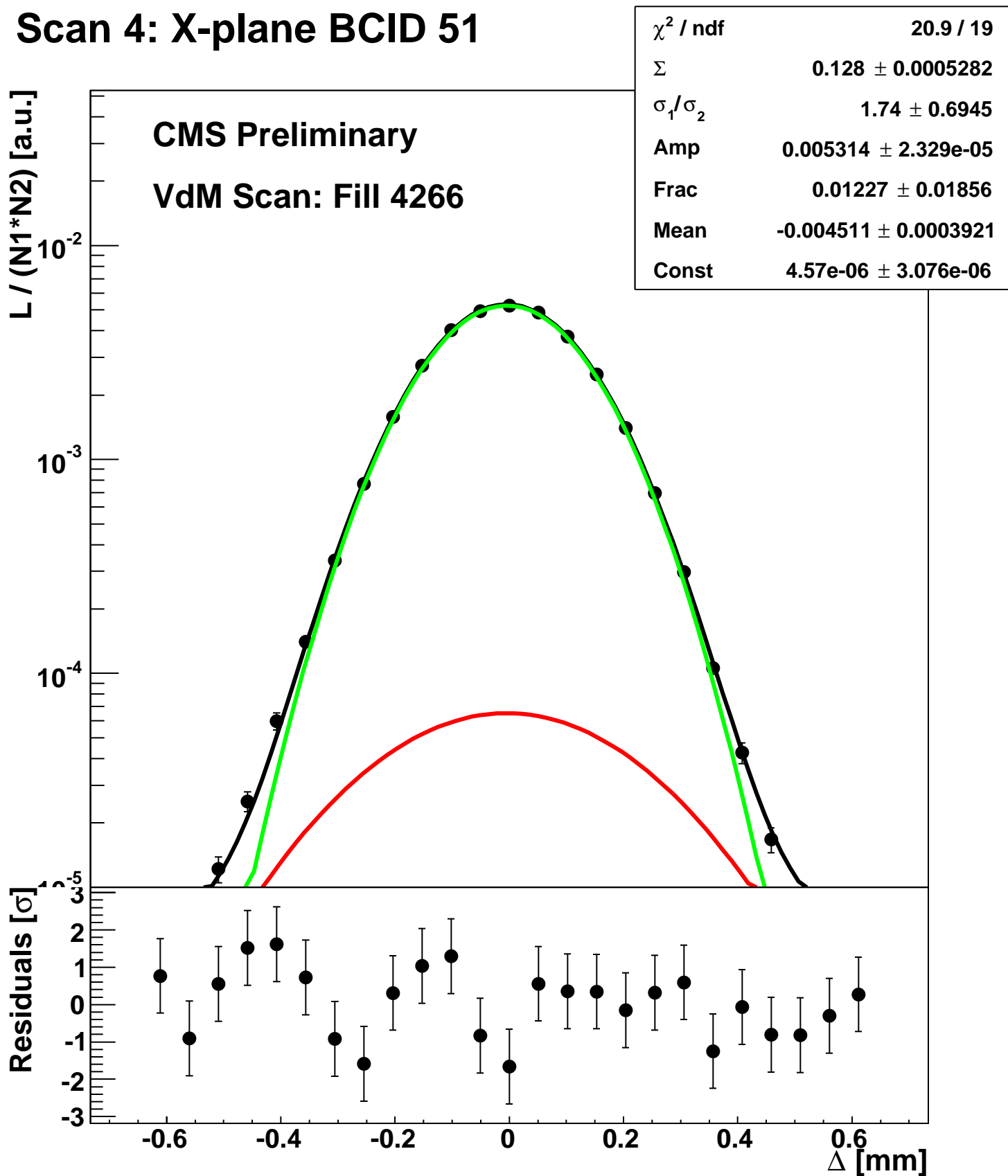
Scan 4: X-plane BCID 2674



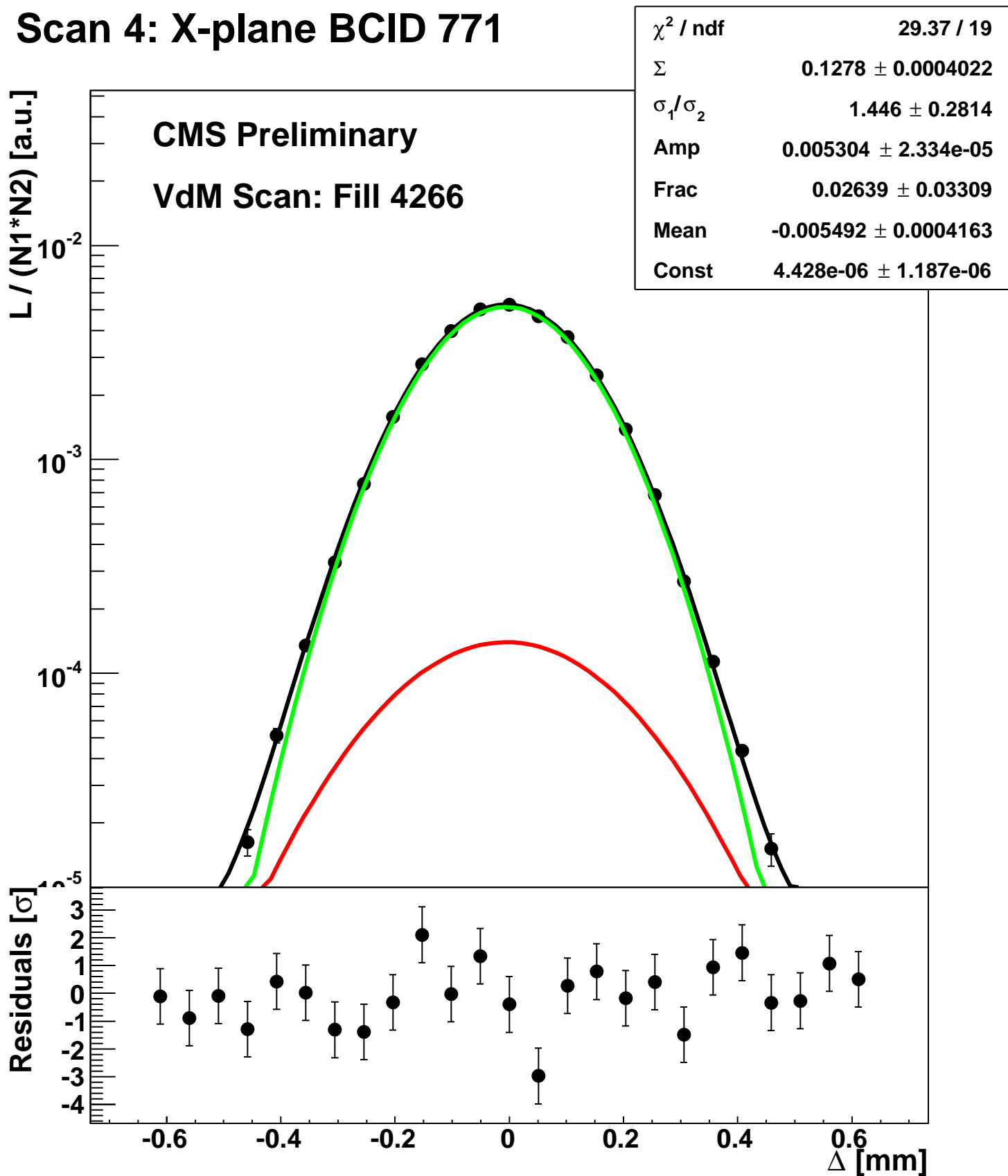
Scan 4: X-plane BCID 291



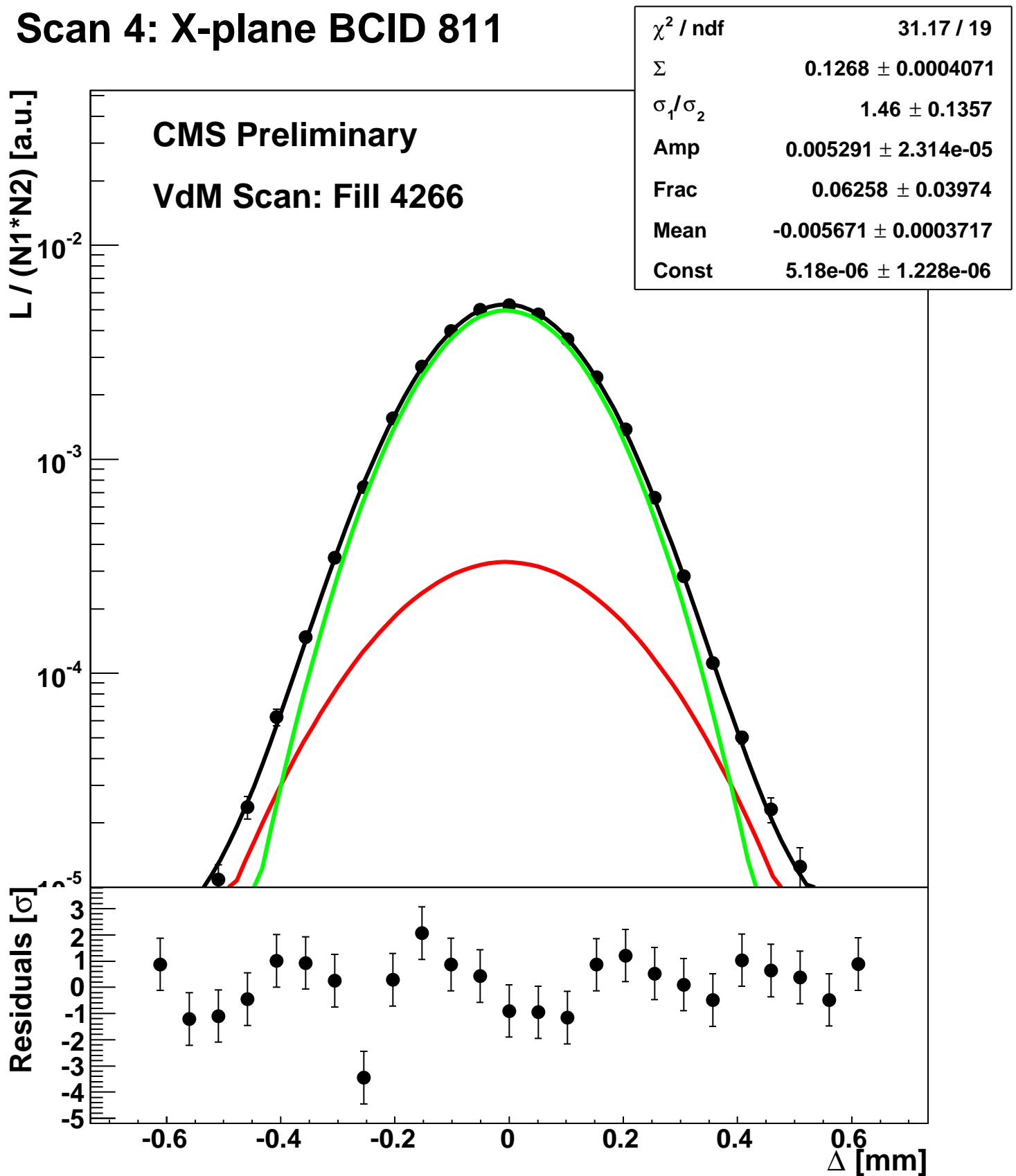
Scan 4: X-plane BCID 51



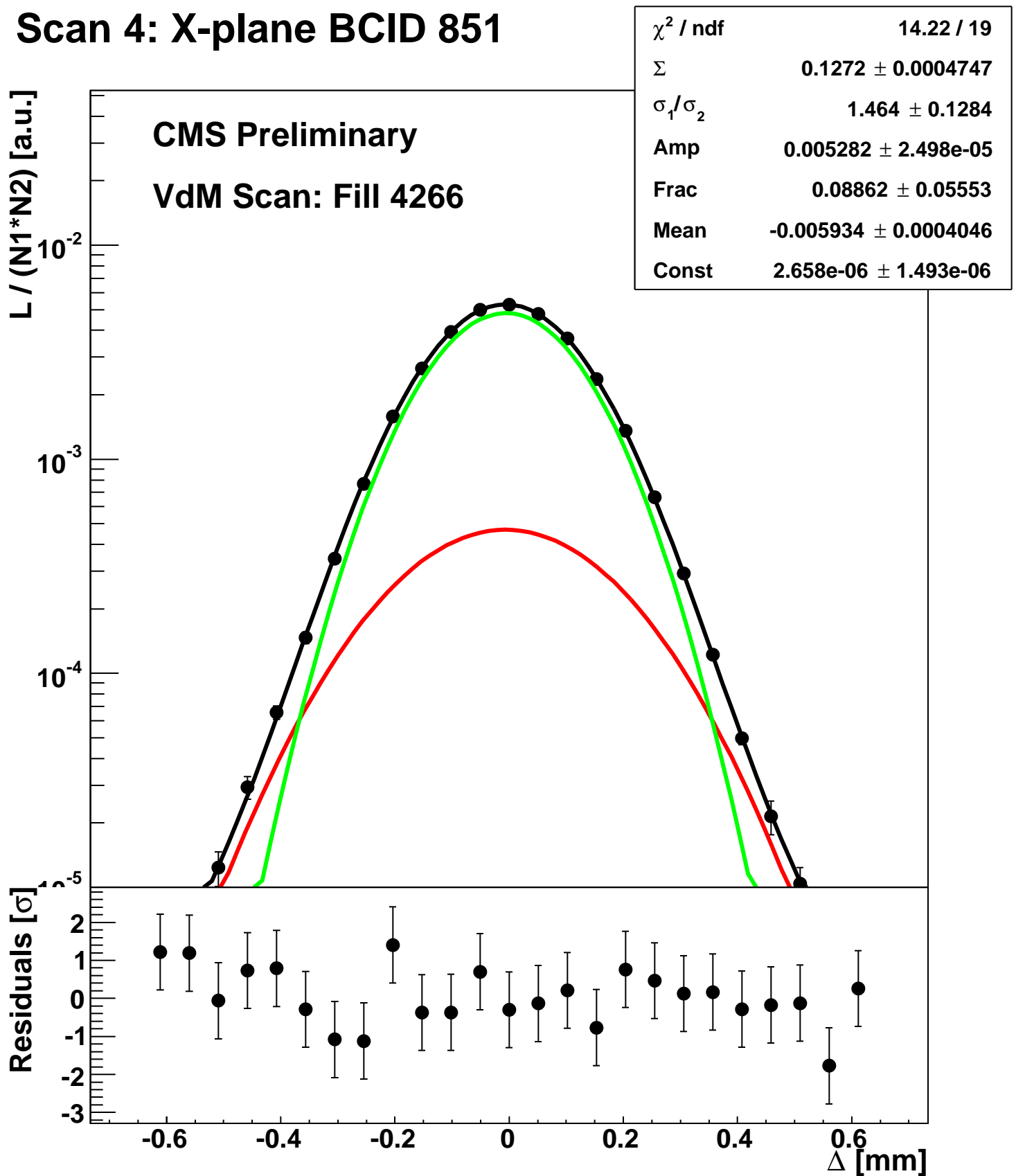
Scan 4: X-plane BCID 771



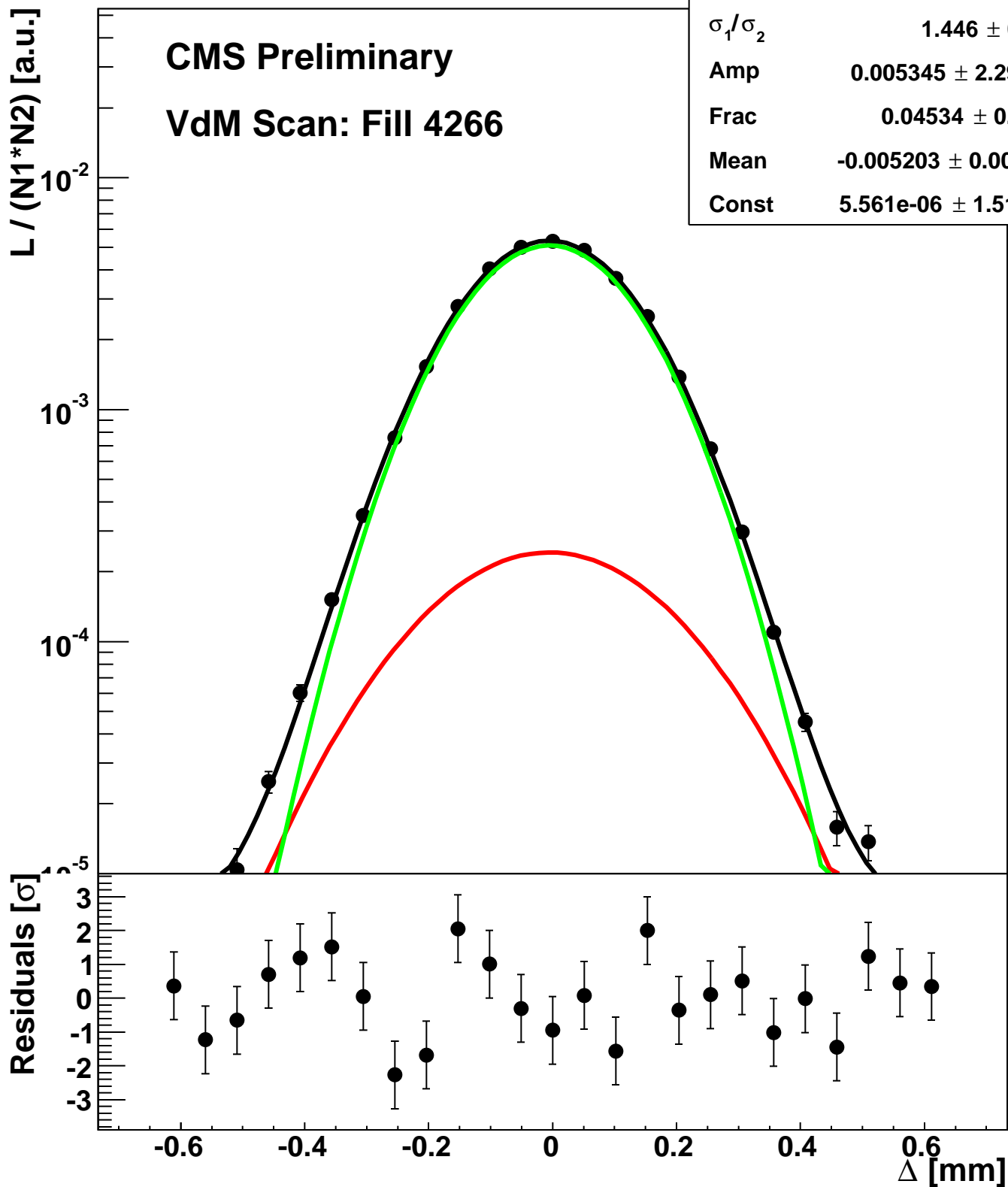
Scan 4: X-plane BCID 811



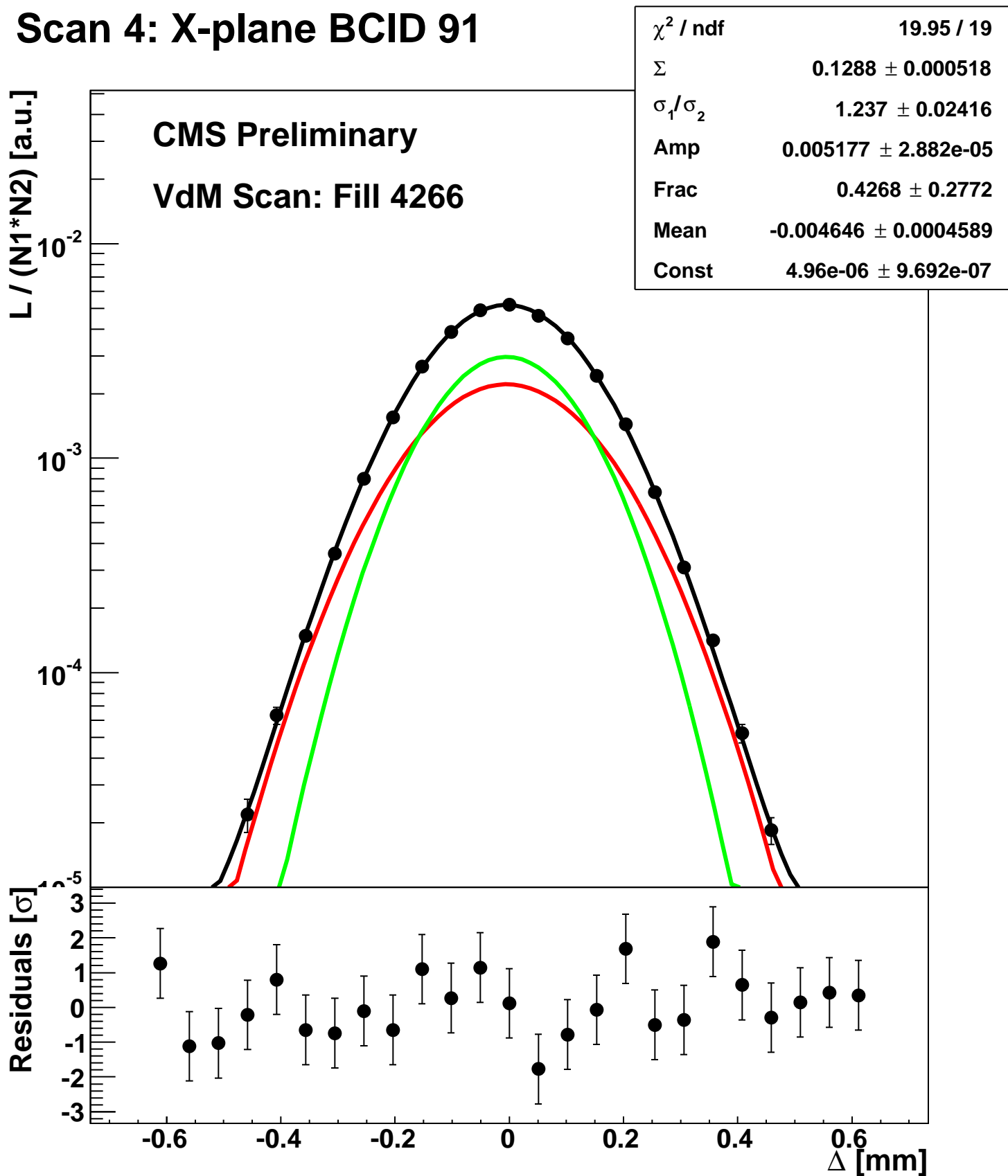
Scan 4: X-plane BCID 851



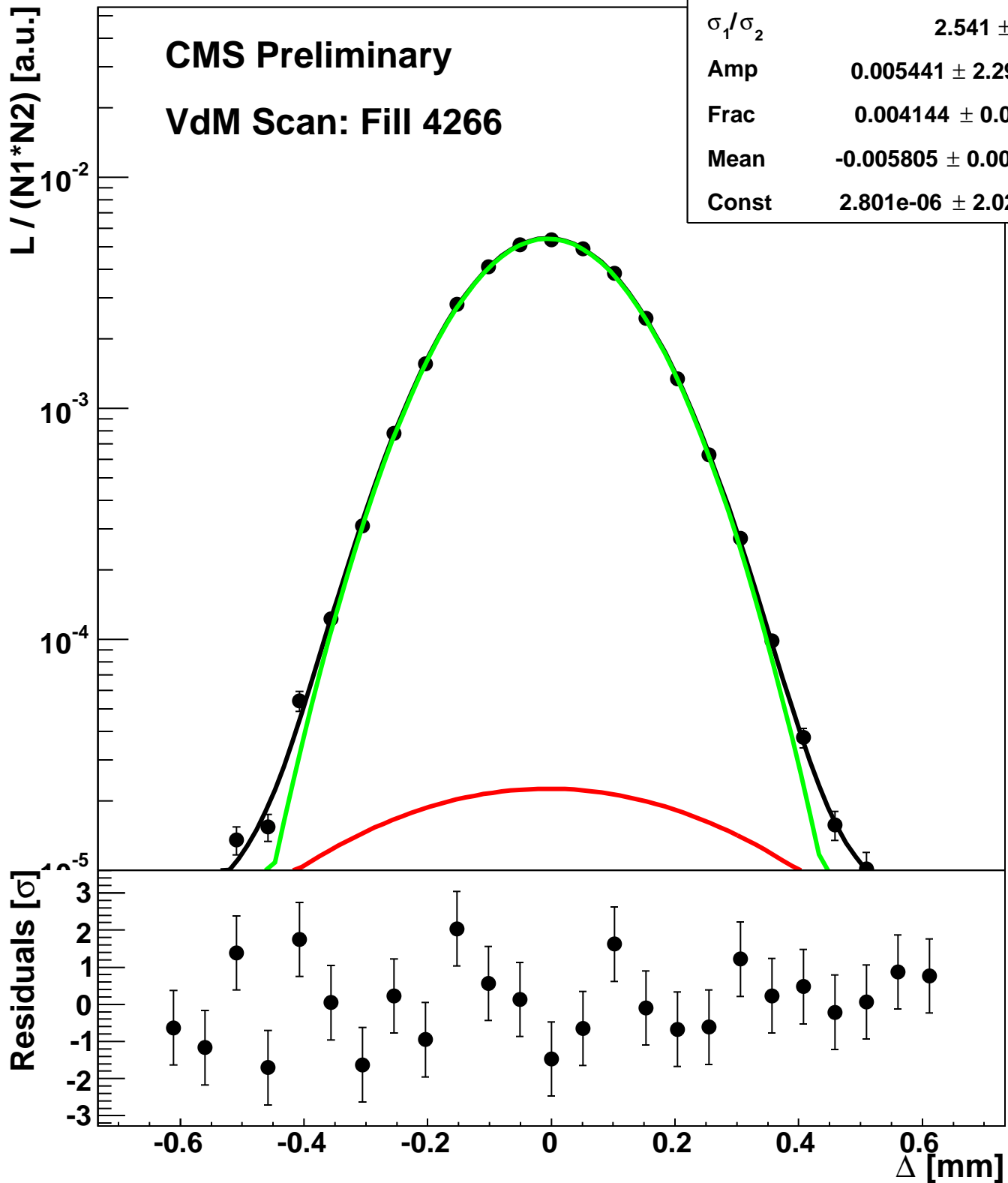
Scan 4: X-plane BCID 891



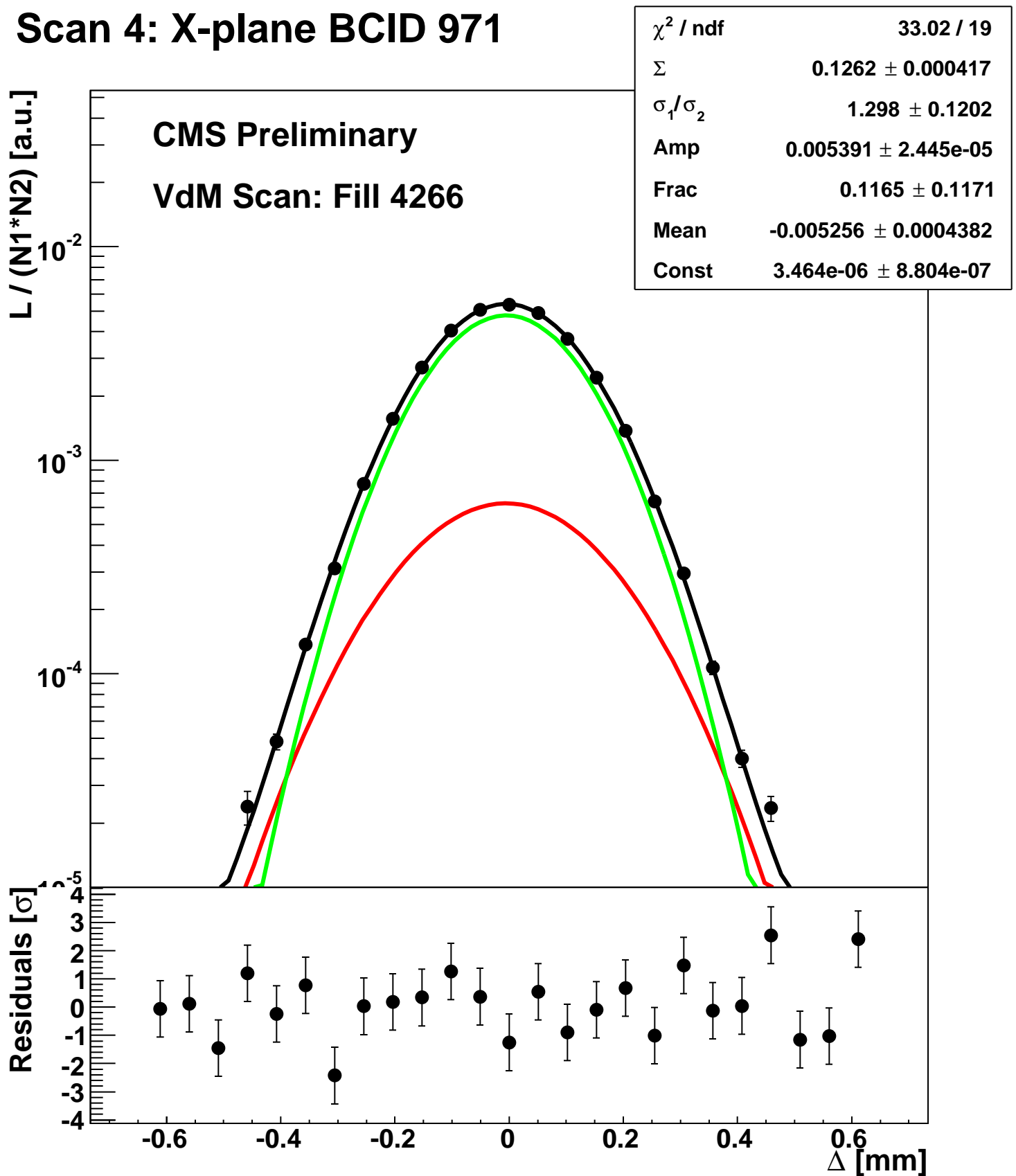
Scan 4: X-plane BCID 91



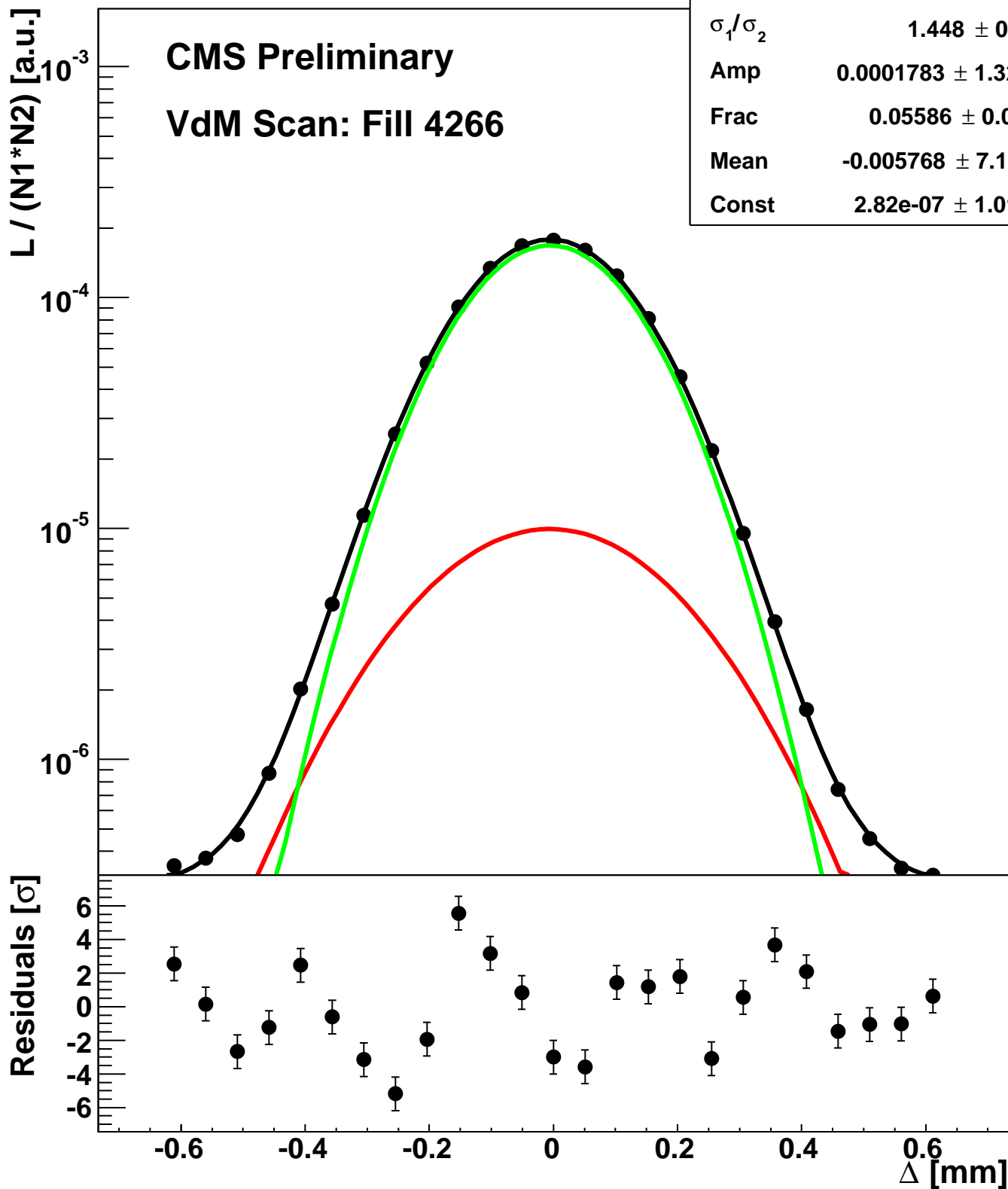
Scan 4: X-plane BCID 931



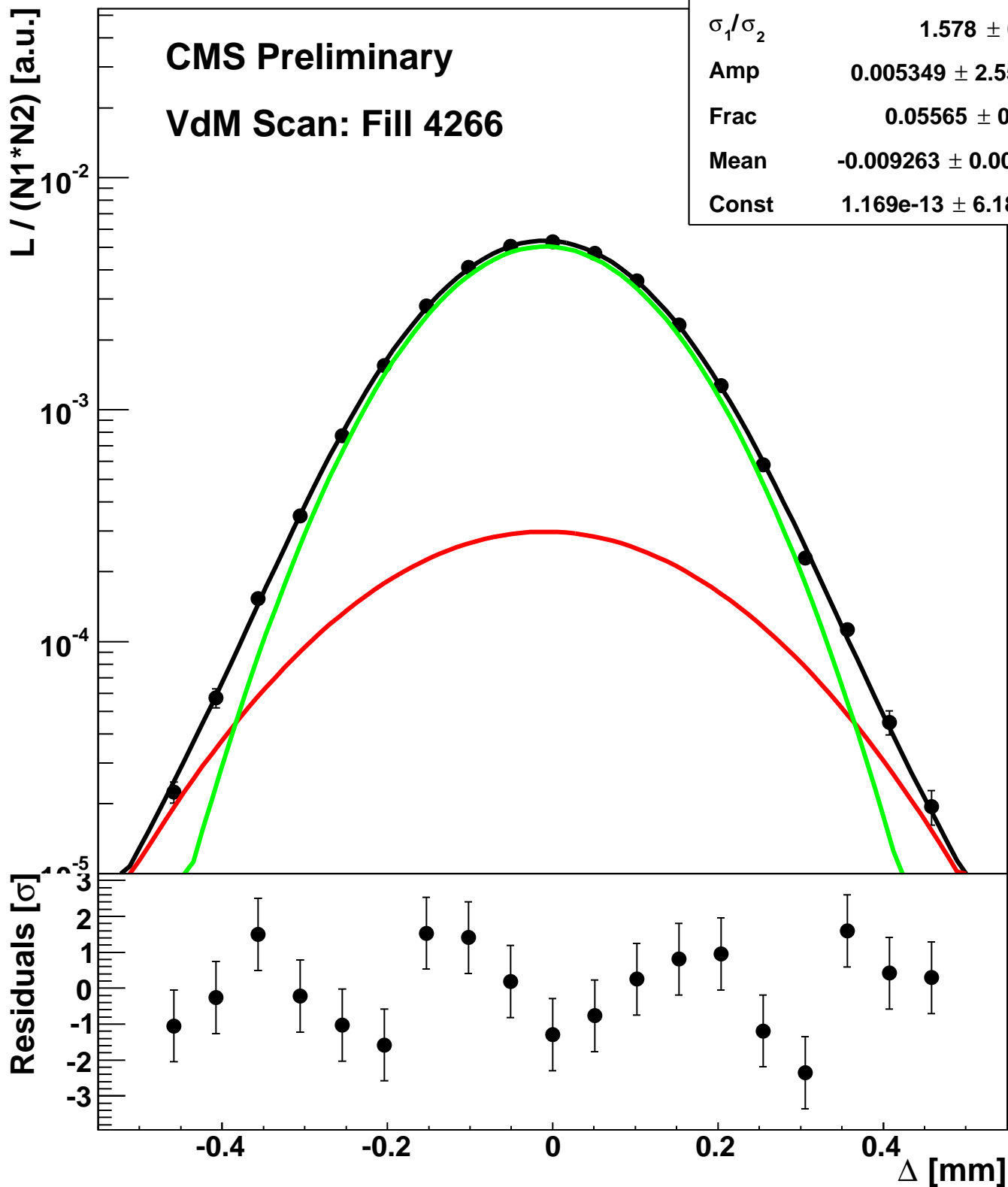
Scan 4: X-plane BCID 971



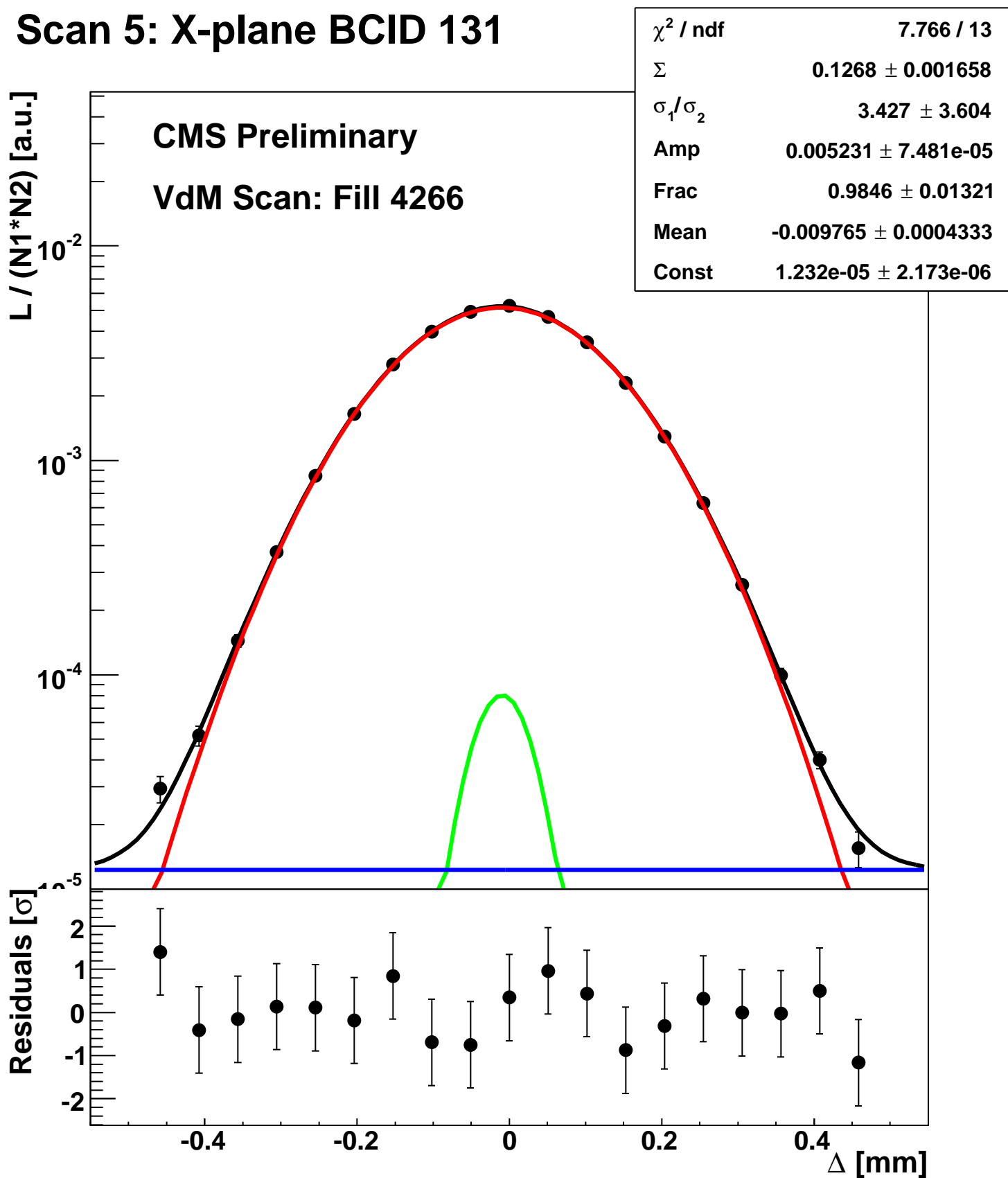
Scan 4: X-plane BCID sum



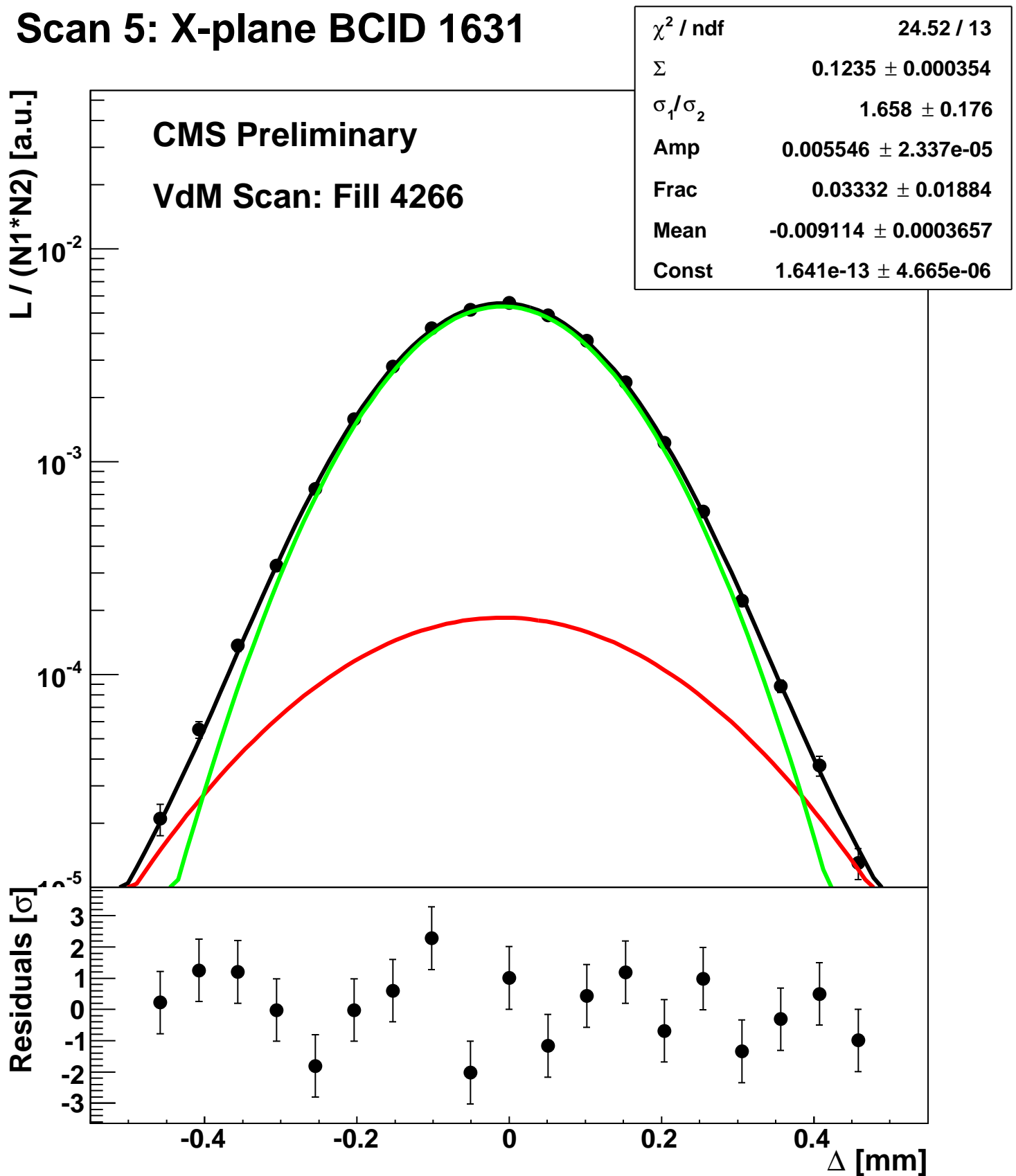
Scan 5: X-plane BCID 1011



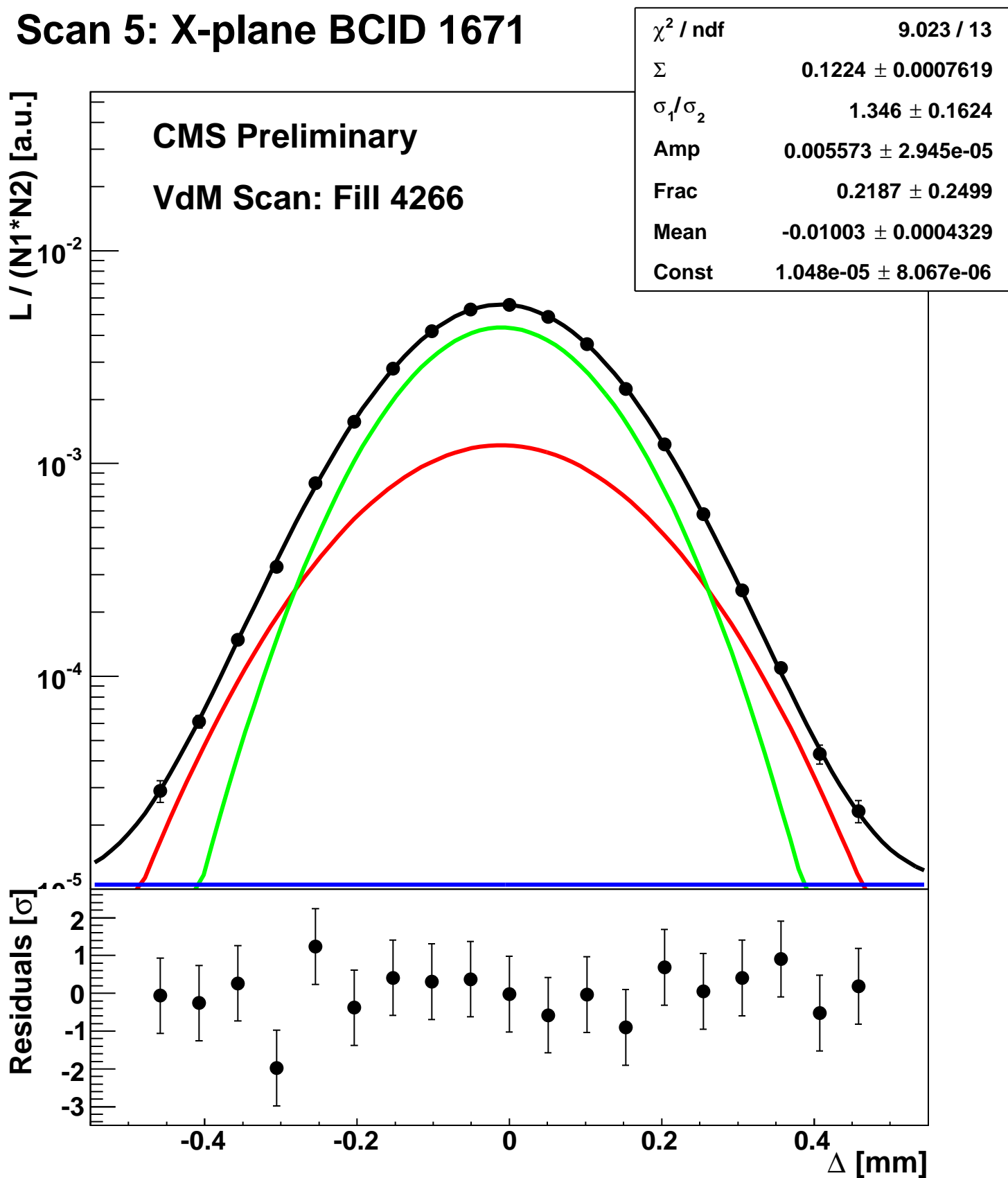
Scan 5: X-plane BCID 131



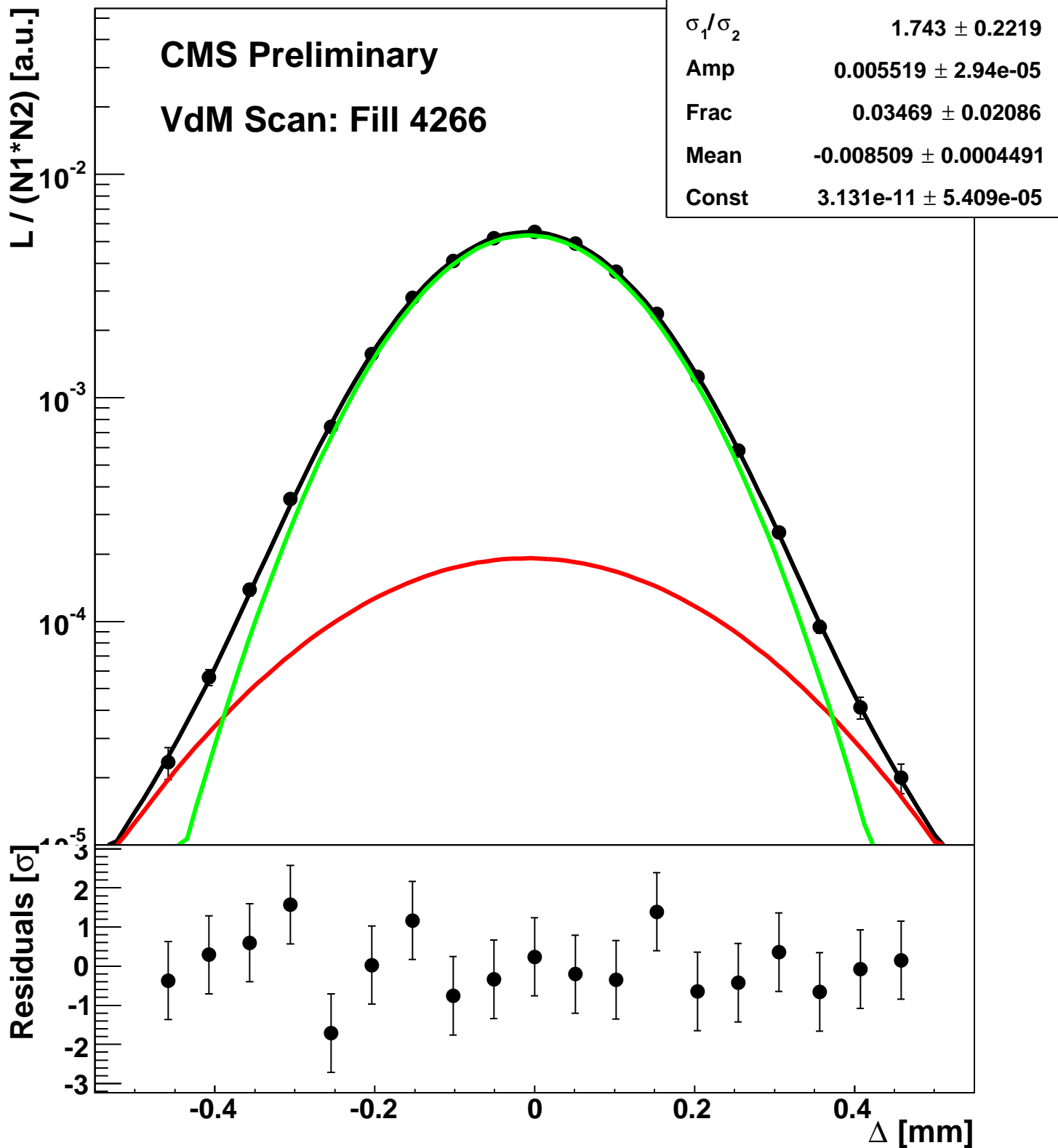
Scan 5: X-plane BCID 1631



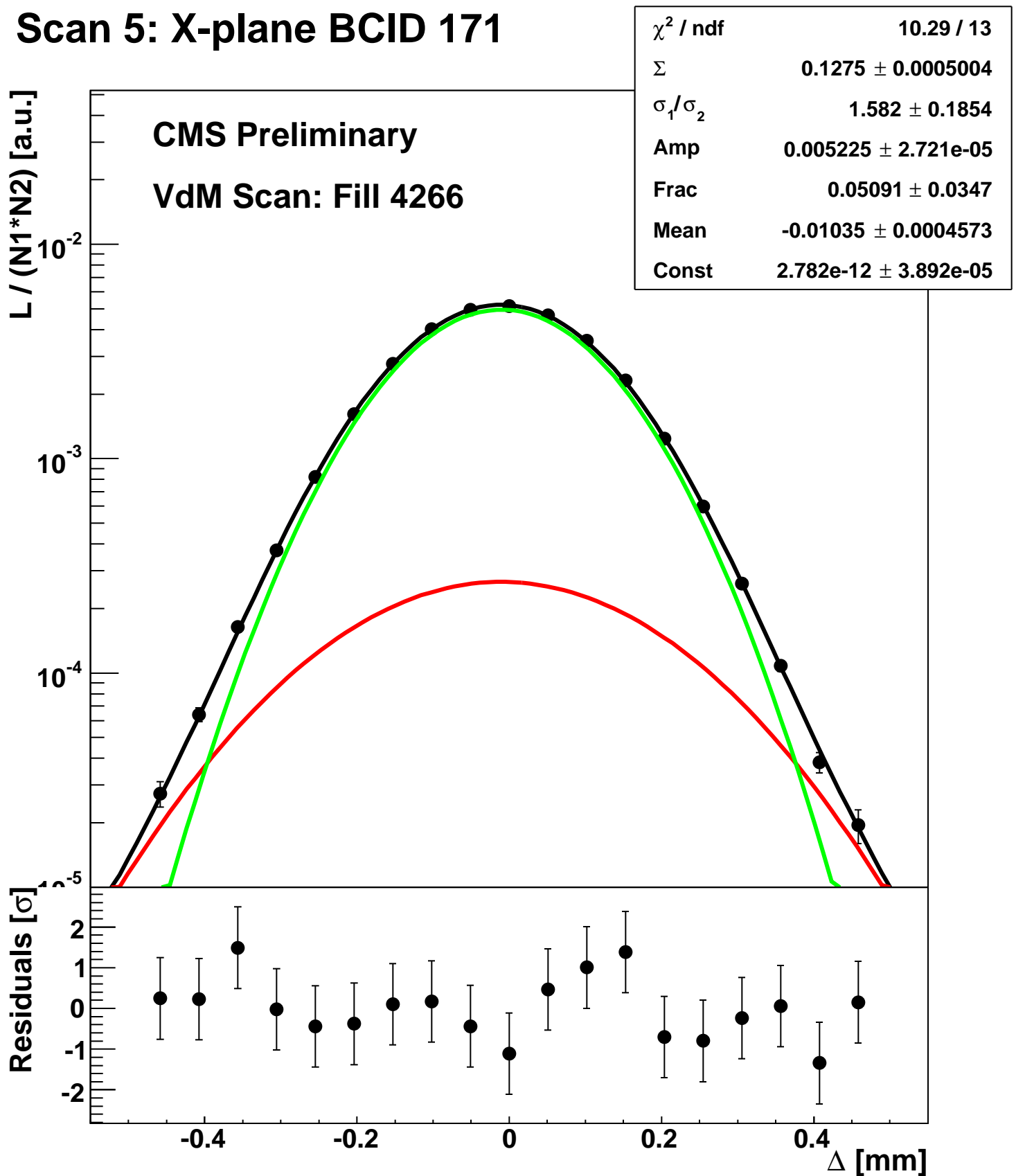
Scan 5: X-plane BCID 1671



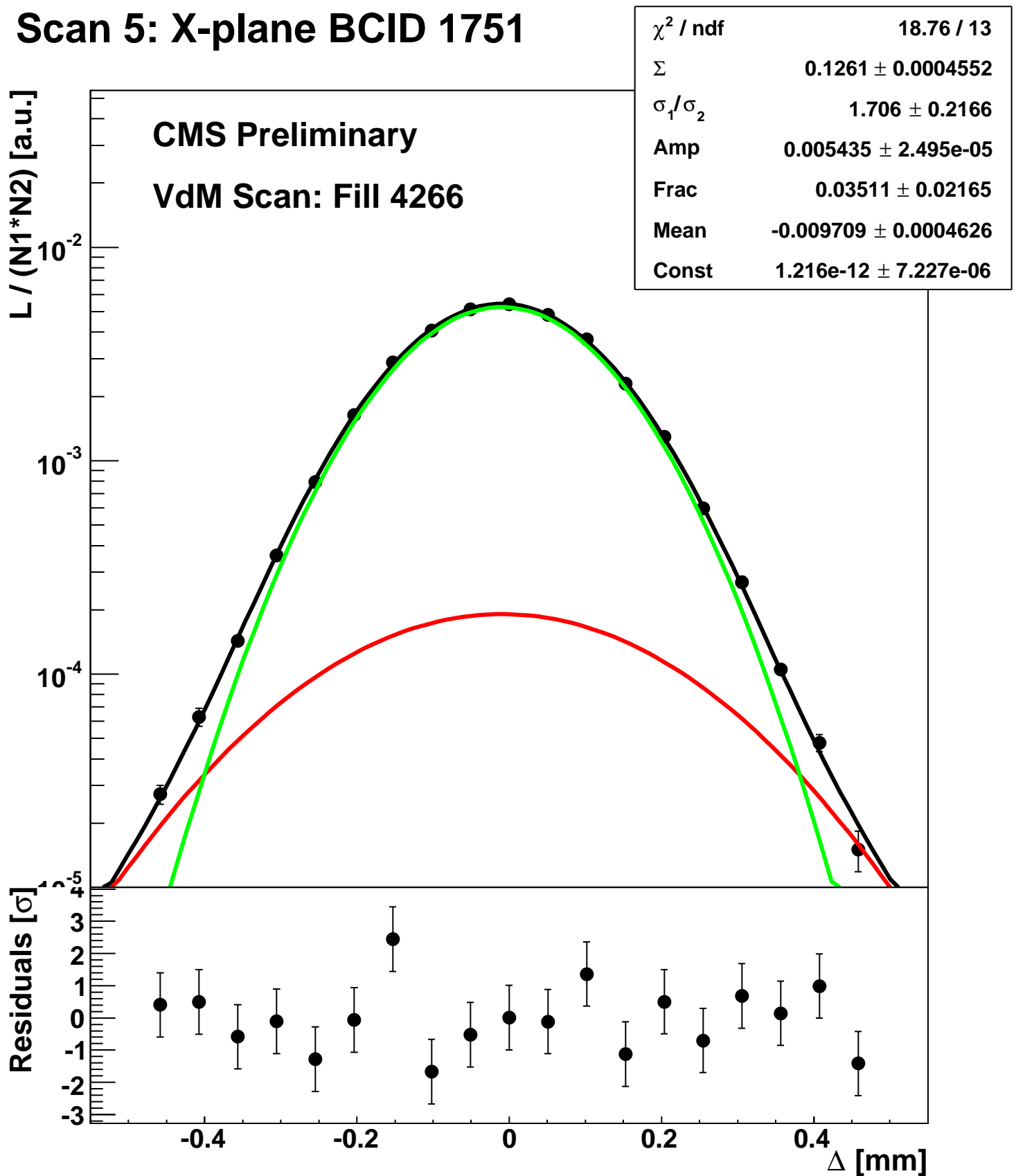
Scan 5: X-plane BCID 1711



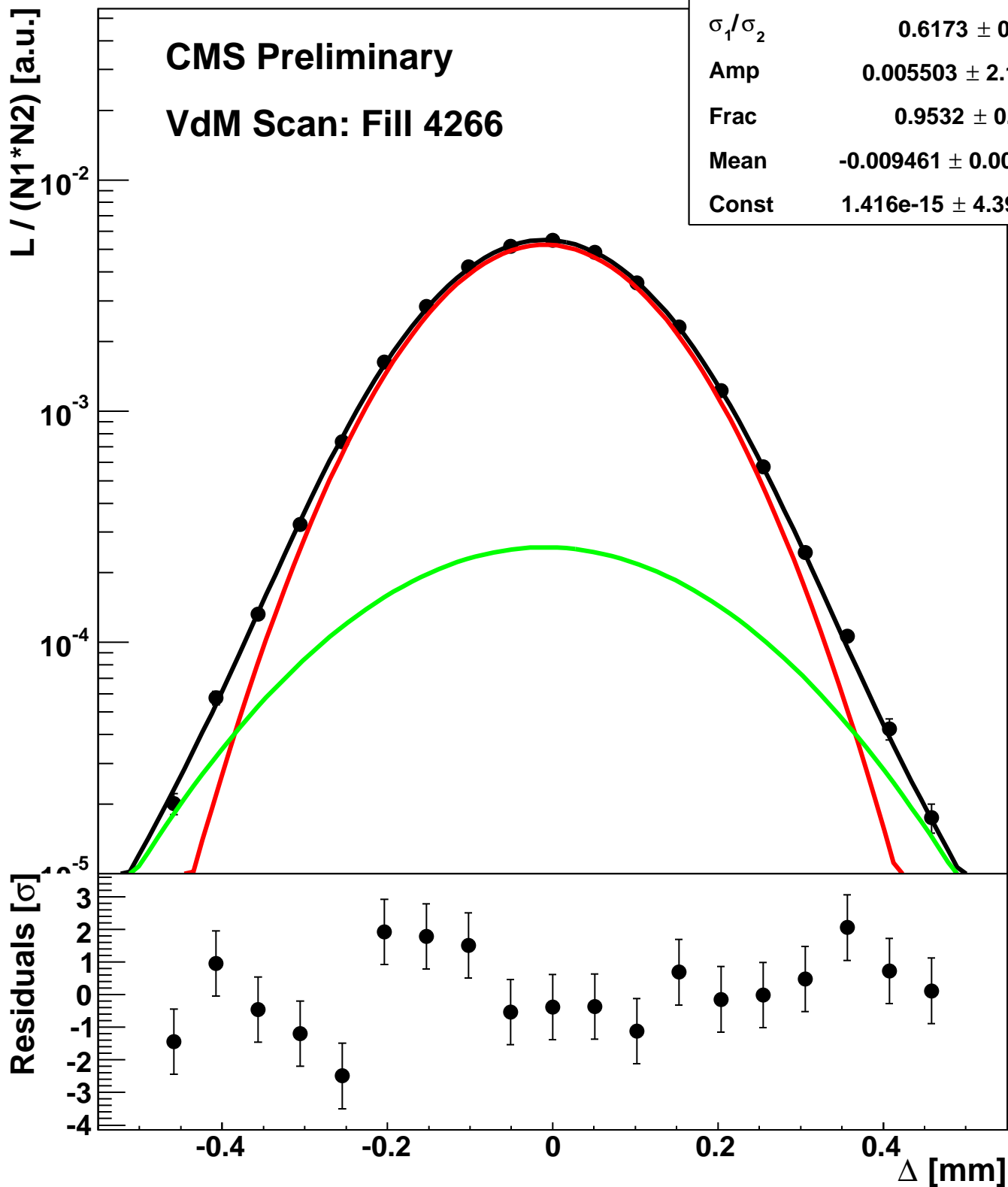
Scan 5: X-plane BCID 171



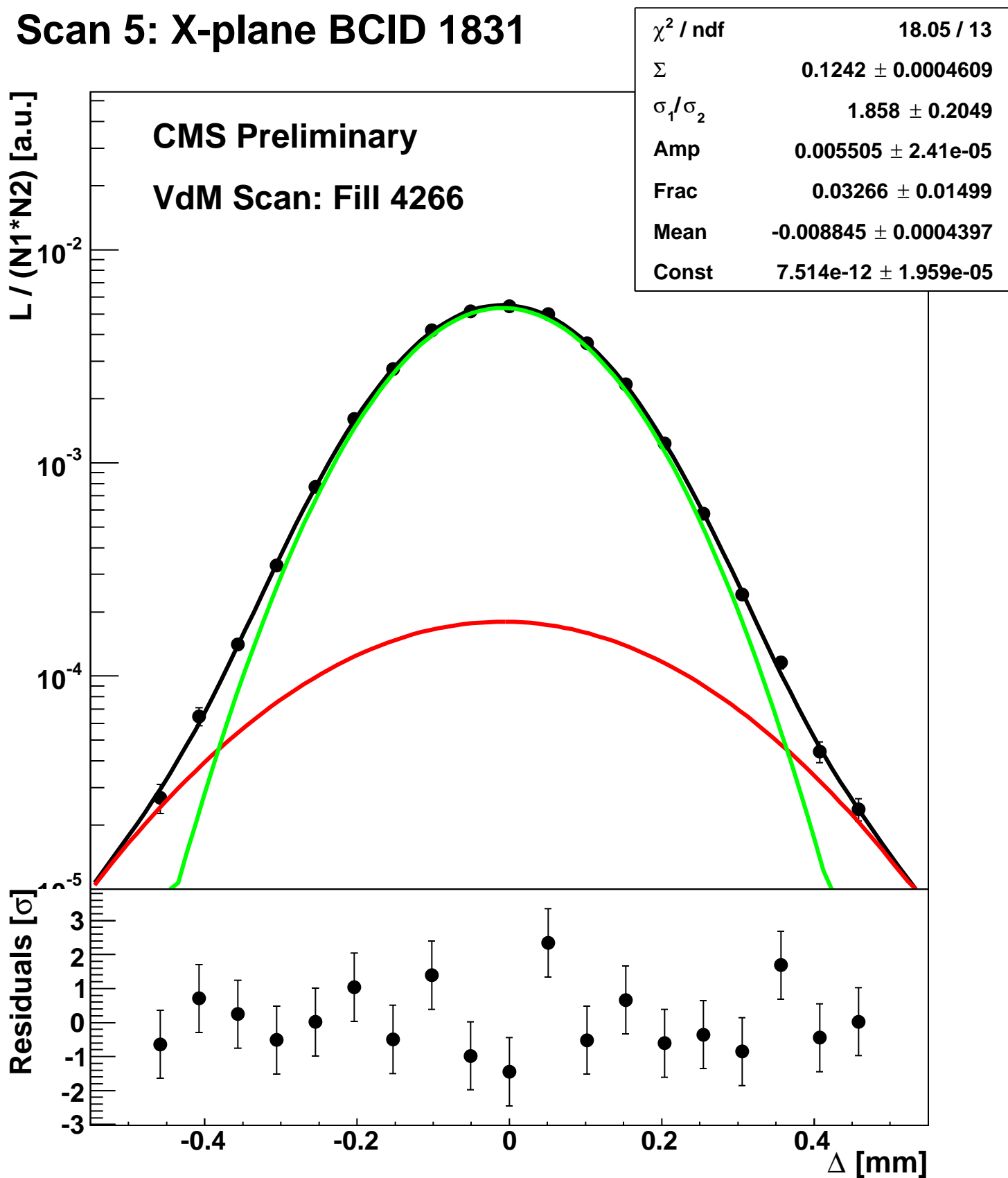
Scan 5: X-plane BCID 1751



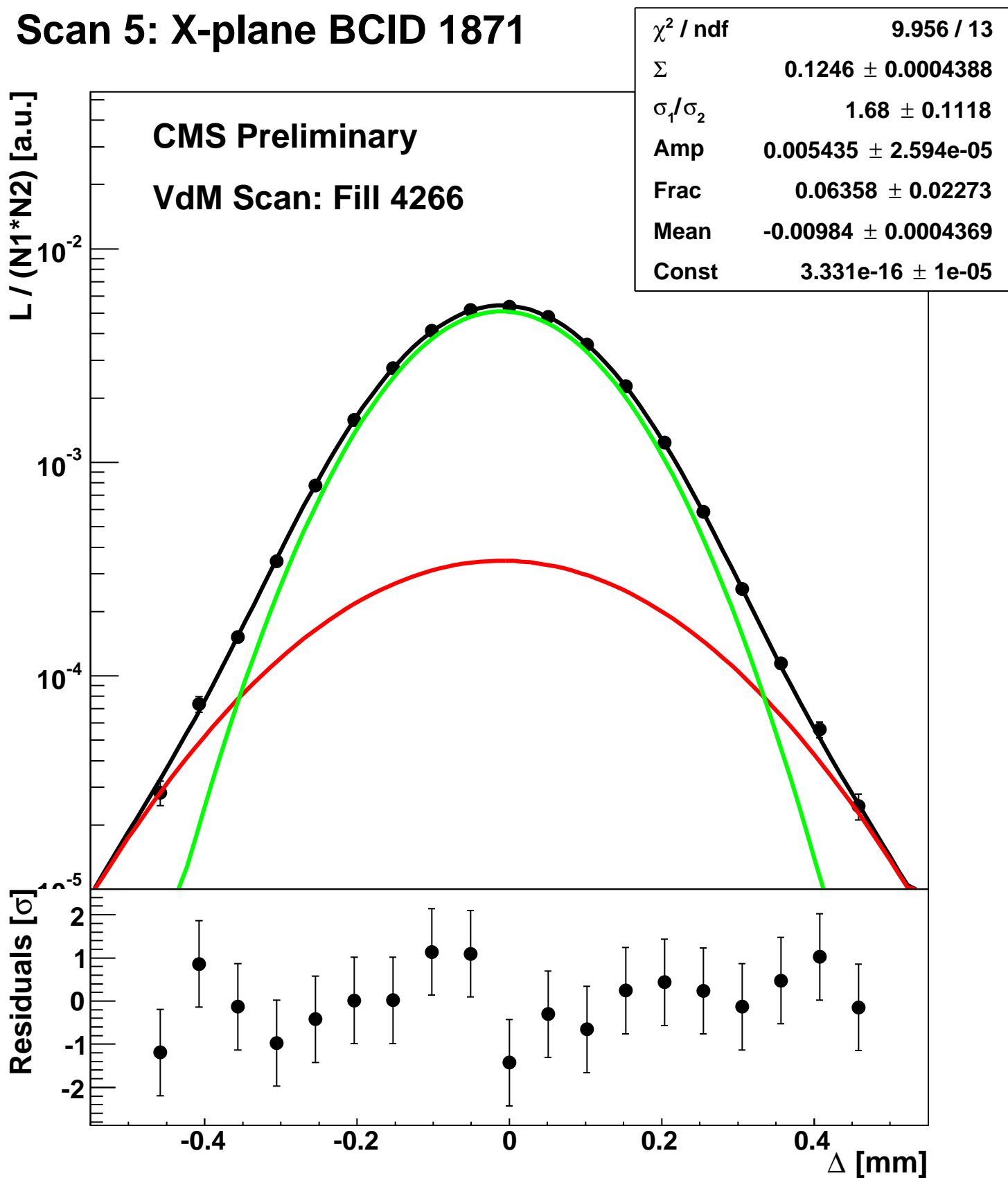
Scan 5: X-plane BCID 1791



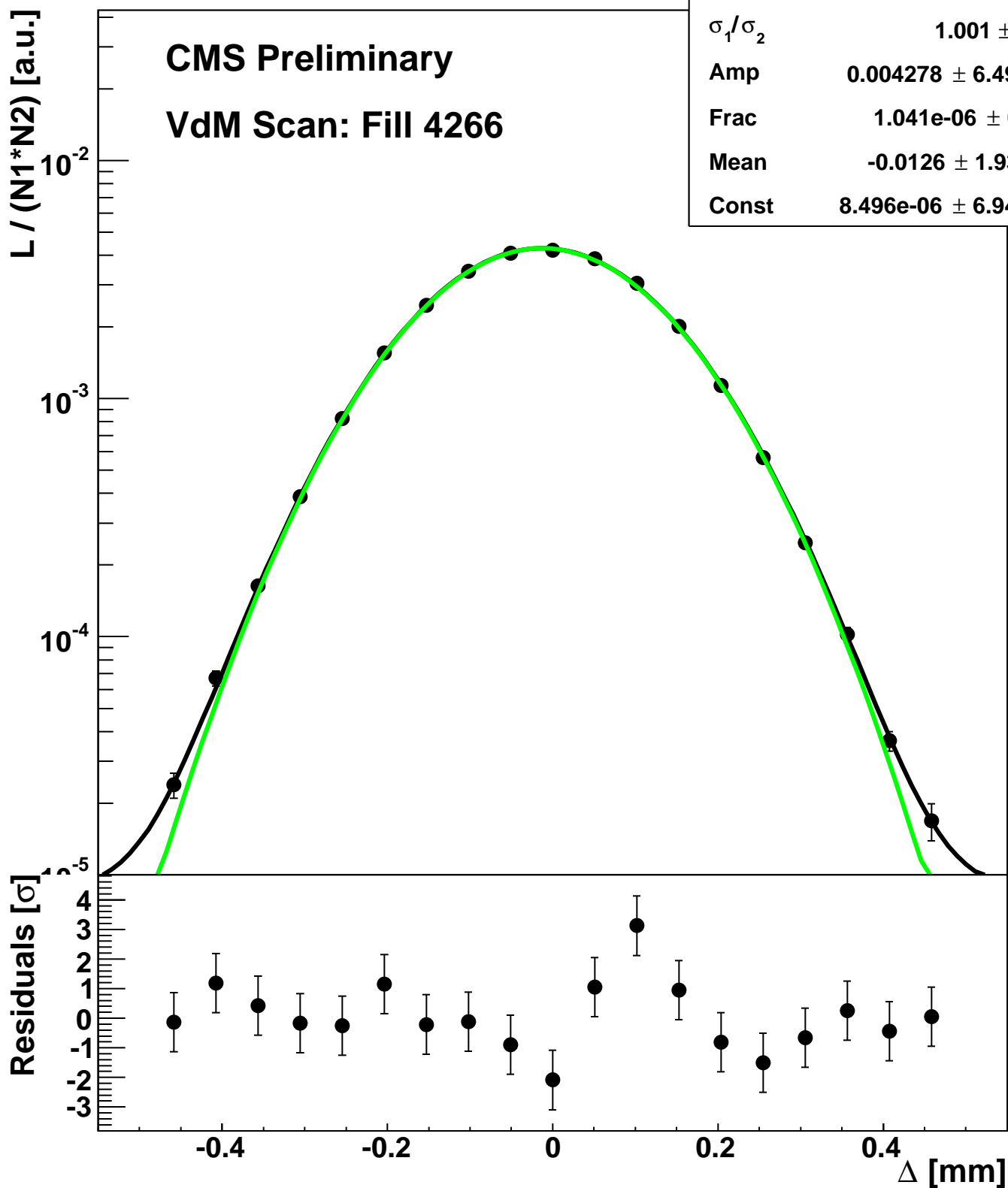
Scan 5: X-plane BCID 1831



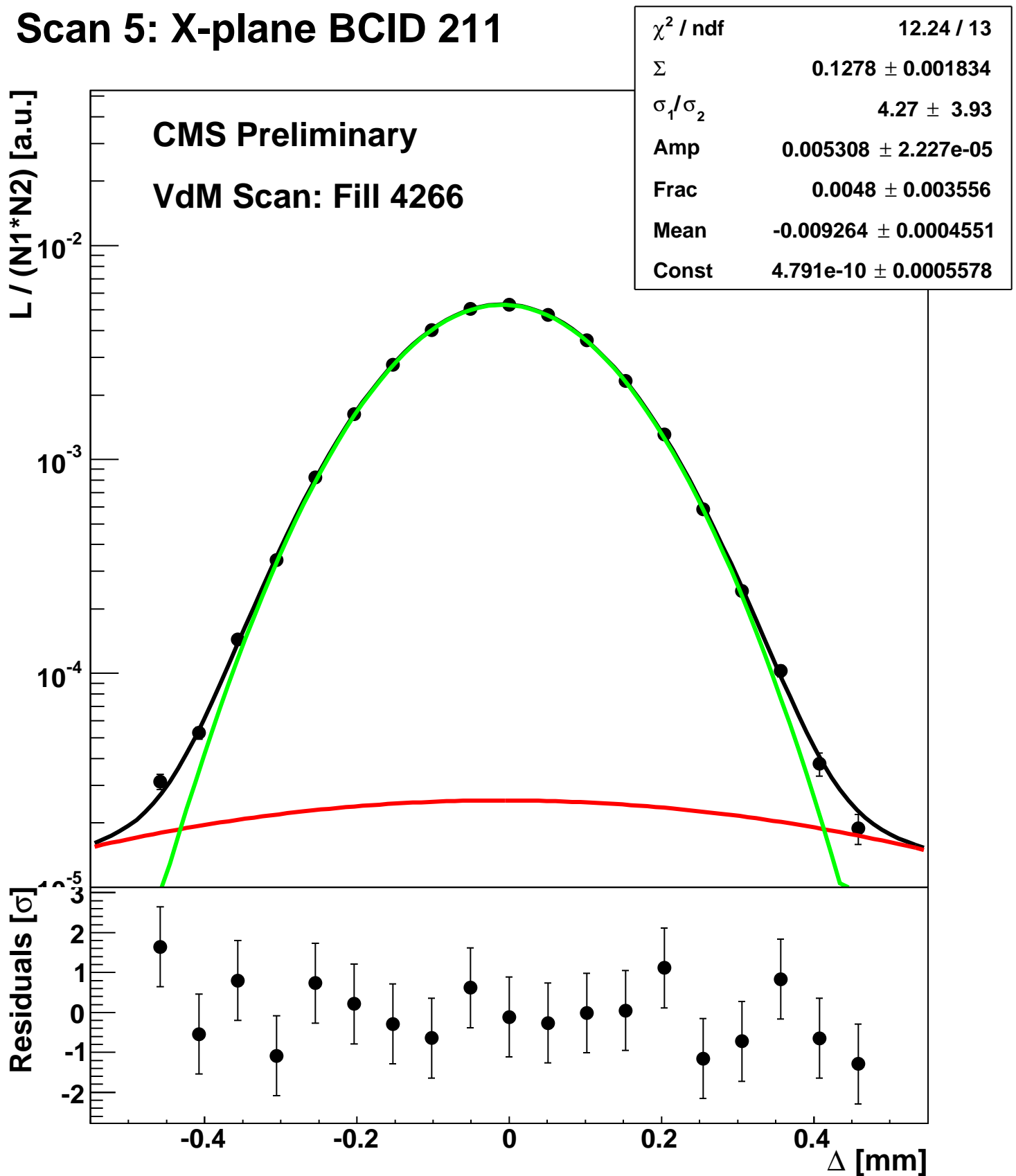
Scan 5: X-plane BCID 1871



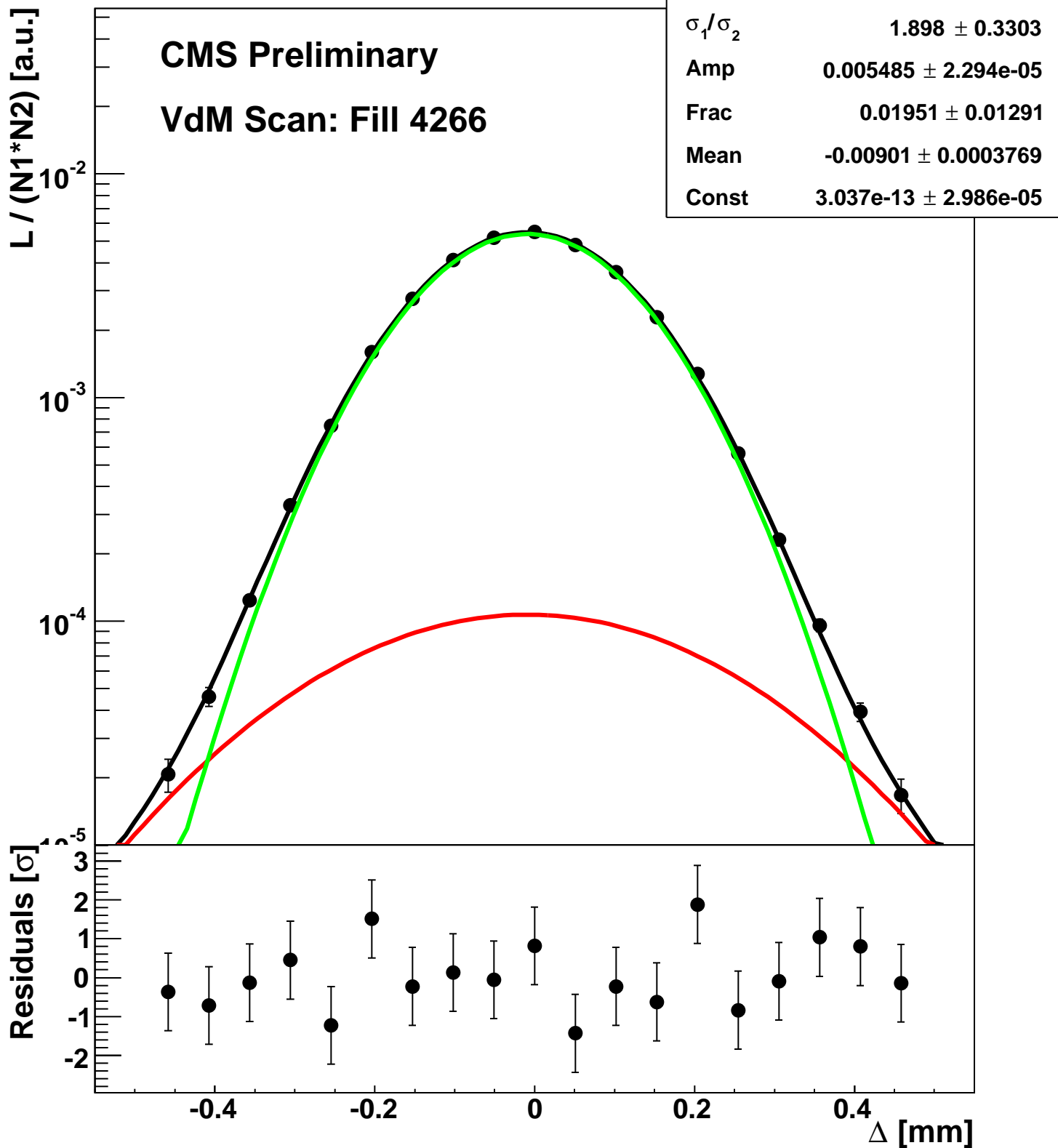
Scan 5: X-plane BCID 1



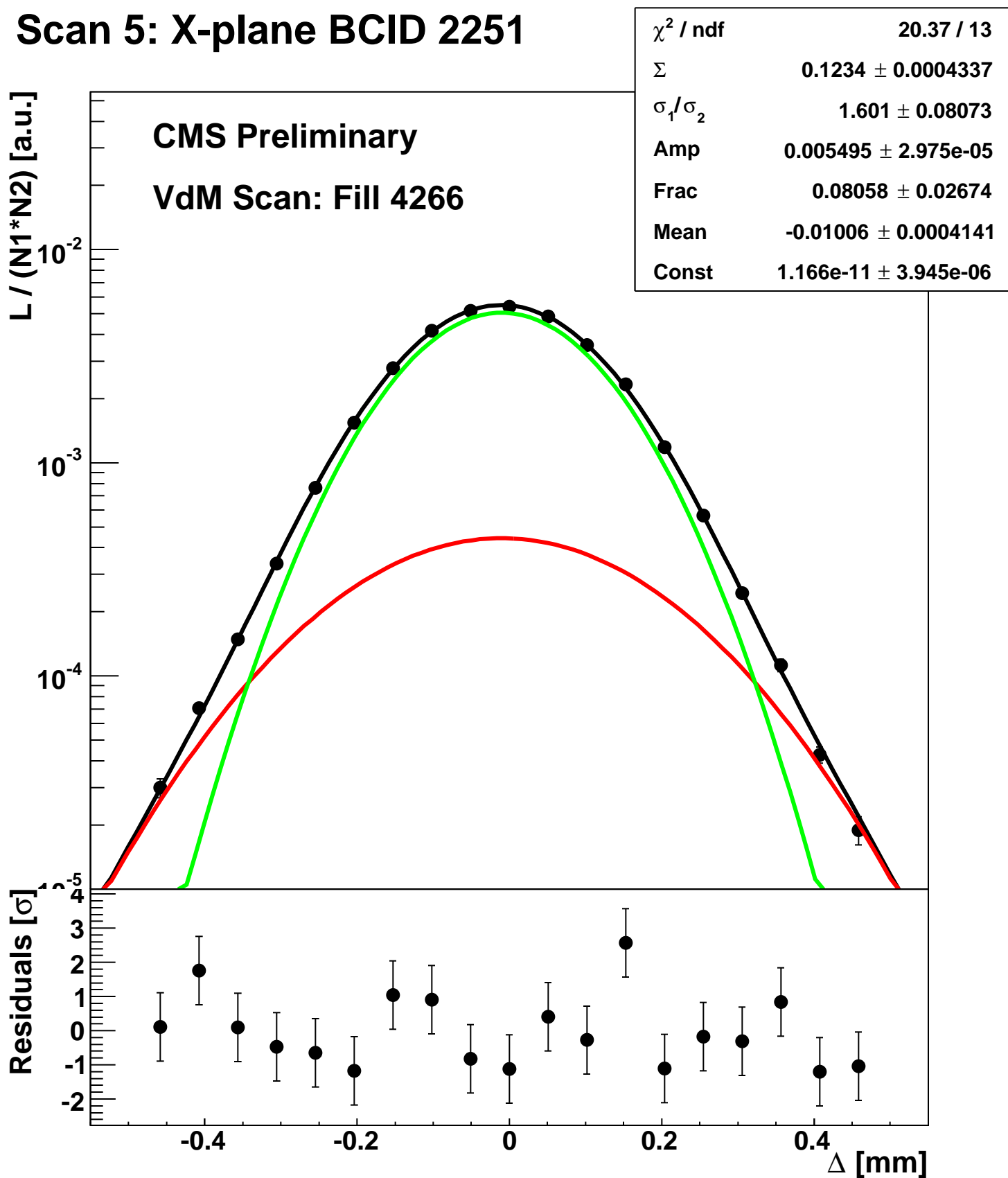
Scan 5: X-plane BCID 211



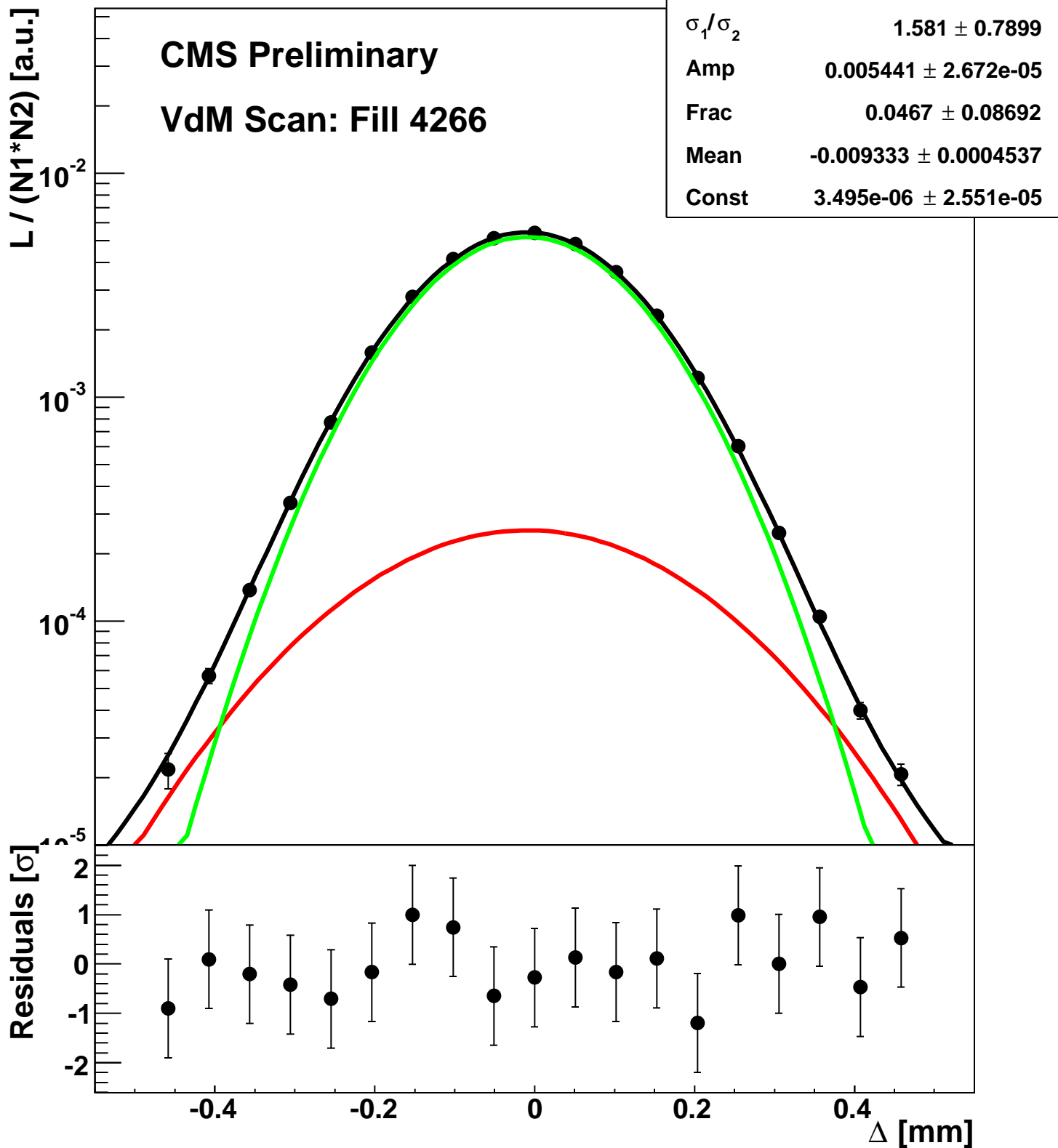
Scan 5: X-plane BCID 2211



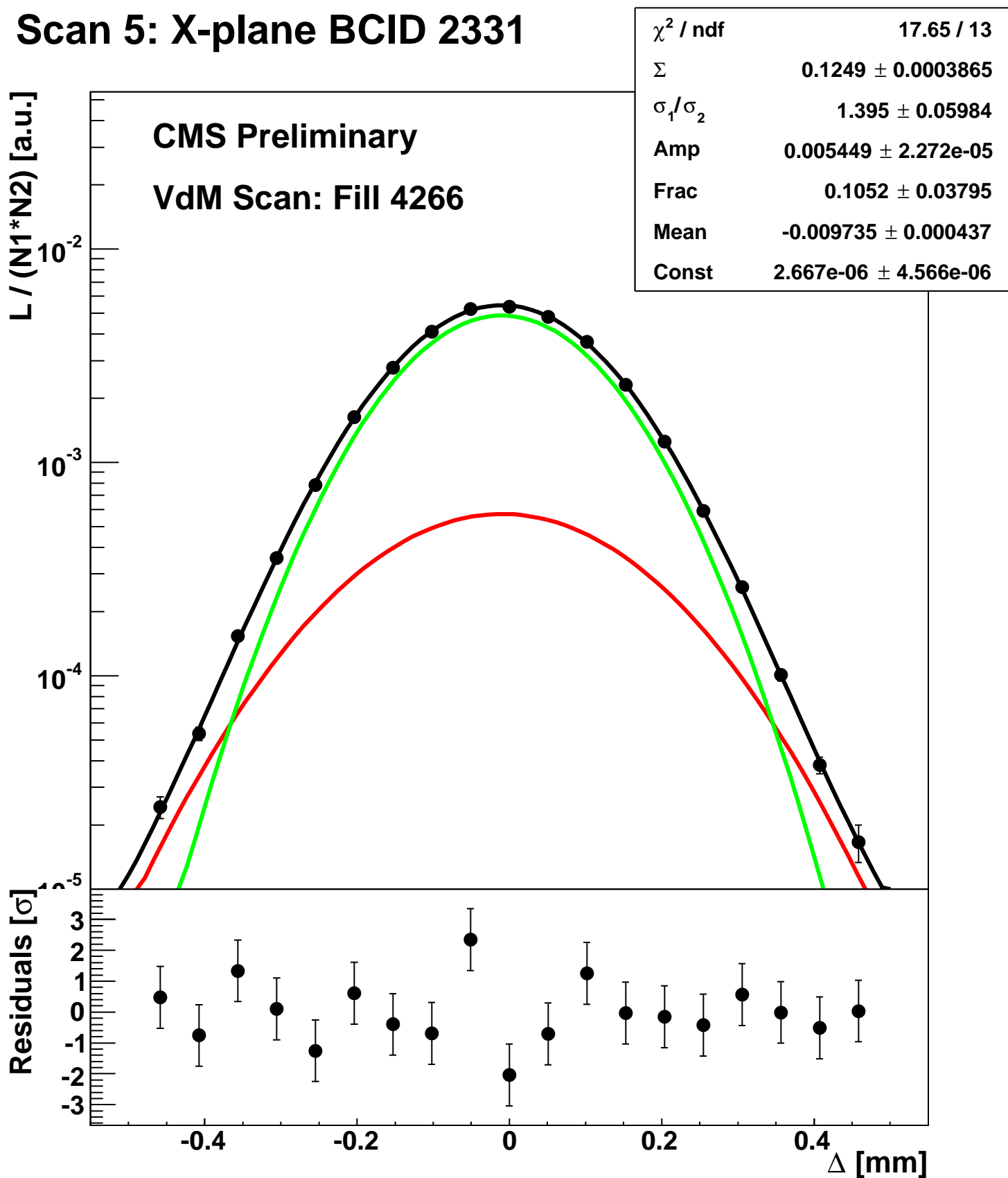
Scan 5: X-plane BCID 2251



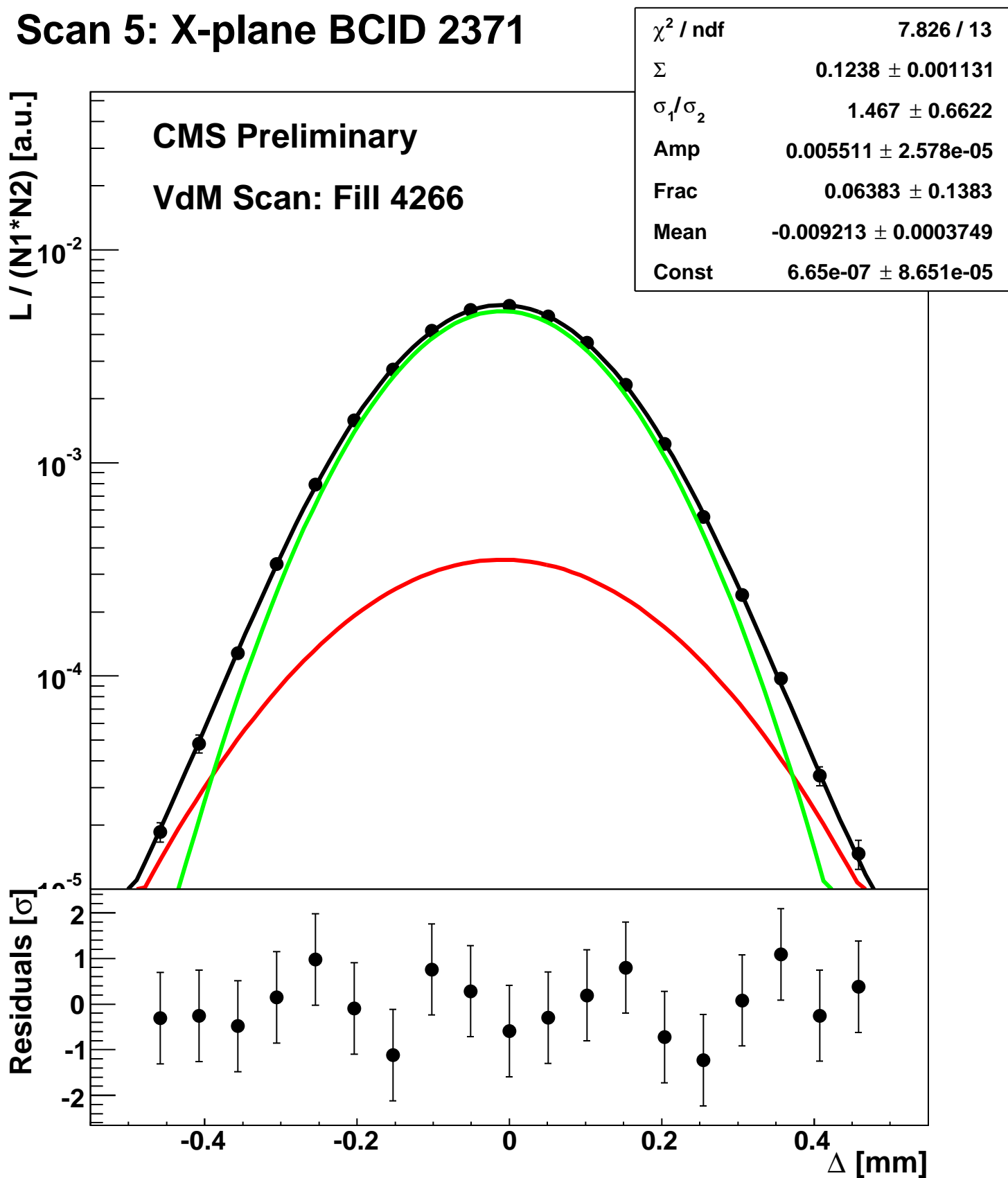
Scan 5: X-plane BCID 2291



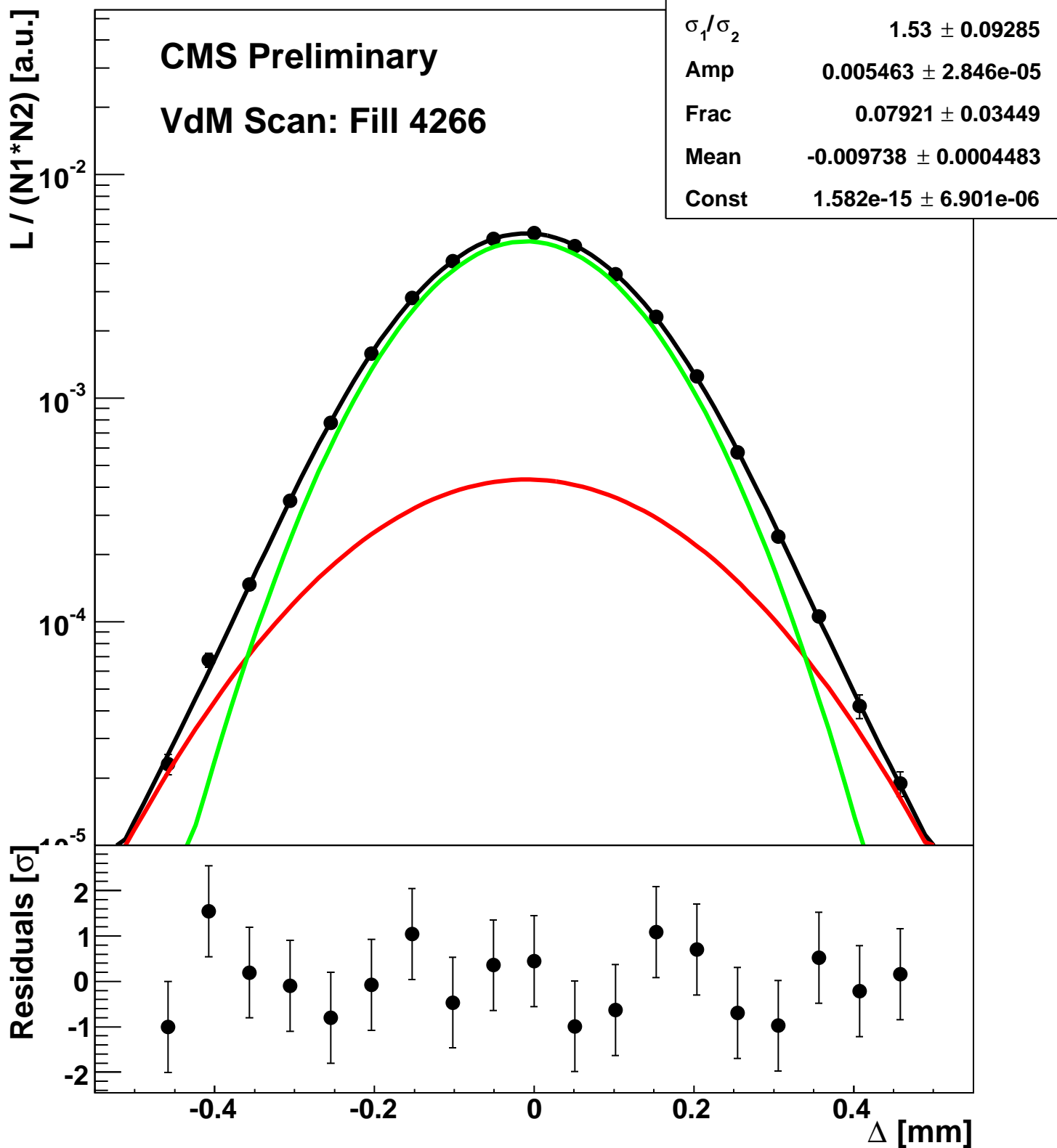
Scan 5: X-plane BCID 2331



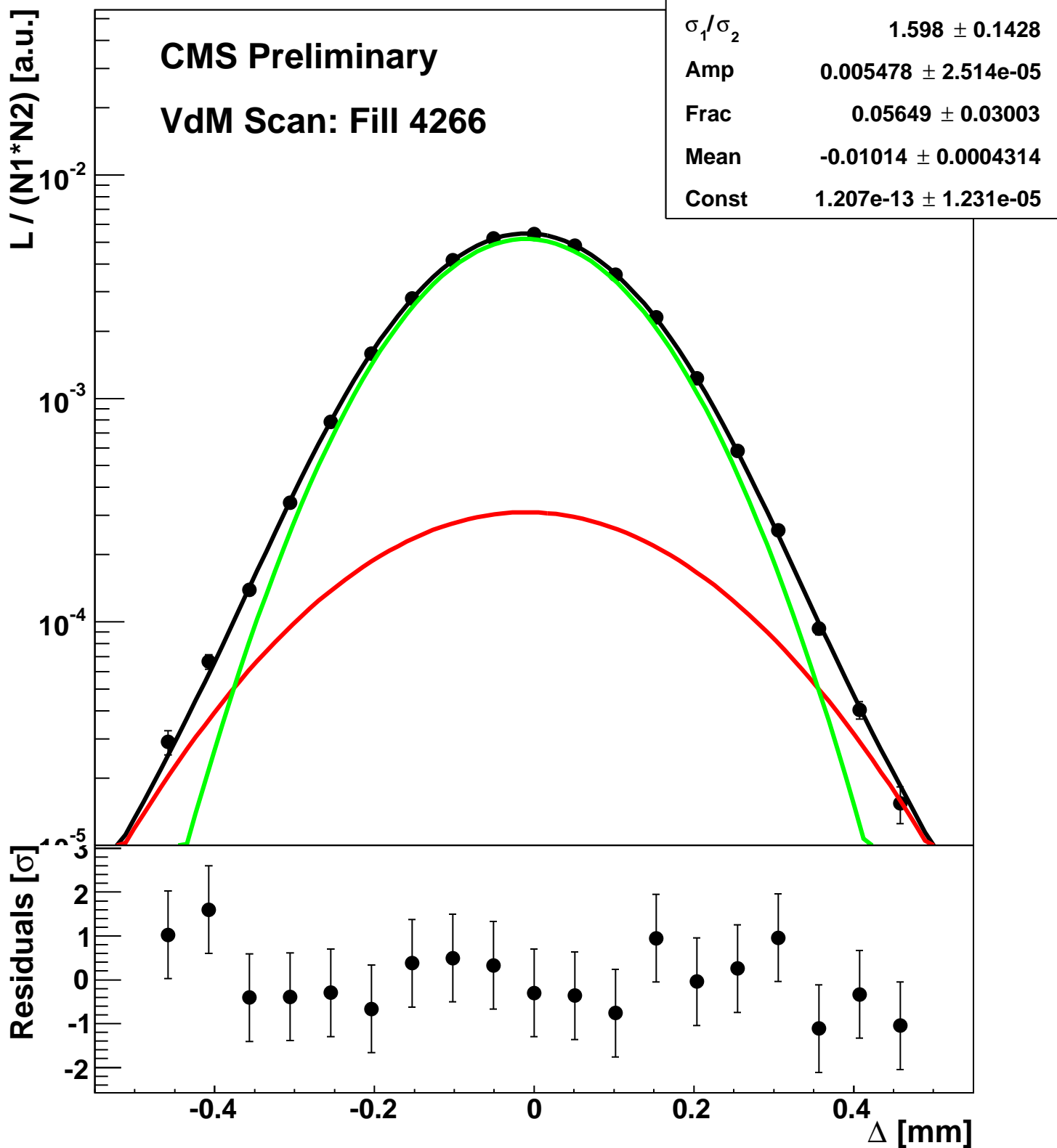
Scan 5: X-plane BCID 2371



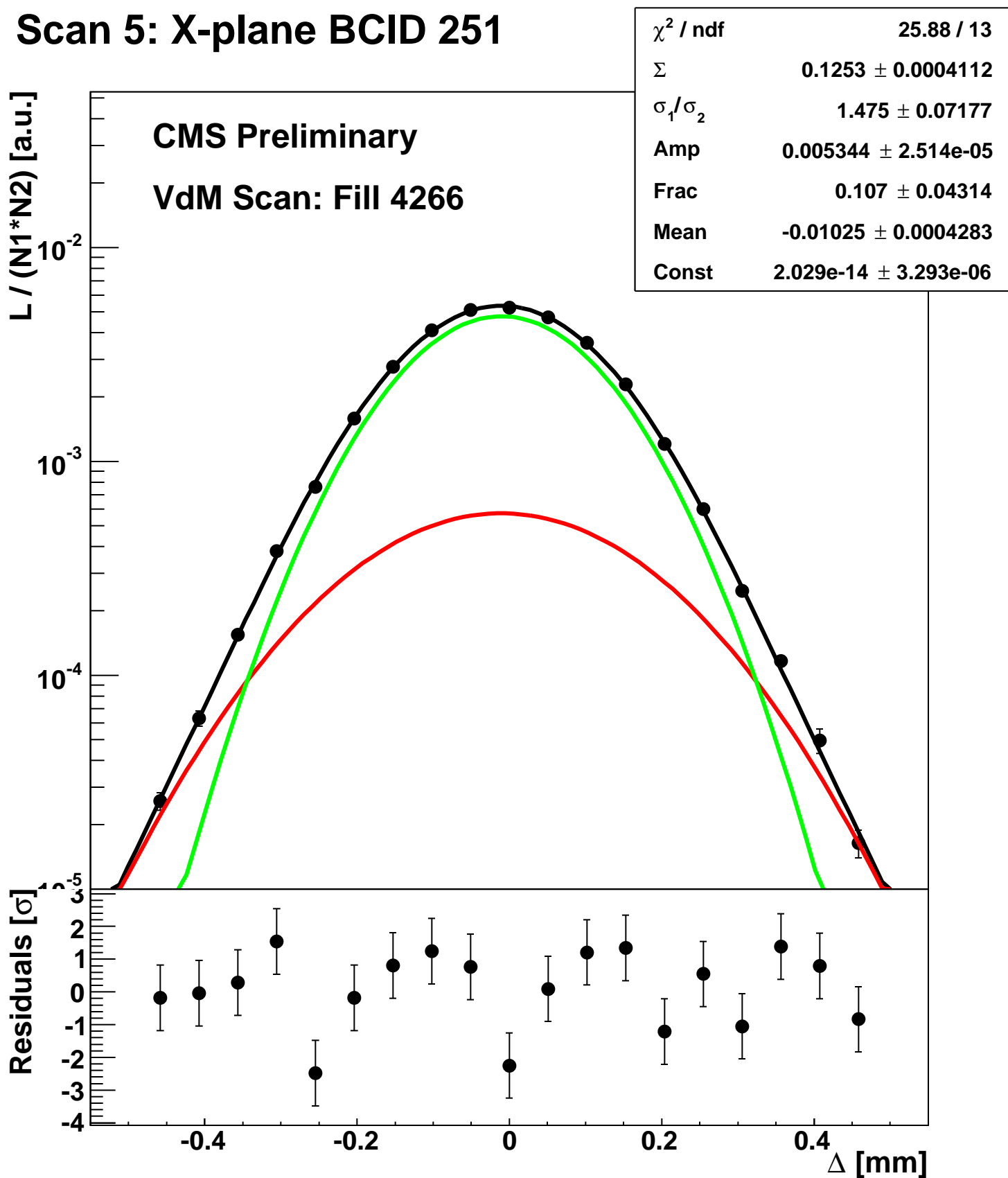
Scan 5: X-plane BCID 2411



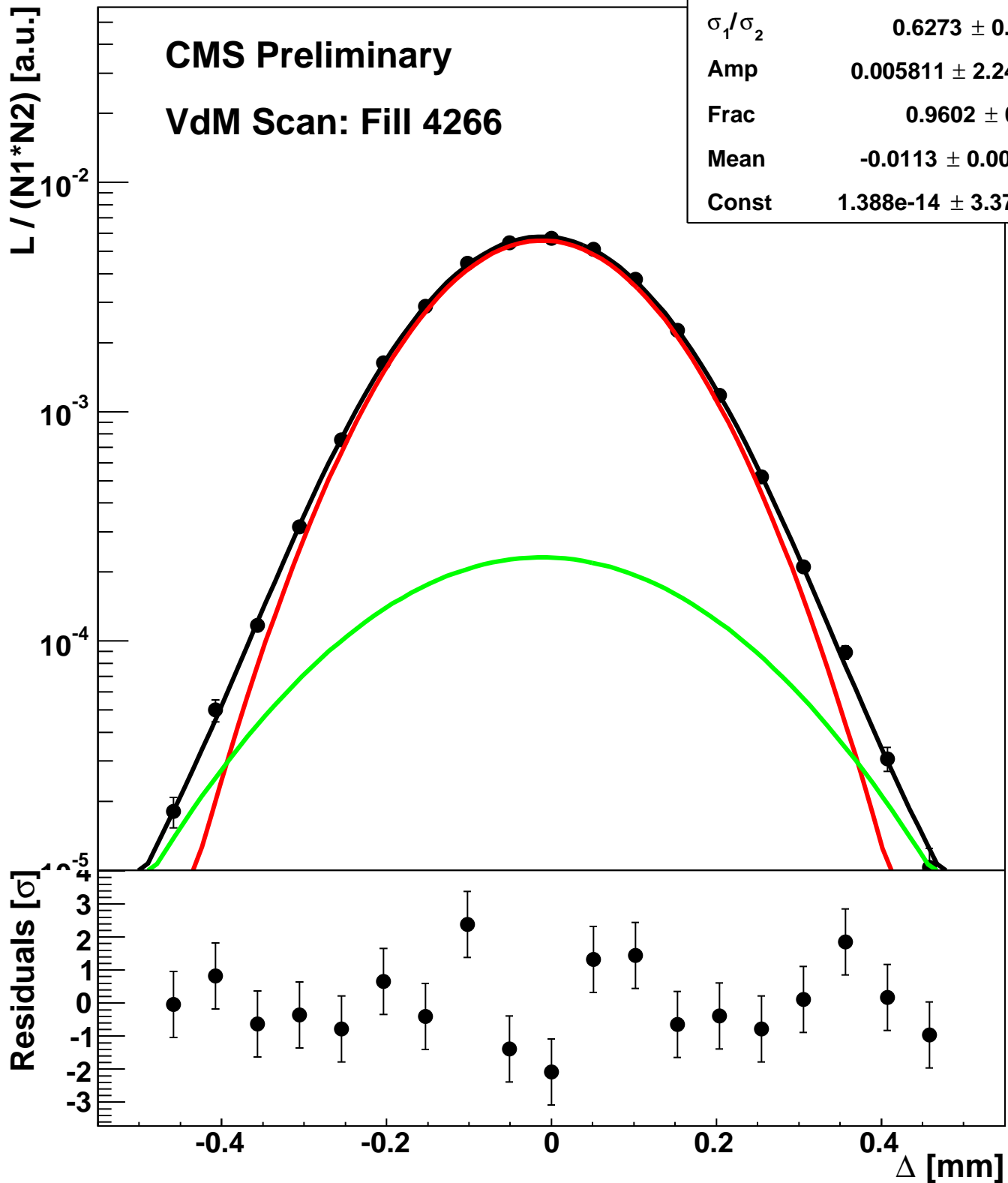
Scan 5: X-plane BCID 2451



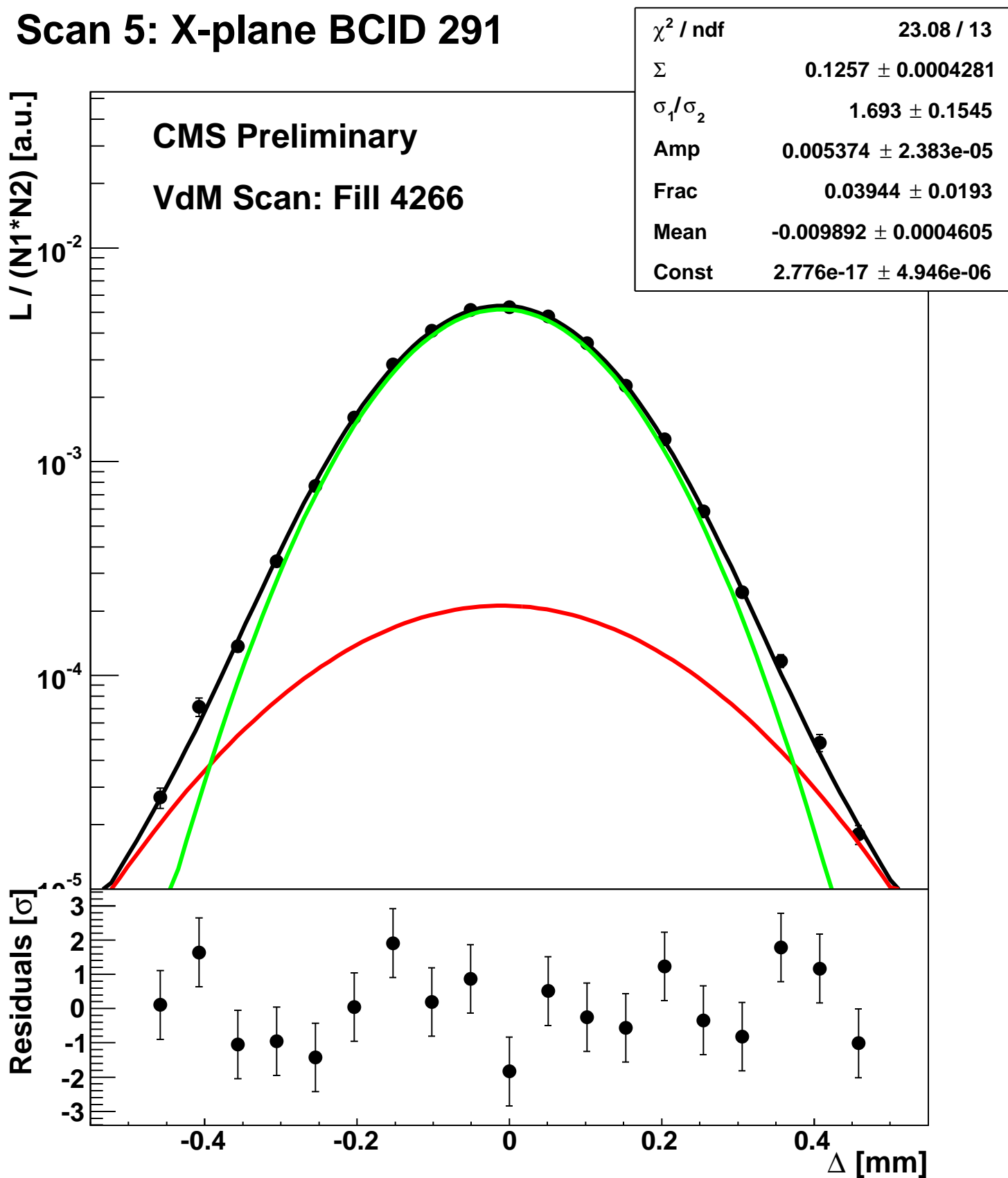
Scan 5: X-plane BCID 251



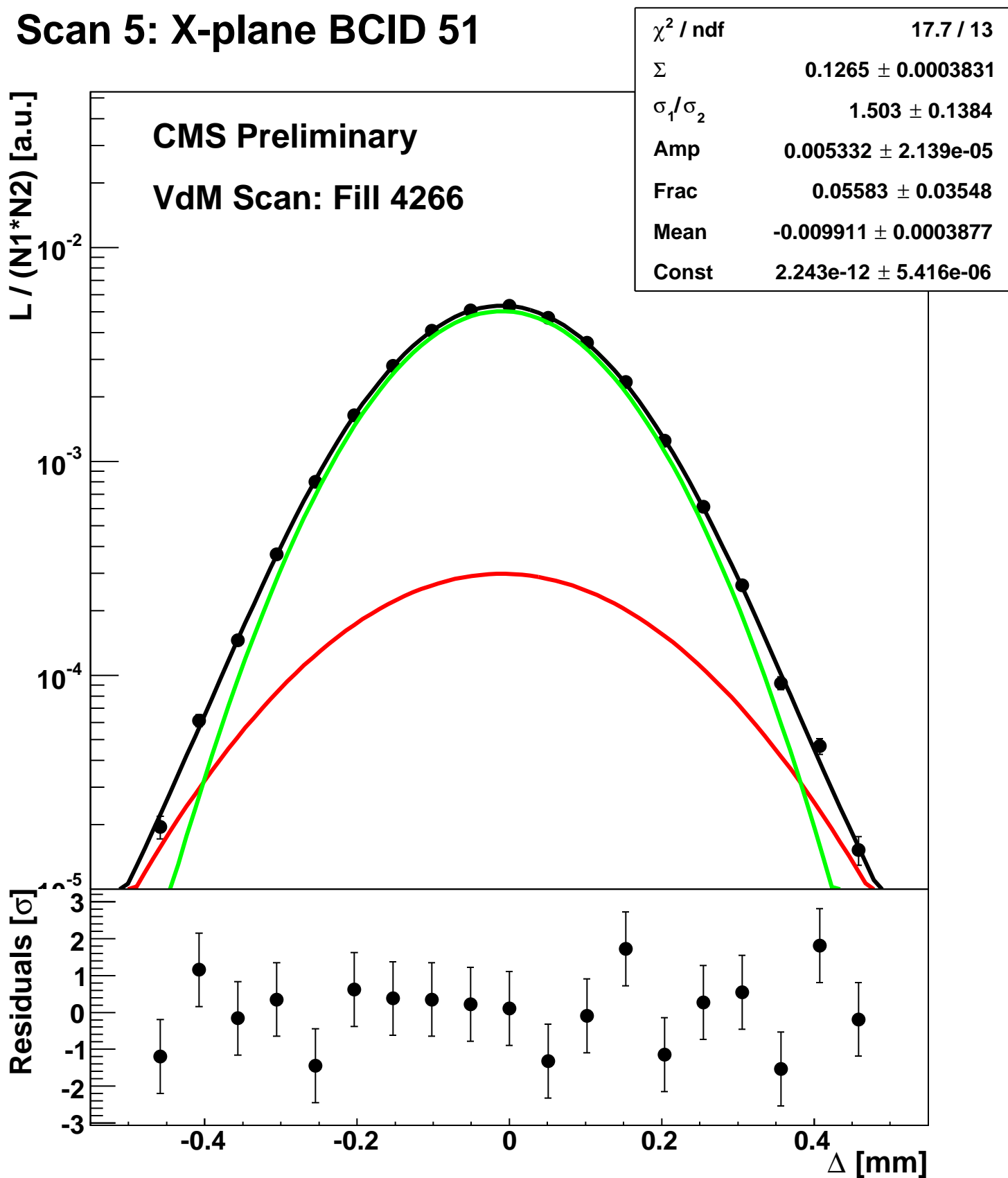
Scan 5: X-plane BCID 2674



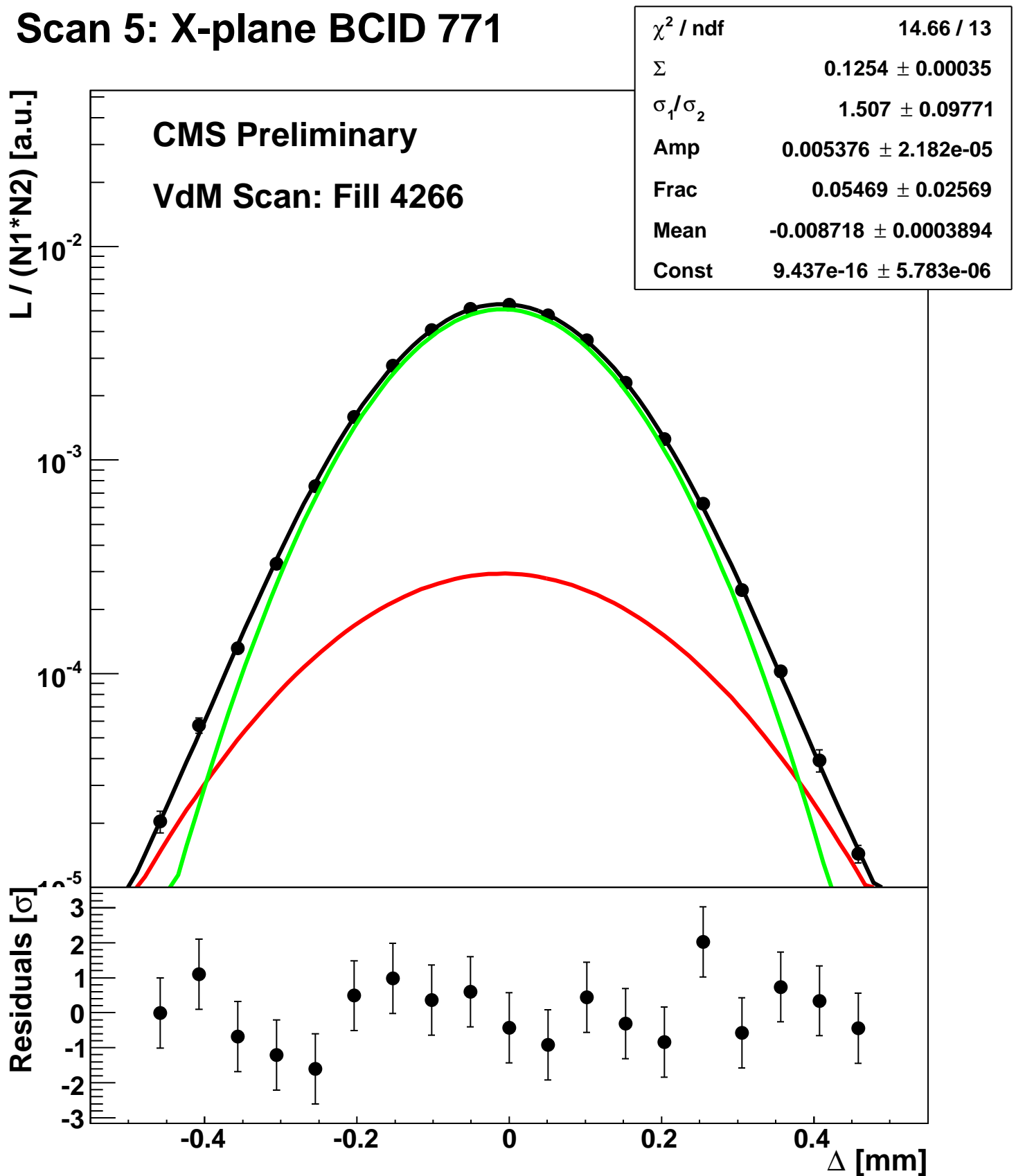
Scan 5: X-plane BCID 291



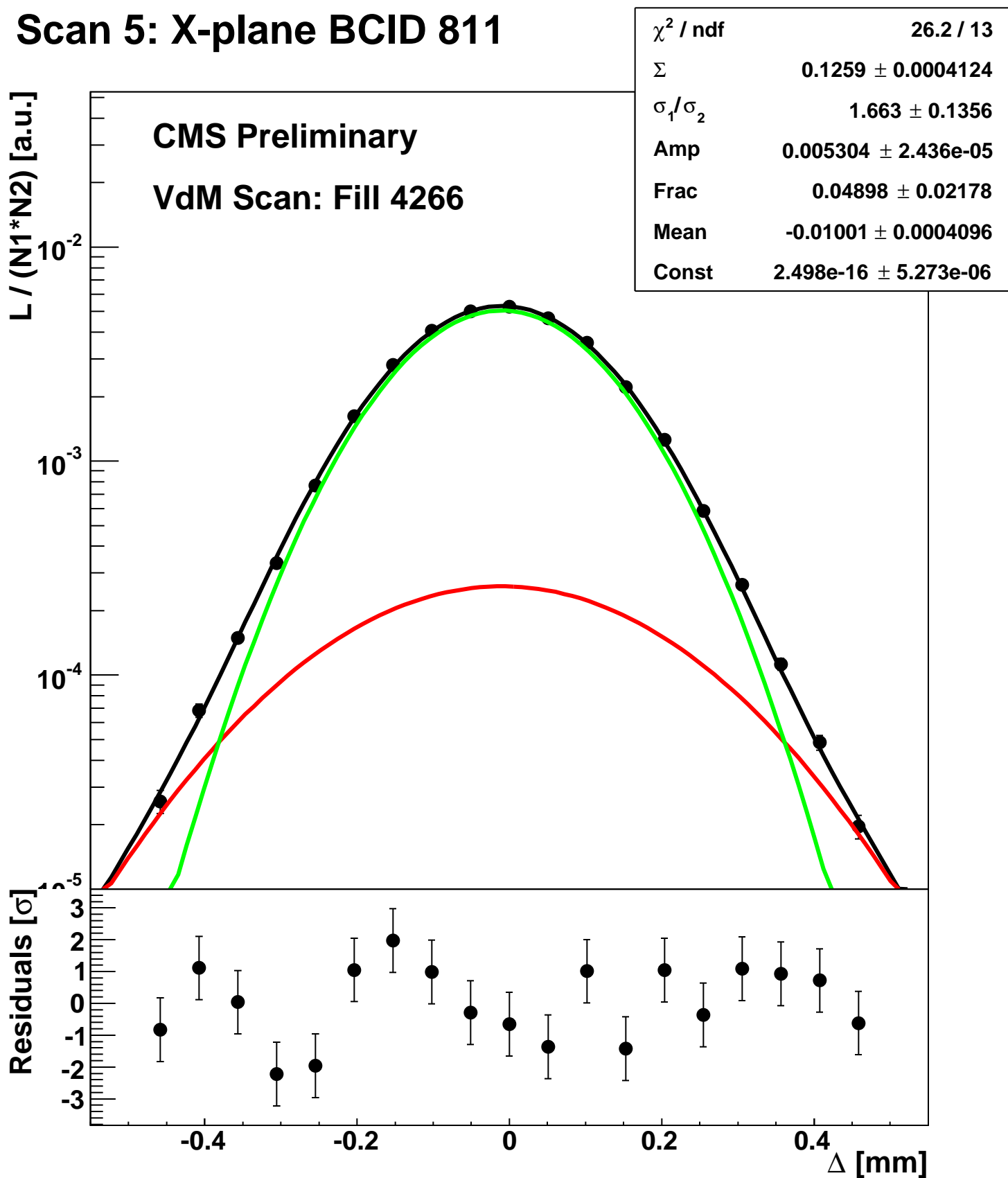
Scan 5: X-plane BCID 51



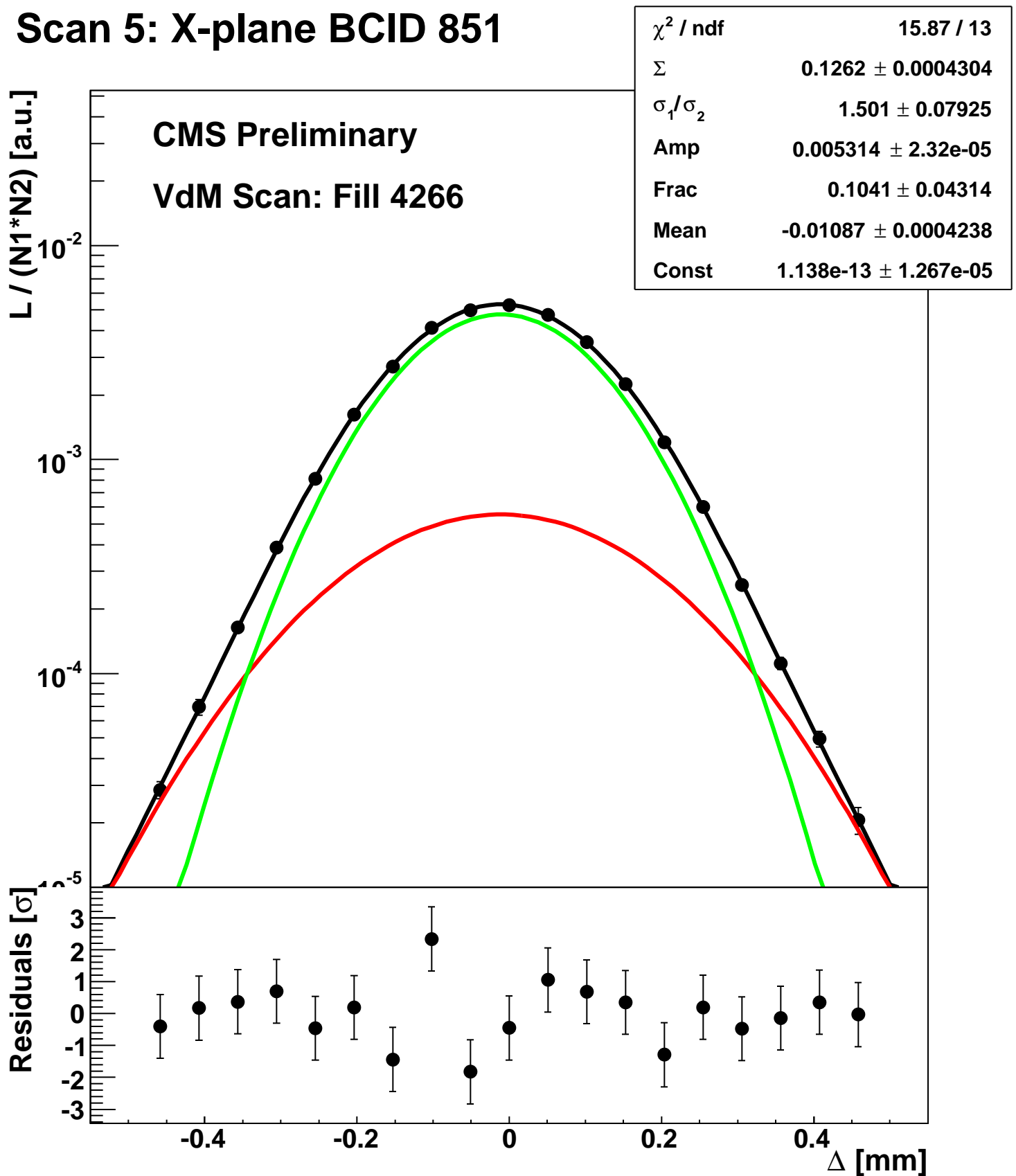
Scan 5: X-plane BCID 771



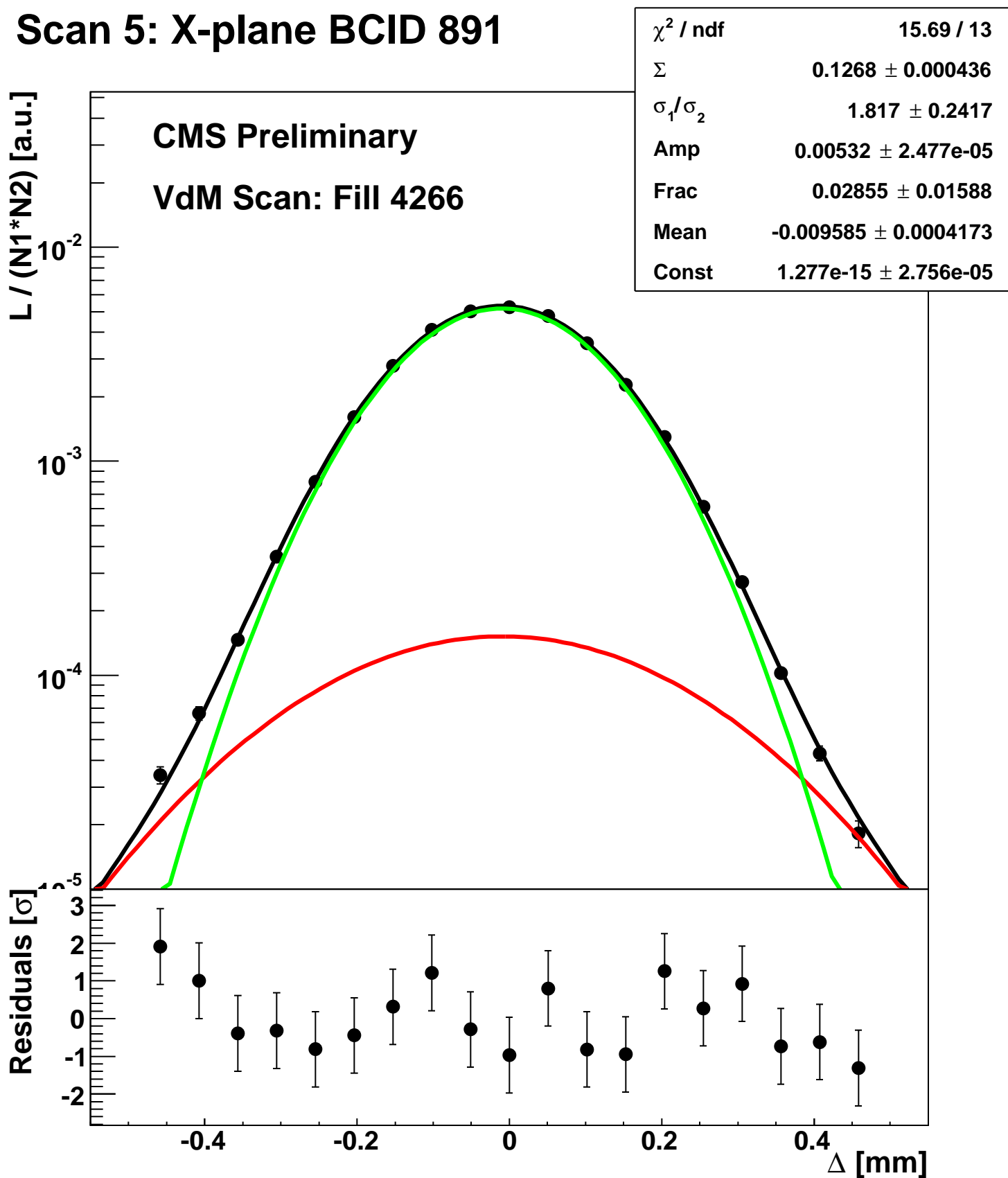
Scan 5: X-plane BCID 811



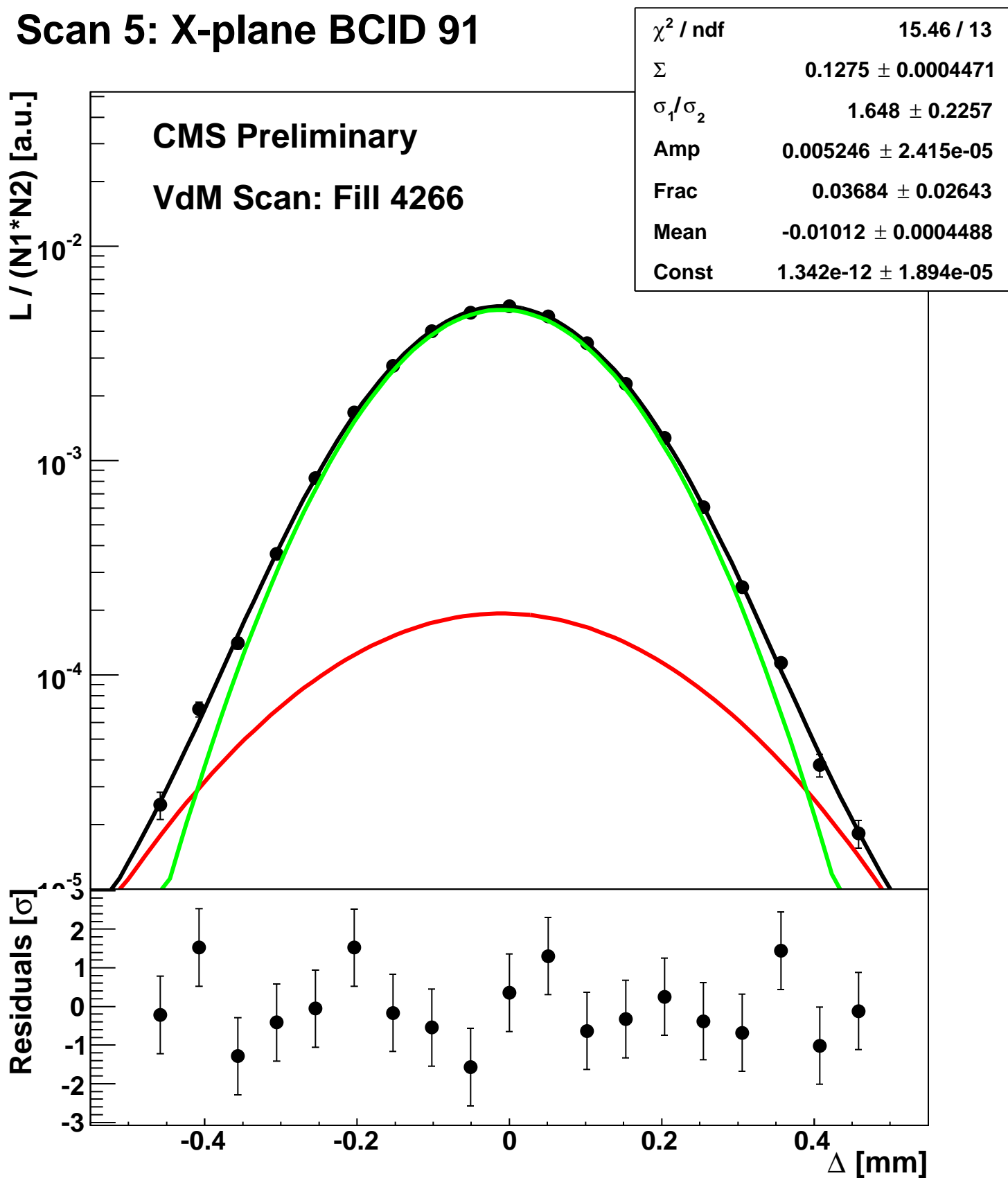
Scan 5: X-plane BCID 851



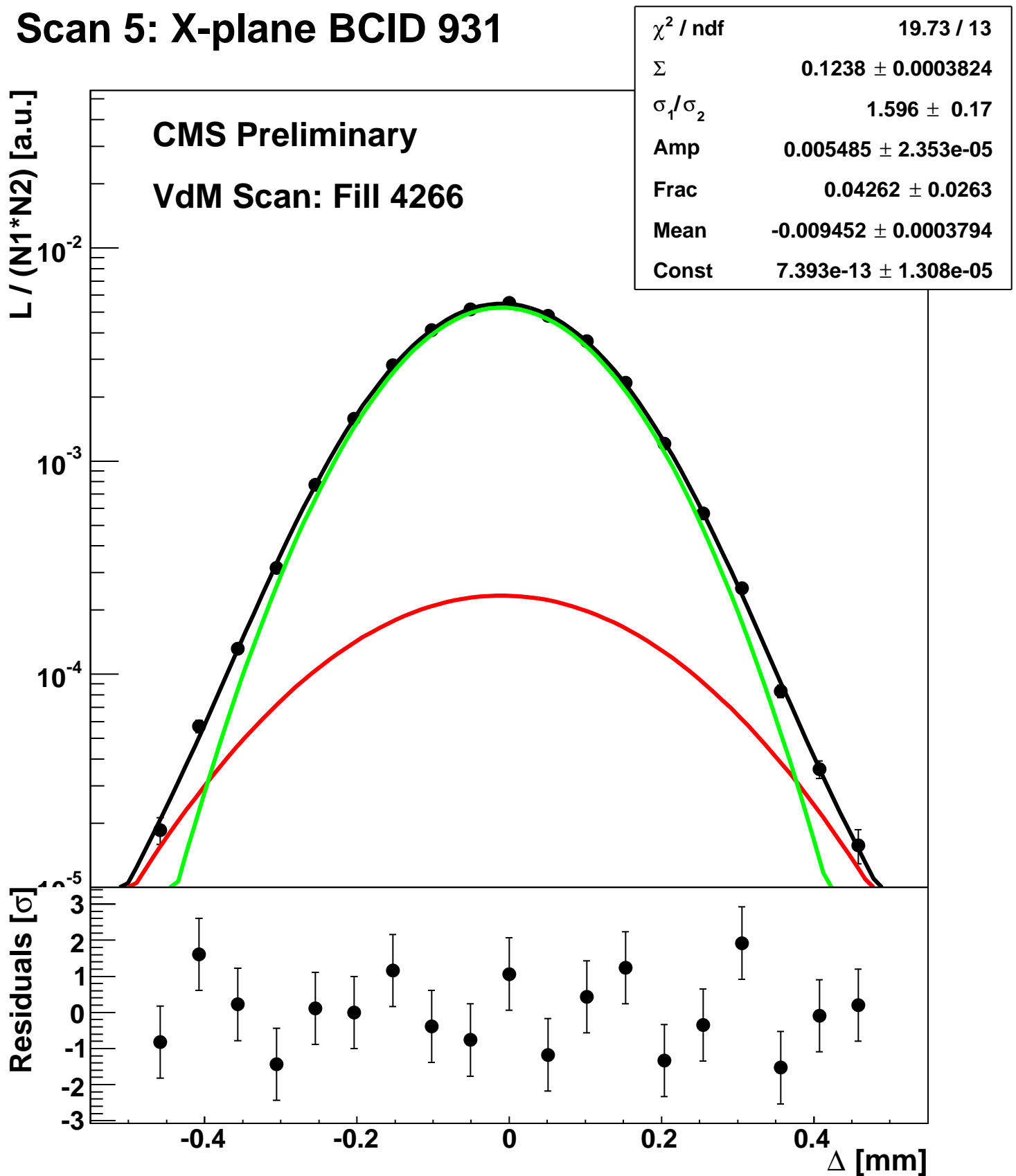
Scan 5: X-plane BCID 891



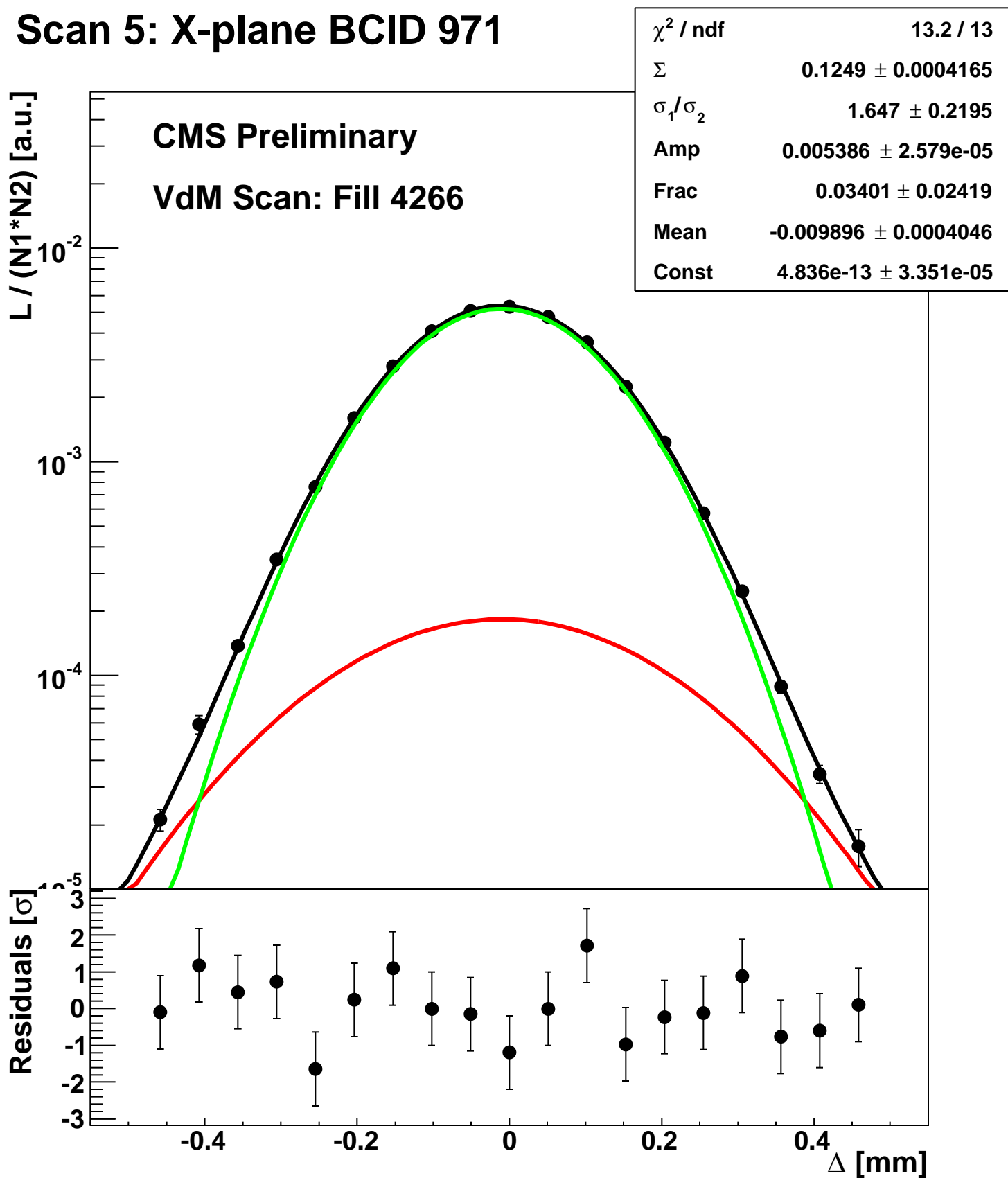
Scan 5: X-plane BCID 91



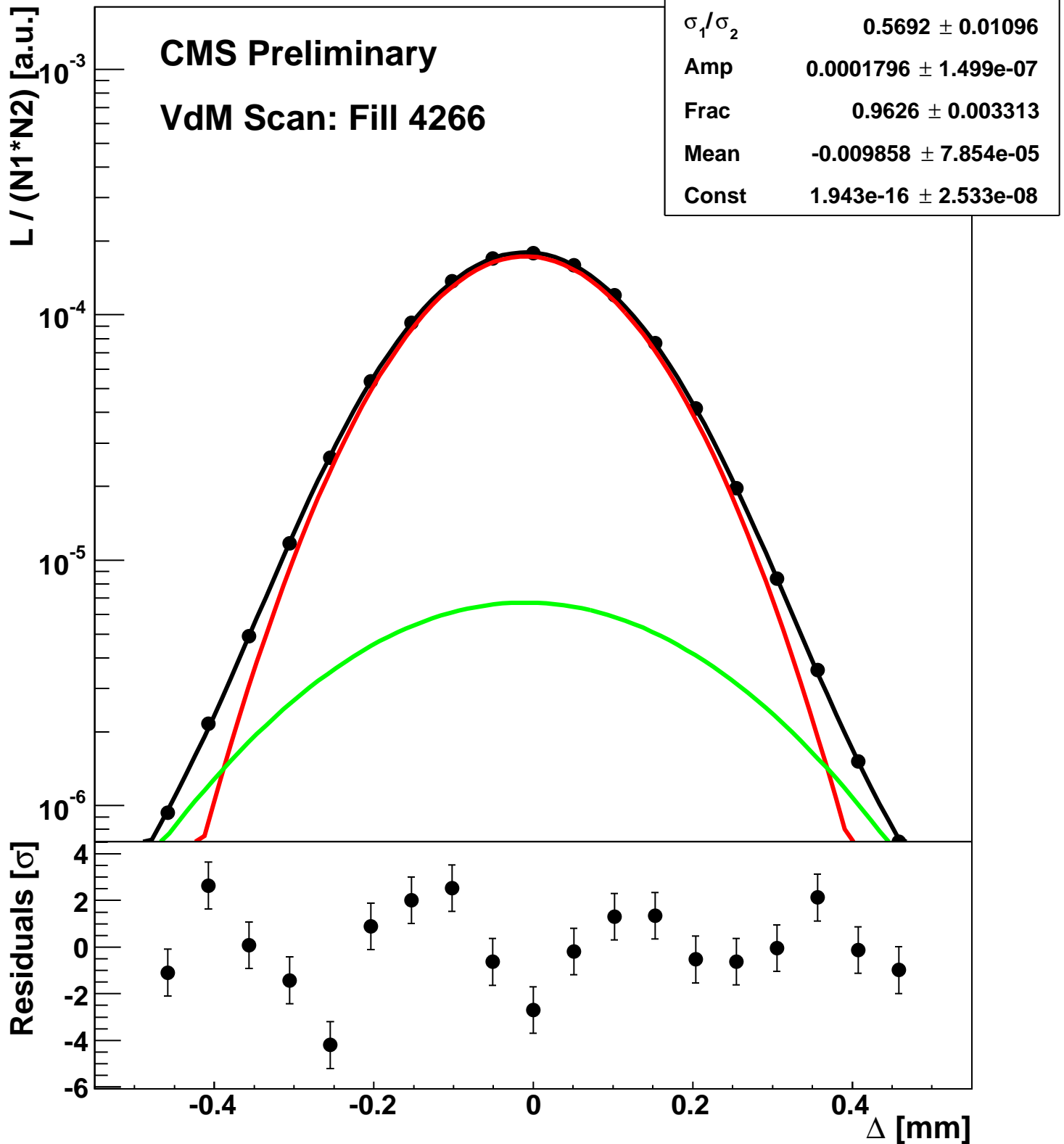
Scan 5: X-plane BCID 931



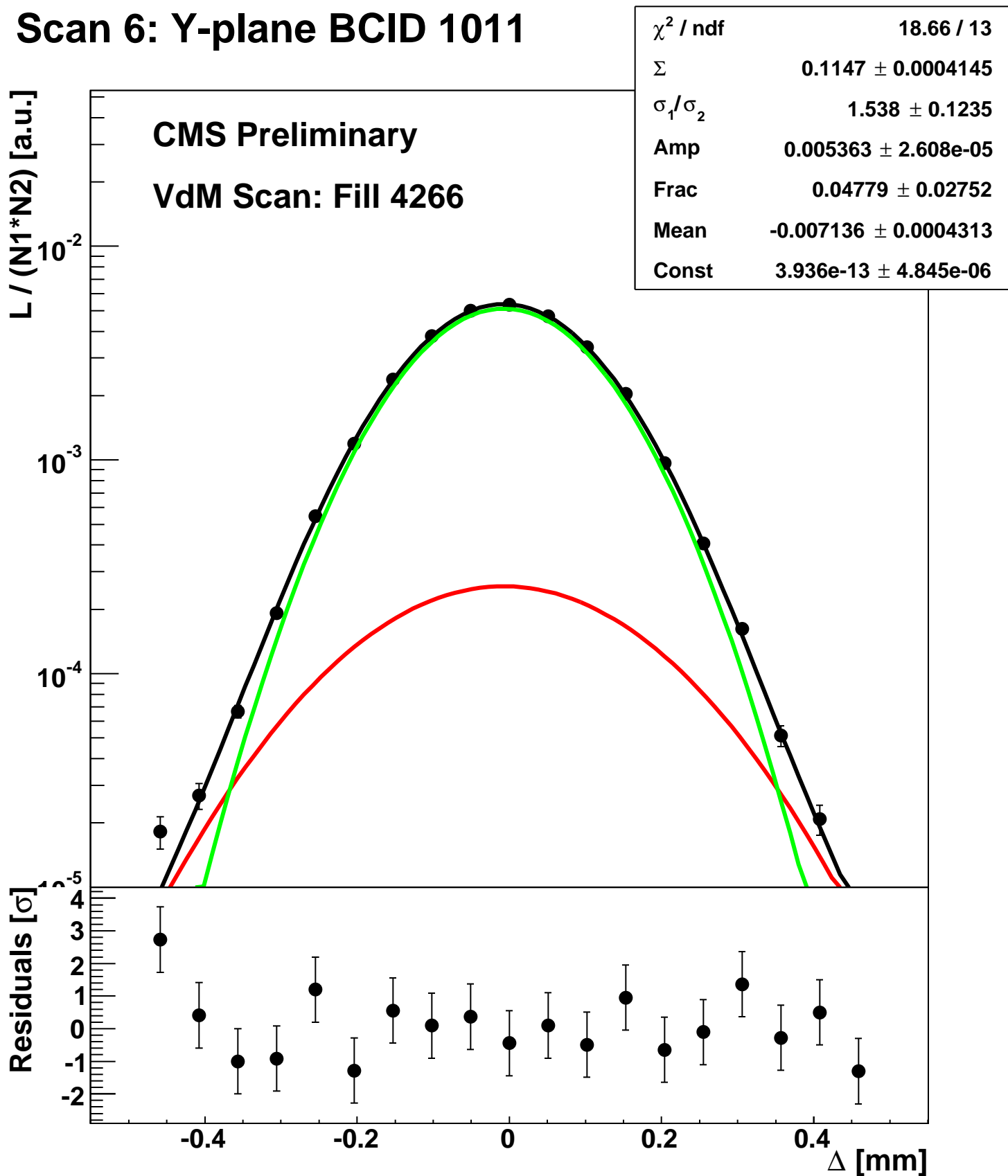
Scan 5: X-plane BCID 971



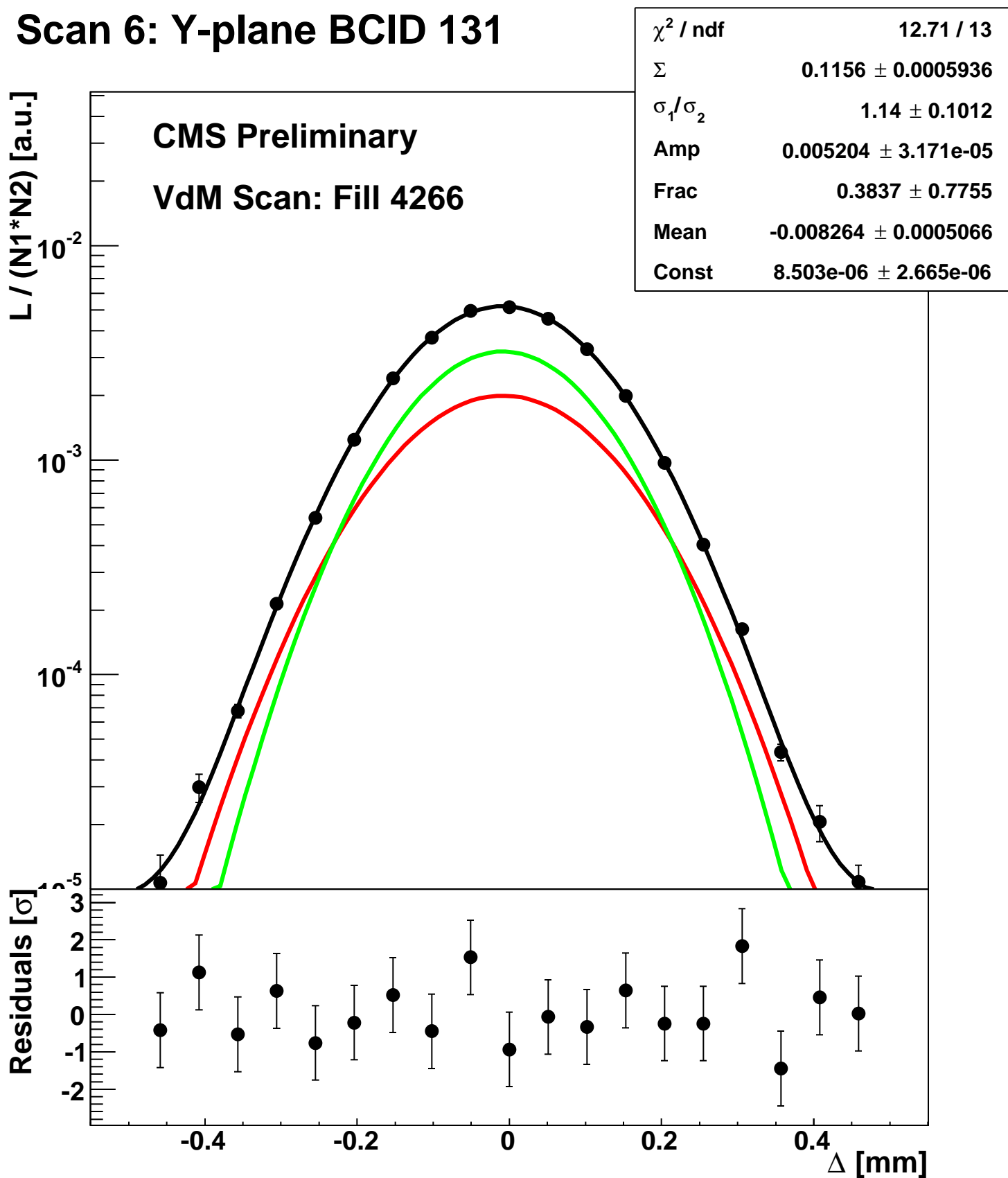
Scan 5: X-plane BCID sum



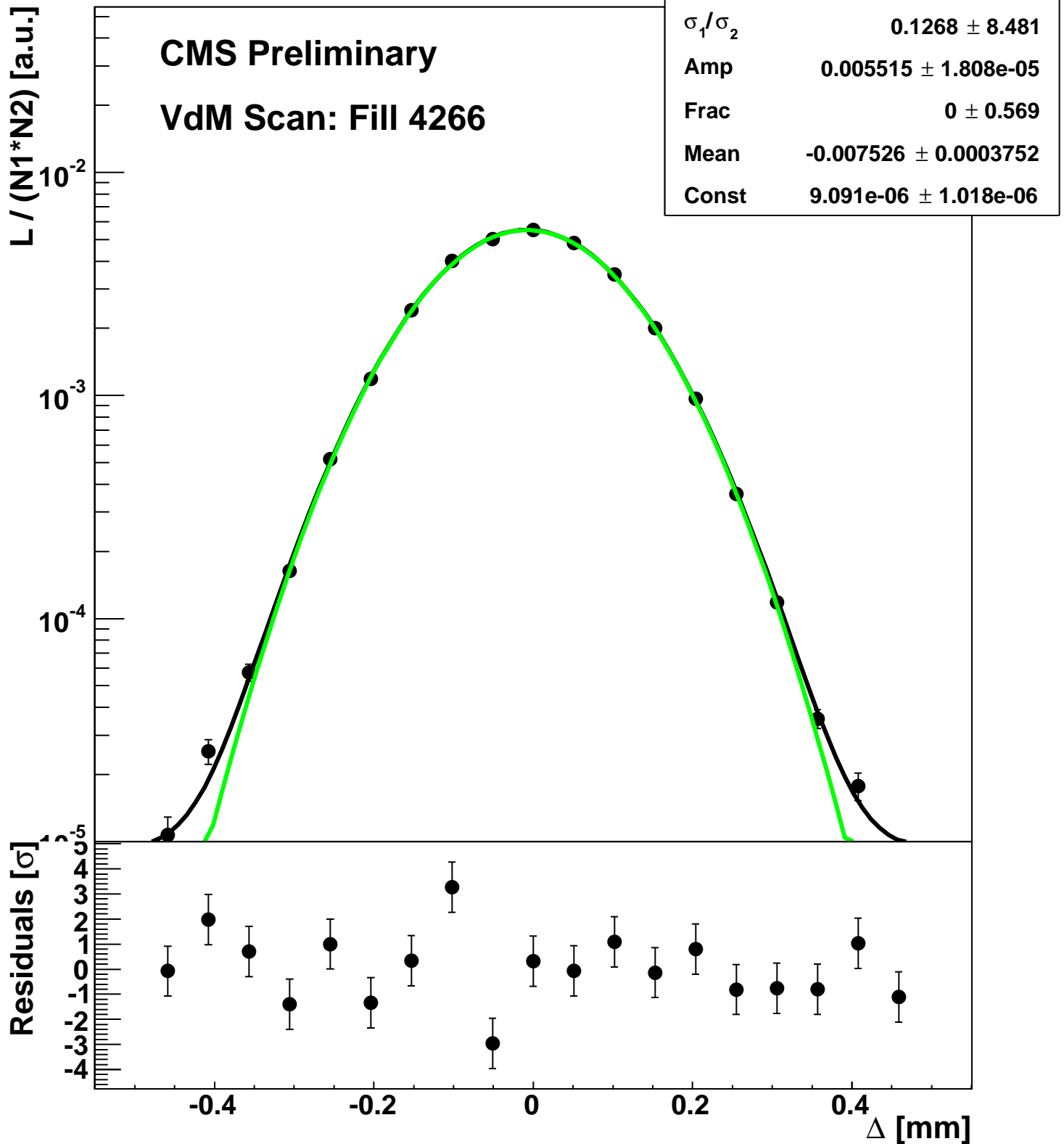
Scan 6: Y-plane BCID 1011



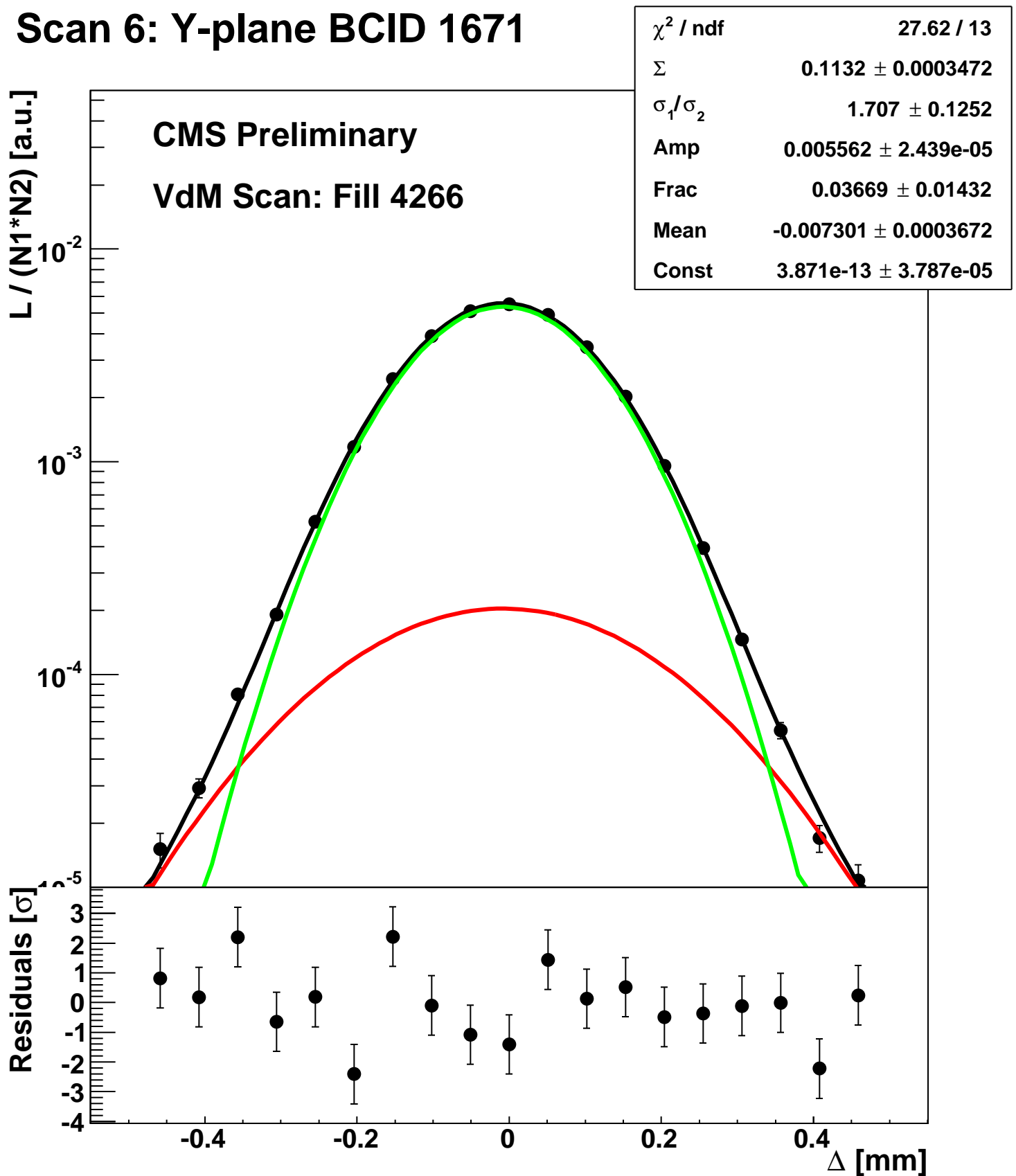
Scan 6: Y-plane BCID 131



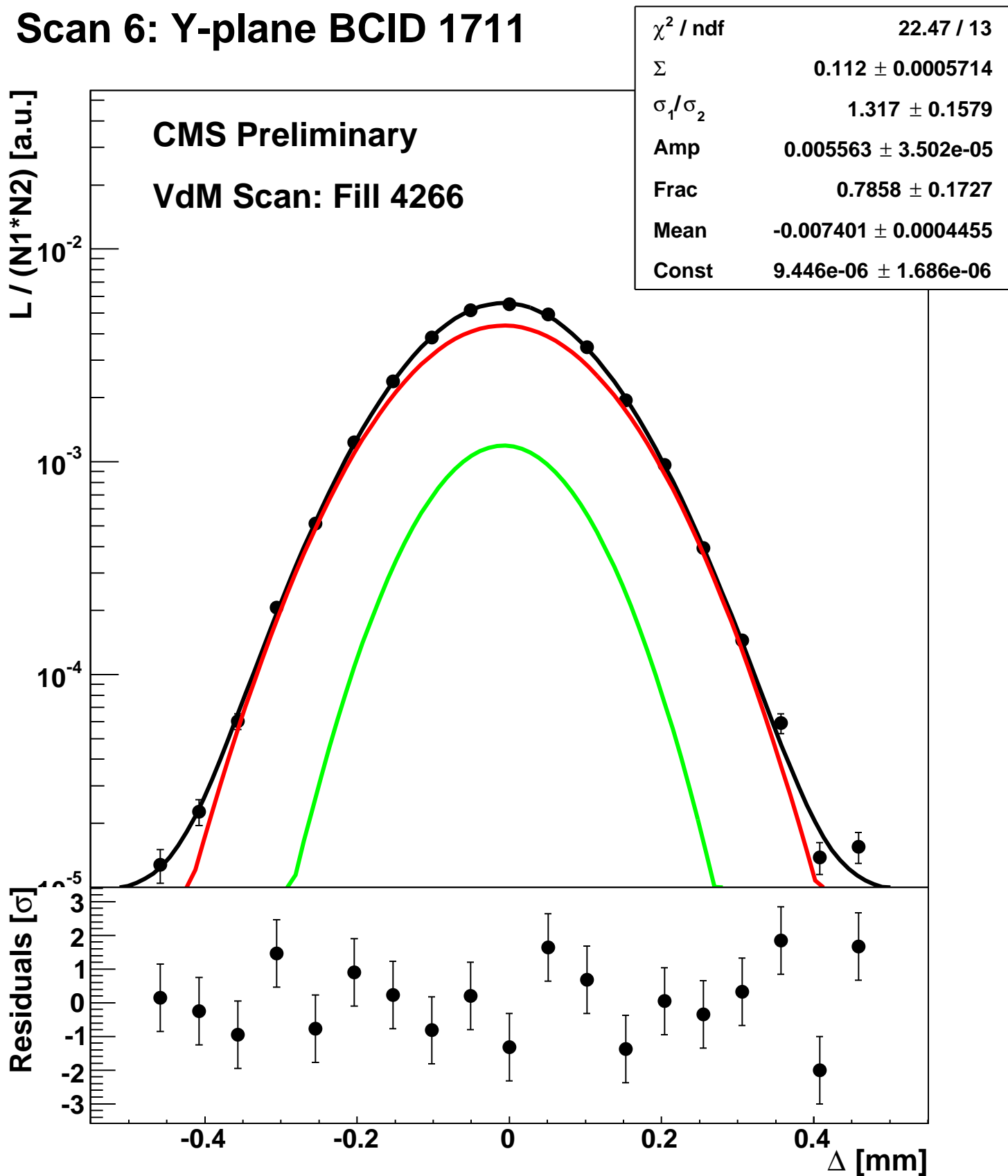
Scan 6: Y-plane BCID 1631



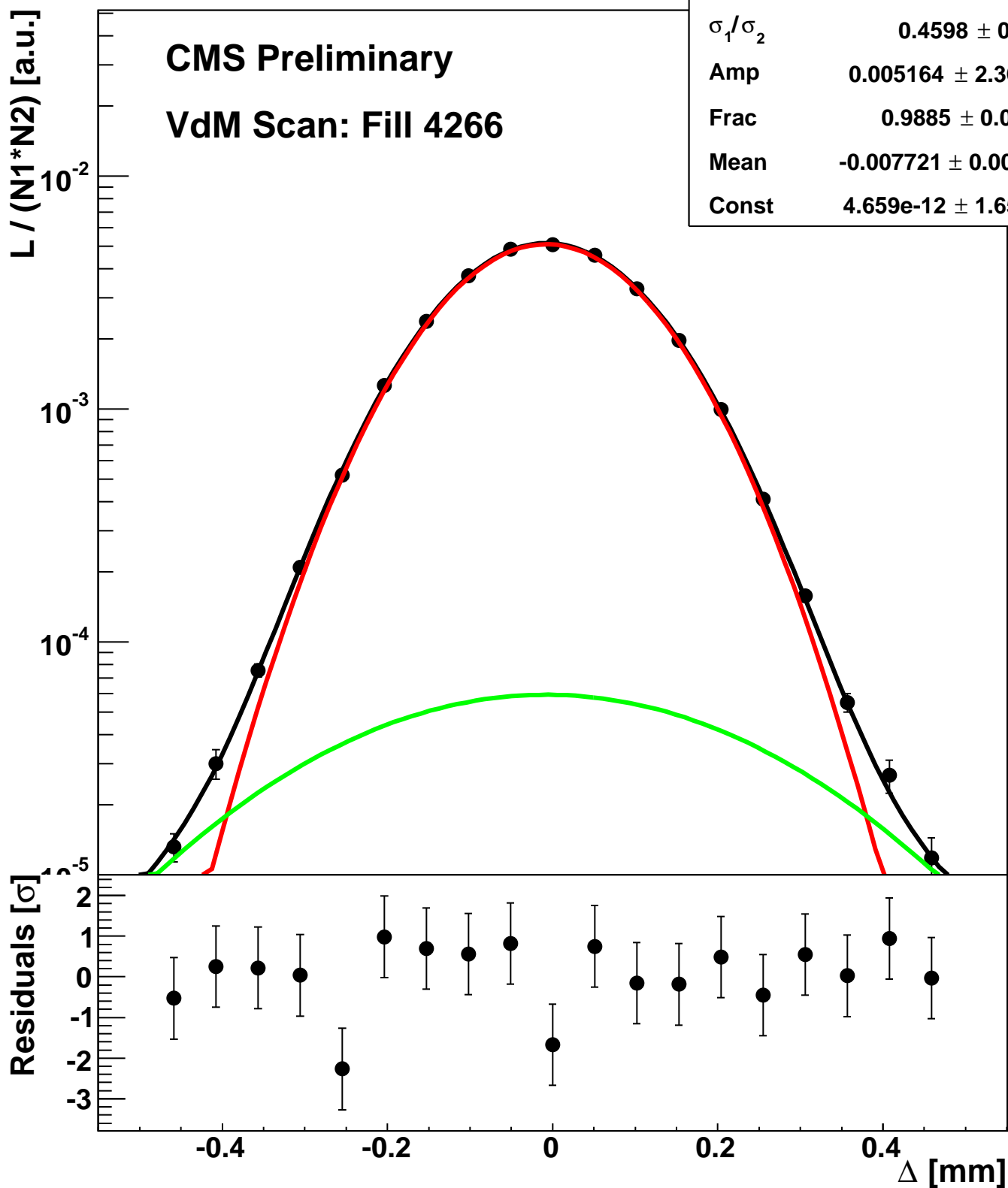
Scan 6: Y-plane BCID 1671



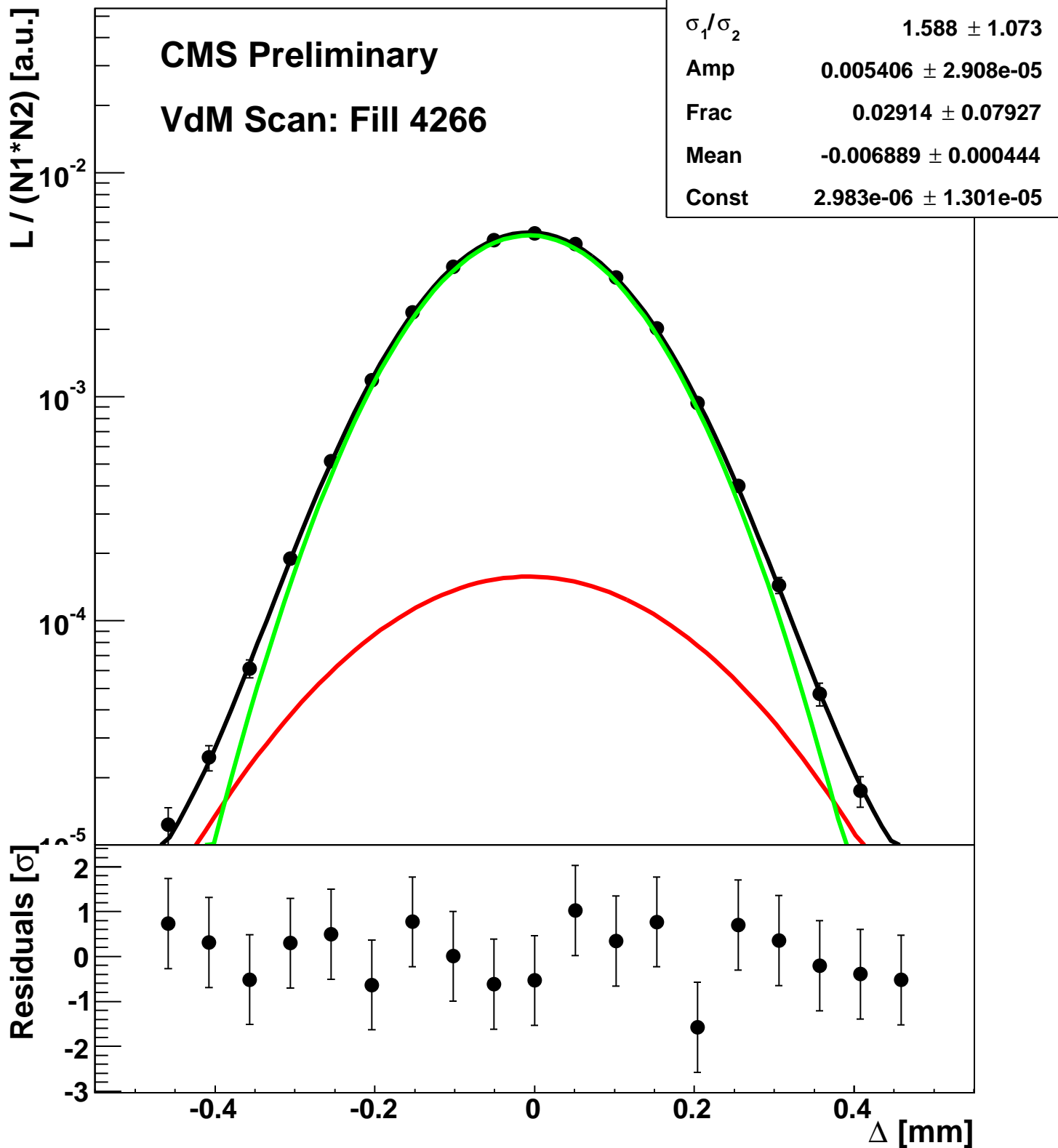
Scan 6: Y-plane BCID 1711



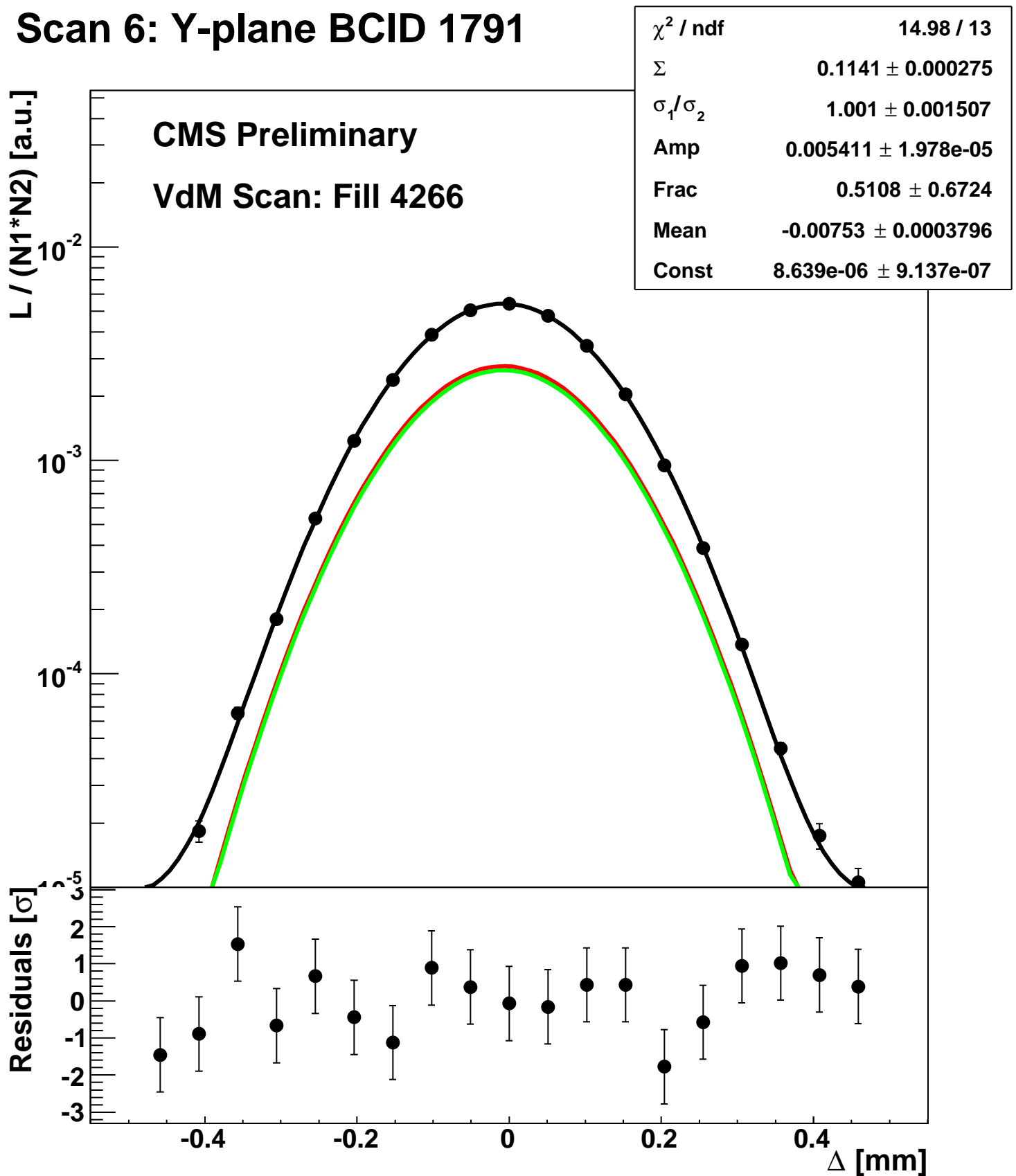
Scan 6: Y-plane BCID 171



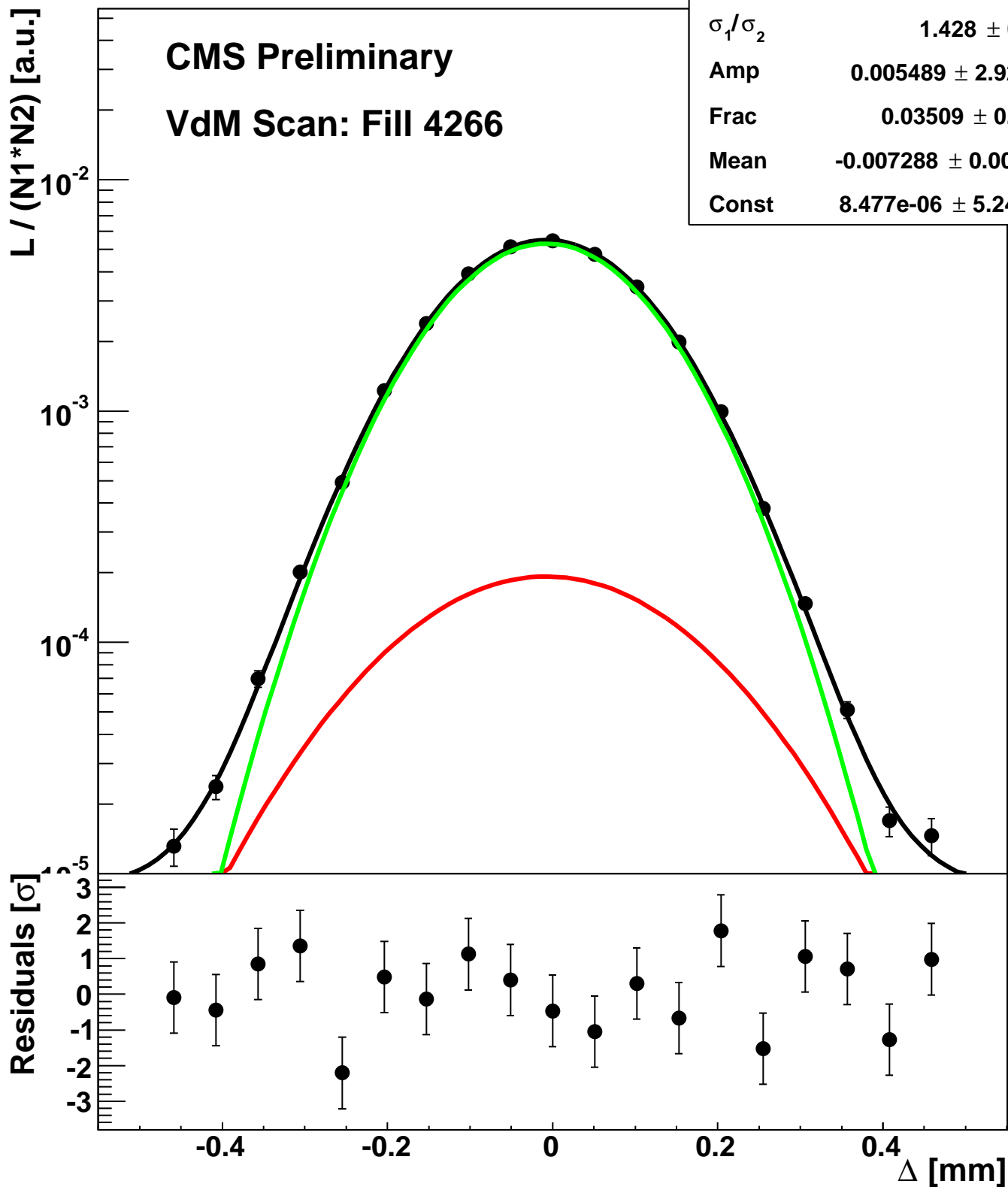
Scan 6: Y-plane BCID 1751



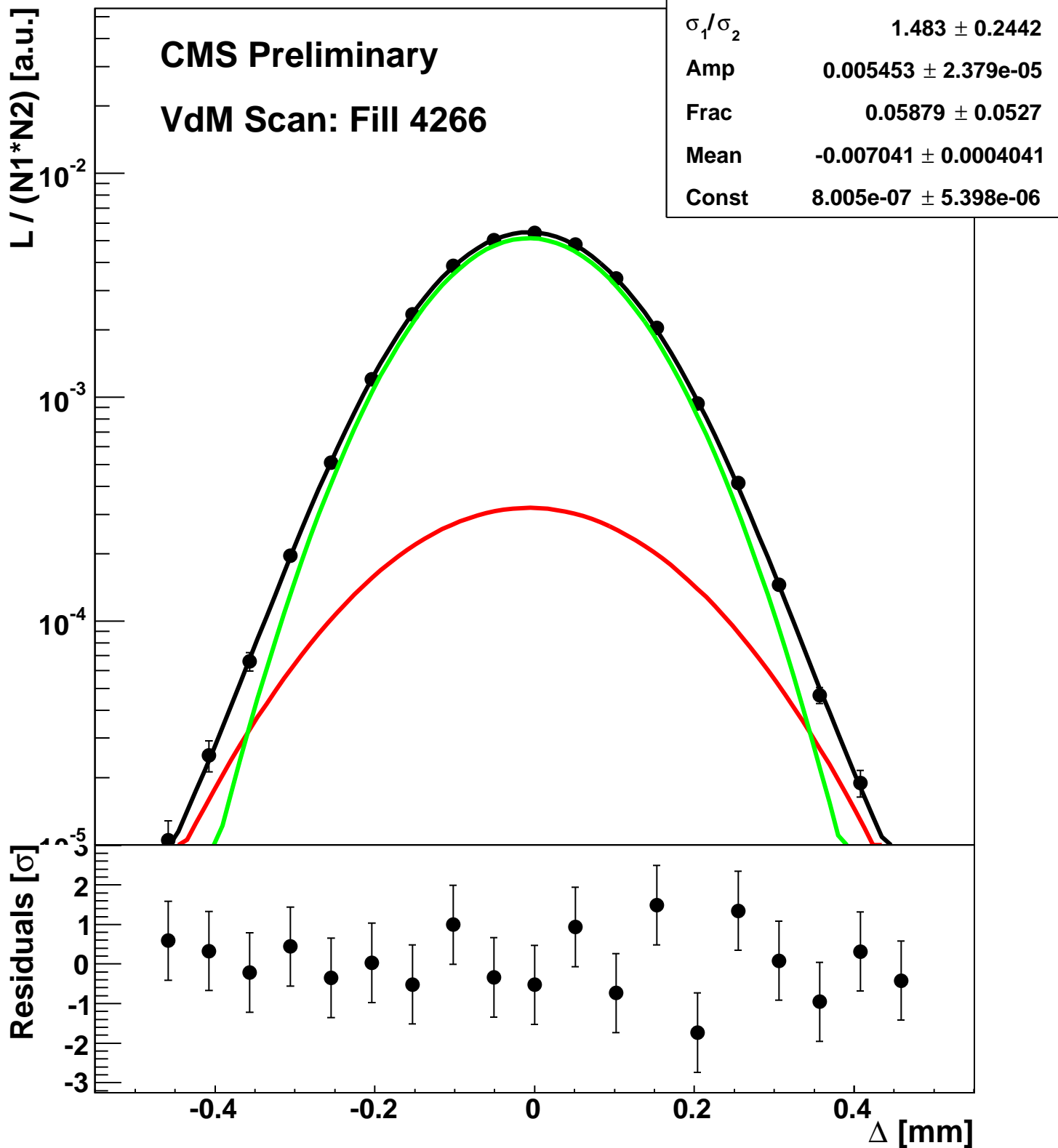
Scan 6: Y-plane BCID 1791



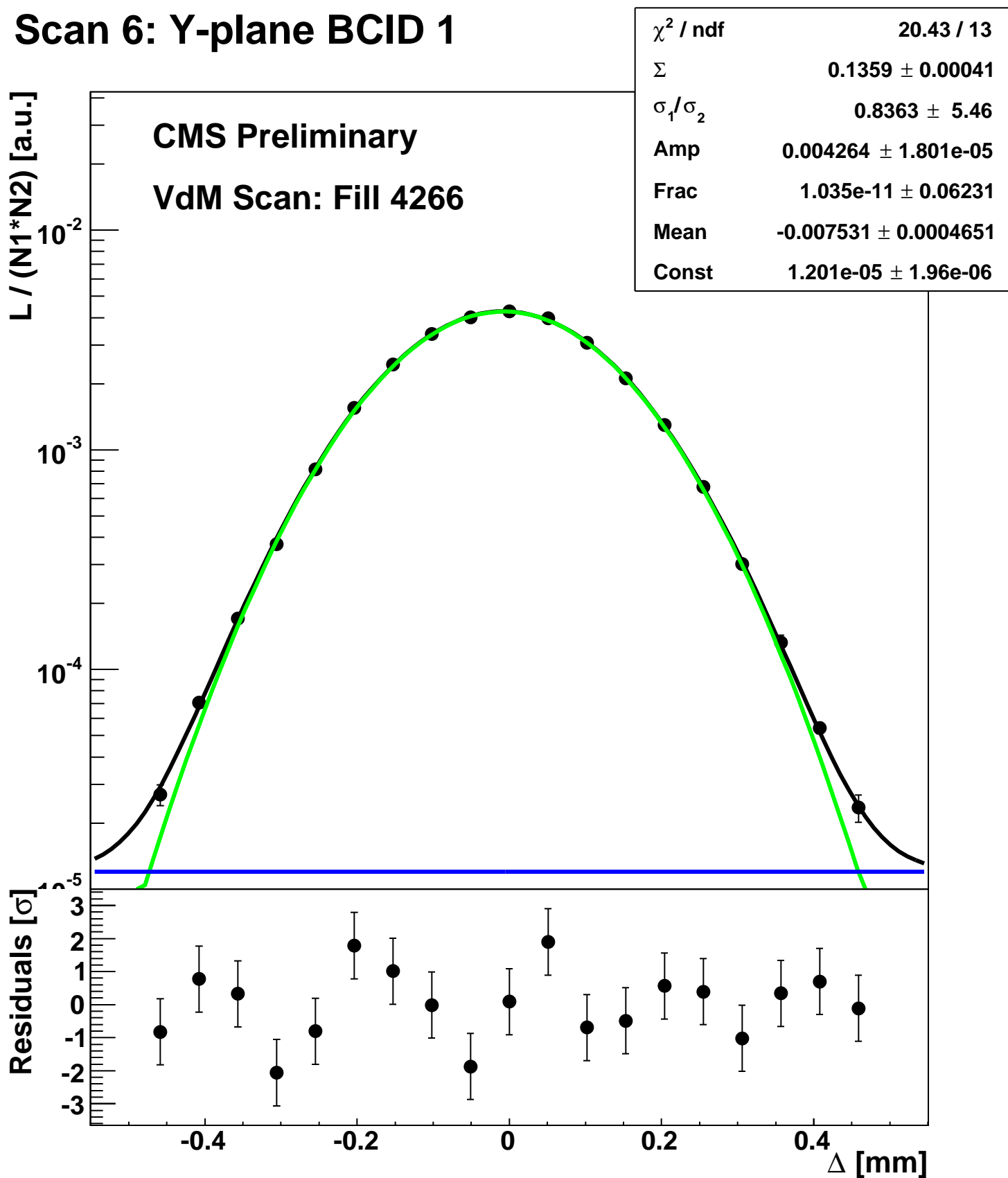
Scan 6: Y-plane BCID 1831



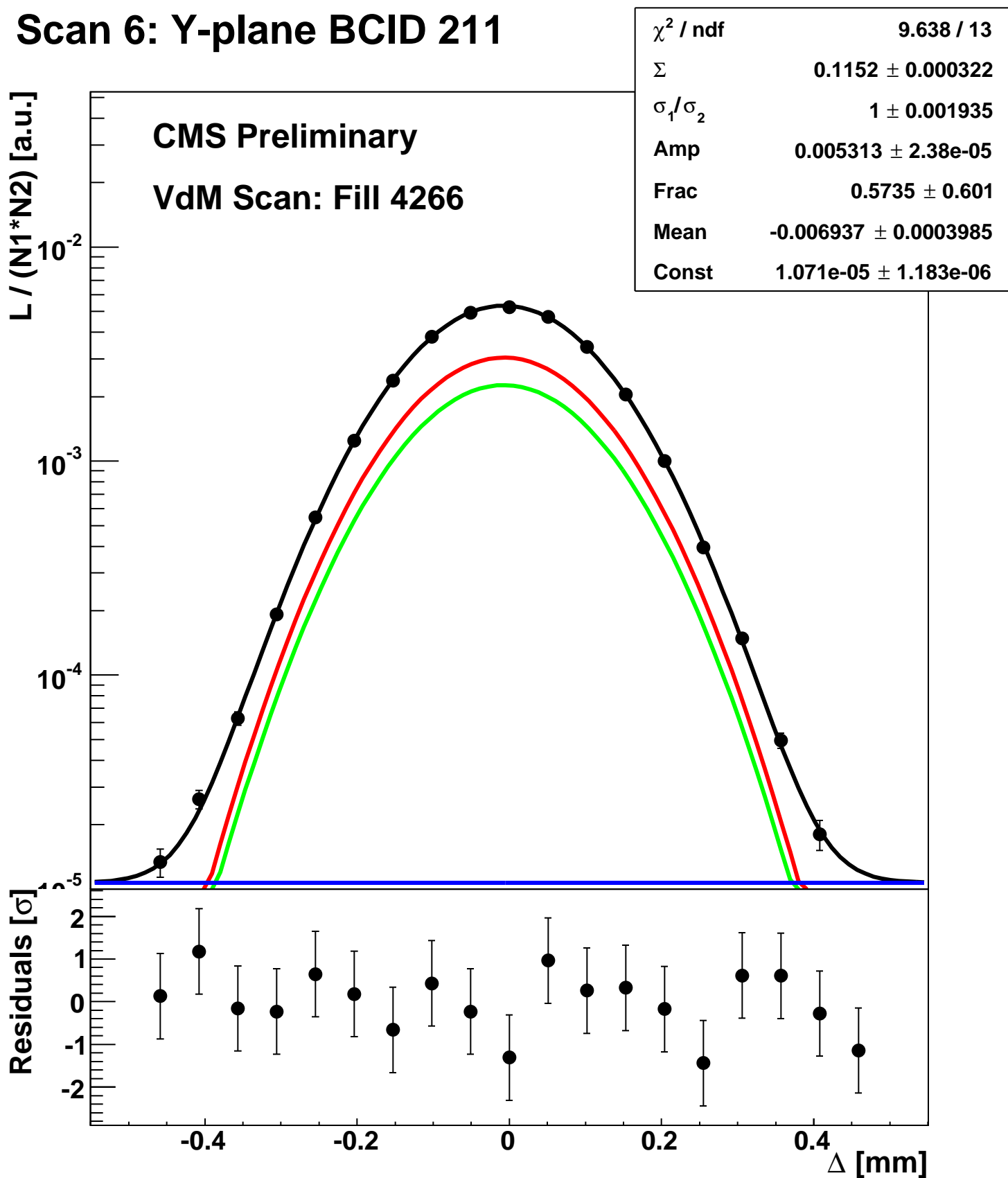
Scan 6: Y-plane BCID 1871



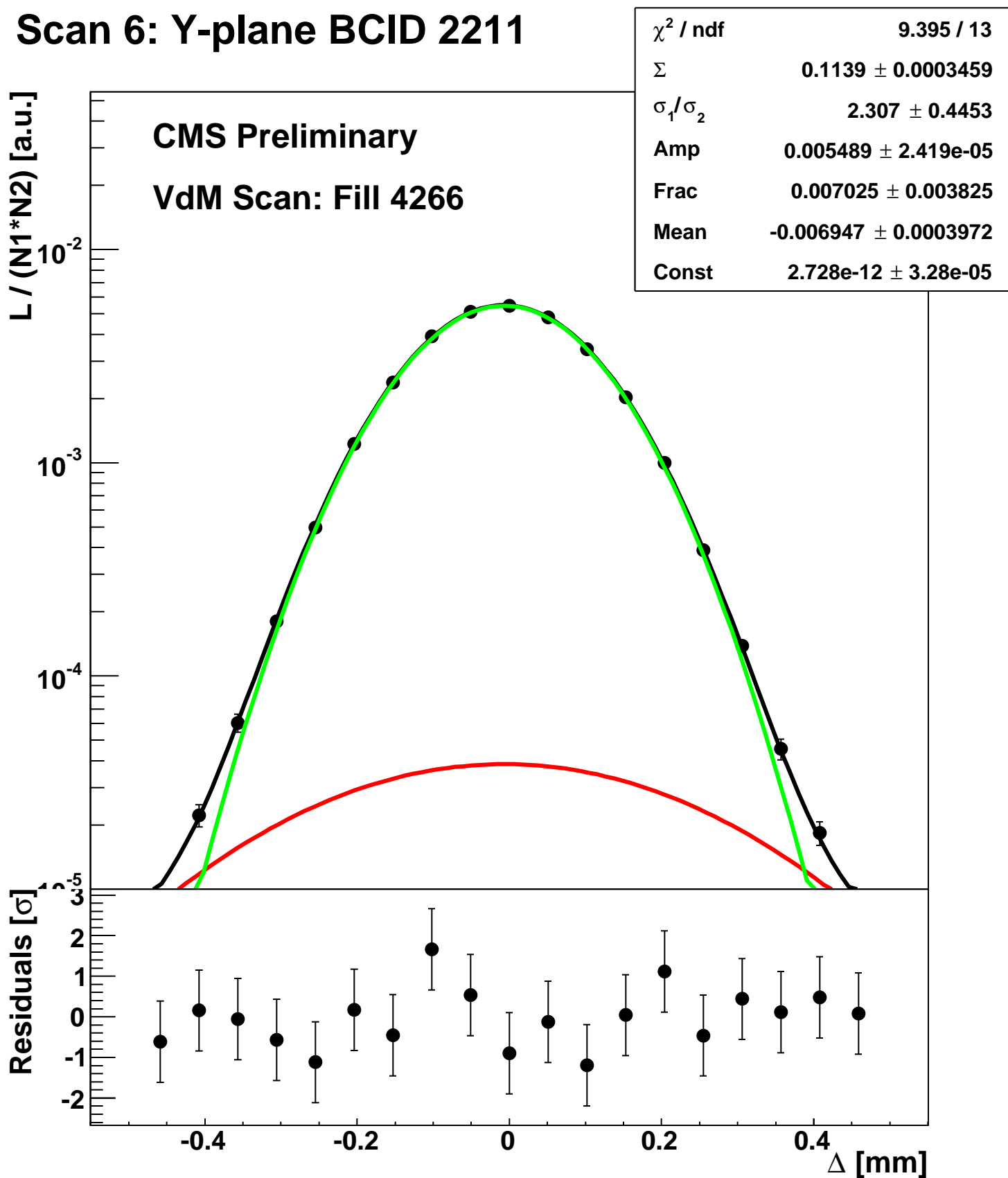
Scan 6: Y-plane BCID 1



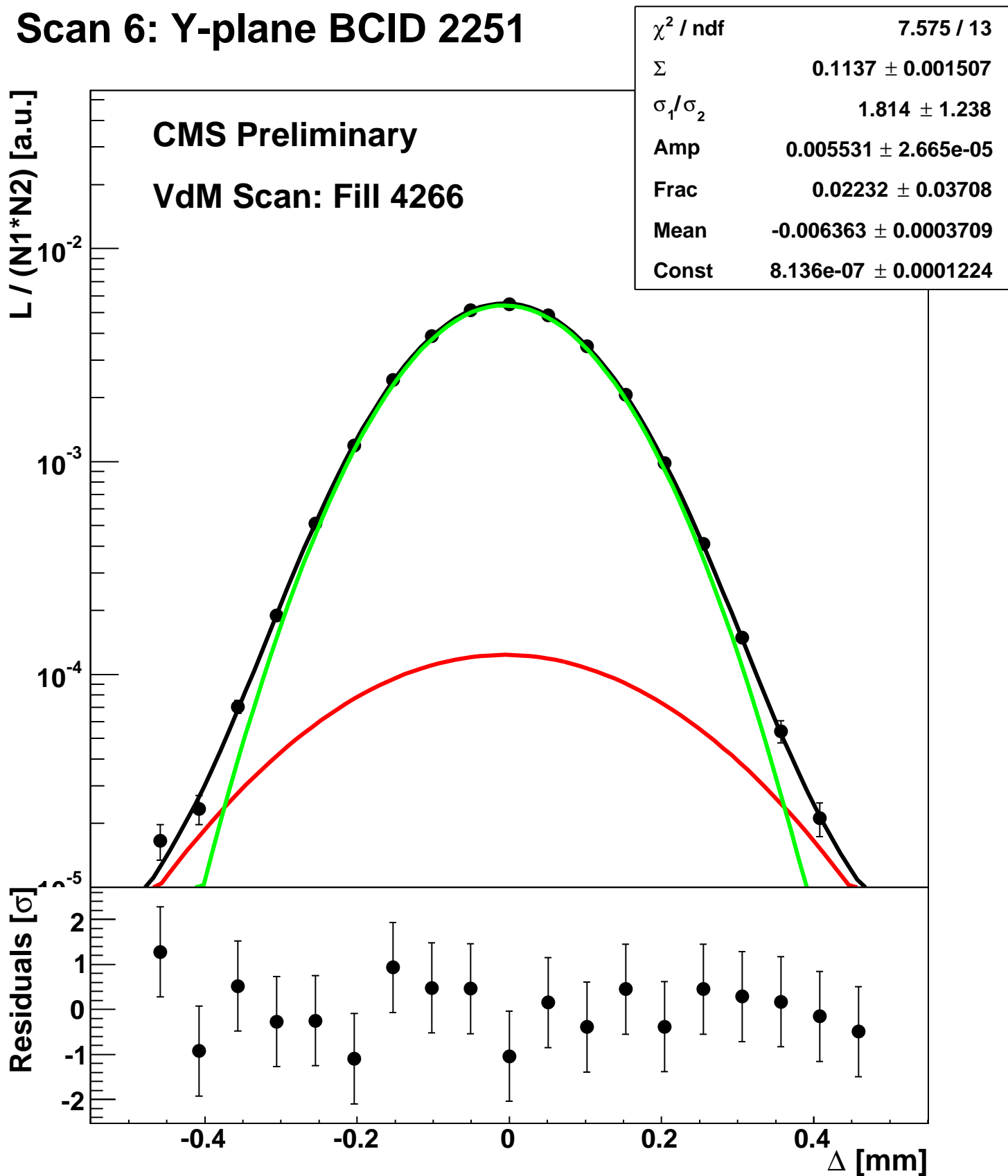
Scan 6: Y-plane BCID 211



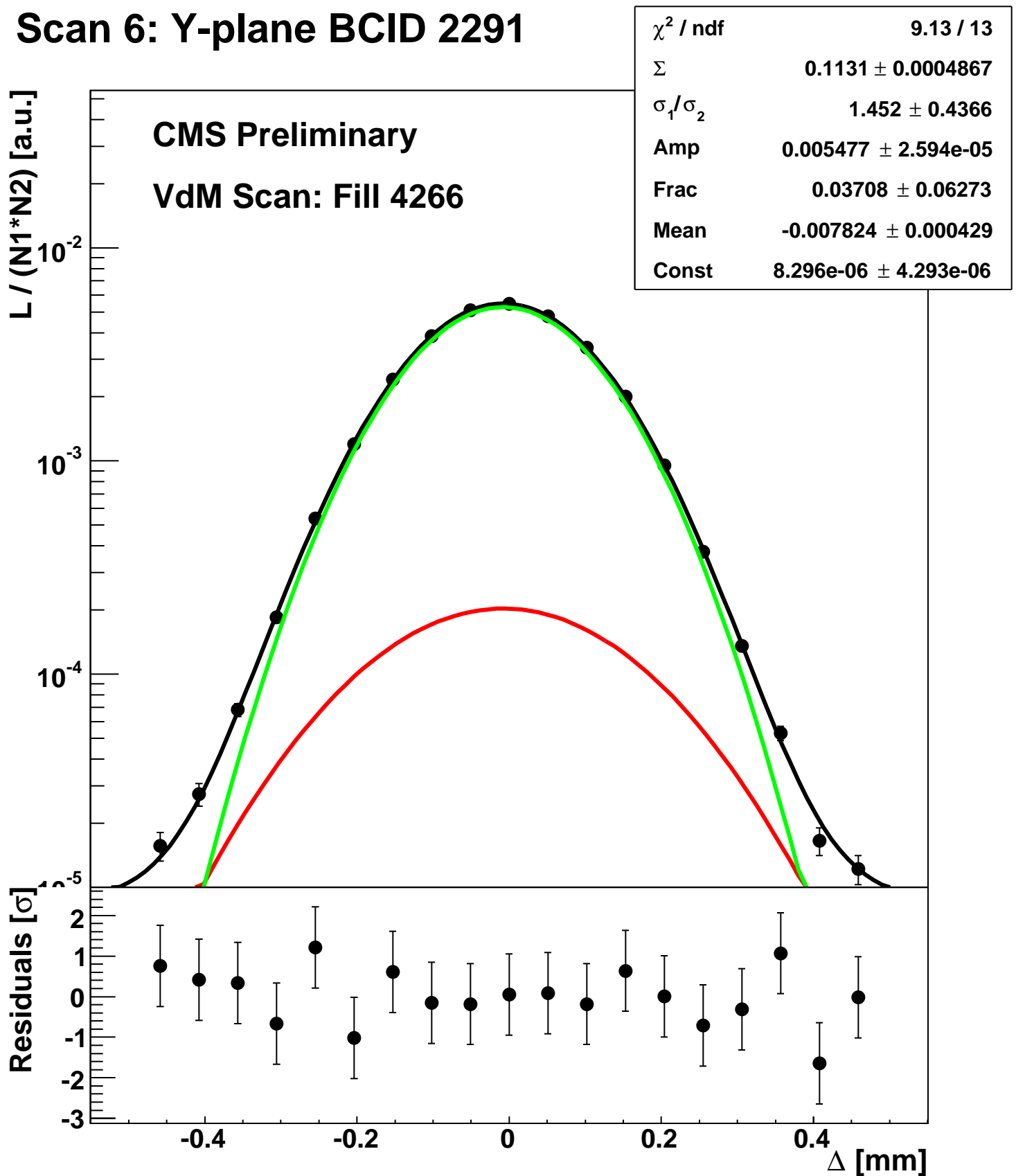
Scan 6: Y-plane BCID 2211



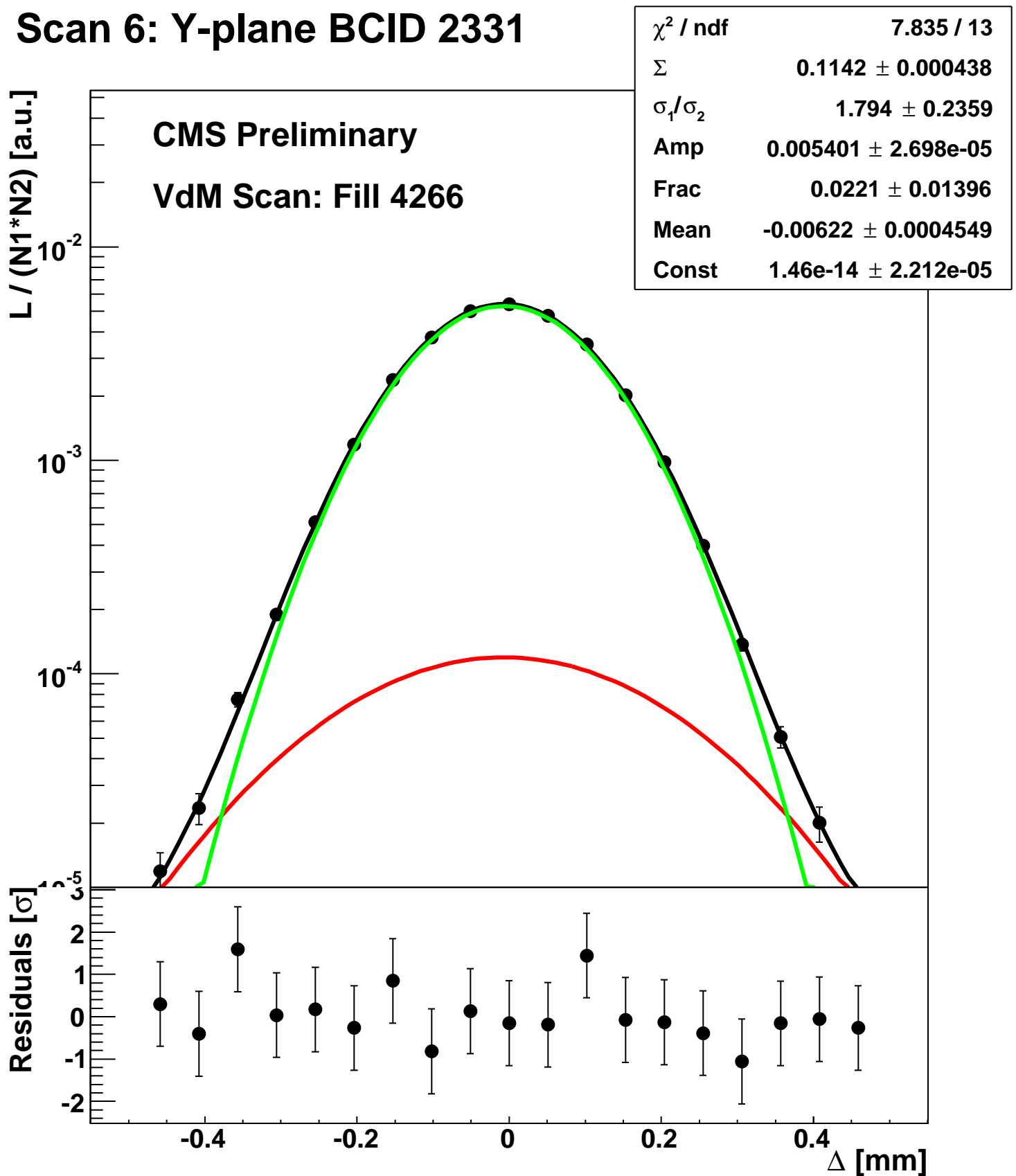
Scan 6: Y-plane BCID 2251



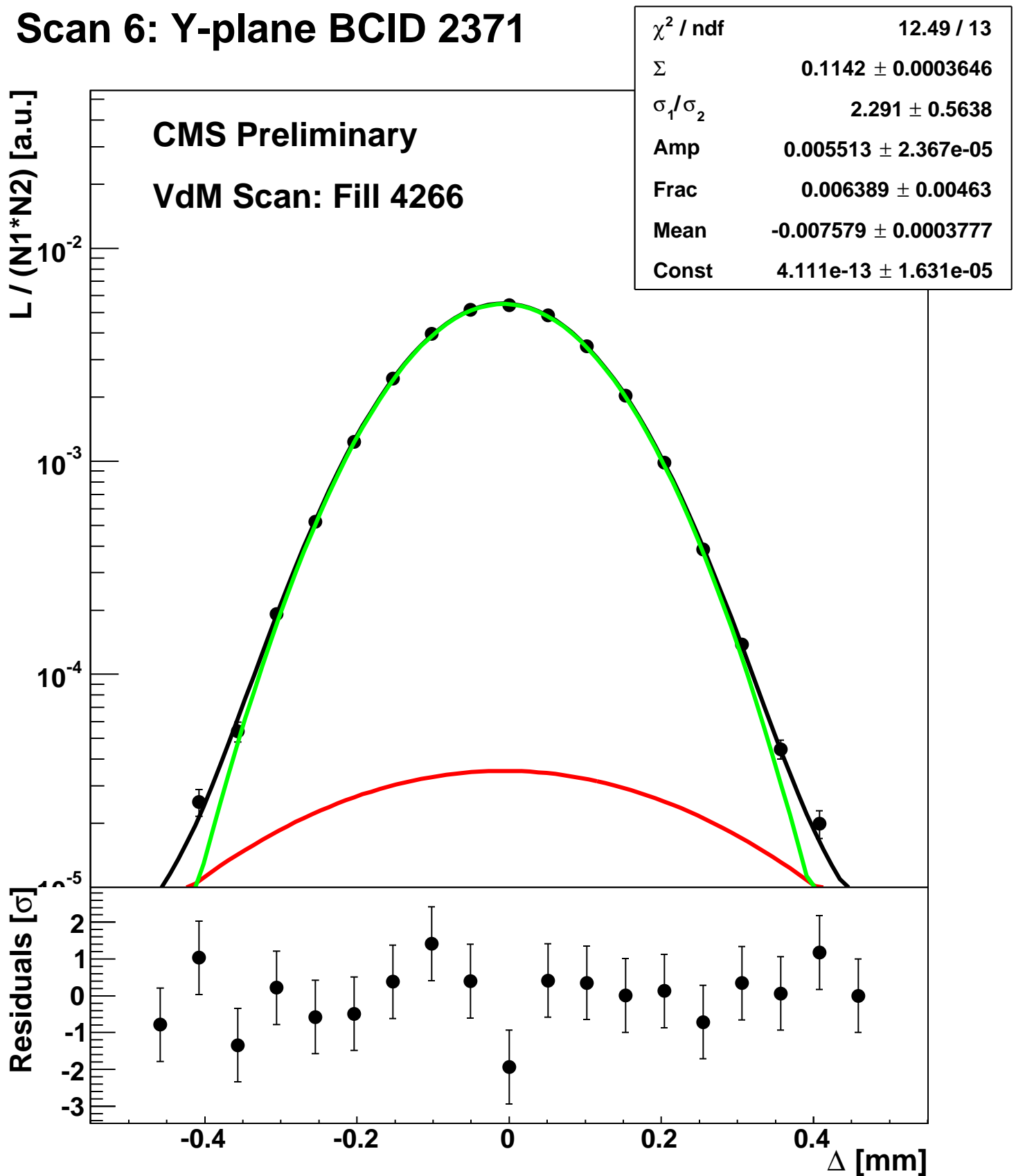
Scan 6: Y-plane BCID 2291



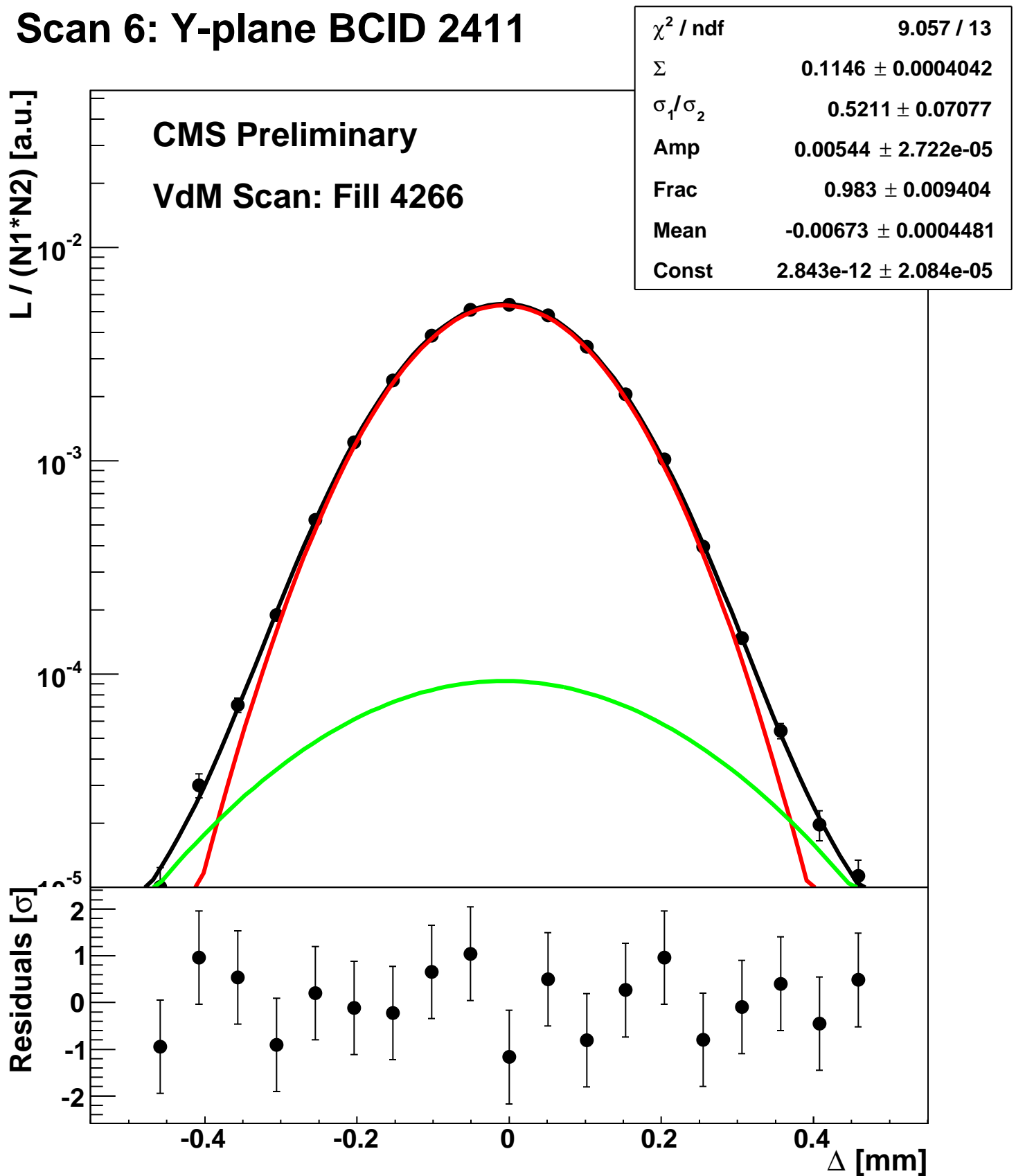
Scan 6: Y-plane BCID 2331



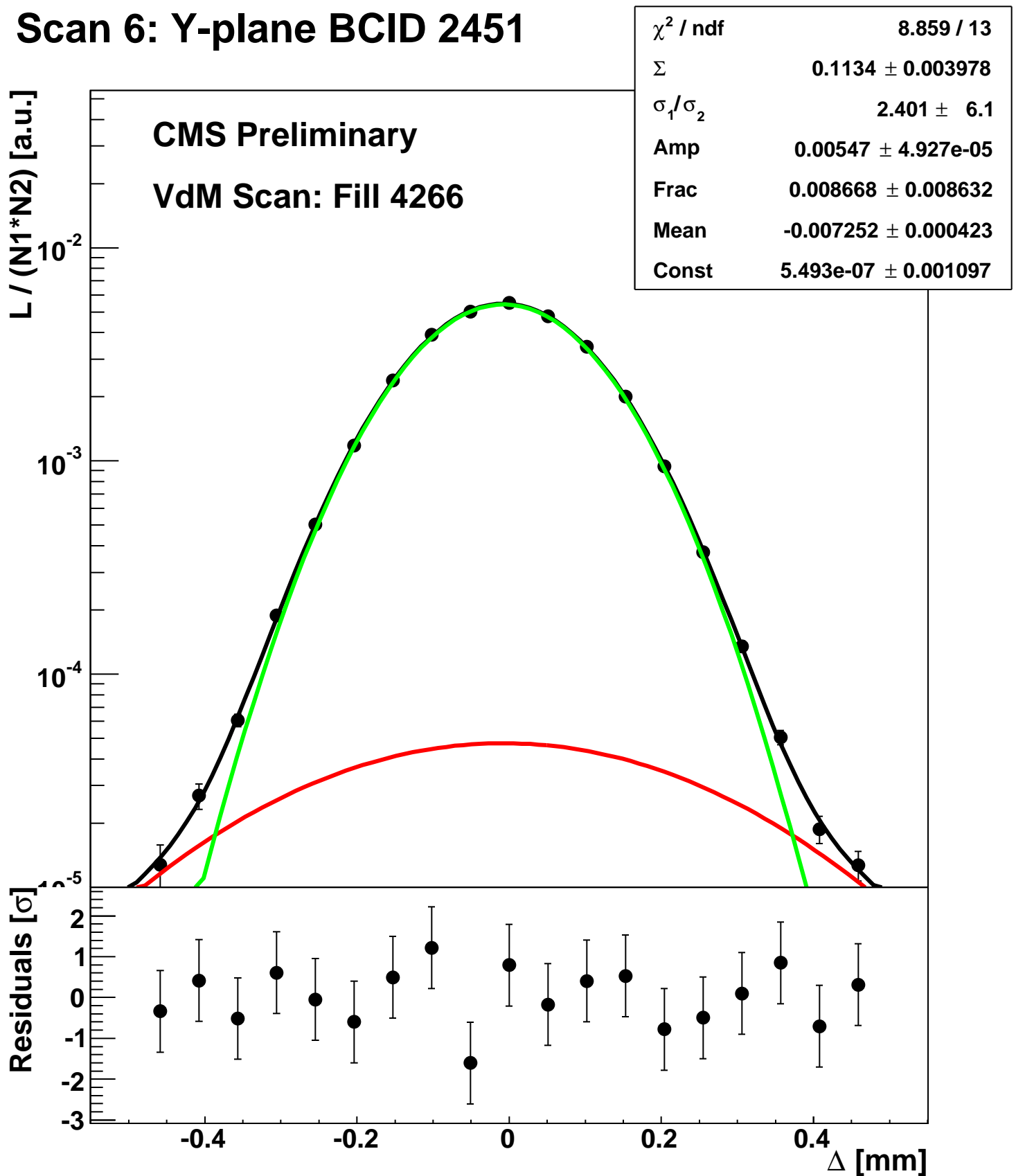
Scan 6: Y-plane BCID 2371



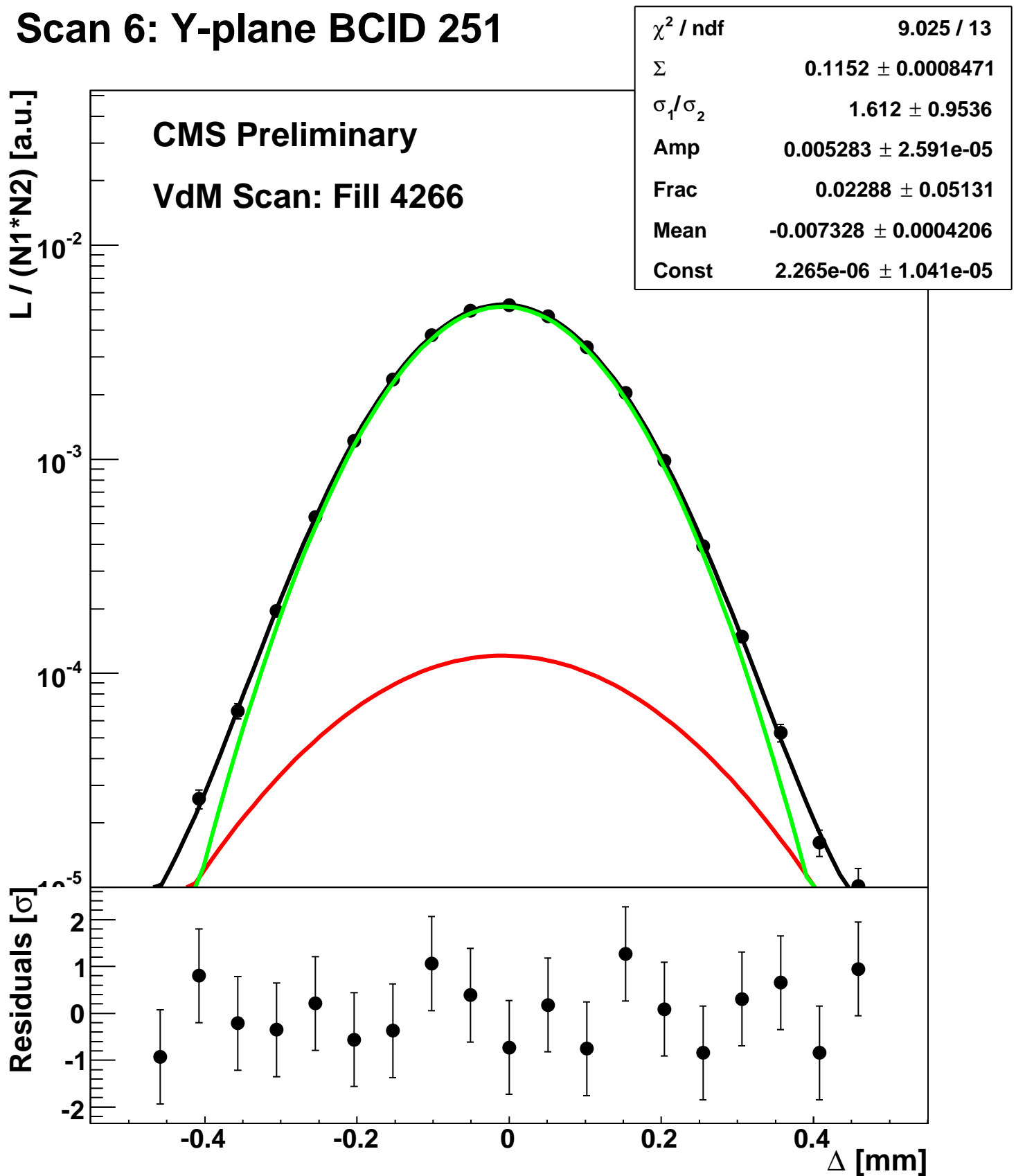
Scan 6: Y-plane BCID 2411



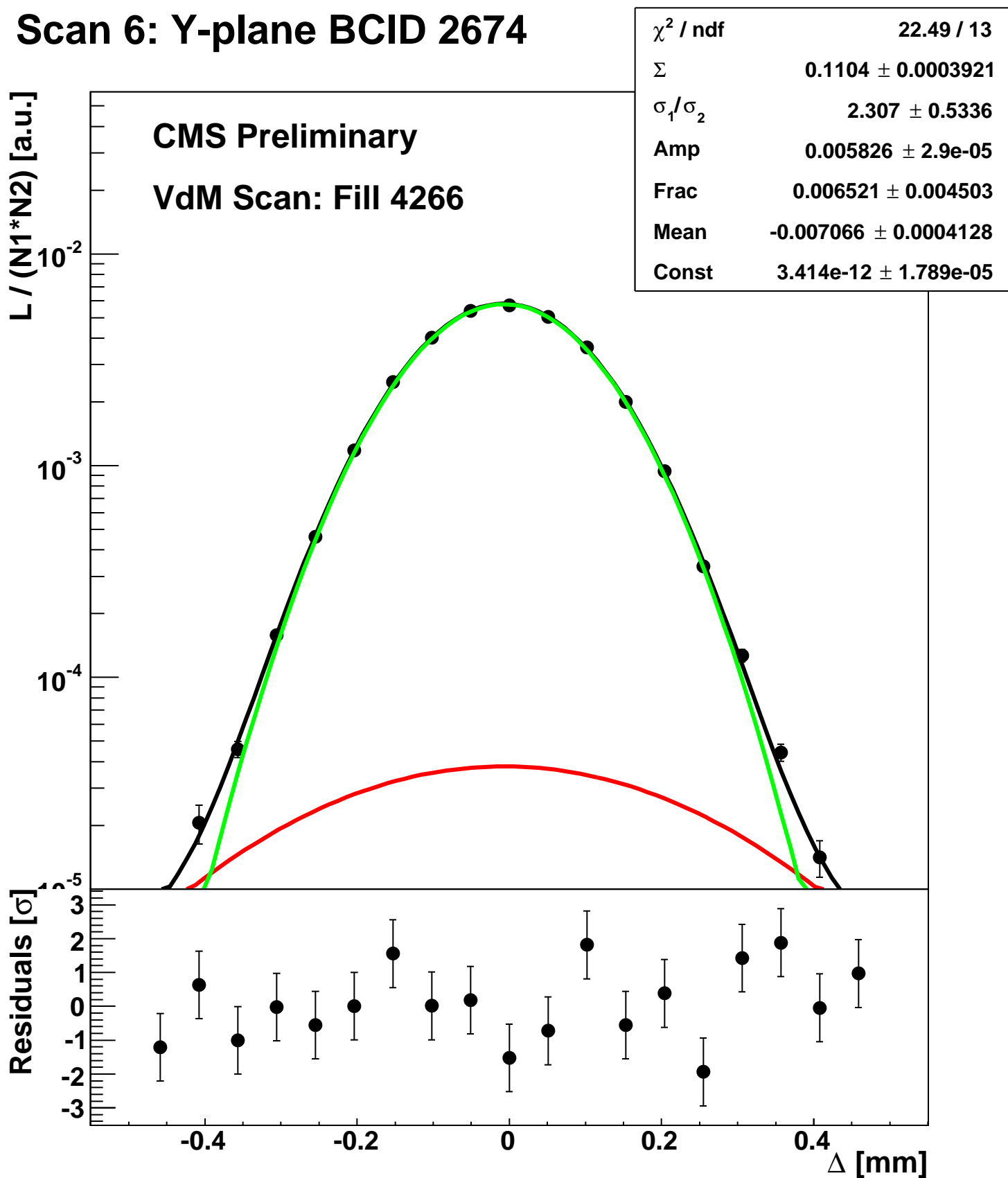
Scan 6: Y-plane BCID 2451



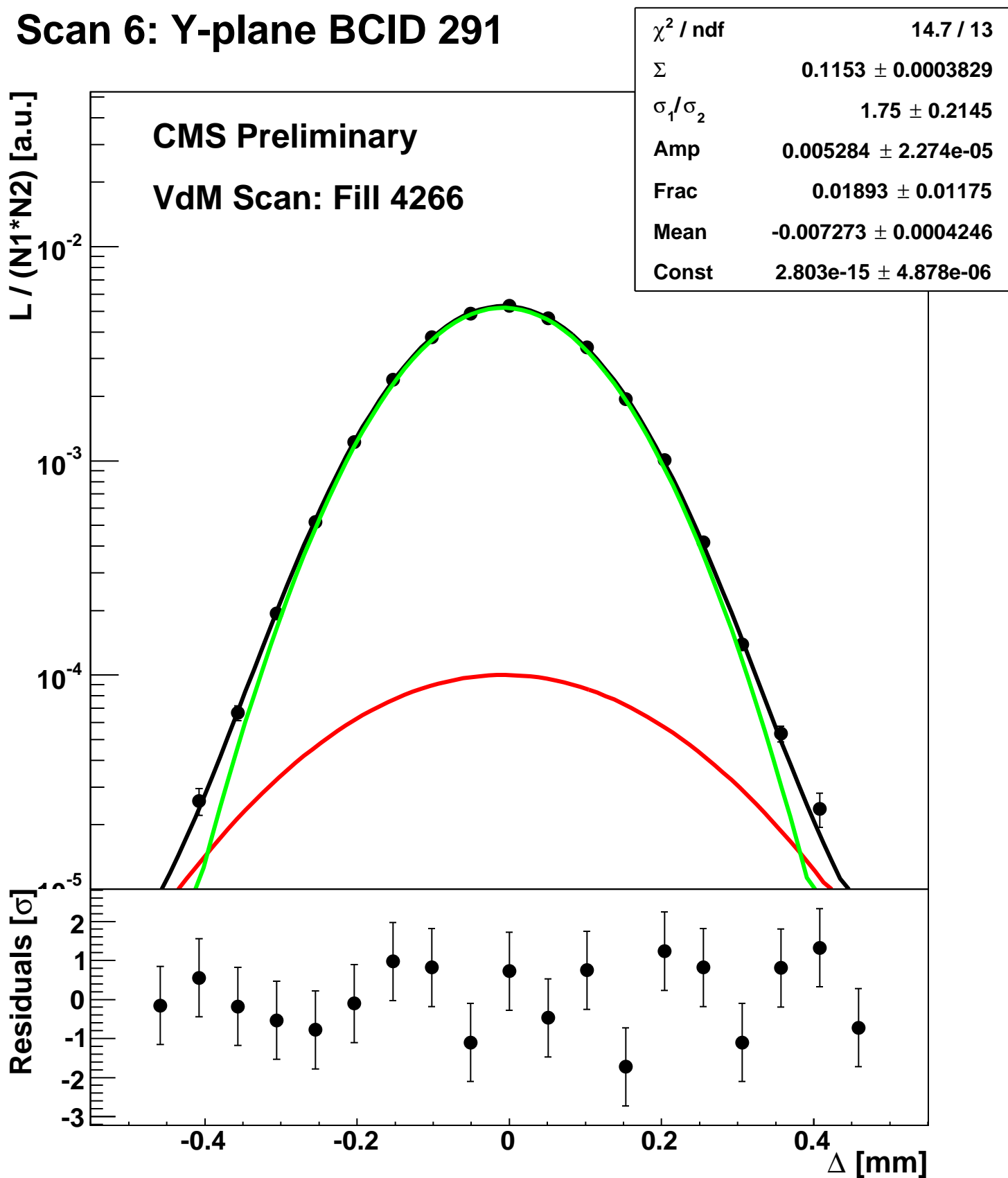
Scan 6: Y-plane BCID 251



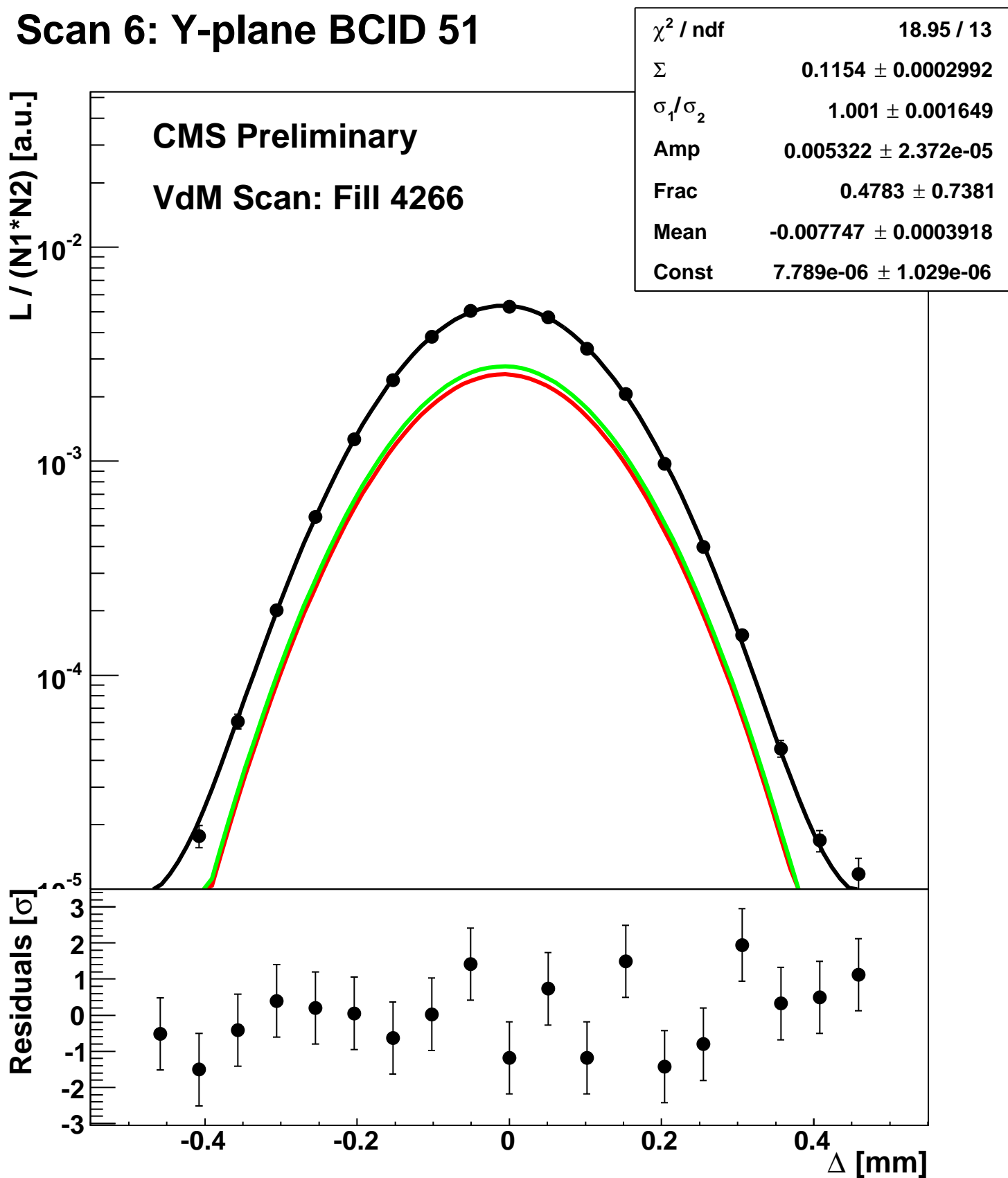
Scan 6: Y-plane BCID 2674



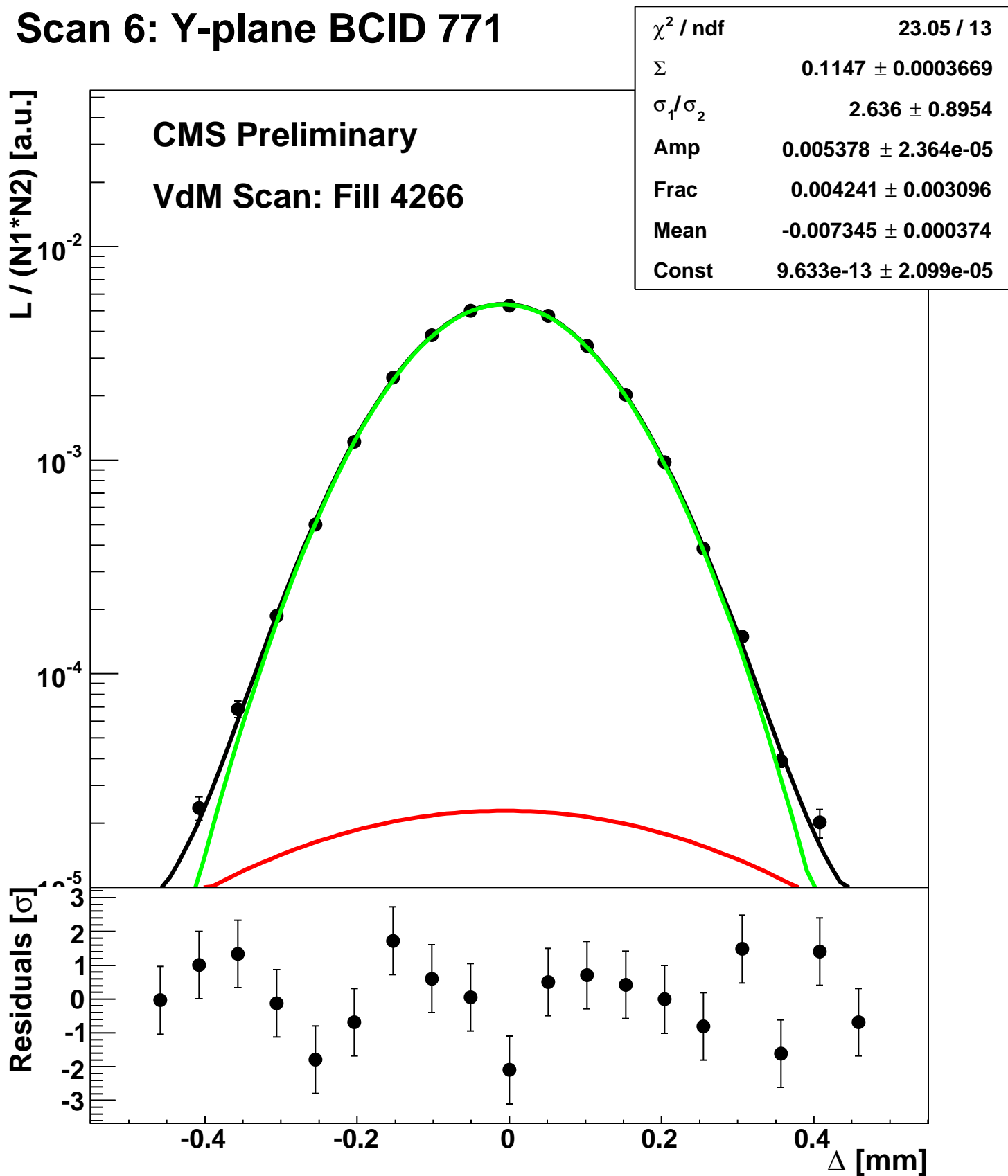
Scan 6: Y-plane BCID 291



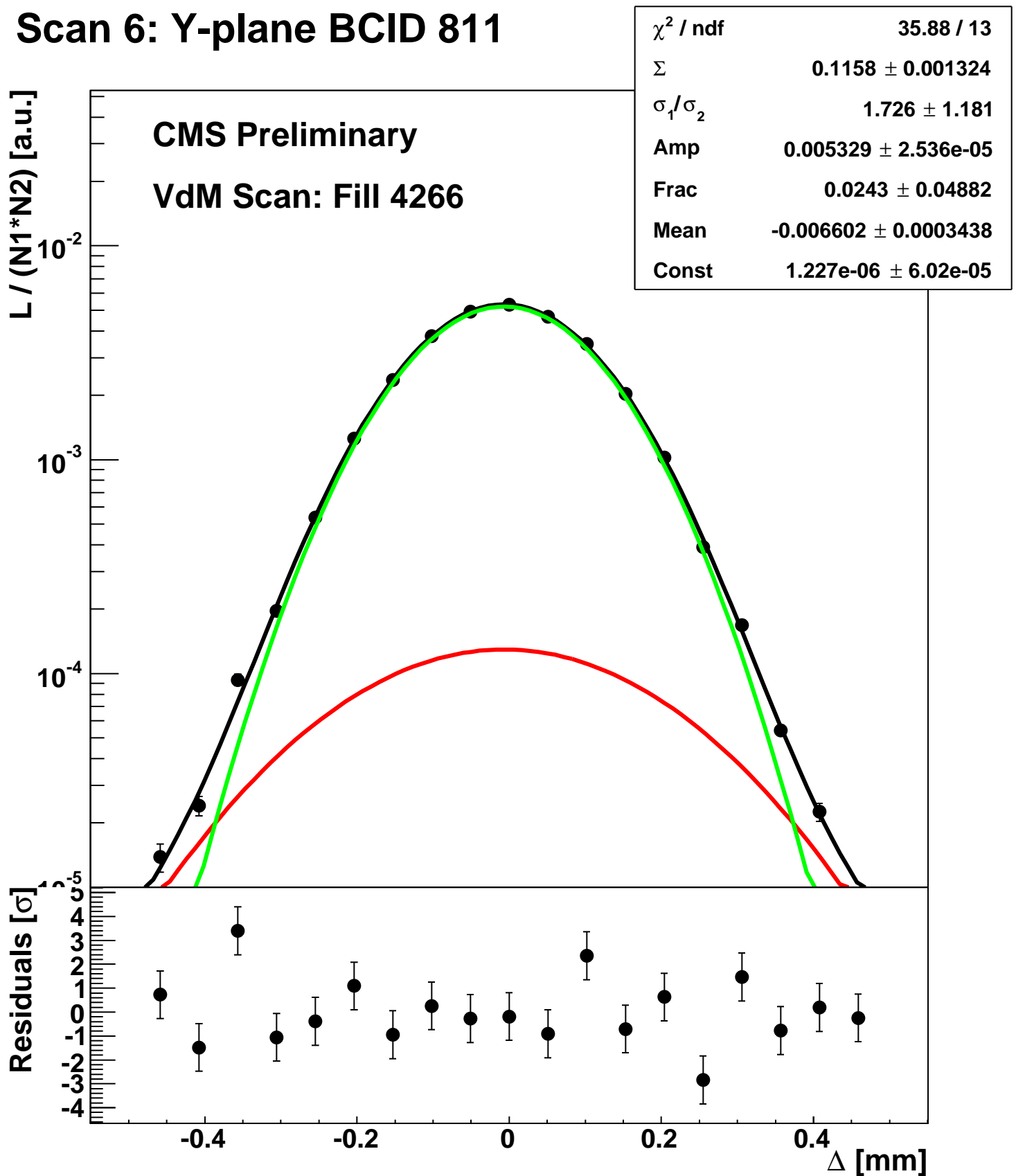
Scan 6: Y-plane BCID 51



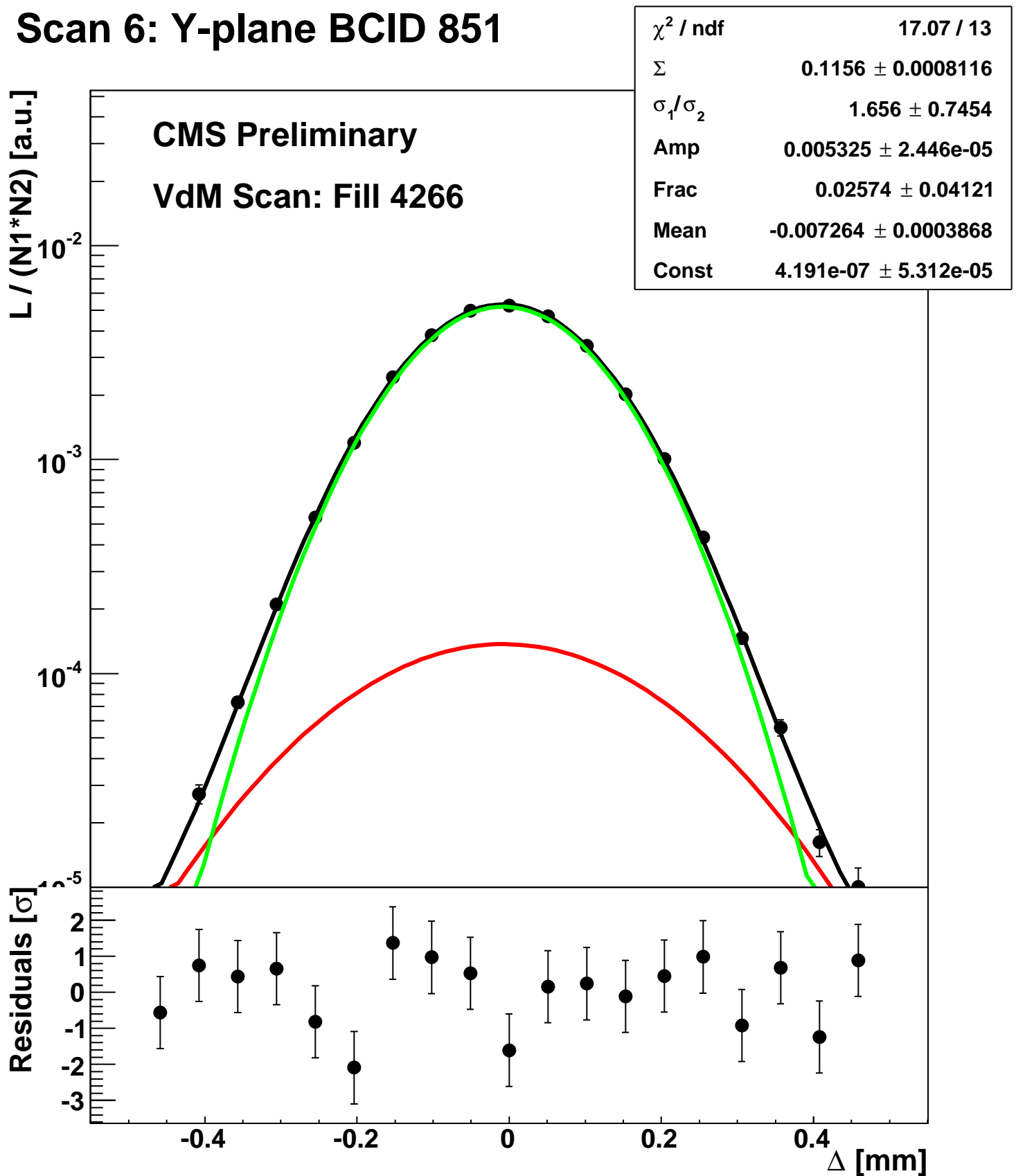
Scan 6: Y-plane BCID 771



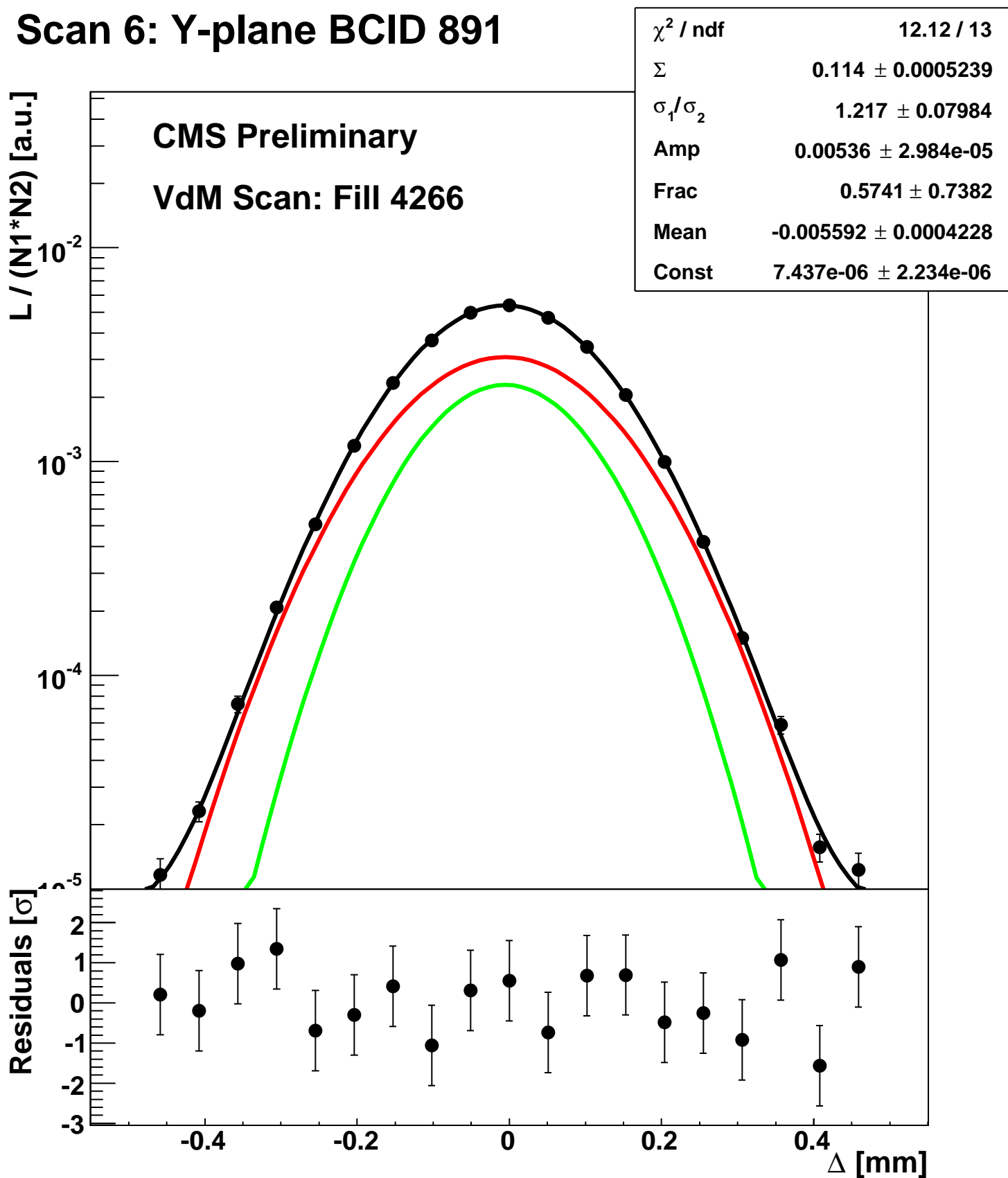
Scan 6: Y-plane BCID 811



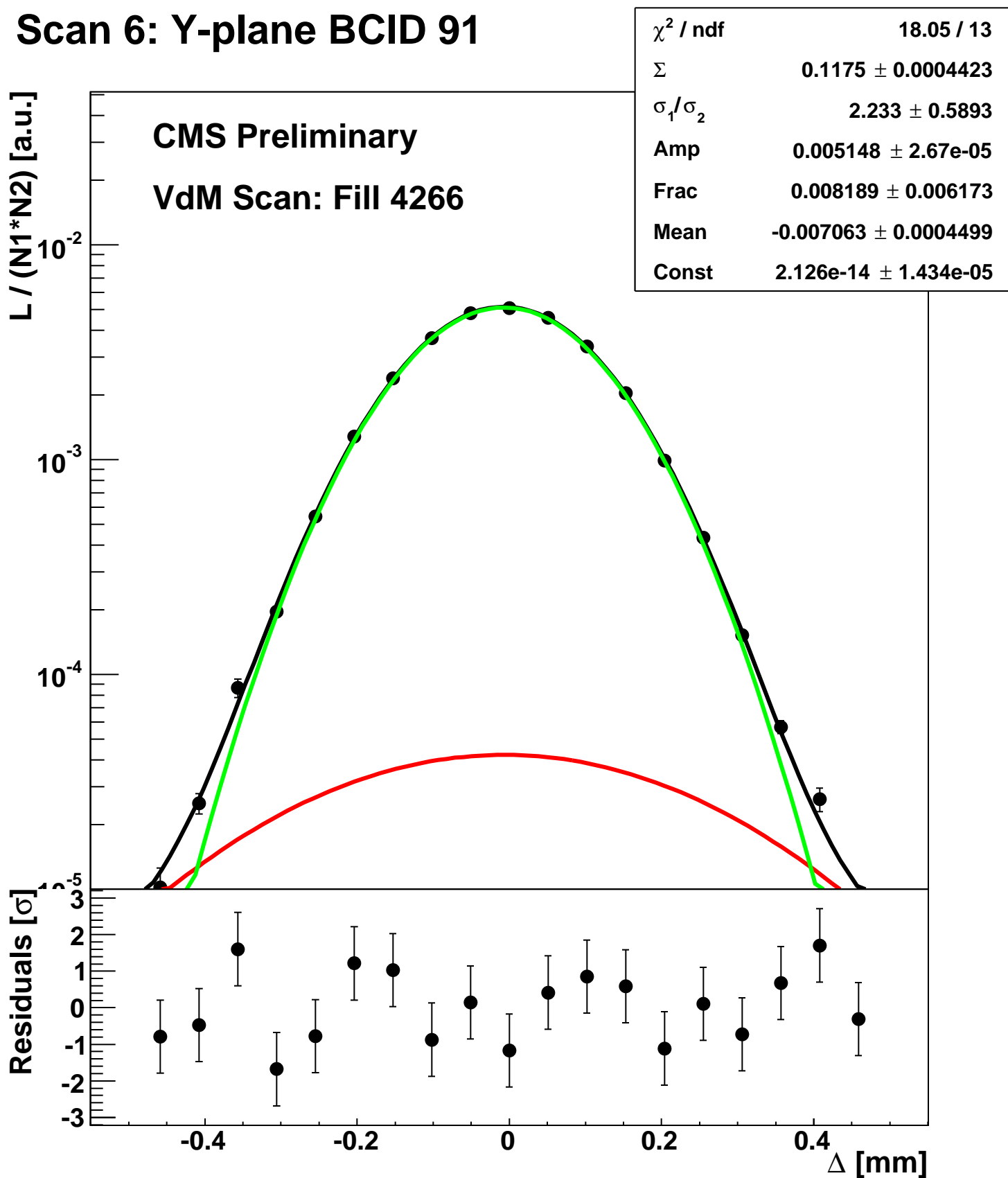
Scan 6: Y-plane BCID 851



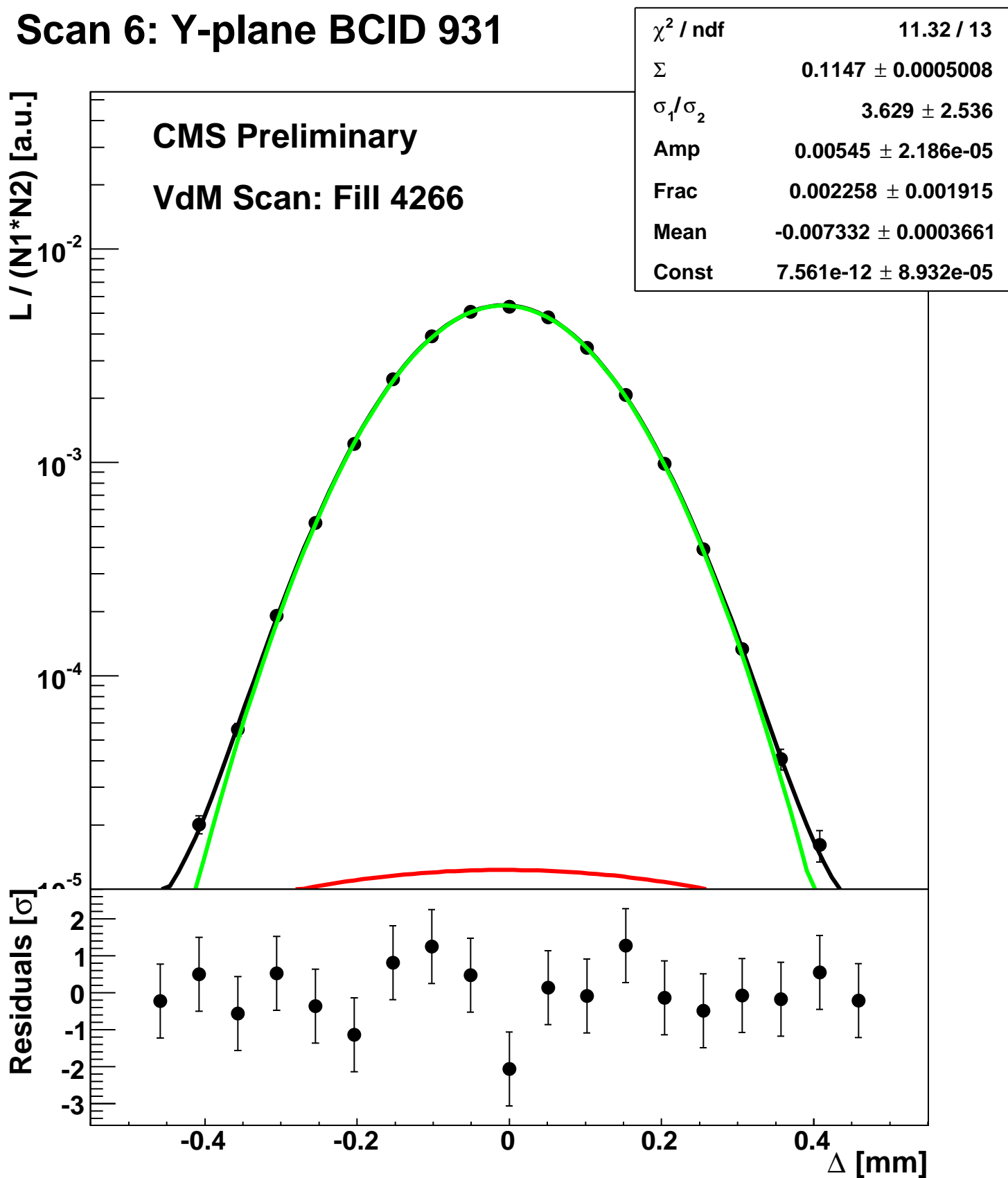
Scan 6: Y-plane BCID 891



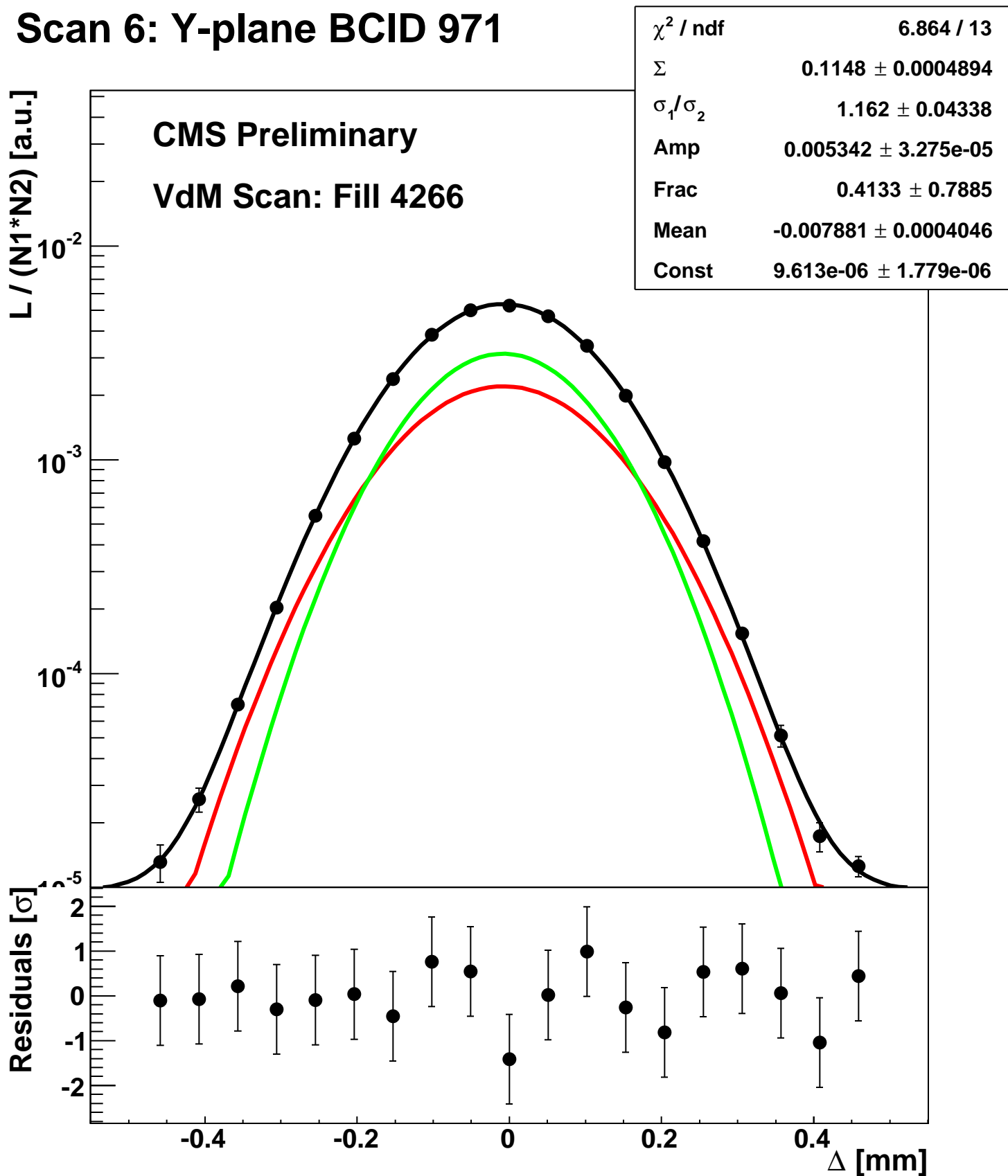
Scan 6: Y-plane BCID 91



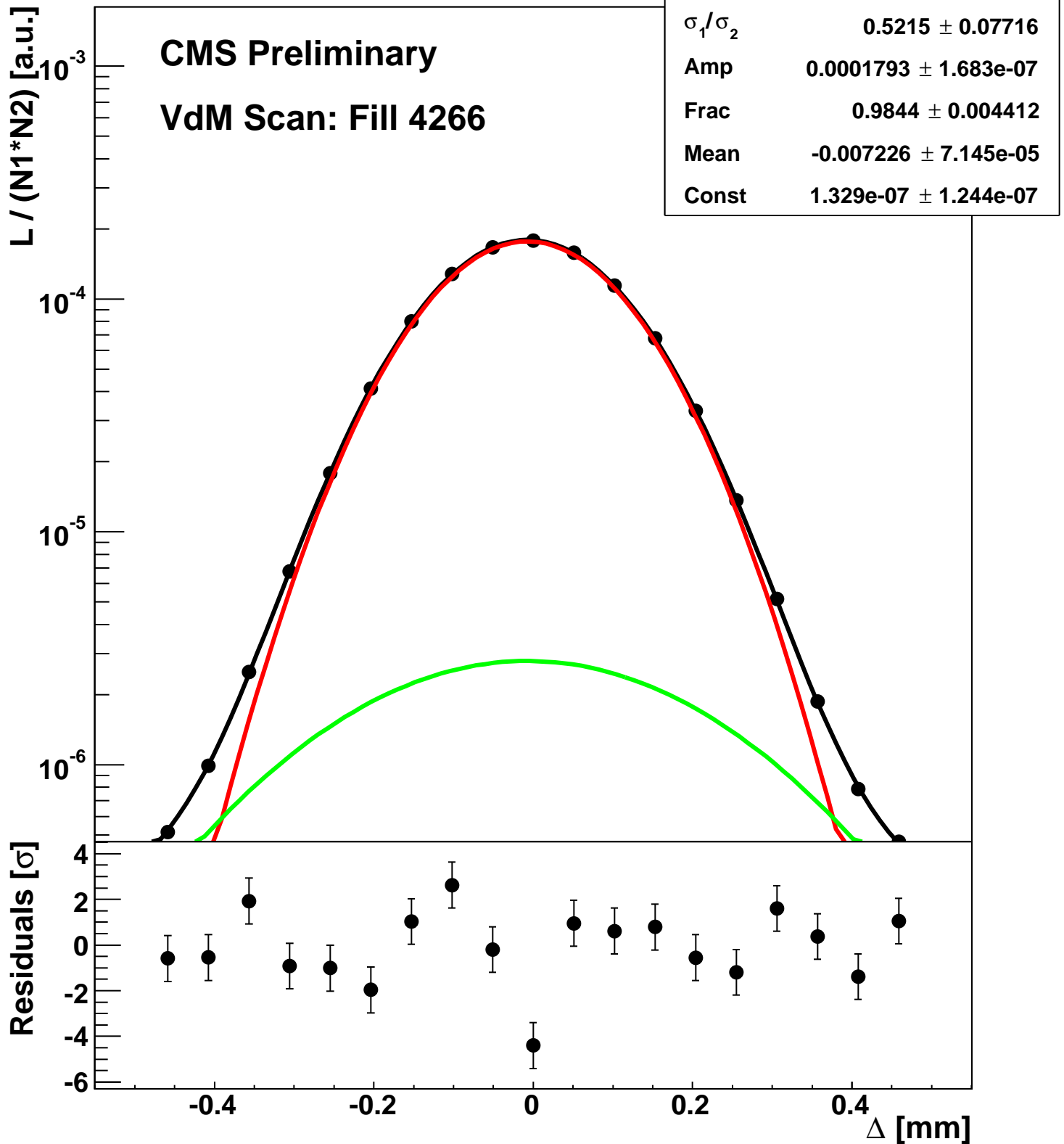
Scan 6: Y-plane BCID 931



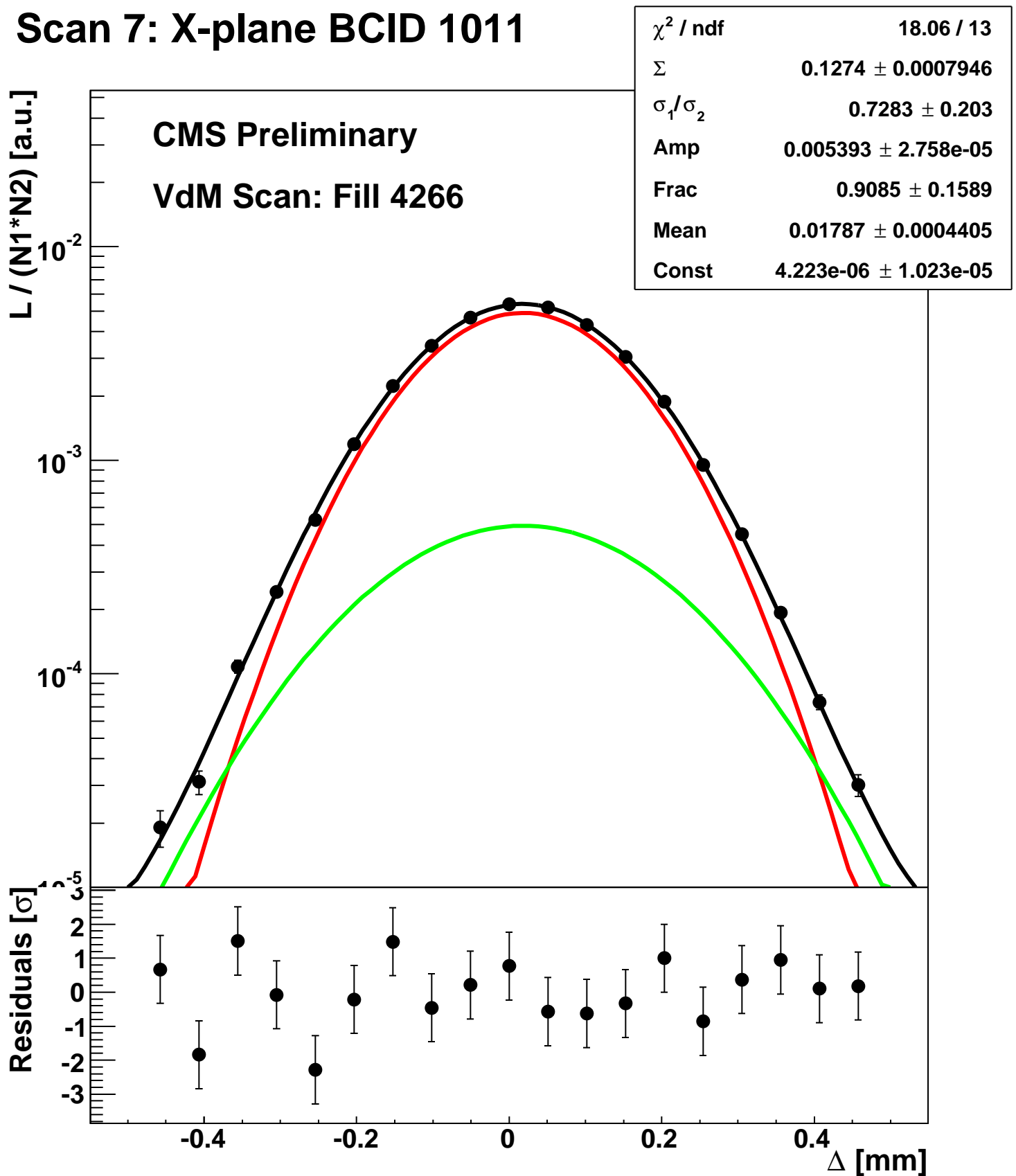
Scan 6: Y-plane BCID 971



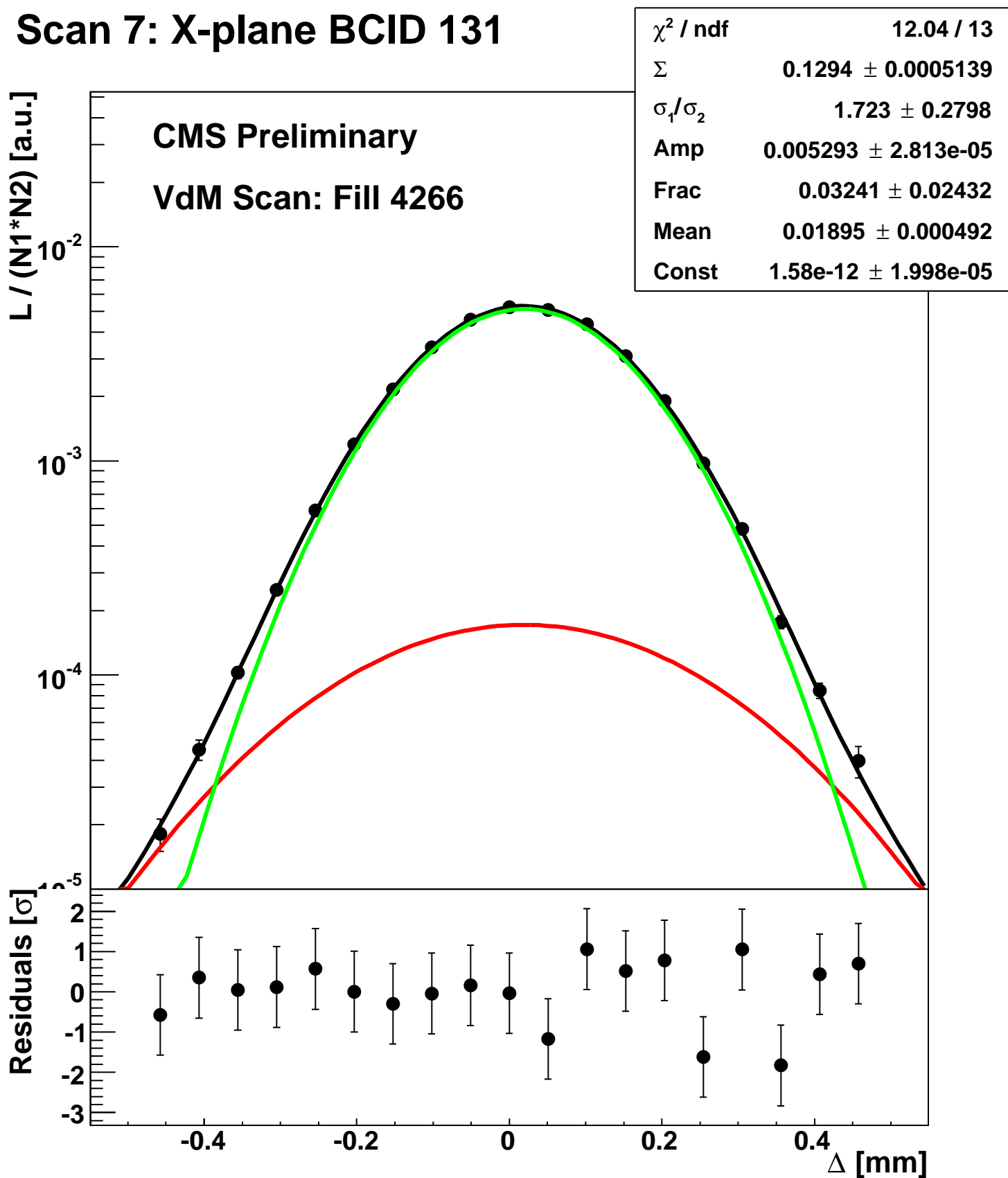
Scan 6: Y-plane BCID sum



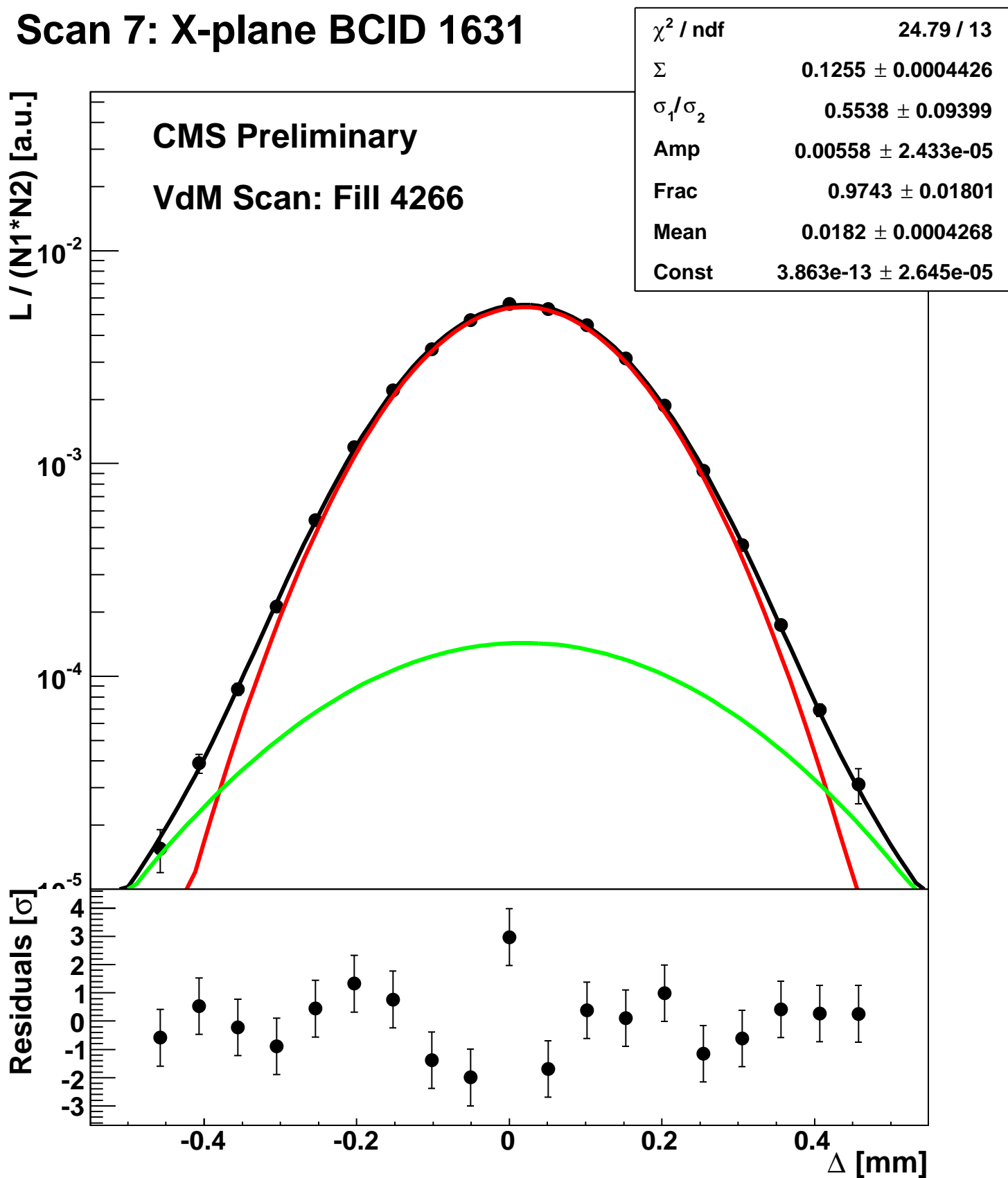
Scan 7: X-plane BCID 1011



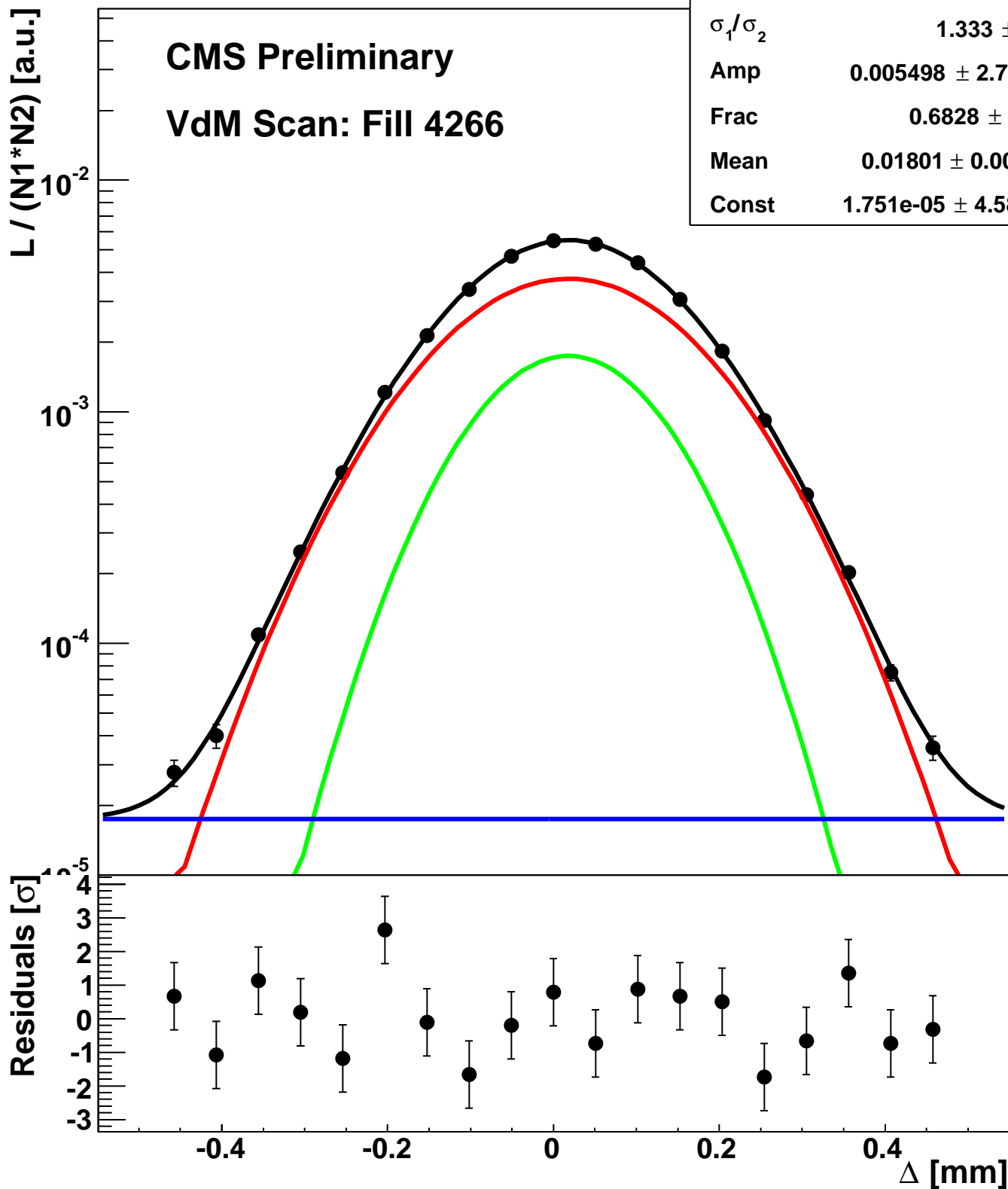
Scan 7: X-plane BCID 131



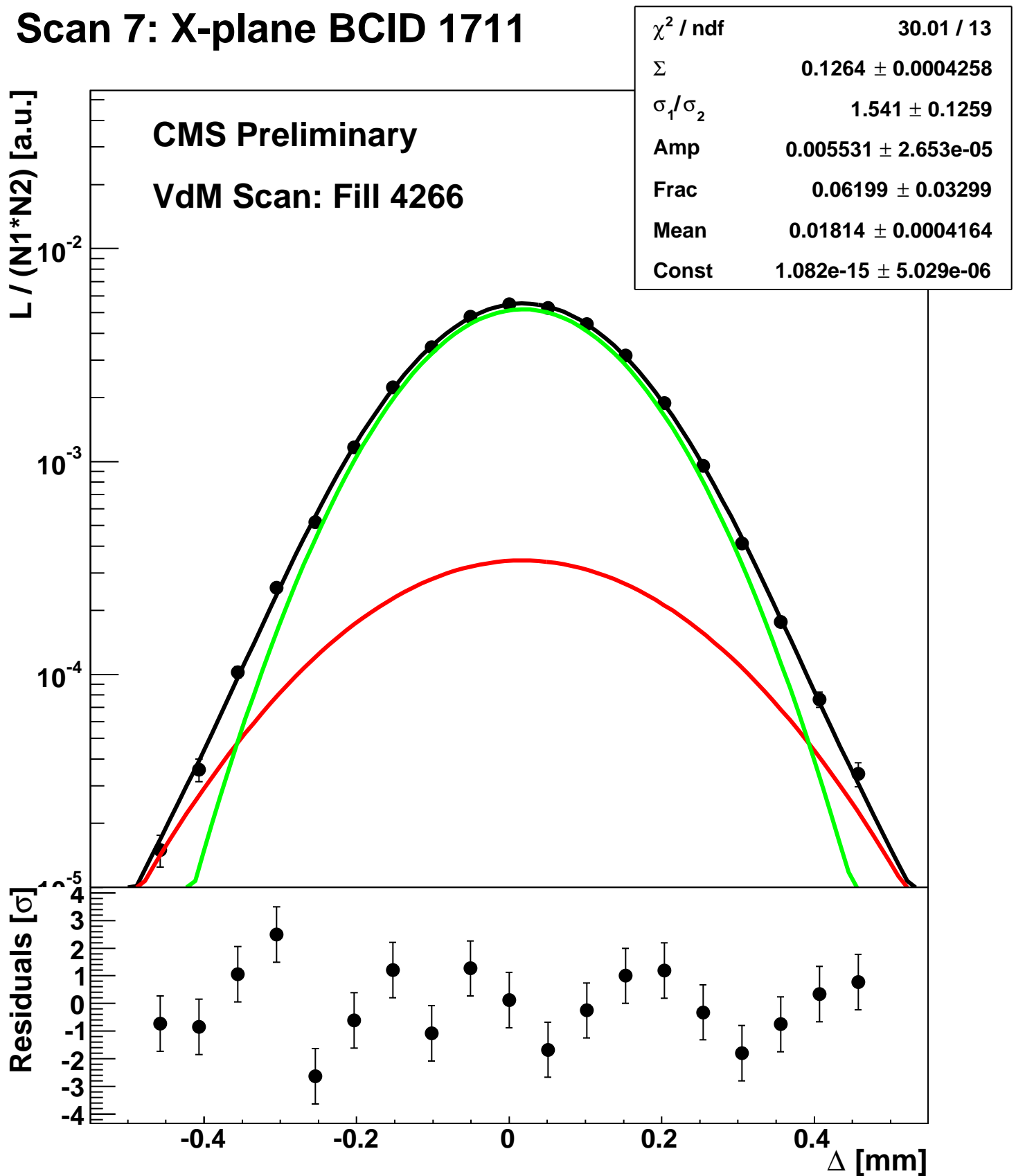
Scan 7: X-plane BCID 1631



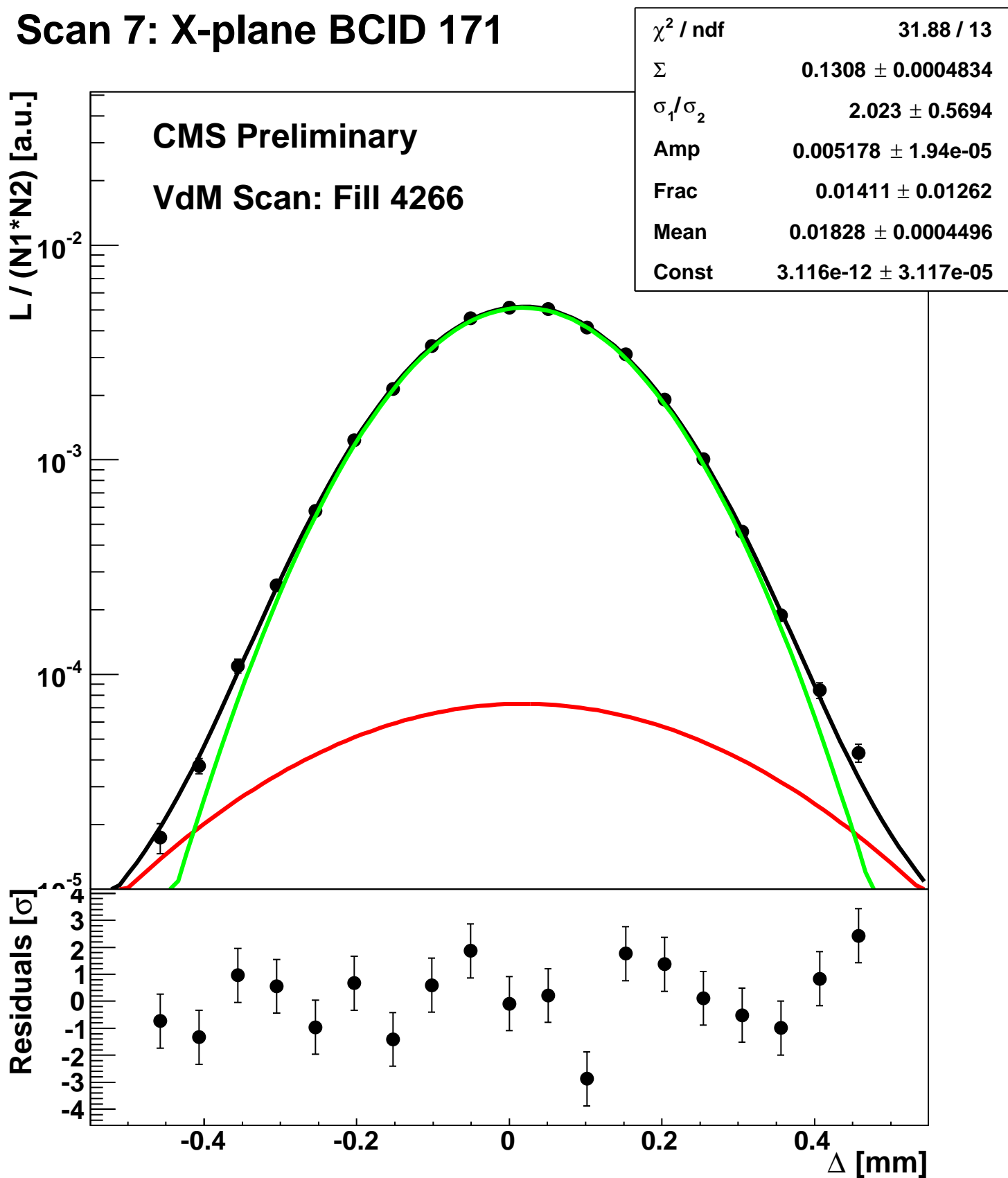
Scan 7: X-plane BCID 1671



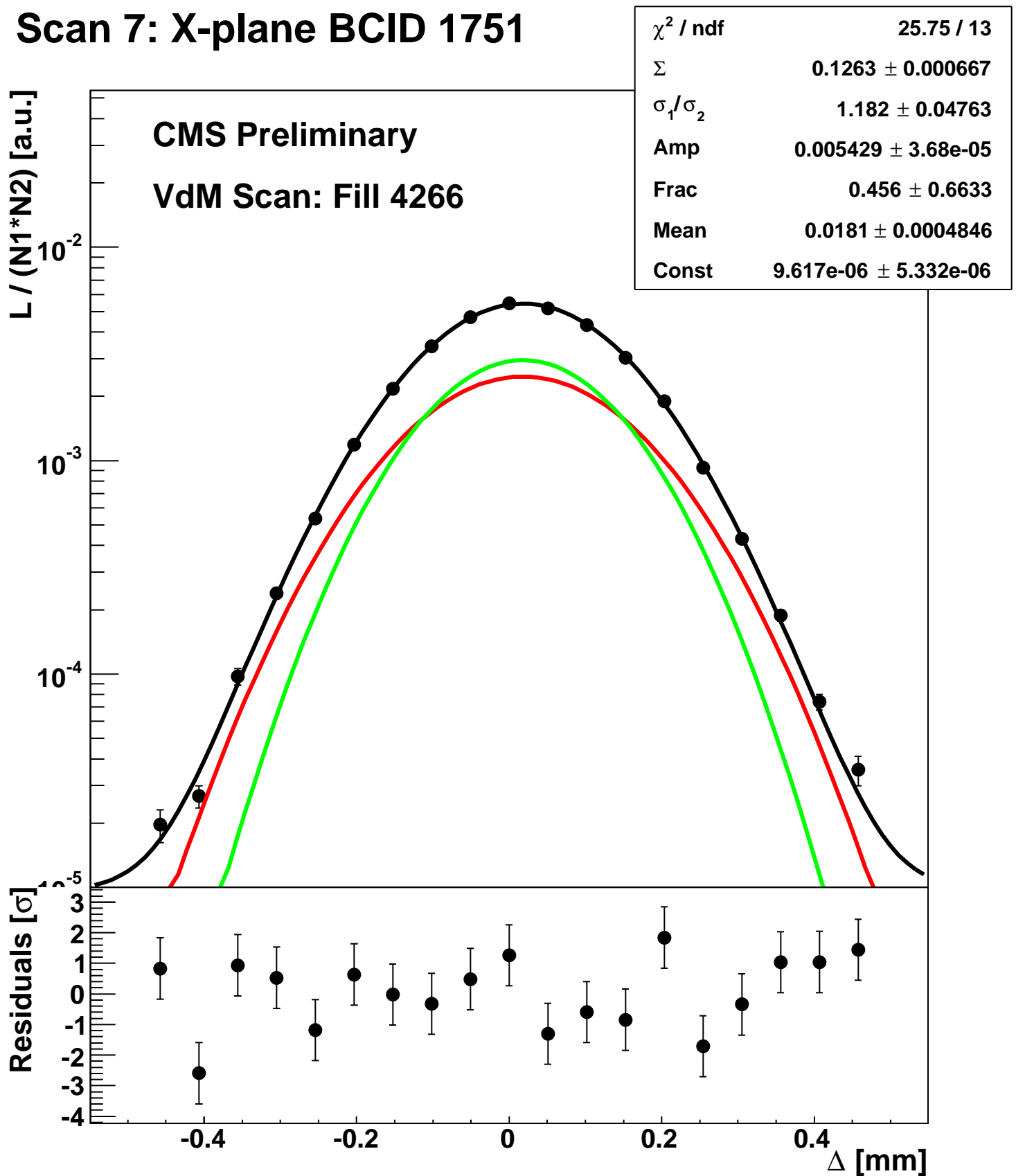
Scan 7: X-plane BCID 1711



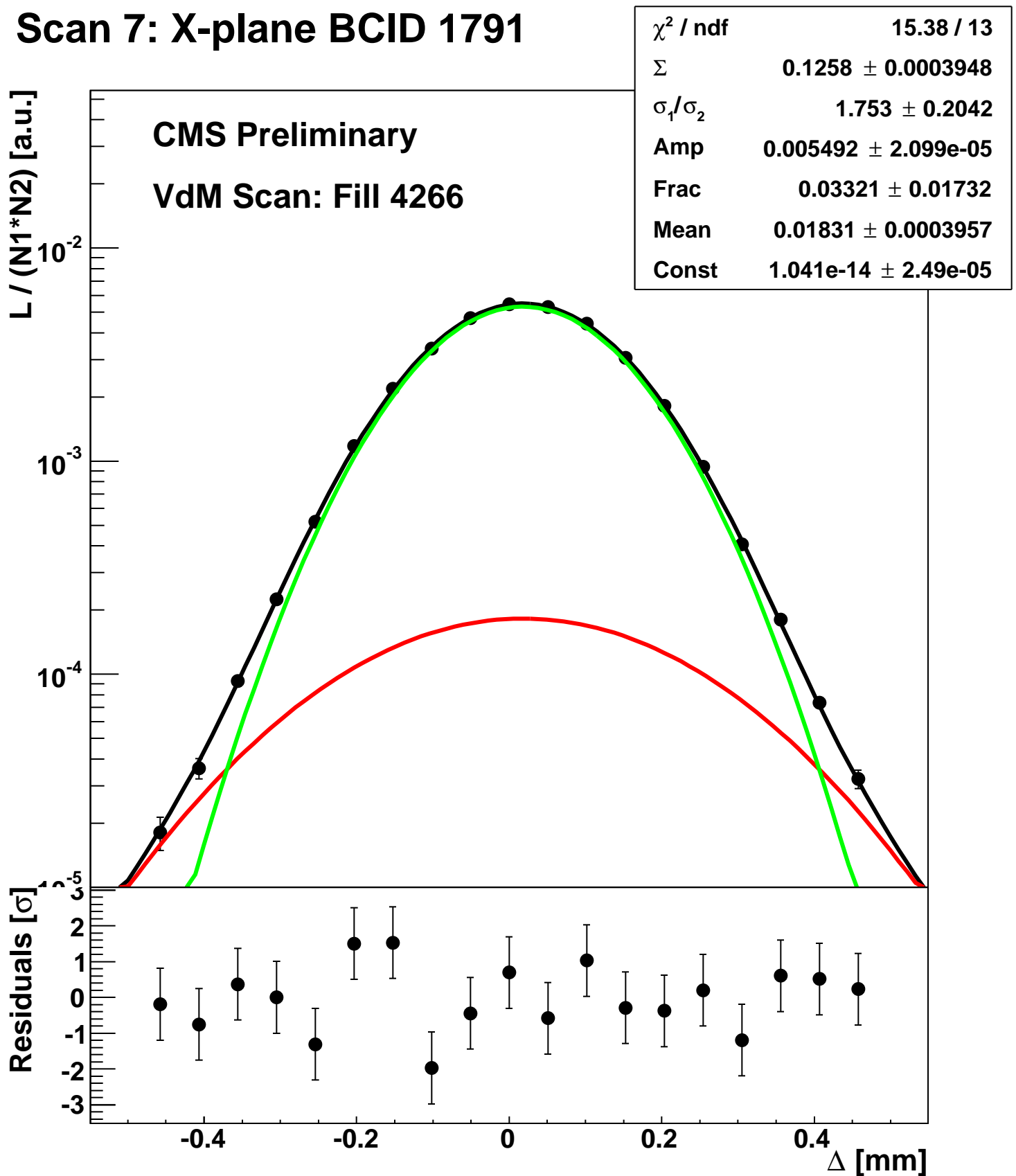
Scan 7: X-plane BCID 171



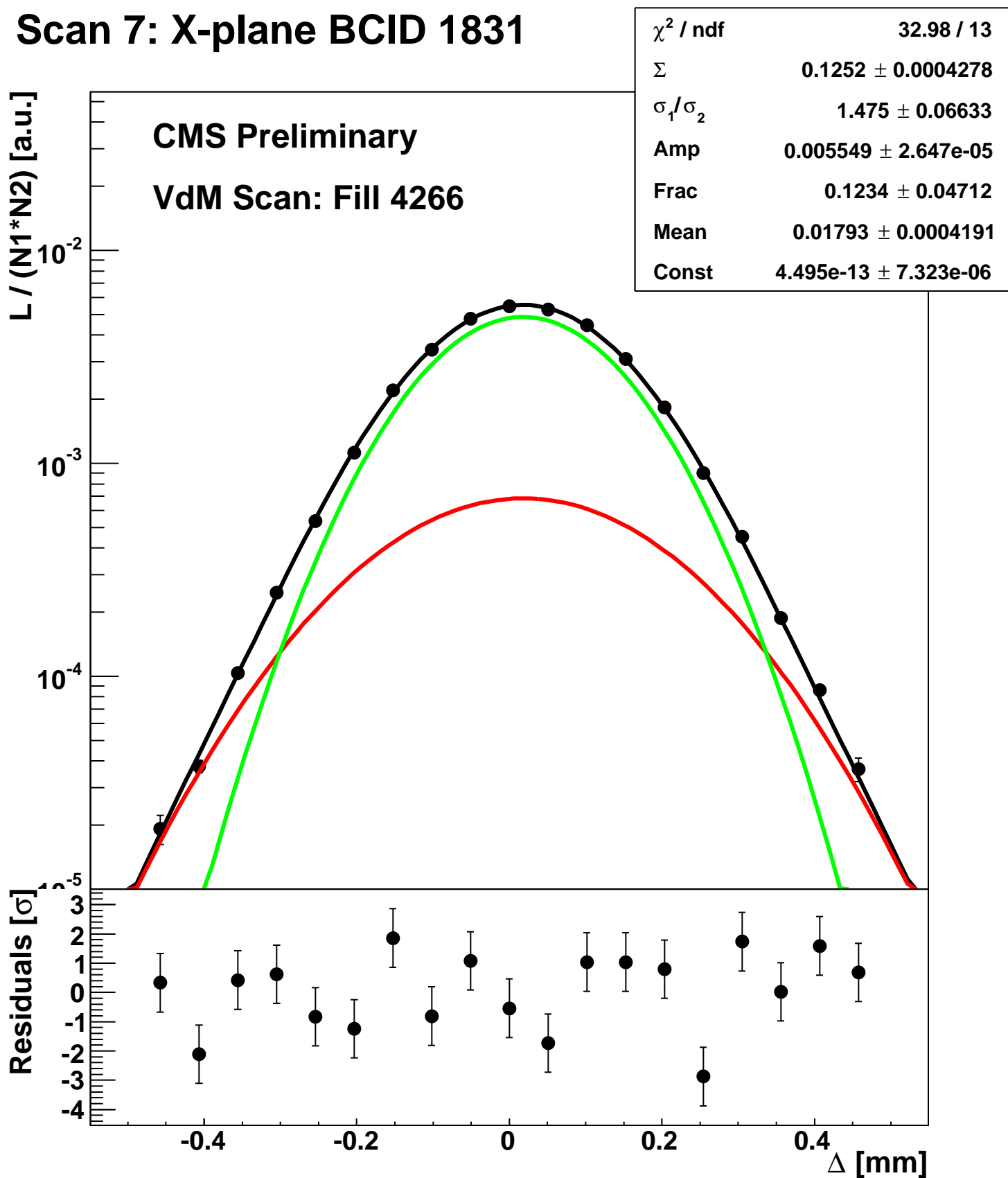
Scan 7: X-plane BCID 1751



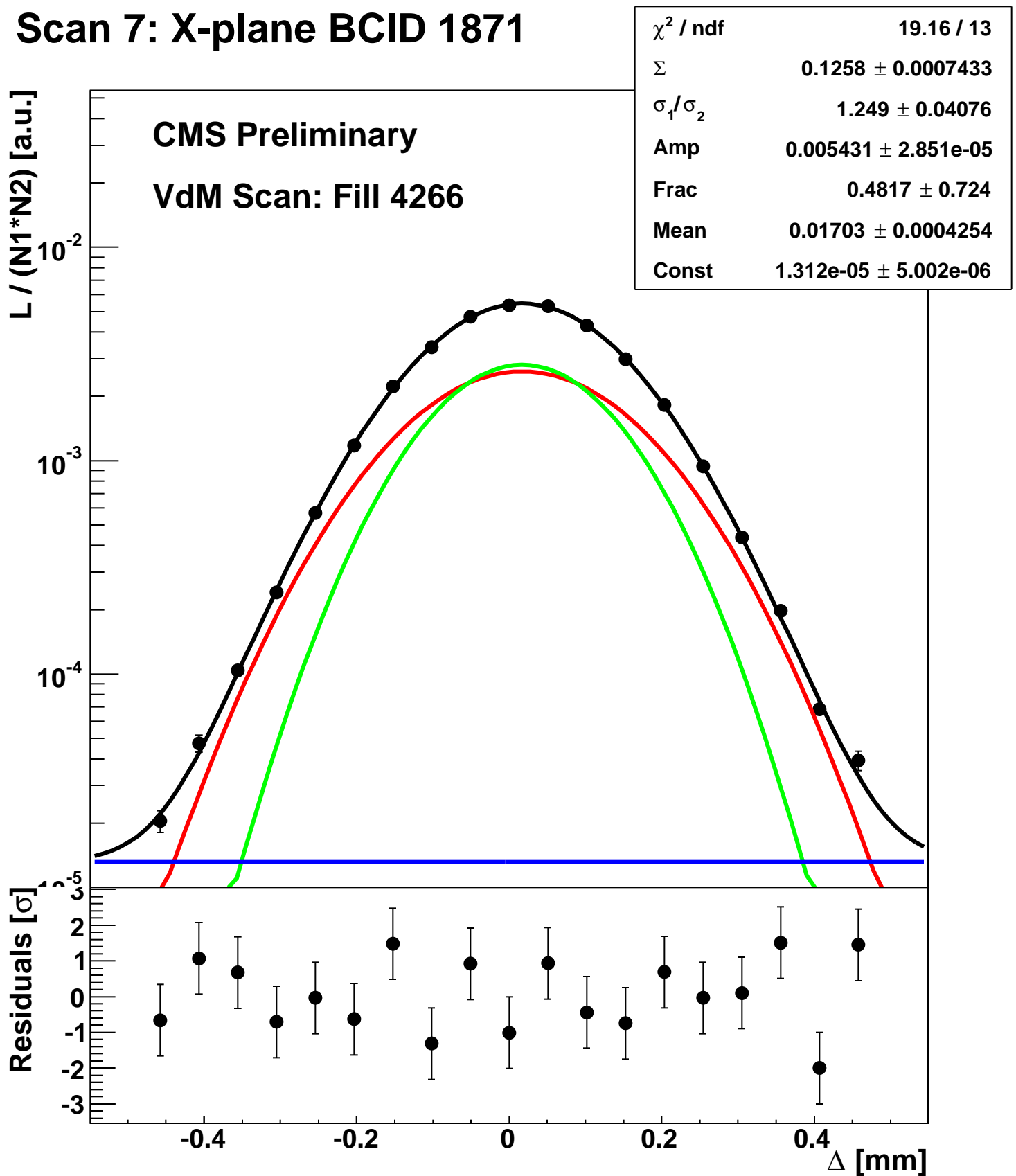
Scan 7: X-plane BCID 1791



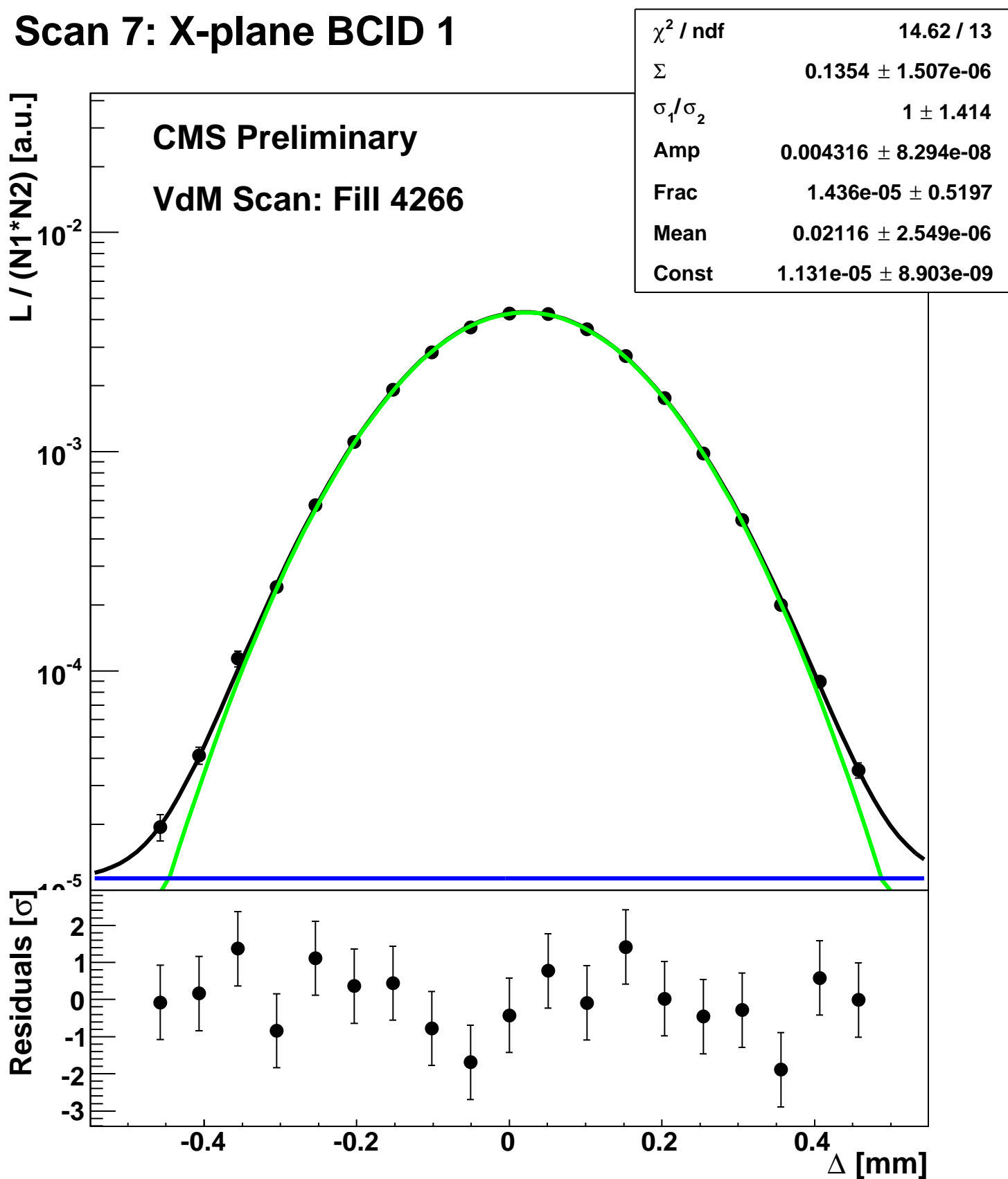
Scan 7: X-plane BCID 1831



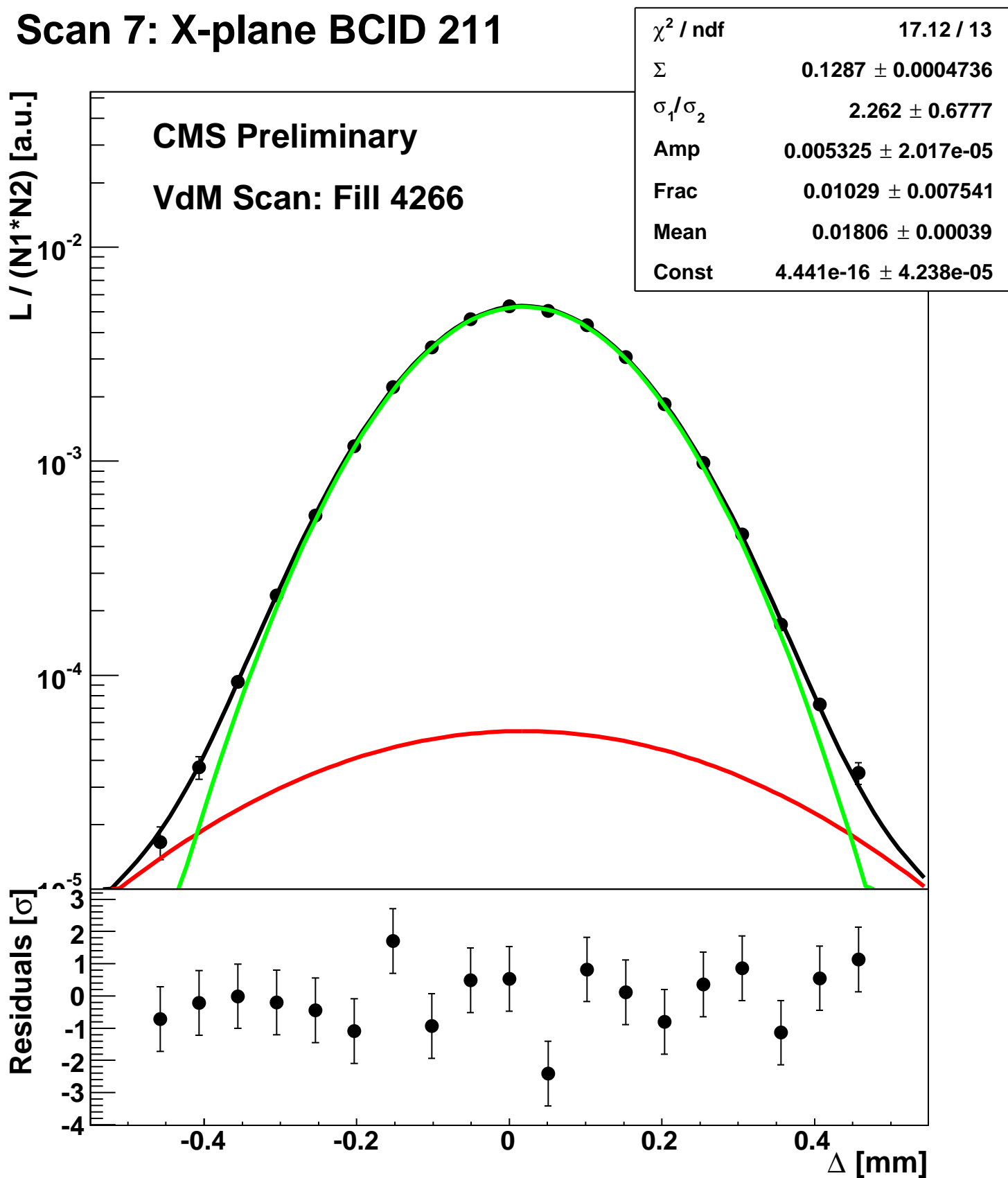
Scan 7: X-plane BCID 1871



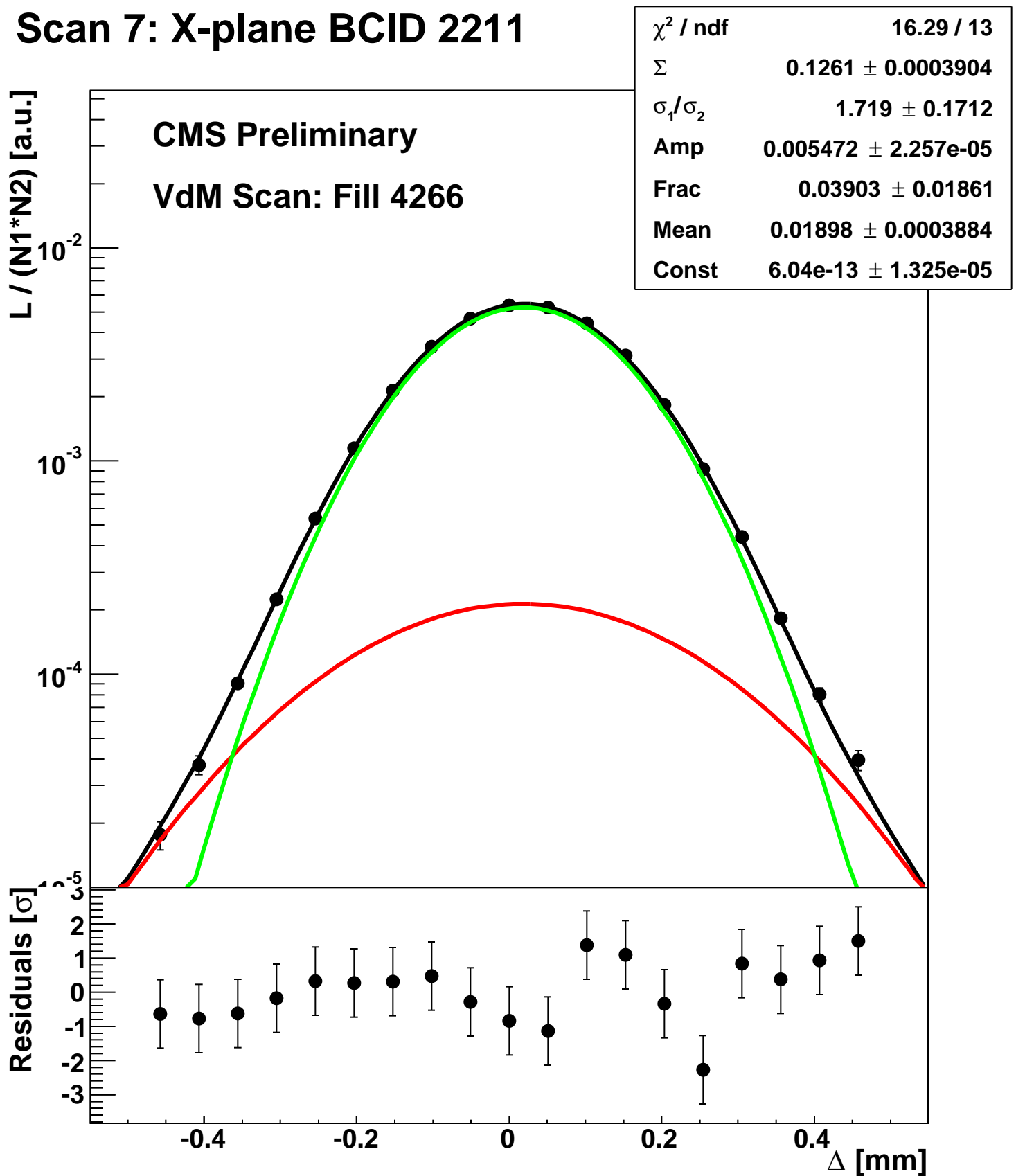
Scan 7: X-plane BCID 1



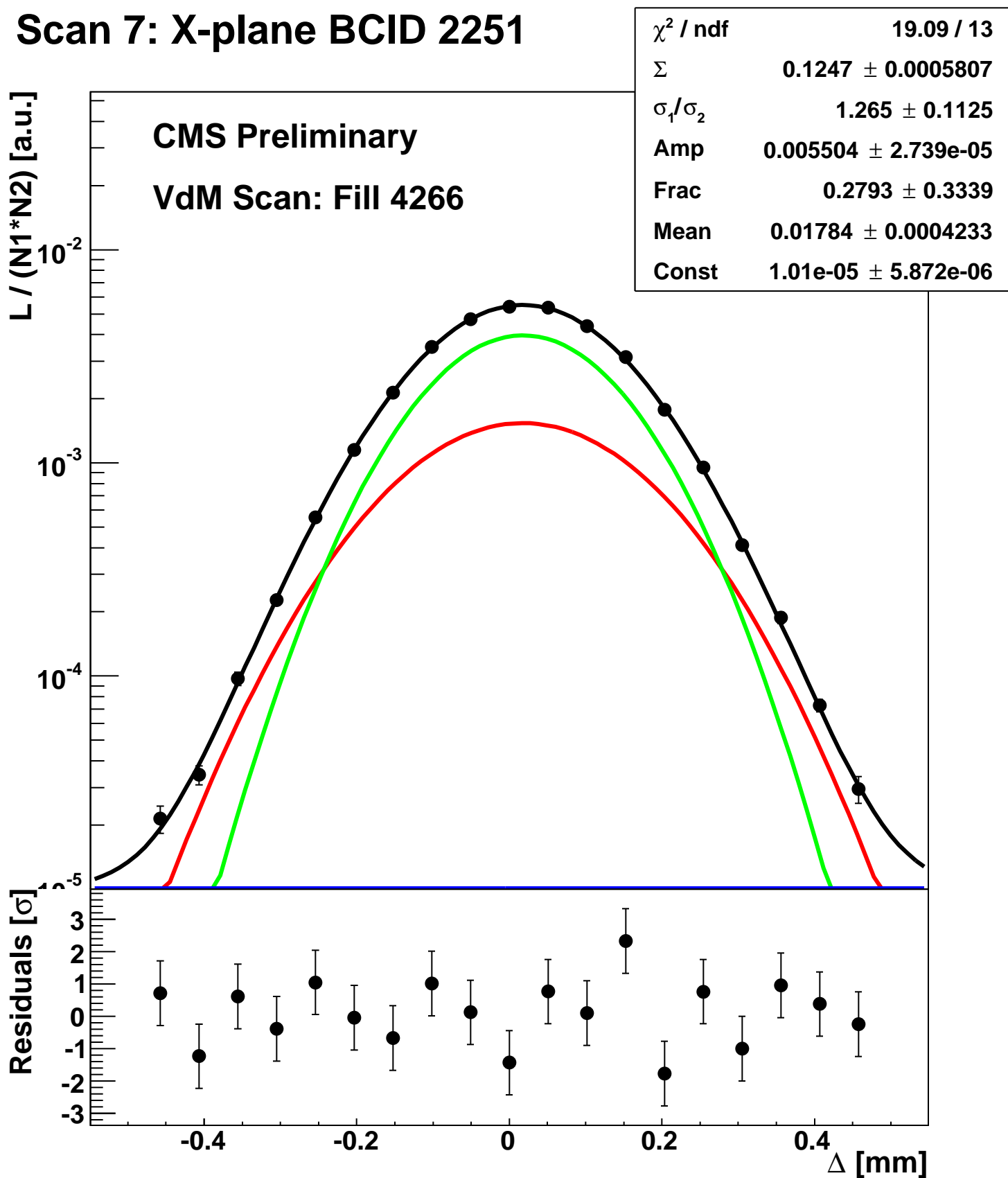
Scan 7: X-plane BCID 211



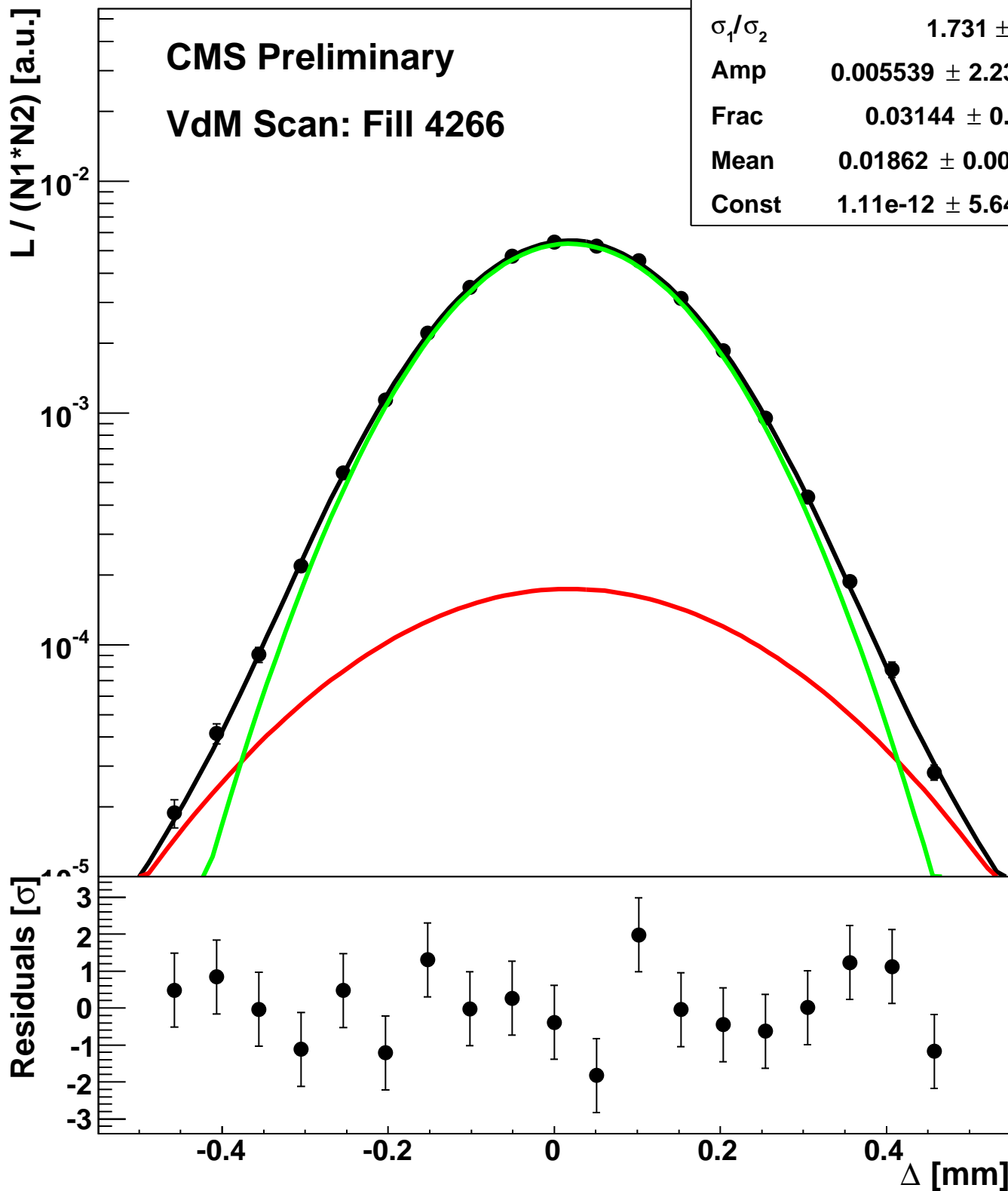
Scan 7: X-plane BCID 2211



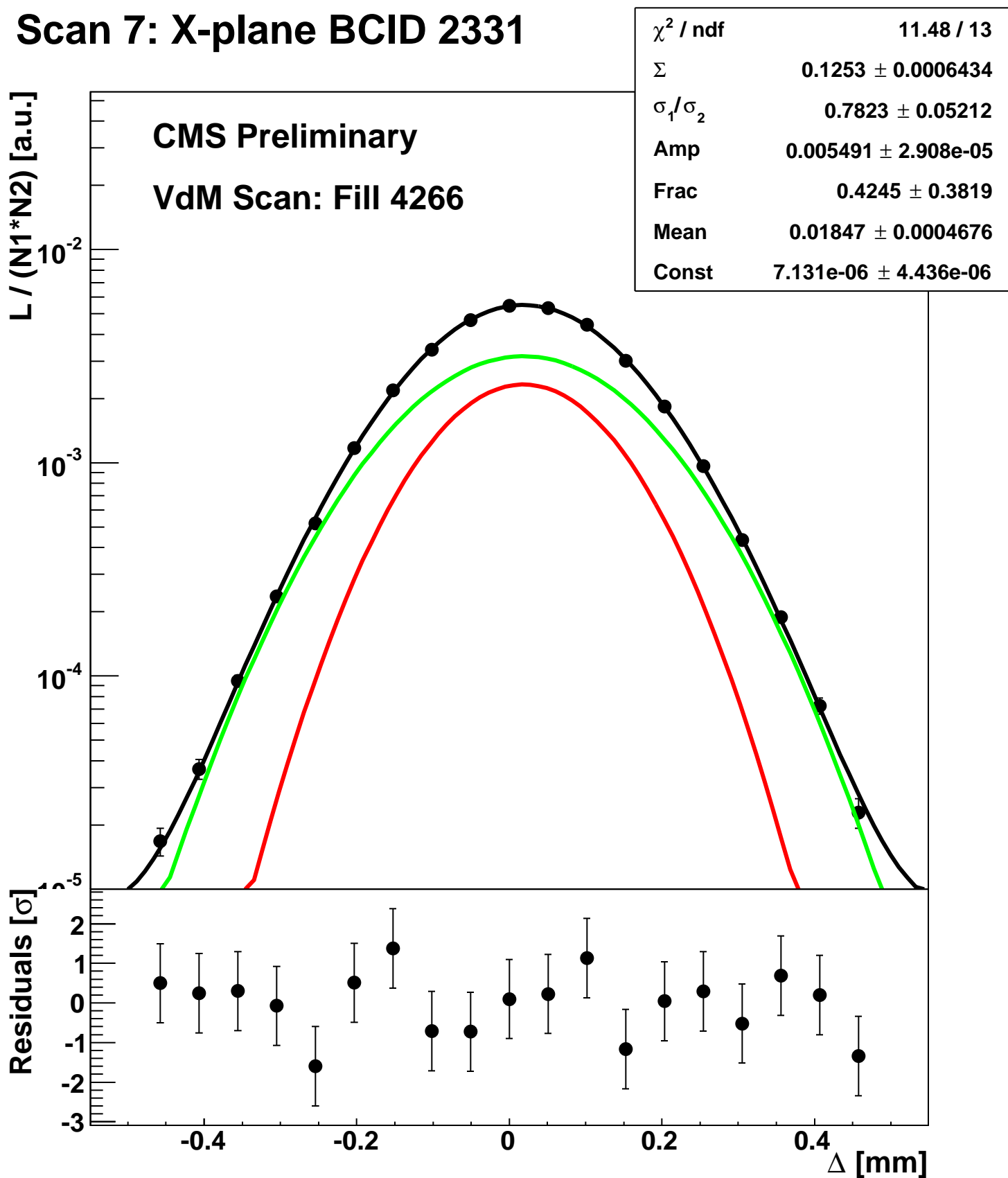
Scan 7: X-plane BCID 2251



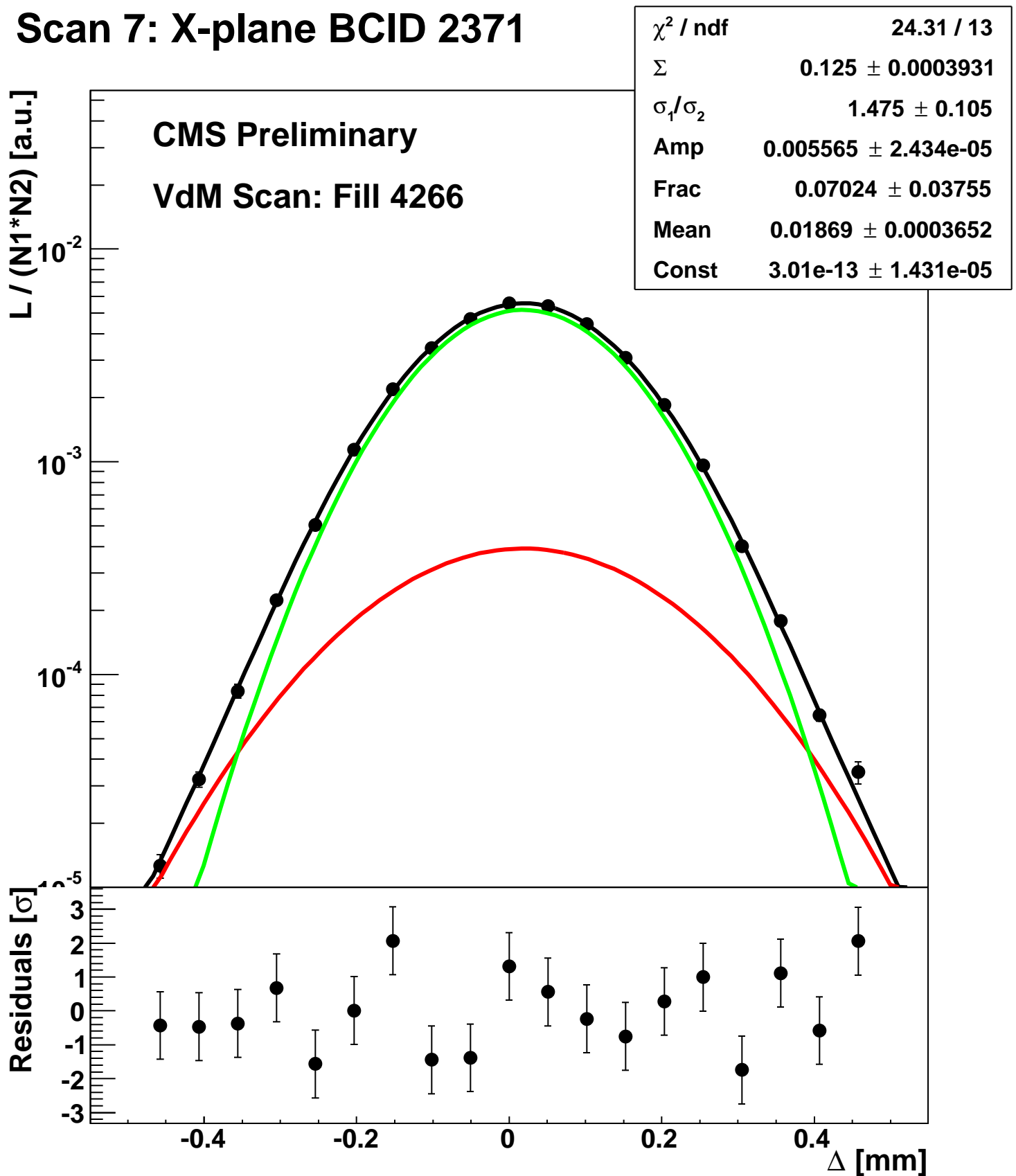
Scan 7: X-plane BCID 2291



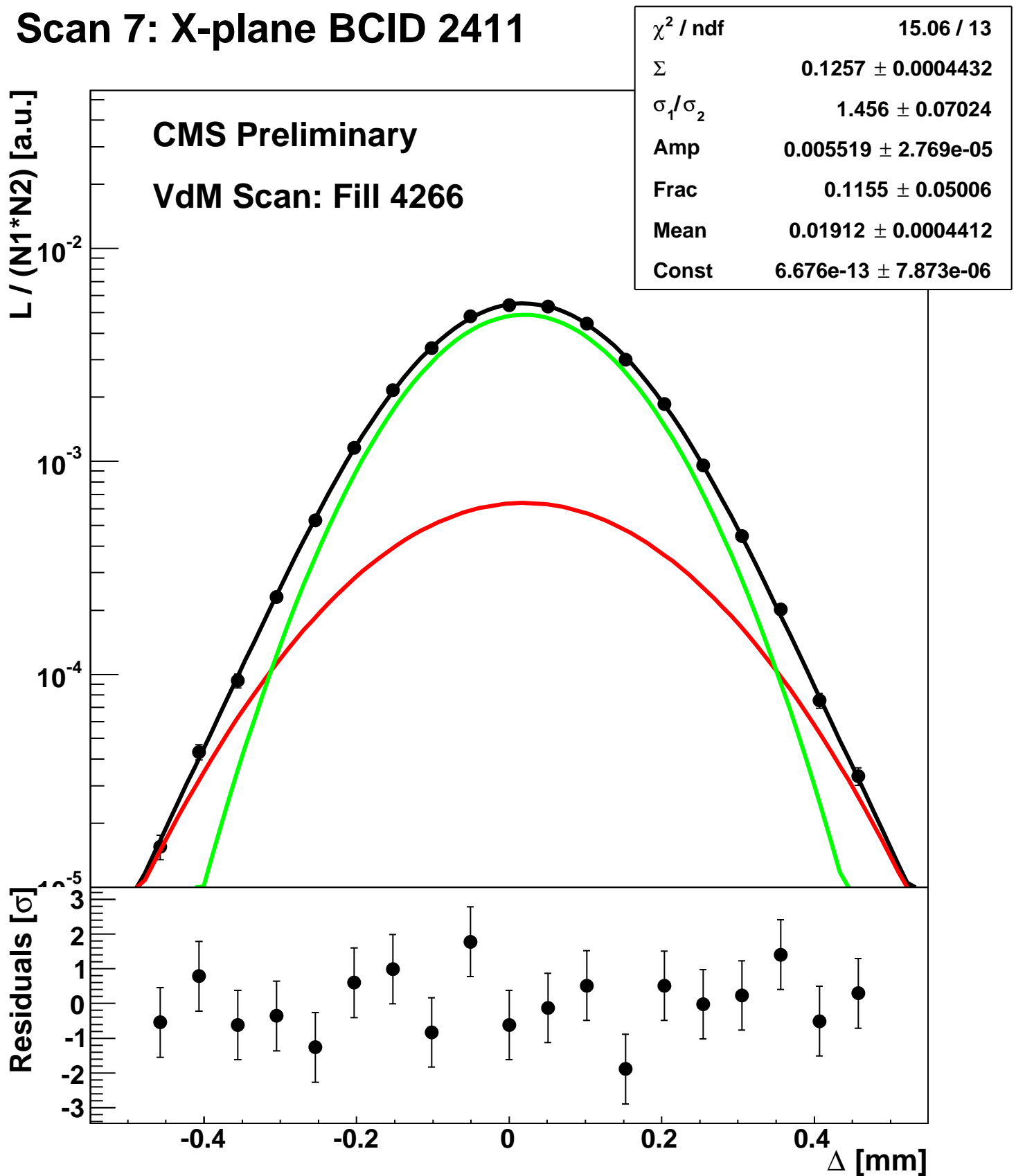
Scan 7: X-plane BCID 2331



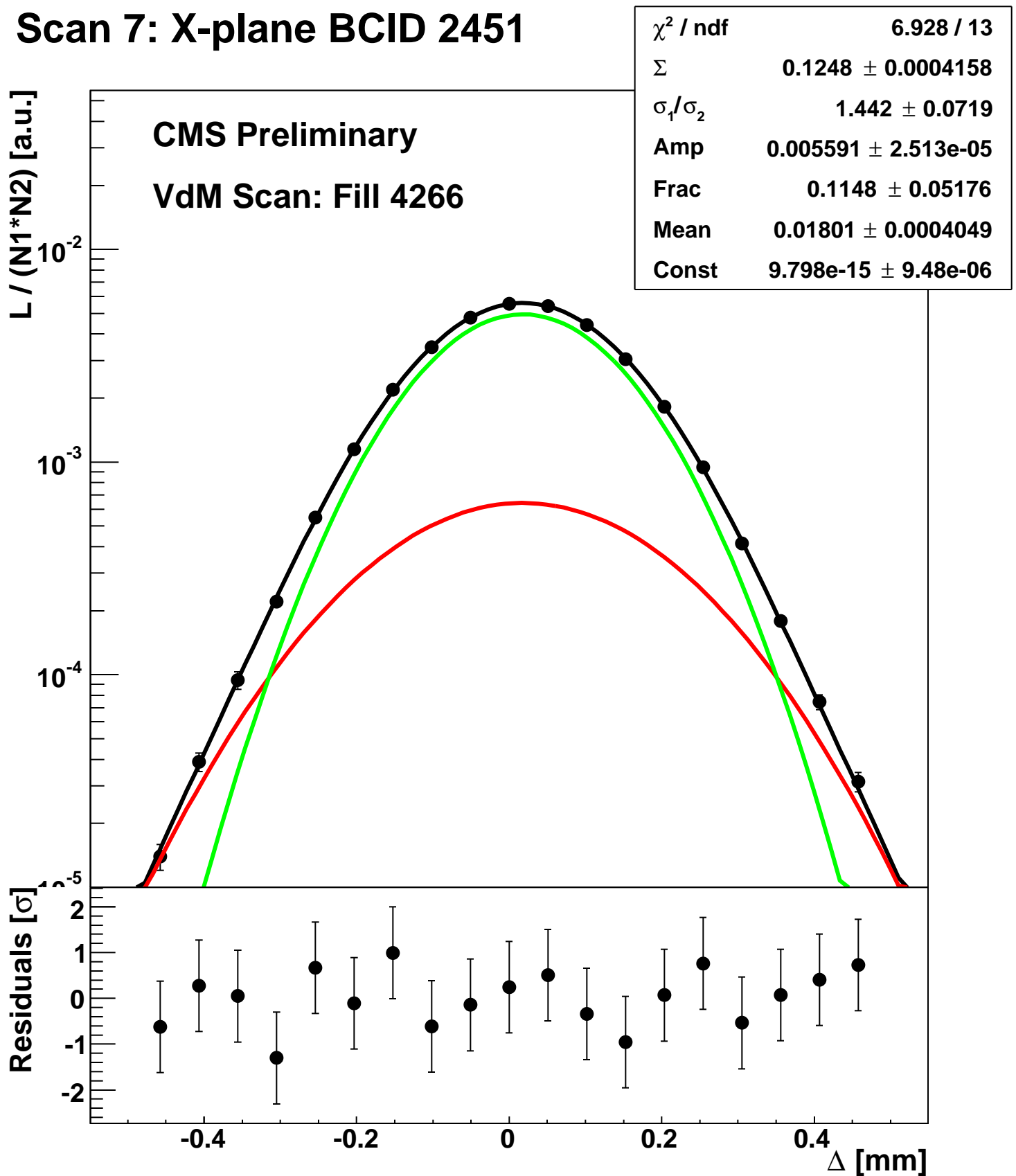
Scan 7: X-plane BCID 2371



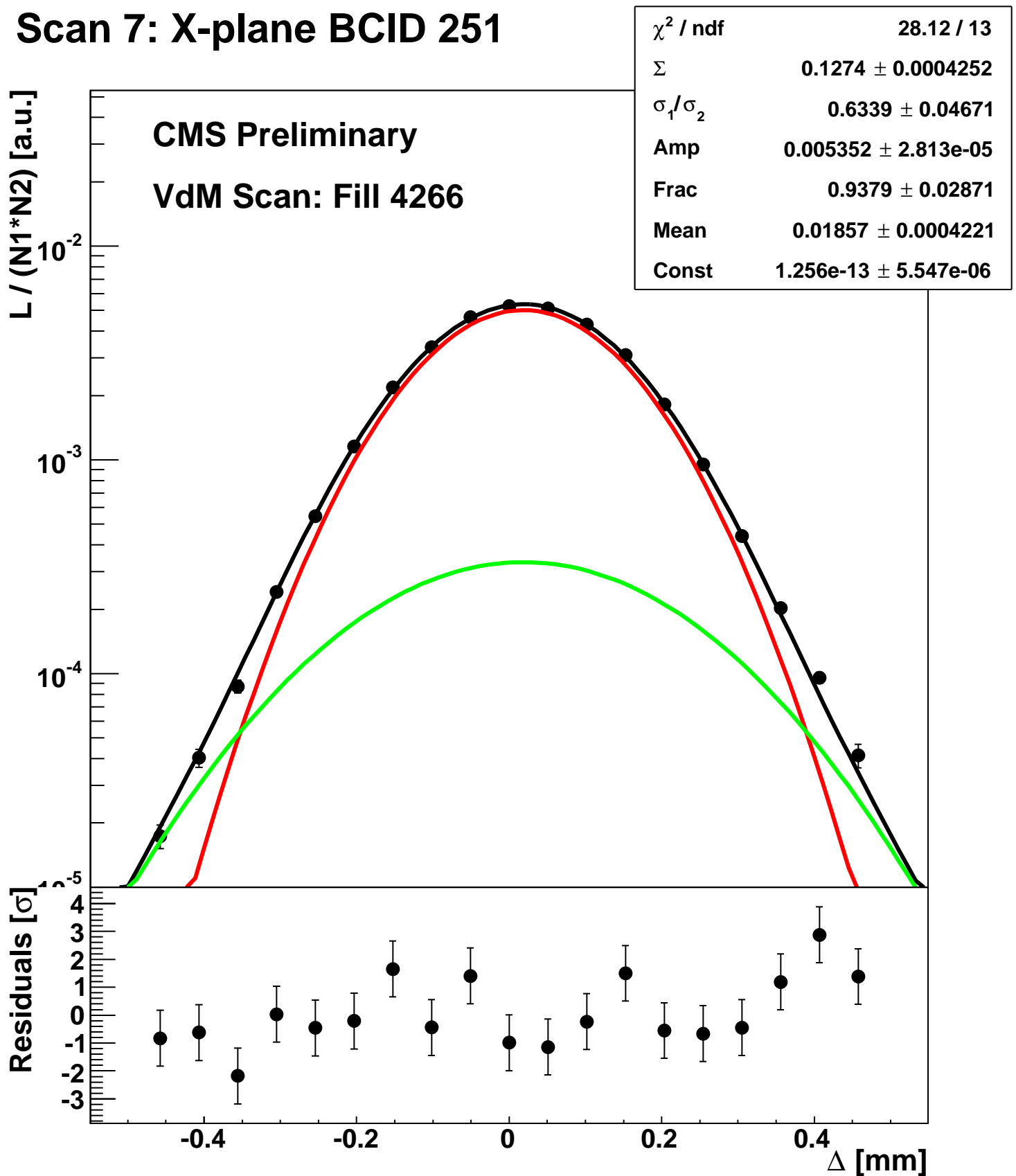
Scan 7: X-plane BCID 2411



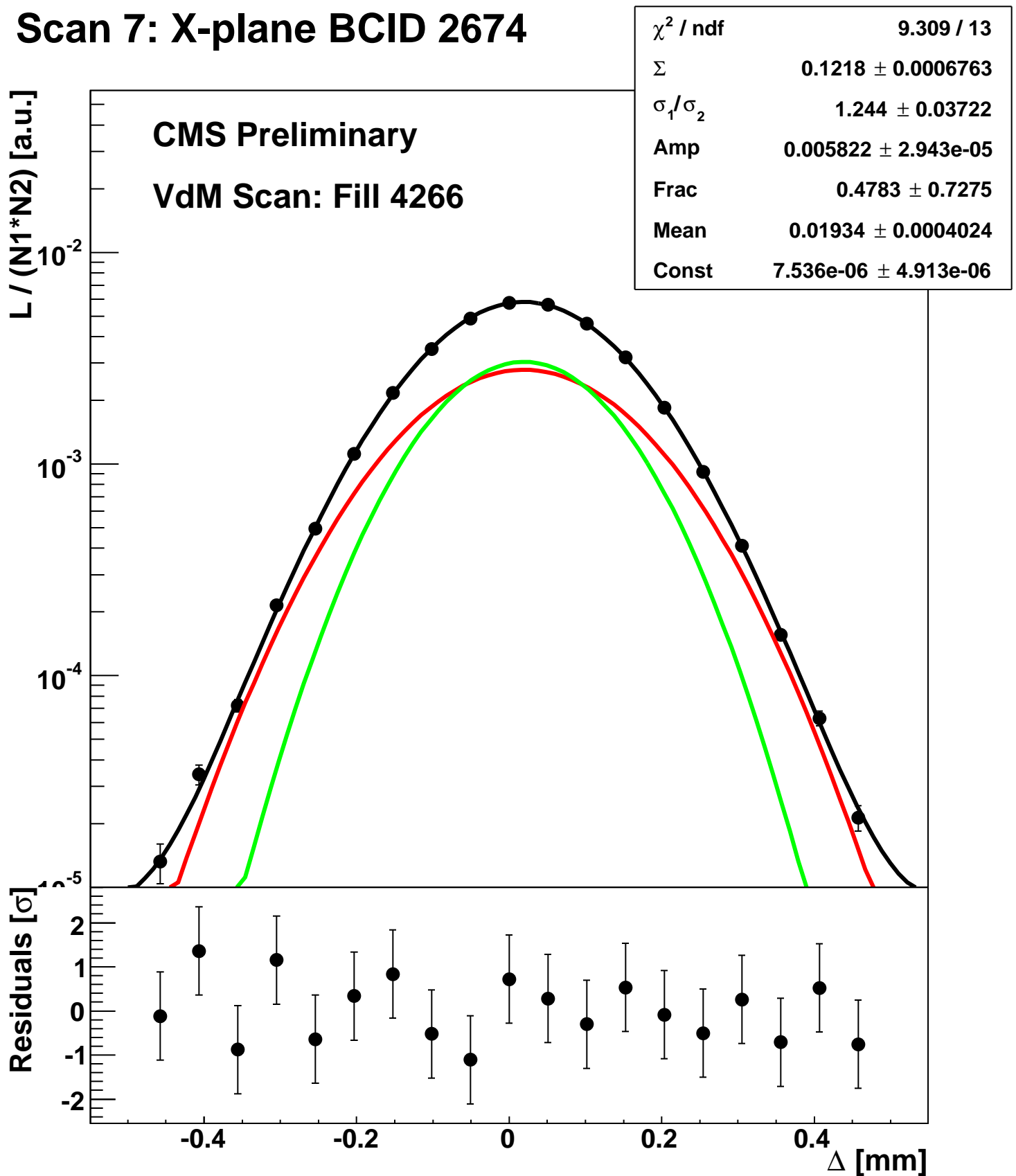
Scan 7: X-plane BCID 2451



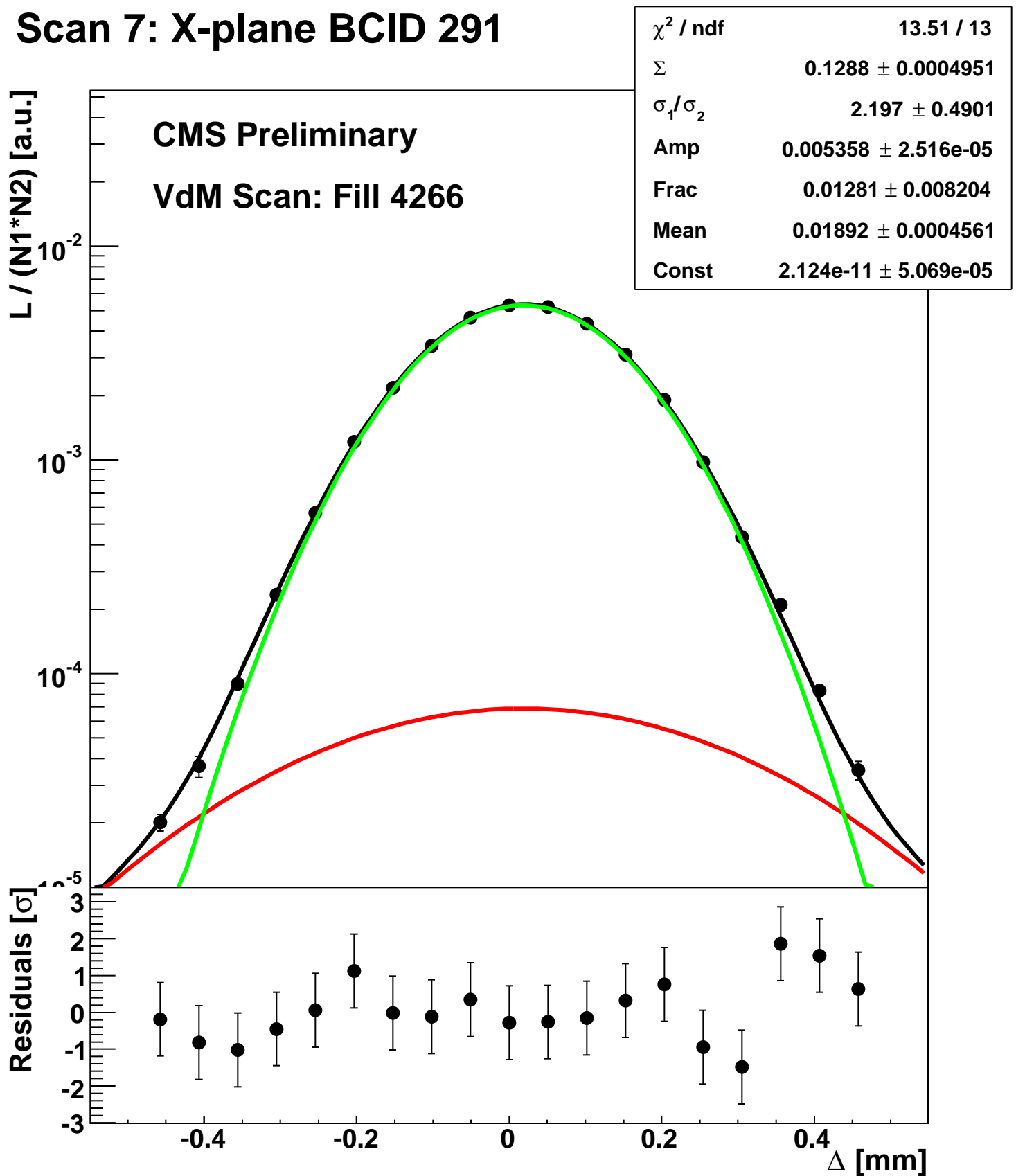
Scan 7: X-plane BCID 251



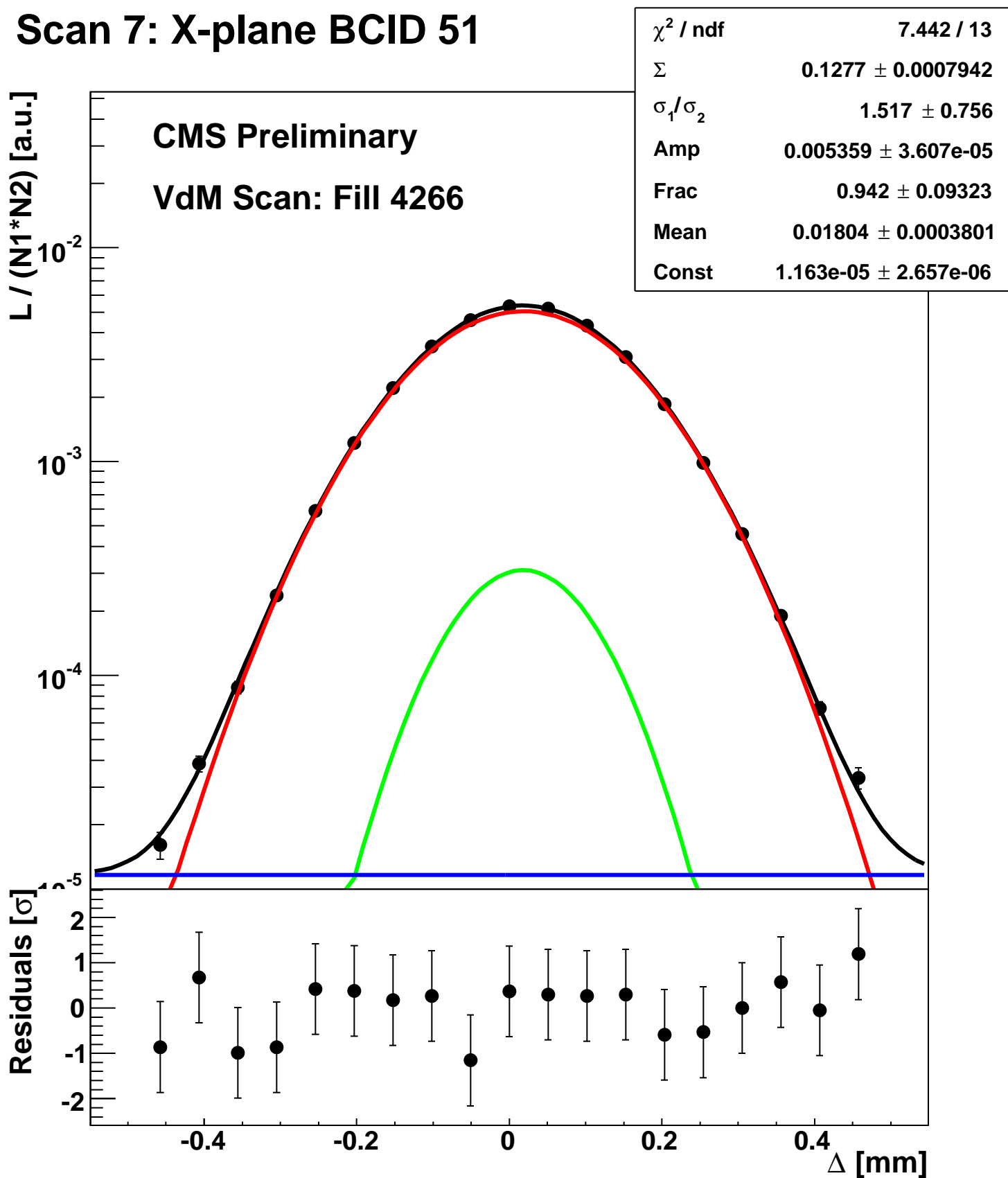
Scan 7: X-plane BCID 2674



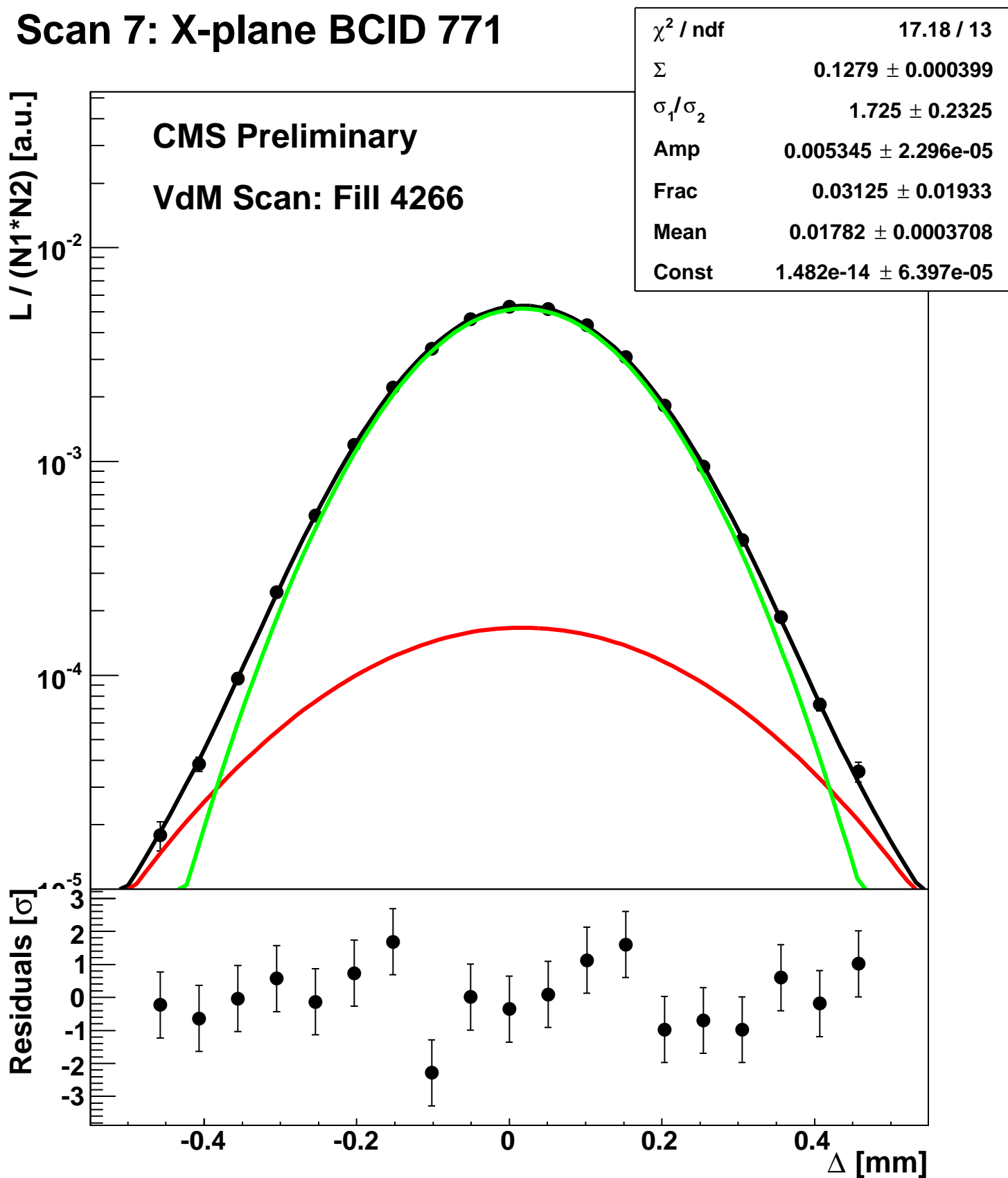
Scan 7: X-plane BCID 291



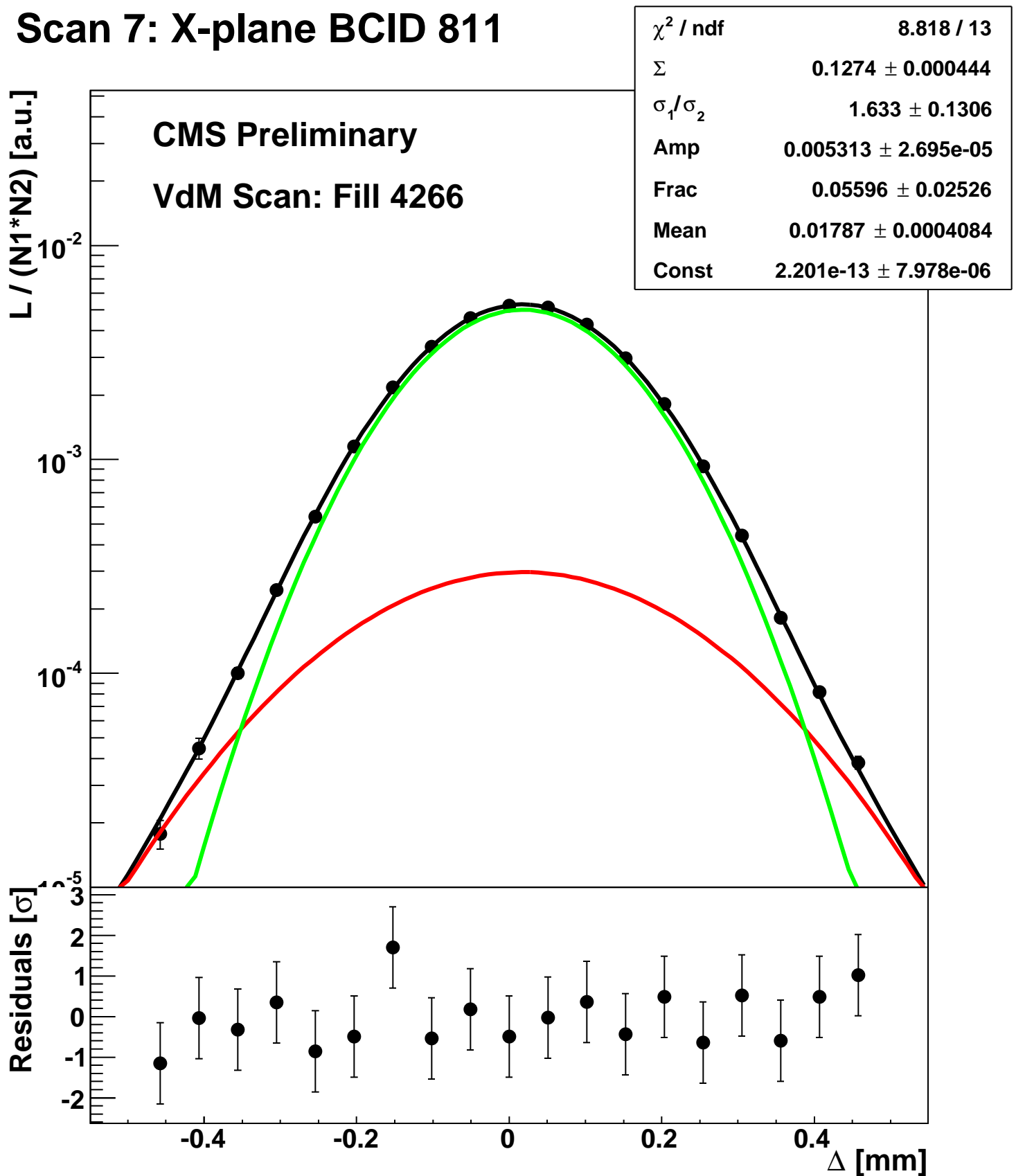
Scan 7: X-plane BCID 51



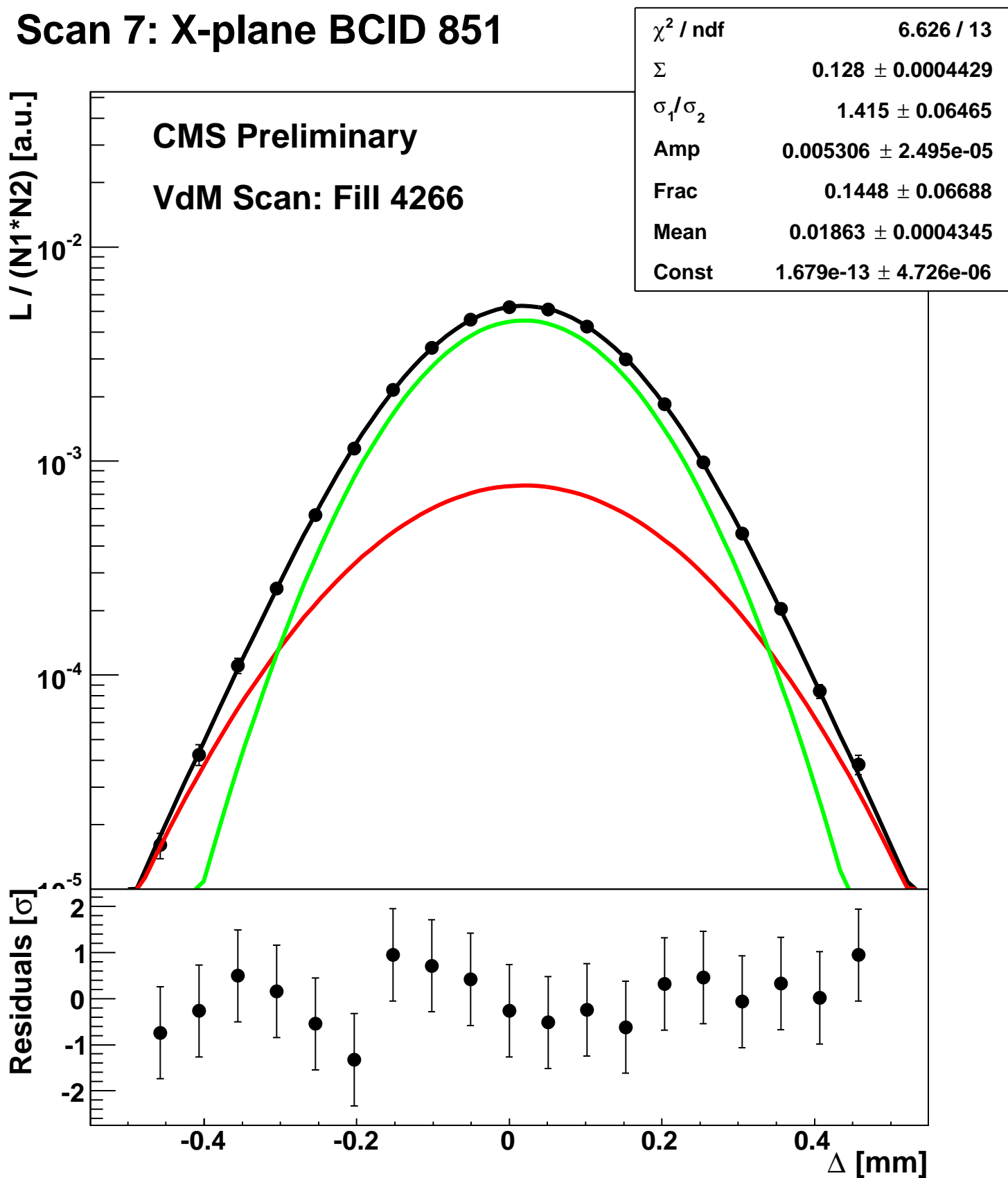
Scan 7: X-plane BCID 771



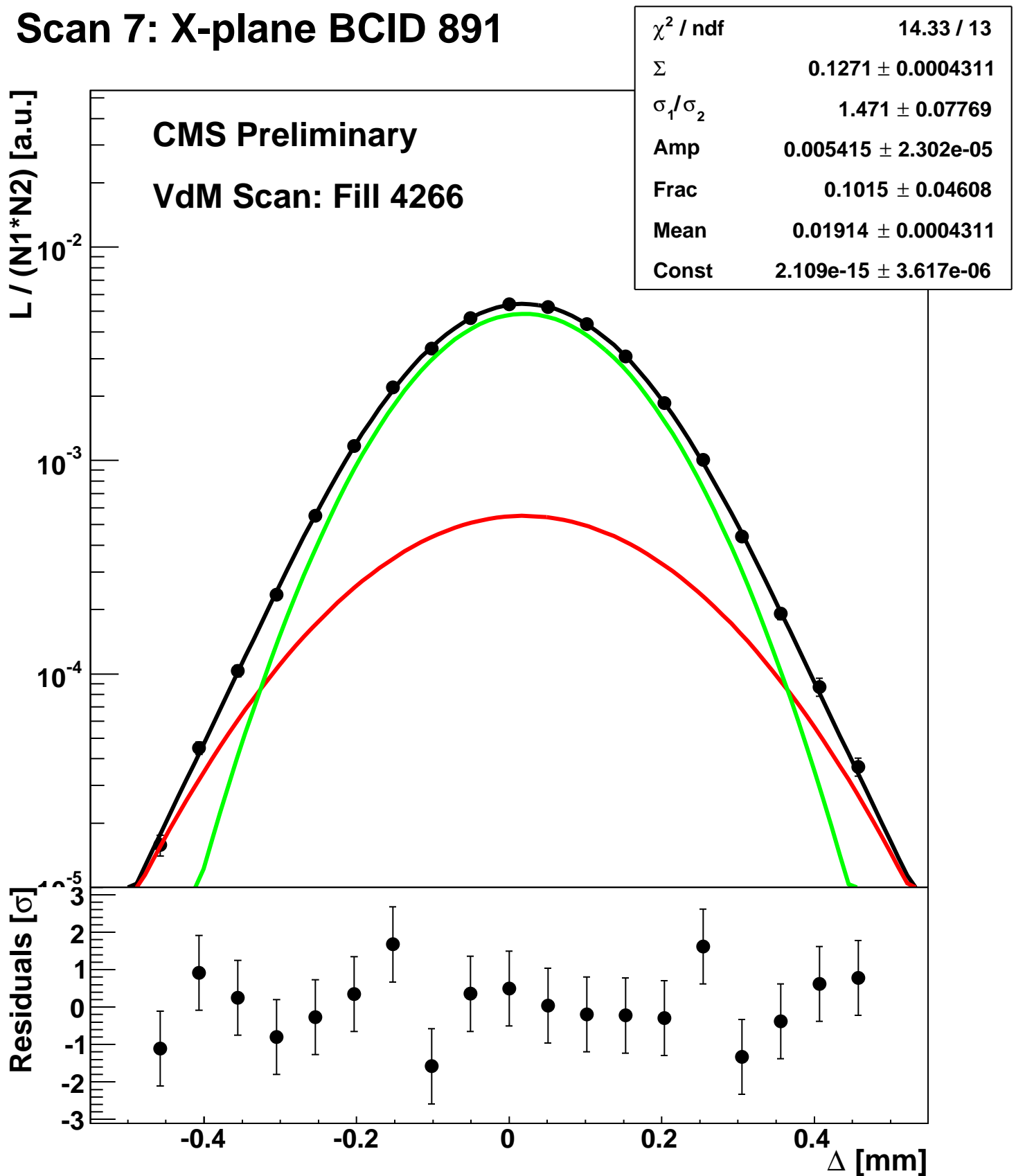
Scan 7: X-plane BCID 811



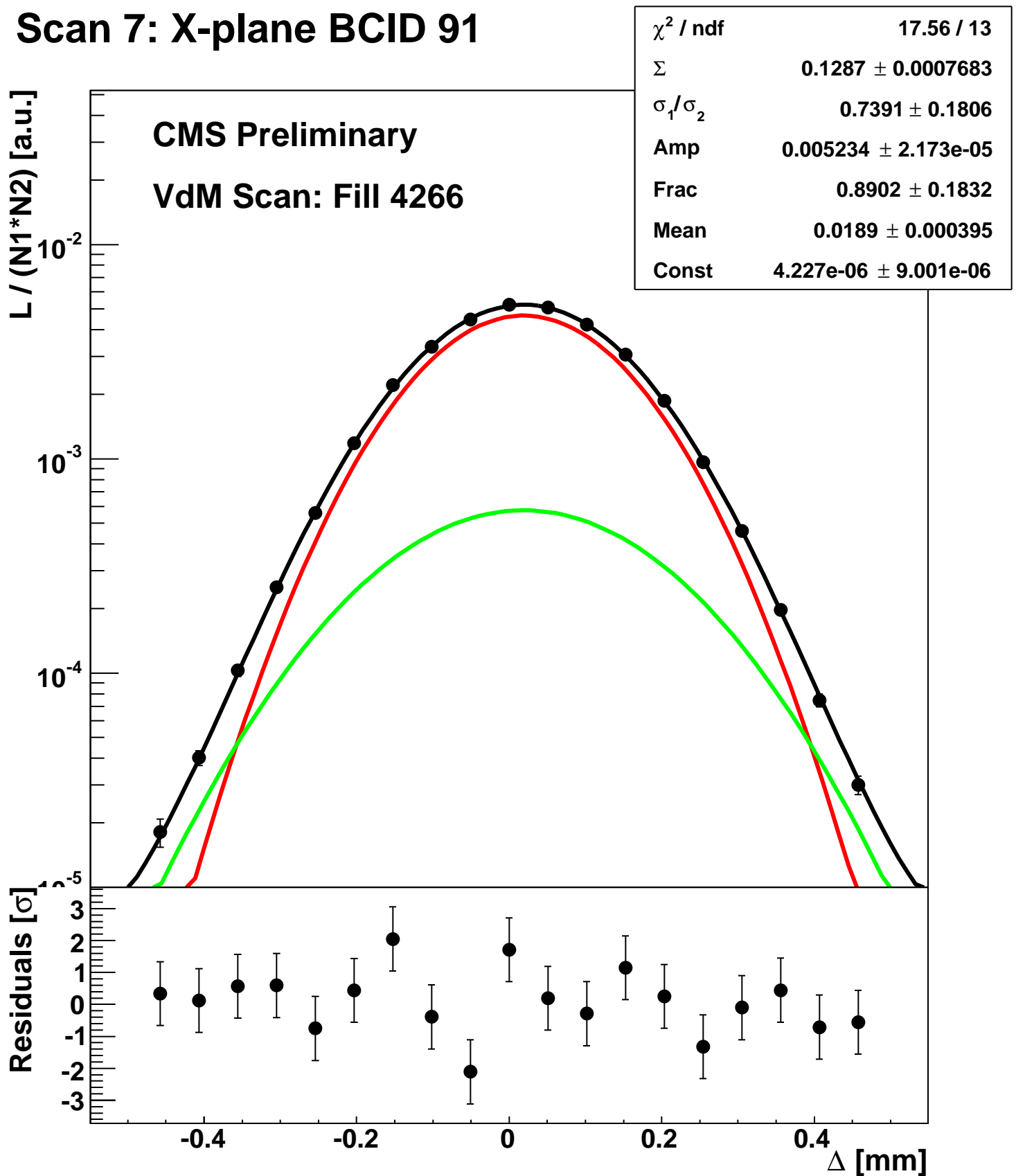
Scan 7: X-plane BCID 851



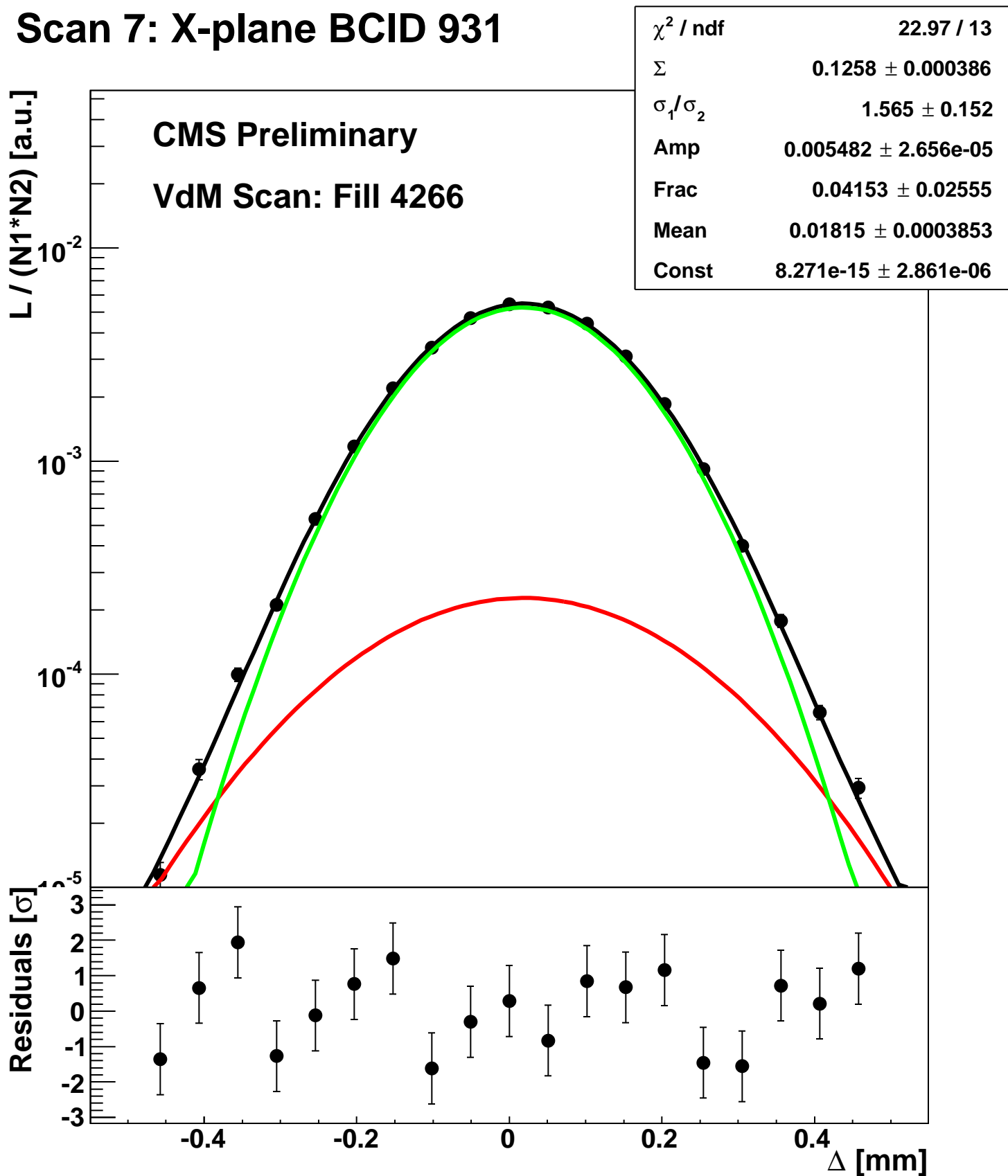
Scan 7: X-plane BCID 891



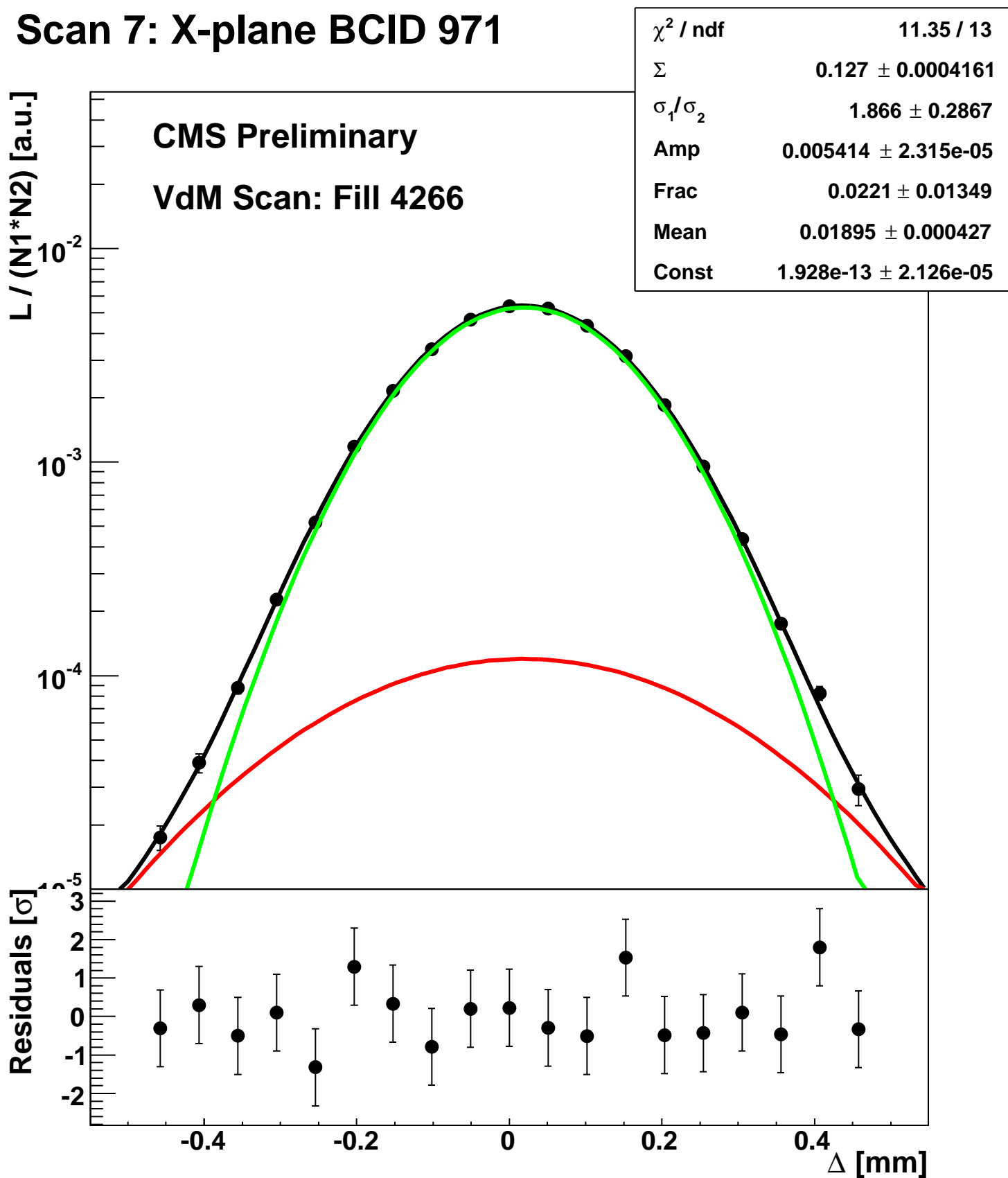
Scan 7: X-plane BCID 91



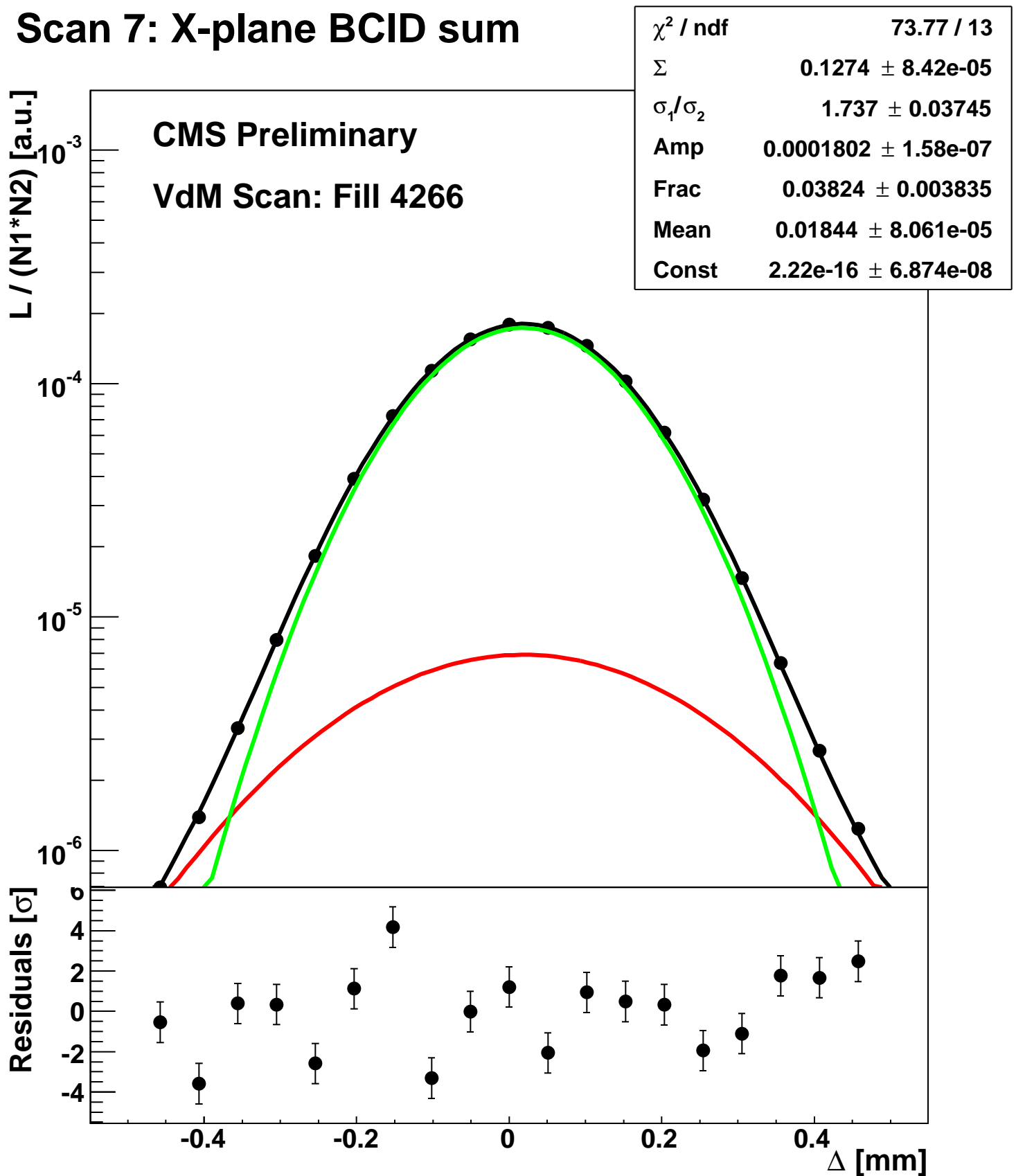
Scan 7: X-plane BCID 931



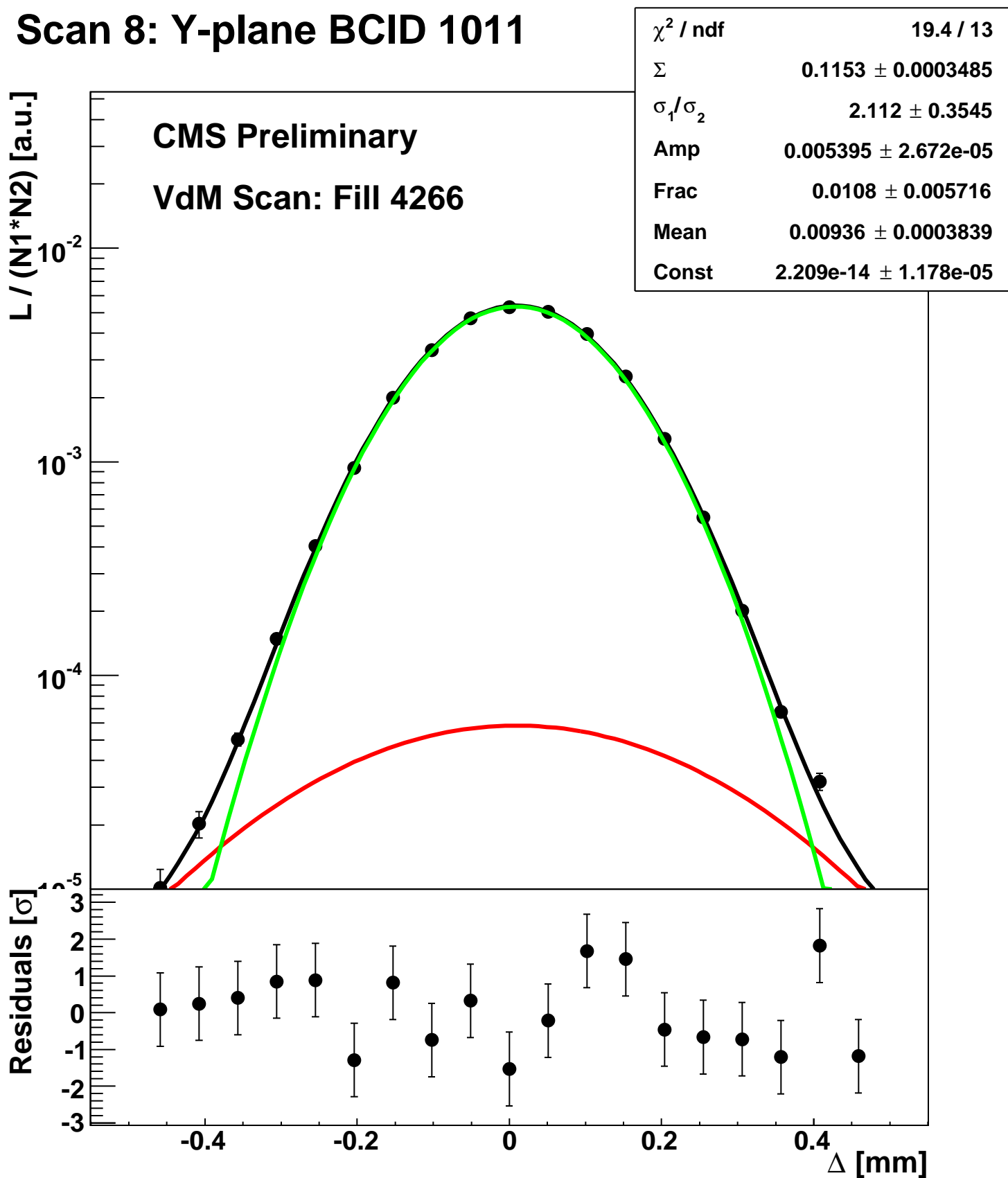
Scan 7: X-plane BCID 971



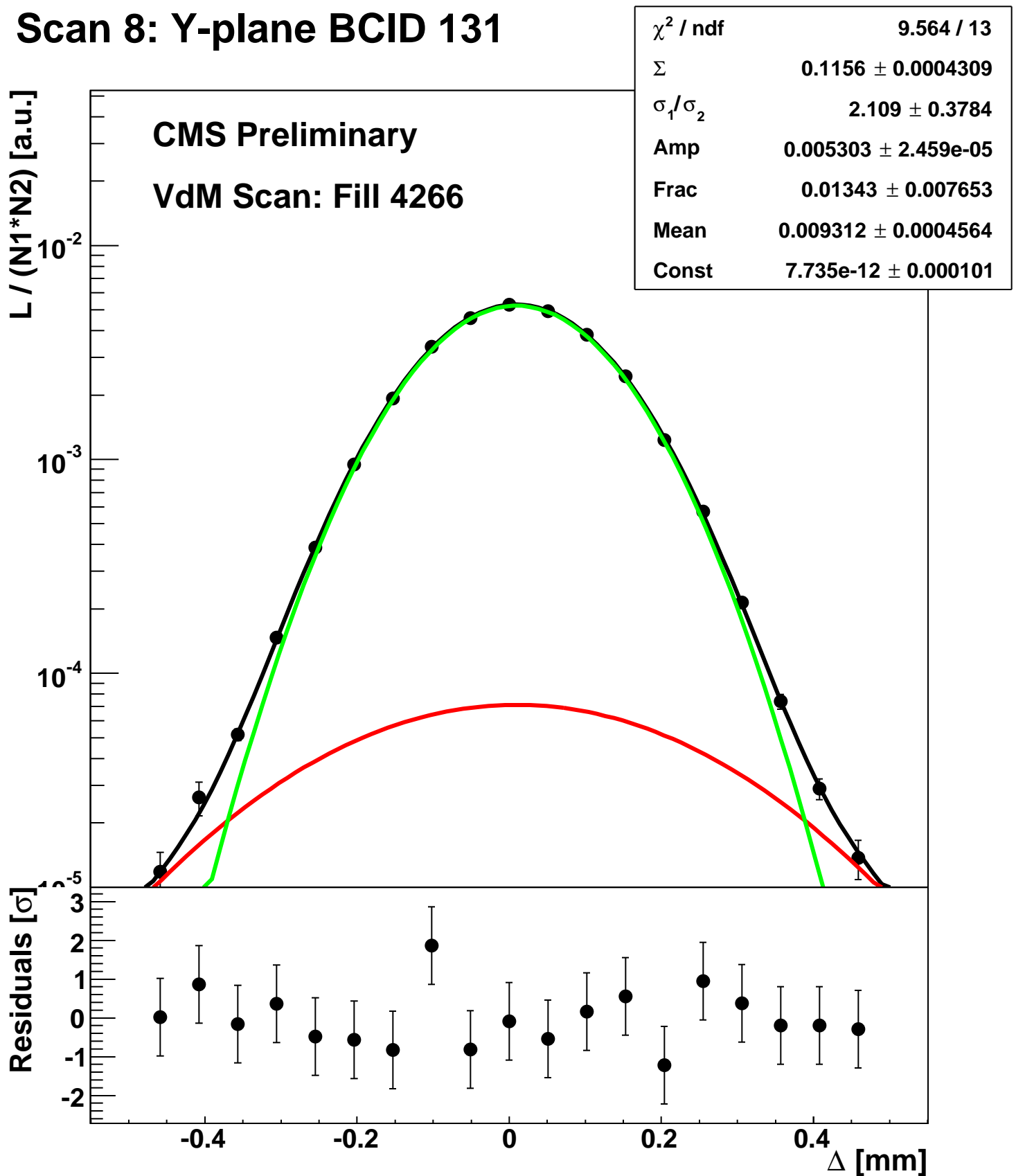
Scan 7: X-plane BCID sum



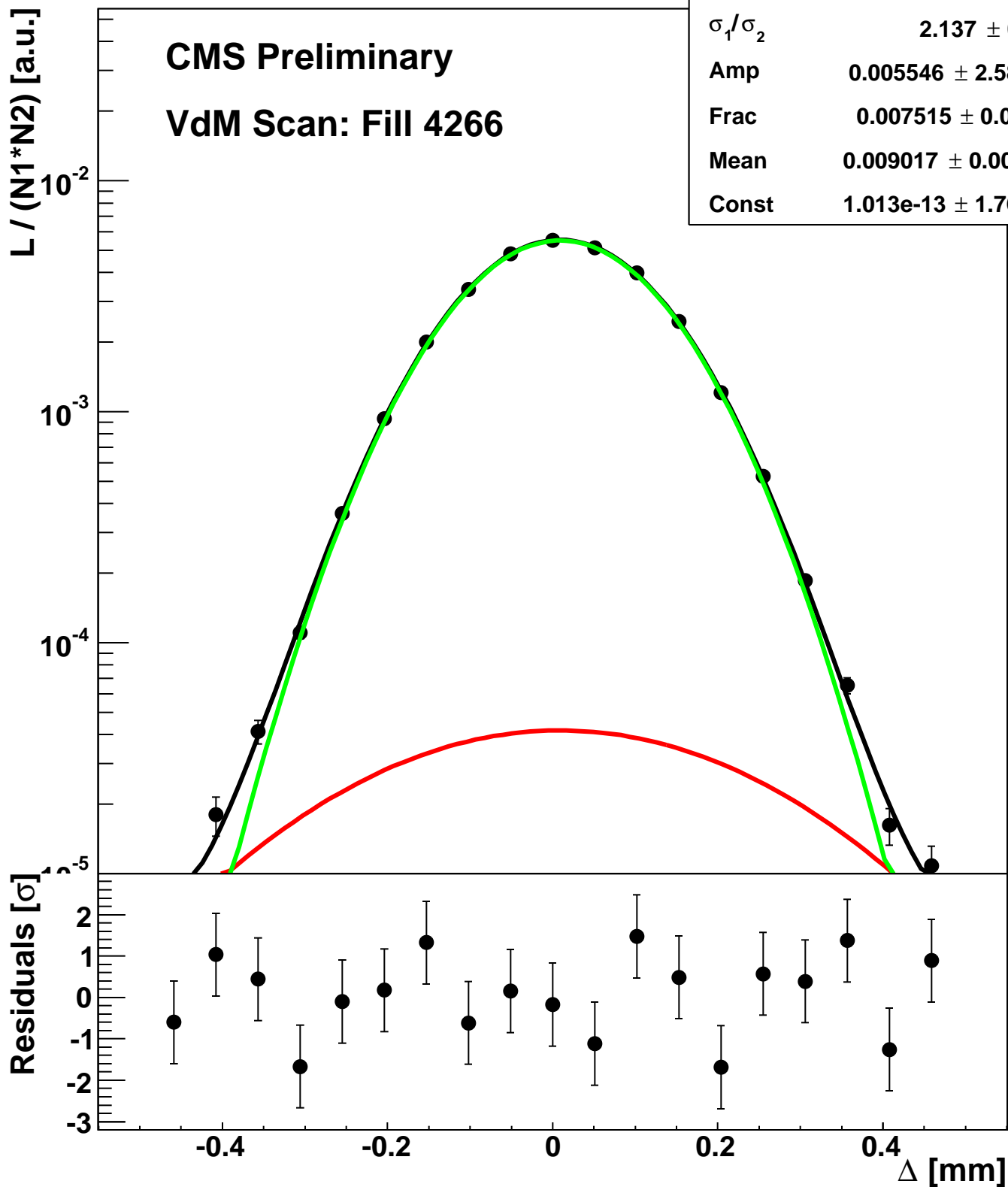
Scan 8: Y-plane BCID 1011



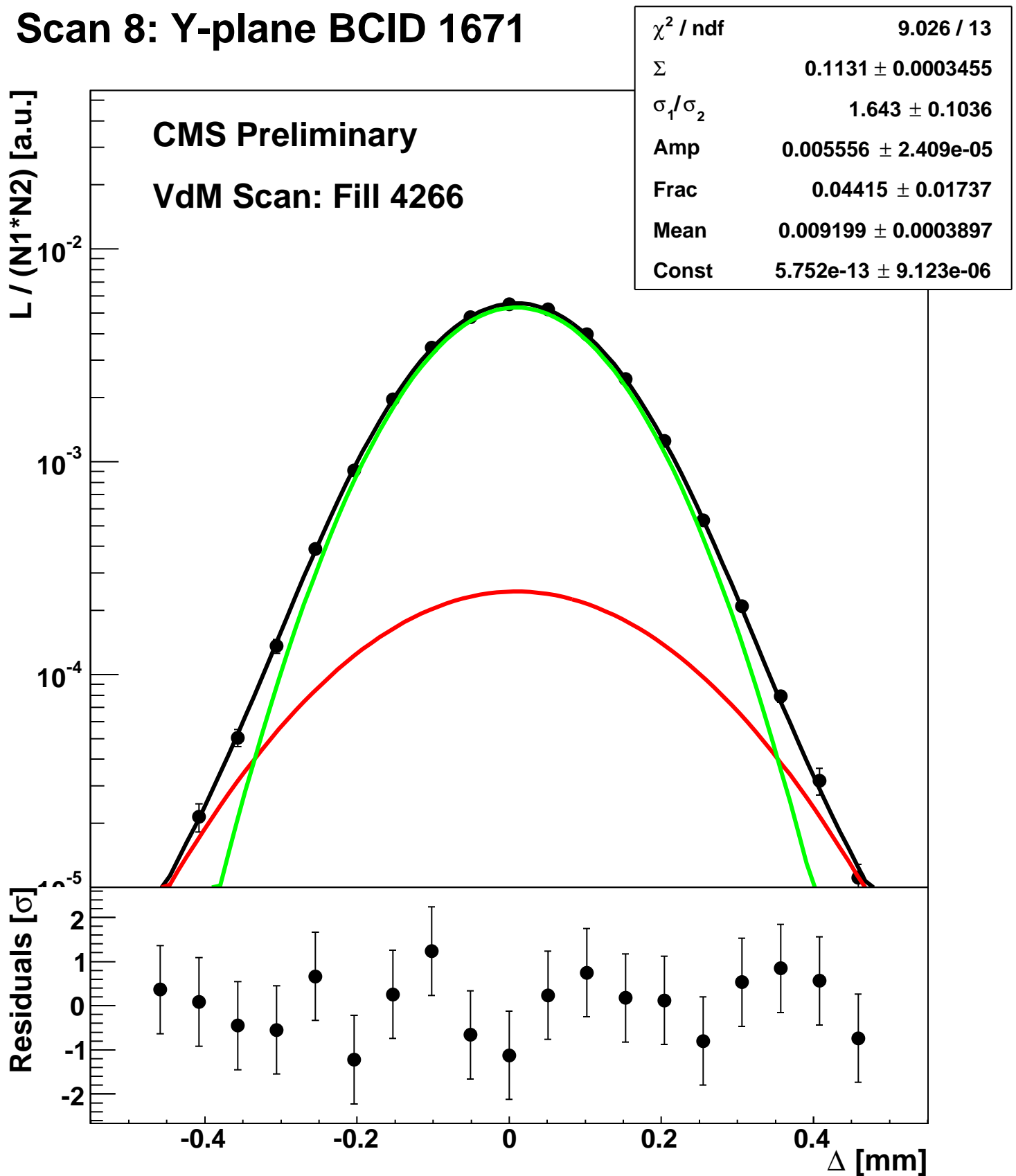
Scan 8: Y-plane BCID 131



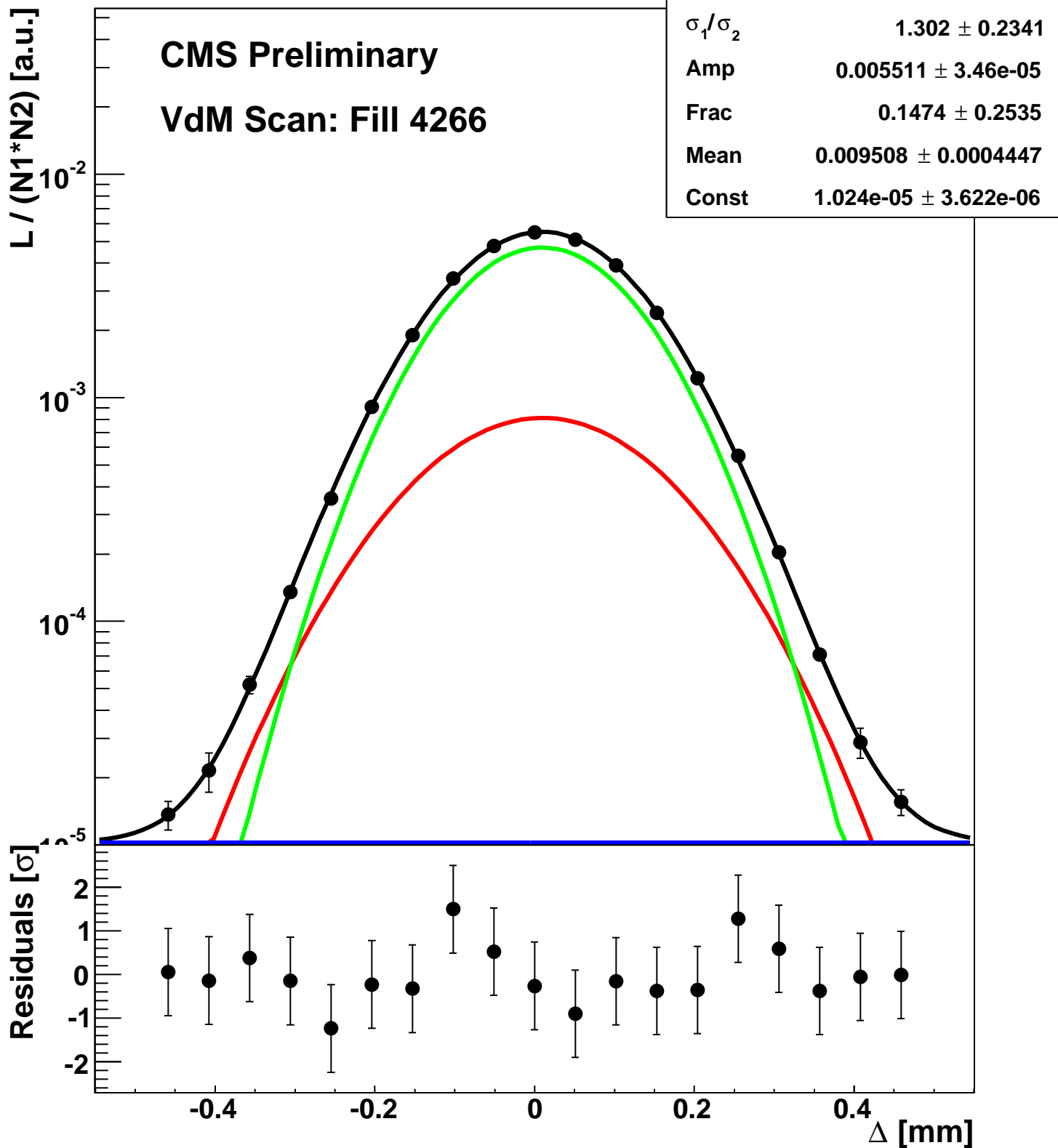
Scan 8: Y-plane BCID 1631



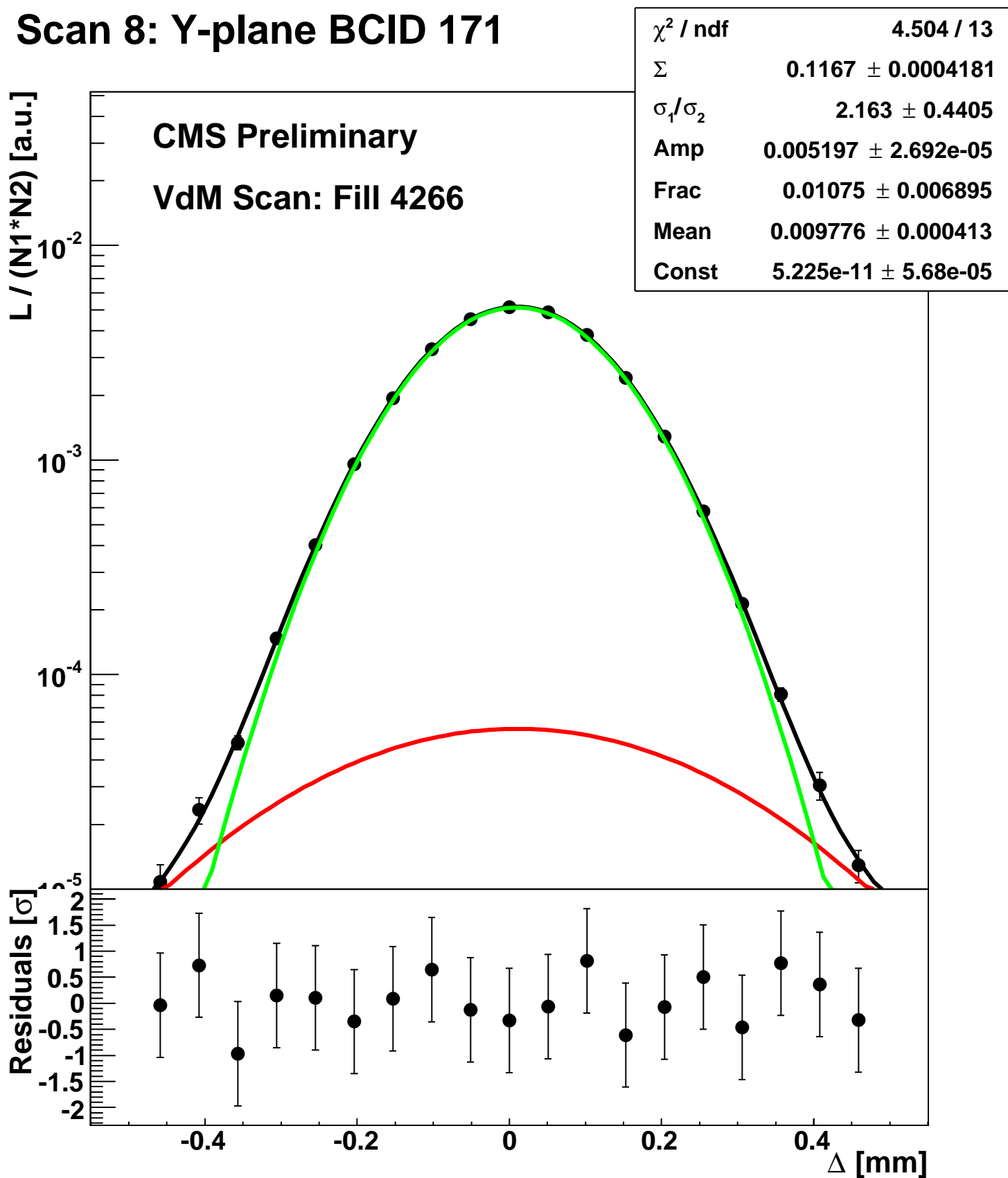
Scan 8: Y-plane BCID 1671



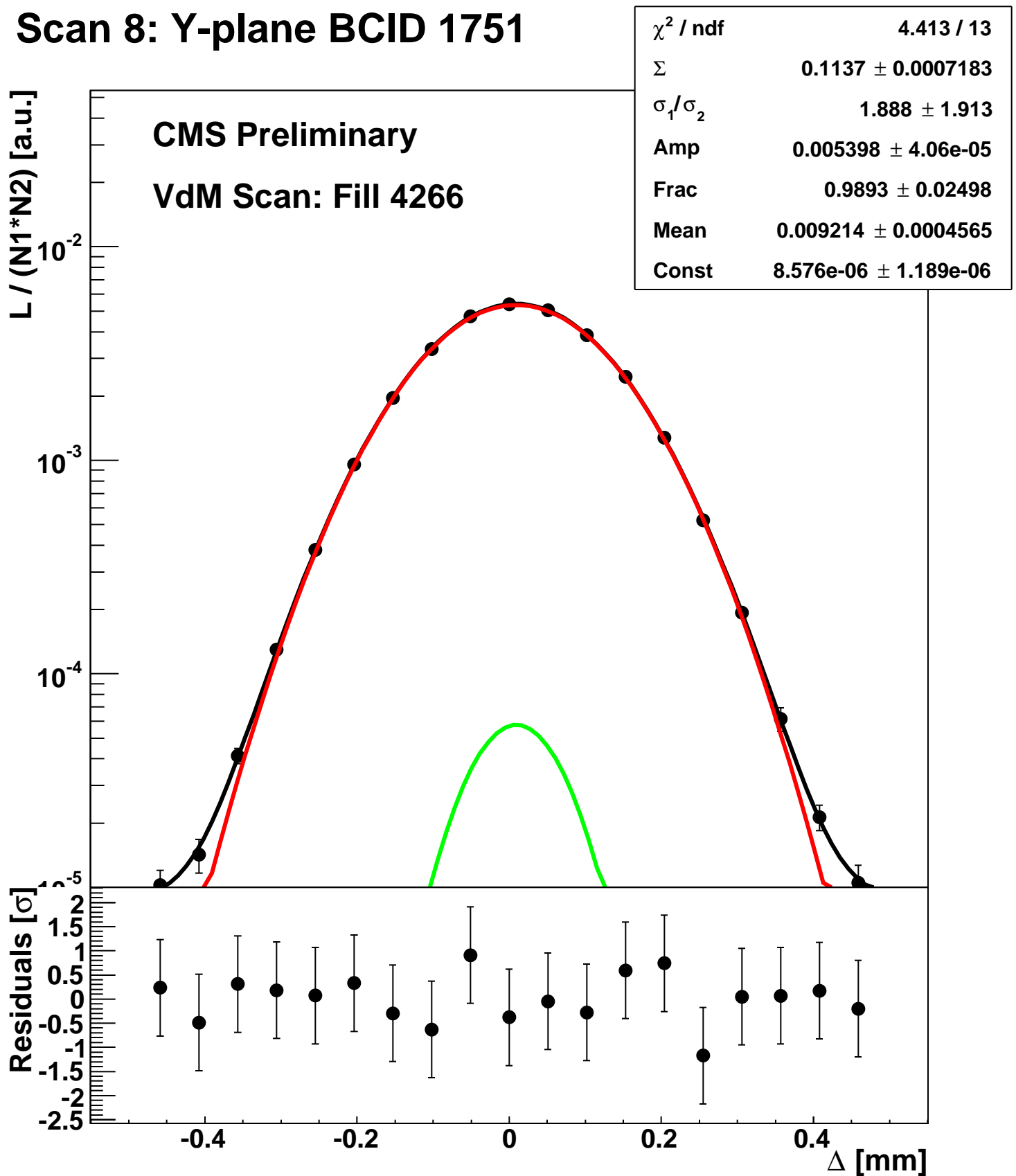
Scan 8: Y-plane BCID 1711



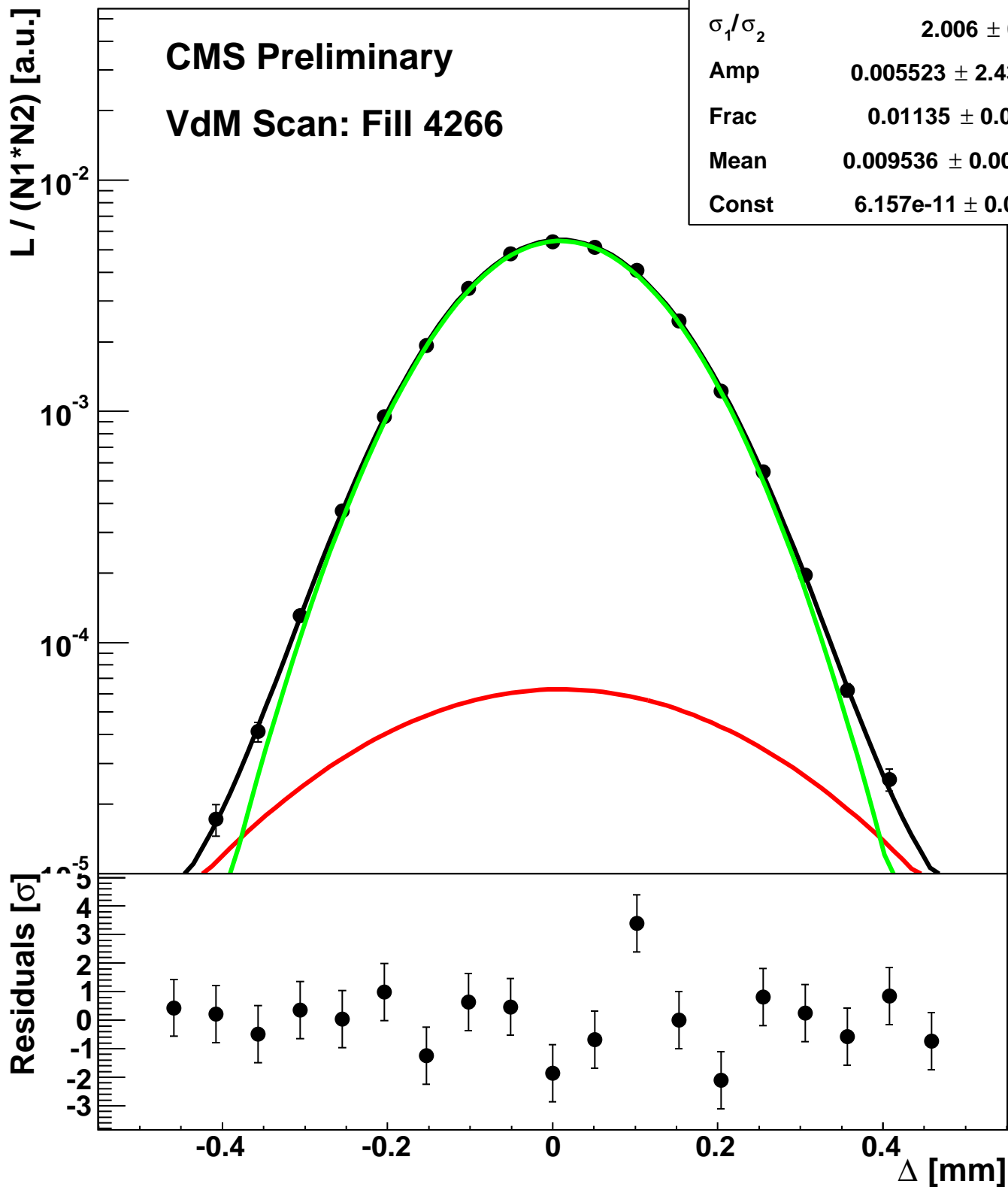
Scan 8: Y-plane BCID 171



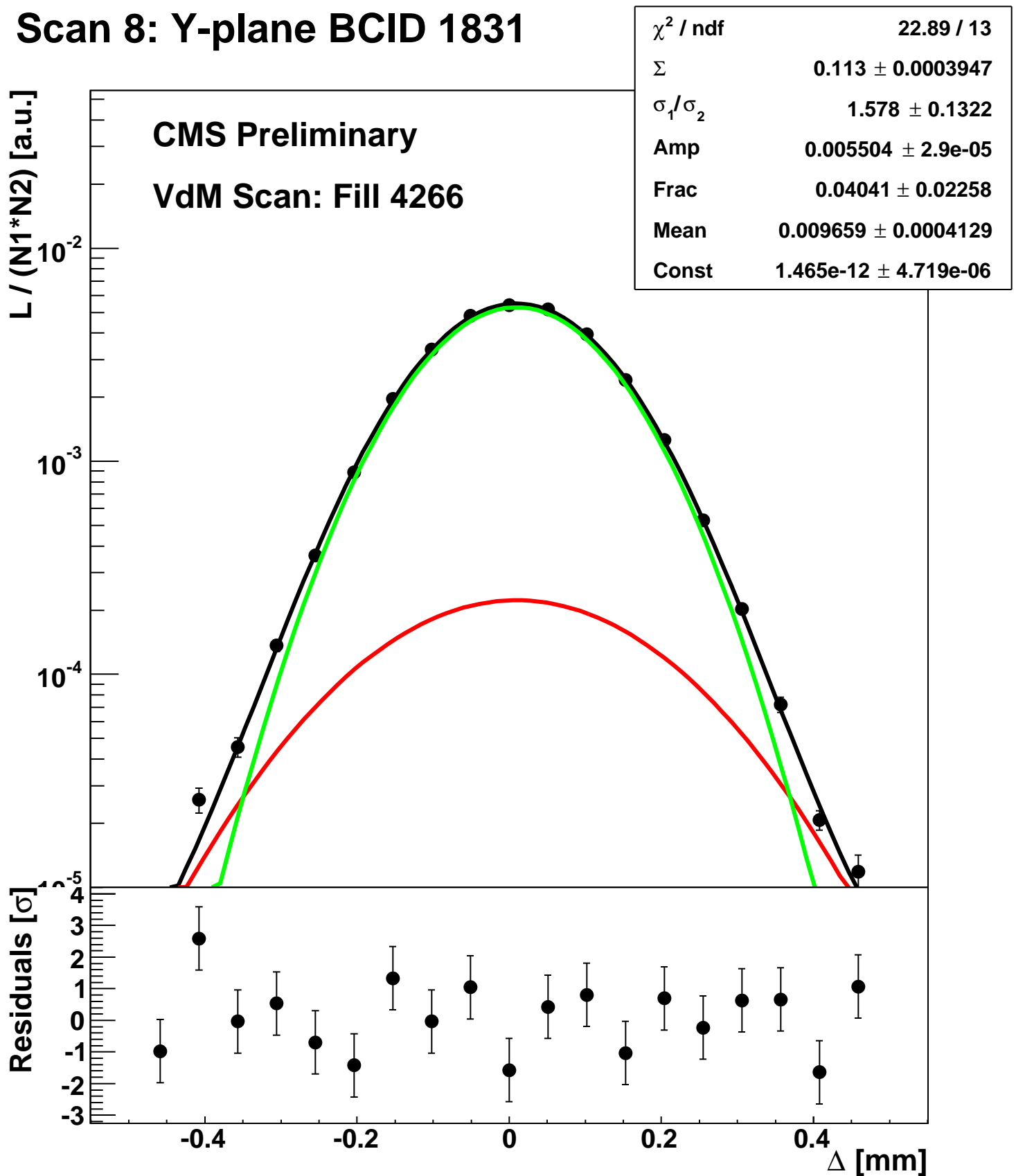
Scan 8: Y-plane BCID 1751



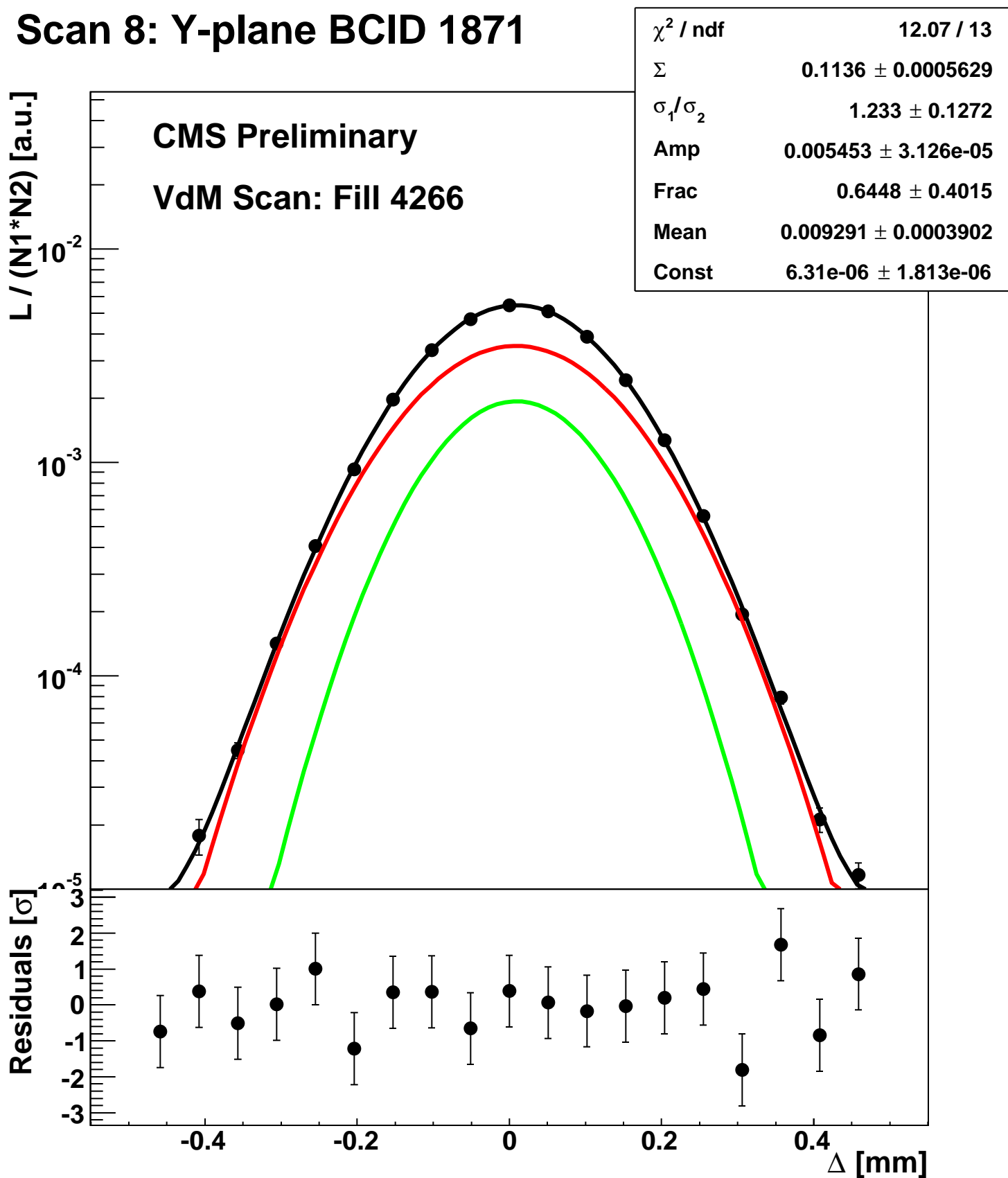
Scan 8: Y-plane BCID 1791



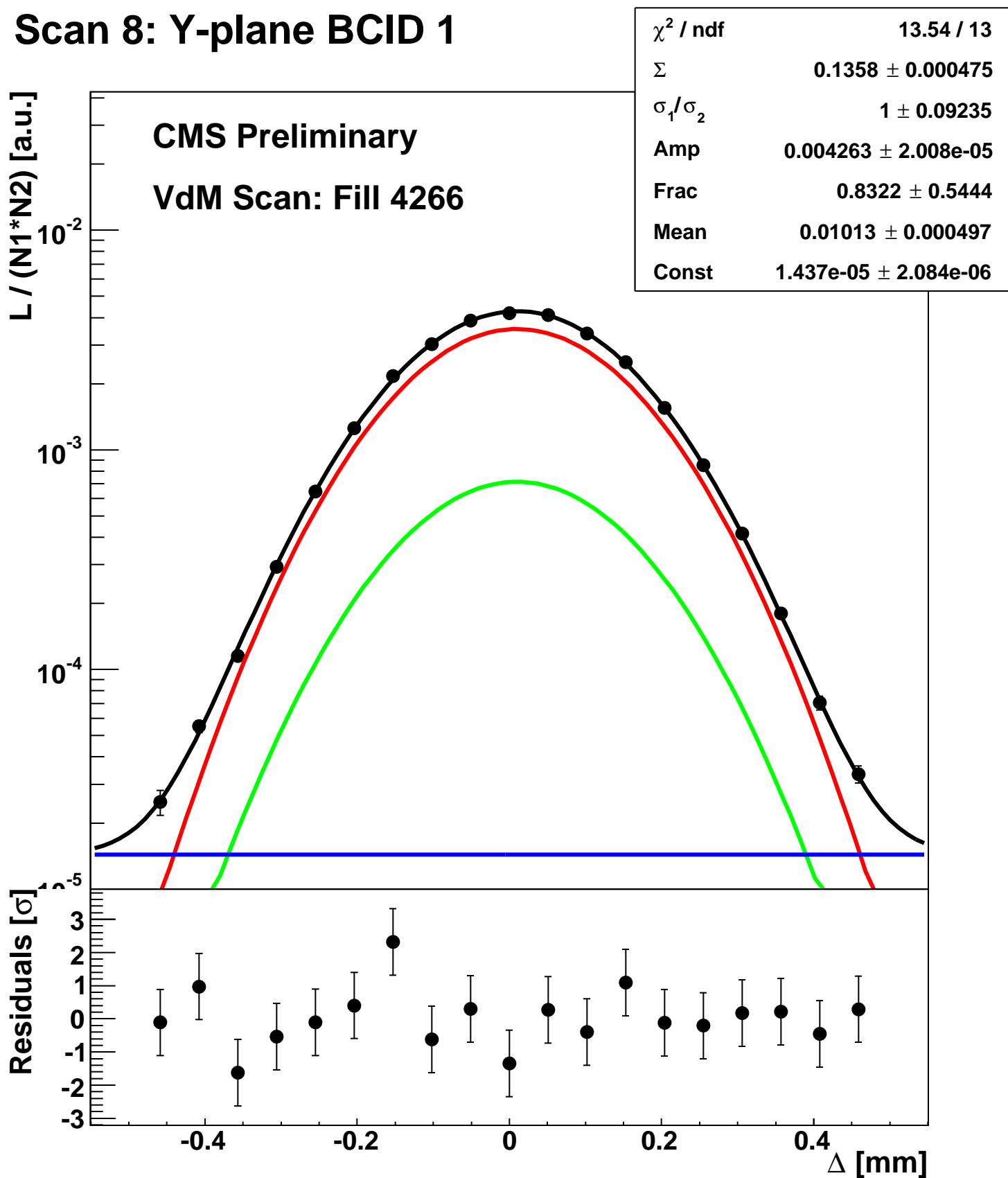
Scan 8: Y-plane BCID 1831



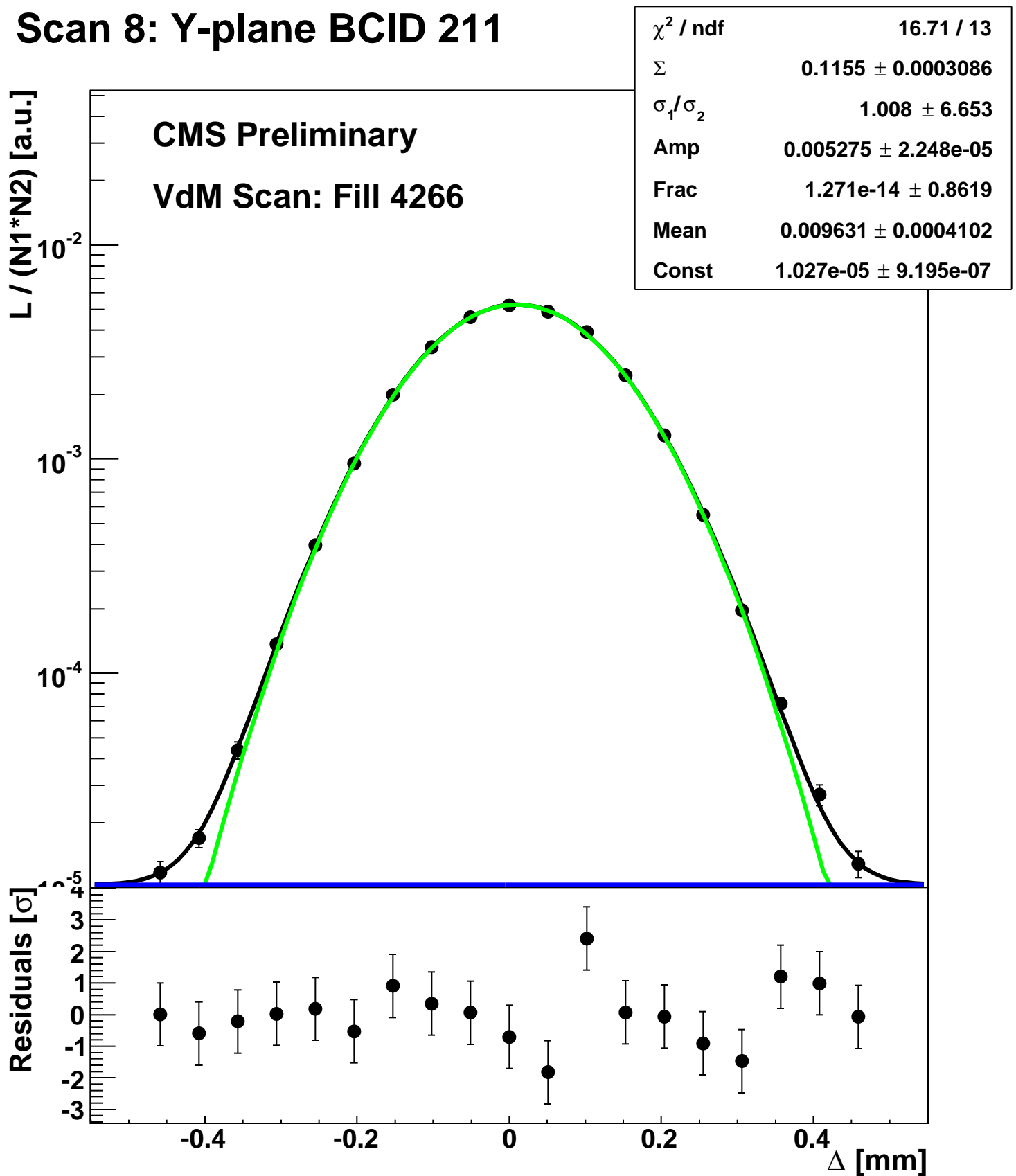
Scan 8: Y-plane BCID 1871



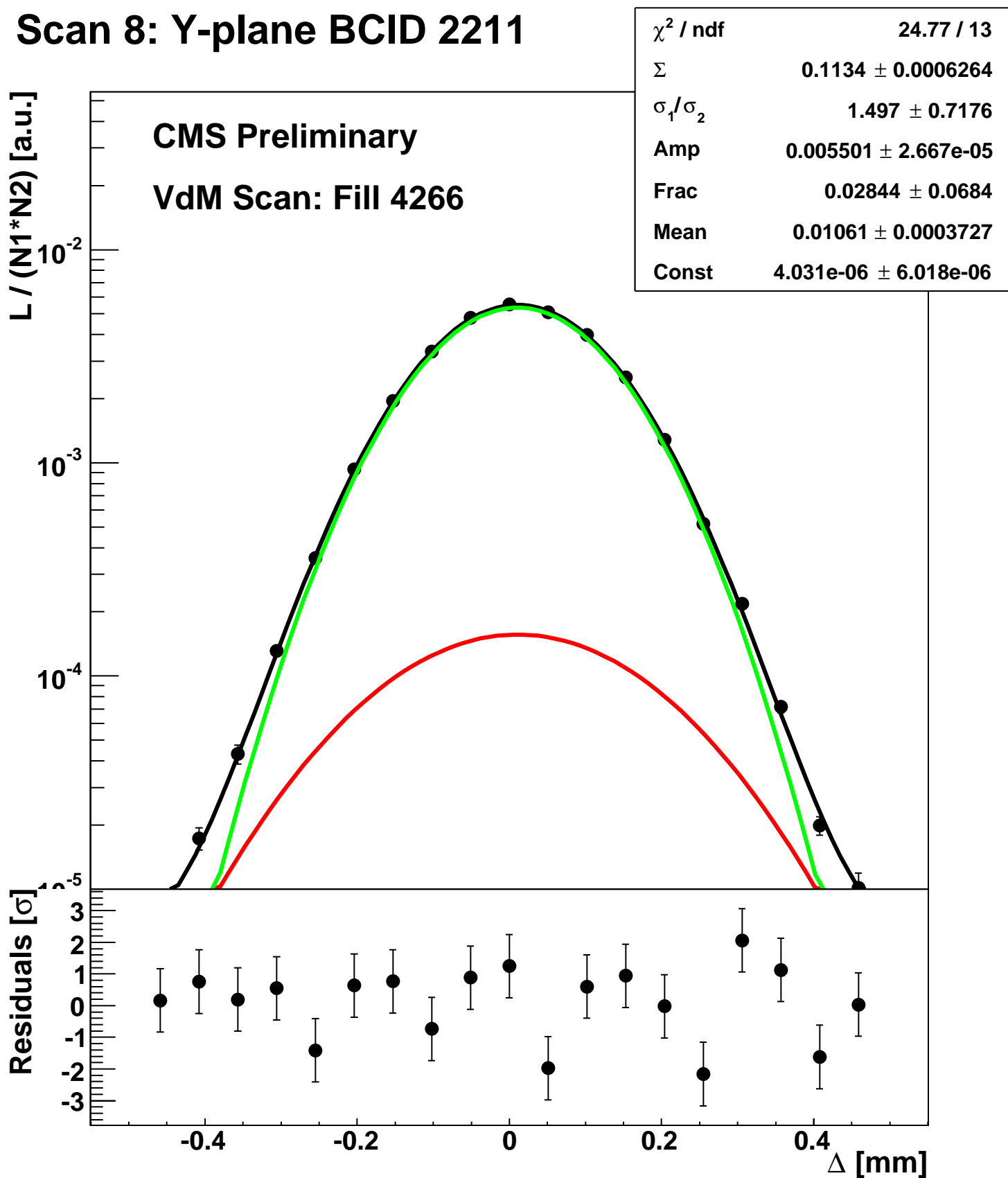
Scan 8: Y-plane BCID 1



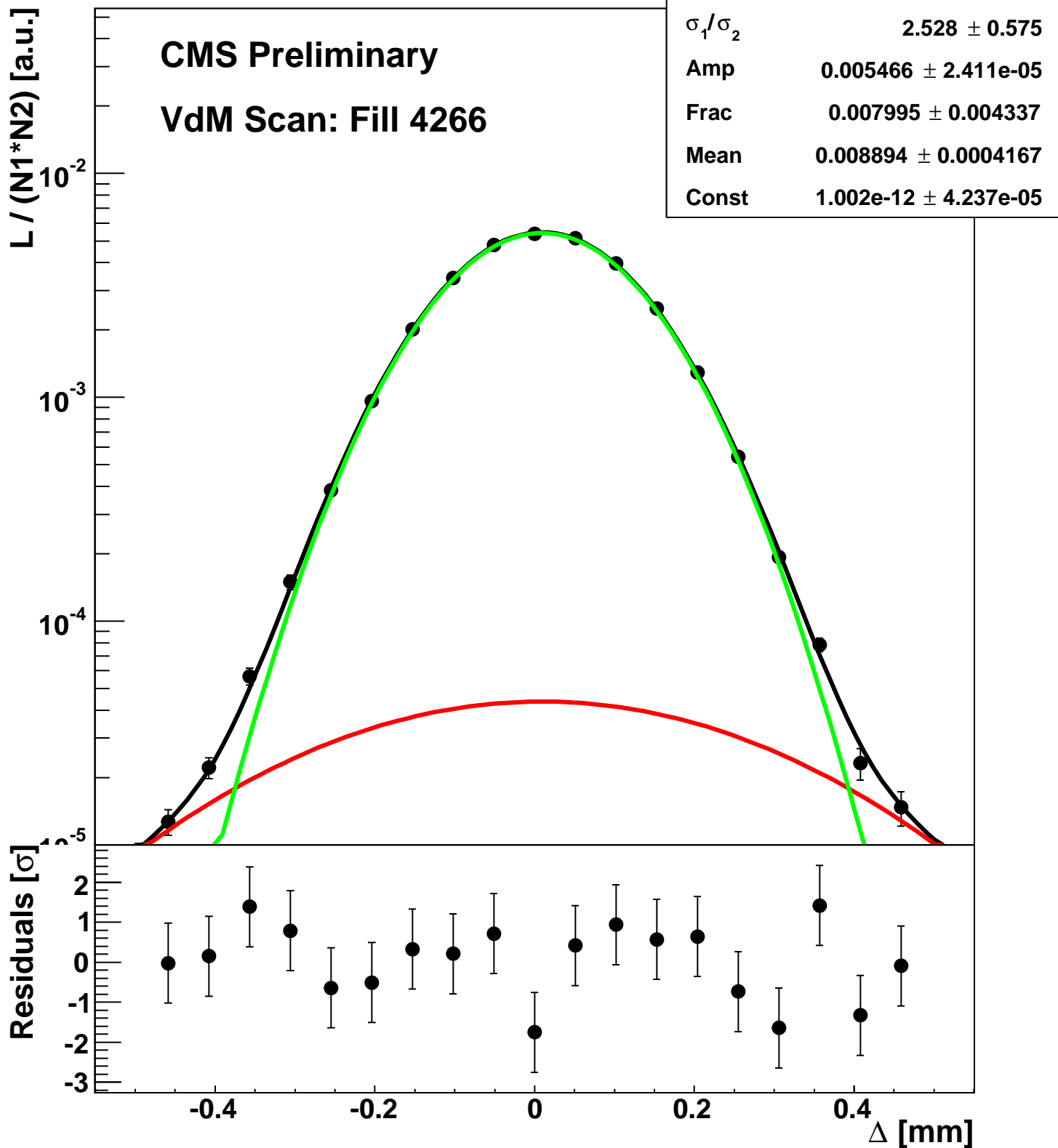
Scan 8: Y-plane BCID 211



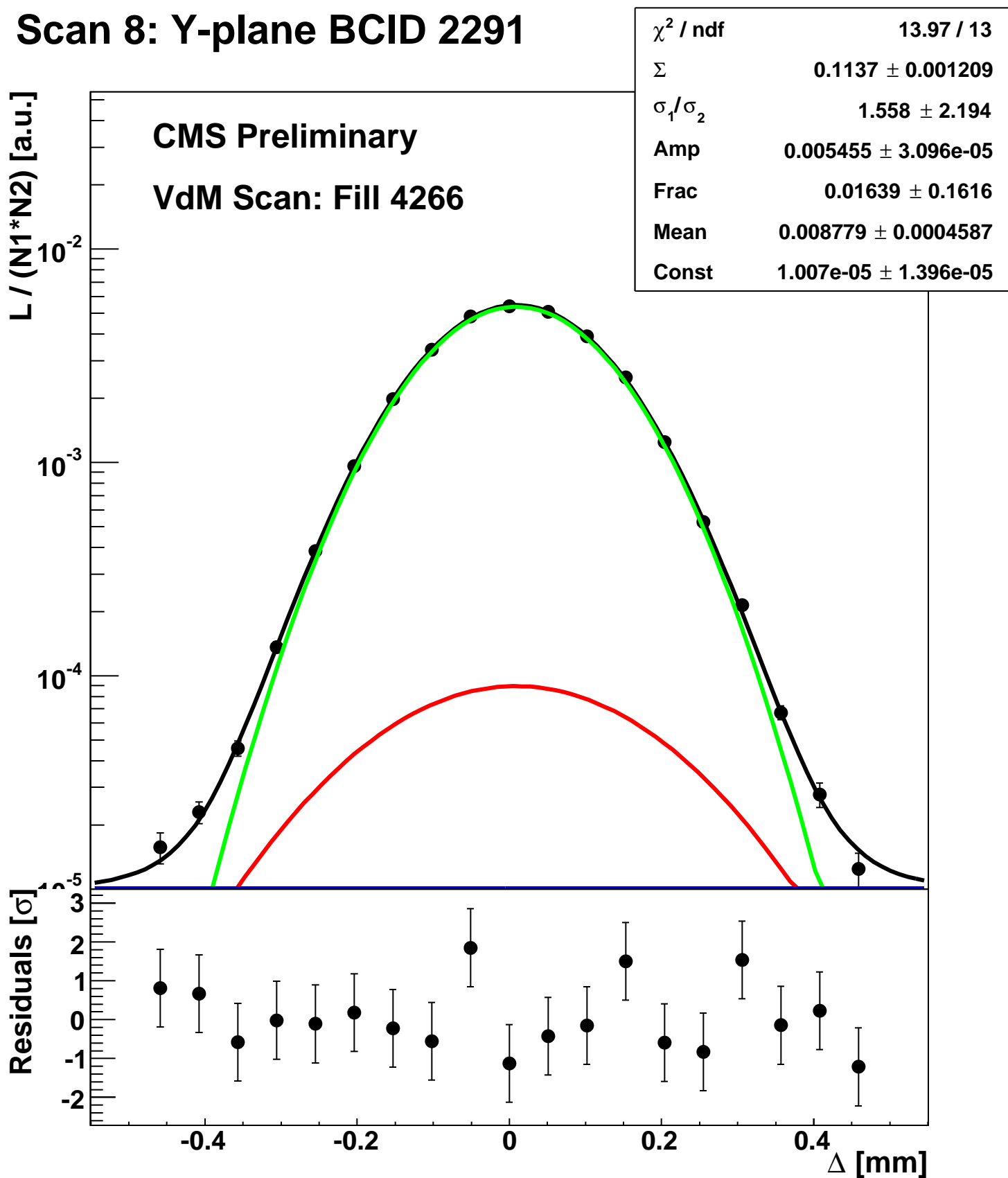
Scan 8: Y-plane BCID 2211



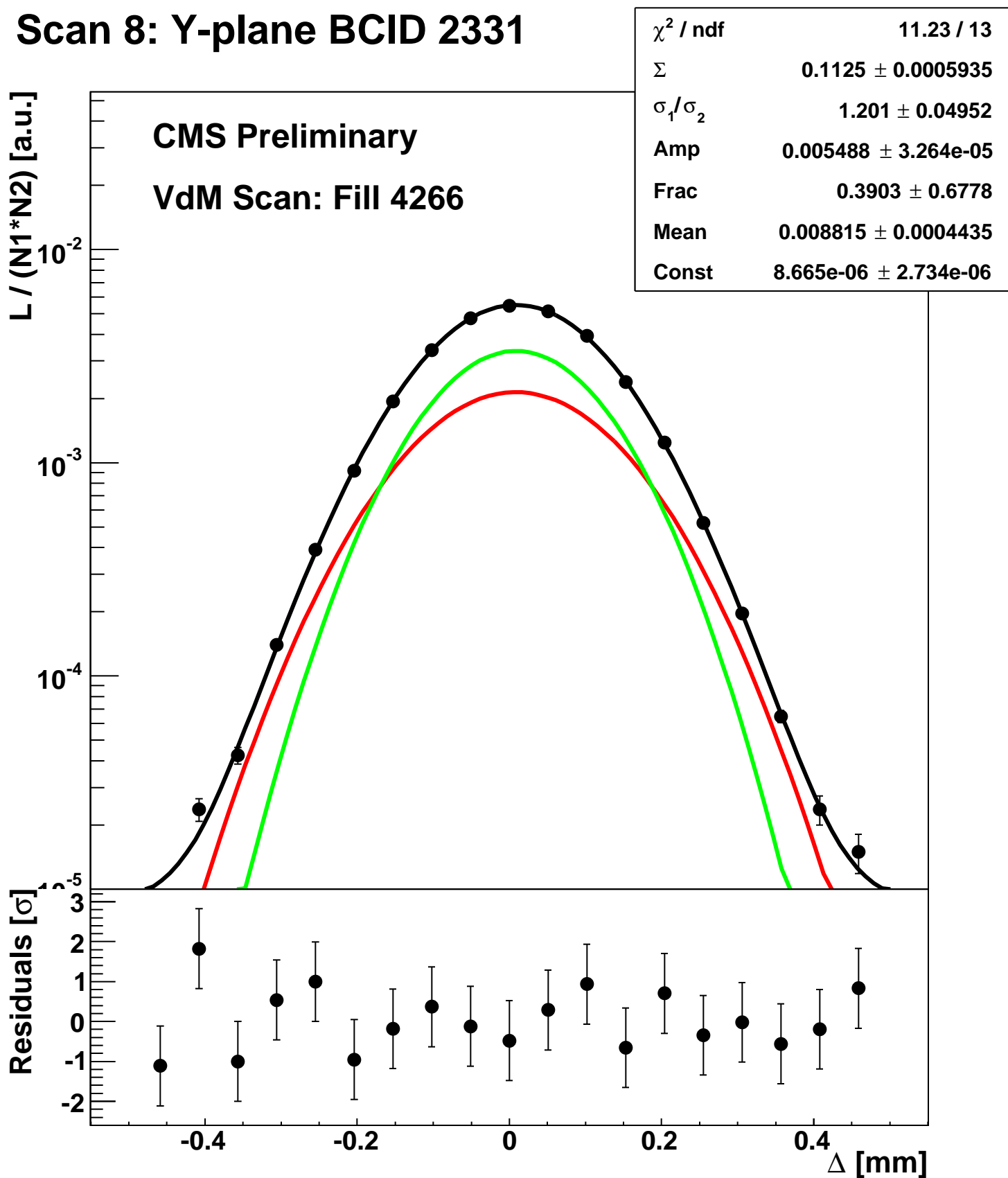
Scan 8: Y-plane BCID 2251



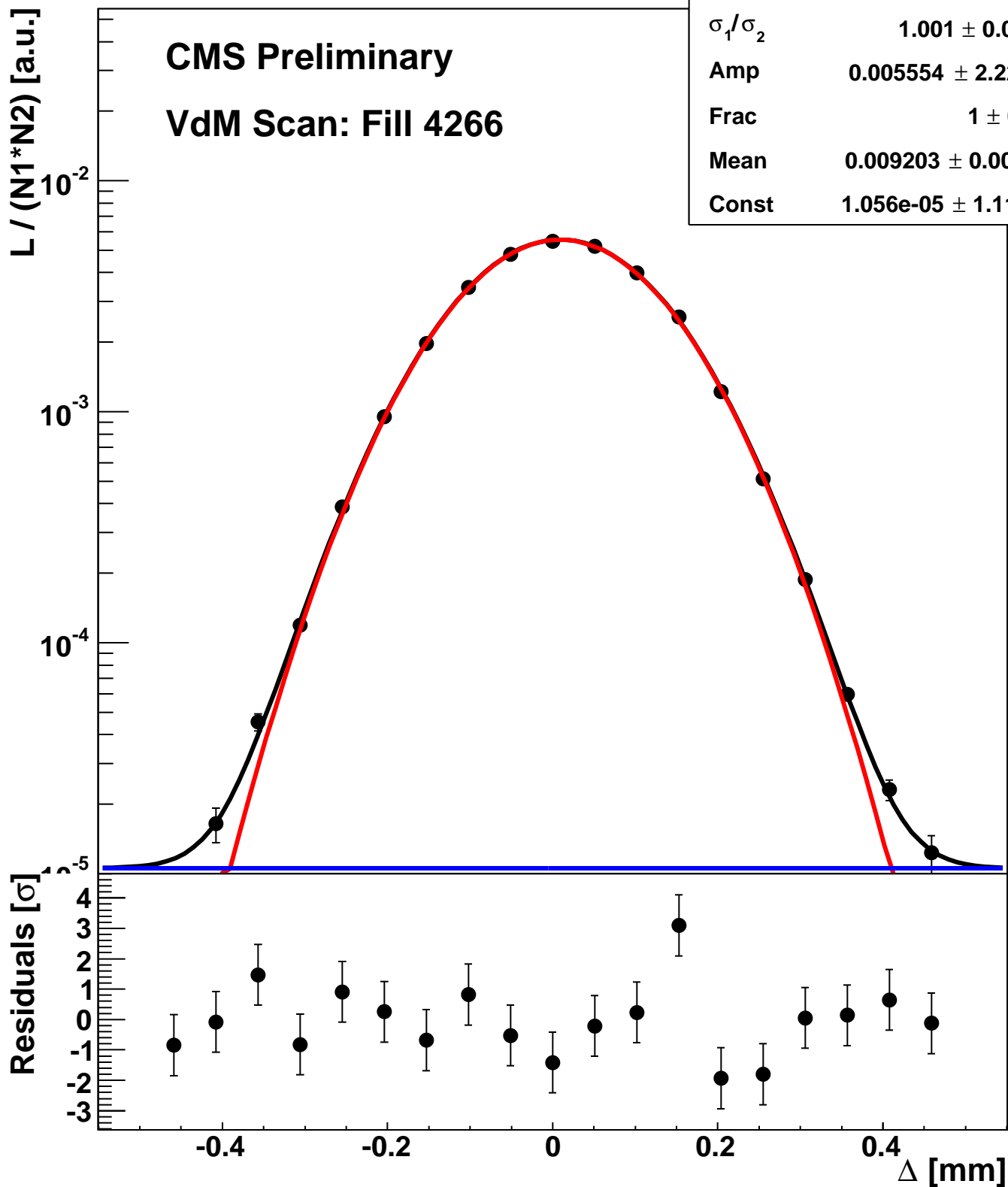
Scan 8: Y-plane BCID 2291



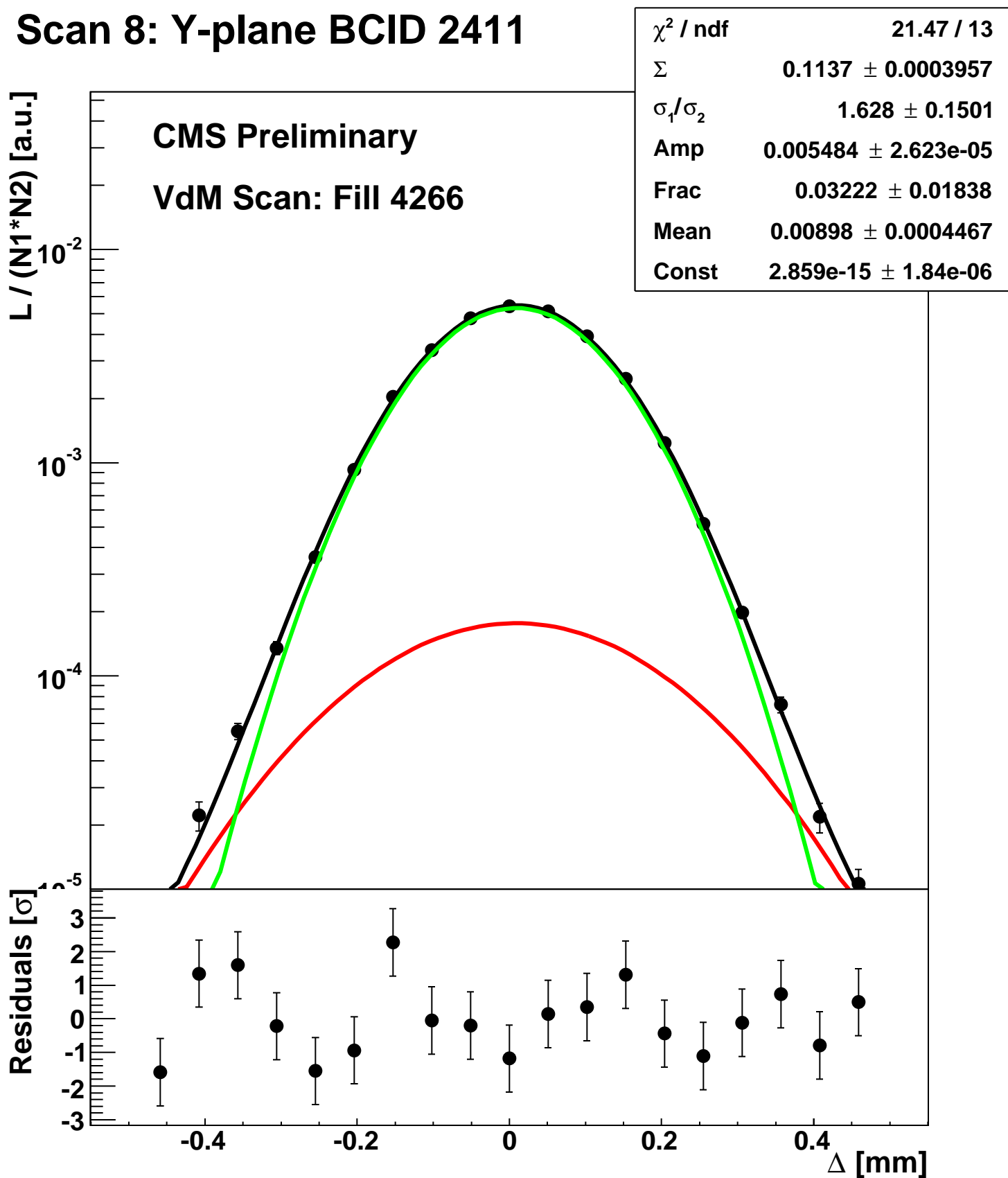
Scan 8: Y-plane BCID 2331



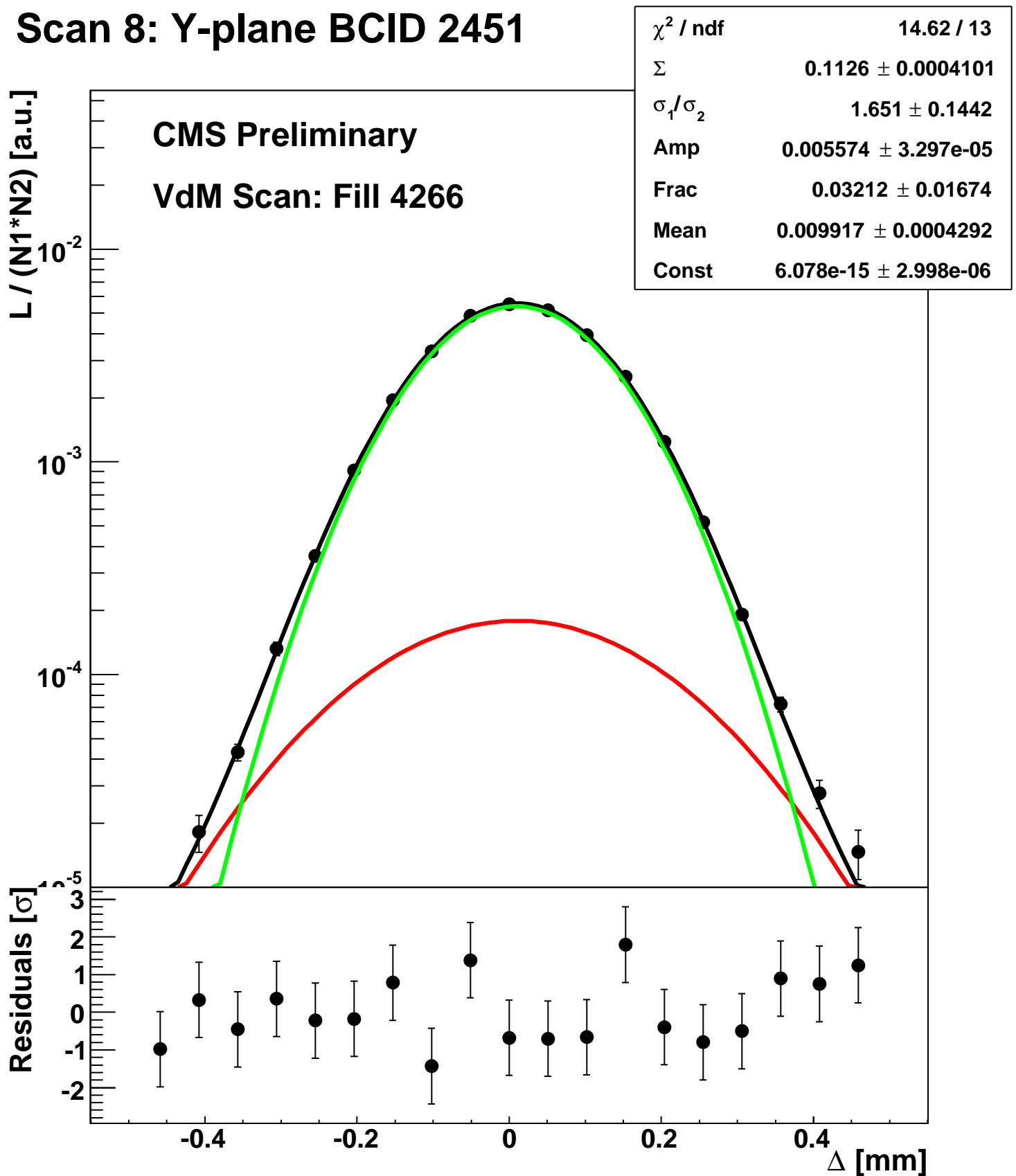
Scan 8: Y-plane BCID 2371



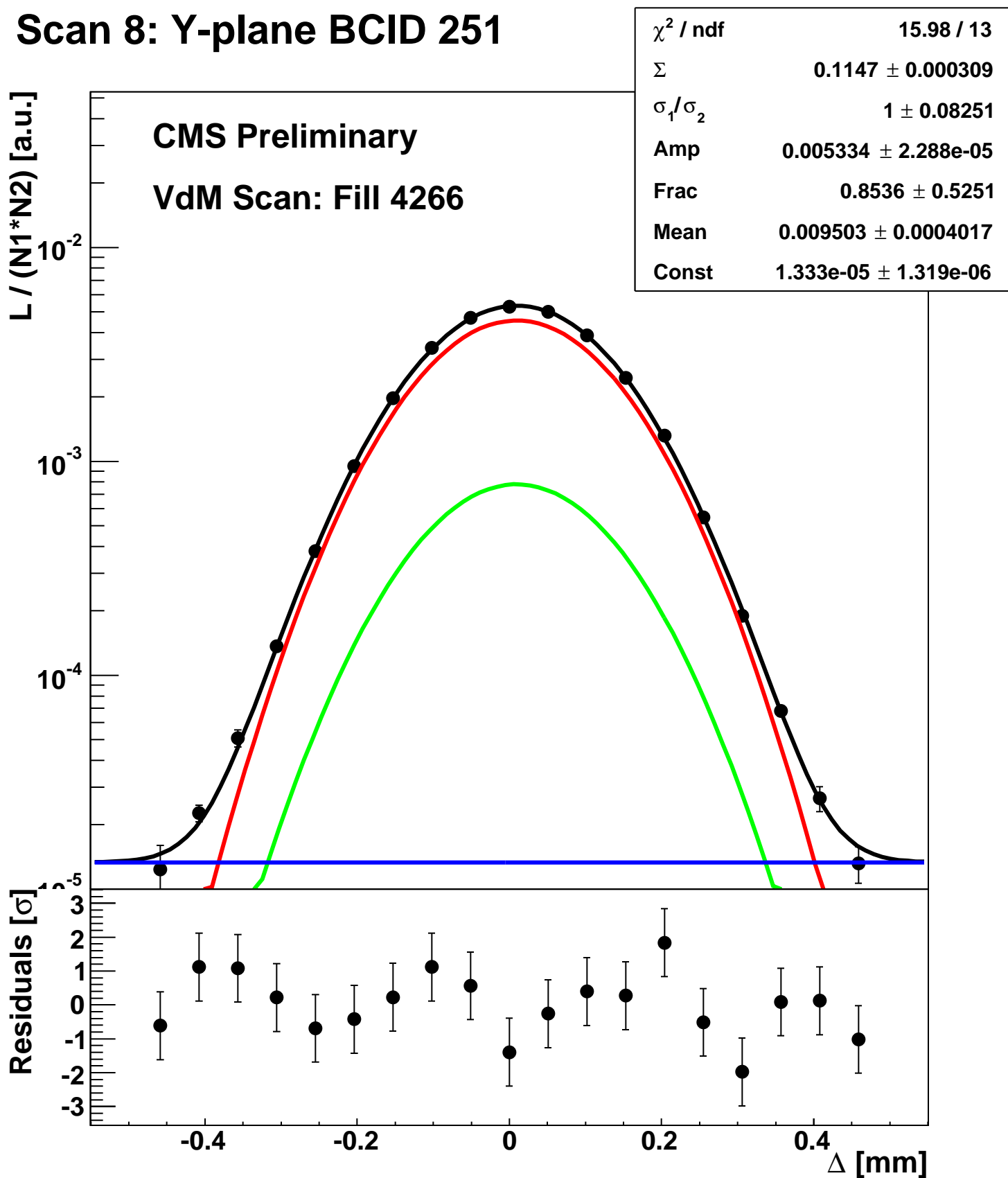
Scan 8: Y-plane BCID 2411



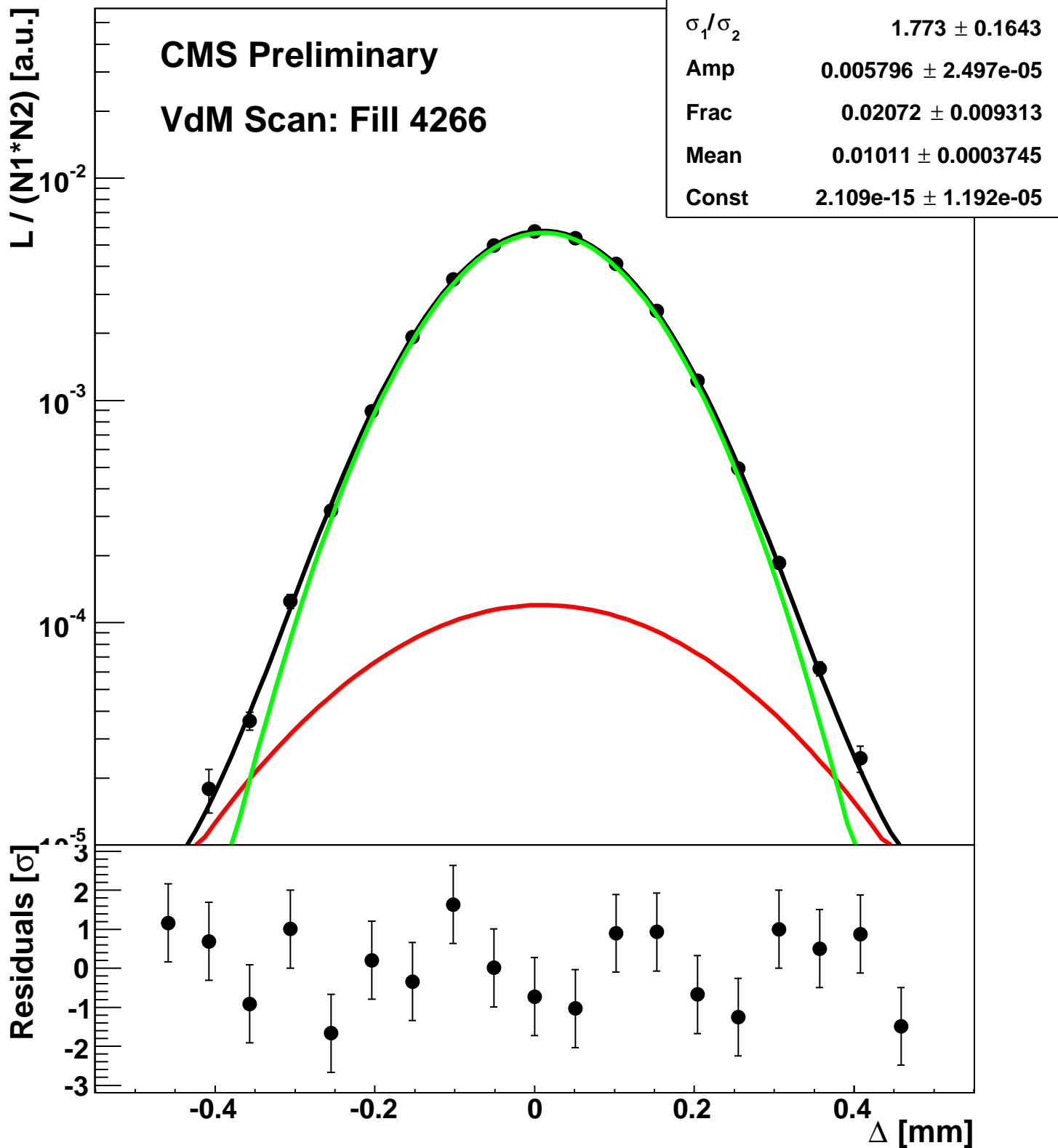
Scan 8: Y-plane BCID 2451



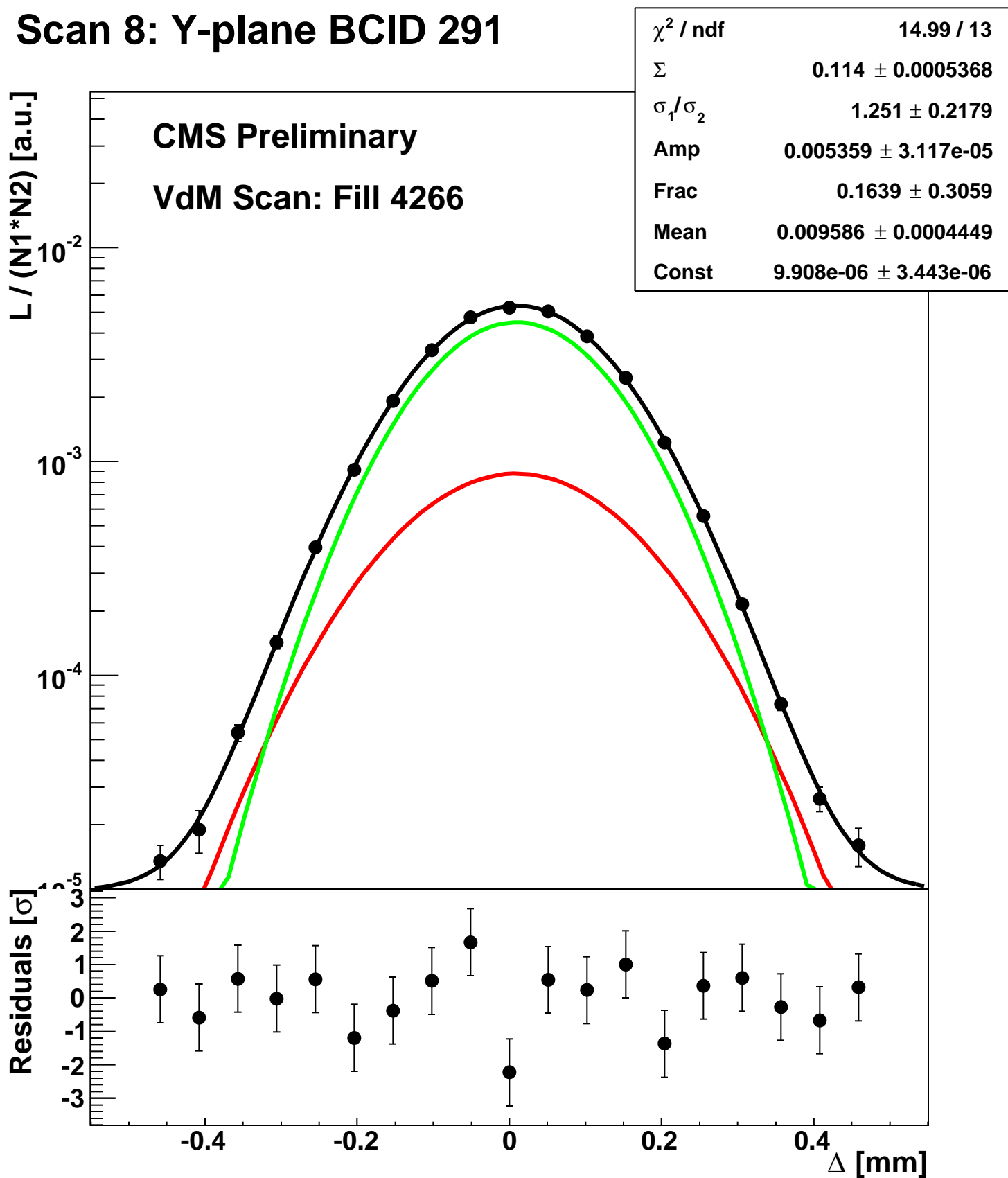
Scan 8: Y-plane BCID 251



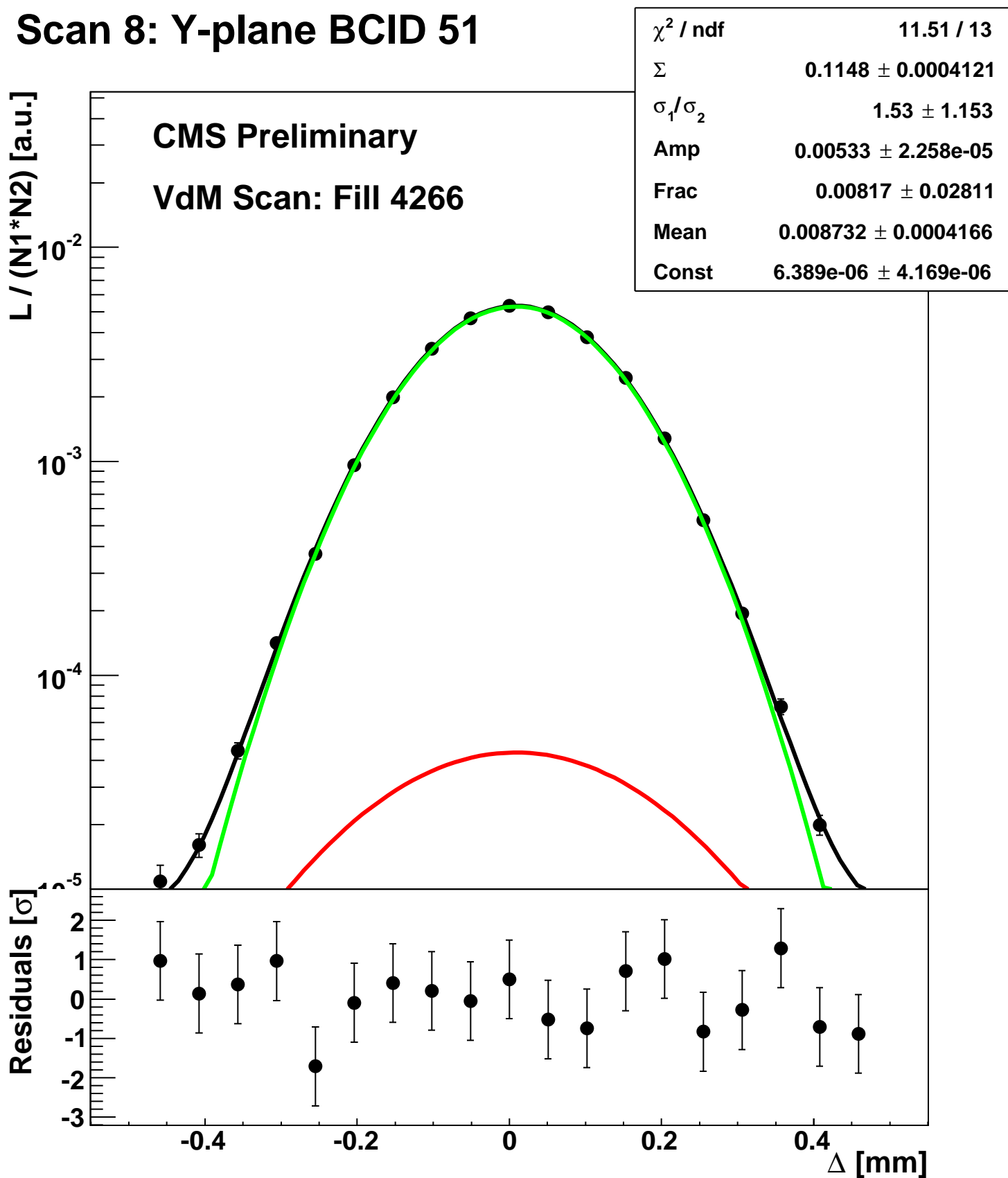
Scan 8: Y-plane BCID 2674



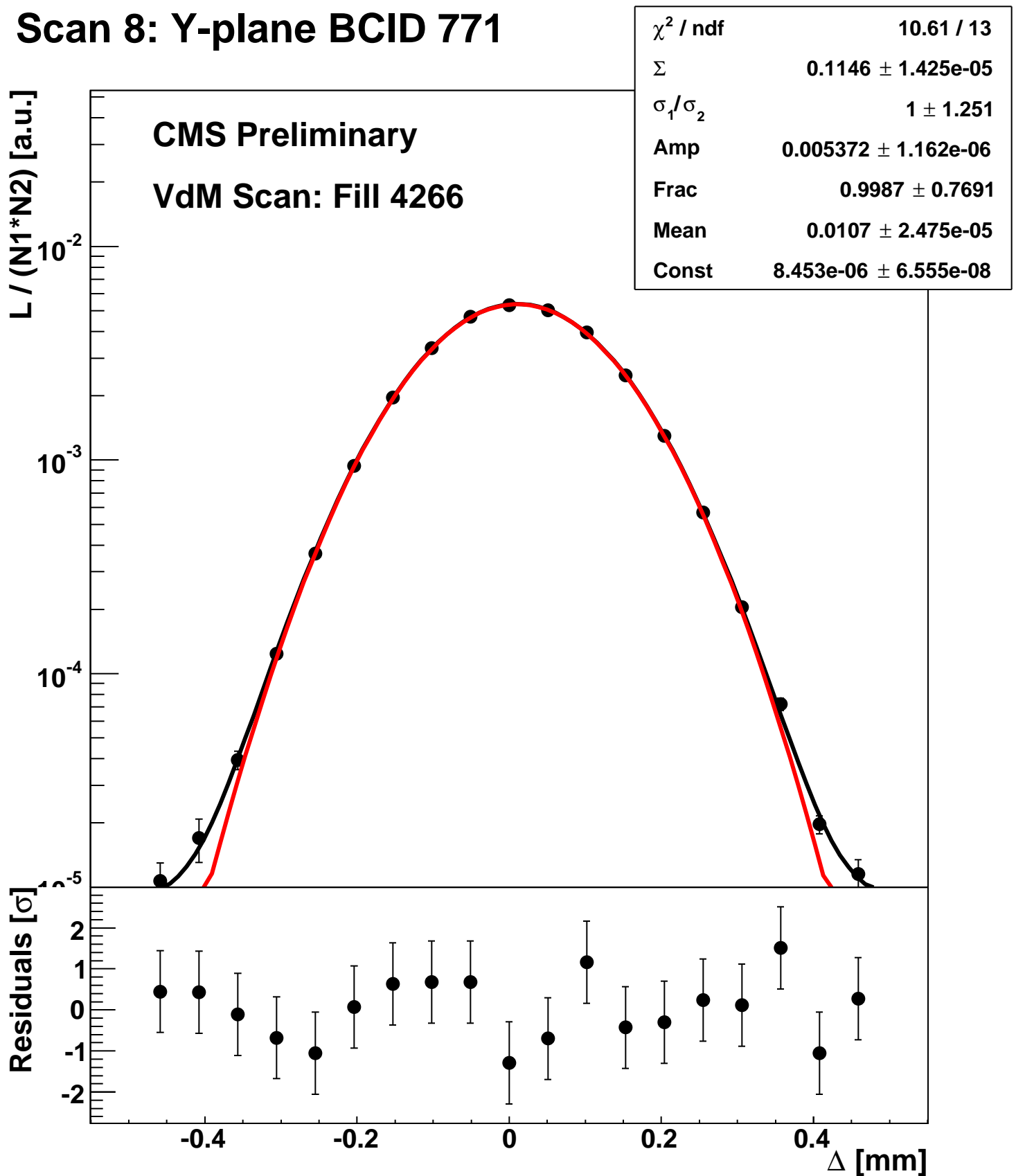
Scan 8: Y-plane BCID 291



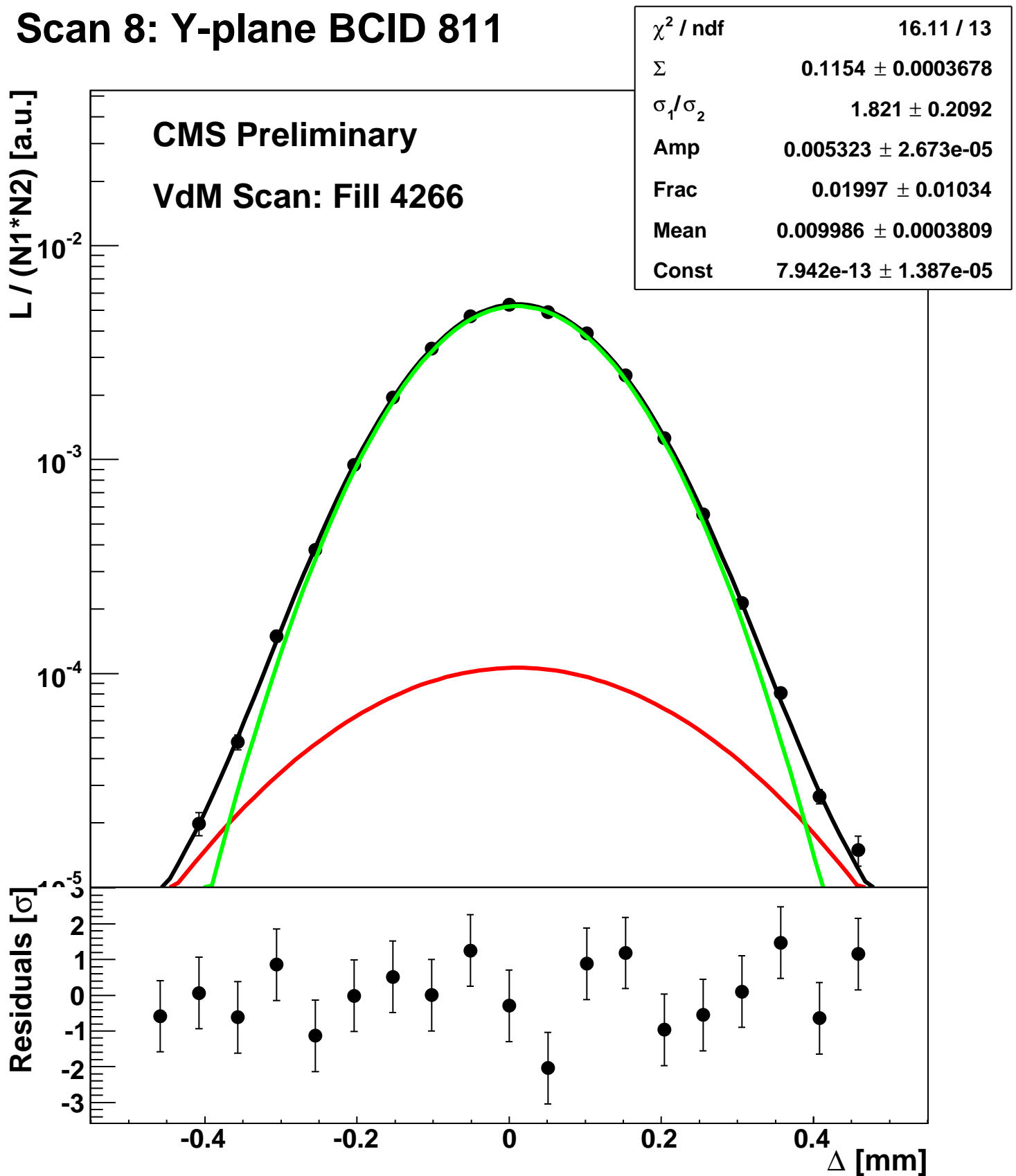
Scan 8: Y-plane BCID 51



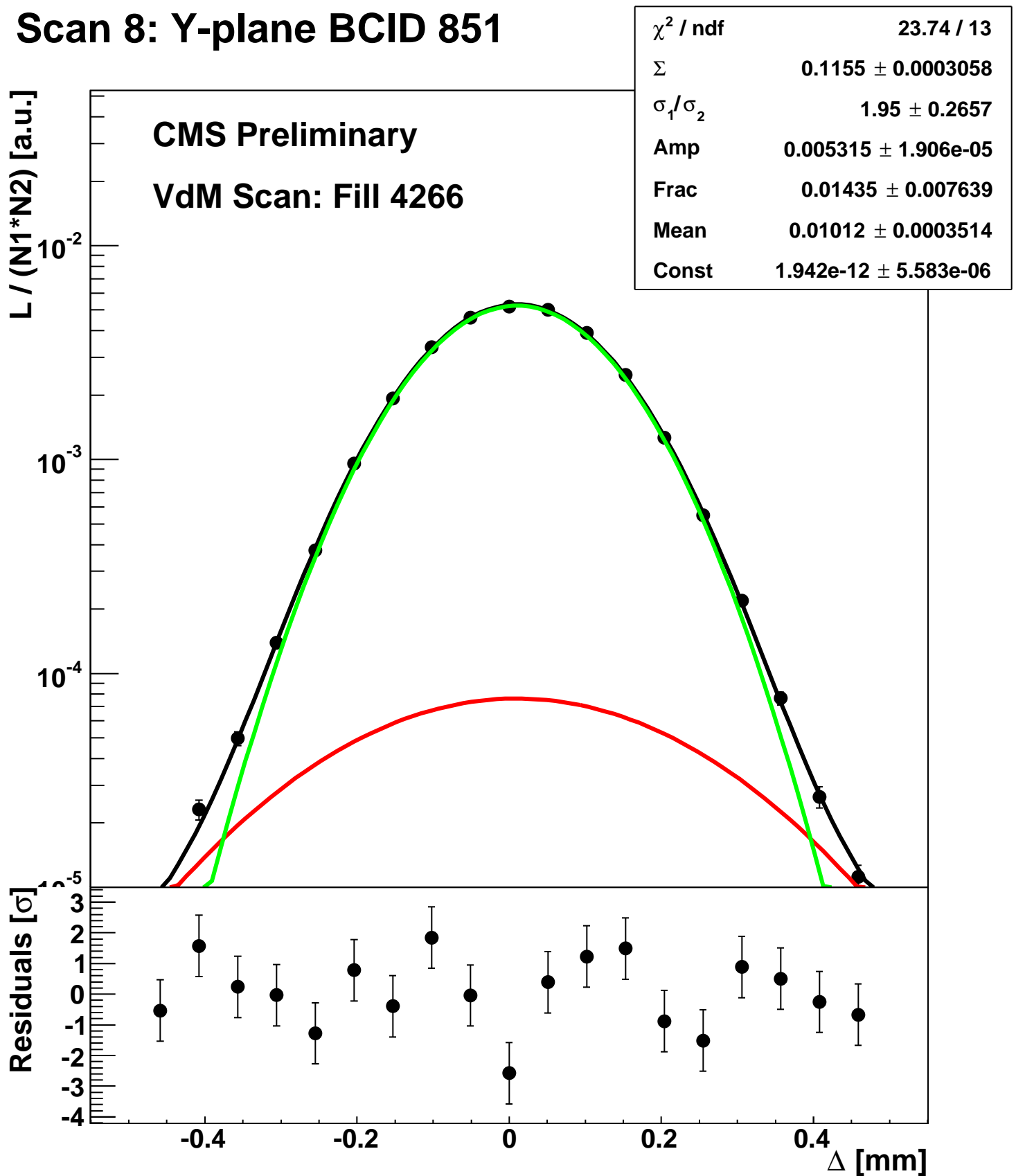
Scan 8: Y-plane BCID 771



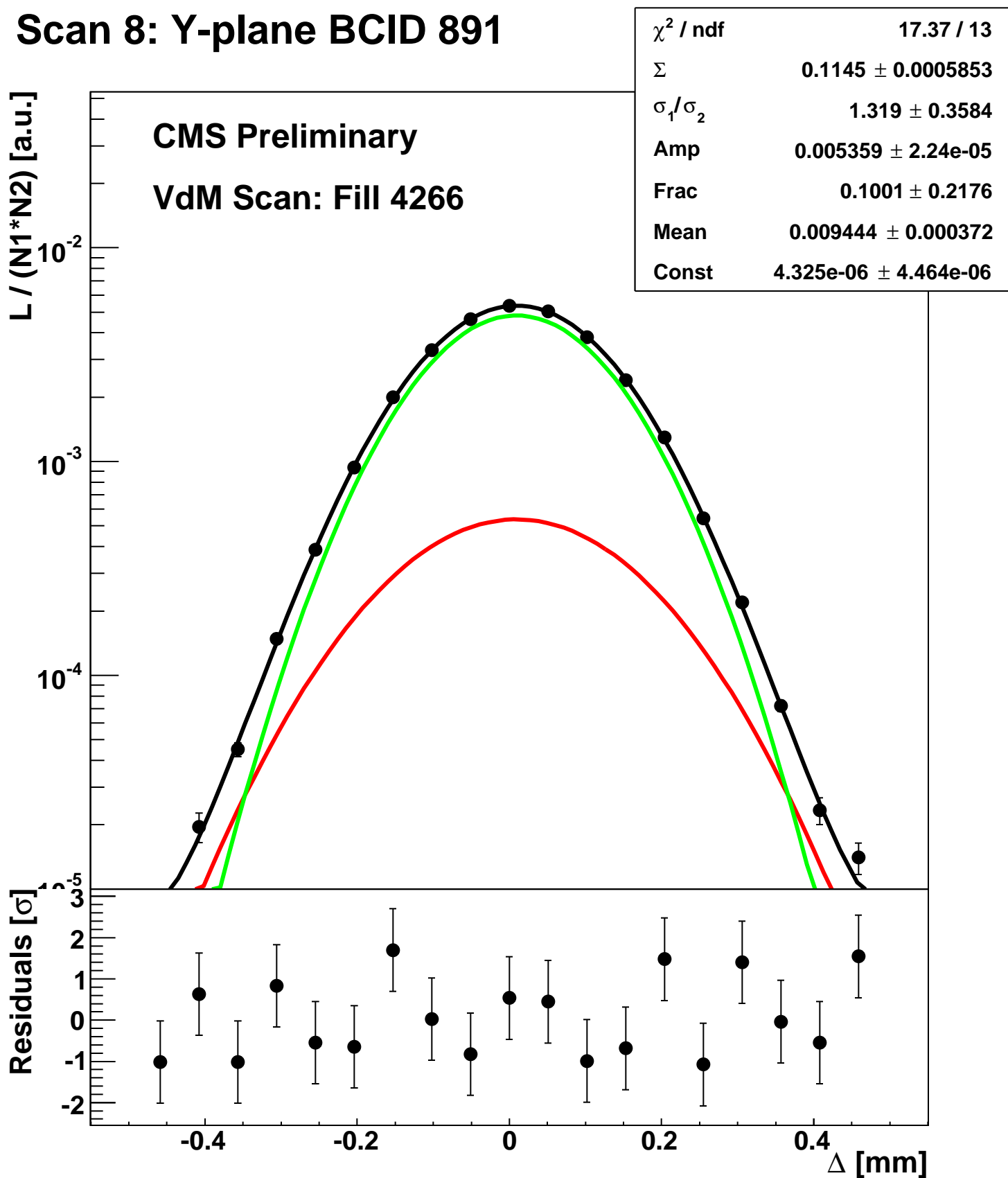
Scan 8: Y-plane BCID 811



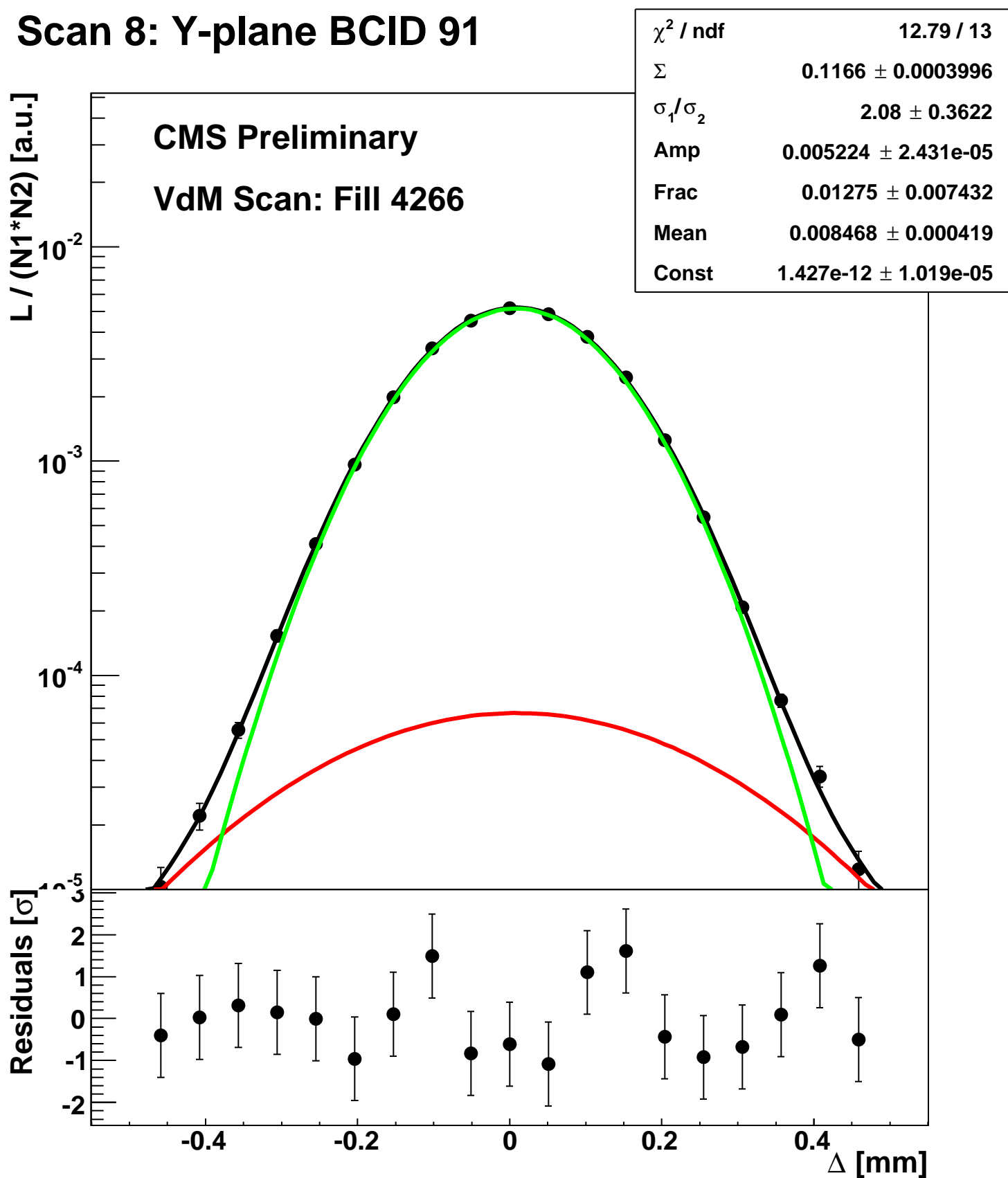
Scan 8: Y-plane BCID 851



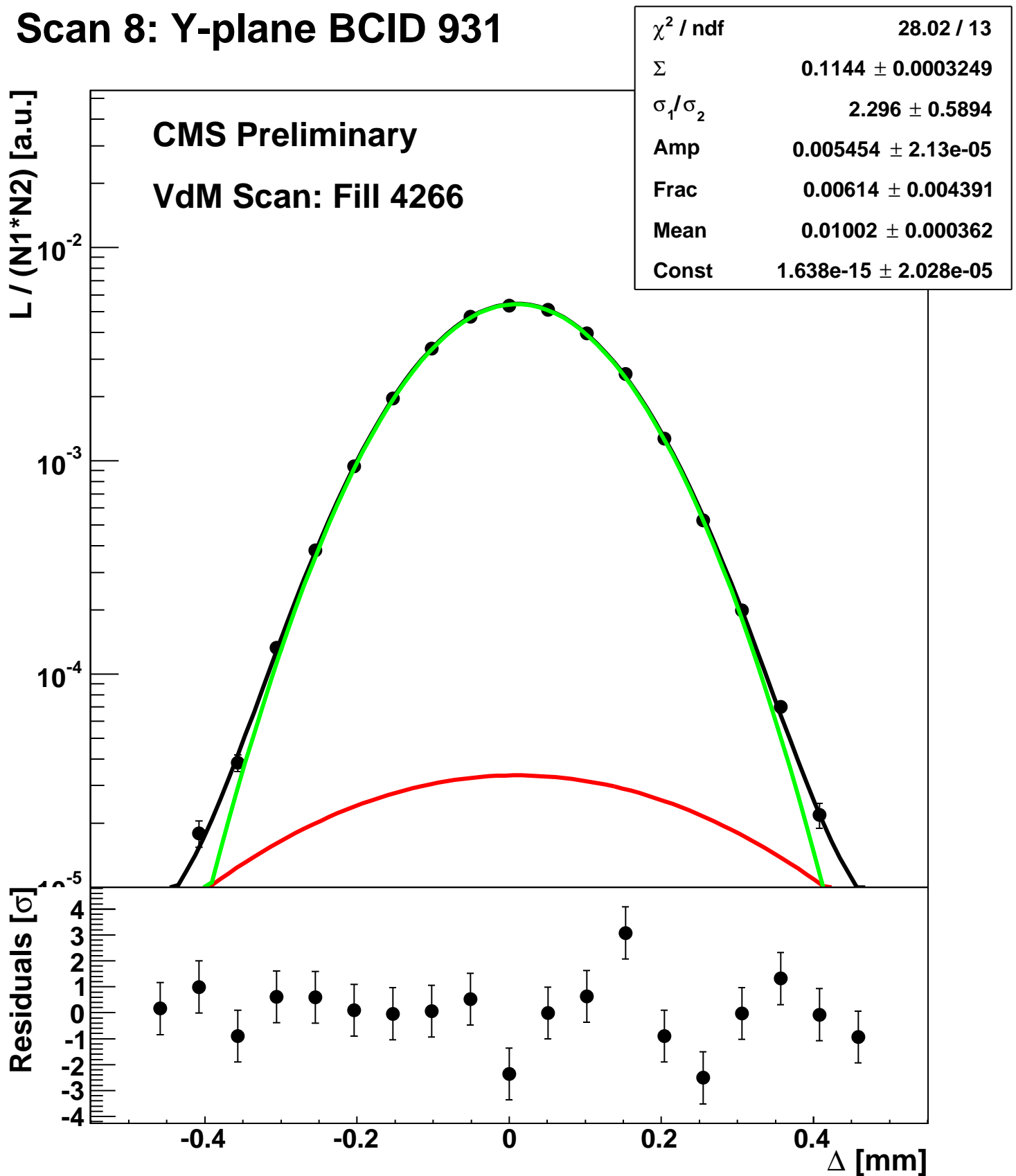
Scan 8: Y-plane BCID 891



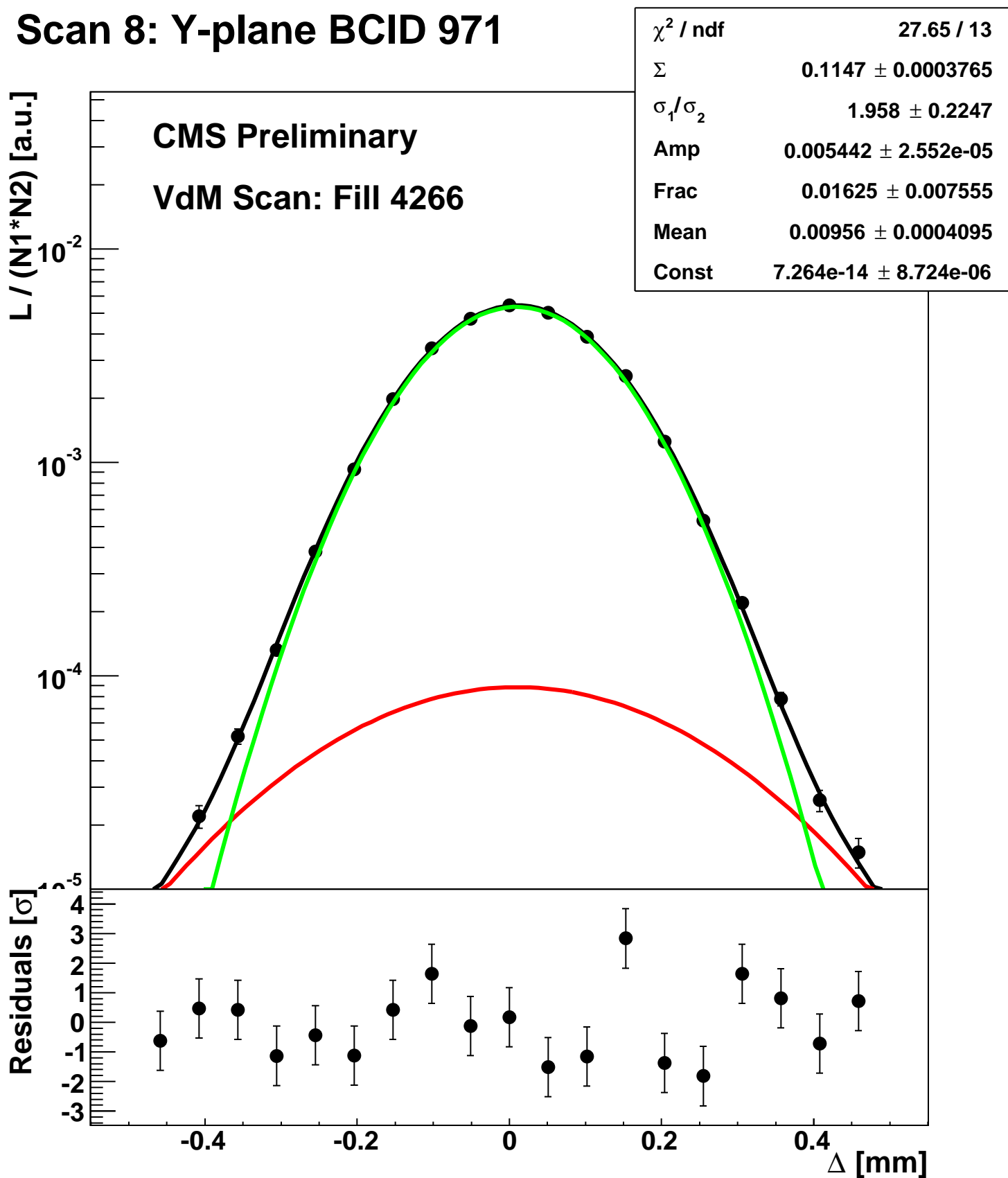
Scan 8: Y-plane BCID 91



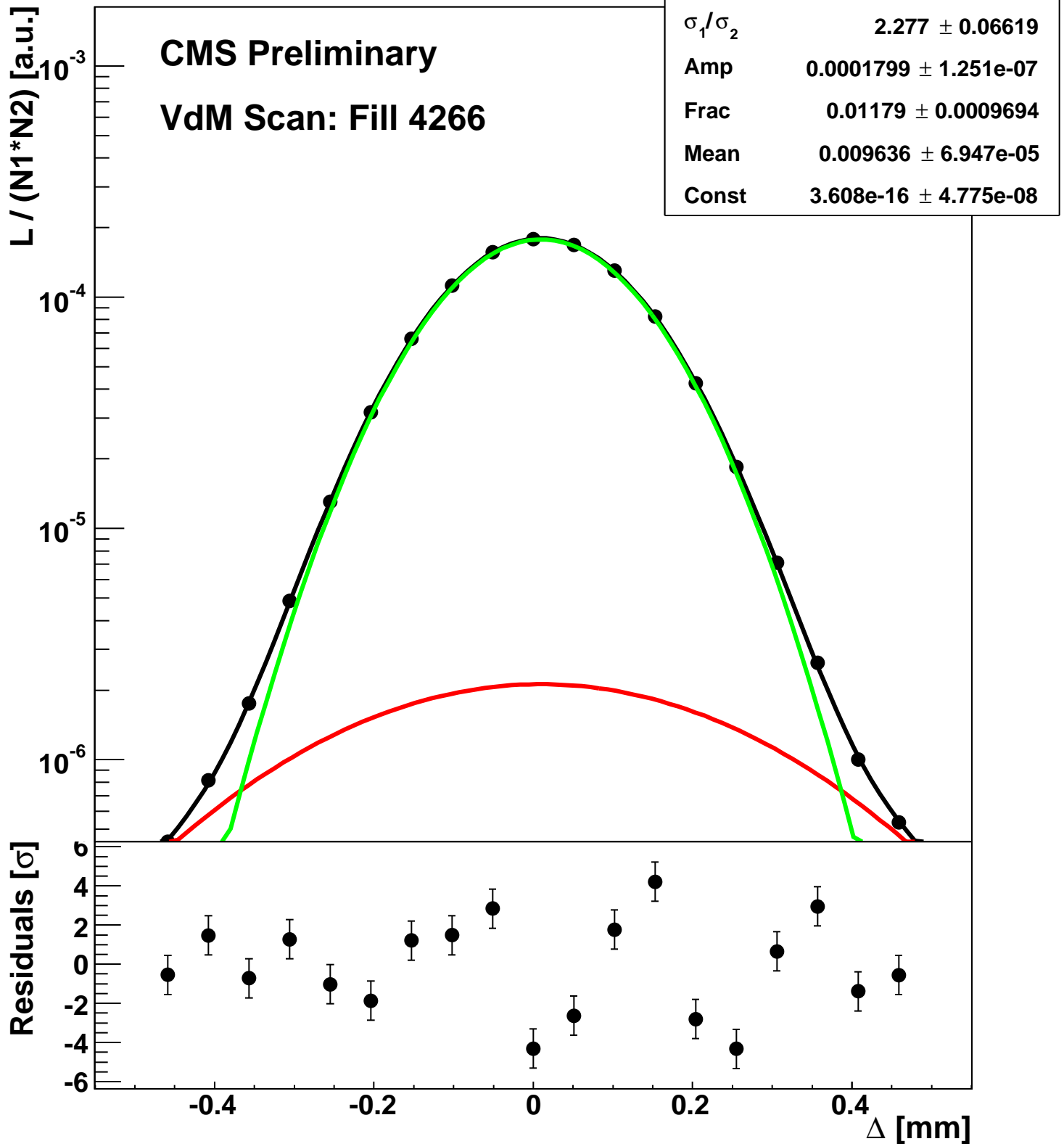
Scan 8: Y-plane BCID 931



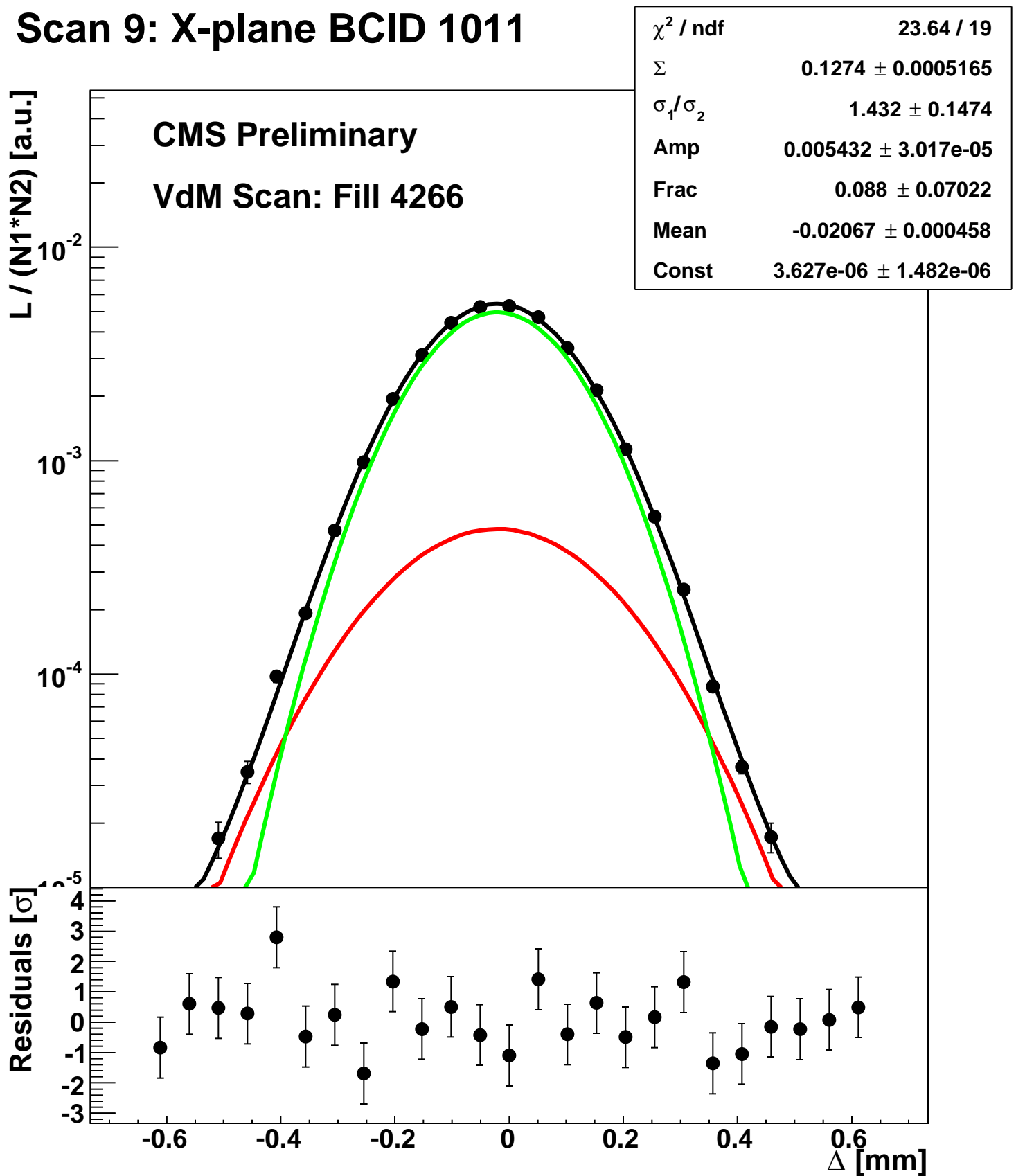
Scan 8: Y-plane BCID 971



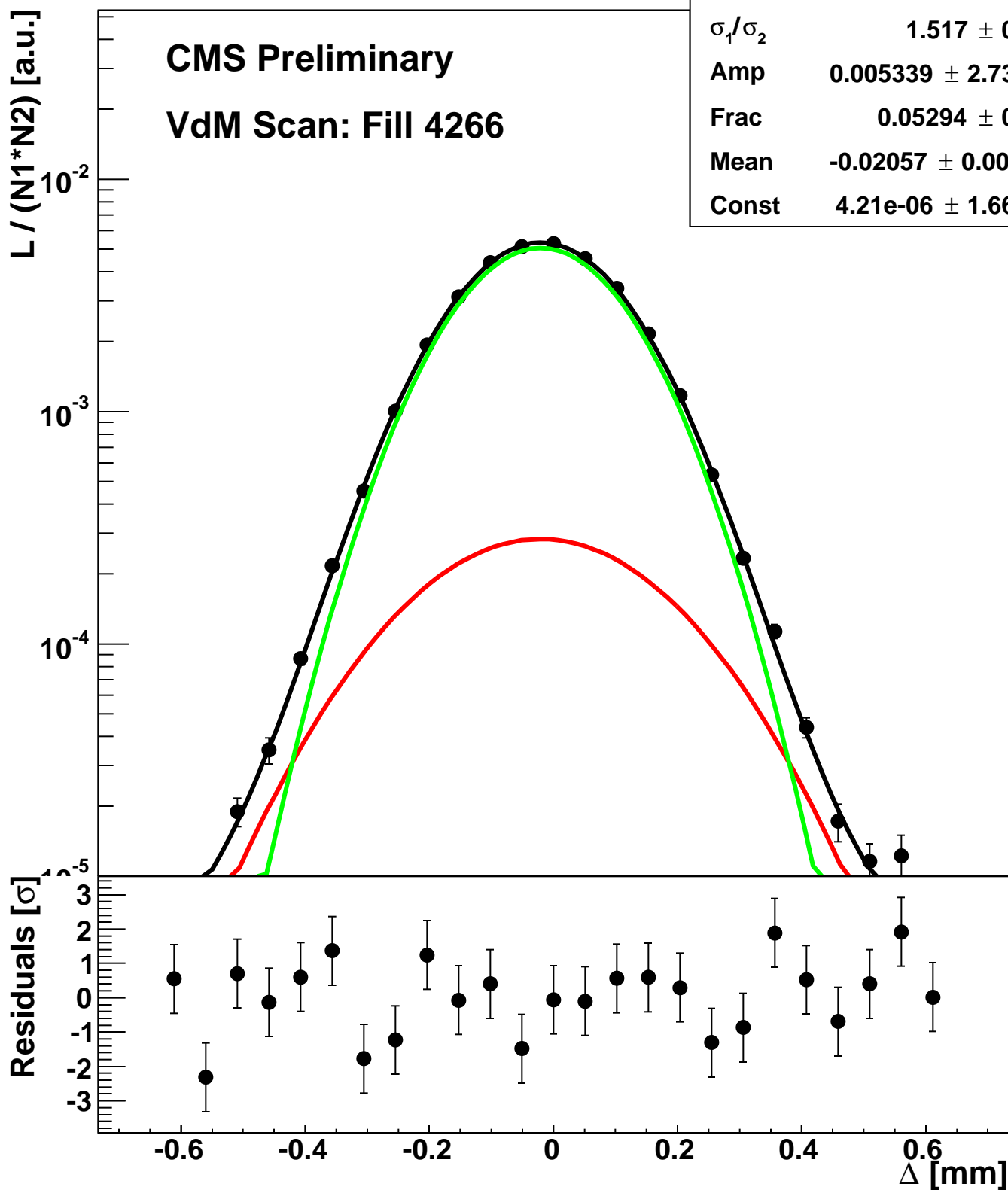
Scan 8: Y-plane BCID sum



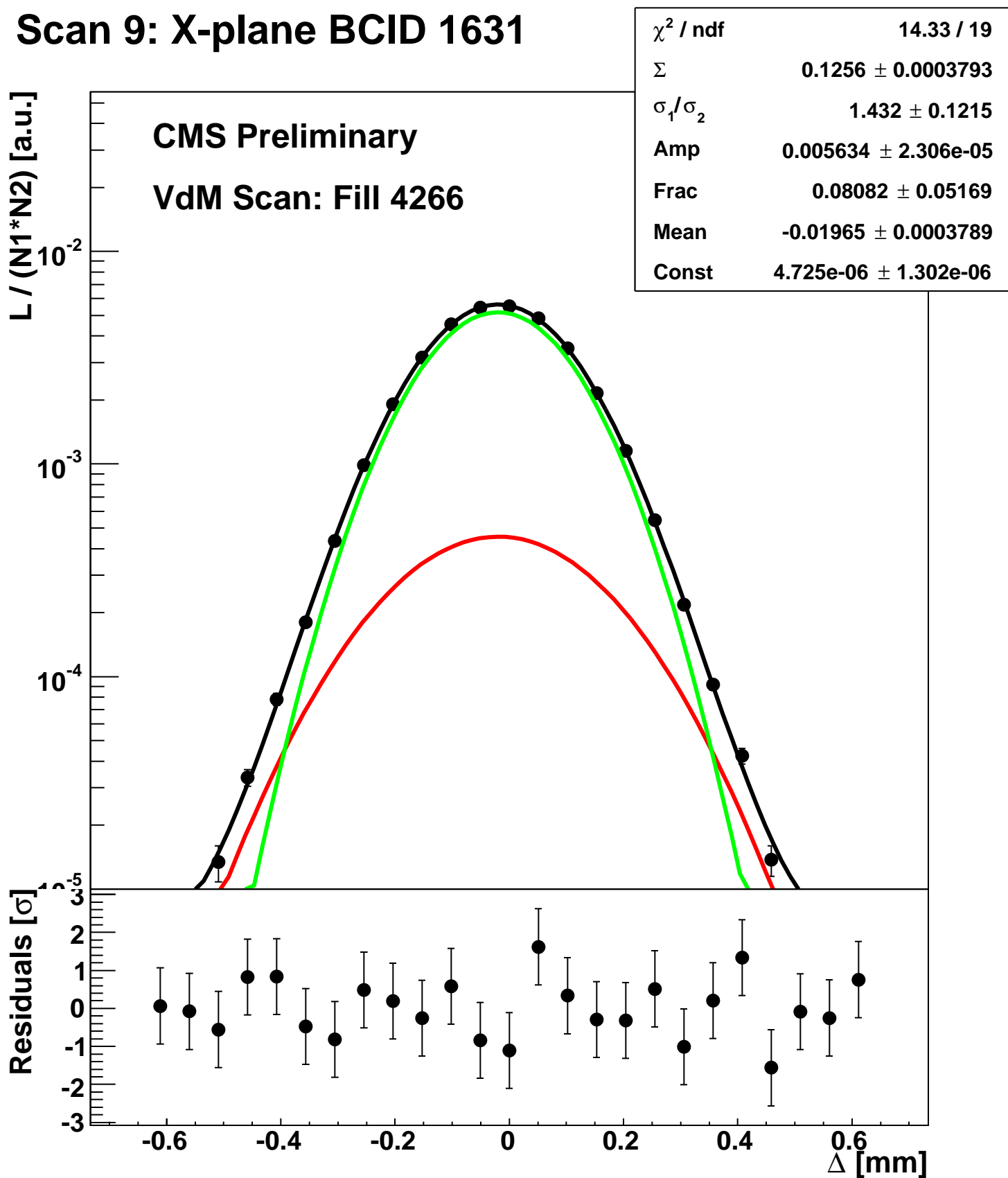
Scan 9: X-plane BCID 1011



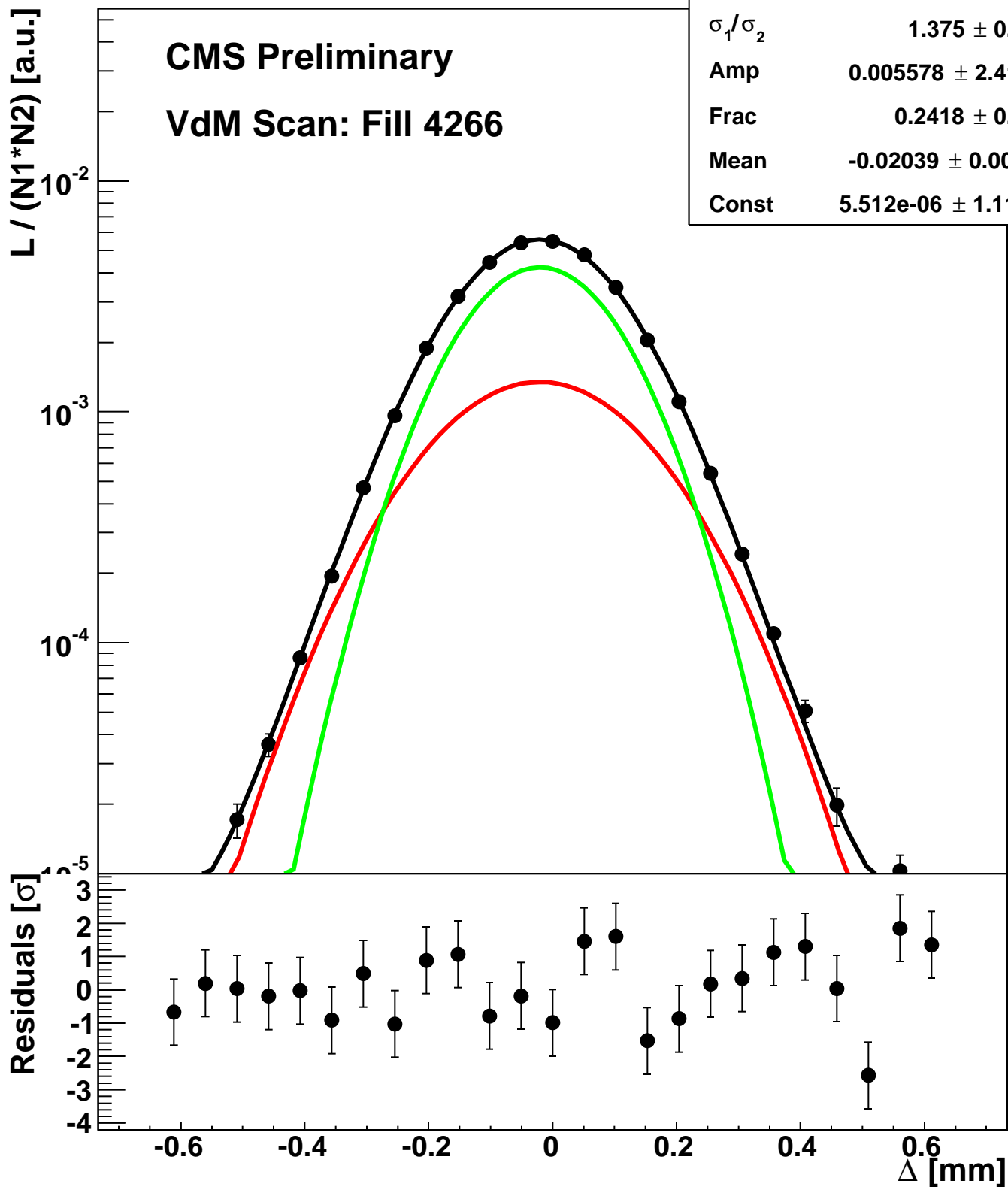
Scan 9: X-plane BCID 131



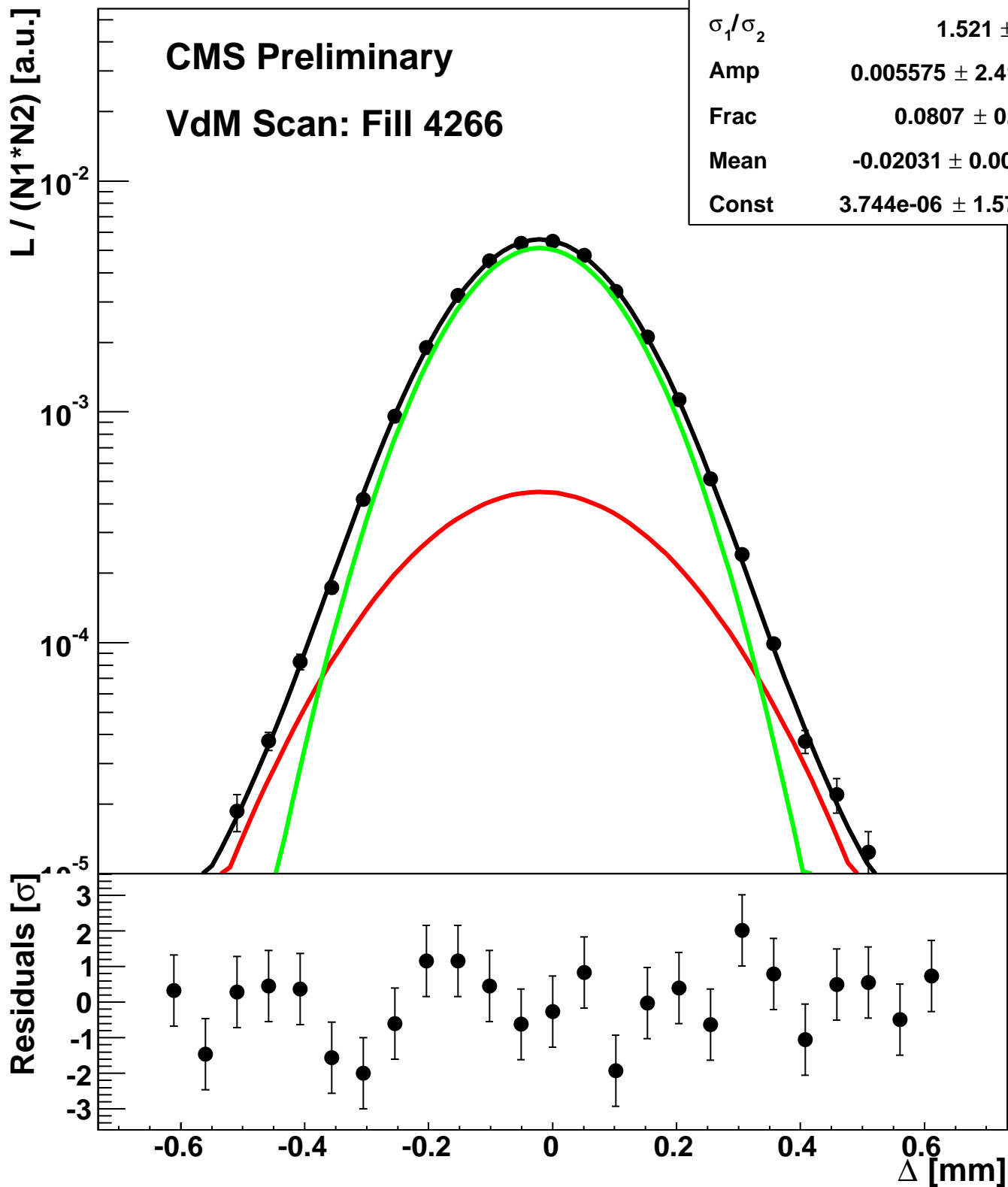
Scan 9: X-plane BCID 1631



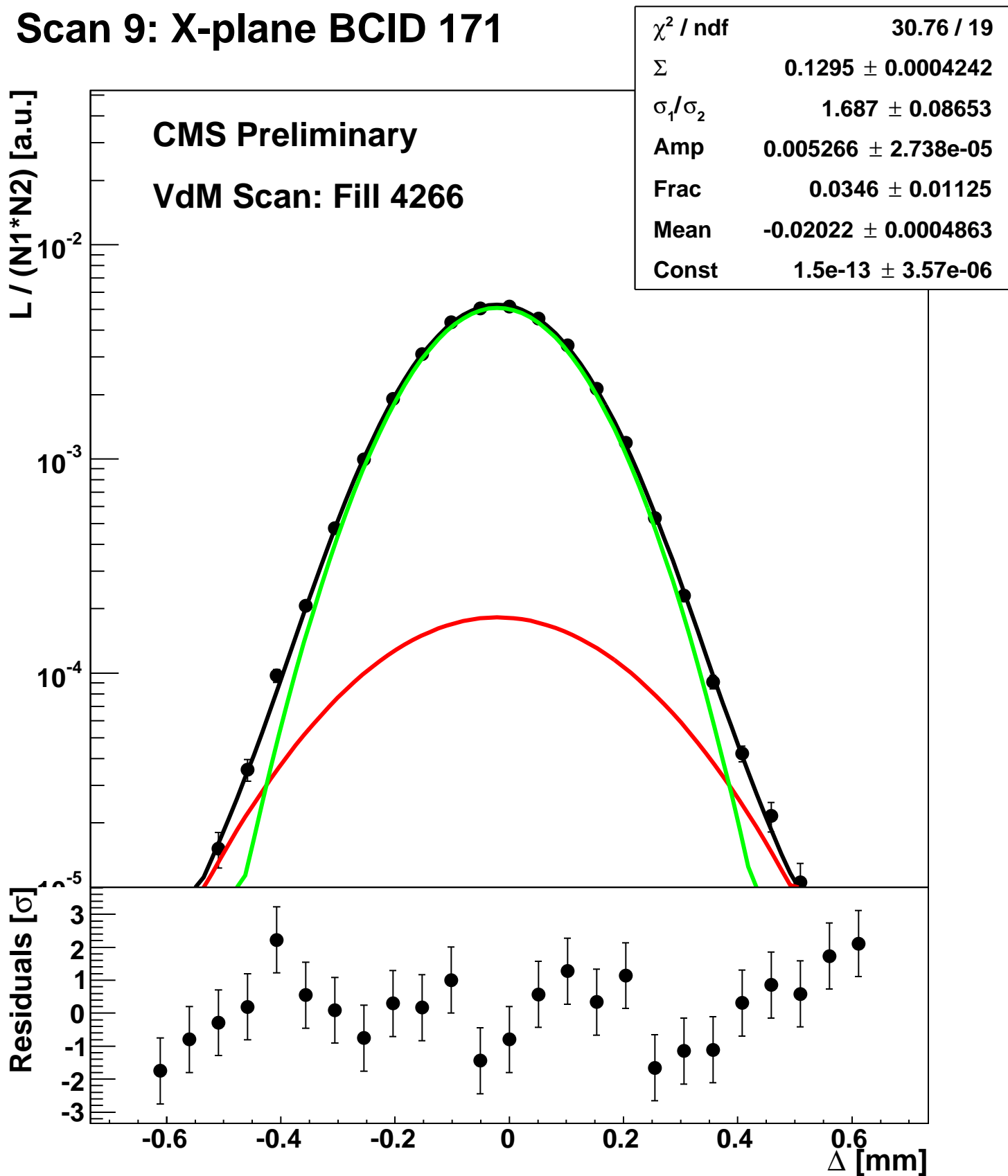
Scan 9: X-plane BCID 1671



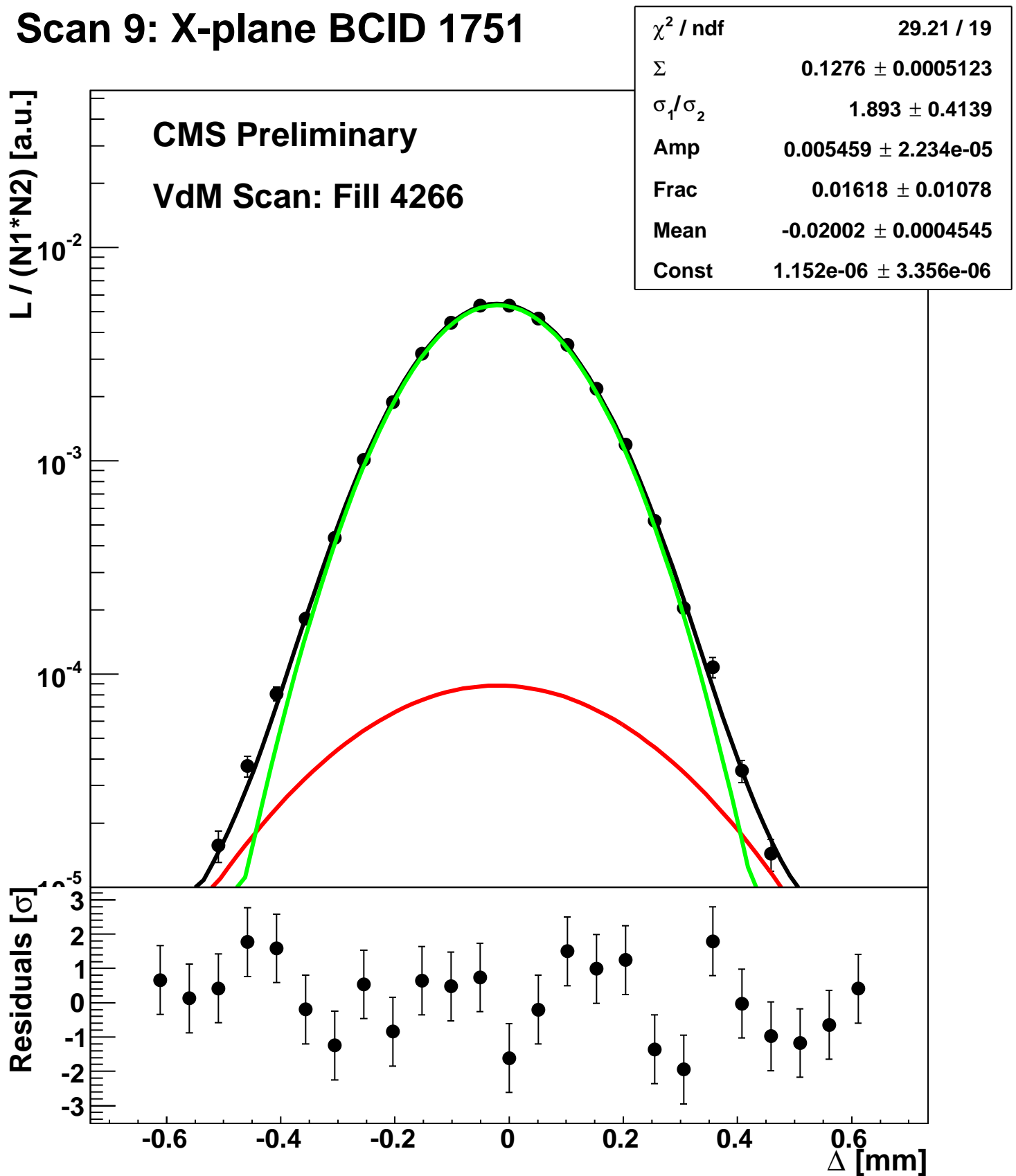
Scan 9: X-plane BCID 1711



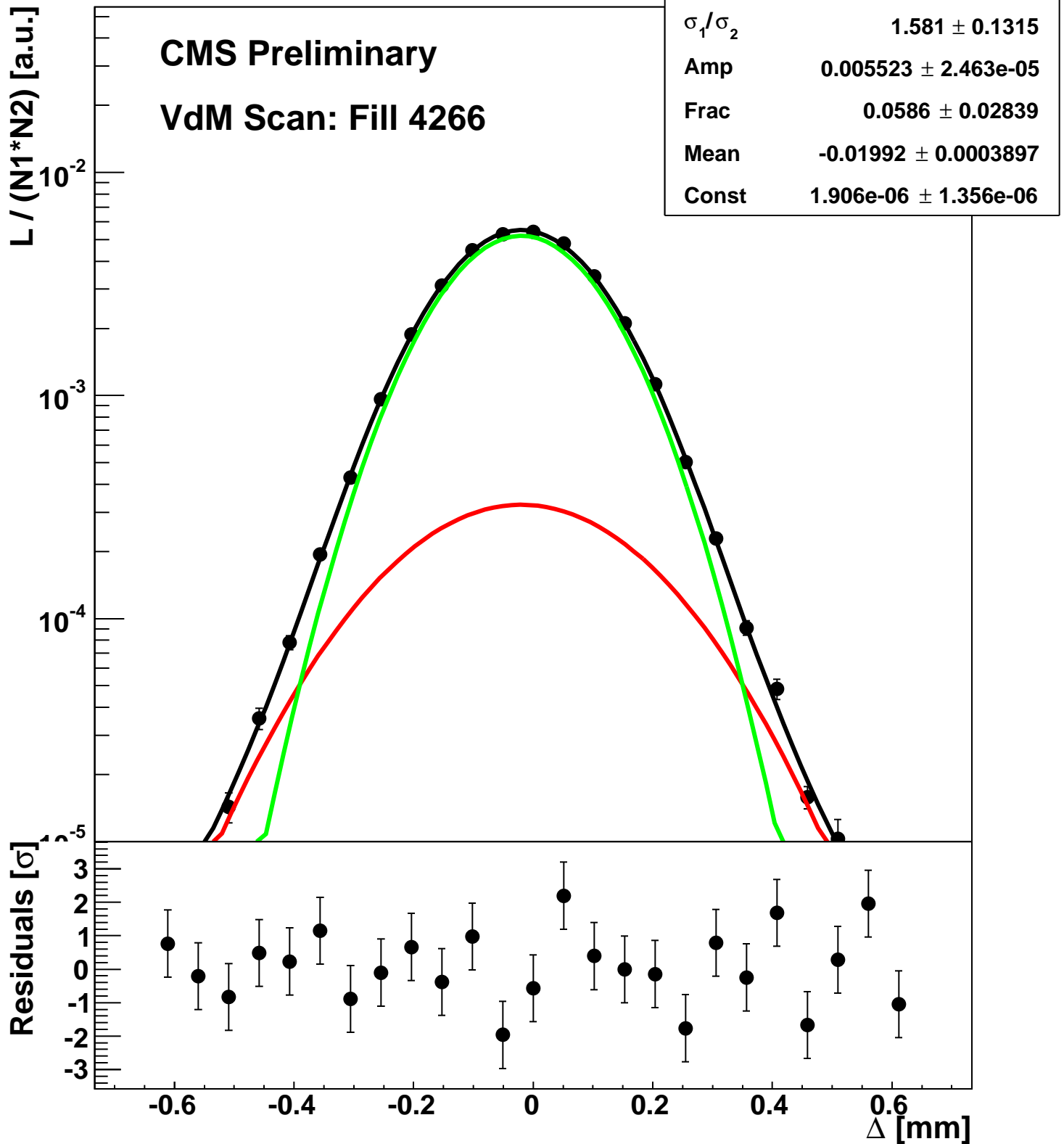
Scan 9: X-plane BCID 171



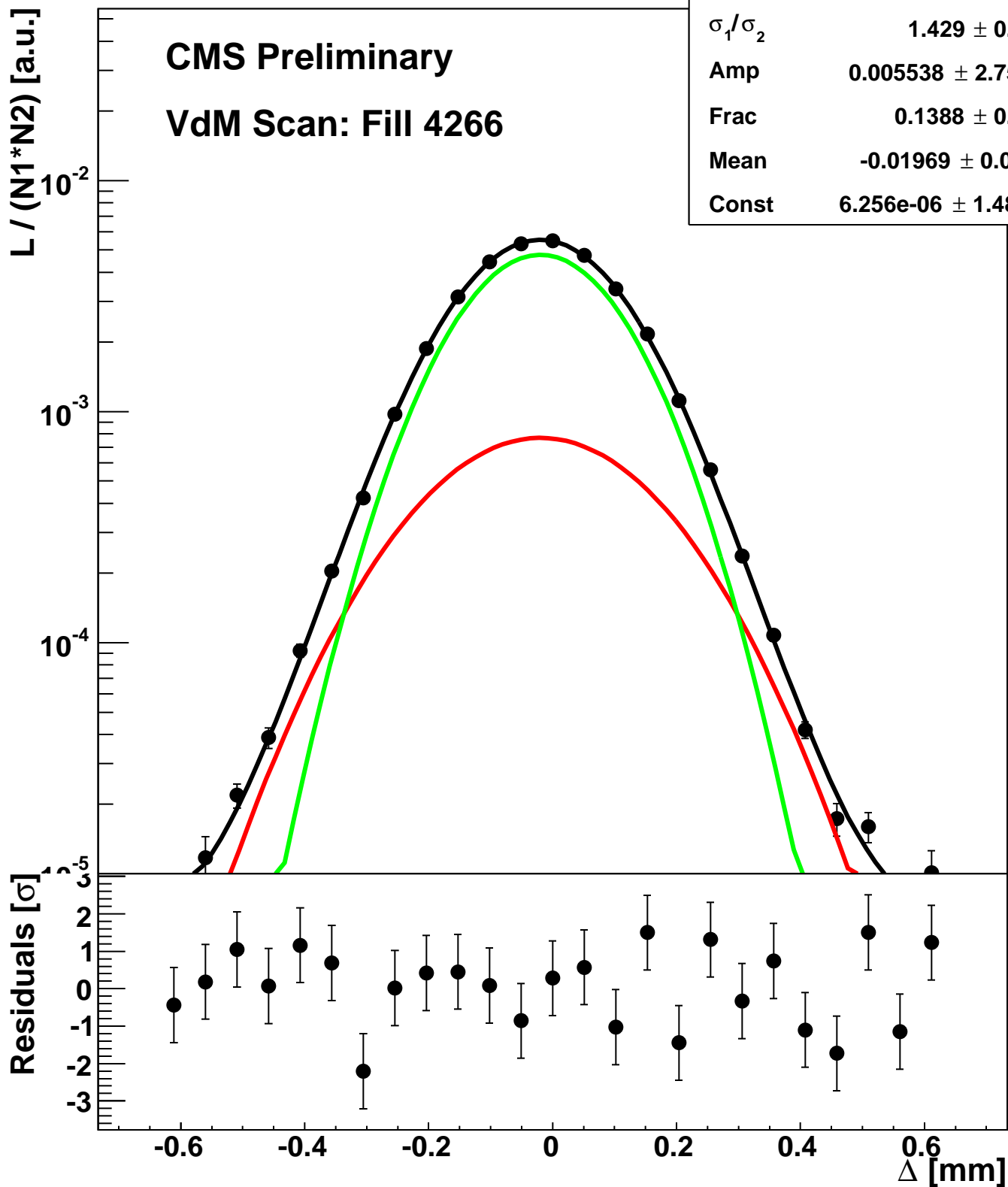
Scan 9: X-plane BCID 1751



Scan 9: X-plane BCID 1791

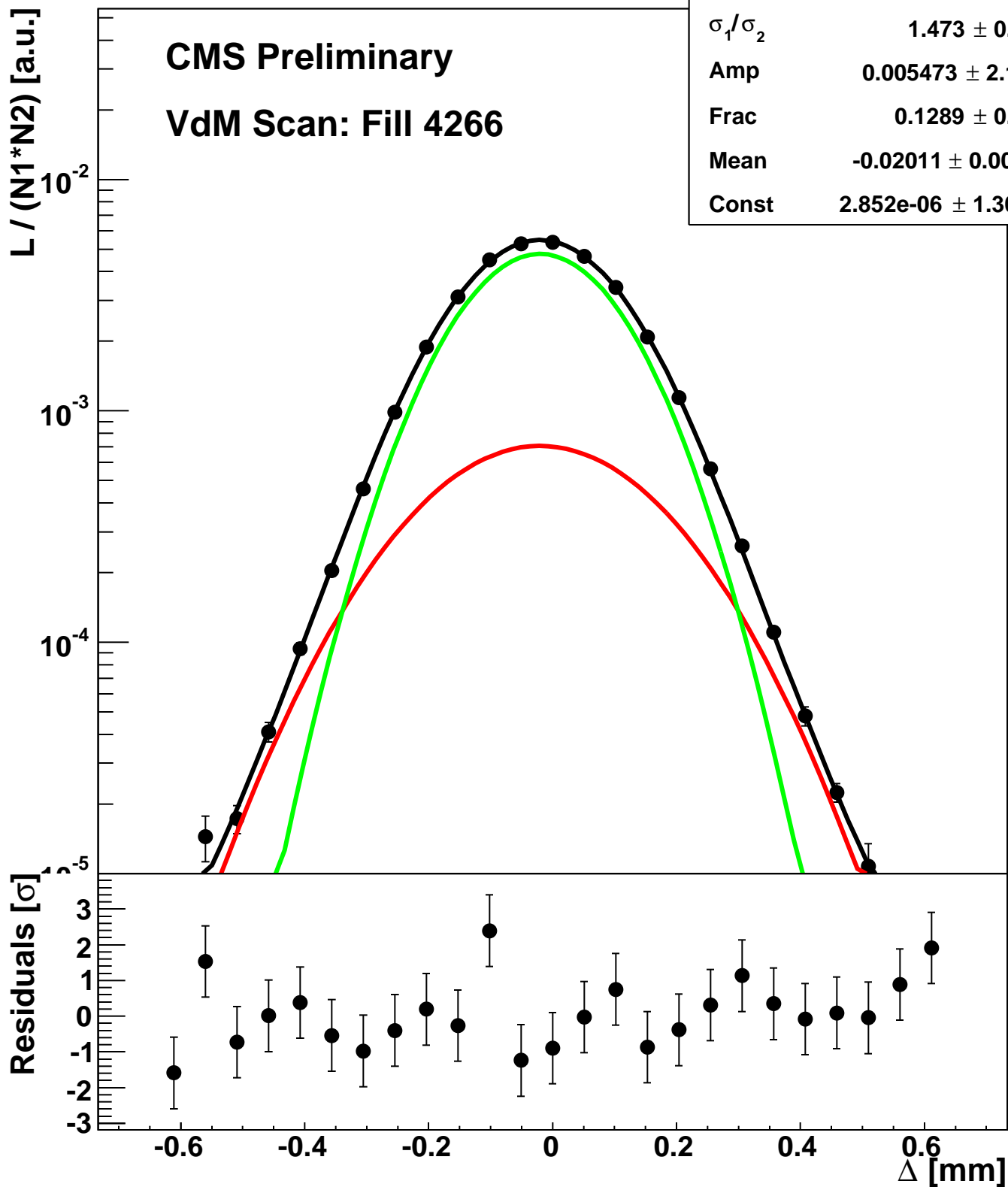


Scan 9: X-plane BCID 1831

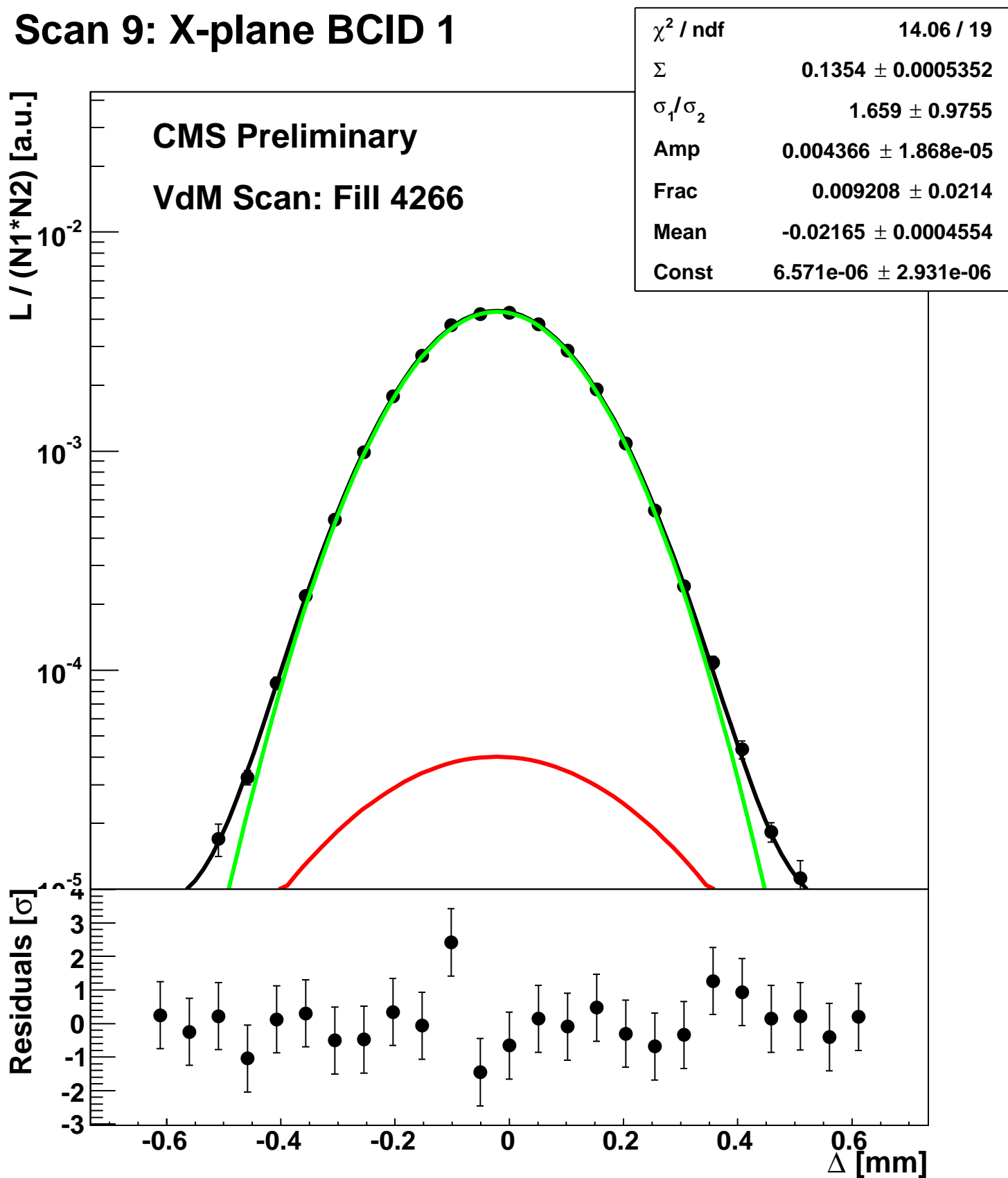


| | |
|-----------------------|---|
| χ^2 / ndf | 26.59 / 19 |
| Σ | 0.1257 ± 0.0004613 |
| σ_1 / σ_2 | 1.429 ± 0.07638 |
| Amp | $0.005538 \pm 2.759\text{e-}05$ |
| Frac | 0.1388 ± 0.06438 |
| Mean | -0.01969 ± 0.000408 |
| Const | $6.256\text{e-}06 \pm 1.489\text{e-}06$ |

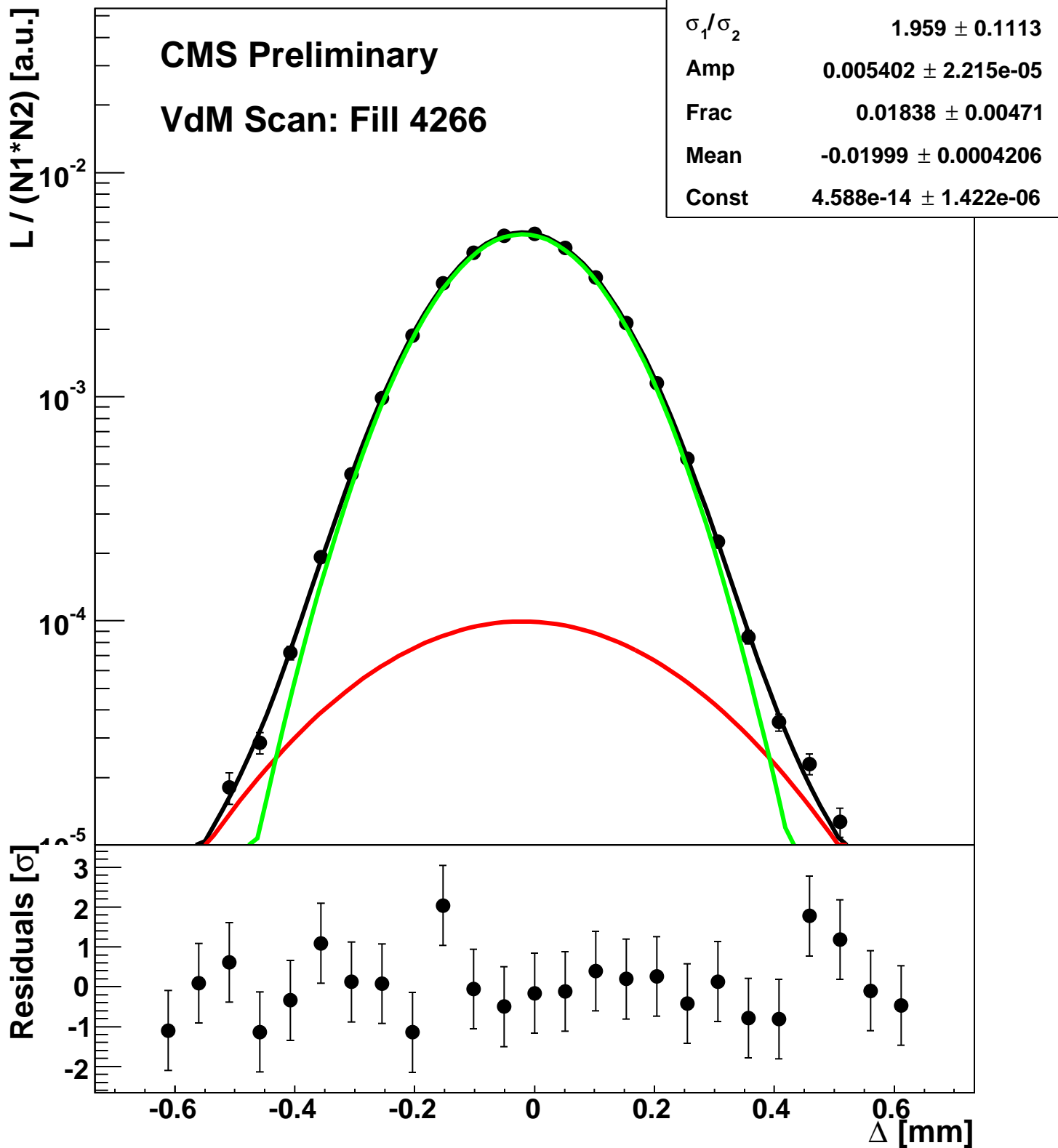
Scan 9: X-plane BCID 1871



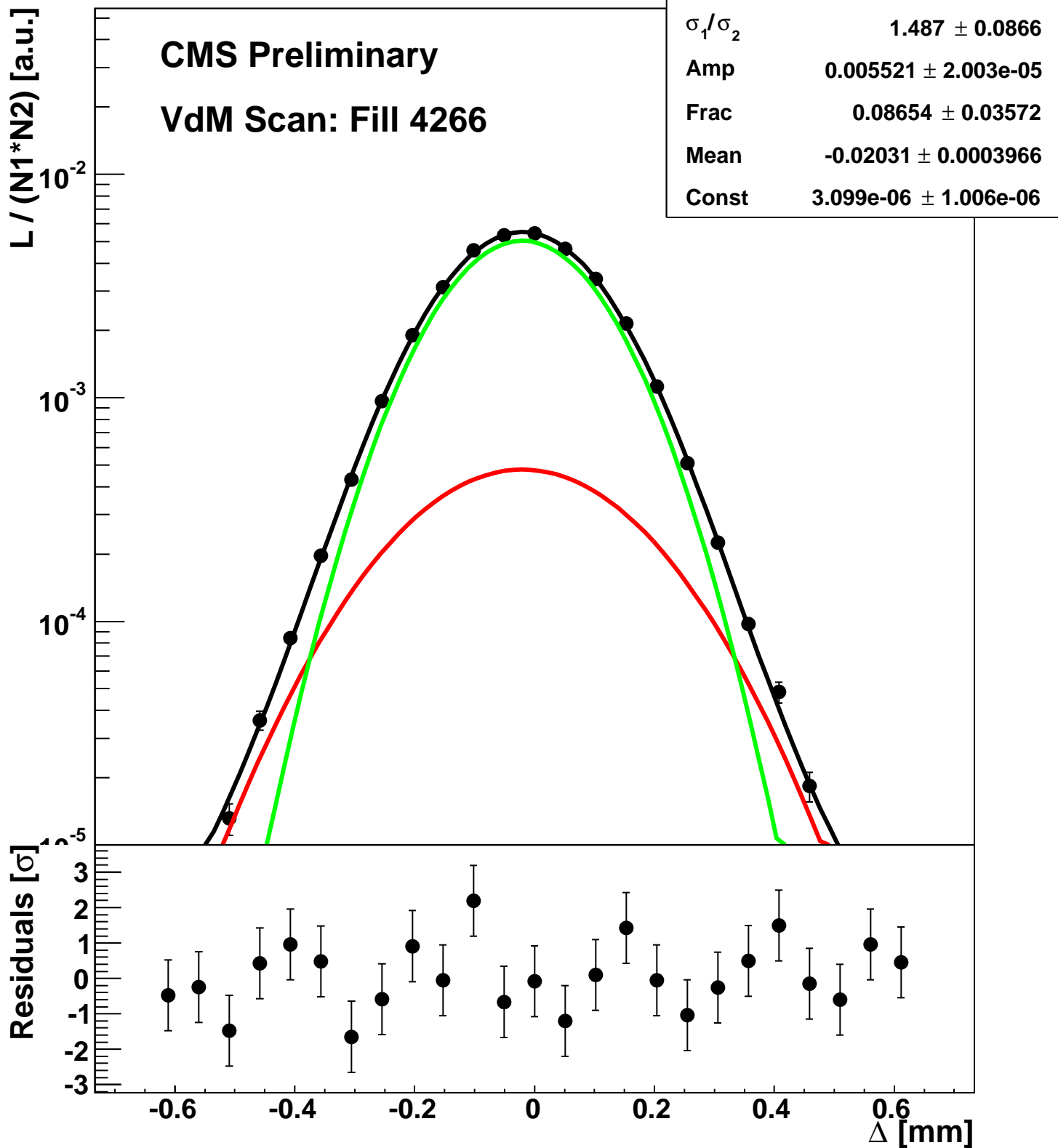
Scan 9: X-plane BCID 1



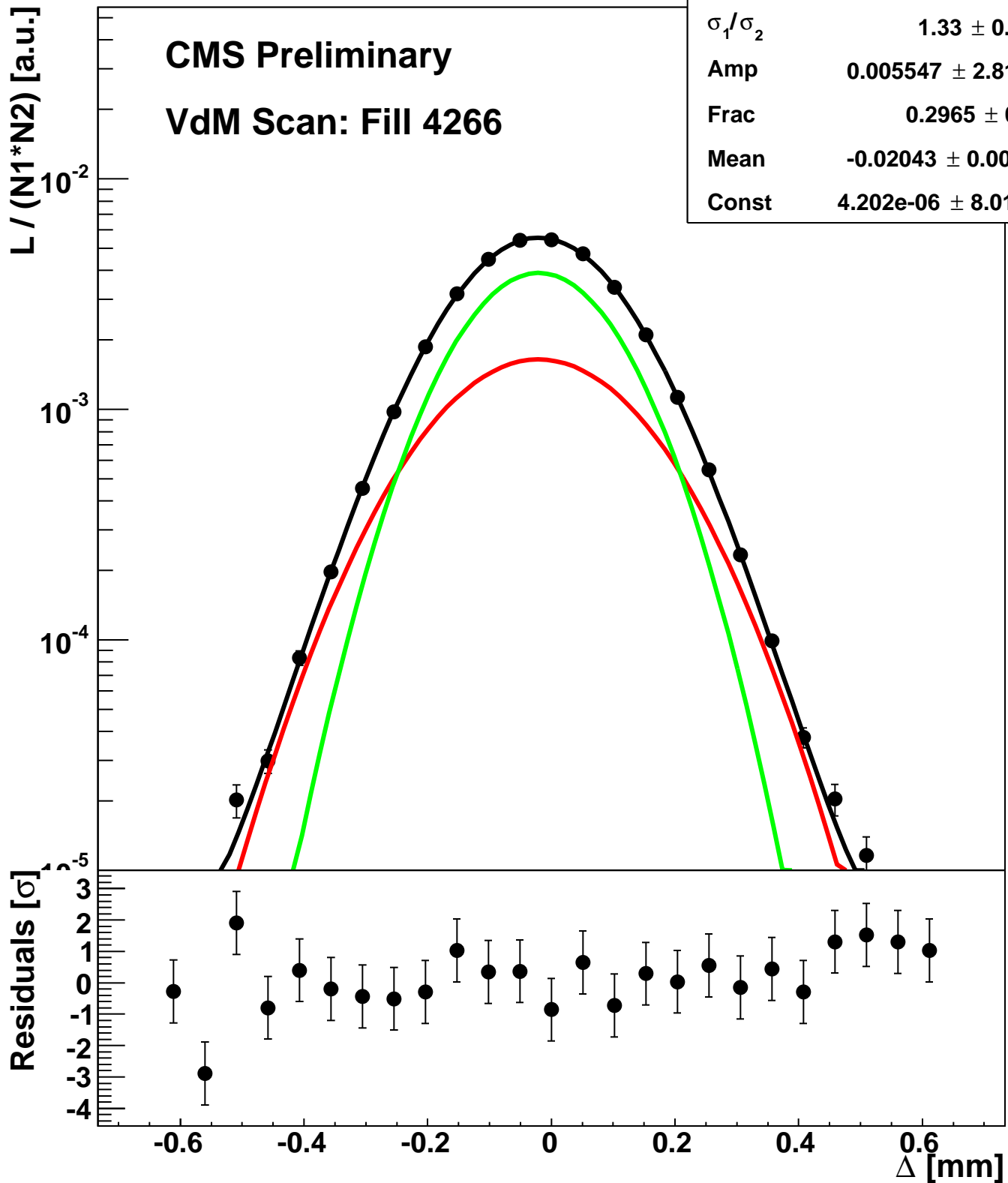
Scan 9: X-plane BCID 211



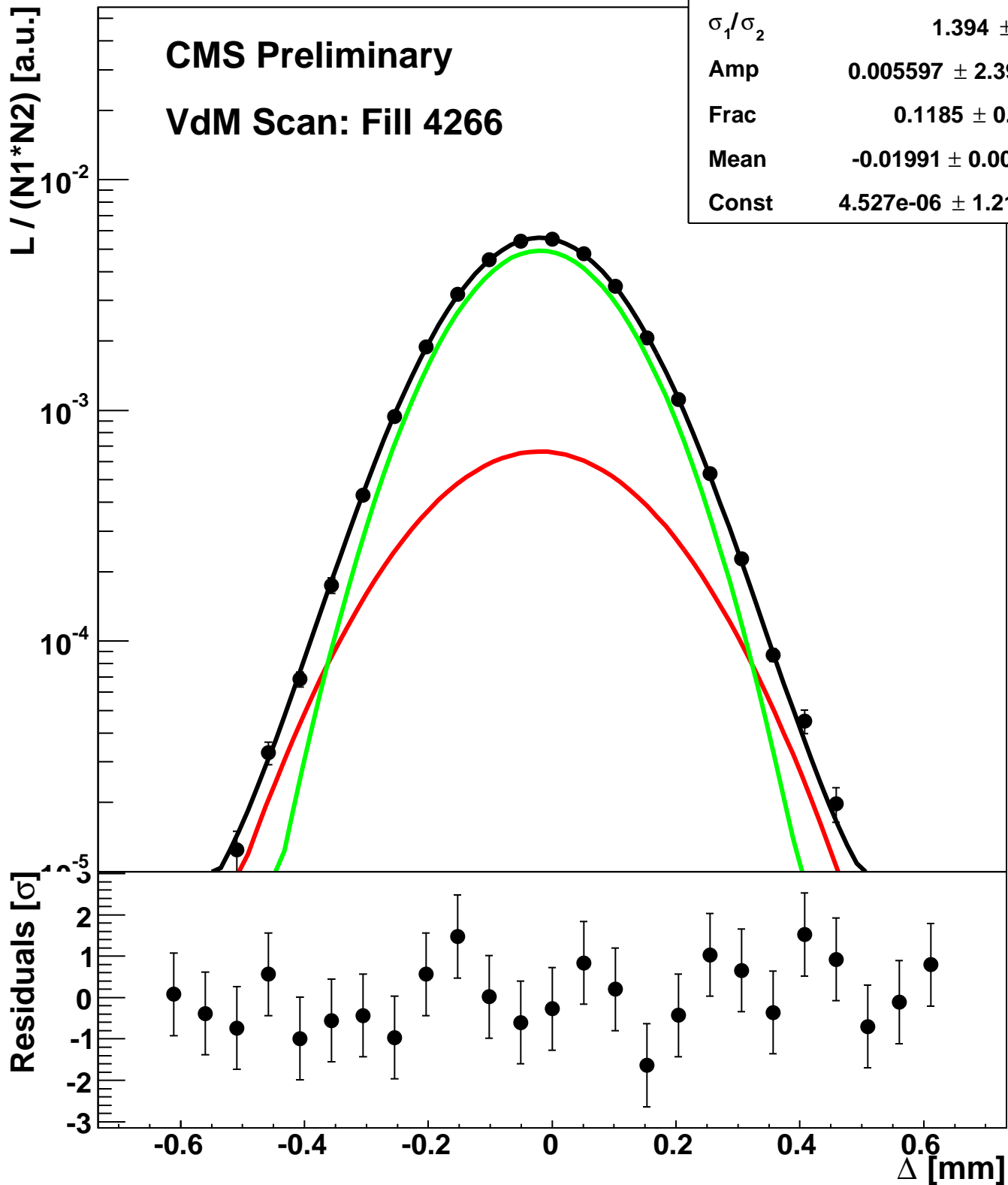
Scan 9: X-plane BCID 2211



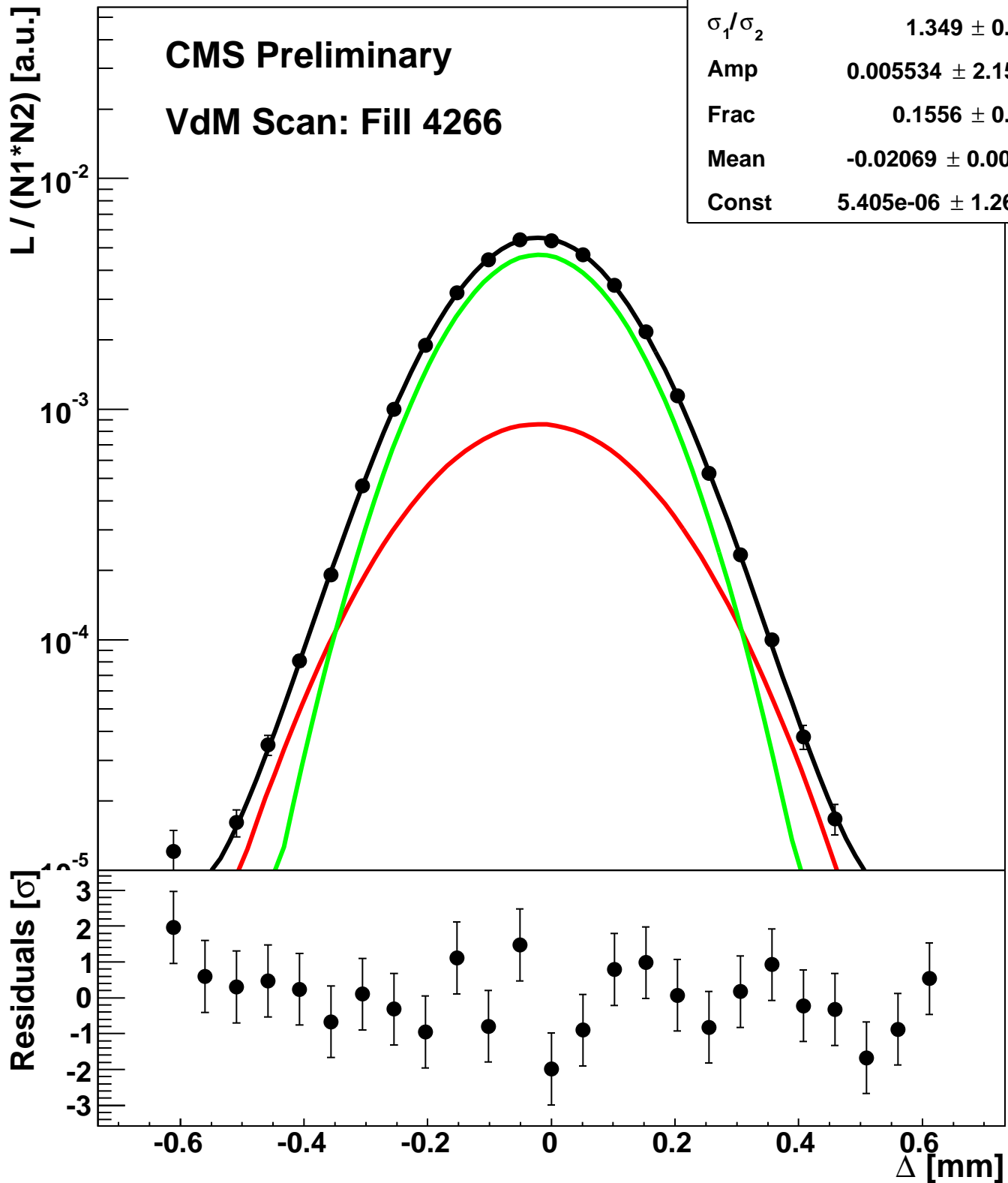
Scan 9: X-plane BCID 2251



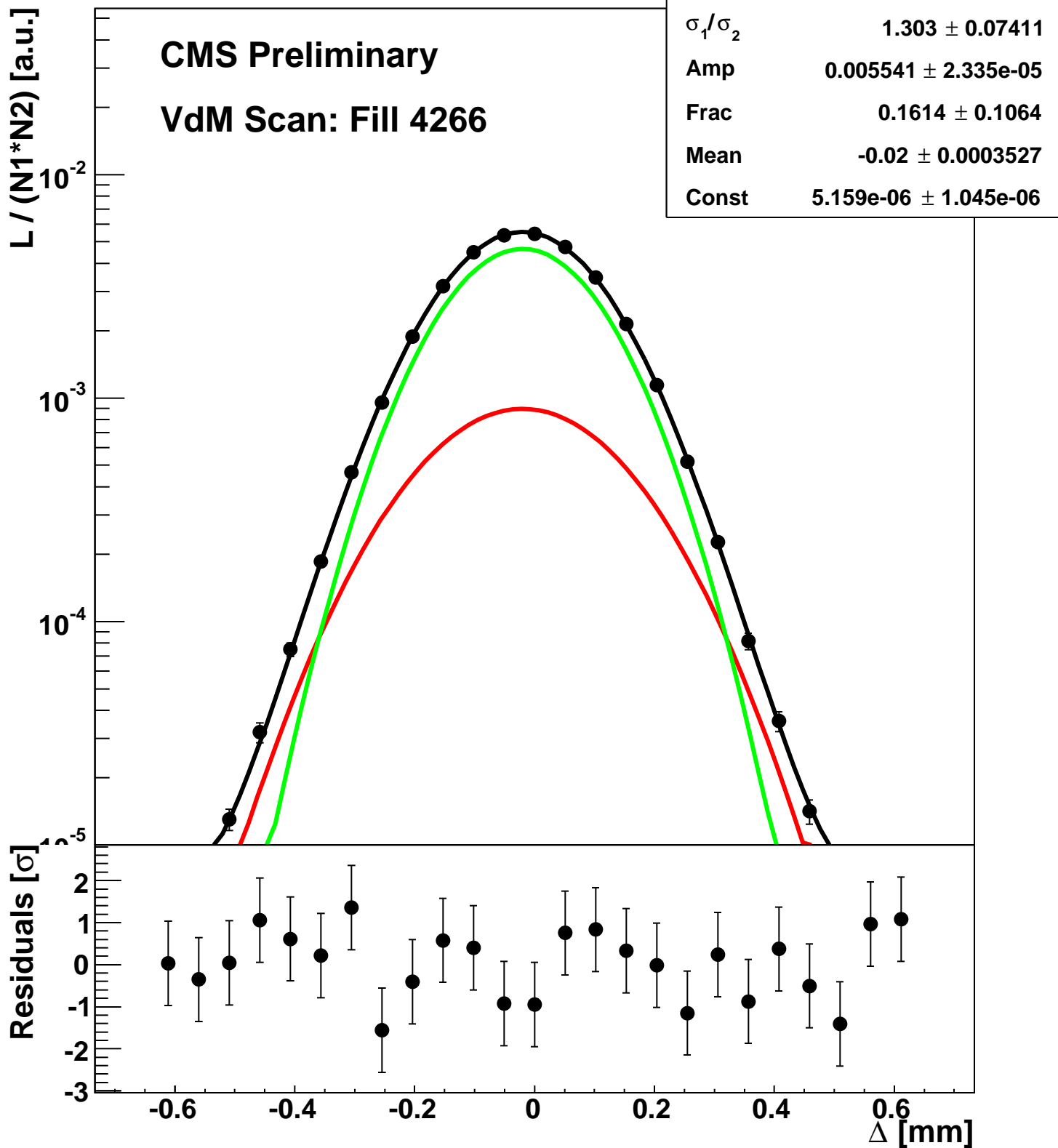
Scan 9: X-plane BCID 2291



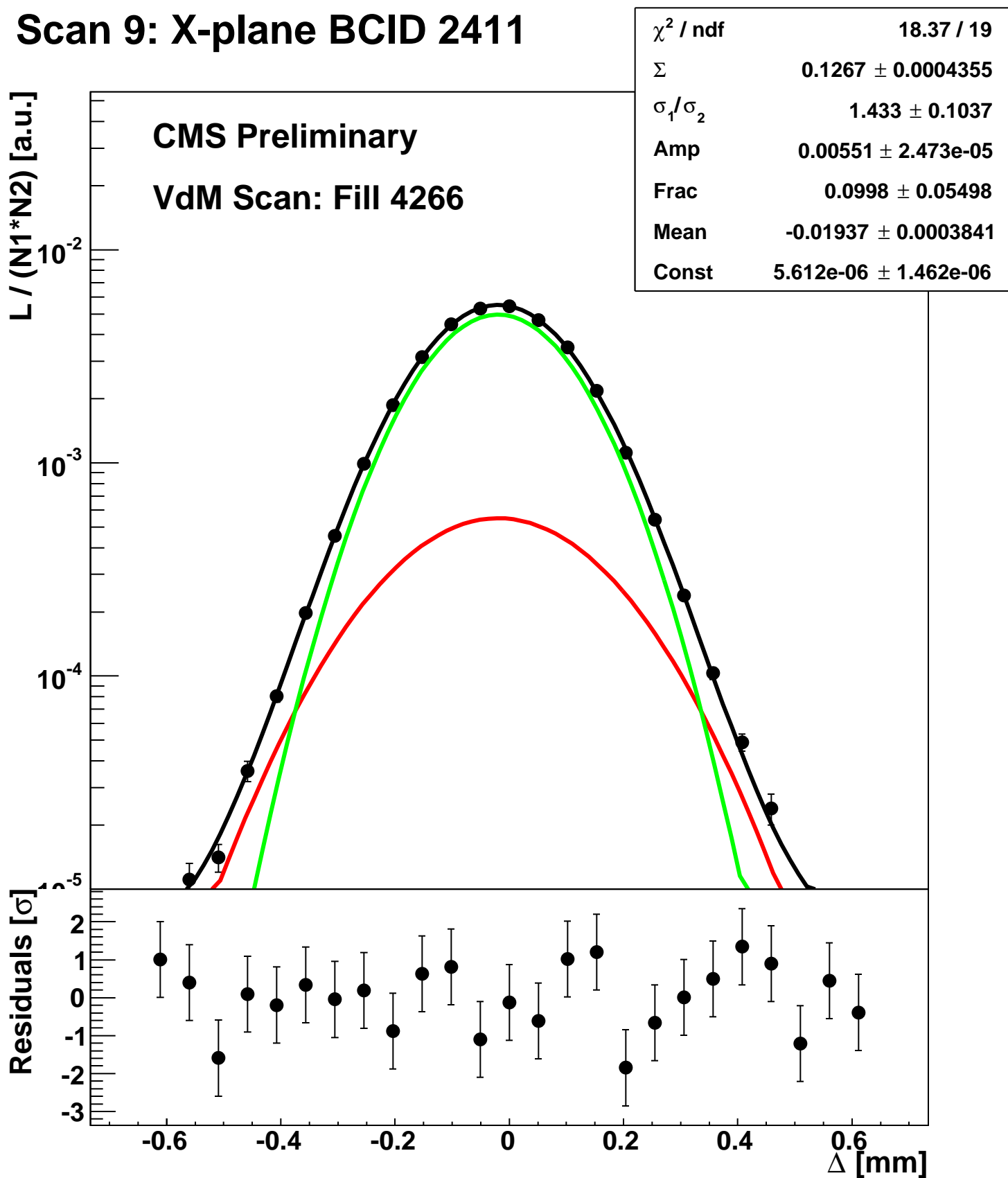
Scan 9: X-plane BCID 2331



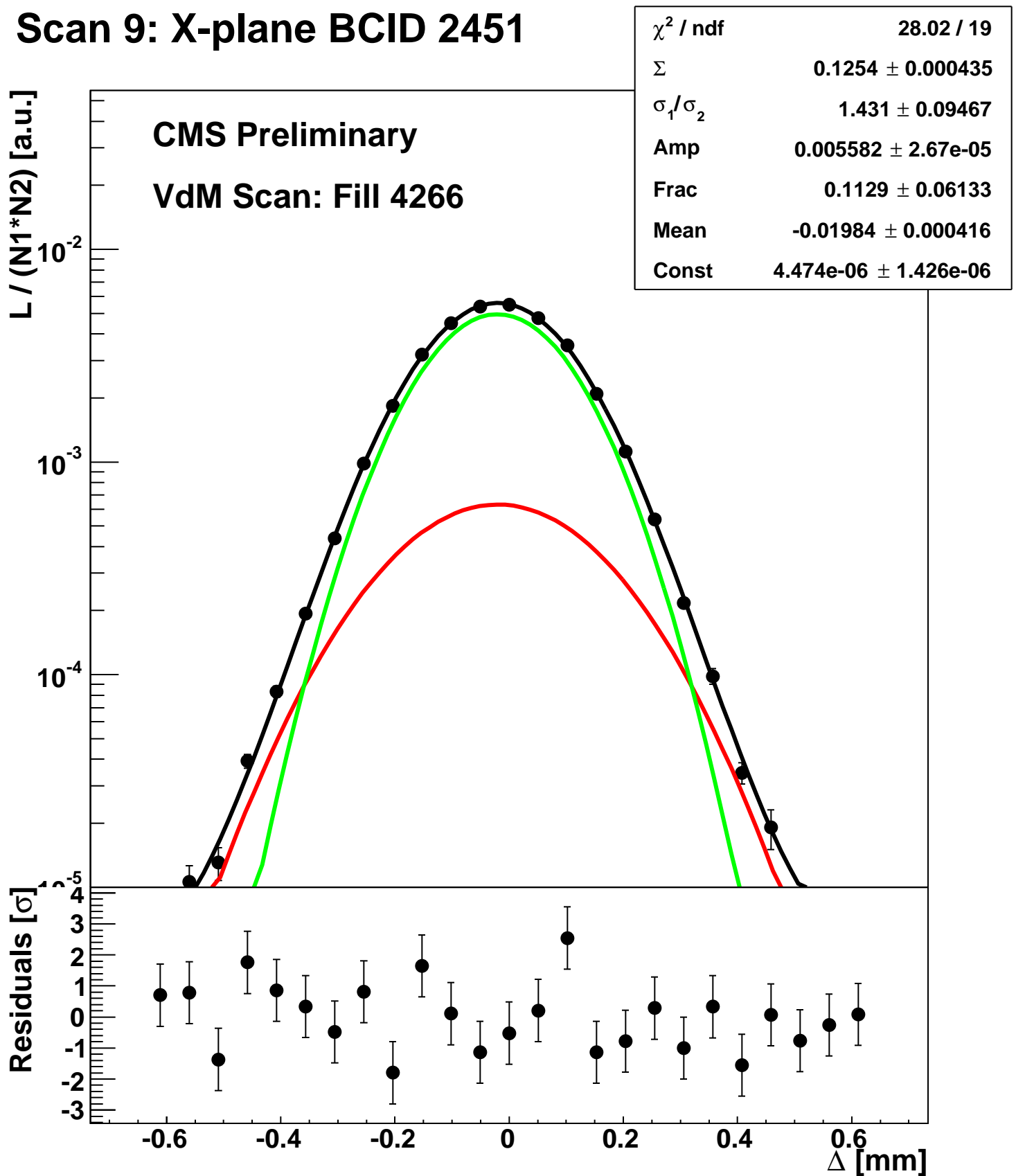
Scan 9: X-plane BCID 2371



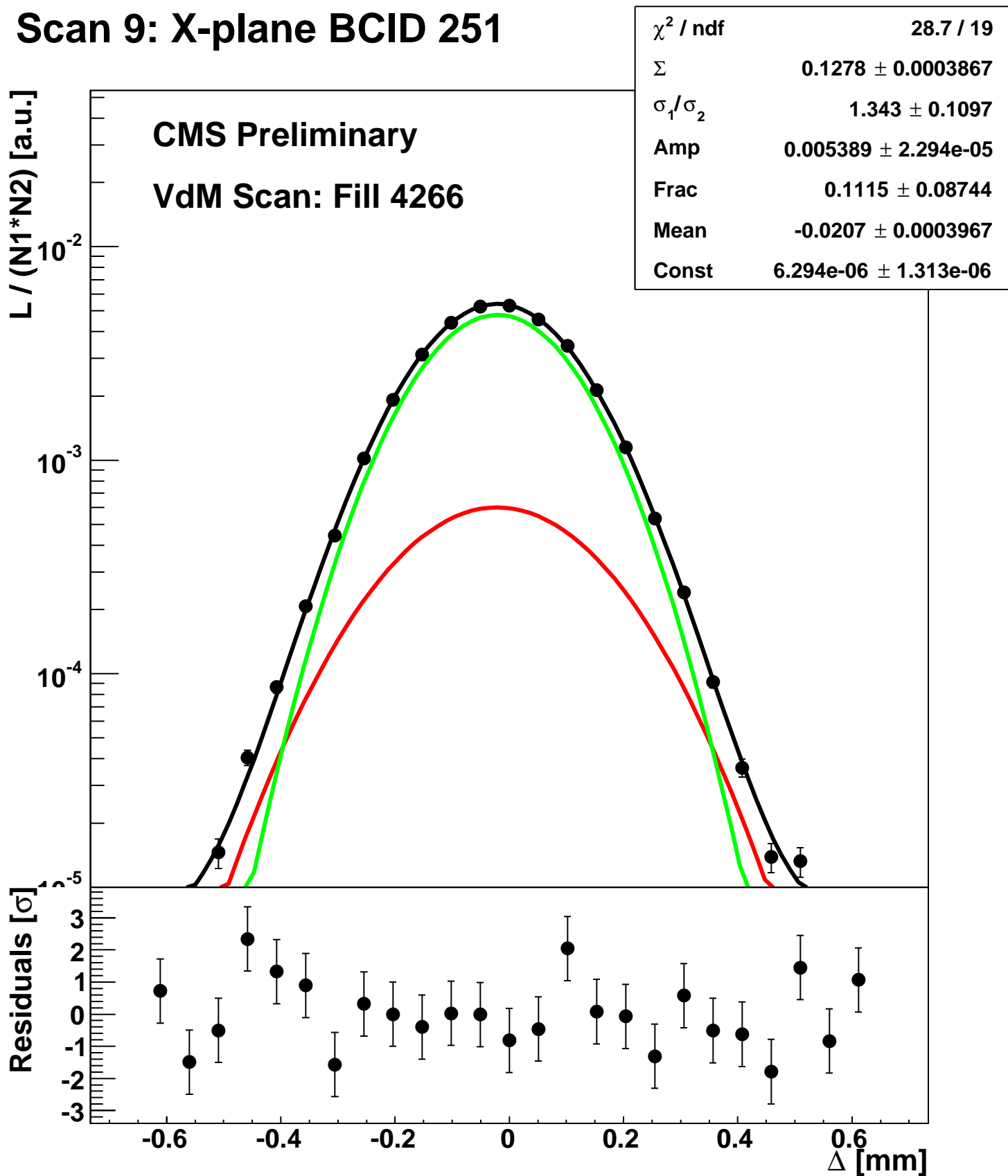
Scan 9: X-plane BCID 2411



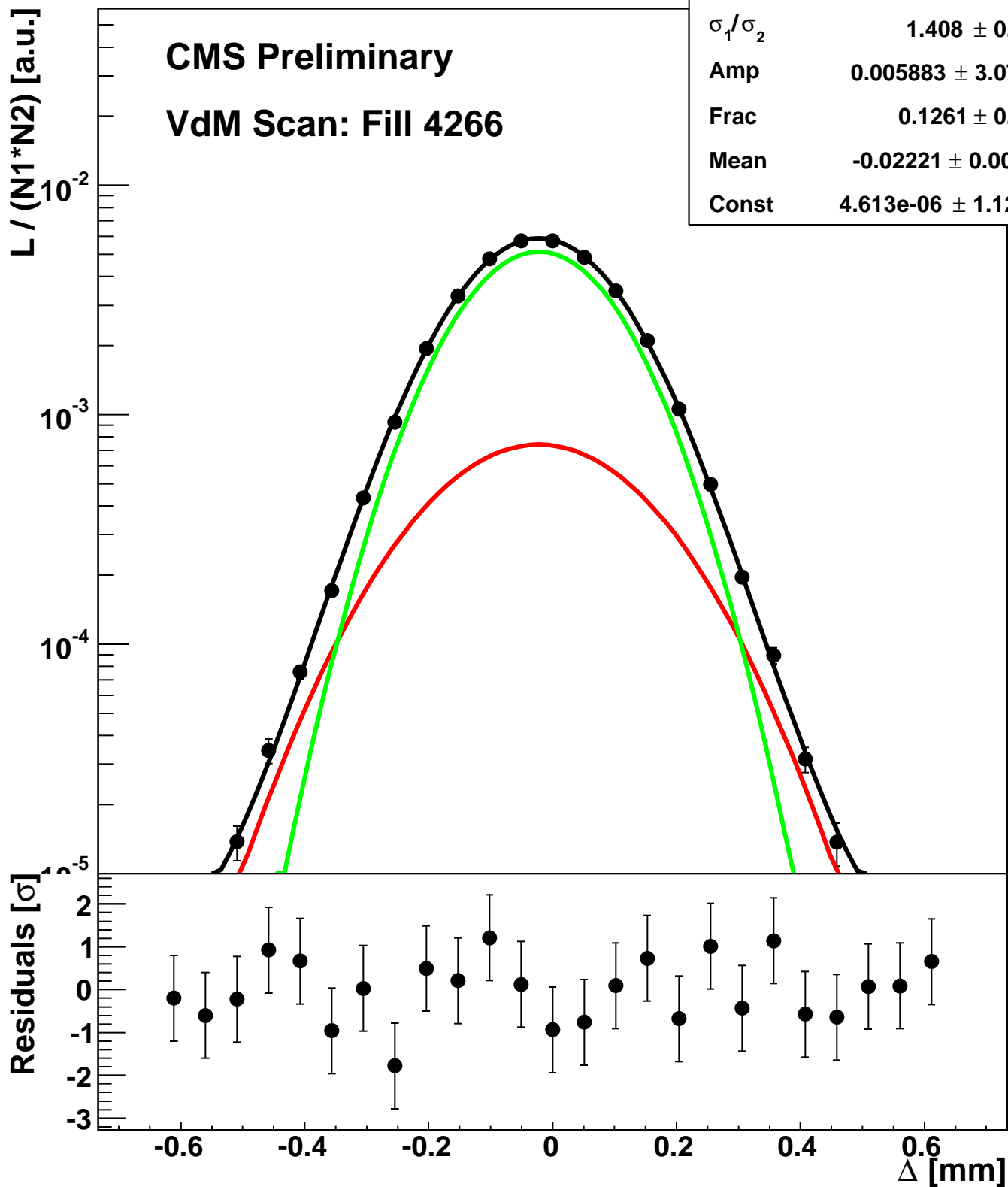
Scan 9: X-plane BCID 2451



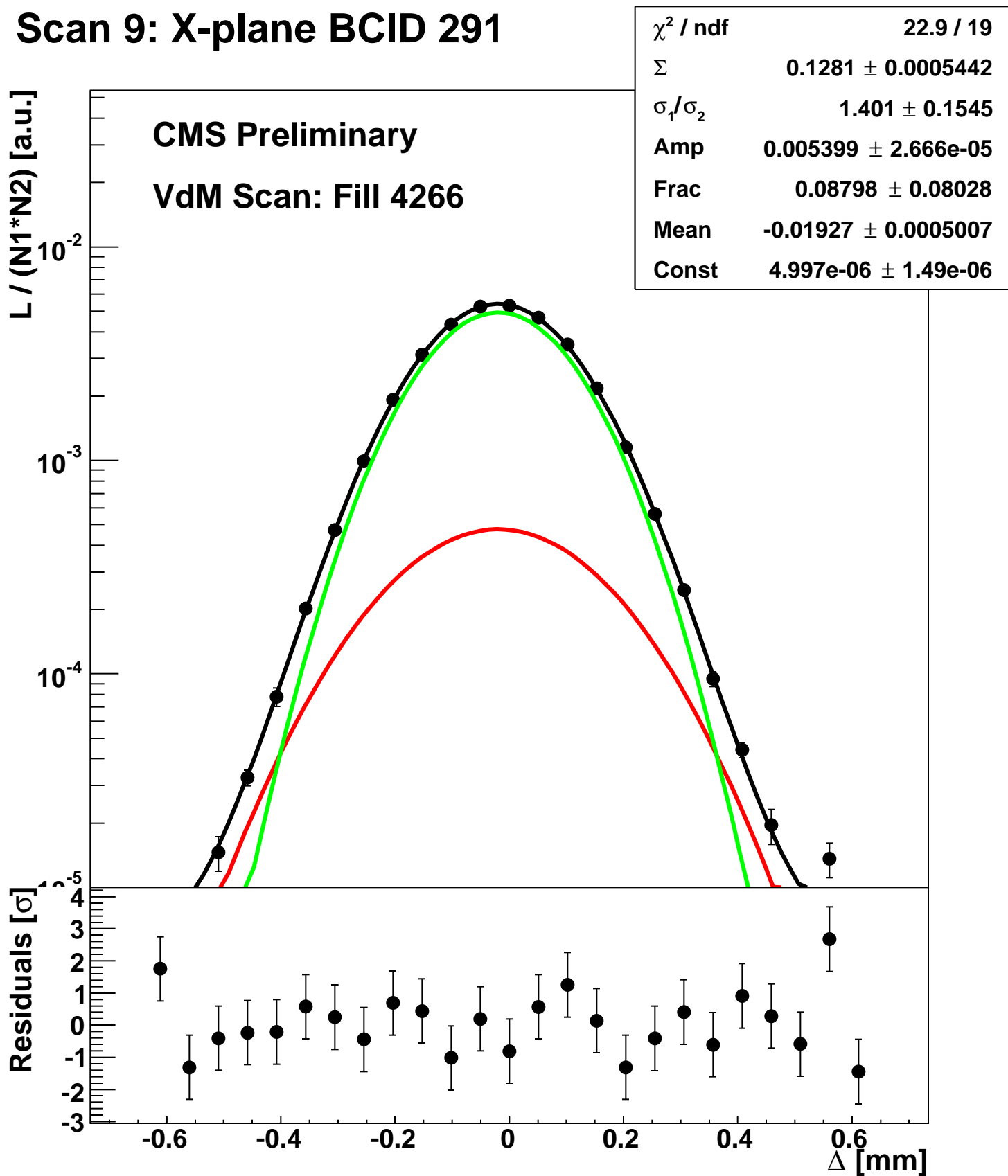
Scan 9: X-plane BCID 251



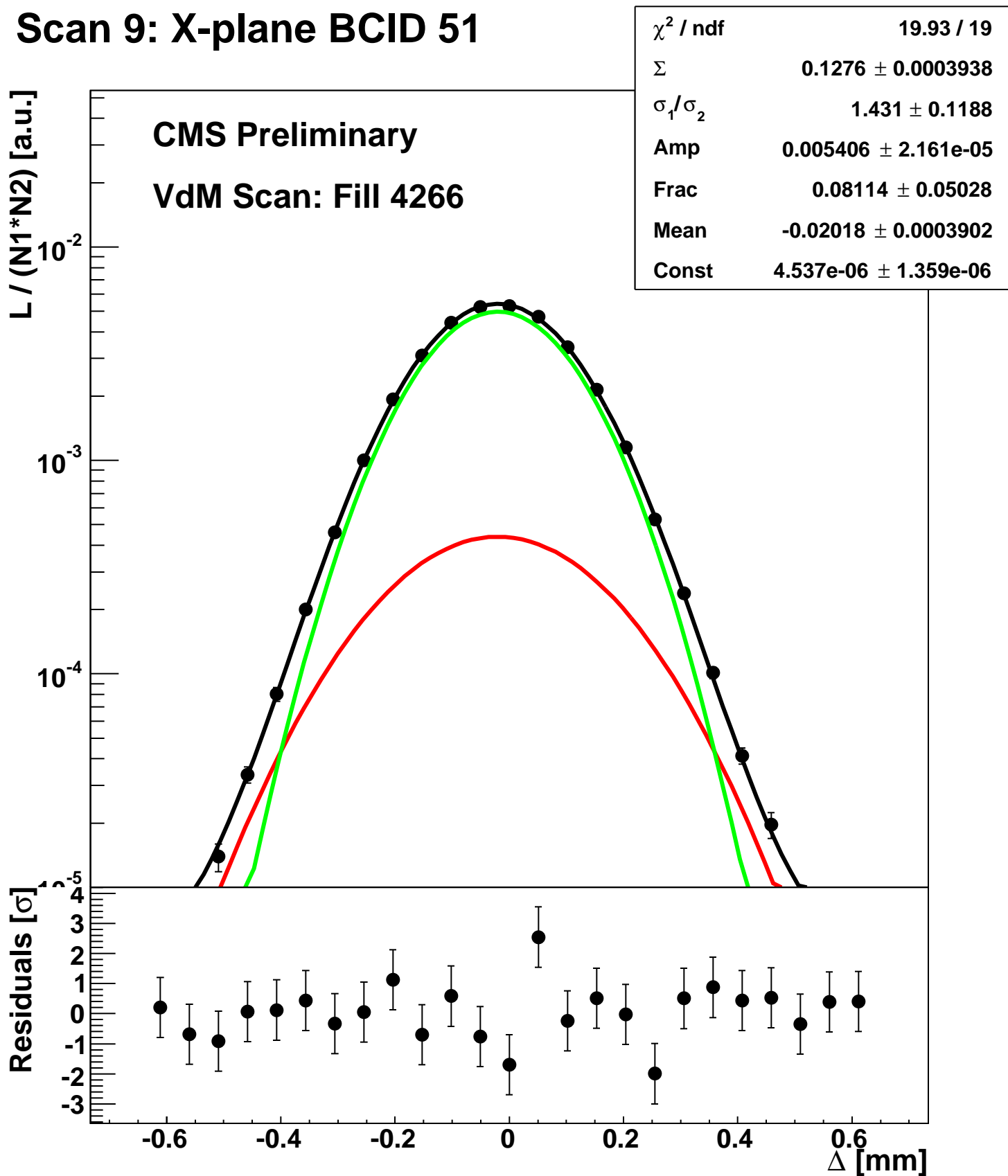
Scan 9: X-plane BCID 2674



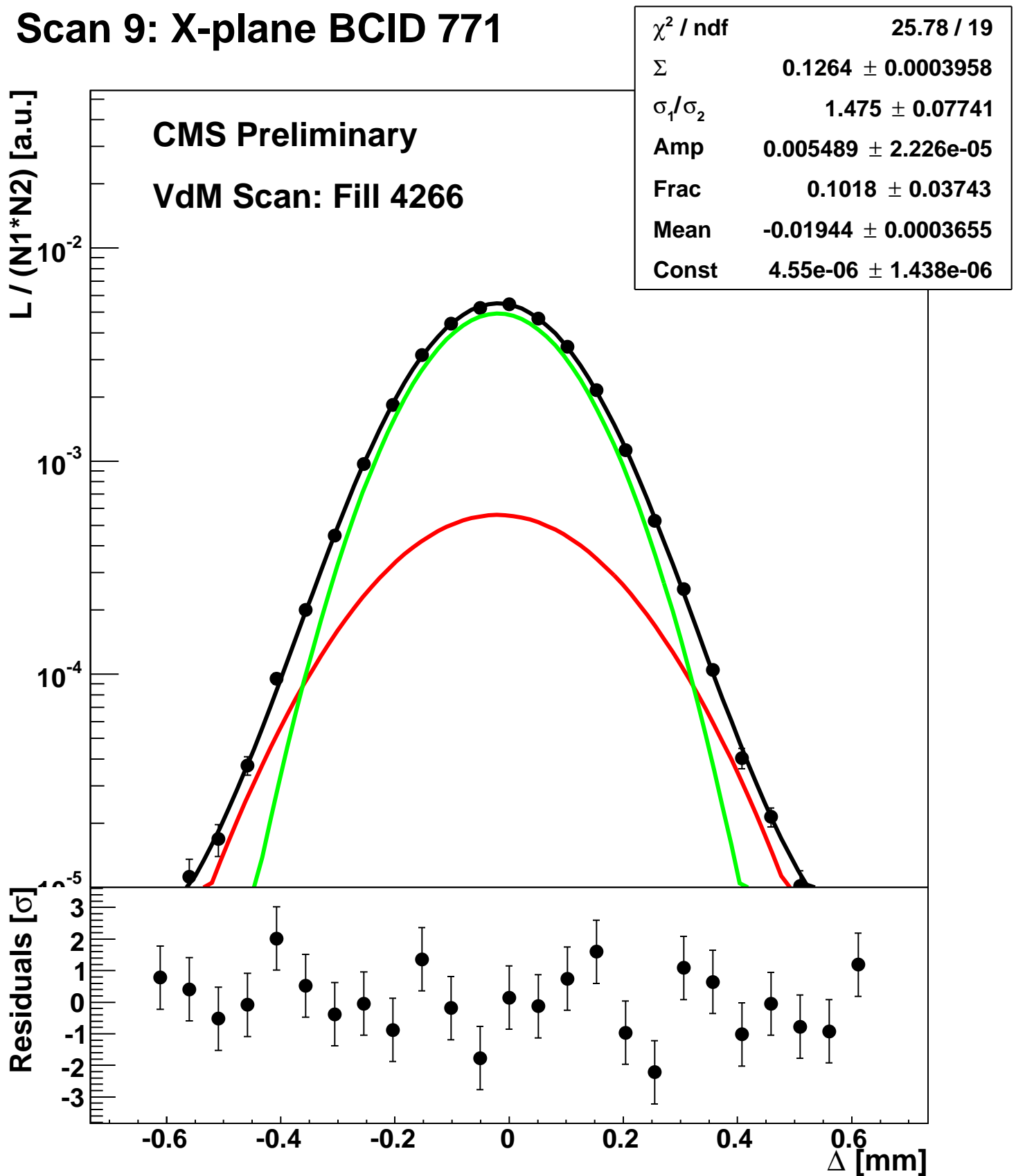
Scan 9: X-plane BCID 291



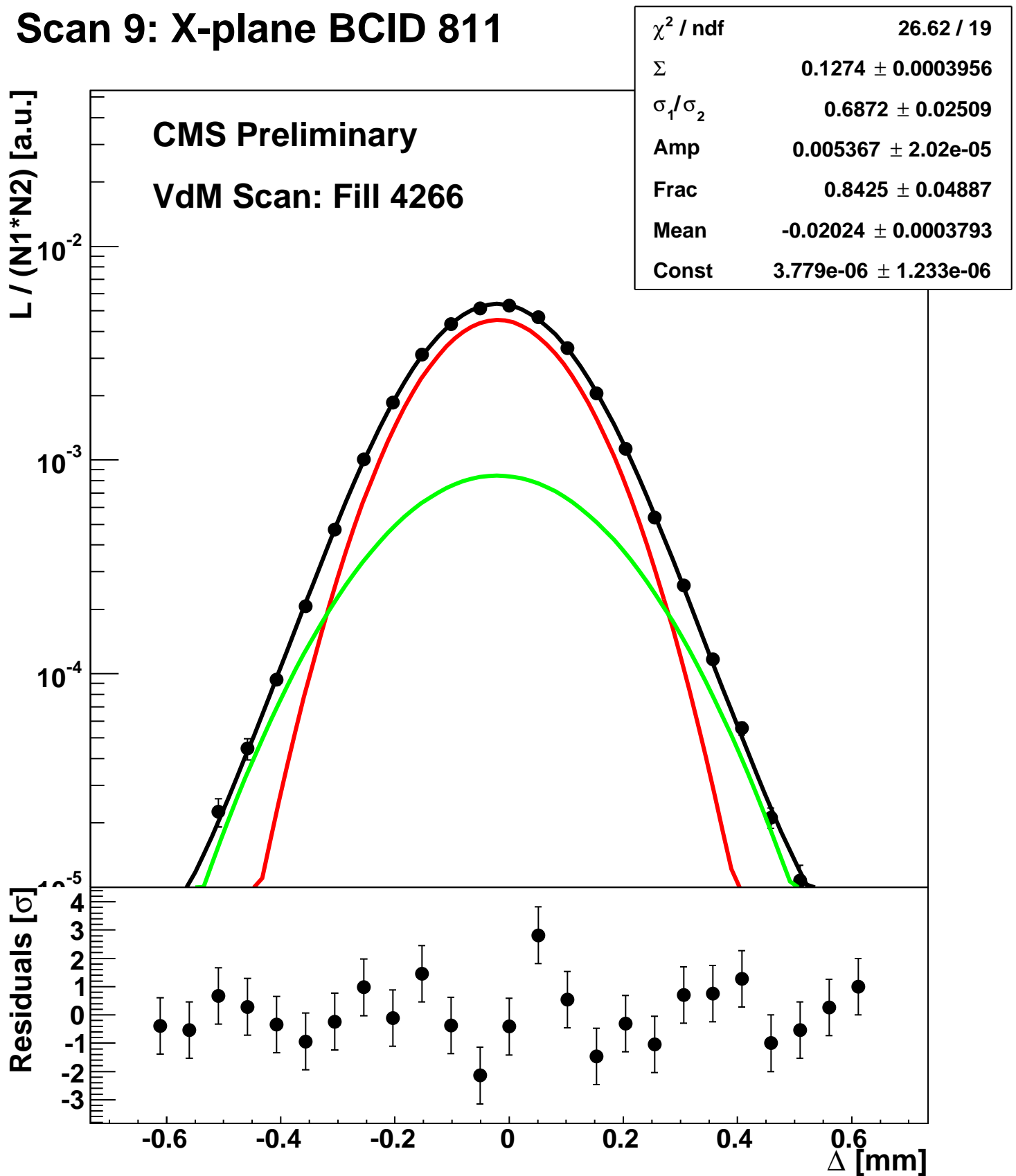
Scan 9: X-plane BCID 51



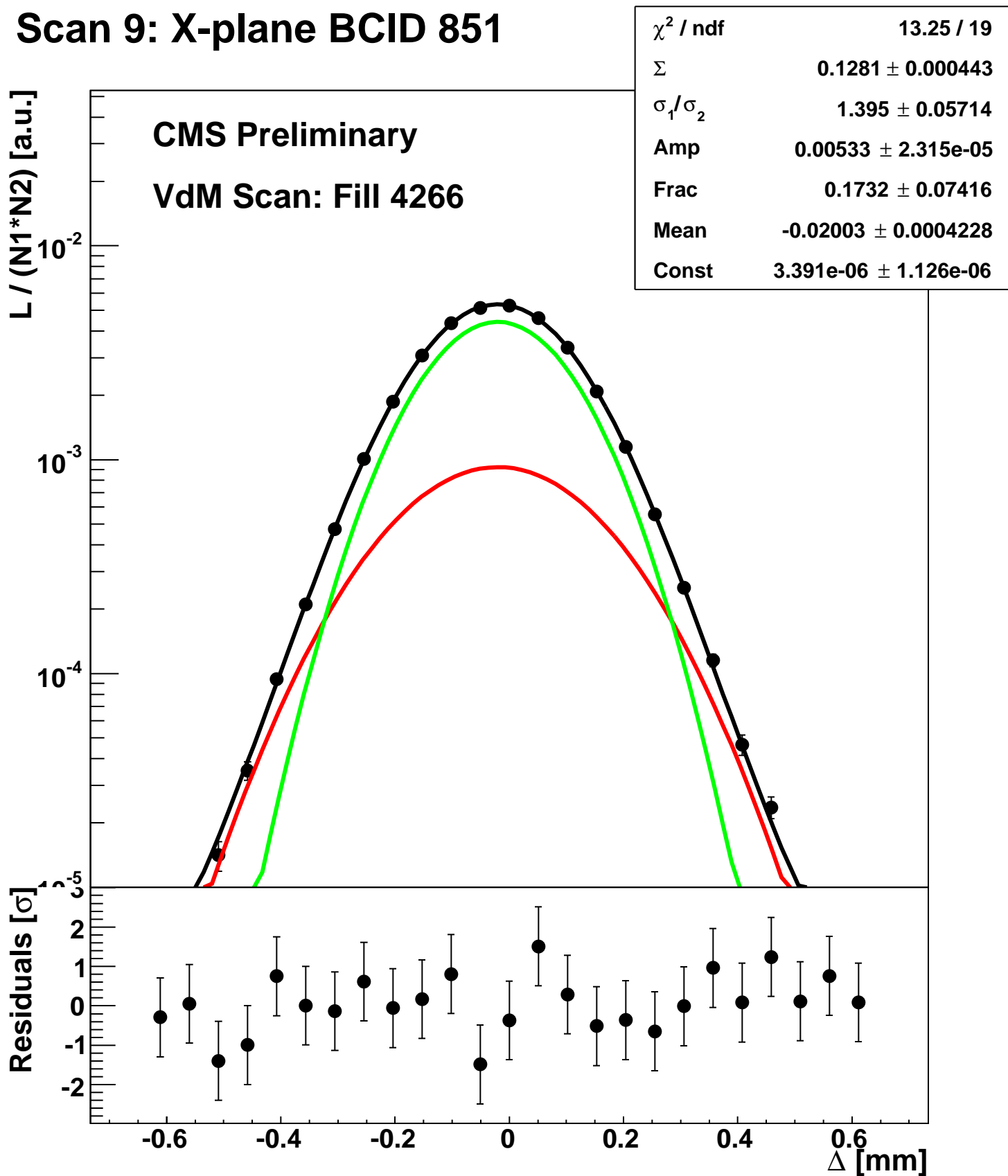
Scan 9: X-plane BCID 771



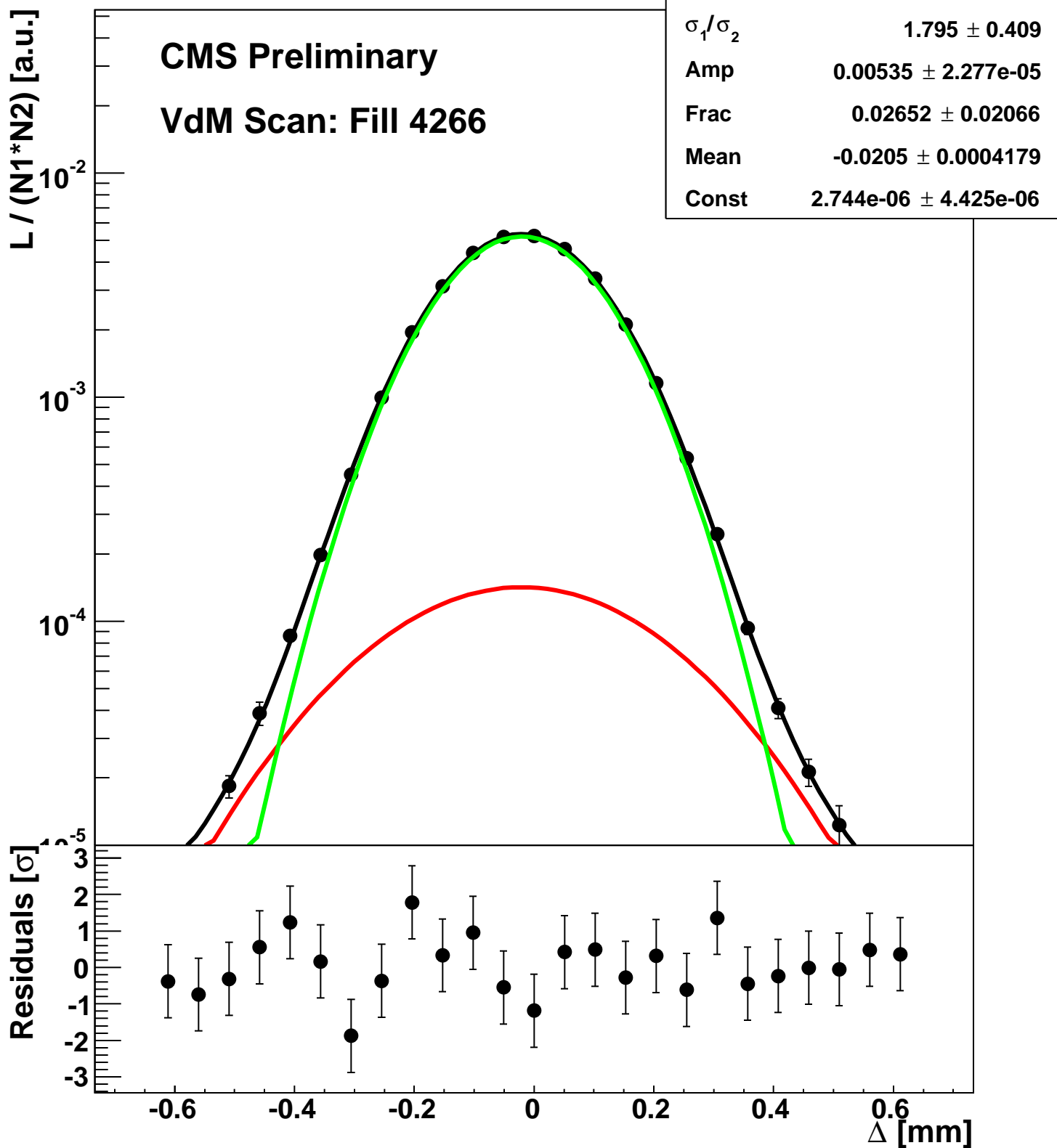
Scan 9: X-plane BCID 811



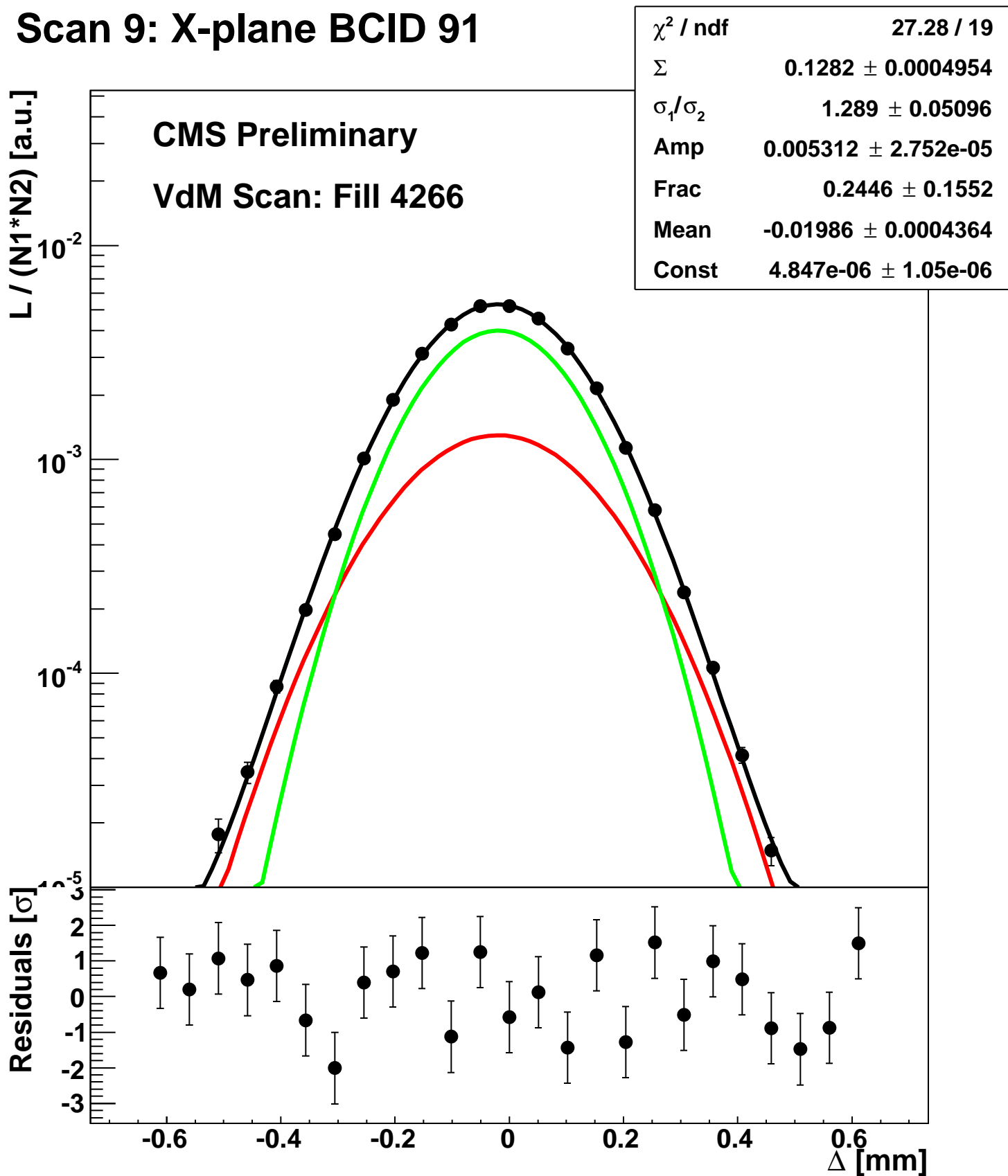
Scan 9: X-plane BCID 851



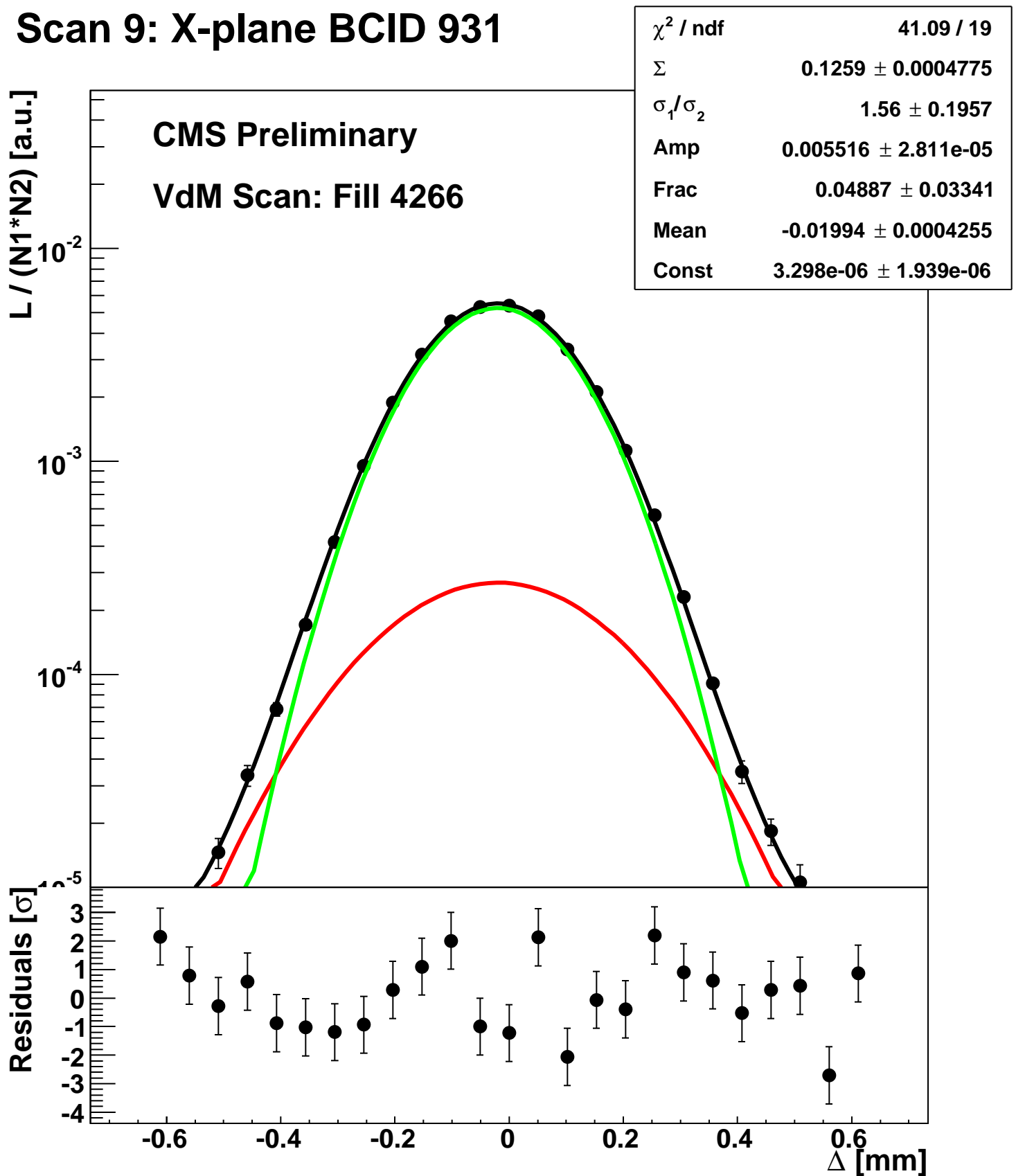
Scan 9: X-plane BCID 891



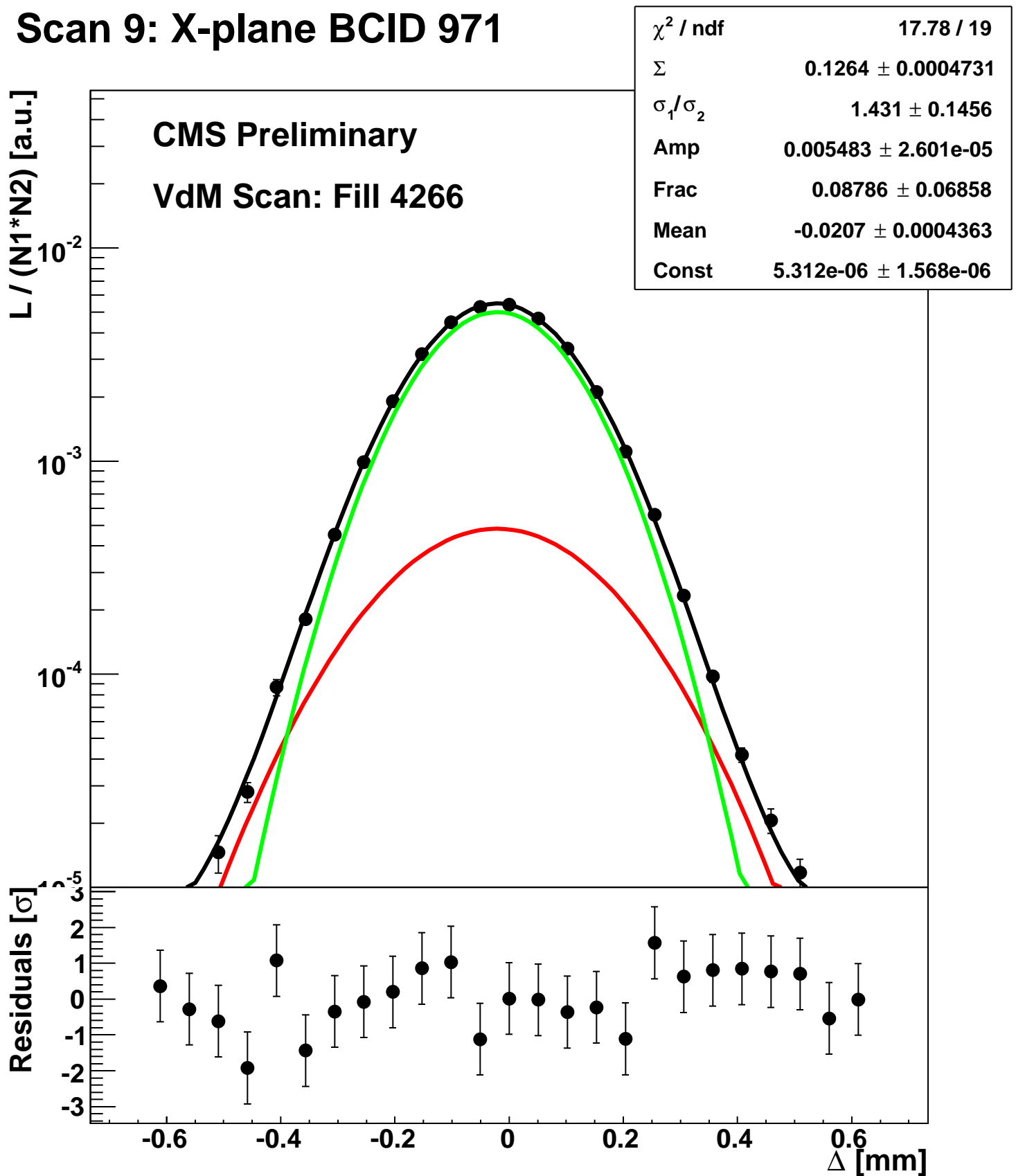
Scan 9: X-plane BCID 91



Scan 9: X-plane BCID 931



Scan 9: X-plane BCID 971



Scan 9: X-plane BCID sum

